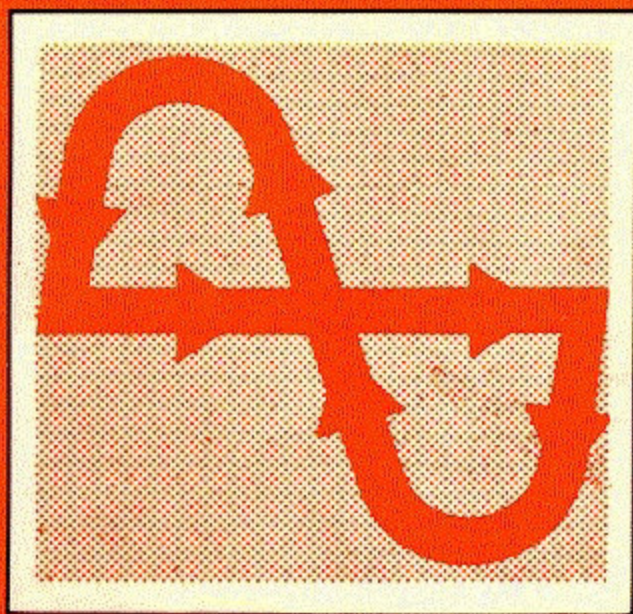


**JOSEPH A. EDMINISTER**



# **CIRCUITOS ELÉTRICOS**

Resumo da teoria

350 problemas resolvidos

493 problemas propostos

*Relançamento da Edição Clássica  
Totalmente Revisada*

# **COLEÇÃO SCHAUM**

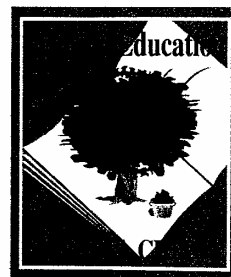
**EDITORA McGRAW-HILL LTDA.**

---

# ***CIRCUITOS ELÉTRICOS***

***REEDIÇÃO DA EDIÇÃO CLÁSSICA***

---



---

---

**C.**  
**E.**

**REEDIA**

---

---

3.

4

Pr

6272  
E24c  
R.502/04  
lx.3

Bras

---

---

# **CIRCUITOS ELÉTRICOS**

**REEDIÇÃO DA EDIÇÃO CLÁSSICA**

---

Resumo da Teoria  
350 Problemas Resolvidos  
493 Problemas Propostos

**Joseph A. Edminister**  
Professor de Engenharia Elétrica  
University of Akron

*Tradução:*

**Sebastião Carlos Feital**  
Engenheiro de Comunicações  
Ex-professor do IME

*Revisão e Adaptação da Reedição:*

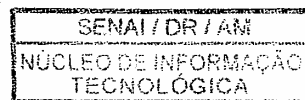
**Antonio Pertende Júnior**  
Engenheiro Eletrônico e de Telecomunicações

62.1.5  
E24c  
R.502/04  
lx.3



São Paulo

Brasil Argentina Colômbia Costa Rica Chile Espanha  
Guatemala México Porto Rico Venezuela



© 1991 Pearson Education do Brasil Ltda.  
Título original: Shaum's Outline of Theory and Problems of Electric Circuits  
© 1965, 1983 by McGraw-Hill, Inc.  
Todos os direitos reservados.  
Impressão: São Paulo – SP



MAKRON  
Books

**Dados Internacionais de Catalogação na Publicação (CIP)**  
**(Câmara Brasileira do Livro, SP, Brasil)**

Edminister, Joseph A.

Circuitos elétricos : reedição da edição clássica : resumo da teoria, 350 problemas resolvidos, 493 problemas propostos  
Joseph A. Edminister ; tradução: Sebastião Carlos Feital;  
revisão e adaptação Antônio Pertence Júnior. -- 2. ed  
-- São Paulo : Pearson Education do Brasil, 1991. (Coleção Schaum)

1. Circuitos elétricos 2. Circuitos elétricos – Problemas, exercícios etc.  
I. Título. II. Série: Schaum.

90-2367

-621.3192  
-621.3192076

**Índice para catálogo sistemático**

1. Circuitos elétricos : Engenharia 621.3192
2. Exercícios : Circuitos elétricos : Engenharia 621.3192076
3. Problemas : Circuitos elétricos : Engenharia 621.3192076

Proibida a reprodução total ou parcial.  
Os infratores serão punidos na forma da lei.  
Direitos exclusivos para a língua portuguesa cedidos à  
Pearson Education do Brasil Ltda.,  
uma empresa do grupo Pearson Education  
Rua Emílio Goeldi, 747 – Lapa  
CEP: 05065-110, São Paulo – SP, Brasil  
Tel: (11)3613-1222 – Fax: (11)3611-0851  
e-mail: vendas@pearsoned.com.br

Atendendo à  
McGraw-Hill decidiu  
Professor Edminister

De fato, conf  
clássica” adapta-se n  
Elétricos na grande 1  
permite que o aluno  
condicionante para o  
cações e outros.

Na revisão e  
gráficas e alguns par  
do assunto quanto à :

Assim sendo  
dos professores e alu  
1985. Cada qual assu

Esperamos t  
discente da disciplina  
necessidade incontes



## APRESENTAÇÃO DA EDIÇÃO REVISADA

(CIP)



a : resumo  
propostos  
arlos Feital;

leção Schaum)

exercícios etc.

-621.3192  
321.3192076

Atendendo às inúmeras solicitações de professores e alunos, a Editora McGraw-Hill decidiu relançar a edição clássica do texto *Circuitos Elétricos*, do Professor Edminister.

De fato, conforme nos foi colocado por diversos professores, esta "edição clássica" adapta-se muito bem aos planos curriculares da disciplina Circuitos Elétricos na grande maioria das universidades brasileiras. Além disso, o texto permite que o aluno adquira um real domínio desta disciplina tão essencial e condicionante para os cursos de Engenharia Elétrica, Eletrônica, Telecomunicações e outros.

Na revisão efetuada, foram eliminados erros de simbologia e notações gráficas e alguns parágrafos foram reescritos objetivando uma melhor clareza do assunto quanto à solução apresentada na tradução original.

Assim sendo, para a disciplina Circuitos Elétricos teremos à disposição dos professores e alunos a Edição Clássica revisada e a 2ª edição, publicada em 1985. Cada qual assumindo sua função e adequação aos currículos vigentes.

Esperamos ter alcançado nosso objetivo: oferecer ao corpo docente e discente da disciplina dois textos que se adaptam muito bem aos currículos e à necessidade incontestável de um ensino efetivo desta disciplina.

is à

**Milton Mira de Assumpção Filho**  
Diretor Geral



MAKRON  
Books



Prefácio.....

**Capítulo 1** **DEFIN**  
Unidad  
Corrent  
Resistêr

**Capítulo 2** **VALOR**  
Formas  
efetivo.  
co-senoi

**Capítulo 3** **CORRE**  
Introduç  
Ângulo c

**Capítulo 4** **NÚMER**  
Número:  
Outras ft  
complexo  
de númei  
números  
polar par

**Capítulo 5** **IMPEDÂ**  
Introduçã

SENAI/ORIAM

Registro: 502 - A. 3  
Data: 16/Jul/2004  
Origem: CEM/MA - RD

NÚCLEO DE INFORMAÇÃO TECNOLÓGICA



MAKRON  
Books

## SUMÁRIO

<b>Prefácio</b> .....	XI
<b>Capítulo 1</b> <b>DEFINIÇÕES E PARÂMETROS DE CIRCUITOS</b> .....	1
Unidades mecânicas. Lei de Coulomb. Diferença de potencial $v$ . Corrente $i$ . Potência $p$ . Energia $\omega$ . Resistor, indutor, capacitor. Resistência $R$ . Indutância $L$ . Capacitância $C$ . Leis de Kirchhoff.	
<b>Capítulo 2</b> <b>VALORES MÉDIO E EFICAZ</b> .....	36
Formas de ondas. Valor médio. Valor médio quadrático eficaz ou efetivo. Valor eficaz ou efetivo de vários termos senoidais e co-senoidais. Fator de forma.	
<b>Capítulo 3</b> <b>CORRENTE E TENSÃO SENOIDAIS</b> .....	54
Introdução. Correntes senoidais. Tensões senoidais. Impedância. Ângulo de fase. Circuitos em série e em paralelo.	
<b>Capítulo 4</b> <b>NÚMEROS COMPLEXOS</b> .....	75
Números reais. Números imaginários. Números complexos. Outras formas de números complexos. Conjugado de um número complexo. Soma e diferença de números complexos. Multiplicação de números complexos. Divisão de números complexos. Raízes de números complexos. Logaritmo de um número complexo. Forma polar para forma retangular. Forma retangular para forma polar.	
<b>Capítulo 5</b> <b>IMPEDÂNCIA COMPLEXA E NOTAÇÃO DE FASORES</b> .....	92
Introdução. Impedância complexa. Notação de fasores.	

<b>Capítulo 6</b>	<b>CIRCUITOS EM SÉRIE E EM PARALELO</b> .....	114
	Introdução. Circuito em série. Circuito em paralelo. Circuito em paralelo de dois ramos. Admitância. Conversão Z-Y.	
<b>Capítulo 7</b>	<b>POTÊNCIA E CORREÇÃO DO FATOR DE POTÊNCIA</b> .....	147
	Introdução. Potência em regime estacionário senoidal; potência média ( $P$ ). Potência aparente ( $N$ ). Potência reativa ( $Q$ ). Triângulo das potências. Potência complexa. Correção do fator de potência.	
<b>Capítulo 8</b>	<b>RESSONÂNCIA EM SÉRIE E EM PARALELO</b> .....	176
	Introdução. Ressonância em série. Ressonância em paralelo; circuito <i>RLC</i> puro. Ressonância de um circuito paralelo de dois ramos. Fator de qualidade $Q$ . Lugares geométricos de impedâncias. Lugar geométrico da corrente.	
<b>Capítulo 9</b>	<b>ANÁLISE DE CIRCUITOS PELAS CORRENTES DE MALHA</b> ....	212
	Introdução. Correntes de malha. Escolha das correntes de malha. Número necessário de correntes de malha. Equações das malhas. Matrizes. Soma de matrizes. Multiplicação de matrizes. Inversão. Determinante de uma matriz. Menores e cofatores. Valor de um determinante. Propriedades dos determinantes. Resolução de equações lineares por determinantes; regra de Cramer. O método das matrizes e a análise de circuitos. Impedância no ponto de excitação. Impedância de transferência.	
<b>Capítulo 10</b>	<b>ANÁLISE DE ESTRUTURAS PELAS TENSÕES DOS NÓS</b> .....	255
	Introdução. Tensões dos nós. Número de equações dos nós. Equações dos nós por inspeção. Admitância de entrada (ou no ponto de excitação). Admitância de transferência.	
<b>Capítulo 11</b>	<b>TEOREMAS DE THEVENIN E NORTON</b> .....	289
	Introdução. Teorema de Thevenin. Teorema de Norton. Circuitos equivalentes de Thevenin e Norton.	
<b>Capítulo 12</b>	<b>TEOREMAS GERAIS DE CIRCUITOS</b> .....	321
	Introdução. Transformação $\Delta - Y$ . Teorema da superposição. Teorema da reciprocidade. Teorema da compensação. Teoremas da máxima transferência de potência.	
<b>Capítulo 13</b>	<b>INDUTÂNCIA MÚTUA</b> .....	362
	Introdução. Auto-indutância. Indutância mútua. Coeficiente de acoplamento, $k$ . Análise de circuitos acoplados. Corrente induzida. Regra do ponto - bobinas acopladas. Circuitos equivalentes acoplados condutivamente.	

Capítulo 14

Capítulo 15

Capítulo 16

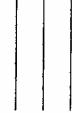
Capítulo 17

ÍNDICE ANAI

..... 114	<b>Capítulo 14 SISTEMAS POLIFÁSICOS</b> .....	396
uito em	Introdução. Sistema bifásico. Sistema trifásico. Tensões do sistema trifásico. Cargas trifásicas equilibradas. Circuito monofásico equivalente para cargas equilibradas. Carga desequilibrada em triângulo. Carga desequilibrada, ligada em estrela, com quatro condutores. Carga desequilibrada, ligada em estrela, com três condutores. Método do deslocamento do neutro, carga desequilibrada em estrela a três condutores. Potência nas cargas trifásicas equilibradas. Wattímetros e cargas em estrela a quatro condutores. Método dos dois wattímetros. Aplicação do método dos dois wattímetros a cargas equilibradas.	
<b>A</b> ..... 147	<b>Capítulo 15 ANÁLISE DE FORMAS DE ONDAS PELO MÉTODO DE FOURIER</b> .....	443
otência	Introdução. Série trigonométrica de Fourier. Série exponencial de Fourier. Simetria das formas de onda. Espectro de linha. Síntese da forma de onda. Valor eficaz e potência. Aplicações na análise de circuitos.	
ângulo	<b>Capítulo 16 TRANSITÓRIOS EM CIRCUITOS</b> .....	490
tência.	Introdução. Transitórios em corrente contínua. Transitório <i>RL</i> . Transitório <i>RC</i> . Carga no transitório <i>RC</i> . Transitório <i>RLC</i> . Transitórios em corrente alternada. Transitório <i>RL</i> senoidal. Transitório <i>RL</i> Senoidal. Transitório <i>RLC</i> senoidal. Transitórios em malha dupla.	
..... 176	<b>Capítulo 17 TRANSITÓRIOS PELO MÉTODO DA TRANSFORMADA DE LAPLACE</b> .....	537
aralelo;	Introdução. A transformada de Laplace. Aplicações na análise de circuitos. Métodos de desenvolvimento. Teorema do valor inicial. Teorema do valor final. Circuitos do domínio <i>S</i> .	
de dois	<b>ÍNDICE ANALÍTICO</b> .....	579
apedân-		
<b>ALHA</b> .... 212		
malha.		
malhas.		
versão.		
r de um		
ção de		
método		
nto de		
<b>ÍNDICES</b> ..... 255		
os nós.		
o (ou no		
..... 289		
Circuitos		
..... 321		
posição.		
emas da		
..... 362		
iente de		
nduzida.		
valentes		



MAKRON  
*Books*



Destin  
como livro-texto  
especial às leis  
encontradas em

A matemática  
teoria e estudo  
juntamente com  
de problemas  
ilustrar e exemplos  
práticos e foca  
com correção e  
propostos servem

Os tópicos  
de formas de  
circuitos em série  
de ressonância  
e dos métodos  
métodos de medição  
medições estreladas  
superposição e  
dosadamente expressando-se o desenvolvimento  
importantes aplicações



MAKRON  
Books

## PREFÁCIO

Destina-se este livro a suplementar os textos existentes ou a servir como livro-texto em curso inicial de análise de circuitos. Deu-se uma ênfase especial às leis básicas, teoremas e técnicas comuns a diferentes apresentações encontradas em outros textos.

A matéria está dividida em capítulos que cobrem áreas essenciais de teoria e estudo. Cada capítulo inicia com definições, princípios e teoremas, juntamente com material ilustrativo e descritivo. Seguem-se séries graduadas de problemas resolvidos e propostos. Os problemas resolvidos servem para ilustrar e ampliar a teoria, apresentar métodos de análise, fornecer exemplos práticos e focalizar os pontos essenciais que possibilitam ao estudante aplicar com correção e segurança os princípios básicos. O grande número de problemas propostos serve para uma revisão completa da matéria de cada capítulo.

Os tópicos tratados incluem respostas de circuito fundamental, análise de formas de ondas, sistemas de números complexos, notação de fasores, circuitos em série e paralelo, potência e correção do fator de potência, fenômenos de ressonância. Considerável uso de matrizes e determinantes é feito ao tratar-se dos métodos de análise das correntes de malha e das tensões nos nós. Os métodos de matriz são também empregados no desenvolvimento das transformações estrela-triângulo e nos teoremas sobre estruturas, tais como os da superposição e da reciprocidade. Os circuitos de acoplamento mútuo são cuidadosamente explicados. Circuitos polifásicos de todos os tipos são considerados, dando-se o devido destaque ao circuito equivalente de uma linha, o qual tem importantes aplicações práticas. As séries de Fourier, exponencial e trigonomé-

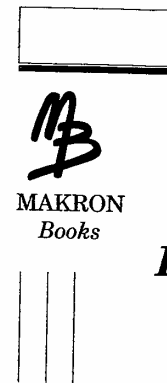
trica são tratadas simultaneamente, convertendo-se freqüentemente os coeficientes de uma nos coeficientes de outra, para mostrar as relações que mantêm entre si. Os transientes de correntes contínua e alternada são tratados através do emprego clássico de equações diferenciais, de forma que este tópico pode proceder a notação de fasores do Capítulo 5, o que é recomendado para aqueles que, possuindo os necessários recursos matemáticos, possam acompanhar esta seqüência. O método da transformada de Laplace é introduzido e aplicado em vários dos problemas tratados no Capítulo 16 pelas equações diferenciais, o que permite uma comparação conveniente entre os dois métodos e ressalta os pontos fortes do método de Laplace.

Desejo aproveitar a oportunidade para expressar minha gratidão à equipe da Schaum Publishing Co., especialmente ao Sr. Nicola Miracapillo, por suas valiosas sugestões e útil colaboração. Muitos agradecimentos são devidos à minha esposa, Nina, por sua assistência constante e estímulo neste empreendimento.

Joseph A. Edminister  
University of Akron

Ao estudante:

- 1) Algumas respostas que envolvem números fracionários poderão diferir em algumas casas decimais. Tal fato se deve à precisão com que os cálculos foram realizados e aos recursos da calculadora eletrônica utilizada. (N.R.)
- 2) Em muitos problemas, ao final dos capítulos, o autor, por uma questão de simplificação, não explicita as unidades; nestes casos, devem ser consideradas as unidades padrões do SI (conforme tabela de unidades dada na página 9). (N.R.)



**Unidades**

A eng  
lizado.\*

Nesse  
de comprimen  
unidade de for  
uma aceleraçã

Força

Segue  
metro, chama  
(1 newton-mct

\* N. R. Uma vez  
qual é, por lei,



MAKRON  
Books

## DEFINIÇÕES E PARÂMETROS DE CIRCUITOS



### Unidades Mecânicas

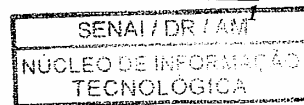
A engenharia elétrica emprega o sistema de unidades MKS racionalizado.\*

Nesse sistema, as unidades mecânicas fundamentais são o metro (m) de comprimento, o quilograma (kg) de massa, e o segundo (s) de tempo. A unidade de força derivada, correspondente, o newton (N), é a força que produz uma aceleração de  $1 \text{ m/s}^2$  na massa de 1 kg.

$$\text{Força (newtons)} = \text{massa (quilogramas)} \times \text{aceleração (m/s}^2\text{)}.$$

Segue-se daí que a unidade MKS de trabalho e de energia é o newton-metro, chamado joule, e que a unidade de potência é o joule/segundo ou watt ( $1 \text{ newton-metro} = 1 \text{ joule}$ ,  $1 \text{ joule/segundo} = 1 \text{ watt}$ ).

\* N. R. Uma versão mais moderna do sistema MKS é o sistema SI (Sistema Internacional), o qual é, por lei, adotado no Brasil.



## Lei de Coulomb

A força  $F$  entre duas cargas puntiformes  $q$  e  $q'$  varia diretamente com a grandeza de cada carga e inversamente com o quadrado da distância  $r$  que as separa:

$$F = k \frac{qq'}{r^2}$$

onde  $k$  é uma constante de proporcionalidade (dimensional) que depende das unidades usadas para cargas, distância e força.  $F$  será dado em newtons (N) se  $q$  e  $q'$  forem em coulombs,  $r$  em metros e

$$k = 9 \times 10^9 \text{ N} \cdot \text{m}^2/\text{C}^2.$$

Se definimos  $k = \frac{1}{4\pi\epsilon_0}$ , teremos  $F = \frac{1}{4\pi\epsilon_0} \frac{qq'}{r^2}$ , onde  $\epsilon_0 = \frac{1}{4\pi k} = 8,85 \times 10^{-12} \text{ C}^2/\text{N} \cdot \text{m}^2$ .

Quando o meio circundante não é o vácuo, as forças ocasionadas pelas cargas induzidas no meio reduzem a força resultante entre as cargas livres mergulhadas no meio. A força resultante será então dada por  $F = \frac{1}{4\pi\epsilon} \frac{qq'}{r^2}$ .

Para o ar,  $\epsilon$  é apenas ligeiramente maior que  $\epsilon_0$  e, para a maioria dos propósitos, é tomado igual a  $\epsilon_0$ . Para os demais materiais, obtém-se  $\epsilon$  de

$$\epsilon = K\epsilon_0$$

onde  $K$  é uma constante adimensional, chamada *constante dielétrica* ou *capacidade indutiva específica* do material entre as cargas,  $\epsilon = K\epsilon_0$  é chamada *permissividade* ou *permissividade* do material e  $\epsilon_0$  é a *permissividade do vácuo*. Para o vácuo,  $K = 1$  e  $\epsilon = \epsilon_0$ .

A unidade de carga, o coulomb, pode ser definida como a quantidade de carga que, colocada a um metro de distância de uma carga igual e do mesmo sinal, no vácuo, repele-a com uma força de  $9 \times 10^9$  newtons. Os submúltiplos mais usados do coulomb são

$$1 \mu\text{C} = 1 \text{ microcoulomb} = 10^{-6} \text{ coulombs}$$

$$1 \text{ pC} = 1 \text{ picocoulomb} = 10^{-12} \text{ coulombs}$$

A carga transportada por um elétron ( $-e$ ) ou por um próton ( $+e$ ) é  $e = 1,602 \times 10^{-19}$  coulombs.

## Diferença

A diferença de potencial necessário à a diferença de potencial de trabalho de 1 joule por unidade de carga entre dois pontos: 1 volt.

Uma diferença de potencial entre os pontos  $a$  e  $b$  por  $q$  volt, ao se mover a carga  $q$  de  $a$  para  $b$ .

Um campo elétrico tem uma força que atua sobre a carga  $q$  para o deslocamento de  $m$  quando o gerador de potencial é de  $V$  volts.

## Corrente

O movimento de um átomo para o outro, o potencial, os elétrons livres.

Quanto maior a razão condutor, razão constante (1A): 1 ampère.

O deslocamento de  $q$  se deslocam o potencial.

## Diferença de Potencial $v$

A diferença de potencial  $v$  entre dois pontos é medida pelo trabalho necessário à transferência da carga unitária de um ponto para o outro. O *volt* é a diferença de potencial (d.d.p.) entre dois pontos quando é necessário o trabalho de 1 joule para a transferência de uma carga de 1 coulomb de um ponto ao outro: 1 volt = 1 joule/coulomb.

Uma carga  $q$  que se desloca entre dois pontos de um circuito externo, entre os quais existe uma diferença de potencial  $v$ , executa um trabalho medido por  $qv$ , ao se deslocar do ponto de potencial mais elevado para o mais baixo.

Um elemento ativo, como, por exemplo, uma bateria ou um gerador, tem uma força eletromotriz (f.e.m.) se ele exerce trabalho sobre uma carga que o atravessa. A carga recebe energia elétrica ao se deslocar do terminal de menor para o de maior potencial. A f.e.m. é medida pela d.d.p. entre os terminais quando o gerador não está debitando ou drenando corrente.

## Corrente $i$

O material que contém elétrons livres, capazes de se deslocarem de um átomo para o seguinte, é um condutor. Aplicando-se nele uma diferença de potencial, os elétrons se deslocam.

Quando uma carga  $q$  está sendo transferida de um ponto para outro de um condutor, existe nele uma corrente elétrica. Se a carga é transferida na razão constante de 1 coulomb/s, a corrente constante existente é 1 ampère (ou 1A): 1 ampère = 1 coulomb/s. Em geral, a corrente instantânea  $i$  num condutor é:

$$i \text{ (ampères)} = \frac{dq \text{ (coulomb)}}{dt \text{ (segundos)}}$$

O sentido da corrente positiva é, por convenção, oposto àquele em que se deslocam os elétrons. Ver Fig. 1-1.

amente com a  
ncia  $r$  que as

depende das  
ewtons (N) se

$$\epsilon_0 = \frac{1}{4\pi k}$$

ionadas pelas  
cargas livres

$$F = \frac{1}{4\pi\epsilon} \frac{qq'}{r^2}$$

os propósitos,

ica ou capaci-  
o é chamada  
ade do vácuo.

quantidade de  
l e do mesmo  
submúltiplos

$$= 1,602 \times 10^{-19}$$

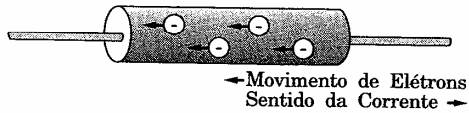


Figura 1-1

**Potência p**

A potência elétrica  $p$  é o produto da tensão aplicada  $v$  pela corrente resultante  $i$ .

$$p \text{ (watt)} = v \text{ (volts)} \times i \text{ (ampères)}$$

Por definição, a corrente positiva tem a direção da seta na fonte de tensão; ela sai da fonte pelo terminal +, como mostra a Fig. 1-2. Quando  $p$  é positivo, a fonte transfere energia para o circuito.

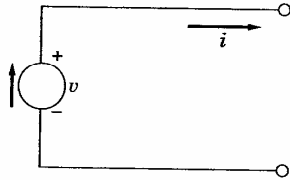


Figura 1-2

Se a potência  $p$  é uma função periódica do tempo  $t$ , de período  $T$ , a *potência média*

$$P = \frac{1}{T} \int_0^T p \, dt$$

**Energia**

Como tempo,

onde  $W$  é a en

**Resistor, i**

Ao se derá por uma

- a
- a
- in
- a
- ca

Na pr terísticas acin predominar, e vada indutânc bobina aprese

**Resistênci**

A dife diretamente pr cionalidade  $R$  ou ohms.

## Energia $\omega$

Como a potência é a taxa de transferência da energia em função do tempo,

$$p = \frac{d\omega}{dt} \quad \text{e} \quad W = \int_{t_1}^{t_2} p \, dt$$

onde  $W$  é a energia transferida durante o intervalo de tempo considerado.

## Resistor, Indutor, Capacitor

Ao se fornecer energia elétrica a um elemento de circuito, ele responderá por uma das seguintes formas:

- a energia é consumida – o elemento de circuito é um *resistor* puro;
- a energia é armazenada num campo magnético – o elemento é um *indutor* puro;
- a energia é armazenada num campo elétrico – o elemento é um *capacitor* puro.

Na prática, um elemento de circuito apresenta mais de uma das características acima e, talvez, todas as três, simultaneamente. Uma delas pode predominar, entretanto. Uma bobina pode ser projetada para apresentar elevada indutância, mas o fio com que é enrolada possui alguma resistência; a bobina apresenta, então, ambas as propriedades.

## Resistência $R$

A diferença de potencial  $v(t)$  entre os terminais de um resistor puro é diretamente proporcional à corrente  $i(t)$  que nele circula. A constante de proporcionalidade  $R$  é chamada *resistência* do resistor e é expressa em volts/ampères ou ohms.

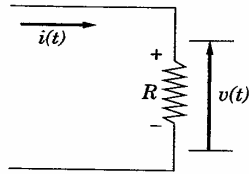


Figura 1-3

$$v(t) = Ri(t) \quad \text{e} \quad i(t) = \frac{v(t)}{R}$$

Nenhuma restrição existe para  $v(t)$  e  $i(t)$ ; podem ser constantes em relação ao tempo, como ocorre nos circuitos de c.c., ou podem ser funções senoidais, co-senoidais etc.

As letras minúsculas ( $v, i, p$ ) em geral indicam funções do tempo. As maiúsculas ( $V, I, P$ ) indicam quantidades constantes; os valores máximos ou "picos" recebem um índice ( $V_m, I_m, P_m$ ).

### Indutância $L$

Quando a corrente em um circuito varia, o fluxo magnético que o envolve também varia. Essa variação de fluxo ocasiona a indução de uma f.e.m.  $v$  no circuito. A f.e.m. induzida  $v$  é proporcional à taxa de variação da corrente em relação ao tempo, desde que a permeabilidade seja constante. A constante de proporcionalidade é chamada *auto-indutância* ou *indutância do circuito*.

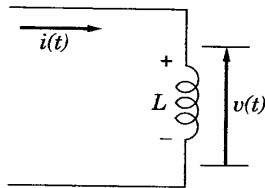


Figura 1-4

Com henrys. A auto-induzida é de

### Capacitância

A diferencial à carga; capacitância

Com farads. Um coulomb por volt. São s

1  $\mu$ F

### Leis de Kirchhoff

1. A soma das tensões que del

$$v(t) = L \frac{di}{dt} \quad \text{donde} \quad i(t) = \frac{1}{L} \int v dt$$

Com  $v$  em volts e  $di/dt$  em ampères/s,  $L$  é expressa em volt/ampère ou *henrys*. A auto-indutância de um circuito é de 1 henry (1 H) se a f.e.m. nele induzida é de 1 volt, quando a corrente varia à razão de 1 ampère/segundo.

## Capacitância $C$

A diferença de potencial  $v$  entre os terminais de um capacitor é proporcional à carga  $q$  nele existente. A constante de proporcionalidade  $C$  é chamada *capacitância* do capacitor.

$$q(t) = C v(t), \quad i = \frac{dq}{dt} = C \frac{dv}{dt}, \quad v(t) = \frac{1}{C} \int i dt$$

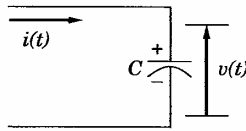


Figura 1-5

Com  $q$  em coulombs e  $v$  em volts,  $C$  é obtida em coulombs/volt ou *farads*. Um capacitor terá a capacitância de 1 farad (1 F) se adquirir a carga de 1 coulomb para cada volt de diferença de potencial aplicada entre seus terminais. São submúltiplos convenientes do farad:

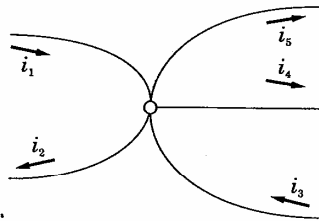
$$1 \mu\text{F} = 1 \text{ microfarad} = 10^{-6} \text{ F} \quad \text{e} \quad 1 \text{ pF} = 1 \text{ picofarad} = 10^{-12} \text{ F}$$

## Leis de Kirchhoff

1. A soma das correntes que chegam a um nó é igual à soma das correntes que dele saem. Se as correntes que se dirigem para um nó são conside-

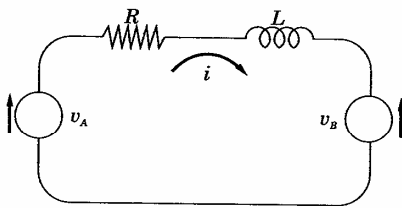
radas positivas, e negativas as que dele se afastam, a lei estabelece que é nula a soma algébrica de todas as correntes que concorrem em um mesmo nó.

2. A soma das elevações de potencial ao longo de qualquer circuito fechado é igual à soma das quedas de potencial nesse mesmo circuito. Em outras palavras, a soma algébrica das diferenças de potencial, ao longo de um circuito fechado, é nula. Se existir mais de uma fonte e os sentidos não forem iguais, será considerada positiva a tensão da fonte cujo sentido coincidir com o admitido para a corrente.



$$\begin{aligned} \Sigma \text{ correntes entrando} &= \\ &= \Sigma \text{ correntes saindo} \\ i_1 + i_3 &= i_2 + i_4 + i_5 \\ i_1 + i_3 - i_2 - i_4 - i_5 &= 0 \end{aligned}$$

Figura 1-6



$$\begin{aligned} \Sigma \text{ elevações de potencial} &= \\ &= \Sigma \text{ quedas de potencial} \\ v_A - v_B &= Ri + L(di/dt) \\ v_A - v_B - Ri - L(di/dt) &= 0 \end{aligned}$$

Figura 1-7

R

**Element**

Resistência

Indutância

Capacitância

**Quantid**

Comprimento

Massa

Tempo

Força

Energia

Potência

1.1 No circui corrente

A soma qualque

$$V = I(2)$$

\* N. R. A unic

estabelece que é  
em um mesmo nó.

circuito fechado é  
feito. Em outras  
ao longo de um  
os sentidos não  
te cujo sentido

### Relações Tensão-Corrente nos Elementos Simples

<i>Elemento</i>	<i>Tensão nos terminais</i>	<i>Corrente</i>
Resistência $R$	$v(t) = R i(t)$	$i(t) = \frac{v(t)}{R}$
Indutância $L$	$v(t) = L \frac{di}{dt}$	$i(t) = \frac{1}{L} \int v dt$
Capacitância $C$	$v(t) = \frac{1}{C} \int i dt$	$i(t) = C \frac{dv}{dt}$

### Unidades nos Sistemas MKS e SI\*

<i>Quantidade</i>	<i>Unidade</i>	<i>Quantidade</i>	<i>Unidade</i>
Comprimento $l$	metro m	Carga $Q, q$	coulomb C
Massa $m$	quilograma kg	Potencial $V, v$	volt V
Tempo $t$	segundo s	Corrente $I, i$	ampère A
Força $F, f$	newton N	Resistência $R$	ohm $\Omega$
Energia $W, w$	joule J	Indutância $L$	henry H
Potência $P, p$	watt W	Capacitância $C$	farad F

### Problemas Resolvidos

- 1.1 No circuito da Fig. 1-8, a tensão constante aplicada é  $V = 45$  volts. Determinar a corrente, a queda de tensão em cada resistor e a potência em cada um.

A soma das elevações de tensão é igual à soma das quedas, ao longo de qualquer circuito fechado; portanto,

$$V = I(2) + I(6) + I(7), 45 = 15I, I = 3 \text{ amp}$$

\* N. R. A unidade de frequência ( $f$ ) é o hertz, o qual simbolizaremos por Hz.

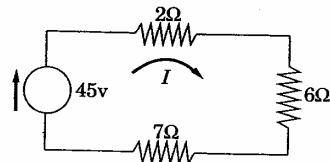


Figura 1-8

A queda de tensão no resistor de 2 ohms é  $V_2 = IR_2 = 3(2) = 6$  volts. Da mesma maneira,  $V_6 = 3(6) = 18$  volts e  $V_7 = 21$  volts.

A potência no resistor de 2 ohms é  $P_2 = V_2I = 6(3) = 18$  watts ou  $P_2 = R_2I^2 = (2)3^2 = 18$  watts. Do mesmo modo,  $P_6 = V_6I = 54$  watts e  $P_7 = V_7I = 63$  watts.

- 1.2 Uma corrente  $I_T$  divide-se entre dois ramos\* paralelos de resistências  $R_2$  e  $R_1$ , respectivamente, como mostra a Fig. 1-9. Deduzir as expressões das correntes  $I_1$  e  $I_2$ , nos ramos paralelos.

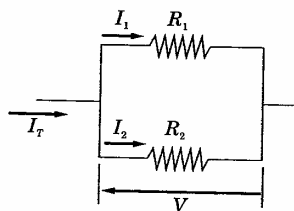


Figura 1-9

$$I_T = I_1 + I_2 = \frac{V}{R_1} + \frac{V}{R_2} = V \left( \frac{1}{R_1} + \frac{1}{R_2} \right)$$

$$= R_1 \left( \frac{R_2 + R_1}{R_1 R_2} \right) I_1 = \left( \frac{R_2 + R_1}{R_2} \right) I_1$$

donde,  $i$

- 1.3 Três resis  
uma exp

Suponha:  
respectiv  
a corren

$$i_T(t) = i$$

$$\text{ou } \frac{1}{R_e} =$$

Para o c:

$$\frac{1}{R_e} = \frac{1}{R_1}$$

- 1.4 Duas font  
a Fig. 1-1

\* N. R. Os conceitos de "ramos" e "nós" de um circuito são apresentados à página 160, onde o autor faz um pequeno estudo da topologia de um circuito específico.

donde,  $I_1 = \left( \frac{R_2}{R_1 + R_2} \right) I_T$ . Semelhantemente,  $I_2 = \left( \frac{R_1}{R_1 + R_2} \right)$

- 1.3 Três resistores  $R_1$ ,  $R_2$  e  $R_3$  estão em paralelo, como indica a Fig. 1-10. Deduzir uma expressão para a resistência equivalente  $R_e$  da estrutura.

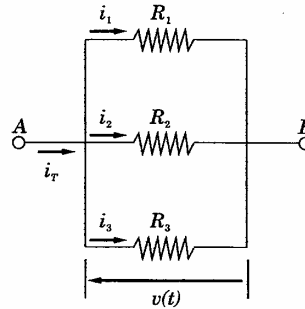


Figura 1-10

Suponhamos uma tensão  $v(t)$  entre  $A$  e  $B$  e chamemos de  $i_1(t)$ ,  $i_2(t)$  e  $i_3(t)$ , respectivamente, as correntes em  $R_1$ ,  $R_2$  e  $R_3$ . A corrente em  $R_e$  deverá ser a corrente total  $i_T(t)$ . Então:  $v(t) = R_1 i_1(t) = R_2 i_2(t) = R_3 i_3(t) = R_e i_T(t)$

$$i_T(t) = i_1(t) + i_2(t) + i_3(t) \text{ ou } \frac{v(t)}{R_e} = \frac{v(t)}{R_1} + \frac{v(t)}{R_2} + \frac{v(t)}{R_3}$$

$$\text{ou } \frac{1}{R_e} = \frac{1}{R_1} + \frac{1}{R_2} + \frac{1}{R_3}$$

Para o caso particular de dois braços em paralelo:

$$\frac{1}{R_e} = \frac{1}{R_1} + \frac{1}{R_2} \text{ ou } R_e = \frac{R_1 R_2}{R_1 + R_2}$$

- 1.4 Duas fontes de tensão constante  $V_A$  e  $V_B$  atuam no mesmo circuito, como mostra a Fig. 1-11. Qual a potência entregue por cada uma?

) = 6 volts. Da

: 18 watts ou  
= 54 watts e

ências  $R_2$  e  $R_1$ ,  
s das correntes

ágina 160, onde o

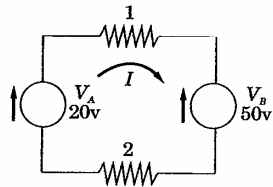


Figura 1-11

A corrente representa produto negativo: a noção fornece

A soma das elevações de potencial é igual à soma das quedas ao longo de um circuito fechado; então:

$$20 - 50 = I(1) + I(2), I = -10 \text{ amp}$$

$$\text{Potência entregue por } V_A = V_A I = 20(-10) = -200 \text{ W.}$$

$$\text{Potência entregue por } V_B = V_B I = 50(10) = 500 \text{ W.}$$

1.5\* No circuito da Fig. 1-12(a) a tensão é  $v(t) = 150 \text{ sen } \omega t$ . Achar a corrente  $i(t)$ , a potência instantânea  $p(t)$  e a potência média  $P$ .

$$i(t) = \frac{1}{R} v(t) = \frac{150}{25} \text{ sen } \omega t = 6 \text{ sen } \omega t \text{ A}$$

$$p(t) = v(t) i(t) = (150 \text{ sen } \omega t) (6 \text{ sen } \omega t) = 900 \text{ sen}^2 \omega t \text{ W}$$

$$P = \frac{1}{\pi} \int_0^\pi 900 \text{ sen}^2 \omega t d(\omega t) = \frac{900}{\pi} \int_0^\pi \frac{1}{2} (1 - \cos 2\omega t) d(\omega t)$$

$$= \frac{900}{2\pi} \left[ \omega t - \frac{1}{2} \text{ sen} 2\omega t \right]_0^\pi = 450 \text{ W}$$

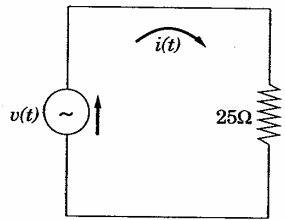


Figura 1-12(a)

1.6 A função Supondo  $v(t)$  e da Como  $v(t)$  máximo Desde que valor mé

\* N. R. Neste problema o autor introduz o parâmetro  $\omega$  (frequência angular), o qual é definido como  $\omega = 2\pi f$  e cuja unidade no SI é o rad/s (radiano por segundo).

A corrente  $i(t)$  está relacionada com a tensão  $v(t)$  pela constante  $R$ . A representação gráfica da potência instantânea poderia ser obtida pelo produto, ponto a ponto, das curvas de  $v$  e  $i$ , como mostra a Fig. 1-12(b). Observe-se que em um mesmo instante,  $v$  e  $i$  são ambas positivas ou negativas; o produto, portanto, será sempre positivo, o que concorda com a noção estabelecida de que, ao circular corrente em um resistor, a fonte fornece energia elétrica.

das ao longo de

a corrente  $i(t)$ , a

$(\omega t)$

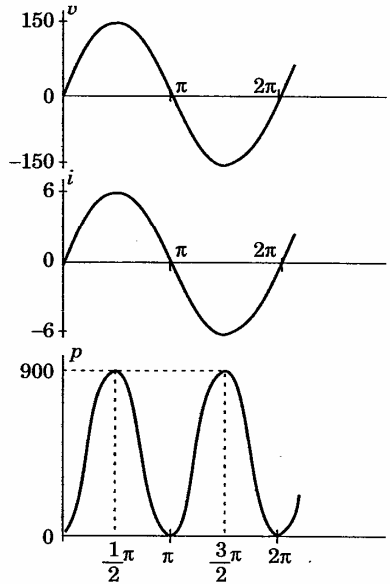


Figura 1-12(b)

1.6 A função corrente mostrada na Fig. 1-13 é uma onda quadrada periódica. Supondo-a circulando num resistor puro de 10 ohms, traçar as curvas da tensão  $v(t)$  e da potência  $p(t)$ .

Como  $v(t) = R i(t)$ , a tensão varia diretamente com a corrente. O valor máximo é  $R i_{\max} = 5(10) = 50$  volts.

Desde que  $p = v i$ , a potência assinalada é um produto ponto por ponto. O valor máximo é  $v_{\max} i_{\max} = 50(5) = 250$  watts.

r), o qual é definido

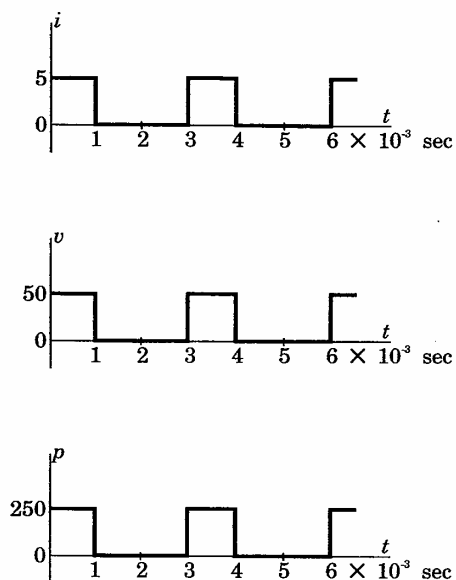


Figura 1-13

1.8 No circui  
ampères  
tensões  
média c

- 1.7 A função corrente representada na Fig. 1-14 é uma onda dente-de-serra que circula em um resistor puro de 5 ohms. Achar  $v(t)$ ,  $p(t)$  e a potência média  $P$ .

Como  $v(t) = R i(t)$ ,  $v_{\max} = R i_{\max} = (5)(10) = 50 \text{ V}$

Quando  $0 < t < 2 \times 10^{-3} \text{ s}$ ,  $i = \frac{10}{2 \times 10^{-3}} t = 5 \times 10^3 t$ .

Então:  $v = Ri = 25 \times 10^3 t$ ,  $p = vi = 125 \times 10^6 t^2$ ,

$$P = \frac{1}{2 \times 10^{-3}} \int_0^{2 \times 10^{-3}} 125 \times 10^6 t^2 dt = 167 \text{ W}$$

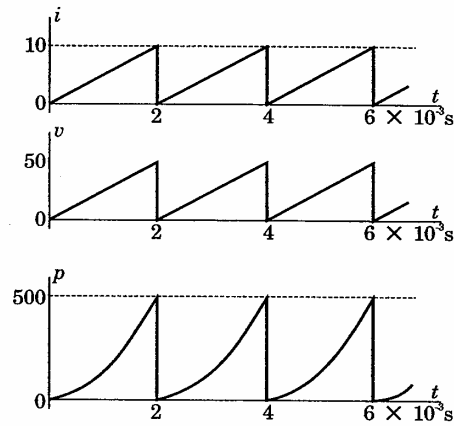


Figura 1-14

- 1.8 No circuito da Fig. 1-15 a corrente no resistor de 5 ohms é  $i(t) = 6 \sin \omega t$  ampères. (a) Determinar a corrente nos resistores de 15 e de 10 ohms e as tensões entre  $a$  e  $b$  e entre  $b$  e  $c$ . (b) Calcular a tensão instantânea e a potência média consumida em cada resistor.

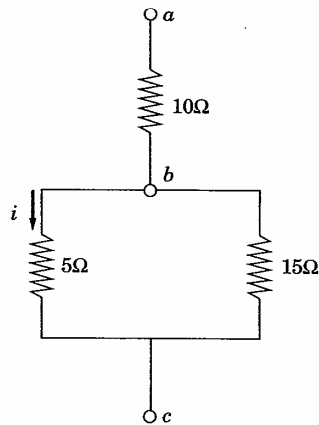


Figura 1-15

nte-de-serra que  
cia média  $P$ .

V

(a) A mesma tensão  $v_{bc}$  existe entre os terminais dos resistores de 5 ohms e 15 ohms; então:  $v_{bc} = R_5 i_5 = (5)(6 \text{ sen } \omega t) = 30 \text{ sen } \omega t$  e  $i_{15} = v_{bc}/R_{15} = 2 \text{ sen } \omega t$

Então:  $i_{10} = i_{15} + i_5 = 8 \text{ sen } \omega t,$

e  $v_{ab} = R_{10} i_{10} = 80 \text{ sen } \omega t$

(b) A potência instantânea  $p = vi$ . Portanto:

$p_5 = (30 \text{ sen } \omega t) (6 \text{ sen } \omega t) = 180 \text{ sen}^2 \omega t.$

Da mesma maneira:

$p_{15} = 60 \text{ sen}^2 \omega t$  e  $p_{10} = 640 \text{ sen}^2 \omega t.$

A potência média no resistor de 5 ohms é

$$p_5 = \frac{1}{\pi} \int_0^\pi 180 \text{ sen}^2 \omega t d(\omega t) = \frac{1}{\pi} \int_0^\pi 180 \left[ \frac{1}{2} (1 - \cos 2\omega t) \right] d(\omega t) = 90 \text{ W}$$

Semelhantemente:  $p_{15} = 30 \text{ W}$  e  $p_{10} = 320 \text{ W}.$

1.9 Um resistor puro de 2 ohms tem uma tensão aplicada  $v(t)$  dada por:

$$v(t) = 50 \left[ 1 - \frac{(\omega t)^2}{2!} + \frac{(\omega t)^4}{4!} - \frac{(\omega t)^6}{6!} + \dots \right] \text{ volts}$$

Determinar a corrente e a potência nesse resistor.

O desenvolvimento de  $\cos x$  em série é:

$$\cos x = 1 - \frac{x^2}{2!} + \frac{x^4}{4!} - \frac{x^6}{6!} + \dots$$

Conseqüentemente:  $v(t) = 50 \cos \omega t, i(t) = 25 \cos \omega t, p(t) = 1250 \cos^2 \omega t$  e  $P = 625 \text{ watts}.$

1.10 Uma indutância para  $L = 0,02$  henry tem uma tensão aplicada  $v(t) = 150 \text{ sen } 1000t$ . Determinar a corrente  $i(t)$ , a potência instantânea  $p(t)$  e a potência média  $P$ .

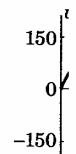
$$i(t) = \frac{1}{L} \int v(t) dt = \frac{1}{0,02} \int 150 \text{ sen } 1000t dt$$

$$= \frac{150}{0,02} \left( \frac{-\cos 1000t}{1000} \right) = -7,5 \cos 1000t \text{ A}$$

$P = v$

$= -5t$

A potêr



1.11 A corer  
cia pur:  
instantâ

A corre

- (1) 0 <
- (2) 2 <
- (3) 4 <
- (4) 6 <
- (5) 8 <

res de 5 ohms e  
 $i/R_{15} = 2 \text{ sen } \omega t$

$$P = vi = -150(7,5) \left( \frac{1}{2} \text{sen } 2000t \right) =$$

$$= -562,5 \text{ sen } 2000t \text{ watts} \left[ \text{sen } x \cos x = \frac{1}{2} \text{sen } 2x \right]$$

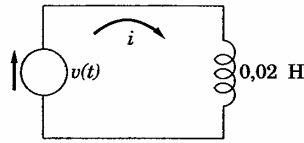


Figura 1-16(a)

A potência média  $P$  é obviamente nula, como se verifica pela Fig. 1-16(b).

$d(\omega t) = 90 \text{ W}$

por:

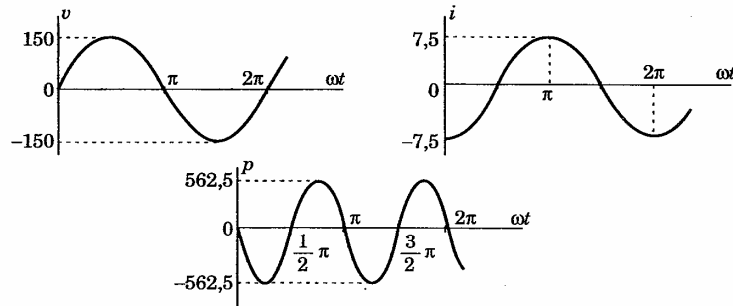


Figura 1-16(b)

$= 1250 \cos^2 \omega t$

a  $v(t) = 150 \text{ sen}$   
 potência média  $P$ .

1.11 A corrente cuja forma de onda é mostrada na Fig. 1-17 circula em uma indutância pura de 3 milihenrys. Determinar e discutir a tensão  $v(t)$  e a potência instantânea  $p(t)$ . Qual a potência média  $P$ ?

A corrente instantânea  $i(t)$  é dada por (ver a Fig. 1-17):

- (1)  $0 < t < 2 \text{ ms}$        $i = 5 \times 10^3 t$
- (2)  $2 < t < 4 \text{ ms}$        $i = 10$
- (3)  $4 < t < 6 \text{ ms}$        $i = 10 - 10 \times 10^3 (t - 4 \times 10^{-3}) = 50 - 10 \times 10^3 t$
- (4)  $6 < t < 8 \text{ ms}$        $i = -10$
- (5)  $8 < t < 10 \text{ ms}$        $i = -10 + 5 \times 10^3 (t - 8 \times 10^{-3}) = -50 + 5 \times 10^3 t$

As tensões correspondentes são:

$$(1) v_L = L \frac{di}{dt} = 3 \times 10^{-3} \frac{d}{dt} (5 \times 10^3 t) = 15 \text{ V}$$

$$(2) v_L = L \frac{di}{dt} = 3 \times 10^{-3} \frac{d}{dt} (10) = 0$$

$$(3) v_L = L \frac{di}{dt} = 3 \times 10^{-3} \frac{d}{dt} (50 - 10 \times 10^3 t) = -30 \text{ V etc.}$$

Os correspondentes valores da potência instantânea são:

$$(1) p = vi = 15(5 \times 10^3 t) = 75 \times 10^3 t \text{ W}$$

$$(2) p = vi = 0(10) = 0 \text{ W}$$

$$(3) p = vi = -30(50 - 10 \times 10^3 t) = -1500 + 300 \times 10^3 t \text{ W etc.}$$

É, evidentemente, nula a potência média  $P$ .

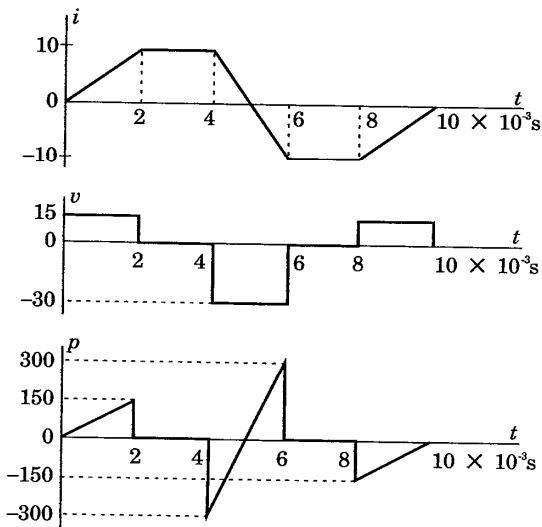


Figura 1-17

1.12 Uma tensão  $v(t)$  é aplicada a duas indutâncias em série,  $L_1$  e  $L_2$ . Determinar a indutância equivalente  $L_e$  que pode substituí-las mantendo a mesma corrente.

Tensão :

donde

1.13 Obter a  $i$  como mo

Suponha paralelo vamente

$$i_T = i_1 +$$

Então,

O inverso ligados e paralelo.

Tensão aplicada = queda em  $L_1$  + queda em  $L_2$

$$v(t) = L_e \frac{di}{dt} = L_1 \frac{di}{dt} + L_2 \frac{di}{dt}$$

donde  $L_e = L_1 + L_2$ .

etc.

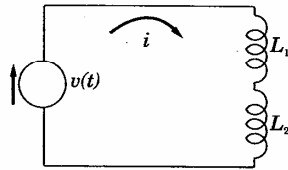


Figura 1-18

W etc.

- 1.13 Obter a indutância equivalente,  $L_e$ , de duas indutâncias  $L_1$  e  $L_2$  em paralelo, como mostra a Fig. 1-19.

Suponhamos que existe uma tensão  $v(t)$  nos terminais da combinação em paralelo e admitamos que  $i_1$  e  $i_2$  sejam as correntes em  $L_1$  e  $L_2$ , respectivamente. Como a corrente total  $i_T$  é a soma das correntes nos ramos,

$$i_T = i_1 + i_2 \text{ ou } \frac{1}{L_e} \int v dt = \frac{1}{L_1} \int v dt + \frac{1}{L_2} \int v dt$$

$$\text{Então, } \frac{1}{L_e} = \frac{1}{L_1} + \frac{1}{L_2} \text{ ou } L_e = \frac{L_1 L_2}{L_1 + L_2}$$

O inverso da indutância equivalente de qualquer número de indutores ligados em paralelo é a soma dos inversos das indutâncias individuais em paralelo.

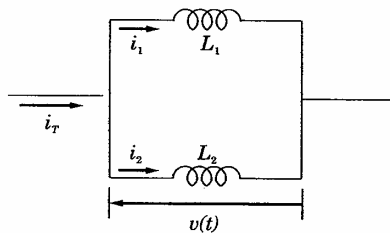


Figura 1-19

$L_2$ . Determinar a mesma corrente.

1.14 Três indutâncias puras estão ligadas, como mostra a Fig. 1-20. Qual a indutância equivalente ao conjunto?

Indutância equivalente à combinação em paralelo:

$$L_p = \frac{L_1 L_2}{L_1 + L_2} = \frac{(0,3)(0,6)}{0,3 + 0,6} = 0,2 \text{ H.}$$

Indutância equivalente total pedida:  $L_e = 0,2 + L_p = 0,4 \text{ H.}$

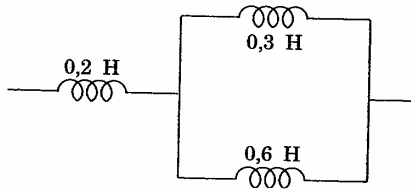


Figura 1-20

1.15 Em um indutor puro a corrente é  $i(t) = I_m \text{ sen } \omega t$ . Deduzir e discutir a função energia  $w(t)$ , supondo que a energia armazenada no campo magnético seja zero no instante  $t = 0$ .

$$v(t) = L \frac{d}{dt} (I_m \text{ sen } \omega t) = \omega L I_m \cos \omega t$$

$$p(t) = vi = \omega L I_m^2 \text{ sen } \omega t \cos \omega t = \frac{1}{2} \omega L I_m^2 \text{ sen } 2\omega t$$

$$w(t) = \int_0^t \frac{1}{2} \omega L I_m^2 \text{ sen } 2\omega t \, dt = \frac{1}{4} L I_m^2 [-\cos 2\omega t + 1] = \frac{1}{2} L I_m^2 \text{ sen}^2 \omega t$$

Em  $\omega t = \pi/2, 3\pi/2, 5\pi/2$  etc., a energia armazenada é máxima e igual a  $\frac{1}{2} L I_m^2$ . Em  $\omega t = 0, \pi, 2\pi, 3\pi$  etc., a energia armazenada é nula. Ver Fig. 1-21.



Quando  $i$  energia a energia r tor puro 1 uma ener

1.16 Considere: Obter a cor campo elé

$$i(t) =$$

$$p(t) =$$

$$q(t) =$$

$$w(t) =$$

Qual a indutância

I.

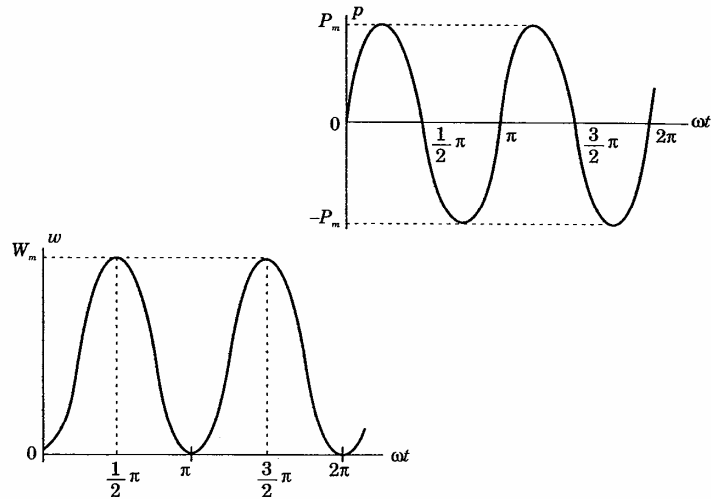


Figura 1-21

discutir a função  
agnético seja zero

Quando  $p(t)$  é positiva, o fluxo de energia é dirigido para a carga e a energia armazenada para a fonte aumenta. Quando  $p(t)$  é negativa, a energia retorna do campo magnético do indutor para a fonte. Num indutor puro não há consumo de energia. A potência média é zero e não há uma energia transferida resultante.

- 1.16 Consideremos um capacitor puro ao qual é aplicada uma tensão  $v(t) = V_m \sin \omega t$ . Obter a corrente  $i(t)$ , a potência  $p(t)$ , a carga  $q(t)$  e a energia  $w(t)$ , armazenada no campo elétrico, admitindo  $w(t) = 0$ , quando  $t = 0$ .

$$i(t) = C \, dv/dt = \omega C V_m \cos \omega t \text{ ampères}$$

$$p(t) = vi = \frac{1}{2} \omega C V_m^2 \sin 2\omega t \text{ watts}$$

$$q(t) = Cv = C V_m \sin \omega t \text{ coulombs}$$

$$w(t) = \int_0^t p \, dt = \frac{1}{4} C V_m^2 (1 - \cos 2\omega t) = \frac{1}{2} C V_m^2 \sin^2 \omega t$$

$$: \frac{1}{2} L I_m^2 \sin^2 \omega t$$

. máxima e igual a

. Ver Fig. 1-21.

Quando  $\omega t = \pi/2, 3\pi/2, 5\pi/2$  etc., a energia armazenada é máxima e igual a  $\frac{1}{2} CV_m^2$ . Quando  $\omega t = 0, \pi, 2\pi, 3\pi$  etc., a energia armazenada é nula. Ver Fig. 1-22.

Quando  $p(t)$  é positiva, o fluxo de energia se dirige da fonte para o campo elétrico do capacitor e a energia armazenada  $w(t)$  cresce. Quando  $p(t)$  é negativa, a energia armazenada está retornando à fonte. A potência média  $P$  é nula e não há energia resultante transferida.

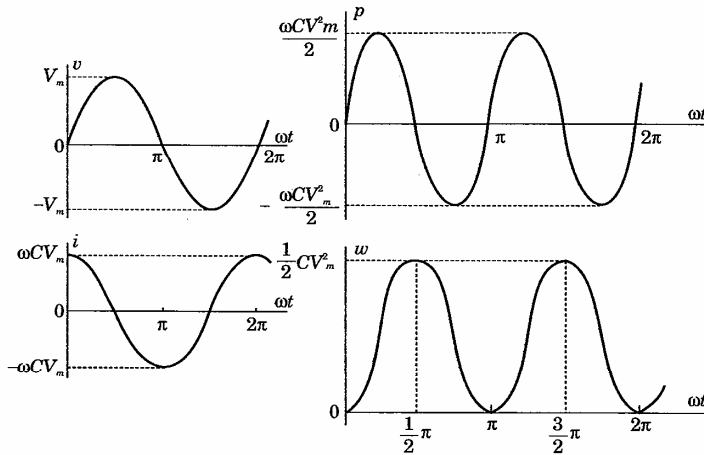


Figura 1-22

1.17 Determinar a capacitância equivalente,  $C_e$ , da combinação em paralelo dos dois capacitores  $C_1$  e  $C_2$ , como mostra a Fig. 1-23.

Admitimos a tensão  $v(t)$  aplicada à combinação em paralelo e que  $i_1$  e  $i_2$  sejam, respectivamente, as correntes em  $C_1$  e  $C_2$ . Supondo  $i_T$  a corrente total, temos:

$$i_T = i_1 + i_2 \quad \text{ou} \quad C_e \frac{d}{dt} v(t) =$$

$$= C_1 \frac{d}{dt} v(t) + C_2 \frac{d}{dt} v(t)$$

ou  $C_e$   
A capac  
em par

1.18 Determinar a capacitância equivalente,  $C_e$ , da combinação em paralelo dos dois capacitores  $C_1$  e  $C_2$ , como mostra a Fig. 1-23.

Supondo

Tensão :

$$\frac{1}{C_e} \int i(t)$$

Então:

O inverso da capacitância equivalente é a soma dos inversos das capacitâncias individuais.

máxima e igual  
nada é nula. Ver

ite para o campo  
e. Quando  $p(t)$  é  
nte. A potência

ou  $C_e = C_1 + C_2$

A capacitância equivalente à de qualquer número de capacitores ligados em paralelo é a soma de suas capacitâncias individuais.

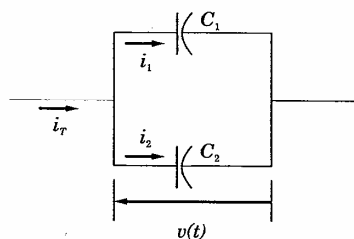


Figura 1-23

- 1.18 Determinar a capacitância  $C_e$  equivalente à combinação em série dos dois capacitores  $C_1$  e  $C_2$ , mostrados na Fig. 1-24.

Supondo uma tensão aplicada ao circuito em série, vem:

Tensão aplicada = queda em  $C_1$  + queda  $C_2$

$$\frac{1}{C_e} \int i(t) dt = \frac{1}{C_1} \int i(t) dt + \frac{1}{C_2} \int i(t) dt$$

Então:  $\frac{1}{C_e} = \frac{1}{C_1} + \frac{1}{C_2}$  ou  $C_e = \frac{C_1 C_2}{C_1 + C_2}$

O inverso da capacitância equivalente de qualquer número de capacitores associados em série é igual à soma dos inversos das capacitâncias individuais.

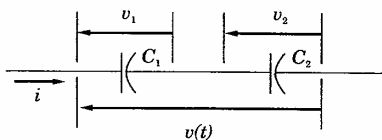
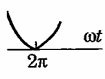
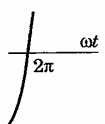


Figura 1-24



m paralelo dos dois

alelo e que  $i_1$  e  $i_2$   
ndo  $i_T$  a corrente

- 1.19 Calcular a capacitância equivalente da combinação de capacitores mostrada na Fig. 1-25.

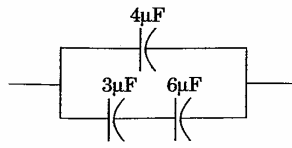
(2)  $1 < t$ .

Figura 1-25

Capacitância equivalente do ramo em série:

$$C_s = \frac{C_1 C_2}{C_1 + C_2} = \frac{3(6)}{3 + 6} = 2 \mu\text{F}$$

A capacitância equivalente total é:

$$C_e = 4 + C_s = 6 \mu\text{F} = 6 \times 10^{-6} \text{ farads}$$

- 1.20 No circuito em série da Fig. 1-26 circula a corrente  $i(t)$  ali mostrada. Calcular a tensão nos terminais de cada elemento e discutir cada uma, referindo-a à mesma escala de tempo. Discutir também a carga  $q(t)$  no capacitor.

No resistor:  $v_R = Ri$ . A forma de onda de  $v_R$  é idêntica à da corrente  $i$  com o valor de pico de  $2 \times 10 = 20$  volts.

No indutor:  $v_L = L di/dt$

$$(1) 0 < t < 1 \text{ ms} \quad i = 10 \times 10^3 t$$

$$v_L = (2 \times 10^{-3})(10 \times 10^3) = 20$$

$$(2) 1 < t < 2 \text{ ms} \quad i = 10$$

$$v_L = (2 \times 10^{-3})(0) = 0$$

No capacitor:  $v_C = \frac{1}{C} \int i dt$

$$(1) 0 < t < 1 \text{ ms} \quad v_C = \frac{1}{500 \times 10^{-6}} \int_0^t (10 \times 10^3 t) dt = 10 \times 10^6 t^2$$

A curva  
Observe  
a carga  
ambas d

ores mostrada na

$$(2) 1 < t < 2 \text{ ms} \quad v_C = 10 + \frac{1}{500 \times 10^{-6}} \int_{10^{-3}}^t (10) dt = 10 + 20 \times 10^3 (t - 10^{-3})$$

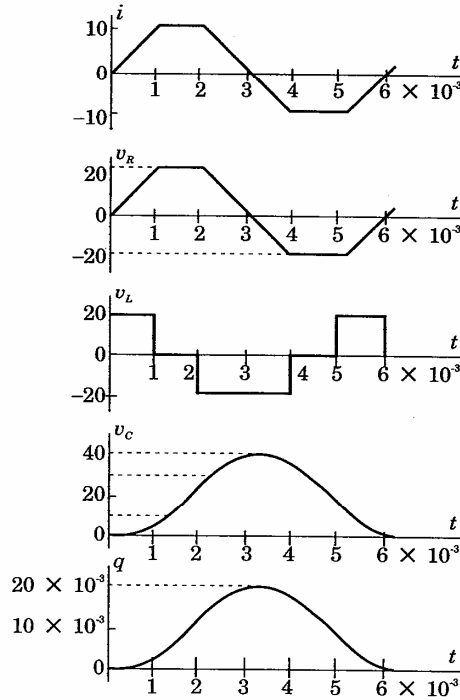
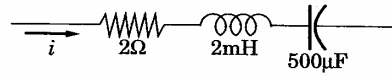


Figura 1-26

A curva de  $q$  é obtida facilmente com o auxílio da relação  $q = C v_C$ . Observe-se que, quando  $i$  é positiva,  $q$  e  $v_C$  aumentam, isto é, aumentam a carga no capacitor e a tensão nos seus terminais. Quando  $i$  é negativa, ambas diminuem.

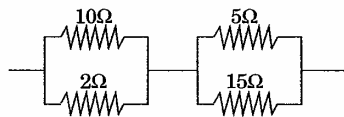
$$= 10 \times 10^6 t^2$$

**Problemas Propostos**

**1.21** Três resistores  $R_1$ ,  $R_2$  e  $R_3$  estão em série com uma tensão constante  $V$ . A tensão em  $R_1$  é 20 volts, a potência em  $R_2$  é 25 watts e  $R_3$  é de 2 ohms. Calcular a tensão  $V$ , sendo a corrente 5 ampères.  
 Resp.: 35 volts.

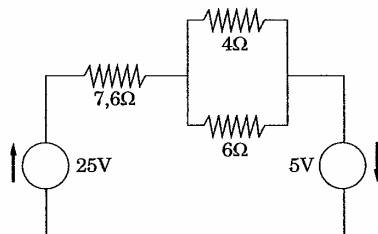
**1.22** A resistência equivalente de dois resistores  $R_1$  e  $R_2$  em paralelo é  $10/3$  ohms. A corrente que penetra no circuito paralelo divide-se entre os dois na proporção de 2 para 1. Determinar  $R_1$  e  $R_2$ .  
 Resp.:  $R_1 = 5$  ohms,  $R_2 = 10$  ohms.

**1.23** (a) Determinar  $R_e$  para os quatro resistores do circuito mostrado na Fig. 1-27. (b) Se for aplicada uma tensão  $V = 100$  volts, que resistor consome maior potência?  
 Resp.: (a)  $R_e = 5,42$  ohms; (b) O resistor de 5 ohms, sendo  $P = 957$  watts.



**Figura 1-27**

**1.24** Duas fontes de tensão constante atuam no circuito representado na Fig. 1-28. Determinar a potência  $P$  que cada fonte fornece ao circuito.  
 Resp.:  $P_{25} = 75$  watts,  $P_5 = 15$  watts.



**Figura 1-28**

**1.25** Sendo de 14 ampères a corrente no resistor de 5 ohms da Fig. 1-29, determinar a tensão constante  $V$ .  
 Resp.: 126 volts.

**1.26** Qual o va da Fig. 1-  
 Resp.: 13

**1.27** Determina queda de  
 Resp.: 4,7

o constante  $V$ . A  $R_3$  é de 2 ohms.

lo é  $10/3$  ohms. A s na proporção de

o na Fig. 1-27. (b) e maior potência?

= 957 watts.

tado na Fig. 1-28.

j. 1-29, determinar

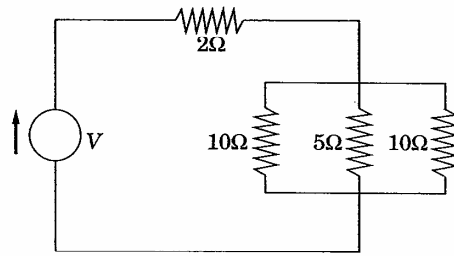


Figura 1-29

- 1.26 Qual o valor da corrente fornecida pela fonte de 50 volts ao circuito de resistores da Fig. 1-3?  
*Resp.: 13,7 ampères.*

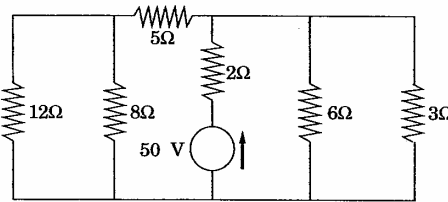


Figura 1-30

- 1.27 Determinar o valor da resistência  $R$  da Fig. 1-31, admitindo-se de 25 volts a queda de potencial na mesma.  
*Resp.: 4,76 ohms.*

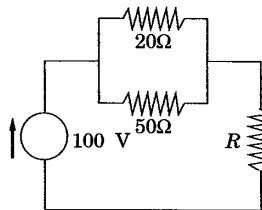


Figura 1-31

- 1.28 Para que valor em ohms deve estar ajustado o resistor variável mostrado na Fig. 1-32 para que a potência no resistor de 5 ohms seja de 20 watts?  
 Resp.: 16 ohms.

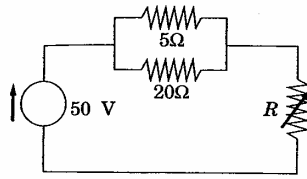


Figura 1-32

- 1.29 Um resistor de 10 ohms está em série com uma associação paralela de dois resistores de 15 e 5 ohms. Sendo 6 ampères a corrente constante no resistor de 5 ohms, qual a potência total nos três resistores?  
 Resp.: 880 watts.
- 1.30 As indutâncias  $L_1$  e  $L_2$  da Fig. 1-33 estão na relação de 2 para 1. Sendo 0,7 H o valor da indutância equivalente ao conjunto das três, quais os valores de  $L_1$  e  $L_2$ ?  
 Resp.:  $L_1 = 0,6$  H;  $L_2 = 0,3$  H.

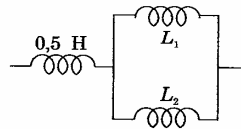


Figura 1-33

- 1.31 As três indutâncias em paralelo na Fig. 1-34 têm uma indutância equivalente  $L_e$  de 0,0755 H.  
 (a) Qual o valor de  $L$ ? (b) Haverá um valor para  $L$  que faça  $L_e$  igual a 0,5 H? (c) Qual é o máximo valor de  $L_e$ , na hipótese de que a indutância  $L$  seja ajustável sem limite?  
 Resp.: (a)  $L = 0,1$  H; (b) não; (c) 0,308 H.

- 1.32 Qual o valor da Fig. 1-32?  
 Resp.: C

- 1.33 Uma tensão nos dois terminais finais em paralelo?  
 Resp.: q

- 1.34 Os dois terminais finais em paralelo?  
 Resp.: q

mostrado na Fig. 1-34?

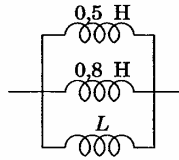


Figura 1-34

- 1.32 Qual o valor de  $C$  que torna a capacitância equivalente dos quatro capacitores da Fig. 1-35 igual a  $0,5 \mu\text{F}$ ?  
 Resp.:  $0,4 \mu\text{F}$ .

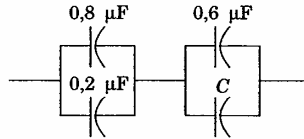


Figura 1-35

- 1.33 Uma tensão de 100 volts, constante, é aplicada à combinação de quatro capacitores mostrada na Fig. 1-36. Determinar a carga  $q$  coulombs em cada capacitor.  
 Resp.:  $q_{0,8} = 40 \mu\text{C}$ ;  $q_{0,2} = 10 \mu\text{C}$ ;  $q_{0,3} = 15 \mu\text{C}$ ;  $q_{0,7} = 35 \mu\text{C}$ .

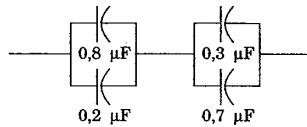


Figura 1-36

- 1.34 Os dois capacitores da Fig. 1-37 são carregados por uma ligação momentânea dos dois terminais  $A$  e  $B$  a uma fonte de tensão constante de 50 volts. Os terminais  $A$  e  $B$  são, então, conectados, depois de retirada a fonte. Qual a carga final em cada capacitor?  
 Resp.:  $q_{20} = 444 \frac{1}{3} \mu\text{C}$ ,  $q_{40} = 888 \frac{2}{3} \mu\text{C}$ .

em paralelo de dois capacitores e um resistor de  $10 \Omega$ .

1. Sendo  $0,7 \text{ H}$  o valor de  $L_1$  e  $L_2$ ?

capacitância equivalente  $L_e$  e a indutância  $L$  seja

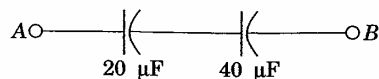


Figura 1-37

1.35 Mostrar que, quando se aplica a uma resistência para  $R$  uma tensão  $v = V_m \text{ sen } \omega t$ , a energia é dada por

$$w = \frac{V_m^2}{2R} \left( \frac{t - \text{sen } 2\omega t}{2\omega} \right).$$

1.36 A corrente numa indutância  $L$  é  $i = I_m [1 - e^{-\frac{R}{L}t}]$ . Mostrar que a energia máxima armazenada no campo magnético,  $W_m$ , é dada por  $W_m = \frac{1}{2} L I_m^2$  ( $i = 0$  para  $t < 0$ .)

1.37 Se a corrente em um capacitor é  $i = \frac{V_m}{R} e^{-\frac{t}{RC}}$ , mostrar que a energia máxima armazenada no campo elétrico é  $W_m = \frac{1}{2} C V_m^2$  ( $i = 0$  para  $t < 0$ .)

1.38 Ao ser fechado o interruptor do circuito  $RC$  da Fig. 1-38, uma energia total de  $3,6 \times 10^{-3}$  joules é dissipada no resistor de 10 ohms. Qual a carga  $q$  inicial existente no capacitor?  
 Resp.:  $q_0 = 120 \mu\text{C}$ .

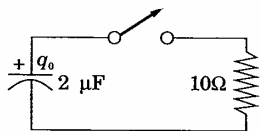


Figura 1-38

1.39 Mostrar que  $\frac{1}{2} C V^2$  e  $\frac{1}{2} L I^2$  possuem as mesmas unidades que a energia  $w$ .

1.40 A forma de onda de tensão mostrada na Fig. 1-39 é aplicada a um capacitor puro de  $60 \mu\text{F}$ . Discutir  $i(t)$ ,  $p(t)$  e determinar  $I_m$  e  $P_m$ .  
 Resp.:  $I_m = 1,5 \text{ A}$ ;  $P_m = 75 \text{ W}$ .

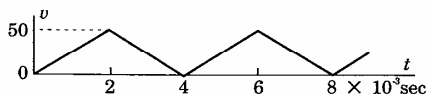
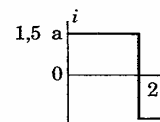


Figura 1-39



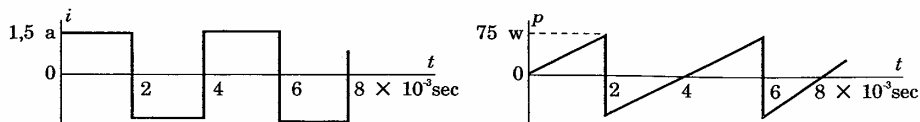
1.41 Se a ten  
 $v = V_m$

Resp.:  $i$

1.42 Uma coi  
 capacitã  
 e  $Q_m$

1.43 A equaç  
 Determi  
 Resp.:  $v$

1.44 A forma  
 1-41. Se  
 máximo  
 Resp.:  $L$



ção  $v = V_m \text{sen } \omega t$ ,

1.41 Se a tensão nos terminais de um capacitor puro é dada por

$$v = V_m \left[ \omega t - \frac{(\omega t)^3}{3!} + \frac{(\omega t)^5}{5!} - \frac{(\omega t)^7}{7!} + \dots \right]$$

a energia máxima

( $i = 0$  para  $t < 0$ .)

Resp.:  $i = \omega C V_m \left[ 1 - \frac{(\omega t)^2}{2!} + \frac{(\omega t)^4}{4!} - \frac{(\omega t)^6}{6!} + \dots \right]$  no  $i = \omega C V_m \cos \omega t$

1.42 Uma corrente com a forma de onda, mostrada na Fig. 1-40, existe em uma capacitância pura  $C = 25 \mu\text{F}$ . Discutir a forma de onda da tensão e determinar  $V_m$  e  $Q_m$ .

a energia máxima

0.)

a energia total de a carga  $q$  inicial

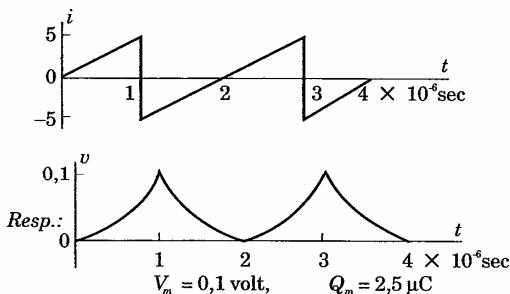


Figura 1-40

1.43 A equação da carga em um capacitor de  $2 \mu\text{F}$  é  $q = 100[1 + e^{-5 \times 10^4 t}] \mu\text{C}$ . Determinar as expressões da tensão e a corrente.

a energia  $\omega$ .

um capacitor puro

Resp.:  $v = 50[1 + e^{-5 \times 10^4 t}]$  volts,  $i = -5e^{-5 \times 10^4 t}$  amp.

1.44 A forma de onda da corrente em uma indutância pura  $L$  é a mostrada na Fig. 1-41. Se a forma de onda da tensão correspondente tem 100 volts para valor máximo, qual o valor de  $L$ ? Discutir a forma de onda da tensão.

Resp.:  $L = 0,5 \text{ H}$ .

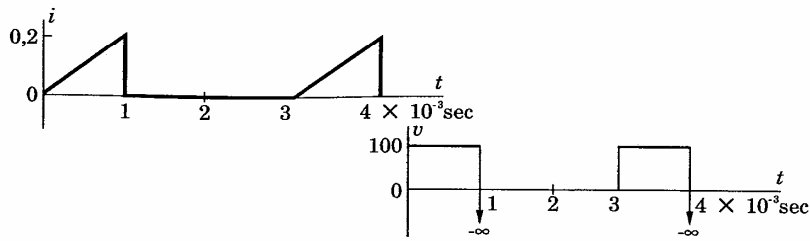


Figura 1-41

Nota. Na realidade, a corrente numa indutância não pode ser uma função descontínua como indica a figura nos instantes  $t = 1 \text{ ms}$  e  $t = 4 \text{ ms}$ . Como a tensão é igual à primeira derivada da função corrente, multiplicada por  $L$ , e essa derivada tem valor infinito negativo nos pontos de descontinuidade, haverá picos negativos infinitos, na forma de onda da tensão, nesses pontos.

- 1.45 A uma indutância pura de  $0,05 \text{ H}$  foi aplicada uma tensão da forma de onda mostrada na Fig. 1-42. Discutir a forma de onda da corrente correspondente e determinar a expressão de  $i$  no primeiro intervalo, isto é,  $0 < t < 2 \text{ ms}$ .

1.47 A forma de onda da corrente em henry é:

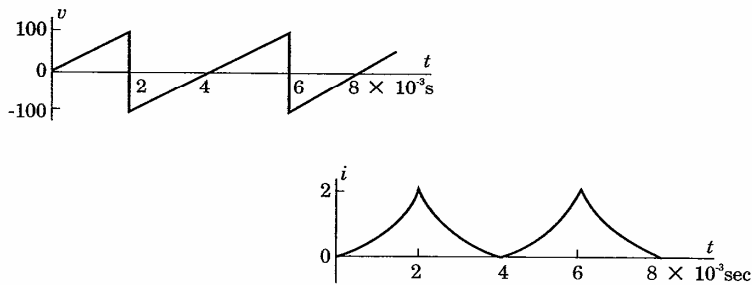


Figura 1-42

- 1.46 A Fig. 1-43 mostra a corrente num circuito série de  $R = 20 \text{ ohms}$  e  $L = 0,1 \text{ henry}$ . Discutir  $v_R$ ,  $v_L$  e sua soma.  
 Resp.: Quando  $0 < t < 0,1 \text{ s}$ :  $v_R = 200e^{-200t}$ ,  $v_L = -200e^{-200t}$ ,  $v_T = 0$ .

1.48 Em um circuito senoidal. Determinar:

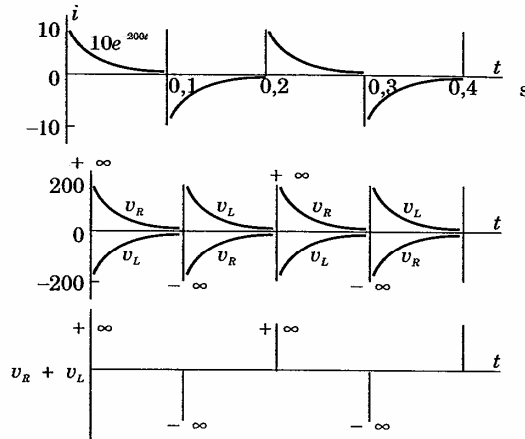


Figura 1-43

- 1.47 A forma de onda da corrente em um circuito série  $RL$  com  $R = 5$  ohms e  $L = 0,004$  henry é a da Fig. 1-44. Representar  $v_R$  e  $v_L$ .

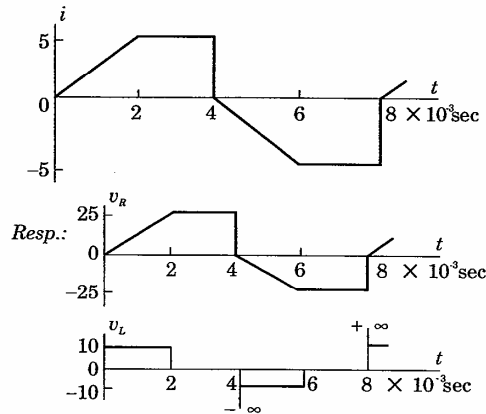


Figura 1-44

- 1.48 Em um circuito série  $RL$  com  $R = 10$  ohms e  $L = 0,5$  henry aplica-se uma tensão senoidal. A corrente resultante é  $i = 0,822 e^{-20t} + 0,822 \text{ sen } (377t - 86,96^\circ)$ . Determinar as tensões correspondentes  $v_R$ ,  $v_L$  e  $v_T$ .

SENAI / DR / AM  
NÚCLEO DE INFORMAÇÃO  
TECNOLOGICA

Resp.:  $v_R = 8,22 e^{-20t} + 8,22 \text{ sen}(377t - 86,96^\circ)$ ;  
 $v_L = -8,22 e^{-20t} + 155 \text{ cos}(377t - 86,96^\circ)$ ;  
 $v_T = 155 \text{ sen } 377t$ .

1.49 A corrente em um circuito série  $RL$  com  $R = 100$  ohms e  $L = 0,05$  henry é a função descrita a seguir. Determinar  $v_R$  e  $v_L$  em cada intervalo.

(1)  $0 < t < 10 \times 10^{-3} \text{ s}, i = 5 [1 - e^{-2000t}]$ .  
 (2)  $10 \times 10^{-3} < t, i = 5 e^{-2000(t - 10 \times 10^{-3})}$ .

Resp.: (1)  $v_R = 500 [1 - e^{-2000t}]$ ,  $v_L = 500 e^{-2000t}$   
 (2)  $v_R = 500 e^{-2000(t - 10 \times 10^{-3})}$ ,  $v_L = -500 e^{-2000(t - 10 \times 10^{-3})}$

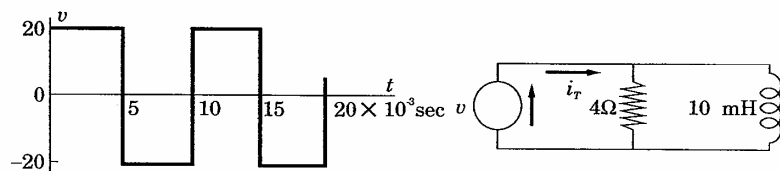
1.50 A corrente em um circuito série  $RC$  é  $i = 10 e^{-500t}$ . Não tendo havido carga inicial no capacitor, após o regime transitório, a carga no capacitor é 0,02 coulombs. Sendo  $V = 100$  volts a tensão aplicada e  $v_C = 100[1 - e^{-500t}]$ , calcular  $C$  e  $v_R$ .

Resp.:  $C = 200 \mu\text{F}$ ;  $v_R = 100 e^{-500t}$ .

1.51 A corrente em um circuito série  $LC$  com  $L = 0,02$  H e  $C = 30 \mu\text{F}$  é  $i = 1,5 \text{ cos } 1000t$ . Determinar a tensão total  $v_T$ .

Resp.:  $v_T = 200 \text{ sen } 1000 t$ .

1.52 A Fig. 1-45 mostra a onda quadrada de tensão que está aplicada ao circuito paralelo  $RL$  ali apresentado. Determinar a corrente total.



Resp.:

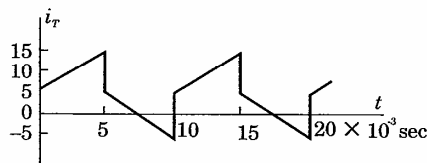


Figura 1-45

1.53 A Fig. 1-46 apresenta a forma de onda de tensão que está aplicada ao circuito paralelo mostrado ali. Determinar a corrente total  $i_T$ .

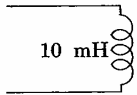
= 0,05 henry é a

$t = 10 \times 10^{-3}$

avido carga inicial  
é 0,02 coulombs.  
calcular  $C$  e  $v_R$ .

$0 \mu\text{F}$  é  $i = 1,5 \cos$

aplicada ao circuito



aplicada ao circuito

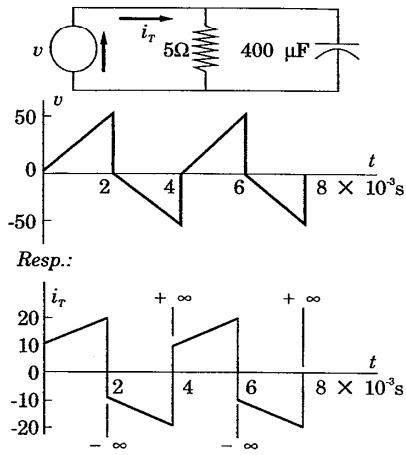
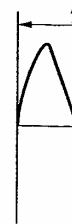


Figura 1-46



MAKRON  
Books

## VALORES MÉDIO E EFICAZ



### Formas de Ondas

As representações gráficas de  $v(t)$ ,  $i(t)$ ,  $p(t)$  etc. são, respectivamente, as formas de ondas da tensão, da corrente e da potência. A introdução à análise dos circuitos encara, apenas, as funções periódicas, isto é, aquelas para as quais  $f(t) = f(t + nT)$ , onde  $n$  é um inteiro e  $T$  é o período, como mostra a Fig. 2-1\*. Se a função for periódica, necessário se torna, pelo menos, a representação de um período para que se possa falar em forma de onda.

As funções tensão e corrente,  $v(t)$  e  $i(t)$ , são expressões matemáticas que podem apresentar-se sob diversos aspectos. Por exemplo, as funções seno e co-seno podem ser expressas por séries infinitas de potências. Deve-se ressaltar que as equações básicas que relacionam tensão e corrente, para os três elementos de circuito, aplicam-se independentemente da forma matemática.

### Valor Médio

A fun

### Valor Médio

Da c  
valor médio  $I$   
corrente cons  
eficaz  $I_{ef}$  (tar  
equivalente a  
cujo valor efic  
dado por

\* N.R. O período  $T$  é definido como  $T = \frac{1}{f}$  e sua unidade é o s (segundo).

O val

## Capítulo 2

CAZ

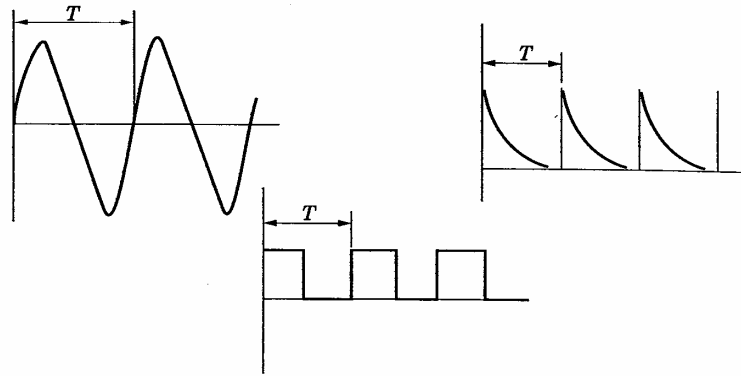


Figura 2-1 Formas de ondas periódicas.

**Valor Médio**

A função periódica geral  $y(t)$ , de período  $T$ , tem para valor médio

$$Y_{\text{med}} = \frac{1}{T} \int_0^T y(t) dt$$

**Valor Médio Quadrático Eficaz ou Efetivo**

Da corrente  $i(t)$  em um resistor puro  $R$  resulta uma potência  $p(t)$  de valor médio  $P$ . Esta mesma potência  $P$  poderia ser produzida em  $R$  por uma corrente constante  $I$ . Diz-se, então, que a corrente  $i(t)$  tem um valor efetivo ou eficaz  $I_{\text{ef}}$  (também se usa *rms*, abrev. de *root mean square*, em vez de *ef*), equivalente a essa corrente constante  $I$ . O mesmo se aplica a funções tensão, cujo valor eficaz é  $V_{\text{ef}}$ . A função geral  $y(t)$ , de período  $T$ , tem um valor eficaz  $Y_{\text{ef}}$  dado por

$$Y_{\text{ef}} = \sqrt{\frac{1}{T} \int_0^T y(t)^2 dt}$$

O valor eficaz das funções  $a \sin \omega t$  é  $a/\sqrt{2}$ . Ver Probl. 2.2.

## Valor Eficaz ou Efetivo de Vários Termos Senoidais e Co-Senoidais

A função  $y(t) = a_0 + (a_1 \cos \omega t + a_2 \cos 2\omega t + \dots) + (b_1 \sin \omega t + b_2 \sin 2\omega t + \dots)$  tem valor eficaz dado por

$$Y_{\text{rms}} = \sqrt{a_0^2 + (A_1^2 + A_2^2 + \dots) + (B_1^2 + B_2^2 + \dots)}$$

Se for o valor eficaz de  $a_1 \cos \omega t$ , então  $A_1 = \frac{a_1}{\sqrt{2}}$ ,  $A_1^2 = \frac{a_1^2}{2}$ , e

$$Y_{\text{rms}} = \sqrt{a_0^2 + \frac{1}{2}(a_1^2 + a_2^2 + \dots) + \frac{1}{2}(b_1^2 + b_2^2 + \dots)}$$

## Fator de Forma

A relação entre o valor eficaz e o valor médio é o fator de forma  $F$  da onda. Ele é útil na geração de tensão e nos fatores de correção dos instrumentos.

$$\text{Fator de Forma} = \frac{Y_{\text{ef}}}{Y_{\text{med}}} = \frac{\sqrt{\frac{1}{T} \int_0^T y(t)^2 dt}}{\frac{1}{T} \int_0^T y(t) dt}$$

As ondas com simetria de meia onda, isto é,  $f(t) = -f(t + \frac{1}{2}T)$ , têm um valor médio nulo, como mostra a Fig. 2-2. Para esses tipos de formas de ondas, das quais a senoidal é um exemplo, o valor médio  $Y_{\text{med}}$  é calculado sobre a metade positiva do período, razão porque, algumas vezes, é chamado de valor médio de meio ciclo.

Outras  
nulo, sem poss  
determinação c  
lhança do que é



oidais e

$$b_2 \sin 2\omega t + \dots)$$

$$= \frac{a_1^2}{2}, e$$

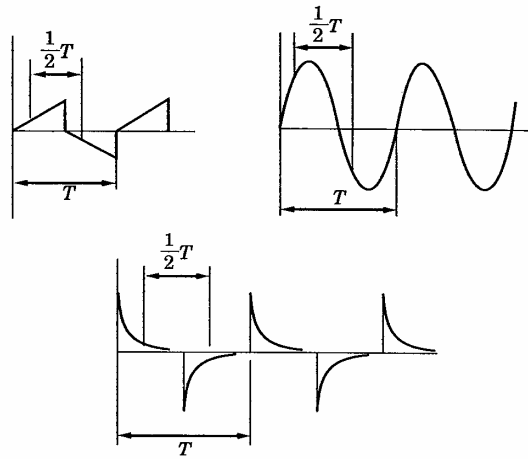


Figura 2-2 Simetria de meia onda.

de forma  $F$  da  
ção dos instru-

Outras formas de ondas, como mostra a Fig. 2-3, podem ter valor médio nulo, sem possuírem simetria de meia onda. Nos cálculos de  $Y_{med}$ , para a determinação do fator de forma dessas ondas, toma-se meio período, à semelhança do que é feito com as ondas de simetria de meia onda.

$t + \frac{1}{2}T$ ), têm um  
formas de ondas,  
alculado sobre a  
hamado de valor

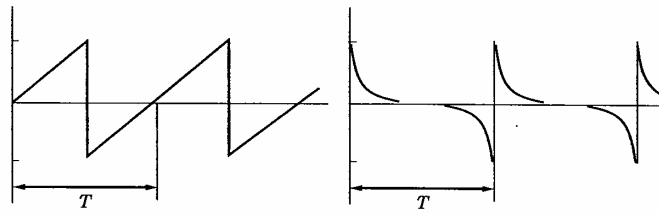


Figura 2-3

**Problemas Resolvidos**

2.1 Em um resistor circulam (a) uma corrente constante  $I$  e (b) uma corrente periódica  $i(t)$  de período  $T$ . Ver Fig. 2-4. Mostrar que a potência média  $P$  é a mesma, em cada caso, se  $I_{ef} = I$ .

Para a corrente constante  $I$ :  $P = VI = RI^2$

Para a corrente periódica  $i(t)$ :  $p = vi = Ri^2$  e  $P = \left(\frac{1}{T} \int_0^T i^2 dt\right) R = RI_{ef}^2$

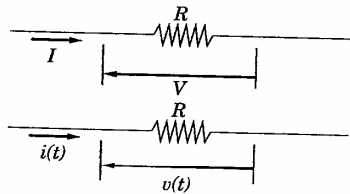


Figura 2-4

2.2 Determinar os valores médio e eficaz da função  $y(t) = Y_m \text{sen } \omega t$ .

O período é  $2\pi$ . A representação gráfica é obtida com  $\omega t$  como variável independente, conforme mostra a Fig. 2-5.

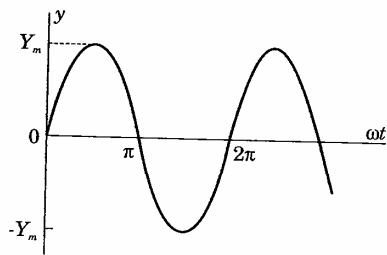


Figura 2-5

$$Y_{med} = \frac{1}{T} \int_0^T y(t) dt = \frac{1}{2\pi} \int_0^{2\pi} Y_m \text{sen } \omega t d(\omega t) = \frac{1}{2\pi} Y_m [-\cos \omega t]_0^{2\pi} = 0$$

$$Y_{ef} = \sqrt{\dots}$$

O valor e vezes o v

2.3 Qual a po corrente  $i$

Como  $p =$

$$P = \frac{1}{\pi} \int_0^\pi \dots$$

Segundo um resist

$$P = I_{ef}^2 R$$

$$= (14,14/\wedge$$

2.4 Calcular o: da na Fig.

Pelo exan então:

$$Y_{ef}^2 = \frac{1}{T} \dots$$

2.5 Determinar cujo primeii

$$Y_{\text{ef}} = \sqrt{\frac{1}{T} \int_0^T y^2 dt} = \sqrt{\frac{1}{2\pi} \int_0^{2\pi} (Y_m \text{sen } \omega t)^2 d(\omega t)} = \frac{Y_m}{\sqrt{2}} = 0,707 Y_m$$

O valor eficaz de uma função senoidal ou co-senoidal pura é  $1/\sqrt{2}$  ou 0,707 vezes o valor máximo.

- 2.3 Qual a potência média  $P$  em uma resistência pura de 10 ohms, onde circula uma corrente  $i(t) = 14,14 \cos \omega t$  ampères?

Como  $p = vi = Ri^2 = 2000 \cos^2 \omega t$  e o período de  $p$  é  $\pi$ , a potência média é

$$P = \frac{1}{\pi} \int_0^{\pi} 2000 \cos^2 \omega t d(\omega t) = 1000 \text{ watts}$$

*Segundo Método.* A potência média, para uma corrente periódica  $i(t)$ , em um resistor puro  $R$ , é

$$P = I_{\text{ef}}^2 R = \left\{ \frac{1}{2\pi} \int_0^{2\pi} (14,14 \cos \omega t)^2 d(\omega t) \right\} 10$$

$$= (14,14/\sqrt{2})^2 (10) = 1000 \text{ watts}$$

- 2.4 Calcular os valores médio e eficaz da forma de onda em dente-de-serra mostrada na Fig. 2-6.

Pelo exame verifica-se que  $Y_{\text{med}} = 25$ . No intervalo  $0 < t < 2$ ,  $y = 25t$ , então:

$$Y_{\text{ef}}^2 = \frac{1}{T} \int_0^T y^2 dt = \frac{1}{2} \int_0^2 625t^2 dt = 834, \text{ donde } Y_{\text{ef}} = 28,9$$

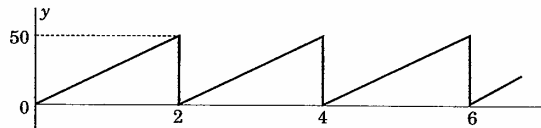


Figura 2-6

- 2.5 Determinar os valores médio e eficaz da forma de onda mostrada na Fig. 2-7, em cujo primeiro intervalo  $y = 10 e^{-200t}$ .

$$Y_{\text{med}} = \frac{1}{T} \int_0^T y \, dt = \frac{1}{0,05} \int_0^{0,05} 10 e^{-200t} \, dt = \frac{10}{0,05(-200)} [e^{-200t}]_0^{0,05}$$

$$= -1[e^{-10} - e^0] = 1,00$$

$$Y_{\text{ef}}^2 = \frac{1}{T} \int_0^T y^2 \, dt = \frac{1}{0,05} \int_0^{0,05} 100 e^{-400t} \, dt = 5,00, \text{ donde } Y_{\text{ef}} = 2,24$$

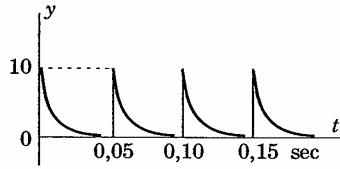


Figura 2-7

2.6 Determinar o fator de forma da onda triangular da Fig. 2-8.

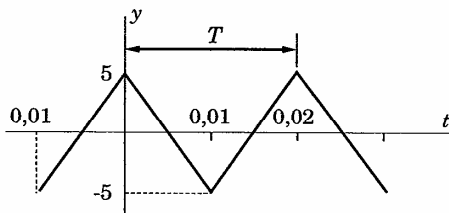


Figura 2-8

$$-0,01 < t < 0: y(t) = 1000t + 5; \overline{y(t)^2} = 10^6 t^2 + 10^4 t + 25$$

$$0 < t < -0,01: y(t) = -1000t + 5; \overline{y(t)^2} = 10^6 t^2 - 10^4 t + 25$$

$$Y_{\text{ef}}^2 = \frac{1}{0,02} \left\{ \int_{-0,01}^0 (10^6 t^2 + 10^4 t + 25) \, dt + \int_0^{0,01} (10^6 t^2 - 10^4 t + 25) \, dt \right\} = 8,33$$

$$Y_{\text{ef}} = 2,89$$

Como a tomado s

$$Y_{\text{med}} = \bar{y}$$

Fator de

2.7 Determina mostrada

Para  $0 <$

$$Y_{\text{med}} = \bar{y}$$

$$Y_{\text{ef}}^2 = \frac{1}{2\pi}$$

2.8 Calcular o ção de on

$$Y_{\text{med}} = \frac{1}{\pi}$$

$$Y_{\text{ef}}^2 = \frac{1}{\pi}$$

$$\int_0^{0,05} e^{-200t} dt$$

$$Y_{ef} = 2,24$$

Como a forma de onda tem simetria de maior onda, o valor médio é tomado sobre o meio ciclo positivo:

$$Y_{med} = \frac{1}{0,01} \left\{ \int_{-0,005}^0 (1000t + 5) dt + \int_0^{0,005} (-1000t + 5) dt \right\} = 2,5$$

$$\text{Fator de forma} = \frac{Y_{ef}}{Y_{med}} = \frac{2,89}{2,5} = 1,16$$

- 2.7 Determinar os valores médio e eficaz da forma de onda senoidal retificada mostrada na Fig. 2-9.

Para  $0 < \omega t < \pi$ ,  $y = Y_m \text{ sen } \omega t$ ; para  $\pi < \omega t < 2\pi$ ,  $y = 0$ . O período é  $2\pi$ .

$$Y_{med} = \frac{1}{2\pi} \left\{ \int_0^\pi Y_m \text{ sen } \omega t d(\omega t) + \int_\pi^{2\pi} 0 d(\omega t) \right\} = 0,318 Y_m$$

$$Y_{ef}^2 = \frac{1}{2\pi} \int_0^\pi (Y_m \text{ sen } \omega t)^2 d(\omega t) = \frac{1}{4} Y_m^2, \quad Y_{ef} = \frac{1}{2} Y_m$$

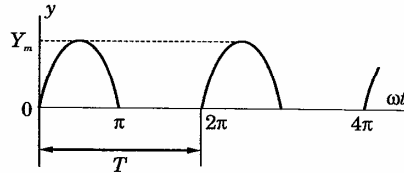


Figura 2-9

- 2.8 Calcular os valores médio e eficaz da onda senoidal que passa por uma retificação de onda completa (Fig. 2-10). O período é  $\pi$ .

$$Y_{med} = \frac{1}{\pi} \int_0^\pi Y_m \text{ sen } \omega t d(\omega t) = 0,637 Y_m$$

$$Y_{ef}^2 = \frac{1}{\pi} \int_0^\pi (Y_m \text{ sen } \omega t)^2 d(\omega t) = \frac{Y_m^2}{2}, \quad Y_{ef} = 0,707 Y_m$$

+ 25

t + 25

$$\left. \begin{aligned} &+ 25) dt \\ & \end{aligned} \right\} = 8,33$$

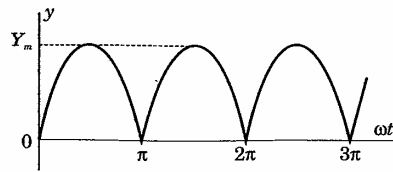


Figura 2-10

2.9 Calcular os valores médio e eficaz da onda quadrada mostrada na Fig. 2.11.  
 Para  $0 < t < 0,01$ ,  $y = 10$ ; para  $0,01 < t < 0,03$ ,  $y = 0$ . O período é 0,03s.

$$Y_{\text{med}} = \frac{1}{0,03} \int_0^{0,01} 10 dt = \frac{10(0,01)}{0,03} = 3,33$$

$$Y_{\text{ef}} = \frac{1}{0,03} \int_0^{0,01} 10^2 dt = 33,3 = 5,77$$

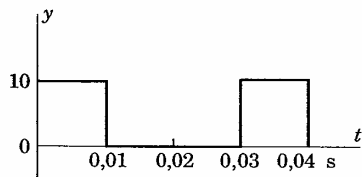


Figura 2-11

2.10 Calcular os valores médio e eficaz da função representada na Fig. 2-12 e descrita como:

$$0 < t < 0,1 \quad y = 20(1 - e^{-100t}); \quad 0,1 < t < 0,2 \quad y = 20 e^{-50(t - 0,1)}$$

$$Y_{\text{ef}}^2 = \frac{1}{0,2} \left\{ \int_0^{0,1} 400(1 - 2e^{-100t} + e^{-200t}) dt + \int_{0,1}^{0,2} 400 e^{-100(t - 0,1)} dt \right\}$$

$$= 2000 \left\{ \left[ t + 0,02 e^{-100t} - 0,005 e^{-200t} \right]_0^{0,1} + \left[ -0,01 e^{-100(t - 0,1)} \right]_{0,1}^{0,2} \right\}$$

$$= 190, \text{ e } Y_{\text{ef}} = 13,78. \text{ (Os termos em } e^{-10} \text{ e } e^{-20} \text{ não têm significação.)}$$

2.11 Determin

$$Y_{\text{ef}}^2 = \frac{1}{2\pi}$$

$$= \frac{1}{2\pi} [2$$

Outro m

2.12 Determin

$$V_{\text{ef}} = \sqrt{\quad}$$

2.13 Uma onç  
 ("clipada"  
 valores m

A funçãc



$$Y_{\text{med}} = \frac{1}{\pi} \left\{ \int_0^{\pi/4} Y_m \text{sen } \omega t \, d(\omega t) + \int_{\pi/4}^{3\pi/4} 0,707 Y_m \, d(\omega t) + \int_{3\pi/4}^{\pi} Y_m \text{sen } \omega t \, d(\omega t) \right\} = 0,54 Y_m$$

$$Y_{\text{ef}}^2 = \frac{1}{\pi} \left\{ \int_0^{\pi/4} (Y_m \text{sen } \omega t)^2 \, d(\omega t) + \int_{\pi/4}^{3\pi/4} (0,707 Y_m)^2 \, d(\omega t) + \int_{3\pi/4}^{\pi} (Y_m \text{sen } \omega t)^2 \, d(\omega t) \right\} = 0,341 Y_m^2, \quad Y_{\text{ef}} = 0,584 Y_m$$

2.14 Uma onda senoidal que apresenta retificação de onda completa com um atraso  $\theta$  tem para valor médio a metade de seu valor máximo, como mostra a Fig. 2-14. Achar o ângulo  $\theta$ .

$$Y_{\text{med}} = \frac{1}{\pi} \int_{\theta}^{\pi} Y_m \text{sen } \omega t \, d(\omega t)$$

$$= \frac{Y_m}{\pi} (-\cos \pi + \cos \theta)$$

Portanto,  $0,5 Y_m = (Y_m/\pi)(1 + \cos \theta)$ ,  $\cos \theta = 0,57$ ,  $\theta = 55,25^\circ$ .

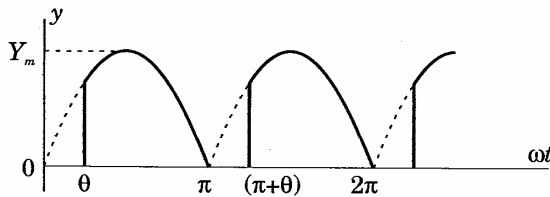


Figura 2-14

2.15 A corrente em um resistor de 2 ohms tem a forma de onda dada no Probl. 2.14, com o valor máximo de 5 ampères. A potência média no resistor é 20 watts. Determinar o ângulo  $\theta$ .

$$P = RI_e^2$$

$$Y_{\text{ef}}^2 = 10$$

$$= \frac{25}{\pi} \left( \frac{\pi}{2} \right)$$

donde  $\text{sen } 2\theta =$

2.16 Um resis valor máx Resp.: (a

2.17 Determin + 10 sen Resp.: 10

2.18 Qual a pc i(t) = 2 + : Resp.: 27

2.19 Calcular ' Resp.: 57

2.20 Calcular ' Resp.: 15

2.21 O valor ei a amplitud Resp.: 35

2.22 Uma cert harmônica máximo d eficaz da cos. Resp.: 15

2.23 Se uma o seu valor Resp.: 12,

$$P = RI_{\text{ef}}^2 = 20 = (2)I_{\text{ef}}^2, I_{\text{ef}}^2 = 10. \text{ Portanto,}$$

$$Y_{\text{ef}}^2 = 10 = \frac{1}{\pi} \int_0^\pi (5 \sin \omega t)^2 d(\omega t) = \frac{25}{\pi} \left[ \frac{\omega t}{2} - \frac{\sin 2\omega t}{4} \right]_0^\pi =$$

$$= \frac{25}{\pi} \left( \frac{\pi}{2} - \frac{\sin 2\pi}{4} - \frac{0}{2} + \frac{\sin 2\theta}{4} \right)$$

donde  $\sin 2\theta = 2\theta - 10\pi/25$   $\theta = 60,5^\circ$  (solução gráfica).

### Problemas Propostos

- 2.16 Um resistor de 25 ohms tem uma potência média de 400 watts. Determinar o valor máximo da corrente, na hipótese de ela ser (a) senoidal, (b) triangular.  
*Resp.:* (a) 5,66 ampères; (b) 6,93 ampères.
- 2.17 Determinar o valor eficaz  $V_{\text{ef}}$  da função tensão dada por  $v(t) = 1000 + 25 \sin 3\omega t + 10 \sin 5 \omega t$ .  
*Resp.:* 101,8 volts.
- 2.18 Qual a potência média em um resistor de 25 ohms no qual circula uma corrente  $i(t) = 2 + 3 \sin \omega t + 2 \sin 2\omega t + 1 \sin 3\omega t$ ?  
*Resp.:* 275 watts.
- 2.19 Calcular  $Y_{\text{ef}}$  para  $y(t) = 50 + 40 \sin \omega t$ .  
*Resp.:* 57,4.
- 2.20 Calcular  $Y_{\text{ef}}$  para  $y(t) = 150 + 50 \sin \omega t + 25 \sin 2\omega t$ .  
*Resp.:* 155,3.
- 2.21 O valor eficaz de  $y(t) = 100 + A \sin \omega t$  é conhecido e igual a 103,1. Determinar a amplitude  $A$  do termo senoidal.  
*Resp.:* 35,5.
- 2.22 Uma certa função contém, em termo constante, um fundamental e em terceiro harmônico. O valor máximo do fundamental é 80% do termo constante e o valor máximo do terceiro harmônico é 50% do termo constante. Sendo 180,3 o valor eficaz da função, determinar a amplitude do termo constante e os dois harmônicos.  
*Resp.:* 150, 120, 75.
- 2.23 Se uma onda senoidal retificada de meia onda tem para valor eficaz 20, qual é seu valor médio?  
*Resp.:* 12,7.

eta com um atraso mostra a Fig. 2-14.

,25°.

$\frac{dt}{dt}$

ada no Probl. 2.14, resistor é 20 watts.

- 2.24 Calcular  $Y_{med}$  e  $Y_{ef}$  para a forma de onda mostrada na Fig. 2-15.  
 Resp.:  $Y_{med} = 40$ ;  $Y_{ef} = 72,1$ .

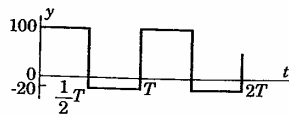


Figura 2-15

- 2.25 Calcular  $Y_{med}$  e  $Y_{ef}$  para a forma de onda mostrada na Fig. 2-16.  
 Resp.:  $Y_{med} = 10$ ;  $Y_{ef} = 52,9$ .

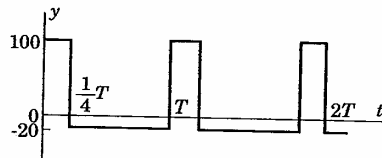


Figura 2-16

- 2-26 Determinar  $Y_{ef}$  para a forma de onda mostrada na Fig. 2-17.  
 Resp.:  $Y_{ef} = 6,67$ .

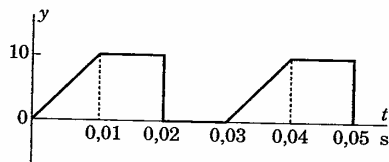


Figura 2-17

- 2.27 Determinar  $Y_{ef}$  para a forma de onda da Fig. 2-18.  
 Resp.:  $Y_{ef} = Y_m / \sqrt{3} = 0,577 Y_m$ .

- 2.28 Determinar  
 Probl. 2.2'

- 2.29 Determinar  
 com o Prol

- 2.30 Determinar  
 período  $T$ ,  
 eficaz mais  
 Resp.: (a) (

15.

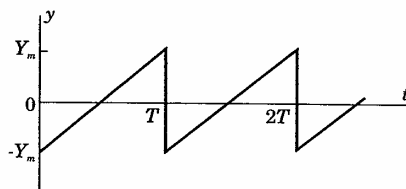


Figura 2-18

16.

- 2.28 Determinar o valor eficaz da forma de onda da Fig. 2-19 e comparar com o Probl. 2.27.

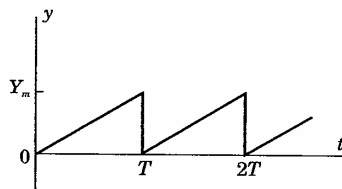


Figura 2-19

- 2.29 Determinar o valor eficaz da forma de onda triangular da Fig. 2-20 e comparar com o Probl. 2.27.

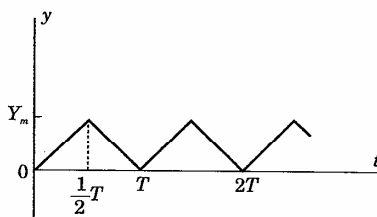


Figura 2-20

- 2.30 Determinar  $k$  na forma de onda mostrada na Fig. 2-21, onde  $k$  é uma fração do período  $T$ , de modo que o valor eficaz seja (a) 2, (b) 5. Variando  $k$ , qual é o valor eficaz mais elevado possível?  
 Resp.: (a) 0,12; (b) 0,75; 5,77 para  $k = 1$ .

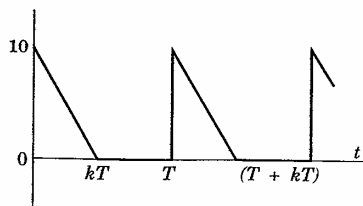


Figura 2-21

2.31 Determinar  $V_{med}$  e  $V_{ef}$  para a forma de onda da Fig. 2.22.  
 Resp.:  $V_{med} = 21,6$ ,  $V_{ef} = 24,75$ .

2.32 Se a função do Probl. 2.31 for descrita, no primeiro intervalo, por (a)  $50e^{-200t}$ , (b)  $50e^{-500t}$ , determinar  $V_{med}$  e  $V_{ef}$ .  
 Resp.: (a)  $V_{med} = 12,25$ ,  $V_{ef} = 17,67$ ;  
 (b)  $V_{med} = 5,0$ ,  $V_{ef} = 11,18$ .

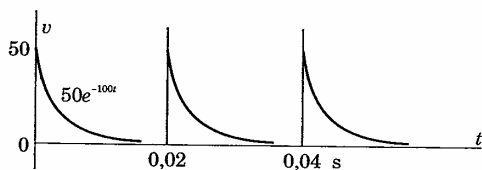


Figura 2-22

2.33 Determinar  $Y_{med}$  e  $Y_{ef}$  para a forma de onda da Fig. 2-23.  
 $0 < t < 0,025$   $y(t) = 400t$   
 $0,025 < t < 0,050$   $y(t) = 10e^{-1000(t - 0,025)}$   
 Resp.:  $Y_{med} = 2,7$ ,  $Y_{ef} = 4,2$ .

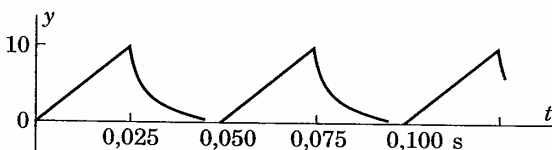


Figura 2-23

2.34 A forma de onda de menor tensão para  $0 < t < 0,01$  e  $0,01 < t < 0,02$ .  
 Resp.:  $Y_{med} = 1,5$

2.35 Determinar a tensão representativa para a forma de onda da Fig. 2-24.  
 Resp.:  $V_{med} = 10$

2.36 Com relação ao ângulo de condução da forma de onda da Fig. 2-25, determinar a tensão representativa.  
 Resp.:  $V_{med} = 10$

2.37 A forma de onda de menor tensão para o ângulo de condução de  $180^\circ$ .  
 Resp.:  $V_{med} = 10$

- 2.34 A forma de onda da Fig. 2-24 é semelhante à do Probl. 2.33, porém com um menor tempo de elevação ("rise time"). Achar  $Y_{med}$  e  $Y_{ef}$ .
- $0 < t < 0,01 \quad y(t) = 1000t$   
 $0,01 < t < 0,05 \quad y(t) = 10e^{-1000(t - 0,01)}$   
 Resp.:  $Y_{med} = 1,2$ ;  $Y_{ef} = 2,77$ .

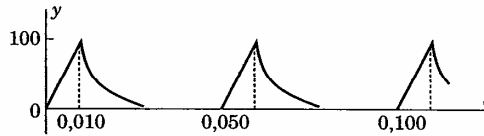


Figura 2-24

- 2.35 Determinar  $V_{med}$  e  $V_{ef}$  da onda de tensão senoidal retificada de meia onda representada na Fig. 2-25, sendo de  $45^\circ$  o ângulo de atraso.  
 Resp.:  $V_{med} = 27,2$  volts;  $V_{ef} = 47,7$  volts.

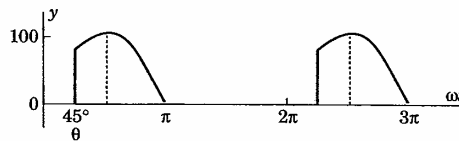


Figura 2-25

- 2.36 Com relação à forma de onda do Probl. 2.35, determinar  $V_{med}$  e  $V_{ef}$ , sendo o ângulo de atraso (a)  $\theta = 90^\circ$ , (b)  $\theta = 135^\circ$ .
- Resp.: (a)  $V_{med} = 15,95$ ;  $V_{ef} = 35,4$ ;  
 (b)  $V_{med} = 4,66$ ;  $V_{ef} = 15,06$ .
- 2.37 A onda senoidal retificada de onda completa, mostrada na Fig. 2-26, tem um ângulo de atraso de  $60^\circ$ . Calcular  $V_{med}$  e  $V_{ef}$  em função de  $V_m$ .  
 Resp.:  $V_{med} = 0,478 V_m$ ;  $V_{ef} = 0,633 V_m$ .

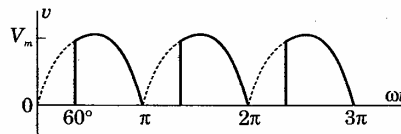


Figura 2-26

- 2.38 Por meio de um circuito de controle é possível variar o ângulo de atraso da forma de onda de corrente mostrada na Fig. 2-27, de modo que o valor eficaz tenha valores compreendidos entre os limites de 2,13 e 7,01 ampères. Determinar os ângulos.  
 Resp.:  $\theta_1 = 135^\circ$ ;  $\theta_2 = 25^\circ$ .

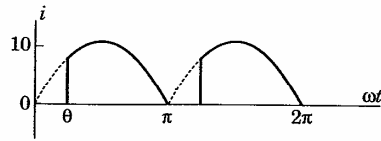


Figura 2-27

- 2.39 Determinar o valor eficaz da onda senoidal completa, retificada, da Fig. 2-28, cortada ("clipada") na metade de seu valor máximo.  
 Resp.:  $V_{ef} = 0,668 Y_m$
- 2.40 Referindo-se à forma de onda do Probl. 2.39, achar o valor eficaz, se a onda é cortada ("clipada") aos  $60^\circ$  ou  $\pi/3$  radianos.  
 Resp.:  $Y_{ef} = 0,668 Y_m$

- 2.42 Calcular trifásico r  
 Resp.:  $V_r$

- 2.43 A forma d.  
 é mostrad  
 Resp.:  $V_m$

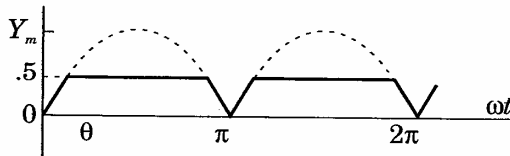


Figura 2-28

- 2.41 Uma onda senoidal retificada é cortada de modo que seu valor eficaz seja 05  $Y_m$ , como mostra a Fig. 2-29. Determinar em que ordenada é cortada a onda.  
 Resp.: 0,581  $Y_m$  ou  $\theta = 35,5^\circ$ .

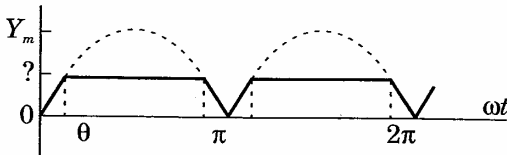


Figura 2-29

- 2.42 Calcular os valores médio e eficaz da forma de onda que resulta de um circuito trifásico retificador de meia onda, como indica a Fig. 2-30.  
 Resp.:  $V_{med} = 0,827 V_m$ ;  $V_{ef} = 0,840 V_m$ .

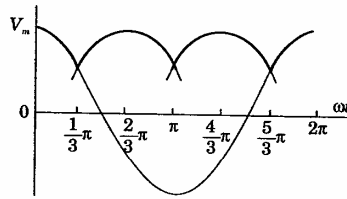


Figura 2-30

- 2.43 A forma de onda que resulta de um circuito hexafásico retificador de meia onda é mostrada na Fig. 2-31. Calcular  $V_{med}$  e  $V_{ef}$ .  
 Resp.:  $V_{med} = 0,955 V_m$ ;  $V_{ef} = 0,956 V_m$ .

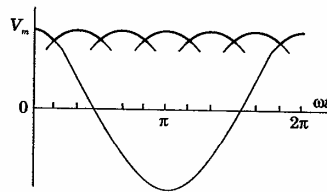


Figura 2-31

SENAI / DR / AM  
 NÚCLEO DE INFORMAÇÃO  
 TECNOLÓGICA



MAKRON  
Books

## CORRENTE E TENSÃO SENOIDAIS

Qua:  
dadas pela T

### Introdução

Quando se aplicam as leis de Kirchhoff a um circuito, resulta, geralmente, uma equação íntegro-diferencial. Os métodos clássicos de resolução de equações diferenciais darão as soluções. Quando tais métodos são usados na obtenção da corrente devida a uma tensão aplicada, a corrente fica dividida em duas partes. Uma parte transiente, isto é, passageira, transitória, durando, geralmente, apenas uma fração de segundo e uma parte correspondente ao regime estacionário, que permanece até que outra causa seja introduzida.

Como em muitos casos o estudante da análise de circuitos ainda não possui desembaraço nas técnicas de equações diferenciais, procuraremos, neste capítulo, estabelecer a parte correspondente ao regime estacionário da solução, sem fazer menção ao regime transitório. Ao leitor que possua conhecimentos sobre equações diferenciais, seria útil, agora, um estudo de como tais métodos se aplicam à análise de circuitos. O Capítulo 16 estuda as equações diferenciais clássicas e dá alguns exemplos, ilustrando as partes transitória e estacionária das soluções.

### Correntes Senoidais

Quando a corrente é senoidal em elementos puros  $R$ ,  $L$  e  $C$ , a tensão nos terminais de cada um é dada pela Tabela 3-1.

Elemento
Resistência
Indutância
Capacitância

Elemento
Resistência
Indutância
Capacitância

**Capítulo 3**

**Tensões Senoidais**

Quando as tensões nos três elementos são senoidais, as correntes são dadas pela Tabela 3-2.

**Tabela 3-1**  
Tensão no Elemento Puro para Corrente Senoidal

<i>Elemento</i>	<i>Tensão para i geral</i>	<i>Tensão para <math>i = I_m \text{ sen } \omega t</math></i>	<i>Tensão para <math>i = I_m \text{ cos } \omega t</math></i>
Resistência <i>R</i>	$v_R = Ri$	$v_R = RI_m \text{ sen } \omega t$	$v_R = RI_m \text{ cos } \omega t$
Indutância <i>L</i>	$v_L = L \frac{di}{dt}$	$v_L = \omega LI_m \text{ cos } \omega t$	$v_L = \omega LI_m (-\text{sen } \omega t)$
Capacitância <i>C</i>	$v_C = \frac{1}{C} \int i dt$	$v_C = \frac{I_m}{\omega C} (-\text{cos } \omega t)$	$v_C = \frac{I_m}{\omega C} \text{ sen } \omega t$

**Tabela 3-2**  
Corrente no Elemento Puro para tensão Senoidal

<i>Elemento</i>	<i>Corrente para v geral</i>	<i>Corrente para <math>v = V_m \text{ sen } \omega t</math></i>	<i>Corrente para <math>v = V_m \text{ cos } \omega t</math></i>
Resistência <i>R</i>	$i_R = \frac{v}{R}$	$i_R = \frac{V_m}{R} \text{ sen } \omega t$	$i_R = \frac{V_m}{R} \text{ cos } \omega t$
Indutância <i>L</i>	$i_L = \frac{1}{L} \int v dt$	$i_L = \frac{V_m}{\omega L} (-\text{cos } \omega t)$	$i_L = \frac{V_m}{\omega L} \text{ sen } \omega t$
Capacitância <i>C</i>	$i_C = C \frac{dv}{dt}$	$i_C = \omega CV_m \text{ cos } \omega t$	$i_C = \omega CV_m (-\text{sen } \omega t)$

to, resulta, gerais de resolução de os são usados na e fica dividida em asitória, durando, correspondente ao introduzida.

ircuitos ainda não ocorreremos, neste onário da solução, nhcimentos sobre métodos se aplicam ciais clássicas e dá das soluções.

R, L e C, a tensão

## Impedância

A impedância de um elemento, de um ramo ou de um circuito completo é a relação entre a tensão e a corrente:

$$\text{Impedância} = \frac{\text{Função tensão}}{\text{Função corrente}}$$

Para tensão e corrente senoidais esta relação terá uma amplitude (módulo) e um ângulo. No Capítulo 5, a impedância é tratada muito mais minuciosamente e o ângulo será, então, considerado. No momento, apenas o módulo da impedância será considerado. O ângulo entre  $v$  e  $i$  é discutido, a seguir, como o ângulo de fase.

## Ângulo de Fase

Se tensão e corrente forem, ambas, funções senoidais do tempo, a representação gráfica de ambas, sobre a mesma escala de tempo, mostrará um deslocamento entre elas, salvo se for o caso de uma resistência pura. Esse deslocamento é o ângulo de fase e nunca excede  $90^\circ$  ou  $\pi/2$  radianos. Por convenção, o ângulo de fase é sempre "o ângulo que a corrente  $i$  faz com a tensão  $v$ ", isto é,  $i$  está avançada de  $90^\circ$ , em relação à  $v$ , num capacitor puro;  $i$  está atrasada de  $45^\circ$  em relação à  $v$ , num circuito  $RL$  série em que  $R$  é igual a  $\omega L$ ;  $i$  está em fase com  $v$  numa resistência pura etc. O resumo a seguir esclarece a impedância e o ângulo de fase.

**Elemento R.** A corrente e a tensão estão em fase, num resistor puro. Ver Fig. 3-1.

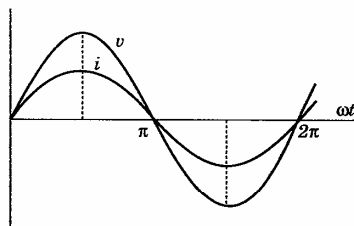


Figura 3-1

O mód  
Elem  
 $\pi/2$  em relaçaç

Elem.  
em relação à t

**RL en**  
Ver Fig. 3-4. O

O módulo da impedância é  $R$ .

**Elemento  $L$ .** Em um indutor puro, a corrente fica atrasada de  $90^\circ$  ou  $\pi/2$  em relação à tensão. Ver Fig. 3-2. O módulo da impedância é  $\omega L$ .

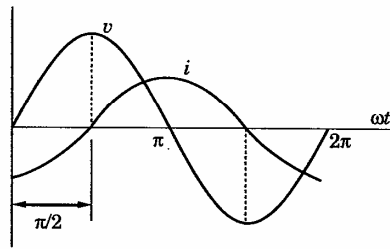


Figura 3-2

**Elemento  $C$ .** No capacitor puro a corrente fica adiantada de  $90^\circ$  ou  $\pi/2$  em relação à tensão. Ver Fig. 3-3. O módulo da impedância é  $1/\omega C$ .

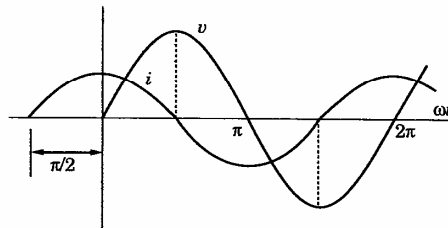


Figura 3-3

**$RL$  em série.** Corrente atrasada de  $\text{arc tg}(\omega L/R)$  em relação à tensão. Ver Fig. 3-4. O módulo da impedância é  $\sqrt{R^2 + (\omega L)^2}$ .

circuito completo

á uma amplitude  
atada muito mais  
omento, apenas o  
e  $i$  é discutido, a

idais do tempo, a  
mpo, mostrará um  
tência pura. Esse  
 $\pi/2$  radianos. Por  
 $i$  faz com a tensão  
acitor puro;  $i$  está  
e  $R$  é igual a  $\omega L$ ;  $i$   
seguir esclarece a

num resistor puro.

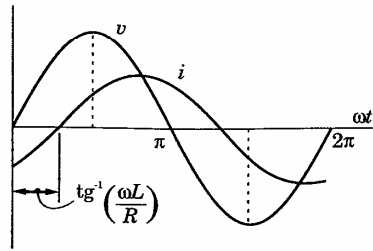


Figura 3-4

**RC em série.** Corrente avançada de arc  $\text{tg}(1/\omega CR)$  em relação à tensão em um circuito RC em série. Ver Fig. 3-5. O módulo da impedância é  $\sqrt{R^2 + (1/\omega CR)^2}$ .

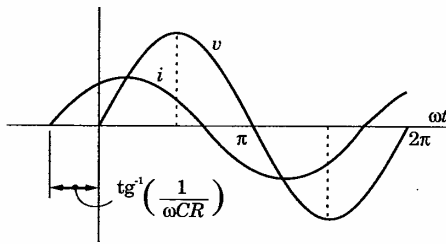


Figura 3-5

### Circuitos em Série e em Paralelo

Em um conjunto de elementos de circuito ligados em série, a tensão total é igual à soma das tensões nos terminais de cada elemento. Portanto, na Fig. 3-6(a),  $v_T = v_1 + v_2 + v_3$ .

Numa solicitação pelo 3-6(b),  $i_T = i_1$  Kirchhoff, pois

3.1 A corrente ligação de senoidal.

$$v_T = v_R +$$

Qualquer cia pode amplitud

$$v_T = A \text{ se}$$

Igualand

$$RI_m = A_c$$

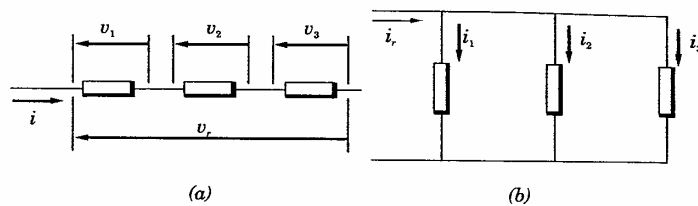


Figura 3-6

Numa ligação de diversos elementos em paralelo, a corrente total solicitada pelo circuito é a soma das correntes de cada ramo. Então, na Fig. 3-6(b),  $i_T = i_1 + i_2 + i_3$ . Verifica-se aí uma aplicação da lei das correntes, de Kirchoff, pois as quatro correntes têm um nó comum.

**Problemas Resolvidos**

3.1 A corrente  $i = I \text{ sen } \omega t$  passa no circuito série da Fig. 3-7(a), que consta da ligação de  $R$  ohms e  $L$  henrys. Expressir a tensão total aplicada,  $v_T$ , como função senoidal.

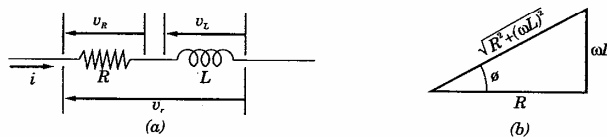


Figura 3-7

$$v_T = v_R + v_L = RI_m \text{ sen } \omega t + \omega LI_m \text{ cos } \omega t \tag{1}$$

Qualquer número de termos senoidais e co-senoidais da mesma frequência pode ser combinado em um único termo senoidal ou co-senoidal de amplitude  $A$  e ângulo de fase  $\phi$ . Podemos, portanto, escrever:

$$v_T = A \text{ sen } (\omega t + \phi) = A \text{ sen } \omega t \text{ cos } \phi + A \text{ cos } \omega t \text{ sen } \phi \tag{2}$$

Igualando os coeficientes de  $\text{sen } \omega t$  e de  $\text{cos } \omega t$  em (1) e (2), obtemos:

$$RI_m = A \text{ cos } \phi, \quad \omega LI_m = A \text{ sen } \phi$$

$R$ ) em relação à  
da impedância é

em série, a tensão  
ento. Portanto, na

Da Fig. 3-7(b):

$$\operatorname{tg} \phi = \frac{\operatorname{sen} \phi}{\cos \theta} = \frac{\omega L}{R}, \quad \cos \phi = \frac{R}{\sqrt{R^2 + (\omega L)^2}}$$

$$A = \frac{RI_m}{\cos \phi} = \sqrt{R^2 + (\omega L)^2} I_m,$$

Então:

$$v_T = A \operatorname{sen} (\omega t + \phi) = \sqrt{R^2 + (\omega L)^2} I_m \operatorname{sen} (\omega t + \operatorname{arc} \operatorname{tg} \omega L/R),$$

o que indica que a corrente está atrasada, em relação à tensão, de um ângulo de fase  $\phi = \operatorname{arc} \operatorname{tg} \omega L/R$ .

O módulo da impedância é  $\sqrt{R^2 + (\omega L)^2}$ .

Se  $R \gg \omega L$ , tem-se  $\omega L/R \rightarrow 0$  e  $\phi \rightarrow 0$ , isto é, o mesmo resultado que se obtém com resistência pura.

Se  $\omega L \gg R$ , tem-se  $\omega L/R \rightarrow \infty$  e  $\phi \rightarrow \pi/2$ , isto é, o mesmo resultado que se obtém com indutância pura.

Numa associação série de  $R$  e  $L$ , a corrente estará atrasada, em relação à tensão, de um ângulo compreendido entre  $0^\circ$  e  $90^\circ$ , dependendo dos valores relativos de  $R$  e  $\omega L$ .

3.2 A corrente no circuito da Fig. 3-8 é  $i = 2 \operatorname{sen} 500 t$ . Calcular a tensão total aplicada  $v_T$ .

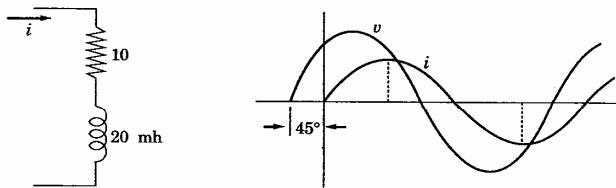


Figura 3-8

$$v_T = \sqrt{R^2 + (\omega L)^2} I_m \operatorname{sen} (\omega t + \operatorname{arc} \operatorname{tg} \omega L/R) + 28,28 \operatorname{sen} (500t + 45^\circ)$$

onde  $R = 10$  ohms;  $\omega t = 500 (0,02) = 10$  ohms;  $\operatorname{arc} \operatorname{tg} \omega L/R = 45^\circ$ ;  $I_m = 2$ .

Como, no caso,  $R = \omega L$ , a corrente está atrasada de  $45^\circ$  em relação à tensão.

3.3 Num ci de  $80^\circ$  e

$$\operatorname{tg} \phi = \dots$$

3.4 Num ci uma ter

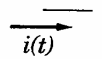
Calcula

$$\operatorname{tg} \phi = \dots$$

$$17,85 \dots$$

$$\omega = \dots$$

3.5 Em um a correr dal sim



C

$$v_T = v_R$$

Exprin de fase

$$v_T = A \dots$$

Igualar

$$RI_m = \dots$$

Então:

- 3.3 Num circuito série com  $R = 20$  ohms e  $L = 0,06$  henrys, a corrente está atrasada de  $80^\circ$  em relação à tensão. Determinar  $\omega$ .

$$\operatorname{tg} \phi = \omega L / R; \operatorname{tg} 80^\circ = 5,68 = \omega (0,06) / 20 \therefore \omega = 1893 \text{ rad/s}$$

- 3.4 Num circuito  $RL$  série,  $L = 0,02$  henrys e a impedância é  $17,85$  ohms. Aplicada uma tensão senoidal, a corrente resultante está atrasada de  $63,4^\circ$ .

Calcular  $\omega$  e  $R$ .

$$\operatorname{tg} \phi = \omega L / R, \operatorname{tg} 63,4^\circ = 2 = 0,02\omega / R, R = 0,01\omega$$

$$17,85 = \sqrt{R^2 + (\omega L)^2} = \sqrt{(0,01\omega)^2 + (0,02\omega)^2}$$

$$\omega = 800 \text{ rad/s e } R = 0,01\omega = 8 \text{ ohms}$$

- 3.5 Em um circuito série constituído de  $R$  ohms e  $C$  farads, como mostra a Fig. 3-9, a corrente é  $i = I_m \cos \omega t$ . Expressir a tensão total aplicada como função co-senoidal simples.

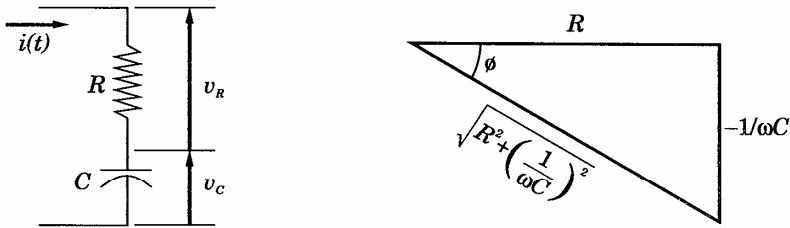


Figura 3-9

$$v_T = v_R + v_C = RI_m \cos \omega t + (1/\omega C) I_m \sin \omega t \quad (1)$$

Expressando  $v_T$  como termo co-senoidal simples de amplitude  $A$  e ângulo de fase  $\phi$ ,

$$v_T = A \cos (\omega t + \phi) = A \cos \omega t \cos \phi - A \sin \omega t \sin \phi \quad (2)$$

Igualando os coeficientes de  $\cos \omega t$  e de  $\sin \omega t$  em (1) e (2):

$$RI_m = A \cos \phi, \quad (1/\omega C) I_m = -A \sin \phi$$

$$\text{Então: } \operatorname{tg} \phi = \frac{\sin \phi}{\cos \phi} = -\frac{1}{\omega CR}, \quad \cos \phi = \frac{R}{\sqrt{R^2 + (1/\omega C)^2}}$$

$$A = \sqrt{R^2 + (1/\omega C)^2} I_m$$

$i/R$ ,  
à tensão, de um  
resultado que se  
resultado que se  
sada, em relação à  
dependendo dos  
são total aplicada  $v_T$ .

$\operatorname{sen} (500t + 45^\circ)$   
 $\omega R = 45^\circ; I_m = 2.$   
em relação à tensão.

$$e \ v_T = A \cos(\omega t + \phi) = \sqrt{R^2 + (1/\omega C)^2} I_m \cos(\omega t - \text{tg}^{-1} 1/\omega CR)$$

o que significa que a corrente está adiantada sobre a tensão. (Como  $\text{sen } \phi$  é negativo e  $\text{cos } \phi$  é positivo,  $\phi$  está no quarto quadrante.)

O módulo da impedância é  $\sqrt{R^2 + (1/\omega C)^2}$ .

Se  $R \gg 1/\omega C$  tem-se  $1/\omega CR \rightarrow 0$  e  $\phi \rightarrow 0$ , isto é, o mesmo resultado obtido com a resistência pura.

Se  $1/\omega C \gg R$  tem-se  $1/\omega CR \rightarrow \infty$  e  $\phi \rightarrow \pi/2$ , isto é, o mesmo que para a capacitância pura.

Numa associação série de  $R$  e  $C$ , a corrente estará adiantada, em relação à tensão de um ângulo compreendido entre  $0^\circ$  e  $90^\circ$ , dependendo dos valores relativos de  $R$  e  $1/\omega C$ .

- 3.6 No circuito série da Fig. 3-10, a corrente é  $i = 2 \cos 5000t$ . Achar  $v_T$ .

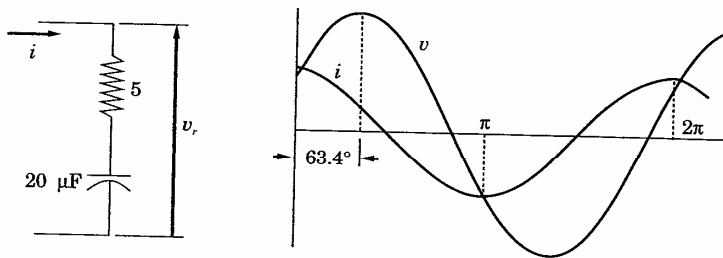


Figura 3-10

$$v_T = \sqrt{R^2 + (1/\omega C)^2} I_m \cos(\omega t - \text{arc tg } \frac{1/\omega C}{R}) = 22,4 \cos(5000t - 63,4^\circ)$$

onde:  $R = 5$  ohms;  $1/\omega C = 1/5000 \times 20 \times 10^{-6} = 10$  ohms;

$\text{arc tg } 1/\omega CR = \text{arc tg } 10/5 = 63,4^\circ$ ;  $I_m = 2$ .

A corrente está adiantada de  $63,4^\circ$  em relação à tensão. O valor absoluto da impedância é 11,18 ohms.

- 3.7 Num circuito série constando de  $R$ ,  $L$  e  $C$  a corrente é  $i = I_m \text{sen } \omega t$ . Determinar a tensão nos terminais de cada elemento (Fig. 3-11). Reportar-se à Fig. 3-12.

$$v_R = Ri$$

$$v_L = L \dot{i}$$

$$v_C = \frac{1}{C} \int i dt$$



( $i$  :  
em

- 3.8 Com relação simples.

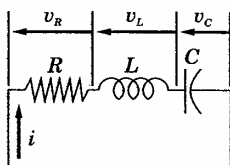
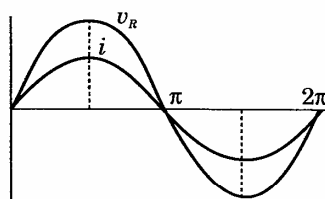


Figura 3-11

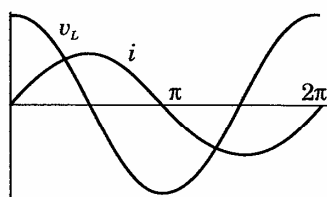
$$v_R = Ri = Ri_m \text{ sen } \omega t$$

$$v_L = L \frac{d}{dt} (I_m \text{ sen } \omega t) = \omega LI_m \cos \omega t$$

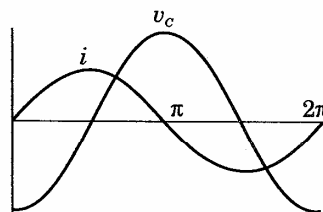
$$v_C = \frac{1}{C} \int I_m \text{ sen } \omega t \, dt = \frac{1}{\omega C} I_m (-\cos \omega t)$$



$v_R$  e  $i$   
( $i$  em fase com  $v_R$ )



$v_L$  e  $i$   
( $i$  atrasada de  $90^\circ$   
em relação à  $v_L$ )



$v_C$  e  $i$   
( $i$  adiantada de  $90^\circ$   
em relação à  $v_C$ )

Figura 3-12

3.8 Com relação ao Probl. 3.7, exprimir a tensão total  $v_T$  como uma função senoidal simples.

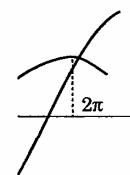
$\text{tg}^{-1} 1/\omega CR$   
são. (Como  $\text{sen } \phi$   
.)

ultado obtido com

esmo que para a

ntada, em relação  
dependendo dos

char  $v_T$ .



$\cos(5000t - 63,4^\circ)$

s;

i. O valor absoluto

,  $\text{sen } \omega t$ . Determinar  
ar-se à Fig. 3-12.

$$\text{Seja } v_T = v_R + v_L + v_C = RI_m \sin \omega t + (\omega L - 1/\omega C) I_m \cos \omega t \quad (1)$$

Chamando  $A$  a amplitude e  $\phi$  o ângulo de fase de  $v_T$ ;

$$\begin{aligned} v_T &= A \sin(\omega t + \phi) \\ &= A \sin \omega t \cos \phi + A \cos \omega t \sin \phi \end{aligned} \quad (2)$$

Igualando os coeficientes de  $\sin \omega t$  e  $\cos \omega t$  em (1) e (2), obtemos:

$$RI_m = A \cos \phi, \quad I_m (\omega L - 1/\omega C) = A \sin \phi$$

Então:

$$\begin{aligned} \operatorname{tg} \phi &= \frac{\omega L - 1/\omega C}{R}, \quad \cos \phi = \frac{R}{\sqrt{R^2 + (\omega L - 1/\omega C)^2}}, \quad A = \frac{RI_m}{\cos \phi} \\ &= \sqrt{R^2 + (\omega L - 1/\omega C)^2} I_m, \end{aligned}$$

$$\begin{aligned} \text{e } v_T &= A \sin(\omega t + \phi) = \\ &= \sqrt{R^2 + (\omega L - 1/\omega C)^2} I_m \sin[\omega t + \operatorname{tg}^{-1}(\omega L - 1/\omega C)/R] \end{aligned}$$

onde  $\sqrt{R^2 + (\omega L - 1/\omega C)^2}$  é o valor absoluto da impedância e  $\operatorname{arc} \operatorname{tg}(\omega L - 1/\omega C)/R$  é o ângulo de fase.

Se  $\omega L > 1/\omega C$ , o ângulo de fase  $\phi$  é positivo, a corrente está *atrasada* em relação à tensão e o circuito tem um efeito total indutivo.

Se  $\omega L < 1/\omega C$ , o ângulo de fase  $\phi$  é negativo, a corrente está *avancada* em relação à tensão e o efeito total do circuito é capacitivo.

Se  $\omega L = 1/\omega C$ , o ângulo de fase  $\phi$  é zero, tensão e corrente estão em fase e a impedância tem como valor  $R$ . Chama-se a essa condição *ressonância série*.

- 3.9** Mostrar que  $\omega L$  e  $1/\omega C$  são dados em ohms quando  $\omega$  está em rad/s,  $L$  em henrys e  $C$  em farads.

$$\omega L = \frac{\text{rad}}{\text{s}} \cdot \text{henry} = \frac{1}{\text{s}} \cdot \frac{\text{volts}}{\text{ampère}} = \frac{\text{volt}}{\text{ampère}} = \text{ohm}$$

$$\frac{1}{\omega C} = \frac{\text{s}}{\text{rad}} \cdot \frac{1}{\text{farad}} = \text{s} \cdot \frac{\text{volt}}{\text{ampère}} = \frac{\text{volt}}{\text{ampère}} = \text{ohm}$$

Notar que a medida de um ângulo em radianos é um número sem dimensão.

- 3.10** Em um circuito RLC, com  $R = 10 \Omega$ ,  $L = 10 \text{ mH}$  e  $C = 10 \text{ }\mu\text{F}$ , a tensão aplicada é  $v = 100 \sin(1000t)$  V. Calcule a corrente  $i$  e o fator de potência.

$$\omega L = 50 \Omega$$

$$\operatorname{tg}^{-1} \frac{\omega L}{R}$$

A reatância indutiva é  $50 \Omega$ , a reatância capacitiva é  $10 \Omega$ , o módulo da impedância é  $50 \Omega$ .

- 3.11** A diferença de potencial entre os terminais de um capacitor é  $v = 100 \cos(1000t)$  V. Calcule a corrente  $i$  e o fator de potência.

$$i_T = i_R$$

Então,

$$i_T = \sqrt{2} I_m \cos(\omega t - \phi)$$

A corrente é  $i = 10 \cos(1000t - 90^\circ)$  A.

Se  $R \gg \omega L$ , a impedância é  $Z \approx R$ .

Se  $R \gg 1/\omega C$ , a impedância é  $Z \approx R$ .

Se  $\omega L \gg 1/\omega C$ , a impedância é  $Z \approx \omega L$ .

$i_m \cos \omega t$  (1)

(2)

obtemos:

$A = \frac{RI_m}{\cos \phi}$

$- 1/\omega C)/R]$

impedância e

está atrasada em  $\phi$ .

está avançada em

estão em fase e ligação ressonância

tá em rad/s,  $L$  em

ero se dimensão.

**3.10** Em um circuito série constituído de  $R = 15$  ohms,  $L = 0,08$  henry e  $C = 30$  microfarads, a frequência da tensão aplicada é 500 rad/s. Qual o valor do ângulo de avanço ou de atraso da corrente sobre a tensão?

$\omega L = 500(0,08) = 40$  ohms,  $\frac{1}{\omega C} = \frac{1}{500(30 \times 10^{-6})} = 66,7$ ohms

$\text{tg}^{-1} \frac{\omega L - 1/\omega C}{R} = \text{tg}^{-1} \frac{-26,7}{15} = -60,65^\circ$

A reatância capacitiva  $1/\omega C$  é maior que a indutiva. A corrente está avançada de  $60,65^\circ$  e o circuito tem um efeito resultante capacitivo. O módulo da impedância é  $\sqrt{R^2 + (\omega L - 1/\omega C)^2} = 30,6$  ohms.

**3.11** A diferença de potencial aplicada à combinação  $R - L$  em paralelo da Fig. 3-13 é  $v = v_m \cos \omega t$ . Calcular a corrente em cada ramo e exprimir a corrente total  $i_T$  como função co-senoidal simples.

$i_T = i_R + i_L = \frac{1}{R} v + \frac{1}{L} \int v dt = \frac{V_m}{R} \cos \omega t + \frac{V_m}{\omega L} \text{sen } \omega t$

Então,

$i_T = \sqrt{(1/R)^2 + (1/\omega L)^2} V_m \cos (\omega t - \text{tg}^{-1} R/\omega L)$

A corrente está atrasada de  $\phi = \text{arc tg } R/\omega L$ .

Se  $R \gg \omega L$ , temos  $\phi \rightarrow 90^\circ$  e  $i_T \approx (V_m/\omega L) \cos (\omega t - 90^\circ)$ . Com essa resistência relativamente elevada, o dreno de corrente pelo ramo resistivo é muito baixo. Portanto,  $i_T$  é, praticamente, igual a  $i_L$ , isto é, a corrente indutiva influi fortemente no estabelecimento da corrente total.

Se  $\omega L \gg R$ , temos  $\phi \rightarrow 0^\circ$  e  $i_T \approx (V_m/R) \cos \omega t$ . Neste caso, a reatância do ramo indutivo é elevada e ele drena uma corrente pequena, comparada com a do ramo resistivo. Neste caso, portanto, a corrente resistiva influi fortemente na corrente total.

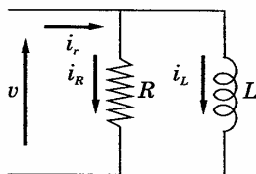


Figura 3-13

3.12 A tensão  $v = V_m \text{ sen } \omega t$  está aplicada à associação de  $R$  e  $C$  em paralelo, mostrada na Fig. 3-14. Achar a corrente em cada ramo e exprimir  $i_T$  como função senoidal simples.

$$i_T = i_R + i_C = \frac{v}{R} + C \frac{dv}{dt} = \frac{V_m}{R} \text{ sen } \omega t + \omega CV_m \cos \omega t$$

Então,  $i_T = \sqrt{(1/R)^2 + (\omega C)^2} V_m \text{ sen } (\omega t + \text{arc tg } \omega CR)$

A corrente está avançada de  $\phi = \text{arc tg } \omega CR$ .

Se  $R \gg 1/\omega C$ , temos  $\phi \rightarrow 90^\circ$  e  $i_T \approx i_C = \omega CV_m \text{ sen } (\omega t + 90^\circ)$ , isto é, o ramo capacitivo tem a maior contribuição para a corrente total, controlando-a.

Se  $1/\omega C \gg R$ , temos  $\phi \rightarrow 0^\circ$  e  $i_T \approx i_R = (V_m/R) \text{ sen } \omega t$ , isto é, o ramo resistivo é o de maior influência na corrente total.

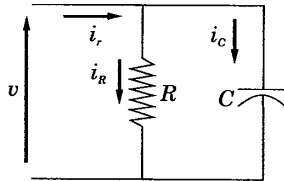


Figura 3-14

3.13 A diferença de potencial  $v = V_m \text{ sen } \omega t$  é aplicada à associação paralela de  $R$ ,  $L$  e  $C$ , mostrada na Fig. 3-15. Calcular a corrente em cada ramo e exprimir a corrente total  $i_T$  como função senoidal simples.

$$i_T = i_R + i_L + i_C = \frac{v}{R} + \frac{1}{L} \int v dt + C \frac{dv}{dt}$$

$$= \frac{V_m}{R} \text{ sen } \omega t - \frac{V_m}{\omega L} \cos \omega t + \omega CV_m \cos \omega t \quad (1)$$

Exprimindo  $v_T$  como função senoidal de módulo  $A$  e ângulo de fase  $\phi$ ,

$$i_T = A \text{ sen } (\omega t + \phi) = A \text{ sen } \omega t \cos \phi + A \omega t \text{ sen } \phi \quad (2)$$

Igualan

$$V_m/R = .$$

Então,

$$A = \sqrt{1}$$

$$i_T = \sqrt{1}$$

O sinal de  $\omega C$  e

O ramo i  
A corren  
Essas di  
der-se-ia  
corrente  
ramo caç

3.14 Dois eler  
corrente  
 $v = 150 \text{ se}$

De  $v$  e  $i_c$   
 $53,4^\circ + 10$

$$\text{tg } 63,4^\circ =$$

$$V_m/I_m =$$

Conclusã  
 $L = 0,021$

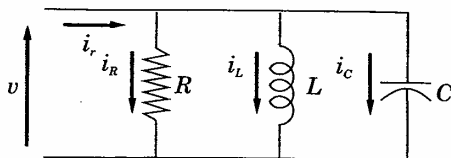


Figura 3-15

Igualando os coeficientes de  $\text{sen } \omega t$  e de  $\text{cos } \omega t$  em (1) e (2):

$$V_m/R = A \cos \phi, \quad (\omega C - 1/\omega L) V_m = A \sin \phi$$

$$\text{Ent\~{a}o, } \text{tg } \phi = \frac{\omega C - 1/\omega L}{1/R}, \quad \cos \phi = \frac{1/R}{\sqrt{(1/R)^2 + (\omega C - 1/\omega L)^2}}$$

$$A = \sqrt{(1/R)^2 + (\omega C - 1/\omega L)^2} V_m, \text{ e}$$

$$i_T = \sqrt{(1/R)^2 + (\omega C - 1/\omega L)^2} V_m \text{ sen } [\omega t + \text{arc tg } (\omega C - 1/\omega L)R]$$

O sinal do \~{a}ngulo de fase depende, evidentemente, dos valores relativos de  $\omega C$  e  $1/\omega L$ .

O ramo indutivo drena uma corrente atrasada de  $90^\circ$  em rela\~{c}o \~{a} tens\~{a}o. A corrente no ramo capacitivo est\~{a} avan\~{c}ada de  $90^\circ$  em rela\~{c}o \~{a} tens\~{a}o. Essas duas correntes, combinadas, desde que com igual amplitude, poder-se-iam cancelar mutuamente. Se a corrente indutiva for superior, a corrente total estar\~{a} atrasada, ao passo que estar\~{a} adiantada, se a do ramo capacitivo for superior.

**3.14** Dois elementos puros de circuito est\~{a}o associados em s\~{e}rie, possuindo a corrente  $i = 13,42 \text{ sen } (500t - 53,4^\circ)$  amp\~{e}res para a tens\~{a}o aplicada  $v = 150 \text{ sen } (500t + 10^\circ)$  volts. Determinar os elementos do circuito.

(1) De  $v$  e  $i$  conclu\~{i}mos que a corrente est\~{a} atrasada em rela\~{c}o \~{a} tens\~{a}o, de  $53,4^\circ + 10^\circ = 63,4^\circ$ ; o circuito deve, portanto, conter  $R$  e  $L$ .

$$\text{tg } 63,4^\circ = \omega L/R = 2; \therefore \omega L = 2R$$

(2) 
$$V_m/I_m = \sqrt{R^2 + (\omega L)^2}, \quad 150/13,42 = \sqrt{R^2 + (2R)^2}, \quad R = 5 \text{ ohms}$$

Conclus\~{a}o: o circuito cont\~{e}m um resistor  $R = 5$  ohms e um indutor  $L = 0,02$  henry.

- 3.15** Um circuito em série constituído de dois elementos puros tem as seguintes corrente e tensão aplicadas:

$$v = 200 \operatorname{sen}(2000t + 50^\circ)V; \quad i = 4 \cos(2000t + 13,2^\circ)A$$

Achar os elementos que constituem o circuito.

Como  $\cos x = \operatorname{sen}(x + 90^\circ)$ , podemos escrever  $i = 4 \operatorname{sen}(2000t + 103,2^\circ)$ . A corrente, portanto, está adiantada sobre a tensão de  $103,2^\circ - 50^\circ = 53,2^\circ$  e o circuito deve conter  $R$  e  $C$ .

$$\operatorname{tg} 53,2^\circ = 1,33 = 1/\omega CR; \quad 1/\omega C = 1,33 R$$

$$V_m/I_m = \sqrt{R^2 + (1/\omega C)^2}; \quad 200/4 = \sqrt{R^2 + (1,33R)^2}; \quad R = 30 \text{ ohms}$$

$$\text{e } C = 1/(1,33 \omega R) = 1,25 \times 10^{-5} \text{ farads} = 12,5 \mu\text{F}.$$

- 3.16** No circuito série da Fig. 3-16, a tensão e a corrente são:

$$v = 353,5 \cos(3000t - 10^\circ) \text{ volts}$$

$$i = 12,5 \cos(3000t - 55^\circ) \text{ ampères}$$

e a indutância é 0,01 H. Determinar  $R$  e  $C$ .

A corrente está atrasada de  $55^\circ - 10^\circ = 45^\circ$ . Portanto, a reatância indutiva  $\omega L$  é superior à capacitiva  $1/\omega C$ .

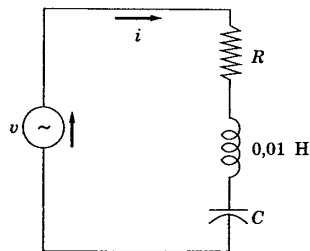
$$\operatorname{tg} 45^\circ = 1 = (\omega L - 1/\omega C)/R, \quad (\omega L - 1/\omega C) = R$$

$$V_m/I_m = \sqrt{R^2 + (\omega L - 1/\omega C)^2}, \quad 353,5/12,5 = \sqrt{2R^2}$$

$$R = 20 \text{ ohms}$$

e, de  $(\omega L - 1/\omega C) = R$ , encontramos

$$C = 3,33 \times 10^{-5} \text{ farads} = 33,3 \mu\text{F}$$



**Figura 3-16**

- 3.17** No circuito a corrente

$$i_T = i_R +$$

$$= 20 \operatorname{sen} t$$

$$= A \operatorname{sen} ($$

donde 20

e  $A = 20/($

$$i_T = 20,6$$

A corrente

- 3.18** A tensão a correntes r

tem as seguintes

$2000t + 103,2^\circ$ ). A  
 $3,2^\circ - 50^\circ = 53,2^\circ$  e

$R = 30$  ohms

reatância indutiva

**3.17** No circuito paralelo da Fig. 3-17, a tensão é  $v = 100 \text{ sen } (1000t + 50^\circ)$ . Expressar a corrente total como função senoidal simples.

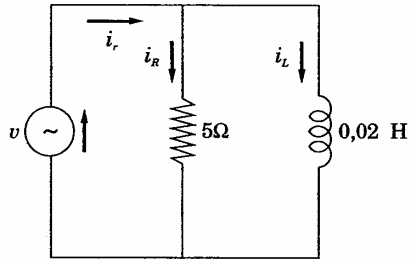
$$i_T = i_R + i_L = \frac{v}{R} + \frac{1}{L} \int v dt$$

$$= 20 \text{ sen } (1000t + 50^\circ) - 5 \text{ cos } (1000t + 50^\circ)$$

$$= A \text{ sen } (1000t + 50^\circ) \cos \phi + A \text{ cos } (1000t + 50^\circ) \text{ sen } \phi$$

donde  $20 = A \cos \phi$  e  $-5 = A \text{ sen } \phi$ . Então,  $\text{tg } \phi = -5/20$ ,  $\phi = -14,05^\circ$ ; e  $A = 20/(\cos \phi) = 20,6$ . Então,

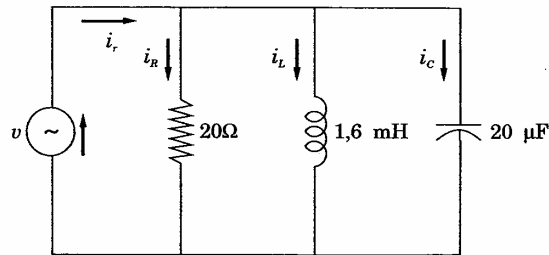
$$i_T = 20,6 \text{ sen } (1000t + 50^\circ - 14,05^\circ) = 20,6 \text{ sen } (1000t + 35,95^\circ)$$



**Figura 3-17**

A corrente está atrasada de  $14,05^\circ$  em relação à tensão.

**3.18** A tensão aplicada no circuito da Fig. 3-18 é  $v = 50 \text{ sen } (5000t + 45^\circ)$ . Calcular as correntes nos ramos e a total.



**Figura 3-18**

$$\begin{aligned}
 i_T &= i_R + i_L + i_C = \frac{v}{R} + \frac{1}{L} \int v dt + C \frac{dv}{dt} \\
 &= 2,5 \operatorname{sen}(5000t + 45^\circ) - 6,25 \cos(5000t + 45^\circ) + 5 \cos(5000t + 45^\circ) \\
 &= 2,5 \operatorname{sen}(5000t + 45^\circ) - 1,25 \cos(5000t + 45^\circ) \\
 &= 2,8 \operatorname{sen}(5000t + 18,4^\circ), \text{ usando os métodos deste capítulo.}
 \end{aligned}$$

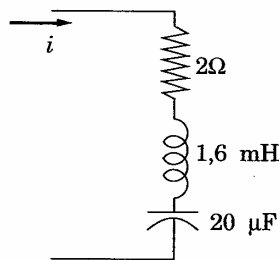
A corrente está atrasada de  $45^\circ - 18,4^\circ = 26,6^\circ$  em relação à tensão.

Observe-se que a corrente total tem o valor máximo de 2,8 ampères, que é menor do que qualquer dos valores máximos de corrente, tanto no ramo indutivo (6,25 ampères) quanto no capacitivo (5 ampères). A explicação é óbvia quando se representam essas três correntes num mesmo sistema de eixos.

- 3.19** A corrente na associação  $R, L, C$  série, mostrada na Fig. 3-19, é  $i = 3 \cos(5000t - 60^\circ)$ . Achar a tensão em cada elemento e a total.

$$\begin{aligned}
 v_T &= v_R + v_L + v_C = Ri + L \frac{di}{dt} + \frac{1}{C} \int i dt \\
 v_T &= 6 \cos(5000t - 60^\circ) - 24 \operatorname{sen}(5000t - 60^\circ) \\
 &\quad + 30 \operatorname{sen}(5000t - 60^\circ) = 6 \cos(5000t - 60^\circ) \\
 &\quad + 6 \operatorname{sen}(5000t - 60^\circ) = 8,49 \cos(5000t - 105^\circ),
 \end{aligned}$$

pelos métodos deste capítulo.



**Figura 3-19**

A corrente está avançada  $105^\circ - 60^\circ = 45^\circ$  em relação à tensão.

Observe-se  
elemento:  
será sufici

- 3.20** A corrente  
tensão?

Resp.: 10C

- 3.21** A corrente  
tensão?

Resp.: 20C

- 3.22** A tensão  $v$   
e  $L = 0,06$   
de atraso  $\phi$

Resp.:  $i =$   
 $V_m/I_m = 13$

- 3.23** A tensão n  
tensão tot  
impedânci

Resp.:  $i =$

- 3.24** A tensão t  
puros são:

elementos  
Resp.:  $R =$

- 3.25** A tensão t  
puros são:

elementos  
Resp.:  $R =$

- 3.26** Dois eleme  
tensão apli  
em paralel

Resp.: Sér  
Paralela:  $i$

- 3.27** Um resisto  
tensão no

corrente ei  
Resp.:  $v_T =$

Observe-se que a tensão máxima aplicada é 8,49 volts. A tensão nos elementos indutivo e capacitivo é maior que isso. A representação gráfica será suficiente para demonstrar o que ocorre.

### Problemas Propostos

- 3.20 A corrente em uma indutância pura de  $L = 0,01$  H é  $i = 5 \cos 2000t$ . Qual é a tensão?  
 Resp.:  $100 \cos (2000t + 90^\circ)$ .
- 3.21 A corrente em uma capacitância pura de  $C = 30 \mu\text{F}$ , e  $i = 12 \sin 2000t$ . Qual é a tensão?  
 Resp.:  $200 \sin (2000t - 90^\circ)$ .
- 3.22 A tensão nos terminais da indutância, em um circuito série de  $R = 5$  ohms e  $L = 0,06$  henry, é  $v_L = 15 \sin 200t$ . Achar a tensão total, a corrente, o ângulo de atraso de  $i$  em relação  $v_T$  e o módulo da impedância.  
 Resp.:  $i = 1,25 \sin (200t - 90^\circ)$ ;  $v_T = 16,25 \sin (200t - 22,65^\circ)$ ;  $67,35^\circ$ ;  $V_m/I_m = 13$  ohms.
- 3.23 A tensão na resistência do circuito do Probl. 3.22 é  $v_R = 15 \sin 200t$ . Calcular a tensão total, a corrente, o ângulo de atraso de  $i$  em relação a  $v_T$  e o módulo da impedância.  
 Resp.:  $i = 3 \sin 200t$ ;  $v_T = 39 \sin (200t + 67,35^\circ)$ ;  $67,35^\circ$ ;  $V_m/I_m = 13$  ohms.
- 3.24 A tensão total e a corrente resultante em um circuito série de dois elementos puros são:  $v_T = 255 \sin (300t + 45^\circ)$  e  $i = 8,5 \sin (300t + 15^\circ)$ . Determinar os elementos que constituem o circuito.  
 Resp.:  $R = 26$  ohms;  $L = 0,05$  henry.
- 3.25 A tensão total e a corrente resultante em um circuito série de dois elementos puros são:  $v_T = 150 \cos (200t - 30^\circ)$  e  $i = 4,48 \cos (200t - 56,6^\circ)$ . Determinar os elementos que constituem o circuito.  
 Resp.:  $R = 30$  ohms,  $L = 0,075$  henry.
- 3.26 Dois elementos puros,  $R = 12$  ohms e  $C = 31,3 \mu\text{F}$ , são ligados em série com uma tensão aplicada  $v = 100 \cos (2000t - 20^\circ)$ . Os dois elementos são, então, ligados em paralelo com a mesma tensão. Calcular a corrente total em cada ligação.  
 Resp.: Série:  $i = 5 \cos (2000t + 33,2^\circ)$ ;  
 Paralela:  $i = 10,4 \cos (2000t + 16,8^\circ)$ .
- 3.27 Um resistor de  $R = 27,5$  ohms e um capacitor de  $C = 66,7 \mu\text{F}$  estão em série. A tensão no capacitor é  $v_C = 50 \cos 1500t$ . Calcular  $v_T$ , o ângulo de avanço da corrente em relação à tensão e o módulo da impedância.  
 Resp.:  $v_T = 146,3 \cos (1500t + 70^\circ)$ ;  $20^\circ$ ;  $V_m/I_m = 29,3$  ohms.

- 3.28** Um resistor  $R = 5$  ohms e um capacitor desconhecido estão em série. A tensão nos terminais do resistor é  $v_R = 25 \text{ sen } (2000t + 30^\circ)$ . Se a corrente está avançada de  $60^\circ$  em relação à tensão aplicada, qual é a capacitância?  
*Resp.: 57,7  $\mu\text{F}$ .*
- 3.29** Um circuito série constituído de  $L = 0,05$  H e um capacitor desconhecido têm a seguinte tensão aplicada e corrente resultante:  
 $v_T = 100 \text{ sen } 5000t$ ;  $i = 2 \text{ sen } (5000t + 90^\circ)$ . Achar a capacitância  $C$ .  
*Resp.:  $C = 0,0667 \mu\text{F}$ .*
- 3.30** Em um circuito série  $RLC$ , a corrente está atrasada de  $30^\circ$  em relação à tensão aplicada. A tensão em  $L$  tem para valor máximo o dobro do valor máximo da tensão no capacitor e  $v_L = 10 \text{ sen } 1000t$ . Se o valor de  $R$  é 20 ohms, determinar os valores de  $L$  e  $C$ .  
*Resp.:  $L = 23,1$  mH;  $C = 86,5 \mu\text{F}$ .*
- 3.31** Um circuito série constituído de  $R = 5$  ohms,  $L = 0,02$  henry e  $C = 80 \mu\text{F}$  tem uma tensão senoidal aplicada, de frequência variável. Achar os valores de  $\omega$  para os quais a corrente (a) esteja avançada de  $45^\circ$  em relação à tensão; (b) esteja em fase e (c) atrasada de  $45^\circ$ .  
*Resp.: (a) 675; (b) 790; (c) 925 rad/s.*
- 3.32** Um circuito paralelo de dois ramos é constituído de apenas um resistor de 50 ohms em um dos ramos e um elemento simples desconhecido no outro. Conhece-se a tensão aplicada ao circuito e a corrente total:  
 $v(t) = 100 \text{ cos } (1500t + 45^\circ)$ ;  $i(t) = 12 \text{ sen } (1500t + 135^\circ)$ .  
Determine o elemento desconhecido.  
*Resp.:  $R = 10$  ohms.*
- 3.33** Determinar a corrente total em um circuito paralelo de  $L = 0,05$  H e  $C = 0,667 \mu\text{F}$ , sendo  $v = 100 \text{ sen } 5000t$  a tensão aplicada.  
*Resp.:  $i_T = 0,067 \text{ sen } (5000t - 90^\circ)$ .*
- 3.34** Um resistor  $R = 10$  ohms e um indutor  $L = 0,005$  henry estão em paralelo. A corrente no ramo indutivo é  $i_L = 5 \text{ sen } (2000t - 45^\circ)$ . Achar a corrente total e o ângulo entre  $i_T$  e a tensão aplicada.  
*Resp.:  $i_T = 7,07 \text{ sen } (2000t + 0^\circ)$ ;  $45^\circ$  ( $i_T$  atrasada em relação à  $v$ ).*
- 3.35** Um circuito paralelo constituído de um ramo de  $R = 5$  ohms e um único elemento desconhecido no outro ramo tem para tensão aplicada e para corrente total:  
 $v = 10 \text{ cos } (50t + 60^\circ)$  e  $i = 5,38 \text{ cos } (50t - 8,23^\circ)$   
Achar o elemento desconhecido.  
*Resp.:  $L = 0,04$  henry.*
- 3.36** Dois elementos puros,  $R = 10$  ohms e  $C = 100 \mu\text{F}$ , em uma ligação paralela, têm para tensão aplicada  $v = 150 \text{ cos } (5000t - 30^\circ)$ . Achar a corrente total.  
*Resp.:  $i_T = 76,5 \text{ cos } (5000t + 48,7^\circ)$ .*
- 3.37** Um capacitor desconhecido está em série com um resistor de 150 ohms.  
*Resp.:  $R = 150$  ohms.*
- 3.38** A tensão aplicada a um circuito série  $RLC$  é  $v = 150 \text{ sen } 1000t$ . A corrente total é  $i_T = 5 \text{ sen } (1000t + 90^\circ)$ . Achar os valores de  $R$ ,  $L$  e  $C$ .  
*Resp.:  $L = 0,05$  H;  $C = 0,0667 \mu\text{F}$ ;  $R = 10$  ohms.*
- 3.39** A tensão aplicada a um circuito série  $RLC$  é  $v = 100 \text{ sen } 1000t$ . A corrente total é  $i_T = 2 \text{ sen } (1000t + 45^\circ)$ . Achar os valores de  $R$ ,  $L$  e  $C$ .  
*Resp.:  $R = 50$  ohms;  $L = 0,05$  H;  $C = 0,0667 \mu\text{F}$ .*
- 3.40** No circuito paralelo, a tensão aplicada é  $v = 100 \text{ sen } 1000t$ . A corrente total é  $i_T = 2,5 \text{ sen } (1000t + 45^\circ)$ . Achar os valores de  $R$ ,  $L$  e  $C$ .  
*Resp.:  $L = 0,05$  H;  $C = 0,0667 \mu\text{F}$ ;  $R = 10$  ohms.*
- 3.41** A tensão aplicada a um circuito paralelo é  $v = 100 \text{ sen } 1000t$ . A corrente total é  $i_T = 2,5 \text{ sen } (1000t + 45^\circ)$ . Achar os valores de  $R$ ,  $L$  e  $C$ .  
*Resp.:  $L = 0,05$  H;  $C = 0,0667 \mu\text{F}$ ;  $R = 10$  ohms.*

- 3.37** Um capacitor puro de  $C = 35 \mu\text{F}$  está em paralelo com outro elemento simples do circuito. Se a tensão aplicada e a corrente resultante forem, respectivamente,  $v = 150 \text{ sen } 3000t$  e  $i_T = 16,5 \text{ sen } (3000t + 72,4^\circ)$ , achar o elemento desconhecido.  
*Resp.:  $R = 30 \text{ ohms}$ .*
- 3.38** A tensão aplicada em um circuito paralelo  $LC$  é  $v = 50 \text{ cos } (3000t + 45^\circ)$  e a corrente total  $i_T = 2 \text{ cos } (3000t - 45^\circ)$ . Sabe-se, também, que a corrente do ramo  $L$  é cinco vezes maior que a do ramo capacitivo. Achar  $L$  e  $C$ .  
*Resp.:  $L = 6,67 \text{ mH}$  e  $C = 3,33 \mu\text{F}$ .*
- 3.39** A tensão aplicada a três ramos em paralelo, em cada um dos quais existe um elemento puro, é  $v = 200 \text{ sen } 1000t$ . Os ramos contêm, respectivamente,  $R = 300 \text{ ohms}$ ,  $L = 0,5 \text{ H}$  e  $C = 10 \mu\text{F}$ . Acha a corrente total, o ângulo entre  $i_T$  e a tensão aplicada e o módulo da impedância.  
*Resp.:  $i_T = 1,74 \text{ sen } (1000t + 67,4^\circ)$ ;  $67,4^\circ$  ( $i_T$  avançada);  $V_m/I_m = 115 \text{ ohms}$ .*
- 3.40** No circuito da Fig. 3-20, a tensão aplicada e a corrente total são  $v = 100 \text{ sen } 500t$  e  $i_T = 2,5 \text{ sen } 500t$ . Achar  $L$ .  
*Resp.:  $L = 0,08 \text{ H}$ .*

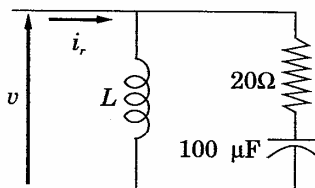


Figura 3-20

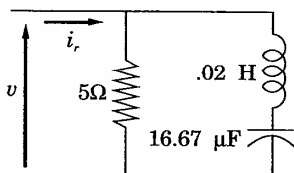
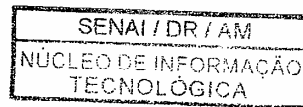


Figura 3-21

- 3.41** A tensão aplicada ao circuito da Fig. 3-21 é  $v = 50 \text{ sen } (2000t - 90^\circ)$ . Achar a corrente total.  
*Resp.:  $i_T = 11,2 \text{ sen } (2000t - 116,6^\circ)$ .*



- 3.42 No circuito da Fig. 3-22, a tensão aplicada é  $v = 100 \text{ sen } 5000t$ . Achar as correntes  $i_1$ ,  $i_2$  e  $i_T$ .  
 Resp.:  $i_1 = 7,07 \text{ sen } (5000t - 45^\circ)$ ;  $i_2 = 7,07 \text{ sen } (5000t + 45^\circ)$ ;  $i_T = 10 \text{ sen } 5000t$ .

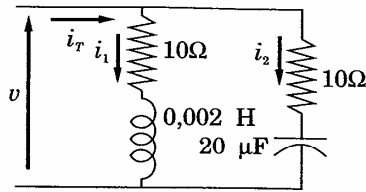


Figura 3-22

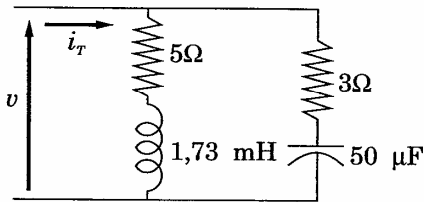


Figura 3-23

- 3.43 A tensão aplicada no circuito em paralelo da Fig. 3-23 é  $v = 100 \text{ cos } (5000t + 45^\circ)$ . (a) Achar a corrente total. (b) Que dois elementos, em uma associação em série, poderiam ocasionar a mesma corrente e, conseqüentemente, ser equivalentes ao circuito em paralelo, na mesma freqüência?  
 Resp.: (a)  $i_T = 18,5 \text{ cos } (5000t + 68,4^\circ)$ ; (b) circuito em série de  $R = 4,96$  ohms e  $C = 93 \text{ μF}$ .

**MAKRON**  
Books

### Números Reais

O conjunto dos números irracionais. O conjunto dos números racionais e a correspondência unívoca entre os números reais e os pontos da reta real. O ponto de vista da multiplicação e da divisão no conjunto dos números reais. As raízes dos números reais. O conjunto dos números...



MAKRON  
Books

# NÚMEROS COMPLEXOS



## Números Reais

O conjunto dos números reais consta dos números racionais e dos irracionais. O conjunto de todos os números reais pode ser representado, numa correspondência um a um, pelo conjunto de todos os pontos de uma linha reta, chamada *linha (eixo) dos números reais*, de modo que cada ponto represente um único número real e que cada número real seja representado por um único ponto de linha, como mostra a Fig. 4-1. As operações de adição, subtração, multiplicação e divisão podem ser efetuadas com quaisquer números desse conjunto. Raízes reais de números positivos podem ser representadas na linha dos números reais, mas a raiz quadrada de um número negativo não existe no conjunto dos números reais.

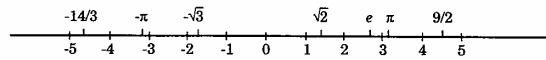


Figura 4-1 Linha dos números reais.

## Números Imaginários

A raiz quadrada de um número real negativo é chamada um *número imaginário puro*. Ex:  $\sqrt{-1}$ ,  $\sqrt{-2}$ ,  $\sqrt{-5}$ ,  $\sqrt{-16}$ .

Se fizermos  $j = \sqrt{-1}$ , vem  $\sqrt{-2} = j\sqrt{2}$ ,  $\sqrt{-4} = j2$ ,  $\sqrt{-5} = j\sqrt{5}$  etc. Segue-se, também, que  $j^2 = -1$ ,  $j^3 = j^2 \cdot j = (-1)j = -j$ ,  $j^4 = (j^2)^2 = 1$ ,  $j^5 = j$ , ...

Todos os números imaginários puros podem ser representados por pontos de uma linha reta chamada *linha (eixo) dos números imaginários*, como mostra a Fig. 4-2.

A escolha da palavra *imaginário* foi inadequada, pois os números imaginários existem, da mesma maneira que os reais. O termo significa, simplesmente, que tais números não podem ser representados no eixo dos números reais; estão situados em uma segunda linha, o eixo dos números imaginários.

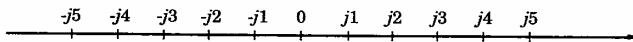


Figura 4-2 Linha dos números imaginários.

## Números Complexos

Um número complexo  $Z$  é um número da forma  $x + jy$ , onde  $x$  e  $y$  são reais e  $j = \sqrt{-1}$ . Em um número complexo  $x + jy$ , o primeiro termo,  $x$ , é chamado parte real e o segundo,  $y$ , parte imaginária. Quando  $x = 0$ , o número complexo reduz-se a um imaginário puro e corresponde a um ponto do eixo  $j$ . Do mesmo modo, se  $y = 0$ , o número complexo é um número real e corresponde a um ponto do eixo real. Os números complexos, portanto, compreendem todos os números reais e todos os números imaginários puros.

Dois números complexos,  $a + jb$  e  $c + jd$ , serão iguais, e somente o serão, se  $a = c$  e  $b = d$ .

Se, como na Fig. 4-3, o eixo dos números reais for perpendicular ao dos números imaginários (ou eixo dos  $j$ ) no ponto de cruzamento 0, cada ponto do

plano complexo re-  
mente. A Fig. 4-3 r

$$\begin{aligned} Z_1 &= 6 \\ Z_2 &= 2 - j3 \\ Z_3 &= j4 \\ Z_4 &= -3 + j2 \\ Z_5 &= -4 - j4 \\ Z_6 &= 3 + j3 \end{aligned}$$

## Outras Form

Na Fig. 4-

onde  $r = \sqrt{x^2 + y^2}$   
tg  $y/x$  é chamado  $\alpha$

A fórmula  
os números comple

plano complexo resultante representa um único número complexo e reciprocamente. A Fig. 4-3 mostra a representação de seis números complexos ( $Z_1, \dots, Z_6$ ).

$$\begin{aligned} Z_1 &= 6 \\ Z_2 &= 2 - j3 \\ Z_3 &= j4 \\ Z_4 &= -3 + j2 \\ Z_5 &= -4 - j4 \\ Z_6 &= 3 + j3 \end{aligned}$$

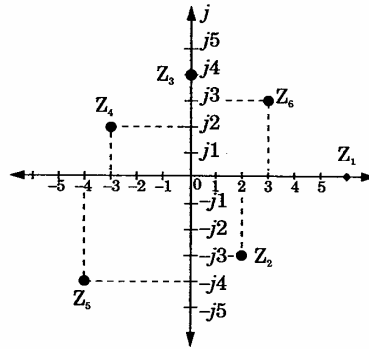


Figura 4-3

### Outras Formas de Números Complexos

Na Fig. 4-4,  $x = r \cos \theta$ ,  $y = r \sin \theta$  e o número complexo  $Z$  é

$$Z = x + jy = r(\cos \theta + j \sin \theta)$$

onde  $r = \sqrt{x^2 + y^2}$  é chamado *módulo* ou *valor absoluto* de  $Z$  e o ângulo  $\theta = \arctg y/x$  é chamado *argumento* de  $Z$ .

A fórmula de Euler,  $e^{j\theta} = (\cos \theta + j \sin \theta)$ , possibilita outra forma para os números complexos, chamada forma exponencial (ver Probl. 4.1):

mada um número  
 $j\sqrt{5}$  etc. Segue-se,  
 $i, \dots$   
 representados por  
 imaginários, como

pois os números  
 mo significa, sim-  
 eixo dos números  
 ros imaginários.

$jy$ , onde  $x$  e  $y$  são  
 rmo,  $x$ , é chamado  
 número complexo  
 eixo  $j$ . Do mesmo  
 sponde a um ponto  
 todos os números

e somente o serão,

pendicular ao dos  
 o 0, cada ponto do

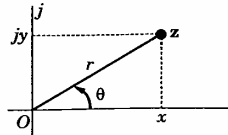


Figura 4-4 Representação polar de um número complexo Z.

$$Z = r \cos \theta + j r \sin \theta = r e^{j\theta}$$

A forma polar ou de Steinmetz para um número complexo Z é bastante usada em análise de circuitos e escreve-se

$$r / \theta$$

onde  $\theta$  aparece, geralmente, em graus.

Esses quatro meios de se representar um número complexo estão resumidos a seguir. O emprego de um ou de outro depende da operação a ser efetuada.

Forma retangular	$Z = x + jy$
Forma polar ou de Steinmetz	$Z = r / \theta$
Forma exponencial	$Z = r e^{j\theta}$
Forma trigonométrica	$Z = r(\cos \theta + j \sin \theta)$

### Conjugado de um Número Complexo

O conjugado  $Z^*$  de um número complexo  $Z = x + jy$  é o número complexo  $Z^* = x - jy$ . Por exemplo,  $3 - j2$  e  $3 + j2$ ,  $-5 + j4$  e  $-5 - j4$  são dois pares de números complexos conjugados.

Na forma polar, o conjugado de  $Z = r / \theta$  é  $Z^* = r / -\theta$ . O conjugado de  $Z = r(\cos \theta + j \sin \theta)$  é  $Z^* = r(\cos \theta - j \sin \theta)$ , pois  $\cos(-\theta) = \cos \theta$  e  $\sin(-\theta) = -\sin \theta$ . Por exemplo, o conjugado de  $Z = 7 / 30^\circ$  é  $Z^* = 7 / -30^\circ$ .

O conjugado  $Z^*$  de um número complexo Z é sempre a imagem de Z em relação ao eixo real, como mostra a Fig. 4-5.

Podemo complexo Z e sei

$$\begin{aligned} Z &= x + jy \\ Z^* &= x - jy \\ Z &= r e^{j\theta} \\ Z^* &= r e^{-j\theta} \\ Z &= r / \theta \\ Z^* &= r / -\theta \\ Z &= r(\cos \theta + j \sin \theta) \\ Z^* &= r(\cos \theta - j \sin \theta) \\ z_1 &= 3 + j4 \\ z_2 &= 5 / 14^\circ \end{aligned}$$

### Soma e Difi

Para so traem-se separa vista prático, a s das, conveniente

#### Exemplo

Podemos, então, resumir as quatro formas de se escrever o número complexo  $Z$  e seu conjugado.

$$\begin{aligned} Z &= x + jy \\ Z^* &= x - jy \\ Z &= r e^{j\theta} \\ Z^* &= r e^{-j\theta} \\ Z &= r \angle \theta \\ Z^* &= r \angle -\theta \\ Z &= r(\cos \theta + j \operatorname{sen} \theta) \\ Z^* &= r(\cos \theta - j \operatorname{sen} \theta) \\ z_1 &= 3 + j4, z_1^* = 3 - j4 \\ z_2 &= 5 \angle 143,1^\circ, z_2^* = 5 \angle -143,1^\circ \end{aligned}$$

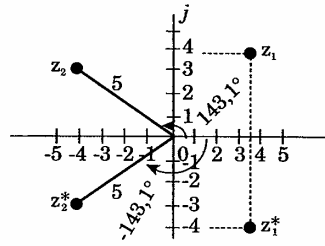


Figura 4-5 Números complexos e seus conjugados.

### Soma e Diferença de Números Complexos

Para somar ou subtrair dois números complexos somam-se ou subtraem-se separadamente as partes reais e as partes imaginárias. Do ponto de vista prático, a soma e a subtração de números complexos só podem ser efetuadas, convenientemente, quando ambos estão na forma retangular.

**Exemplo 1** Dados  $Z_1 = 5 - j2$  e  $Z_2 = -3 - j8$ . Então,

$$\begin{aligned} Z_1 + Z_2 &= (5 - 3) + j(-2 - 8) = 2 - j10 \\ Z_2 - Z_1 &= (-3 - 5) + j(-8 + 2) = -8 - j6 \end{aligned}$$

## Multiplicação de Números Complexos

O produto de dois números complexos, estando ambos na forma exponencial, deduz-se diretamente das leis dos expoentes:

$$\mathbf{Z}_1 \mathbf{Z}_2 = (r_1 e^{j\theta_1})(r_2 e^{j\theta_2}) = r_1 r_2 e^{j(\theta_1 + \theta_2)}$$

O produto na forma polar ou de Steinmetz segue-se da forma exponencial:

$$\mathbf{Z}_1 \mathbf{Z}_2 = (r_1 / \theta_1)(r_2 / \theta_2) = r_1 r_2 / \theta_1 + \theta_2$$

O produto pode ser obtido na forma retangular, tratando-se os dois números complexos como se fossem binômios.

$$\begin{aligned} \mathbf{Z}_1 \mathbf{Z}_2 &= (x_1 + jy_1)(x_2 + jy_2) = x_1 x_2 + jx_1 y_2 + jy_1 x_2 + j^2 y_1 y_2 \\ &= (x_1 x_2 - y_1 y_2) + j(x_1 y_2 + y_1 x_2) \end{aligned}$$

**Exemplo 2** Se  $\mathbf{Z}_1 = 5e^{j\pi/3}$  e  $\mathbf{Z}_2 = 2e^{-j\pi/6}$ , então  $\mathbf{Z}_1 \mathbf{Z}_2 = (5e^{j\pi/3})(2e^{-j\pi/6}) = 10e^{j\pi/6}$ .

**Exemplo 3** Se  $\mathbf{Z}_1 = 2/30^\circ$  e  $\mathbf{Z}_2 = 5/-45^\circ$ , então  $\mathbf{Z}_1 \mathbf{Z}_2 = (2/30^\circ)(5/-45^\circ) = 10/-15^\circ$ .

**Exemplo 4** Se  $\mathbf{Z}_1 = 2 + j3$  e  $\mathbf{Z}_2 = -1 - j3$ , então  $\mathbf{Z}_1 \mathbf{Z}_2 = (2 + j3)(-1 - j3) = 7 - j9$ .

## Divisão de Números Complexos

O quociente de dois números complexos na forma exponencial deduz-se diretamente da lei dos expoentes

$$\frac{\mathbf{z}_1}{\mathbf{z}_2} = \frac{r_1 e^{j\theta_1}}{r_2 e^{j\theta_2}} = \frac{r_1}{r_2} e^{j(\theta_1 - \theta_2)}$$

Na forma polar ou de Steinmetz, com referência à forma exponencial:

A divisão denominador pelo

$$\frac{\mathbf{z}_1}{\mathbf{z}_2} = \frac{x_1}{x_2}$$

**Exemplo**

**Exemplo**

**Exemplo**

$$= \frac{-6 - j}{5}$$

## Raízes de Nú

Qualquer  $n = 0, \pm 1, \pm 2, \dots$  D  
Então,

$$\mathbf{Z} = r e^{j\theta} = r$$

$$\mathbf{Z} = r / \theta :$$

Portanto, :  
atribuindo-se a  $n$  o

$$\frac{z_1}{z_2} = \frac{r_1/\theta_1}{r_2/\theta_2} = \frac{r_1}{r_2} / \theta_1 - \theta_2$$

A divisão na forma retangular se faz multiplicando-se numerador e denominador pelo conjugado do denominador:

$$\frac{z_1}{z_2} = \frac{x_1 + jy_1}{x_2 + jy_2} \left( \frac{x_2 - jy_2}{x_2 - jy_2} \right) = \frac{(x_1x_2 + y_1y_2) + j(y_1x_2 - y_2x_1)}{x_2^2 + y_2^2}$$

**Exemplo 5** Dados  $Z_1 = 4e^{j\pi/3}$  e  $Z_2 = 2e^{j\pi/6}$ , vem  $\frac{z_1}{z_2} = \frac{4e^{j\pi/3}}{2e^{j\pi/6}} = 2e^{j\pi/6}$ .

**Exemplo 6** Dados  $z_1 = 8 \angle -30^\circ$  e  $z_2 = 2 \angle -60^\circ$ , vem  $\frac{z_1}{z_2} = \frac{8 \angle -30^\circ}{2 \angle -60^\circ} = 4 \angle 30^\circ$ .

**Exemplo 7** Dados  $Z_1 = 4 - j5$  e  $Z_2 = 1 + j2$ , vem  $\frac{Z_1}{Z_2} = \frac{4 - j5}{1 + j2} \left( \frac{1 - j2}{1 - j2} \right) = \frac{-6 - j13}{5}$ .

### Raízes de Números Complexos

Qualquer número complexo  $Z = re^{j\theta}$  pode ser escrito  $Z = re^{j(\theta + 2\pi n)}$ , onde  $n = 0, \pm 1, \pm 2, \dots$ . Da mesma maneira,  $Z = r/\theta$  pode ser escrito  $Z = r/(\theta + n 360^\circ)$ . Então,

$$Z = re^{j\theta} = re^{j(\theta + 2\pi n)} \quad e \quad \sqrt[k]{Z} = \sqrt[k]{r} e^{j(\theta + 2\pi)/k}$$

$$Z = r/\theta = r/(\theta + n360^\circ) \quad e \quad \sqrt[k]{Z} = \sqrt[k]{r} / (\theta + n360^\circ)/k$$

Portanto, as  $k$  raízes distintas do número complexo podem ser obtidas atribuindo-se a  $n$  os valores  $0, 1, 2, 3, \dots, k - 1$ .

**Exemplo 8** Se  $Z = 8/60^\circ$ , tem-se  $\sqrt[3]{Z} = \sqrt[3]{8} / ((60^\circ + n360^\circ)/3) = 2/((20^\circ + n120^\circ))$ . Fazendo-se  $n$  igual a 0, 1 e 2, obtêm-se as três raízes cúbicas, que são:  $2/20^\circ$ ,  $2/140^\circ$  e  $2/260^\circ$ .

**Exemplo 9** Achar as cinco raízes quintas da unidade.

Como  $1 = 1 e^{j2\pi n}$ , vem:  $\sqrt[5]{1} = \sqrt[5]{1} e^{j2\pi n/5} = 1 e^{j2\pi n/5}$ .

Atribuindo-se a  $n$  os valores 0, 1, 2, 3 e 4, obtêm-se as cinco raízes

$$1/0^\circ \text{ ou } 1; 1/72^\circ; 1/144^\circ; 1/216^\circ \text{ e } 1/288^\circ.$$

## Logaritmo de um Número Complexo

O logaritmo neperiano de um número complexo pode ser determinado com facilidade, a partir de sua forma exponencial.

O resultado não é único. Usa-se, mais freqüentemente, o valor principal, quando  $n = 0$ .

**Exemplo 10** Se  $Z = 3e^{j\pi/6}$ , tem-se  $\ln Z e^{j\pi/6} = \ln 3 + j\pi/6 = 1,099 + j0,523$ .

## Forma Polar para Forma Retangular

**Exemplo 11** Expressar  $50/53,1^\circ$  na forma retangular ou binômica  $x + jy$ .

1. Faça um esboço exagerando o fato de que o ângulo é superior a  $45^\circ$ .
2.  $x = 50 \cos 53,1^\circ = 50 \times 0,600 = 30$ .
3. As partes real e imaginária são ambas positivas.
4.  $50/53,1^\circ = 30 + j40$ .

## Exempl.

1. Faça o esboço
2.  $x = 100 \cos$
3. As partes r
4.  $100/-120^\circ$

## Forma Reta

## Exempl.

1. Faça um esboço da parte imag
2.  $\theta = \arctg \frac{3}{4}$   
 $\sin 36,9^\circ =$   
 $= 0,800 \sin$
3.  $4 + j3 = 5/3$

$60^\circ + n360^\circ)/3 =$   
 são raízes cúbicas,

le.

se as cinco raízes

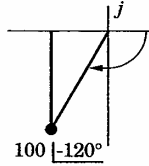
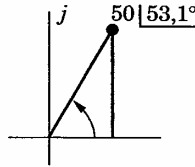
se ser determinado

mente, o valor prin-

$6 = 1,099 + j0,523.$

ou binômica  $x + jy.$

superior a  $45^\circ.$



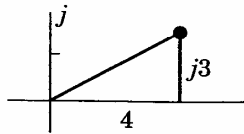
**Exemplo 12** Expressar  $100 \angle -120^\circ$  em forma retangular  $x + jy.$

1. Faça o esboço correspondente. O ângulo de referência é de  $60^\circ.$
2.  $x = 100 \cos 60^\circ = 100 \times 0,500 = 50.$
3. As partes real e imaginária são ambas negativas.
4.  $100 \angle -120^\circ = -50 - j 86,6.$

### Forma Retangular para Forma Polar

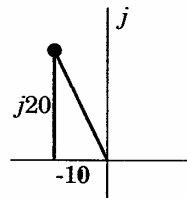
**Exemplo 13** Expressar  $4 + j3$  em forma polar,  $r/\theta.$

1. Faça um esboço exagerando o fato de que a parte real é maior do que a parte imaginária, quer dizer, o ângulo é menor do que  $45^\circ.$
2.  $\theta = \text{arc tg } \frac{3}{4} = \text{arc tg } 0,75 = 36,9^\circ (< 45^\circ)$   
 $\text{sen } 36,9^\circ = 0,600$ , donde  $r = \frac{3}{0,600} = 5$  ou  $\text{cos } 36,9^\circ = 0,800$  sendo, pois,  $r = \frac{4}{0,800} = 5.$
3.  $4 + j3 = 5 \angle 36,9^\circ.$



**Exemplo 14** Expressar  $-10 + j20$  em forma polar  $r/\theta$ .

1. Faça o esboço correspondente. O ângulo de referência  $\theta_1$  é menor do que  $45^\circ$ .
2.  $\theta_1 = \text{arc tg } \frac{20}{10} = \text{arc tg } 2 = 63,4^\circ$ . Portanto,  $\theta = 180^\circ - 63,4^\circ = 116,6^\circ$ .  $\text{sen } 63,4^\circ = 0,895$ , donde  $r = \frac{20}{0,895} = 22,4$   
ou então  $\cos 63,4^\circ = 0,449$ , donde  $r = \frac{10}{0,449} = 22,4$
3.  $-10 + j20 = 22,4 / 116,6^\circ$ .



**Problemas**

- 4.1 Demonstrar a fórmula de Euler.

Admitindo que uma função  $f(x)$  pode ser representada por uma série de potências de  $x$ , essa série deve ser da forma da série de Maclaurin,

$$f(x) = f(0) + xf'(0) + \frac{x^2}{2!} f''(0) + \frac{x^3}{3!} f'''(0) + \dots + \frac{x^{(n-1)}}{(n-1)!} f^{(n-1)}(0) + \dots$$

em que a fur  
Os desenvolv  
Maclaurin si

$$\cos \theta = 1 -$$

$$e^{j\theta} = 1 + j\theta$$

Reagrupand

$$e^{j\theta} = \left( 1 - \frac{\theta^2}{2!} + \frac{j\theta^3}{3!} - \frac{\theta^4}{4!} + \dots \right)$$

$$= \cos \theta + j \text{sen } \theta$$

- 4.2 Esboçar o pla  
ter cada núme  
os dois esboç  
(a)  $2 - j2$  (b)  
(f)  $j6$  (g)  $-4$
- 4.3 Expressar cada  
(a)  $15e^{j\pi/4}$ ; (b)  
Resp.: (a)  $15/\underline{4}$   
(f)  $18/\underline{90^\circ}$
- 4.4 Efetuar a oper  
(a)  $z = 3 - j4$   
(b)  $z = 10 / \underline{-4}$   
(c)  $z = 20/\underline{53,1}$   
(d)  $z = 2,5e^{j\pi/6}$   
Resp.: (a) 25;
- 4.5 Determinar as  
(a)  $\sqrt{5 + j^8}$ ; (b)  
Resp.: (a)  $3,0$ ;  
 $2/230^\circ$ ; (d)  $3e$   
(f)  $2/\underline{0^\circ}$ ,  $2/\underline{180^\circ}$

em que a função e todas as suas derivadas existem para  $x = 0$ .

Os desenvolvimentos de  $\cos \theta$ ,  $\sen \theta$  e  $e^{j\theta}$  em potências de  $\theta$  pela série de Maclaurin são

$$\cos \theta = 1 - \frac{\theta^2}{2!} + \frac{\theta^4}{4!} - \frac{\theta^6}{6!} + \dots \quad \sen \theta = \theta - \frac{\theta^3}{3!} + \frac{\theta^5}{5!} - \frac{\theta^7}{7!} + \dots$$

$$e^{j\theta} = 1 + j\theta - \frac{\theta^2}{2!} - j \frac{\theta^3}{3!} + \frac{\theta^4}{4!} + j \frac{\theta^5}{5!} - \frac{\theta^6}{6!} - j \frac{\theta^7}{7!} + \dots$$

Reagrupando os termos de  $e^{j\theta}$ , temos

$$e^{j\theta} = \left( 1 - \frac{\theta^2}{2!} + \frac{\theta^4}{4!} - \frac{\theta^6}{6!} + \dots \right) + j \left( \theta - \frac{\theta^3}{3!} + \frac{\theta^5}{5!} - \frac{\theta^7}{7!} + \dots \right)$$

$$= \cos \theta + j \sen \theta$$

- 4.2 Esboçar o plano complexo e localizar os seguintes números complexos. Converter cada número para a forma polar e repetir o esboço. Uma comparação entre os dois esboços mostrará se a conversão foi feita corretamente.

(a)  $2 - j2$  (b)  $3 + j8$  (c)  $-5 + j3$  (d)  $-4 - j4$  (e)  $5 + j0$   
 (f)  $j6$  (g)  $-4$  (h)  $-j5$

- 4.3 Exprimir cada um dos números complexos na forma polar

(a)  $15e^{j\pi/4}$ ; (b)  $5e^{-j2\pi/3}$ ; (c)  $-4e^{j5\pi/6}$ ; (d)  $-2e^{-j\pi/2}$ ; (e)  $10e^{-j\pi/6}$ ; (f)  $-18e^{-3\pi/2}$

Resp.: (a)  $15/45^\circ$ ; (b)  $5/-120^\circ$ ; (c)  $4/-30^\circ$ ; (d)  $2/90^\circ$ ; (e)  $10/-210^\circ$  ou  $10/150^\circ$ ;  
 (f)  $18/90^\circ$

- 4.4 Efetuar a operação indicada.

(a)  $z = 3 - j4$ . Achar  $zz^*$ . (e)  $z = 2 + j8$ . Achar  $z - z^*$ .

(b)  $z = 10 \angle -40^\circ$ . Achar  $zz^*$ . (f)  $z = 10 - j4$ . Achar  $z + z^*$ .

(c)  $z = 20 \angle 53,1^\circ$ . Achar  $z + z^*$ . (g)  $z = 95 \angle 25^\circ$ . Achar  $z - z^*$ .

(d)  $z = 2,5e^{j\pi/3}$ . Achar  $zz^*$ . (h)  $z = r \angle \theta$ . Achar  $z/z^*$ .

Resp.: (a) 25; (b) 100; (c) 24; (d) 6,25; (e)  $j16$ ; (f) 20; (g)  $j80,2$ ; (h)  $1/2\theta$ .

- 4.5 Determinar as raízes indicadas de cada número complexo.

(a)  $\sqrt{5 + j8}$ ; (b)  $\sqrt{150 \angle -60^\circ}$ ; (c)  $\sqrt[3]{6,93 - j4}$ ; (d)  $\sqrt[3]{27e^{j3\pi/2}}$ ; (e)  $\sqrt[4]{1}$ ; (f)  $\sqrt{4}$

Resp.: (a)  $3,07 \angle 29^\circ$ ,  $3,07 \angle 209^\circ$ ; (b)  $12,25 \angle -30^\circ$ ,  $12,25 \angle 150^\circ$ ; (c)  $2 \angle -10^\circ$ ,  $2 \angle 110^\circ$ ,  $2 \angle 230^\circ$ ; (d)  $3e^{j\pi/2}$ ,  $3e^{j7\pi/6}$ ,  $3e^{j11\pi/6}$ ; (e)  $1 \angle 0^\circ$ ,  $1 \angle 90^\circ$ ,  $1 \angle 180^\circ$ ,  $1 \angle 270^\circ$ ;

(f)  $2 \angle 0^\circ$ ,  $2 \angle 180^\circ$ , isto é,  $\pm 2$ .

$\theta_1$  é menor do que

2,4

a por uma série de Maclaurin,

4.6 Calcular o logaritmo neperiano do complexo.

(a)  $20/45^\circ$ ; (b)  $6/-60^\circ$ ; (c)  $0,5/120^\circ$ ; (d)  $0,3/180^\circ$ ; (e)  $(0,3/180^\circ) (20/45^\circ)$

Resp.: (a)  $3 + j\pi/4$ ; (b)  $1,79 - j\pi/3$ ; (c)  $-0,693 + j2\pi/3$ ; (d)  $-1,2 + j\pi$ ; (e)  $6/225^\circ$ .

4.7 Converter os complexos da forma polar para a retangular.

(a)  $12,3/30^\circ$

Resp.:  $10,63 + j6,15$ .

(b)  $53/160^\circ$

Resp.:  $-49,8 + j18,1$ .

(c)  $25/-45^\circ$

Resp.:  $17,7 - j17,7$ .

(d)  $86/-115^\circ$

Resp.:  $-36,3 - j78$ .

(e)  $0,05/-20^\circ$

Resp.:  $0,047 - j0,0171$ .

(f)  $0,003/80^\circ$

Resp.:  $0,00052 + j0,00295$ .

(g)  $0,013/260^\circ$

Resp.:  $-0,00226 - j0,0128$ .

(h)  $0,156/-190^\circ$

Resp.:  $-0,1535 + j0,0271$ .

4.8 Converter os complexos da forma retangular para a polar.

(a)  $-12 + j16$

Resp.:  $20/126,8^\circ$ .

(b)  $2 - j4$

Resp.:  $4,47/-63,4^\circ$ .

(c)  $-59 - j25$

Resp.:  $64/203^\circ$ .

(d)  $700 + j200$

Resp.:  $727/16^\circ$ .

(e)  $0,048 - j0$

Resp.:  $0,160$

(f)  $0,0171 + j$

Resp.:  $0,05/7$

(g)  $-69,4 - j$

Resp.:  $80/210$

(h)  $-2 + j2$

Resp.:  $28,3/1$

4.9 Converter os

(a)  $10/3^\circ$

Resp.:  $10 + j0$

(b)  $25/88^\circ$

Resp.:  $0,871 + j$

(c)  $50/-93^\circ$

Resp.:  $-2,62 - j$

(d)  $45/179^\circ$

Resp.:  $-45 + j$

(e)  $0,02/94^\circ$

Resp.:  $-0,001 + j$

(f)  $0,70/266^\circ$

Resp.:  $-0,048 + j$

(g)  $0,80/-5^\circ$

Resp.:  $0,8 - j0,07$

(h)  $200/181^\circ$

Resp.:  $-200 - j$

4.10 Converter os complexos

(a)  $540 + j40$

Resp.:  $540/4,2^\circ$

$$j) (20/45^\circ)$$

$$.2 + j\pi; (e) 6/225^\circ .$$

$$(e) 0,048 - j0,153$$

$$\text{Resp.: } 0,160/_{-72,55^\circ}.$$

$$(f) 0,0171 + j0,047$$

$$\text{Resp.: } 0,05/70^\circ.$$

$$(g) -69,4 - j40$$

$$\text{Resp.: } 80/210^\circ.$$

$$(h) -2 + j2$$

$$\text{Resp.: } 28,3/135^\circ.$$

**4.9** Converter os complexos da forma polar para a retangular.

$$(a) 10/3^\circ$$

$$\text{Resp.: } 10 + j0,523.$$

$$(b) 25/88^\circ$$

$$\text{Resp.: } 0,871 + j25.$$

$$(c) 50 /_{-93^\circ}$$

$$\text{Resp.: } -2,62 - j50.$$

$$(d) 45 /179^\circ$$

$$\text{Resp.: } -45 + j0,785.$$

$$(e) 0,02 /94^\circ$$

$$\text{Resp.: } -0,00139 + j0,02.$$

$$(f) 0,70/266^\circ$$

$$\text{Resp.: } -0,0488 - j0,70.$$

$$(g) 0,80/_{-5^\circ}$$

$$\text{Resp.: } 0,8 - j0,0696.$$

$$(h) 200/181^\circ$$

$$\text{Resp.: } -200 - j3,49.$$

**4.10** Converter os complexos da forma retangular para a polar.

$$(a) 540 + j40$$

$$\text{Resp.: } 540/4,25^\circ.$$

$$(b) -10 - j250$$

$$\text{Resp.: } 250 / \underline{-92,29^\circ}$$

$$(c) 8 - j0,5$$

$$\text{Resp.: } 8 / \underline{-3,58^\circ}$$

$$(d) 25 + j717$$

$$\text{Resp.: } 717 / \underline{88^\circ}$$

$$(e) 0,8 - j0,0696$$

$$\text{Resp.: } 0,8 / \underline{-5^\circ}$$

$$(f) 10 + j0,523$$

$$\text{Resp.: } 10 / \underline{3^\circ}$$

$$(g) -200 - j\beta,49$$

$$\text{Resp.: } 200 / \underline{181^\circ}$$

$$(h) 0,02 - j0,001$$

$$\text{Resp.: } 0,02 / \underline{-2,87^\circ}$$

**4.11** Determinar a soma ou diferença indicada.

$$(a) (10 / \underline{53,1^\circ}) + (4 + j2)$$

$$\text{Resp.: } 10 + j10.$$

$$(b) (10 / \underline{90^\circ}) + (8 - j2)$$

$$\text{Resp.: } 8 + j\beta.$$

$$(c) (-4 - j\beta) + (2 + j4)$$

$$\text{Resp.: } -2 - j2.$$

$$(d) (2,83 / \underline{45^\circ}) - (2 - j\beta)$$

$$\text{Resp.: } j10.$$

$$(e) (-5 + j5) - (7,07 / \underline{135^\circ})$$

$$\text{Resp.: } 0.$$

$$(f) (2 - j10) - (1 - j10)$$

$$\text{Resp.: } 1.$$

$$(g) (10 + j1) + 6 - (13,45 / \underline{-42^\circ})$$

$$\text{Resp.: } 6 + j10.$$

$$(h) - (5 / \underline{53,1^\circ})$$

$$\text{Resp.: } -4 +$$

**4.12** Calcular o pr  
convertê-los

$$(a) (3 - j2) (1$$

$$\text{Resp.: } -5 -$$

$$(b) (2 + j0) (2$$

$$\text{Resp.: } 6 - j\beta$$

$$(c) (-1 - j1)$$

$$\text{Resp.: } j\beta - j.$$

$$(d) (j2) (4 - 3)$$

$$\text{Resp.: } 6 + j\beta$$

$$(e) (j2) (j5)$$

$$\text{Resp.: } -10.$$

$$(f) (-j1) (j6)$$

$$\text{Resp.: } 6.$$

$$(g) (2 + j2) (2$$

$$\text{Resp.: } 8.$$

$$(h) (x + jy) (x$$

$$\text{Resp.: } x^2 + y^2$$

**4.13** Nos problem:  
denominador  
forma polar e

$$(a) (5 + j5) / (1$$

$$\text{Resp.: } j5.$$

$$(b) (4 - j\beta) / (2$$

$$\text{Resp.: } -1 - j$$

$$(c) (5 - j10) / (1$$

$$\text{Resp.: } -1 - j$$

$$(d) (8 + j12) / (1$$

$$\text{Resp.: } 6 - j4.$$

$$(e) (3 + j\beta) / (2$$

$$\text{Resp.: } 1,5.$$

$$(h) - (5/53,1') - (1 - j6)$$

$$\text{Resp.: } -4 + j2.$$

- 4.12 Calcular o produto dos seguintes números complexos. Como exercício adicional, convertê-los para a forma polar e efetuar novamente o produto, verificando-o.

$$(a) (3 - j2)(1 - j4)$$

$$\text{Resp.: } -5 - j14.$$

$$(b) (2 + j0)(3 - j3)$$

$$\text{Resp.: } 6 - j6.$$

$$(c) (-1 - j1)(1 + j1)$$

$$\text{Resp.: } j3 - j2.$$

$$(d) (j2)(4 - 3)$$

$$\text{Resp.: } 6 + j8.$$

$$(e) (j2)(j5)$$

$$\text{Resp.: } -10.$$

$$(f) (-j1)(j6)$$

$$\text{Resp.: } 6.$$

$$(g) (2 + j2)(2 - j2)$$

$$\text{Resp.: } 8.$$

$$(h) (x + jy)(x - jy)$$

$$\text{Resp.: } x^2 + y^2.$$

- 4.13 Nos problemas que se seguem, achar o quociente, multiplicando numerador e denominador pelo conjugado do denominador. Converter os números para a forma polar e determinar o quociente, a partir dessa forma.

$$(a) (5 + j5)/(1 - j1)$$

$$\text{Resp.: } j5.$$

$$(b) (4 - j8)/(2 + j2)$$

$$\text{Resp.: } -1 - j3.$$

$$(c) (5 - j10)/(3 + j4)$$

$$\text{Resp.: } -1 - j2.$$

$$(d) (8 + j12)/(j2)$$

$$\text{Resp.: } 6 - j4.$$

$$(e) (3 + j3)/(2 + j2)$$

$$\text{Resp.: } 1,5.$$

$$(f) (-5 - j10)/(2 + j4)$$

Resp.: -2,5.

$$(g) 10/(6 + j8)$$

Resp.: 0,6 - j0,8.

$$(h) j5/(2 - j2)$$

Resp.: -1,25 + j1,25.

**4.14** Achar cada produto indicado.

$$(a) (2,5 + j10)(-0,85 + j4,3)$$

Resp.:  $45/177,1^\circ$ .

$$(b) (3,8 - j1,5)(6 - j2,3)$$

Resp.:  $26,2/-42,6^\circ$ .

$$(c) (72 - j72)(1,3 + j4,8)$$

Resp.:  $506/29,8^\circ$ .

$$(d) (3/20^\circ)(2/-45^\circ)$$

Resp.:  $6/-25^\circ$ .

$$(e) (2 + j6)(18/21^\circ)$$

Resp.:  $113,5/92,5^\circ$ .

$$(f) 1/80^\circ (25/-45^\circ)(0,2/-15^\circ)$$

Resp.:  $5/20^\circ$ .

$$(g) (12 - j16)(0,23 + j0,75)$$

Resp.:  $15,66/19,7^\circ$ .

$$(h) (j1,63)(2,6 + j1)$$

Resp.:  $4,53/111,1^\circ$ .

**4.15** Exprimir cada relação como um único número complexo.

$$(a) (23,5 + j8,55)/(4,53 - j2,11)$$

Resp.:  $5/45^\circ$ .

$$(b) (21,2 - j21,2)/(3,54 - j3,54)$$

Resp.:  $6/0^\circ$ .

$$(c) (7,07 + j7)$$

Resp.:  $2/125$

$$(d) (-j45)/(6)$$

Resp.:  $5/-4$

$$(e) (6,88/12^\circ)$$

Resp.:  $3,08/$

$$(f) (5 + j5)/5j$$

Resp.: 1,414

$$(g) 1/(6 + j8)$$

Resp.:  $0,1/-$

$$(h) (-10 + j2)$$

Resp.:  $10/14$

**4.16** Calcular, em

$$(a) z_1 = 10 +$$

Resp.:  $7,18/$

$$(b) z_1 = 5/45^\circ$$

Resp.:  $5,5/1$

$$(c) z_1 = 6 - j$$

Resp.:  $5,52/$

$$(d) z_1 = 20, z$$

Resp.:  $17,9/$

$$(c) (7,07 + j7,07)/(4,92 + j0,868)$$

$$\text{Resp.: } 2/\underline{125^\circ}$$

$$(d) (-j45)/(6,36 - j6,36)$$

$$\text{Resp.: } 5/\underline{-45^\circ}$$

$$(e) (6,88/\underline{12^\circ})/(2 + j1)$$

$$\text{Resp.: } 3,08/\underline{-14,6^\circ}$$

$$(f) (5 + j5)/5/80^\circ$$

$$\text{Resp.: } 1,414/\underline{-35^\circ}$$

$$(g) 1/(6 + j8)$$

$$\text{Resp.: } 0,1/\underline{-53,1^\circ}$$

$$(h) (-10 + j20)/(2 - j1)$$

$$\text{Resp.: } 10/\underline{143,2^\circ}$$

**4.16** Calcular, em cada caso,  $z_1 z_2 / (z_1 + z_2)$ .

$$(a) z_1 = 10 + j5, z_2 = 20/\underline{30^\circ}$$

$$\text{Resp.: } 7,18/\underline{27,8^\circ}$$

$$(b) z_1 = 5/45^\circ, z_2 = 10/\underline{-70^\circ}$$

$$\text{Resp.: } 5,5/\underline{15,2^\circ}$$

$$(c) z_1 = 6 - j2, z_2 = 1 + j8$$

$$\text{Resp.: } 5,52/\underline{23,81^\circ}$$

$$(d) z_1 = 20, z_2 = j40$$

$$\text{Resp.: } 17,9/\underline{26,6^\circ}$$



MAKRON  
Books

## IMPEDÂNCIA COMPLEXA E NOTAÇÃO DE FASORES

### Introdução

A análise de circuito em estado estacionário senoidal é importante porque as tensões fornecidas pelos geradores de corrente alternada são, muito aproximadamente, funções senoidais puras e porque qualquer onda periódica pode ser substituída por um termo constante e uma série de termos senoidais e co-senoidais. Chama-se a isso *Método de Fourier de Análise de Formas de Onda*. Este método será estudado no Capítulo 15.

No Capítulo 3, foram analisados diversos circuitos simples, em que a tensão e a corrente eram funções senoidais. Entretanto, o trabalho se tornou complicado, mesmo quando os circuitos eram relativamente simples. Empregando fasores para representar tensões e correntes, e uma *impedância complexa* para responder pelos elementos de circuito, ficará grandemente simplificada a análise em estado estacionário. É isto que veremos neste capítulo.

### Impedância Complexa

Consideremos um circuito *RL* em série com uma tensão aplicada  $v(t) = V_m e^{j\omega t}$ , como mostra a Fig. 5-1. Pela fórmula de Euler, essa função inclui um termo

co-senoidal e um  
as tensões, no cir

Esta equ  
particular da for

onde  $K = \frac{V_m}{R + j\omega L}$   
rente mostra que  
uma parte imagi

Considere  
tensão  $V_m e^{j\omega t}$  ap

Capítulo 5

co-senoidal e um termo senoidal:  $V_m \cos \omega t + j V_m \sin \omega t$ . A lei de Kirchhoff para as tensões, no circuito fechado é:

$$Ri(t) + L \frac{di(t)}{dt} = V_m e^{j\omega t}$$

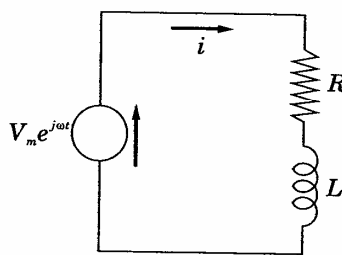


Figura 5-1

Esta equação diferencial linear de primeira ordem tem uma solução particular da forma  $i(t) = Ke^{j\omega t}$ . Substituindo, temos

$$RK e^{j\omega t} + j\omega L K e^{j\omega t} = V_m e^{j\omega t}$$

onde  $K = \frac{V_m}{R + j\omega L}$  e  $i(t) = \frac{V_m}{R + j\omega L} e^{j\omega t}$ . A relação entre a tensão e a corrente mostra que a impedância é um número complexo com uma parte real  $R$  e uma parte imaginária  $\omega L$ :

$$Z = \frac{v(t)}{i(t)} = \frac{V_m e^{j\omega t}}{\frac{V_m}{R + j\omega L} e^{j\omega t}} = R + j\omega L$$

Consideremos, agora, um circuito  $RC$  em série, com a mesma tensão  $V_m e^{j\omega t}$  aplicada, como mostra a Fig. 5-2. Então,

$$Ri(t) + \frac{1}{C} \int i(t) dt = V_m e^{j\omega t}$$

**XA E  
ES**

dal é importante  
ernada são, muito  
er onda periódica  
ermos senoidais e  
ise de Formas de

simples, em que a  
abalho se tornou  
simples. Empre-  
edância complexa  
nte simplificada a  
tulo.

aplicada  $v(t) = V_m$   
o inclui um termo

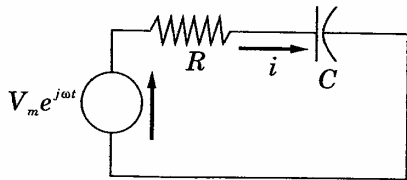


Figura 5-2

Fazendo  $i(t) = Ke^{j\omega t}$  e substituindo em (1), obtemos

$$RK e^{j\omega t} + \frac{1}{j\omega C} K e^{j\omega t} = V_m e^{j\omega t}$$

donde  $K = \frac{V_m}{R + 1/j\omega C} = \frac{V_m}{R - j(1/\omega C)}$  e  $i(t) = \frac{V_m}{R - j(1/\omega C)} e^{j\omega t}$ .

Então,  $Z = \frac{V_m e^{j\omega t}}{\frac{V_m}{R - j(1/\omega C)} e^{j\omega t}} = R - j(1/\omega C)$

Novamente, a impedância é um número complexo com uma parte real  $R$  e uma parte imaginária  $- (1/\omega C)$ .

Isso sugere que os elementos de circuito podem ser expressos em termos de sua impedância complexa  $Z$ , a qual pode ser colocada no diagrama elétrico, como mostra a Fig. 5-3.

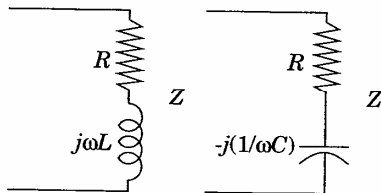


Figura 5-3

Como a impedância é um número complexo, pode ser situada no plano complexo. Entretanto, como a resistência nunca pode ser negativa, somente são utilizados o primeiro e o quarto quadrantes. Sua representação gráfica chama-se *diagrama da impedância*. Ver Fig. 5-4.

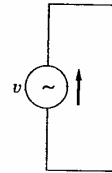


A resistên indutiva  $X_L$  fica localizada no semi-se ou no primeiro constituem. Na for

**Exemplo 1** tensão aplic (ver Fig. 5-5).

A reatância ir

Na forma pol



**Exemplo 2** ] tensão aplica Fig. 5-6).

A reatância c

$$Z = 20 - j20$$

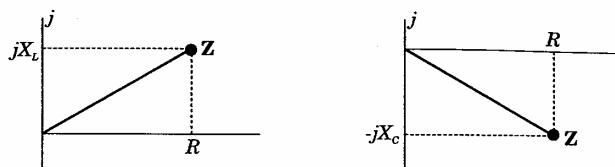


Figura 5-4 Diagrama da impedância.

A resistência  $R$  está situada no semi-eixo real positivo. Uma reatância indutiva  $X_L$  fica localizada no semi-eixo  $j$  positivo e uma reatância capacitiva  $X_C$  se localiza no semi-eixo  $j$  negativo. Em geral, a impedância complexa  $Z$  localiza-se ou no primeiro ou no quarto quadrante, dependendo dos elementos que a constituem. Na forma polar,  $Z$  terá um ângulo compreendido entre  $+90^\circ$  e  $-90^\circ$ .

**Exemplo 1** Um circuito  $RL$  série com  $R = 5$  ohms e  $L = 2$  mH tem uma tensão aplicada  $v = 150 \text{ sen } 5000t$ . Achar a impedância complexa  $Z$  (ver Fig. 5-5).

A reatância indutiva  $X_L = \omega L = 5000 (2 \times 10^{-3}) = 10$  ohms. Então,  $Z = 5 + j10$ .

Na forma polar,  $Z = 11,16 \angle 63,4^\circ$ .

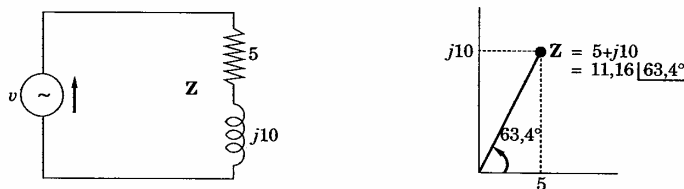


Figura 5-5

**Exemplo 2** Em um circuito  $RC$  em série, onde  $R = 20$  ohms e  $C = 5\mu\text{F}$ , a tensão aplicada é  $v = 150 \text{ cos } 10000t$ . Achar a impedância complexa  $Z$  (ver Fig. 5-6).

A reatância capacitiva  $X_C = \frac{1}{\omega C} = \frac{1}{10000 (5 \times 10^{-6})} = 20$  ohms; então,  $Z = 20 - j20$ . Na forma polar,  $Z = 28,3 \angle -45^\circ$ .

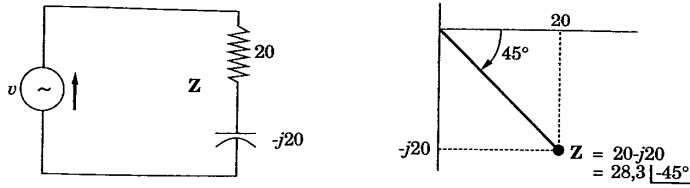


Figura 5-6

Em todos os circuitos, com exceção do resistivo puro, a impedância é função de  $\omega$ , pois  $X_L$  e  $X_C$  são funções de  $\omega$ . Conseqüentemente, uma impedância complexa só é válida para a frequência em que foi calculada.

### Notação de Fasores

Consideremos a função  $f(t) = re^{j\omega t}$ . Trata-se de um número complexo que inclui a variável  $t$ . Seu valor absoluto, entretanto, está fixado em  $r$ . Se traçarmos sua representação gráfica, por exemplo, nos instantes  $t = 0, \pi/4\omega$  e  $\pi/2\omega$ , como mostra a Fig. 5-7, evidencia-se a natureza da função.

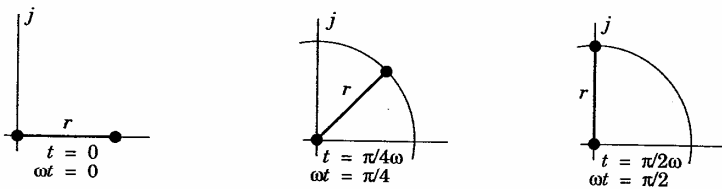
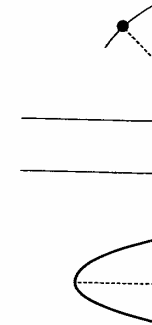


Figura 5-7 A função  $r^{j\omega t}$ .

Se  $\omega$  for constante, o segmento de reta girará no sentido anti-horário com velocidade angular constante. As projeções desse segmento rotativo sobre os eixos real e imaginário representam as partes co-senoidal e senoidal de  $e^{j\omega t}$ , dadas pela fórmula de Euler.

Vimos, no Capítulo 3, que num circuito série  $RL$  submetido à tensão  $v = V_m \text{ sen } \omega t$  circula uma corrente atrasada  $\theta$  graus em relação à tensão, onde

$\theta = \text{arc tg } (\omega L/R)$ , do circuito e da frequência. Na Fig. 5-9(a) estão representados, que giram no ângulo de fase em mesma velocidade está atrasada de  $\theta$



Função co-se

As projeções conforme a fórmula função seno.

Seja uma frequência de desvio em  $t = 0$ . Admitamos, então,  $Z = ze^{j\theta}$  ( $-\pi/2 \leq \theta \leq \pi$ )

A corrente é

$$(V_m e^{j(\omega t + \theta)})$$

$\theta = \text{arc tg} (\omega L/R)$ ,  $i = T_m \text{ sen} (\omega t - \theta)$ . O ângulo de fase é função das constantes do circuito e da frequência da tensão aplicada, mas não pode exceder  $90^\circ$  ou  $\pi/4$  radianos. Na Fig. 5-9(b)  $v$  e  $i$  estão representadas em função de  $\omega t$ . Na Fig. 5-9(a) estão representados, no plano complexo, dois segmentos de reta, orientados, que giram no sentido anti-horário, com velocidade angular constante  $\omega$ . O ângulo de fase entre eles permanece constante, já que ambos giram com a mesma velocidade. Verifica-se, também, pelo sentido da rotação, que a corrente está atrasada de  $\theta$  graus, em relação à tensão.

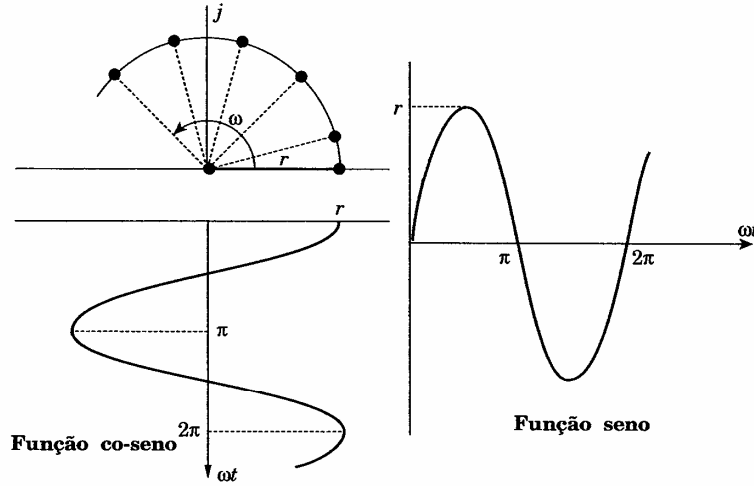


Figura 5-8

As projeções sobre o eixo  $j$  são, exatamente, as funções representadas, conforme a fórmula de Euler, pois a parte imaginária da função exponencial é a função seno.

Seja uma função tensão de forma geral  $v = V_m e^{j(\omega t + \alpha)}$ , onde  $\alpha$  é um ângulo de desvio inicial que possibilita a tensão estar a um ângulo  $\alpha$ , quando  $t = 0$ . Admitamos, além disso, essa tensão aplicada a um circuito de impedância  $Z = z e^{j\theta}$  ( $-\pi/2 \leq \theta \leq \pi/2$ ).

A corrente será dada por

$$(V_m e^{j(\omega t + \alpha)}) / (z e^{j\theta}) = (V_m / z) e^{j(\omega t + \alpha - \theta)} = I_m e^{j(\omega t + \alpha - \theta)},$$

$= 20-j20$   
 $= 28,3 \angle -45^\circ$

ro, a impedância é  
 mente, uma impe-  
 culada.

. número complexo  
 tá fixado em  $r$ . Se  
 antes  $t = 0, \pi/4\omega$  e  
 ação.

$j$

$t = \pi/2\omega$   
 $t = \pi/2$

entido anti-horário  
 ento rotativo sobre  
 l e senoidal de  $e^{j\omega t}$ ,

ubmetido à tensão  
 ação à tensão, onde

isto é,  $I_m e^{j(\omega t + \alpha - \theta)} = \frac{V_m e^{j(\omega t + \alpha)}}{z e^{j\theta}}$

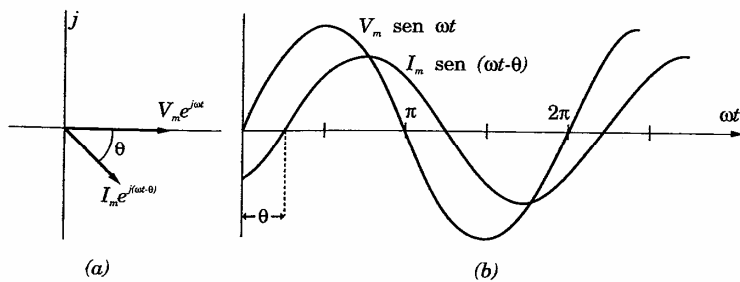


Figura 5-9

Esta igualdade está no *domínio do tempo*, pois o tempo aparece explicitamente nas expressões da tensão e da corrente. Faremos, agora, duas modificações, para estabelecer os *fasores*. Primeira: multiplicamos a igualdade por  $e^{-j\omega t}$  para eliminar a função tempo. Segunda: multiplicamos ambos os membros por  $1/\sqrt{2}$  para ficarmos com os valores eficazes da corrente e da tensão:

$$\frac{e^{-j\omega t}}{\sqrt{2}} (I_m e^{j(\omega t + \alpha - \theta)}) = \frac{e^{-j\omega t}}{\sqrt{2}} \left( \frac{V_m e^{j(\omega t + \alpha)}}{z e^{j\theta}} \right)$$

$$\frac{I_m}{\sqrt{2}} e^{j(\alpha - \theta)} = \frac{V_m}{\sqrt{2}} \cdot \frac{e^{j\alpha}}{z e^{j\theta}} \tag{2}$$

$$I / \alpha - \theta = \frac{V / \alpha}{z / \theta} \tag{3}$$

$$\mathbf{I} = \frac{\mathbf{V}}{\mathbf{Z}} \tag{4}$$

A equação (2) é uma transformada e aparece, agora, no *domínio da frequência*. O tempo não aparece nela ou nas seguintes. Deve-se conservar na lembrança, entretanto, a variação da equação (1) com o tempo.  $I$  e  $V$  em (3), sem índices, indicam os valores eficazes da corrente e da tensão. A equação (4), portanto, relaciona  $\mathbf{I}$ ,  $\mathbf{V}$  e  $\mathbf{Z}$  como quantidades complexas e, como tais, devem ser tratadas, levando-se em conta seus valores absolutos e seus argumentos.

Temos, assim, um *forma complexa*

Na Fig. : complexo, express *domínio do tempo* fasor tensão e o  $1/\sqrt{2}$  vezes os da absoluto da corre: está no *domínio c*



(a) Domín

5.1 Mostrar a va cada uma di segundo. Su

Nas express tes na faixa 5-11(a). A Fi

Qualquer ci função da fi dância, traç frequência e

Temos, assim, uma *equivalente da lei de Ohm para fasores*, também chamada *forma complexa da lei de Ohm*.

Na Fig. 5-10(a) as funções tensão e corrente são mostradas no plano complexo, expressas na forma exponencial. Trata-se de uma representação no *domínio do tempo*, pois  $t$  aparece explicitamente. Na Fig. 5-10(b) aparecem o *fasor tensão* e o *fasor corrente*. Os segmentos representativos, nesse caso, são  $1/\sqrt{2}$  vezes os da Fig. 5-10(a) e o tempo não aparece. Mas o ângulo  $\theta$  e o valor absoluto da corrente são funções da frequência, por isso diz-se que a Fig. 5-10(b) está no *domínio da frequência*.

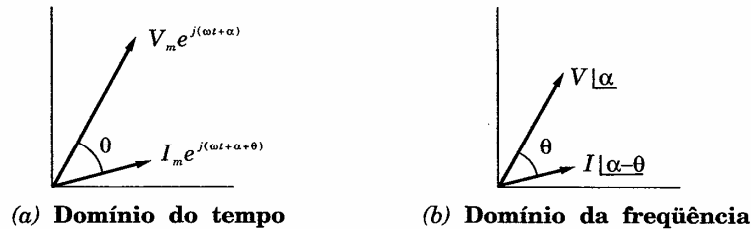
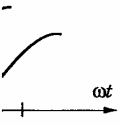


Figura 5-10

**Problemas Resolvidos**

5.1 Mostrar a variação de  $X_L$  e  $X_C$  com a frequência, representando graficamente cada uma delas em função de  $\omega$ , numa faixa de 400 a 4000 radianos por segundo. Supor  $L = 40$  mH e  $C = 25$   $\mu$ F.

(2)

Nas expressões de  $X_L = \omega L$  e  $X_C = 1/\omega C$ , dando-se a  $\omega$  valores convenientes na faixa considerada, obtemos os valores de  $X_L$  e  $X_C$  tabulados na Fig. 5-11(a). A Fig. 5-11(b) mostra as representações gráficas de  $X_L$  e  $X_C$ .

(3)

Qualquer circuito que contenha  $L$  ou  $C$  terá uma impedância que é uma função da frequência. Conseqüentemente, qualquer diagrama de impedância, traçado para uma determinada frequência, só será válido nessa frequência específica.

(4)

a, no *domínio da*  
e-se conservar na  
.  $I$  e  $V$  em (3), sem  
io. A equação (4),  
como tais, devem  
seus argumentos.



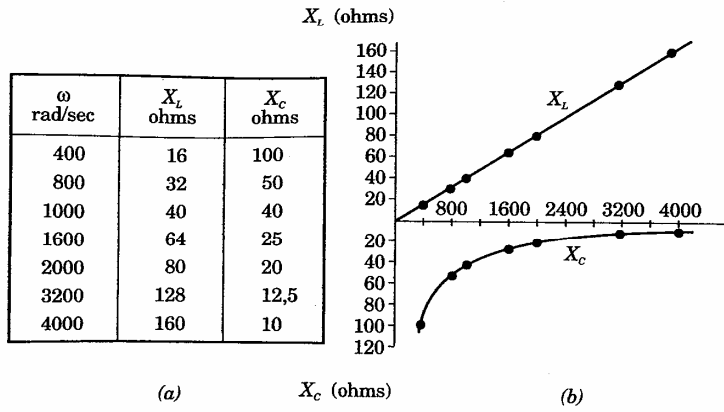


Figura 5-11

5.2 Dados  $v = 150 \text{ sen } (5000t + 45^\circ)$  e  $i = 3 \text{ sen } (5000t - 15^\circ)$ , construir os diagramas de fasores e da impedância e determinar as constantes do circuito.

Os fasores têm valores absolutos iguais a  $1/\sqrt{2}$  vezes os valores máximos. Portanto,

$$V = \frac{150}{\sqrt{2}} \angle 45^\circ = 106 \angle 45^\circ, I = \frac{3}{\sqrt{2}} \angle -15^\circ = 2,12 \angle -15^\circ$$

e

$$Z = \frac{V}{I} = \frac{106 \angle 45^\circ}{2,12 \angle -15^\circ} = 50 \angle 60^\circ = 25 + j43,3$$

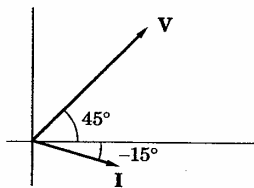


Diagrama de fasores

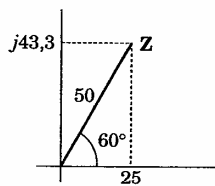


Diagrama de impedância

Figura 5-12

A corrente em um circuito RL em série com constantes

5.3 Dados  $v = 311 \text{ sen } \omega t$  e  $i = 10 \text{ sen } (\omega t - 45^\circ)$ , construir os diagramas de fasores e da impedância e determinar as constantes do circuito.

$$V = \frac{311}{\sqrt{2}} \angle 0^\circ$$

e

$$Z = \frac{V}{I} = \frac{219,7 \angle 0^\circ}{7,07 \angle -45^\circ} = 31 \angle 45^\circ = 22 + j22$$

A corrente em um circuito RC. As constantes do circuito são:

5-4 Um circuito RC com impedância  $Z = 40 \text{ sen } 45^\circ$  ohms. De

Impedância

Da Fig. 5-14

$X_L = 40 \text{ sen } 45^\circ$

Logo,  $X_L = 28,3$  ohms

A corrente está atrasada 60° em relação à tensão, o que indica um circuito *RL* em série. Então:  $\omega L = 43,3$  ohms e  $L = 43,3/5000 = 86,6$  mH. As constantes do circuito são  $R = 25$  ohms e  $L = 86,6$  mH.

- 5.3 Dados  $v = 311 \text{ sen } (2500t + 170^\circ)$  e  $i = 15,5 \text{ sen } (2500t - 145^\circ)$ , construir os diagramas de fasores e da impedância e determinar as constantes do circuito.

$$V = \frac{311}{\sqrt{2}} \angle 170^\circ = 220 \angle 170^\circ, \quad I = \frac{15,5}{\sqrt{2}} \angle -145^\circ = 11 \angle -145^\circ$$

e

$$Z = \frac{V}{I} = \frac{220 \angle 170^\circ}{11 \angle -145^\circ} = 20 \angle -45^\circ = 14,14 - j14,14$$

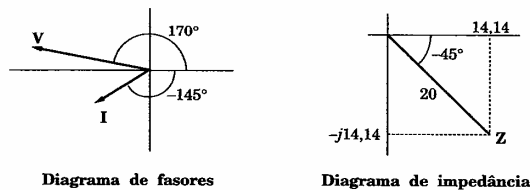


Figura 5-13

A corrente está adiantada 45° em relação à tensão, o que indica um circuito *RC*. Então,  $X_C = 1/\omega C = 14,14$  ohms e  $C = 1/(14,14 \times 2500) = 28,3 \mu\text{F}$ . As constantes do circuito são  $R = 14,14$  ohms e  $C = 28,3 \mu\text{F}$ .

- 5-4 Um circuito em série de  $R = 20$  ohms e  $L = 0,02$  H tem uma impedância de  $40 \angle \phi$  ohms. Determinar o ângulo  $\phi$  e a frequência  $f$  em hertz.

$$\text{Impedância do circuito} = 20 + jX_L = 40 \angle \phi$$

Da Fig. 5-14,  $\phi = \text{arc cos } 20/40 = 60^\circ$ ; então,

$$X_L = 40 \text{ sen } 60^\circ = 34,6 \text{ ohms}$$

$$\text{Logo, } X_L = \omega L = 2\pi f L \text{ e } f = \frac{X_L}{2\pi L} = \frac{34,6}{2\pi (0,02)} = 275 \text{ Hz}$$

construir os diagramas de fasores e da impedância e determinar as constantes do circuito.

valores máximos.

impedância



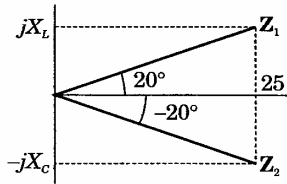


Figura 5-16

Um ângulo de atraso de  $20^\circ$  exige que uma reatância indutiva  $X_L$  esteja em série com  $R$ . A reatância capacitiva  $X_C$  que proporciona o mesmo ângulo de avanço possui o mesmo valor ôhmico que  $X_L$ .

Para atraso da corrente:  $\text{tg } 20^\circ = X_L/25$  ou  $X_L = 9,1$  ohms. Então:  $L = X_L/2\pi f = 9,1/2\pi \cdot 500 = 2,9$  mH.

Para avanço da corrente:  $C = 1/2\pi f X_C = 1/2\pi \cdot 500 \cdot 9,1 = 35$   $\mu\text{F}$ .

- 5.7 Pretende-se utilizar um circuito em série de  $R = 25$  ohms e  $L = 0,01$ H nas frequências de 100,500 e 1000Hz. Achar a impedância  $Z$  em cada uma dessas frequências.

Na frequência  $f = 100$  Hz  $X_L = 2\pi f L = 2\pi \cdot 100 \cdot 0,01 = 6,28$  ohms. Da mesma maneira, para  $f = 500$  Hz,  $X_L = 31,4$  ohms e para  $f = 1000$  Hz,  $X_L = 62,8$  ohms. Os valores correspondentes de  $Z$  estão na Fig. 5-17.

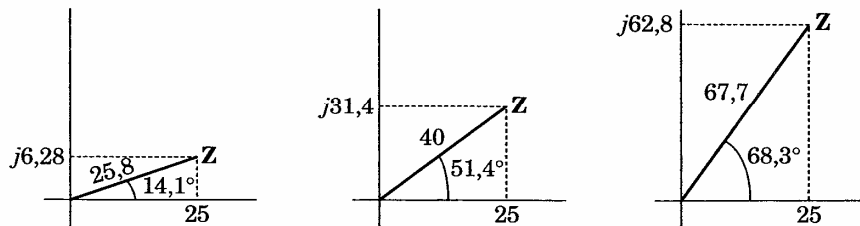


Figura 5-17

- 5.8 Uma tensão  $v = 500 \cos(2500t - 20^\circ)$  está aplicada a um circuito em série de  $R = 10$  ohms e  $C = 40$   $\mu\text{F}$ . Achar a corrente  $i$ .

tensão aplicada e a  
Qual a mudança de  
le  $70^\circ$ ?  
5,76 ohms. Então,  
Hz

tada  $70^\circ$ . Então,  
e  $f_2/f_1 = X_{C1}/X_{C2}$ ;  
m maior ângulo de  
ie com  $R + 25$  ohms,  
ão. Repetir para um

$$X_C = 1/\omega C = 1/2500 (40 \times 10^{-6}) = 10 \text{ ohms}$$

e a impedância complexa

$$Z = 10 - j10 = 10\sqrt{2} \angle -45^\circ$$

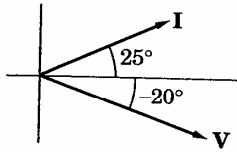


Figura 5-18

Convertendo-se a tensão para a notação de fasores,  $V = (500/\sqrt{2}) \angle -20^\circ$ . Então,

$$I = \frac{V}{Z} = \frac{(500/\sqrt{2}) \angle -20^\circ}{(10\sqrt{2}) \angle -45^\circ} = 25 \angle 25^\circ$$

$$I = 25\sqrt{2} \cos(2500t + 25^\circ)$$

O diagrama de fasores da Fig. 5-18 mostra que a corrente  $I$  está avançada de  $45^\circ$  em relação à tensão e esse é o ângulo da impedância.

5.9 Um circuito em série de  $R = 8$  ohms e  $L = 0,02H$  tem uma tensão aplicada de  $v = 283 \text{ sen}(300t + 90^\circ)$ . Achar a corrente  $i$ .

$$X_L = \omega L = 300(0,02) = 6 \text{ ohms}, Z = 8 + j6 = 10 \angle 36,9^\circ \text{ e}$$

$$V = (283/\sqrt{2}) \angle 90^\circ = 200 \angle 90^\circ. \text{ Então,}$$

$$I = \frac{200 \angle 90^\circ}{10 \angle 36,9^\circ} = 20 \angle 53,1^\circ \text{ e } i = 20\sqrt{2} \text{ sen}(300t + 53,1^\circ)$$

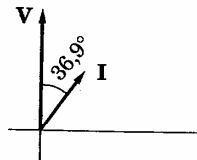


Figura 5-19

5.10 Num circuito em relação à impedância complexa,  $Z$ , do c

Da Fig. 5-20  $28,4/2\pi(0,03$

A impedância

5.11 Um capacitor. A corrente res valor de  $R$ .

$$X_C = 1/2\pi f C =$$

Como o ângu

5.12 A tensão  $v_1 =$  ohms e  $L = 0,030^\circ$  é aplicada diagramas de f

(a) Com a ten

- 5.10 Num circuito em série de  $R = 5$  ohms e  $L = 0,03$ H a corrente está atrasada de  $80^\circ$  em relação à tensão. Determinar a frequência da fonte e a impedância complexa,  $Z$ , do circuito.

Da Fig. 5-20,  $X_L = 5 \operatorname{tg} 80^\circ = 28,4$  ohms. Como  $X_L = 2\pi fL$ ,  $f = X_L/2\pi L = 28,4/2\pi(0,03) = 151$ Hz.

A impedância complexa é  $Z = 5 + j28,4 = 28,8/80^\circ$ .

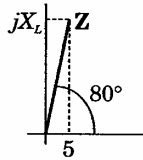


Figura 5-20

- 5.11 Um capacitor de  $25 \mu\text{F}$  está em série com um resistor  $R$  na frequência de 60 Hz. A corrente resultante está avançada de  $45^\circ$  em relação à tensão. Determinar o valor de  $R$ .

$$X_C = 1/2\pi fC = 1/2\pi \cdot 60(25 \times 10^{-6}) = 106 \text{ ohms.}$$

Como o ângulo de fase é  $45^\circ$ ,  $R = X_C = 106$  ohms.

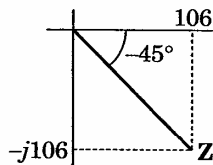


Figura 5-21

- 5.12 A tensão  $v_1 = 70,7 \operatorname{sen}(200t + 30^\circ)$  é aplicada a um circuito em série de  $R = 8$  ohms e  $L = 0,06$  H. Posteriormente, uma segunda tensão,  $v_2 = 70,7 \operatorname{sen}(300t + 30^\circ)$  é aplicada no lugar da primeira. Achar  $i$  para cada fonte e construir os dois diagramas de fasores.

(a) Com a tensão  $v_1$ ,

$$V = (500/\sqrt{2}) \angle -20^\circ.$$

te  $I$  está avançada à tensão.

nsão aplicada de  $v =$

3,1°)

$$X_L = \omega L = 200(0,06) = 12 \text{ e } Z_1 = R + jX_L = 8 + j12 = 14,4/56,3^\circ$$

Como  $V_1 = (70,7/\sqrt{2})/30^\circ = 50/30^\circ$ ,

$$I_1 = \frac{V_1}{Z_1} = \frac{50/30^\circ}{14,4/56,3^\circ} = 3,47 \angle -26,3^\circ \text{ e } i_1 = 3,47\sqrt{2} (\text{sen } 200t - 26,3^\circ)$$

(b) Com a tensão  $v_2$ ,

$$X_L = \omega L = 300(0,06) = 18 \text{ e } Z_2 = 8 + j18 = 19,7/66^\circ$$

Como  $V_2 = 50/30^\circ$ ,

$$I_1 = \frac{V_2}{Z_2} = \frac{50/30^\circ}{19,7/66^\circ} = 2,54 \angle -36^\circ \text{ e } i_2 = 2,54\sqrt{2} \text{ sen } (300t - 36^\circ)$$

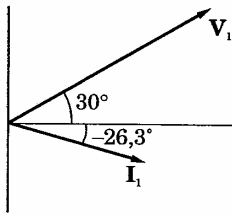


Diagrama de fasor,  $\omega = 200$

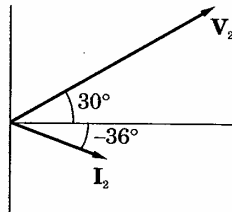


Diagrama de fasor,  $\omega = 300$

Figura 5-22

- 5.13 Determinar a soma das correntes  $i_1 = 14,14 \text{ sen } (\omega t + 13,2^\circ)$  e  $i_2 = 8,95 \text{ sen } (\omega t + 121,6^\circ)$ , empregando fasores. Ver Fig. 5-23.

$$I_1 = (14,14/\sqrt{2})/13,2^\circ = 10/13,2^\circ = 9,73 + j2,28$$

$$I_2 = (8,95/\sqrt{2})/121,6^\circ = 6,33/121,6^\circ = 3,32 + j5,39$$

$$I_1 + I_2 = 6,41 + j7,67 = 10/50^\circ$$

Então,  $i_1 + i_2 = 10\sqrt{2} \text{ sen } (\omega t + 50^\circ)$ .

- 5.14 Calcular a dif (120°). Ver Fig.

$$I_1 = (50 /$$

$$I_2 = (35,4$$

Então,  $i_1 - i_2$

- 5.15 Calcular a som e  $i_3 = 32,6 \text{ ser}$

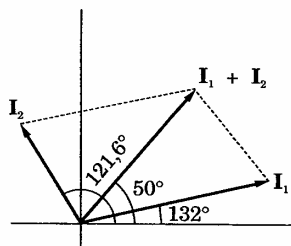


Figura 5-23

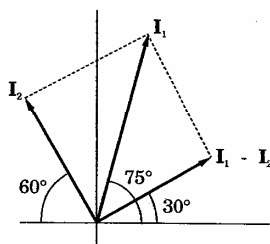


Figura 5-24

5.14 Calcular a diferença  $i_1 - i_2$  sendo  $i_1 = 50 \cos(\omega t + 75^\circ)$  e  $i_2 = 35,4 \cos(\omega t + 120^\circ)$ . Ver Fig. 5-24.

$$I_1 = (50 / \sqrt{2}) \angle 75^\circ = 35,4 \angle 75^\circ = 9,16 + j34,2$$

$$I_2 = (35,4 / \sqrt{2}) \angle 120^\circ = 25 \angle 120^\circ = -12,5 + j21,7$$

$$I_1 - I_2 = 21,7 + j12,5 = 25 \angle 30^\circ$$

Então,  $i_1 - i_2 = 25 \sqrt{2} \cos(\omega t + 30^\circ)$

5.15 Calcular a soma das três correntes  $i_1 = 32,6 \sin(\omega t - 145^\circ)$ ,  $i_2 = 32,6 \sin(\omega t - 25^\circ)$  e  $i_3 = 32,6 \sin(\omega t + 95^\circ)$ .

$1/\sqrt{56,3^\circ}$

em  $200t - 26,3^\circ$

$i_1(300t - 36^\circ)$

$V_2$

ou,  $\omega = 300$

e  $i_2 = 8,95 \sin(\omega t +$

28

39

,67 = 10  $\angle 50^\circ$

$$I_1 = (32,6/\sqrt{2}) / -145^\circ = 23 / -145^\circ = -18,8 - j13,19$$

$$I_2 = (32,6/\sqrt{2}) / -25^\circ = 23 / -25^\circ = 20,8 - j9,72$$

$$I_3 = (32,6/\sqrt{2}) / 95^\circ = 23 / 95^\circ = -2 + j22,91$$

$$I_1 + I_2 + I_3 = 0 \text{ (zero)}$$

Dentro dos limites de precisão da calculadora, a soma é nula. O diagrama de fasores da Fig. 5-25 mostra que as três correntes estão defasadas de 120° entre si, o que, por serem as amplitudes iguais, anula obviamente a soma.

5.16 Determinar a soma das duas tensões  $v_1 = 126,5 \text{ sen}(\omega t + 63,4^\circ)$  e  $v_2 = 44,7 \text{ cos}(\omega t - 161,5^\circ)$ . Expressar a soma como função senoidal e, posteriormente, como função co-senoidal.

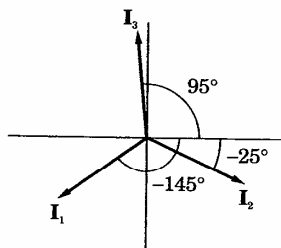


Figura 5-25

Convertendo  $v_2$  em função senoidal,

$$v_2 = 44,7 \text{ sen}(\omega t - 161,5^\circ + 90^\circ) = 44,7 \text{ sen}(\omega t - 71,5^\circ).$$

Então,

$$V_1 = (126,5/\sqrt{2}) / 63,4^\circ = 89,5 / 63,4^\circ = 40 + j80$$

$$V_2 = (44,7/\sqrt{2}) / -71,5^\circ = 31,6 / -71,5^\circ = 10 - j30$$

$$V_1 + V_2 = 50 + j50 = 50\sqrt{2} / 45^\circ$$

e

$$v_1 + v_2 = 10$$

Como  $\text{sen } x$

5.17 Expressar cada uma das tensões  $v_1 = 127,3 \text{ cos}(\omega t - 127,3^\circ)$  e  $v_2 = 127,3 \text{ sen}(\omega t + 127,3^\circ)$  como uma única função senoidal.

Para podermos expressar as duas tensões dev todas como dais:

$$V_3 = 127,3 \text{ s}$$

$$V_1 = (212/\sqrt{2})$$

$$V_2 = (141,4/\sqrt{2})$$

$$V_3 = (127,3/\sqrt{2})$$

$$V_4 = (85/\sqrt{2})$$

$$V_5 = (141,4/\sqrt{2})$$

Traçar os diagramas de fasores para as tensões  $v_1$  e  $v_2$  e expressar a soma como uma única função senoidal.

e

$$v_1 + v_2 = 100 \text{ sen } (\omega t + 45^\circ).$$

Como  $\text{sen } x = \text{cos } (x - 90^\circ)$ ,  $v_1 + v_2 = 100 \text{ cos } (\omega t - 45^\circ)$ .

- 5.17 Exprimir cada uma das tensões a seguir em notação de fasores e representar cada uma num diagrama de fasores:  $v_1 = 212 \text{ sen } (\omega t + 45^\circ)$ ,  $v_2 = 141,4 \text{ sen } (\omega t - 90^\circ)$ ,  $v_3 = 127,3 \text{ cos } (\omega t + 30^\circ)$ ,  $v_4 = 85 \text{ cos } (\omega t - 45^\circ)$  e  $v_5 = 141,4 \text{ sen } (\omega t + 180^\circ)$ .

Para poderem ser expressas como fasores em um mesmo diagrama, as tensões devem, antes, ser expressas todas como funções senoidais ou todas como funções co-senoidais. Passemos  $V_3$  e  $V_4$  para funções senoidais:

$$V_3 = 127,3 \text{ sen } (\omega t + 120^\circ); V_4 = 85 \text{ sen } (\omega t + 45^\circ).$$

$$V_1 = (212/\sqrt{2}) / 45^\circ = 150 / 45^\circ$$

$$V_2 = (141,4/\sqrt{2}) / -90^\circ = 100 / -90^\circ$$

$$V_3 = (127,3/\sqrt{2}) / 120^\circ = 90 / 120^\circ$$

$$V_4 = (85/\sqrt{2}) / 45^\circ = 60 / 45^\circ$$

$$V_5 = (141,4/\sqrt{2}) / 180^\circ = 100 / 180^\circ$$

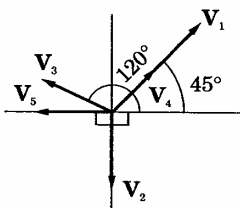


Figura 5-26

**Problemas Propostos**

Traçar os diagramas de fasores e da impedância em cada um dos problemas 5.18 a 5.22. Determinar, também, as constantes dos circuitos, admitindo circuitos em série de dois elementos.

nula. O diagrama estão defasadas de nula obviamente a

3,4° e  $v_2 = 44,7 \text{ cos}$  posteriormente, como

$50\sqrt{2} / 45^\circ$

- 5.18  $v = 283 \cos(800t + 150^\circ)$ ,  $i = 11,3 \cos(800t + 140^\circ)$   
 Resp.:  $R = 24,6 \Omega$ ;  $L = 5,43 \text{ mH}$
- 5.19  $v = 50 \sin(2000t - 25^\circ)$ ,  $i = 8 \sin(2000t + 5^\circ)$ .  
 Resp.:  $R = 5,41 \Omega$ ;  $C = 160 \mu\text{F}$
- 5.20  $v = 10 \cos(5000t - 160^\circ)$ ,  $i = 1,333 \cos(5000t - 73,82^\circ)$ .  
 Resp.:  $R = 0,5 \Omega$ ;  $C = 26,7 \mu\text{F}$
- 5.21  $v = 80 \sin(1000t + 45^\circ)$ ,  $i = 8 \cos(1000t - 90^\circ)$ .  
 Resp.:  $R = 7,07 \Omega$ ;  $L = 7,07 \text{ mH}$
- 5.22  $v = 424 \cos(2000t + 30^\circ)$ ,  $i = 28,3 \cos(2000t + 83,2^\circ)$ .  
 Resp.:  $R = 9 \Omega$ ;  $C = 41,6 \mu\text{F}$
- 5.23 Um circuito em série tem  $R = 8 \text{ ohms}$  e  $C = 30 \mu\text{F}$ . Em que frequência a corrente fica avançada de  $30^\circ$  em relação à tensão?  
 Resp.:  $f = 1155 \text{ Hz}$ .
- 5.24 Um circuito  $RL$  em série tem  $L = 21,2 \text{ mH}$ . Na frequência de  $60 \text{ Hz}$  a corrente está atrasada de  $53,1^\circ$  em relação à tensão. Achar  $R$ .  
 Resp.:  $R = 6 \text{ ohms}$ .
- 5.25 Em um circuito em série de dois elementos, a tensão é  $V = 240/0^\circ$  e a corrente  $I = 50/-60^\circ$ . Determinar o fasor corrente que resultaria da mesma tensão aplicada, caso a resistência fosse reduzida para (a) 60%, (b) 30% de seu valor inicial.  
 Resp.: (a)  $54,7/-70,85^\circ$ , (b)  $57,1/-80,15^\circ$ .
- 5.26 A tensão e a corrente em um circuito série de dois elementos são, respectivamente,  $V = 150/-120^\circ$  e  $I = 7,5/-90^\circ$ . Que percentagem de variação da resistência acarretará uma corrente de 12 ampères e qual o ângulo associado a essa corrente?  
 Resp.: 56,8% de redução;  $-66,8^\circ$ .
- 5.27 Um circuito em série  $RC$ , onde  $R = 10 \text{ ohms}$ , tem para ângulo da impedância  $-45^\circ$ , na frequência  $f_1 = 500 \text{ Hz}$ . Achar a frequência em que o valor absoluto da impedância é (a) duas vezes o que tem em  $f_1$ , (b) metade do que tem em  $f_1$ .  
 Resp.: (a)  $189 \text{ Hz}$ ; (b) Impossível, pois o limite inferior de  $Z$  é  $10 + j0$ .
- 5.28 Um circuito  $RL$  em série em que  $R = 10 \text{ ohms}$  tem  $30^\circ$  para ângulo da impedância, na frequência  $f_1 = 100 \text{ Hz}$ . Qual a frequência em que o valor absoluto da impedância é o dobro do que tem em  $f_1$ ?  
 Resp.:  $360 \text{ Hz}$ .
- 5.29 Num circuito atrasada de Determinar a resultaria de  
 Resp.: (a) 0,1
- 5.30 Um circuito  $s$   $(1000t + 20^\circ$  vez. Achar a  
 Resp.:  $i_1 = 8$
- 5.31 Em um circun rad/s, são:  $V$  ângulo de  $30$   
 Resp.:  $385 \text{ r}$
- 5.32 Com relação um fasor corria, qual o m  
 Resp.: 23,6%
- 5.33 Determinar a mostradas na dois terminai:  
 Resp.: 86,6 s
- 5.34 Determinar a indicadas na de  $v_1$ .  
 Resp.:  $97 \text{ sen}$

**5.29** Num circuito em série de dois elementos em que  $R = 5$  ohms a corrente está atrasada de  $75^\circ$  em relação à tensão aplicada, na frequência de 60 Hz. (a) Determinar o segundo elemento do circuito. (b) Achar o ângulo de fase que resultaria de um terceiro harmônico  $f = 180$  Hz.  
 Resp.: (a)  $0,0496$  H; (b)  $\theta = 84,88^\circ$ .

**5.30** Um circuito série consta de  $R = 5$  ohms e  $C = 50 \mu\text{F}$ . As tensões  $v_1 = 170 \cos(1000t + 20^\circ)$  e  $v_2 = 170 \cos(2000t + 20^\circ)$  são aplicadas nele, uma de cada vez. Achar a corrente proveniente de cada fonte.  
 Resp.:  $i_1 = 8,25 \cos(1000t + 95,95^\circ)$ ;  $i_2 = 15,2 \cos(2000t + 83,4^\circ)$ .

**5.31** Em um circuito série de dois elementos, a tensão e a corrente, para  $\omega = 2000$  rad/s, são:  $V = 150 \angle -45^\circ$  e  $I = 4,74 \angle -116,6^\circ$ . Uma segunda fonte acarreta um ângulo de  $30^\circ$  entre tensão e corrente. Determinar  $\omega$  para essa segunda fonte.  
 Resp.: 385 rad/s.

**5.32** Com relação ao Probl. 5.31, que variação na frequência da fonte acarretaria um fasor corrente de 6 ampères? Supondo uma variação ilimitada da frequência, qual o máximo valor possível para a corrente?  
 Resp.: 23,6% de redução em  $f$ ; 15,0 ampères.

**5.33** Determinar a soma das tensões  $v_1 = 50 \sin(\omega t + 90^\circ)$  e  $v_2 = 50 \sin(\omega t + 30^\circ)$ , mostradas na Fig. 5-27. Que tensão seria lida em um voltímetro colocado nos dois terminais externos?  
 Resp.:  $86,6 \sin(\omega t + 60^\circ)$ ; 61,2 volts.

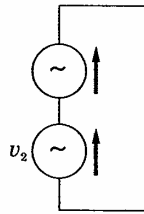


Figura 5-27

**5.34** Determinar a soma das tensões  $v_1 = 35 \sin(\omega t + 45^\circ)$  e  $v_2 = 100 \sin(\omega t - 30^\circ)$ , indicadas na Fig. 5-28. Supor o sentido positivo da soma coincidindo com o de  $v_1$ .  
 Resp.:  $97 \sin(\omega t + 129,6^\circ)$ .

requência a corrente

de 60 Hz a corrente

o é  $V = 240 \angle 0^\circ$  e a resultaria da mesma (a) 60%, (b) 30% de

ntos são, respectivamente de variação da I o ângulo associado

ngulo da impedância e o valor absoluto da do que tem em  $f_1$ . é  $10 + j0$ .

a ângulo da impedância e o valor absoluto da

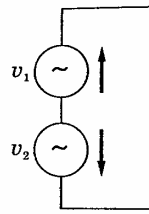


Figura 5-28

- 5.35 Repetir o Probl. 5.34 para  $v_2$  em sentido oposto.  
 Resp.:  $114 \text{ sen } (\omega t - 12,75^\circ)$
- 5.36 Determinar a leitura do voltímetro sobre o total das impedâncias mostradas na Fig. 5-29, sendo  $v_1 = 70,7 \text{ sen } (\omega t + 30^\circ)$ ,  $v_2 = 28,3 \text{ sen } (\omega t + 120^\circ)$  e  $v_3 = 14,14 \text{ cos } (\omega t + 30^\circ)$  as tensões nos terminais de cada uma.  
 Resp.: 58,3 volts.

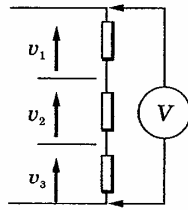


Figura 5-29

- 5.37 Na Fig. 5-30, sendo  $v_2 = 31,6 \text{ cos } (\omega t + 73,4^\circ)$  e  $v_T = 20 \text{ cos } (\omega t - 35^\circ)$ , achar  $v_1$ .  
 Resp.:  $v_1 = 42,4 \text{ cos } (\omega t - 80^\circ)$ .

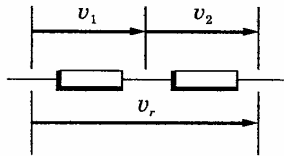


Figura 5-30

- 5.38 Com relação ao Probl. 5.37, achar as leituras de um voltímetro aplicado a cada uma das impedâncias e ao conjunto. Como explicar esses resultados?  
 Resp.:  $V_1 = 30$ ;  $V_2 = 22,4$ ;  $V_T = 14,14$  volts.

- 5.39 Determinar  $i_1 = 14,14 \text{ sen } (\omega t - 12,75^\circ)$  e  $i_3 = 14,14 \text{ cos } (\omega t + 30^\circ)$   
 Resp.: 11,9

- 5.40 Determinar  $i_1 = 14,14 \text{ sen } (\omega t + 75^\circ)$  e  $i_3 = 14,14 \text{ cos } (\omega t + 30^\circ)$   
 Resp.:  $i_T = 0$

- 5.41 Na Fig. 5-33 sentido ali m  
 Resp.:  $i_3 = 2$

- 5.39 Determinar a indicação do amperímetro na Fig. 5-31, sendo as duas correntes  $i_1 = 14,14 \text{ sen } (\omega t - 20^\circ)$  e  $i_2 = 7,07 \text{ sen } (\omega t + 60^\circ)$ .  
 Resp.: 11,9 ampères.

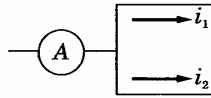


Figura 5-31

- 5.40 Determinar  $i_T$  na Fig. 5-32, sendo  $i_1 = 14,14 \text{ sen } (\omega t + 45^\circ)$ ,  $i_2 = 14,14 \text{ sen } (\omega t - 75^\circ)$  e  $i_3 = 14,14 \text{ sen } (\omega t - 195^\circ)$ .  
 Resp.:  $i_T = 0$ .

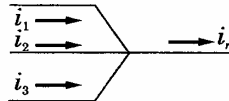


Figura 5-32

- 5.41 Na Fig. 5-33, sendo  $I_1 = 25 \angle 70^\circ$  e  $I_2 = 25 \angle -170^\circ$ , achar o fasor corrente  $I_3$  com sentido ali mostrado.  
 Resp.:  $I_3 = 25 \angle -50^\circ$ .

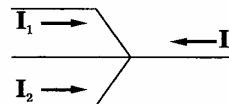


Figura 5-33

ncias mostradas na + 120°) e  $v_3 = 14,14$

( $\omega t - 35^\circ$ ), achar  $v_1$ .

etro aplicado a cada resultados?

SENAI / DR / AM  
 NÚCLEO DE INFORMAÇÃO  
 TECNOLÓGICA



MAKRON  
Books

## CIRCUITOS EM SÉRIE E EM PARALELO

### Introdução

Em geral, um circuito contém elementos em série e em paralelo. Neste capítulo, entretanto, os circuitos em série e em paralelo serão considerados separadamente, para que se mostrem os diferentes métodos de análise. Os problemas deste capítulo e de outros incluirão circuitos com combinações em série e em paralelo.

### Circuito em Série

A Fig. 6-1 mostra um circuito em série constituído de uma fonte de tensão e três impedâncias. A fonte é suposta constante e é uma *elevação de potencial*. O fasor corrente  $I$  estabelece uma tensão nos terminais de cada impedância porque passa; são as *quedas de potencial*. A lei de Kirchhoff para as tensões estabelece que *a soma das elevações de potencial é igual à soma das quedas de potencial, ao longo de qualquer circuito fechado*. Com ela, pode ser solucionado o problema do circuito em série.

$$\begin{aligned} V &= V_1 + V_2 + V_3 = Z_1 I + Z_2 I + Z_3 I = (Z_1 + Z_2 + Z_3) I = \\ &= Z_{eq} I \text{ donde } I = V/Z_{eq} \text{ e } Z_{eq} = Z_1 + Z_2 + Z_3 \end{aligned}$$

$v$  (

Elevação de  $I$

A queda de corrente  $I$  pela in  $V_1 = IZ_1$ ,  $V_2 = IZ_2$  essas tensões e ap

A impedân em série, é igual à Essas impedâncias cada impedância e

**Exemplo 1.**  
a soma das q

$$\begin{aligned} Z_{eq} &= Z_1 + Z_2 \\ &= 4 - j3 = 5 \angle -37^\circ \end{aligned}$$

$$I = \frac{V}{Z_{eq}} = \frac{25}{5} = 5 \angle 37^\circ$$

Capítulo 6

IE

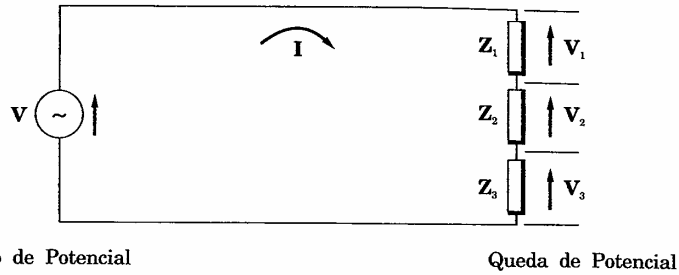


Figura 6-1 Circuito em série.

A queda de tensão em uma impedância é dada pelo produto do fasor corrente  $I$  pela impedância complexa  $Z$ . Portanto, no circuito da Fig. 6-1,  $V_1 = IZ_1$ ,  $V_2 = IZ_2$  e  $V_3 = IZ_3$ . A seta estabelece um sentido de referência para essas tensões e aponta para o terminal por onde entra o fasor corrente  $I$ .

A impedância equivalente  $Z_{eq}$ , para qualquer número de impedâncias em série, é igual à soma das impedâncias individuais,  $Z_{eq} = Z_1 + Z_2 + Z_3 + \dots$ . Essas impedâncias são números complexos e a soma indicada é efetuada com cada impedância expressa na forma retangular.

**Exemplo 1.** No circuito em série da Fig. 6-2, achar  $I$  e  $Z_{eq}$ . Mostrar que a soma das quedas de tensão é igual à tensão aplicada (fasor).

$$Z_{eq} = Z_1 + Z_2 + Z_3 = 4 + j3 - j6$$

$$= 4 - j3 = 5 \angle -36,9^\circ$$

$$I = \frac{V}{Z_{eq}} = \frac{100 \angle 0^\circ}{5 \angle -36,9^\circ} = 20 \angle 36,9^\circ$$

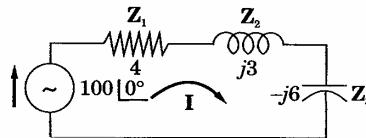


Figura 6-2

em paralelo. Neste serão considerados os de análise. Os n combinações em

o de uma fonte de é uma elevação de terminais de cada e Kirchhoff para as igual à soma das Com ela, pode ser

$$Z_3)I =$$

3

Então,  $V_1 = IZ_1 = 20/36,9^\circ (4) = 80/36,9^\circ$ ,  $V_2 = 60/126,9^\circ$ ,  $V_3 = 120/-53,1^\circ$   
 e  $V_1 + V_2 + V_3 = (64 + j48) + (-36 + j48) + (72 - j96) = 100 + j0 = V$

como está demonstrado graficamente no diagrama dos fasores da Fig. 6-3(c).

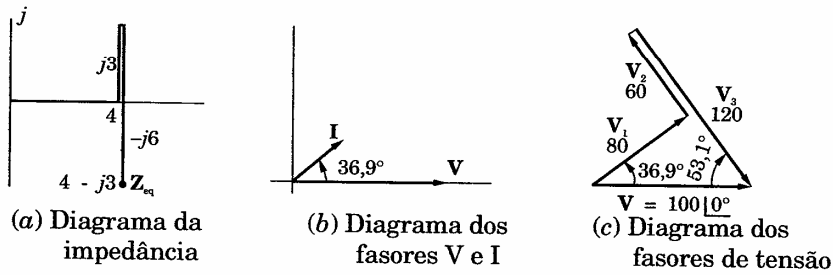


Figura 6-3

A impedância equivalente é capacitiva, acarretando uma corrente  $I$  avançada de  $36,9^\circ$ , ângulo da impedância, em relação à  $V$ , como mostra a Fig. 6-3(b). Observe-se que  $V_1$ , queda de tensão no resistor puro, está em fase com a corrente. A corrente  $I$  está atrasada de  $90^\circ$  em relação à  $V_2$  e avançada de  $90^\circ$  em relação à  $V_3$ .

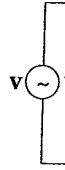
Se fosse colocado um voltímetro nos terminais da cada uma das impedâncias  $Z_1$ ,  $Z_2$  e  $Z_3$ , suas leituras seriam, respectivamente, 80, 60 e 120 volts.

Poderia parecer que a tensão total era 260 volts; entretanto, o medidor indicaria 100 volts, ao ser colocado nos terminais do conjunto das três. Convém lembrar que, na análise senoidal estacionária, todas as tensões e correntes são fasores e, como tais, devem ser somadas *vetorialmente*.

### Circuito em Paralelo

Na Fig. 6-4(a) uma única fonte de tensão está aplicada a três impedâncias ligadas em paralelo. O circuito foi representado novamente na Fig. 6-4(b) para salientar o fato de que a fonte e as três impedâncias têm dois terminais comuns (nós). Em um desses nós aplica-se a lei de Kirchoff para as correntes,

ou seja, a soma d  
que dele saem.



O potenci  
cada uma das im  
portanto, ser calci

$$I_T = I_1 + I$$

Então,

Portanto,  
cias em paralelo é

$$1/Z_{eq} = 1/Z$$

**Exemplo 2.**  
em paralelo

$$I_T = I_1 + I_2 = \frac{50 \angle 0^\circ}{10}$$

$\underline{V}_3 = 120 \angle -53,1^\circ$

$100 + j0 = \underline{V}$

los fasores da Fig.

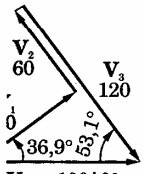


Diagrama dos fasores de tensão

na corrente  $\underline{I}$  avan- como mostra a Fig. puro, está em fase em relação à  $\underline{V}_2$  e

uma das impedân- , 80, 60 e 120 volts.

retanto, o medidor conjunto das três. a, todas as tensões e vetorialmente.

ada a três impedân- ente na Fig. 6-4(b) têm dois terminais f para as correntes,

ou seja, a soma das correntes que chegam a um nó é igual à soma das correntes que dele saem.

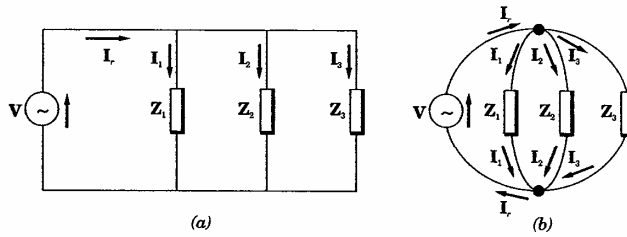


Figura 6-4 Circuito em paralelo.

O potencial constante da fonte aparece diretamente nos terminais de cada uma das impedâncias em paralelo. As correntes de cada braço podem, portanto, ser calculadas independentemente.

$$\underline{I}_T = \underline{I}_1 + \underline{I}_2 + \underline{I}_3 = \underline{V}/\underline{Z}_1 + \underline{V}/\underline{Z}_2 + \underline{V}/\underline{Z}_3 = \underline{V}(1/\underline{Z}_1 + 1/\underline{Z}_2 + 1/\underline{Z}_3) = \underline{V}/\underline{Z}_{eq}$$

Então,  $\underline{I}_T = \underline{V}/\underline{Z}_{eq}$  e  $1/\underline{Z}_{eq} = (1/\underline{Z}_1 + 1/\underline{Z}_2 + 1/\underline{Z}_3)$

Portanto, a impedância equivalente a qualquer número de impedâncias em paralelo é

$$1/\underline{Z}_{eq} = 1/\underline{Z}_1 + 1/\underline{Z}_2 + 1/\underline{Z}_3 + \dots$$

**Exemplo 2.** Achar a corrente total e a impedância equivalente do circuito em paralelo da Fig.6-5, traçando o diagrama de fasores.

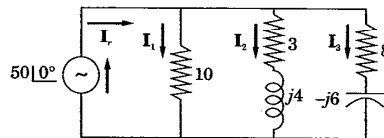


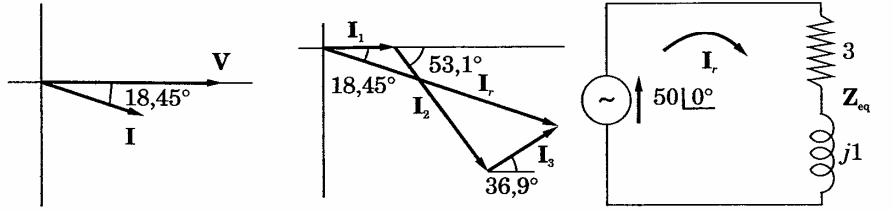
Figura 6-5

$$\begin{aligned} \underline{I}_T &= \underline{I}_1 + \underline{I}_2 + \underline{I}_3 \\ &= \frac{50 \angle 0^\circ}{10} + \frac{50 \angle 0^\circ}{5 \angle 53,1^\circ} + \frac{50 \angle 0^\circ}{10 \angle -36,9^\circ} \end{aligned}$$

$$= 15 - j5 = 15,8 / -18,45^\circ$$

Logo,  $Z_{eq} = V/I_T = (50/0^\circ)/(15,8/-18,45^\circ) = 3,16/18,45^\circ = 3 + j1$

$$I_1 = 50/0^\circ / 10 = 5/0^\circ, I_2 = 10/-53,1^\circ, I_3 = 5/36,9^\circ$$



(a) Diagrama dos fasores V e I (b) Soma dos fasores das correntes (c) Circuito equivalente

Figura 6-6

### Circuito Paralelo de Dois Ramos

O caso particular de duas impedâncias em paralelo ocorre frequentemente na prática e, por isso, será melhor examinando. Na Fig. 6-7(a) a tensão V está aplicada às impedâncias  $Z_1$  e  $Z_2$  em paralelo. A impedância equivalente é obtida de  $1/Z_{eq} = 1/Z_1 + 1/Z_2$  ou  $Z_{eq} = Z_1 Z_2 / (Z_1 + Z_2)$ .

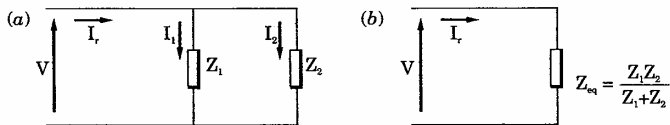


Figura 6-7 Circuito em paralelo de dois ramos.

Substituindo  $V = I_T Z_{eq} = I_T \left( \frac{Z_1 Z_2}{Z_1 + Z_2} \right)$  em  $V = I_1 Z_1$  e  $V = I_2 Z_2$

e calculando as du:

### Admitância

O inverso Como  $Z = V/I$ ,  $Y =$  admitância é muito

V

Portanto, a admitância paralelo é igual à soma

Na forma indutiva,  $X_L = \omega L$ , e

Da mesma chama susceptância quanto o negativo s

\* N. R. A condutânci

e calculando as duas correntes nos ramos

$$I_1 = I_T \left( \frac{Z_2}{Z_1 + Z_2} \right) \text{ e } I_2 = I_T \left( \frac{Z_1}{Z_1 + Z_2} \right)$$

### Admitância

O inverso do complexo impedância é o complexo *admitância*  $Y = 1/Z$ . Como  $Z = V/I$ ,  $Y = I/V$ .  $Y$  é expressa em siemens (S) ou mhos. O conceito de admitância é muito conveniente em circuitos paralelos, como mostra a Fig. 6-8.

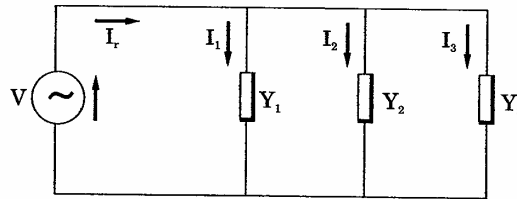


Figura 6-8

$$\begin{aligned} I_T &= I_1 + I_2 + I_3 = Y_1 V + Y_2 V + Y_3 V \\ &= (Y_1 + Y_2 + Y_3) V = V_{eq} V \\ \text{e } V_{eq} &= Y_1 + Y_2 + Y_3 \end{aligned}$$

Portanto, a admitância equivalente de qualquer número de admitâncias em paralelo é igual à soma das admitâncias individuais.

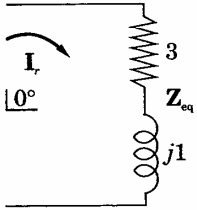
Na forma retangular,  $Z = R \pm jX$ . O sinal positivo indica reatância indutiva,  $X_L = \omega L$ , e o sinal negativo significa reatância capacitiva,  $X_C = 1/\omega C$ .

Da mesma forma  $Y = G \pm jB$ , onde  $G$  se chama *condutância* e  $B$  se chama *susceptância*. O sinal positivo indica susceptância capacitiva,  $B_C$  enquanto o negativo significa susceptância indutiva,  $B_L$ .\*

\* N. R. A condutância e a susceptância são também expressas em siemens ou mhos.

$$\underline{5^\circ} = 3 + j1$$

$$\underline{9^\circ}$$



Circuito equivalente

Quando ocorre frequência, Fig. 6-7(a) a tensão equivalente

$$Z_{eq} = \frac{Z_1 Z_2}{Z_1 + Z_2}$$

os.

$$I_2 \text{ e } V = I_2 Z_2$$

Consideremos um fasor tensão  $V$ , geral, e a corrente resultante  $I$ . A corrente  $I$  pode estar adiantada, atrasada ou em fase com  $V$ ; porém, em nenhuma hipótese o ângulo entre elas pode exceder  $90^\circ$ . Conseqüentemente, três casos podem ocorrer.

**1º Caso.** Os fasores tensão e corrente estão em fase (Fig. 6-9).

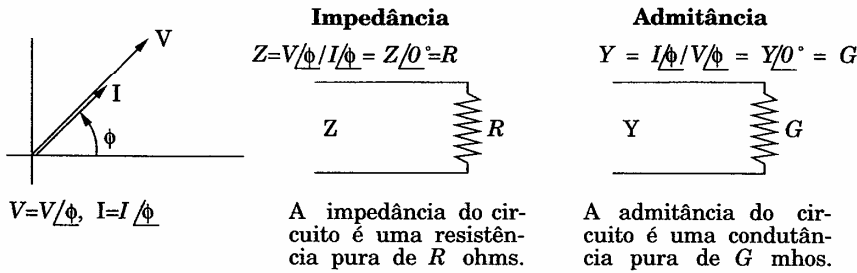


Figura 6-9a

**2º Caso.** O fasor corrente está atrasado de um ângulo de  $\theta$  em relação à tensão. (fig.6-10).

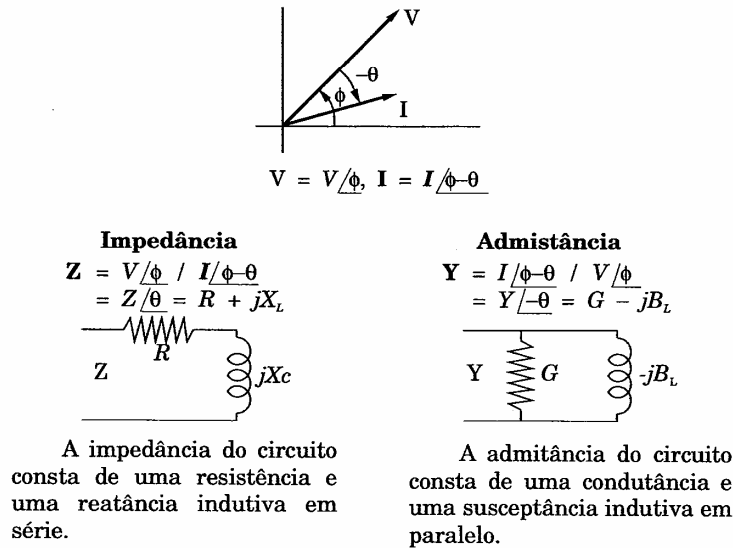
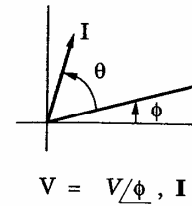


Figura 6-10

**3º Caso.** O fasor tensão. (Fig.6-11



### Conversão 2

A conversão da forma polar, já que trabalhar com as seguir.

$$Y = G + jB = \bar{Z}$$

$$\therefore G = \frac{R}{R^2 + X_L^2}$$

#### Exemplo 3

$$Y = 1/Z = 1/...$$

donde a con

Outro método

C

3º Caso. O fasor corrente está avançado de um ângulo de  $\theta$  em relação à tensão. (Fig.6-11).

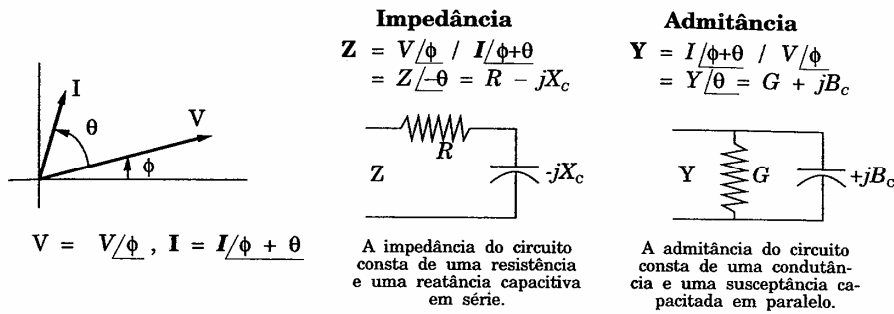


Figura 6-11

### Conversão Z — Y

A conversão de Z em Y e vice-versa torna-se simples com o emprego da forma polar, já que  $Y = 1/Z$ . Entretanto, vez por outra, haverá necessidade de se trabalhar com as relações entre as componentes na forma retangular, como a seguir.

$$Y = 1/Z \qquad Z = 1/Y$$

$$G + jB = \frac{1}{R + jX} = \frac{R - jX}{R^2 + X^2} \qquad R + jX = \frac{1}{G + jB} = \frac{G - jB}{G^2 + B^2} \therefore$$

$$\therefore G = \frac{R}{R^2 + X^2} \text{ e } B = \frac{-X}{R^2 + X^2} \qquad R = \frac{G}{G^2 + B^2} \text{ e } X = \frac{-B}{G^2 + B^2}$$

**Exemplo 3.** Dado  $Z = 3 + j4$ , achar a admitância equivalente Y.

$$Y = 1/Z = 1/5\angle 53,1^\circ = 0,2\angle -53,1^\circ = 0,12 - j0,16$$

donde a condutância  $G = 0,12$  mhos e a susceptância indutiva  $B = 0,16$  mhos.

#### Outro método

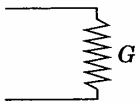
$$G = R/(R^2 + X^2) = 3/(9 + 16) = 0,12$$

te resultante I. A  
om V; porém, em  
onseqüentemente,

9).

nitância

$$1/V/\phi = Y/0^\circ = G$$

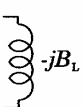


tância do cir-  
uma condutân-  
a de G mhos.

de  $\theta$  em relação à

ia

$$7/\phi$$



do circuito  
ndutância e  
indutiva em

$$B = -X/(R^2 + X^2) = -4/25 = -0,16$$

logo  $Y = 0,12 - j0,16.$

**Problemas Resolvidos**

6.1 As duas impedâncias  $Z_1$  e  $Z_2$  da Fig. 6-12 estão em série com uma fonte de tensão  $V = 100/0^\circ$ . Achar a tensão nos terminais de cada impedância e traçar o diagrama dos fasores de tensão.

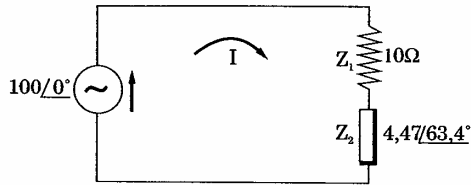


Figura 6-12

$$Z_{eq} = Z_1 + Z_2 = 10 + (2 + j4) = 12 + j4 = 12,65/18,45^\circ \text{ e } I = \frac{V}{Z_{eq}}$$

$$\frac{100/0^\circ}{12,65/18,45^\circ} = 7,9/-18,45^\circ. \text{ Então,}$$

$$V_1 = IZ_1 = 7,9/-18,45^\circ(10) = 79/-18,45^\circ = 74,9 - j25$$

$$V_2 = IZ_2 = (7,9/-18,45^\circ)(4,47/63,4^\circ) = 35,3/45^\circ = 25 + j25$$

Verifica-se que  $V_1 + V_2 = (74,9 - j25) + (25 + j25) = 99,9 + j0 \approx 100/0^\circ = V$ , como mostra graficamente o diagrama da Fig. 6-13.

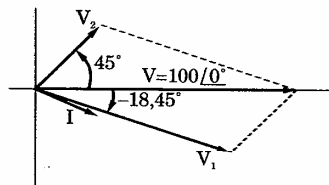


Figura 6-13

6.2 Calcular a im

No circuito

$$20/60^\circ = 10$$

$$10 + j17,3 =$$

6.3 Na freqüência Fig. 6-15. Ac dos fasores c

$$X_L = \omega L = 4\Omega$$

$$\text{e } Z = R + j(X_L - X_C)/R,$$

A impedância

$$I = \frac{V}{Z} = \frac{100}{4}$$

$$V_R = 53,6/63,4^\circ$$

6.2 Calcular a impedância  $Z_2$  do circuito em série da Fig. 6-14.

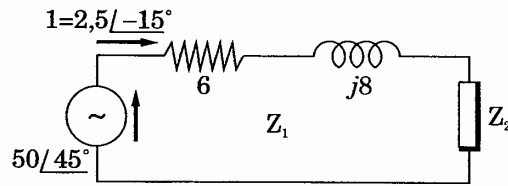


Figura 6-14

No circuito dado,  $Z_{eq} = \frac{V}{I} = \frac{50/45^\circ}{2,5/-15^\circ} =$

$20/60^\circ = 10 + j17,3$ . Como  $Z_{eq} = Z_1 + Z_2$ ,

$10 + j17,3 = (5 + j8) + Z_2$  e  $Z_2 = 5 + j9,3$

6.3 Na frequência  $\omega = 400$  rad/s a corrente está avançada de  $63,4^\circ$ , no circuito da Fig. 6-15. Achar  $R$  e a tensão em cada elemento de circuito. Traçar o diagrama dos fasores de tensão.

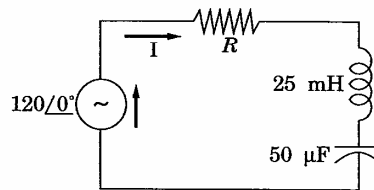


Figura 6-15

$X_L = \omega L = 400(25 \times 10^{-3}) = 10$  ohms,  $X_C = 1/\omega C = 1/400(50 \times 10^{-6}) = 50$  ohms e  $Z = R + j(X_L - X_C) = -R - j40$ . Também,  $Z = Z/-63,4^\circ$ . Como  $\text{tg}(-63,4^\circ) = (X_L - X_C)/R$ ,  $R = -40(\text{tg} - 63,4^\circ) = 20$  ohms.

A impedância  $Z = 20 - j40 = 44,7/-63,4^\circ$  e a corrente

$$I = \frac{V}{Z} = \frac{120/0^\circ}{44,7/-63,4^\circ} = 2,68/63,4^\circ. \text{ Então,}$$

$$V_R = 53,6/63,4^\circ, V_L = 26,8/153,4^\circ \text{ e } V_C = 134/-26,6^\circ$$

com uma fonte de impedância e traçar

$$I = \frac{V}{Z_{eq}}$$

$$+j0 \approx 100/0^\circ = V,$$

O diagrama de fasores de Fig. 6-16 mostra que  $V_R + V_L + V_C = V$ .

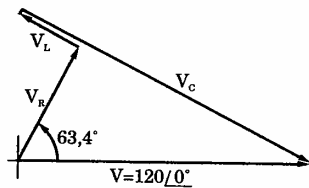


Figura 6-16

- 6.4 Determinaram-se as constantes  $R$  e  $L$  de uma bobina colocando-a em série com um resistor padrão de 10 ohms e lendo as tensões nos terminais de  $R_s$ , da bobina e do circuito em série completo. Quais os valores de  $R$  e  $L$  para as seguintes leituras de tensão em 60 Hz:  $V_{R_s} = 20$ ;  $V_{bob} = 22,4$  volts e  $V_T = 36$  volts?

A tensão  $V_{R_s}$  e a corrente  $I$  estão em fase. Seja  $V_{R_s} = 20\angle 0^\circ$ ; então:  $I = V_{R_s}/R_s = 2\angle 0^\circ$ .

Na Fig. 6-17, do início de  $V_{R_s}$  traçamos um arco de raio 36 e da extremidade de  $V_{R_s}$  traçamos um arco de raio 22,4. A interseção dos dois arcos é a extremidade dos fasores  $V_T$  e  $V_{bob}$ , satisfazendo, portanto a igualdade  $V_T = V_{R_s} + V_{bob}$ .

Determinamos o ângulo do fasor  $V_T$  aplicando a lei dos co-senos.

$$\cos \alpha = \frac{(36)^2 + (20)^2 - (22,4)^2}{2(36)(20)} = 0,831, \quad \alpha = 33,7^\circ$$

Então,  $V_T = 36\angle 33,7^\circ = 30 + j20$  e  $V_{bob} = V_T - V_{R_s} = 10 + j20 = 22,4\angle 63,4^\circ$ . A impedância da bobina é

$$Z_{bob} = V_{bob}/I = (10 + j20)/2 = 5 + j10, \text{ donde } R = 5 \text{ ohms.}$$

Para  $f = 60$  Hz,  $X_L = 2\pi fL = 2\pi(60)L = 10$  e  $L = 26,5$  mH.

- 6.5 Calcular as correntes  $I_1$  e  $I_2$  para o circuito da Fig. 6-18. Traçar o diagrama de fasores.

$$Z_1 = 3 - j4 =$$

$$I_1 = \frac{V}{Z_1} = \frac{5}{5} = 1 \angle 0^\circ$$

$$I_2 = \frac{V}{Z_2} = \frac{5}{5} = 1 \angle 0^\circ$$

$$Z_{eq} = \frac{V}{I_T} =$$

$+ V_C = V.$

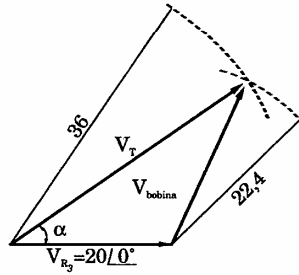


Figura 6-17

- 6.5 Calcular as correntes nos ramos e a corrente total no circuito paralelo da Fig. 6-18. Traçar o diagrama de fasores. Achar  $Z_{eq}$  a partir de  $V/I$ , e comparar com  $Z_1 Z_2 / (Z_1 + Z_2)$ .

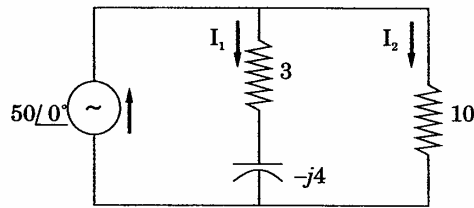


Figura 6-18

$Z_1 = 3 - j4 = 5 \angle -53,1^\circ$  e  $Z_2 = 10$ . Então,

$I_1 = \frac{V}{Z_1} = \frac{50 \angle 0^\circ}{5 \angle -53,1^\circ} = 10 \angle 53,1^\circ = 6 + j8$

$I_2 = \frac{V}{Z_2} = \frac{50 \angle 0^\circ}{10} = 5 \angle 0^\circ = 5$

$I_T = I_1 + I_2 = 11 + j8 = 13,6 \angle 36^\circ$

$Z_{eq} = \frac{V}{I_T} = \frac{50 \angle 0^\circ}{13,6 \angle 36^\circ} = 3,67 \angle -36^\circ$ ,  $Z_{eq} = \frac{Z_1 Z_2}{Z_1 + Z_2} = \frac{5 \angle -53,1^\circ (10)}{(3 - j4) + 10}$

do-a em série com  
terminais de  $R_s$ , da  
de  $R$  e  $L$  para as  
lts e  $V_T = 36$  volts?

então:  $I = V_{R_s} / R_s =$

36 e da extremi-  
do dos dois arcos é  
tanto a igualdade

co-senos.

$+ j20 = 22,4 / 63,4^\circ$ .

H.

$$= \frac{50 \angle -53,1^\circ}{13,6 \angle -17,1^\circ} = 3,67 \angle -36^\circ \text{ (resultados idênticos)}$$

O diagrama de fasores está representado na Fig.6-19.

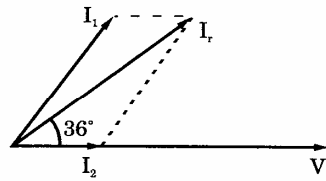


Figura 6-19

6.6 Determinar a corrente em cada elemento do circuito em série-paralelo da Fig. 6-20.

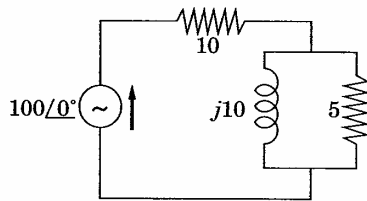


Figura 6-20

$$Z_{eq} = 10 + \frac{5(j10)}{5 + j10} = 14 + j2 = 14,14 \angle 8,14^\circ \text{ e}$$

$$I_T = \frac{V}{Z_{eq}} = \frac{100 \angle 0^\circ}{14,14 \angle 8,14^\circ} = 7,07 \angle -8,14^\circ. \text{ Então,}$$

$$I_{10} = I_T = 7,07 \angle -8,14^\circ$$

$$I_T = I_T = 7,07 \angle -8,14^\circ$$

$$I_{j10} = I_T \left( \frac{-j10}{5 + j10} \right)$$

$$I_5 = I_T \left( \frac{5}{5 + j10} \right)$$

6.7 Os valores respectivos das resistências R e

Aplicando a tensão aplicada. Existem u aplicadas. Em se a Fig. 6-2

$$\cos \alpha = \frac{15}{17}$$

Do diagram

Então, a ad j0,228.

$$R = \frac{1}{0,195}$$

$$I_{j10} = I_T \left( \frac{5}{5 + j10} \right) = 7,07 \angle -8,14^\circ \left( \frac{5}{5 + j10} \right) = 3,16 \angle -71,54^\circ$$

$$I_5 = I_T \left( \frac{j10}{5 + j10} \right) = 7,07 \angle -8,14^\circ \left( \frac{j10}{5 + j10} \right) = 6,32 \angle 18,46^\circ$$

- 6.7 Os valores eficazes das correntes  $I_1$ ,  $I_2$  e  $I_T$  do circuito da Fig. 6-21 são, respectivamente, 18, 15 e 30 ampères. Determinar as impedâncias desconhecidas  $R$  e  $X_L$ .

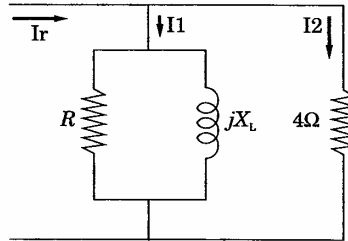


Figura 6-21

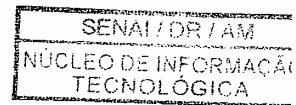
Aplicando a lei de Kirchhoff para as correntes,  $I_1 + I_2 = I_T$ . Em fase com a tensão aplicada  $V$  está  $I_2$ . Seja  $I_2 = 15 \angle 0^\circ$ ; então,  $V = 15 \angle 0^\circ (4) = 60 \angle 0^\circ$ . Existindo uma reatância indutiva,  $I_1$  está atrasada em relação à tensão aplicada. Empregando-se a mesma construção usada no Probl. 6.4, traça-se a Fig. 6-22. Então,

$$\cos \alpha = \frac{(15)^2 + (18)^2 - (30)^2}{2(15)(18)} = -0,65 \quad \text{e} \quad \alpha = 130,5^\circ$$

Do diagrama,  $I_1 = 18 \angle -49,5^\circ$ . Então,  $Z_1 = \frac{V}{I_1} = \frac{60 \angle 0^\circ}{18 \angle -49,5^\circ} = 3,33 \angle 49,5^\circ$ .

Então, a admitância complexa  $Y_1 = 1/R + 1/jX_L = 1/3,33 \angle 49,5^\circ = 0,195 - j0,228$ .

$$R = \frac{1}{0,195} = 5,13 \text{ ohms} \quad \text{e} \quad X_L = \frac{1}{0,228} = 4,39 \text{ ohms}$$



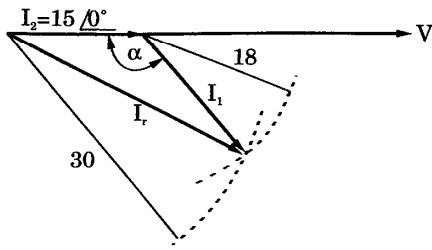


Figura 6-22

6.8 O valor eficaz da corrente no circuito em série da Fig. 6-23 é 5 ampères. Quais são as leituras em um voltímetro ligado, primeiro nos terminais do circuito e, depois, nos terminais de cada elemento?

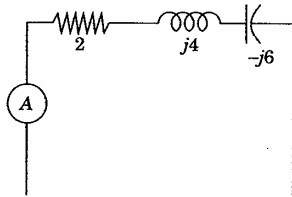


Figura 6-23

$Z_{eq} = 2 + j4 - j6 = 2,83 / -45^\circ$ . Portanto,

$V_T = (2,83)(5) = 14,14 \text{ V}$

$V_{j4} = (4)(5) = 20 \text{ V}$

$V_2 = (2)(5) = 10 \text{ V}$

$V_{-j6} = (6)(5) = 30 \text{ V}$

O diagrama dos fasores, Fig. 6-24, mostra a soma dos fasores tensão nos terminais de cada elemento.

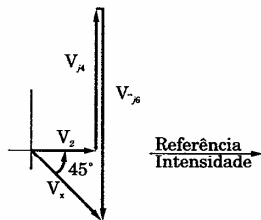


Figura 6-24

6.9 A leitura do Fig. 6-25 é .

$I_2 = 45/3 =$

$I_2 = 15 / 0^\circ .$

e  $I_1 = 63,6 /$

Então,

$I_T = I_1 + I_2$

$= 19,65 - j$

A leitura de

6.10 No circuito e paralelo do c

$Z_p = \frac{(20}{20 +$

Como

$V = IZ_{eq}$  e  $V$   
111,5 volts

- 6.9 A leitura do voltímetro nos terminais do resistor de 3 ohms do circuito paralelo da Fig. 6-25 é 45 volts. Qual é a indicação do amperímetro ?

$$I_2 = 45/3 = 15 \text{ amp. Supondo um ângulo de } 0^\circ,$$

$$I_2 = 15/0^\circ. \text{ Logo, } V = 15/0^\circ (3 - j3) = 63,6/-45^\circ$$

$$\text{e } I_1 = 63,6/-45^\circ / (5 + j2) = 11,8/-66,8^\circ = 4,65 - j10,85$$

Então,

$$I_T = I_1 + I_2 (4,65 - j10,85) + 15$$

$$= 19,65 - j10,85 = 22,4/-29^\circ$$

A leitura do amperímetro é 22,4 ampères.

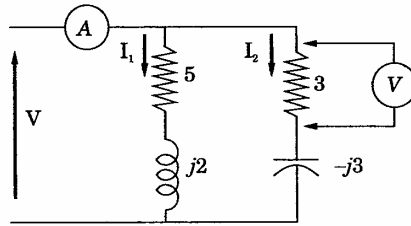


Figura 6-25

- 6.10 No circuito em série-paralelo da Fig. 6-26 o valor eficaz da tensão, no trecho paralelo do circuito, é 50 volts. Calcular o valor correspondente de  $V$ .

$$Z_p = \frac{(20 + j60)j6}{20 + j60 + j6} = 5,52 /88,45^\circ = 0,149 + j5,52$$

Como

$$V = IZ_{eq} \text{ e } V_p = IZ_p, V_p/Z_p = V/Z_{eq}. \text{ Logo, } V = V_p(Z_{eq}/Z_p) = 50(12,3/5,52) = 111,5 \text{ volts}$$

é 5 ampères. Quais  
inais do circuito e,

casos tensão nos

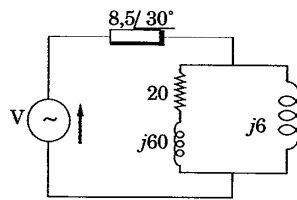


Figura 6-26

6.11 Calcular a impedância equivalente e a corrente total do circuito em paralelo da Fig. 6-27.

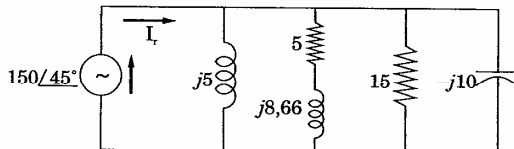


Figura 6-27

$$Y_1 = 1/j5 = -j0,2$$

$$Y_2 = 1/10/60^\circ = 0,05 - j0,0866$$

$$Y_3 = 1/15 = 0,067$$

$$Y_4 = 1/-j10 = j0,1$$

$$Y_{eq} = 0,117 - j0,1866 = 0,22/-58^\circ$$

$$\text{Então, } I_T = V Y_{eq} = (150/45^\circ)(0,22/-58^\circ) = 33/-13^\circ \text{ e } Z_{eq} = 1/Y_{eq} = 1/(0,22/-58^\circ) = 4,55/58^\circ$$

6.12 Determinar a impedância  $Z_1$  do circuito em paralelo da Fig. 6-28.

$$\text{Admitância do circuito: } Y_{eq} = \frac{I_T}{V} = \frac{31,5 / 24^\circ}{50 / 60^\circ} = 0,63 / -36^\circ = 0,51 - j0,37.$$

$$\text{Como } Y_{eq} = Y_1 + Y_2 + Y_3 = Y_1 + (0,1) + (0,16 - j0,12) = 0,51 - j0,37,$$

$$Y_1 = 0,25$$

$$Z_1 = 1/Y_1$$

Outro método

$$I_T = I_1 + I$$

donde  $I_1$  :

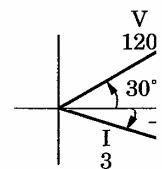
6.13 Dado o dia  
cia equival

Impedância

$$Z = \frac{V}{I} =$$

$$= 4i$$

$$= 2i$$



$$Y_1 = 0,25 - j0,25 = 0,25 \sqrt{2} /45^\circ. \text{ Logo,}$$

$$Z_1 = 1/Y_1 = 2 \sqrt{2} /45^\circ = 2 + j2$$

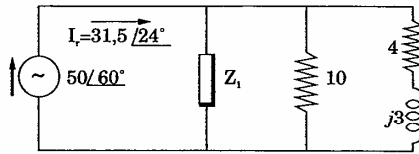


Figura 6-28

**Outro método**

$$I_T = I_1 + I_2 + I_3 = I_1 + \frac{50 /60^\circ}{10} + \frac{50 /60^\circ}{5 /36,9^\circ} = 31,5 /24^\circ,$$

donde  $I_1 = 17,7 /15^\circ$ . Logo,

$$Z_1 = \frac{V}{I_1} = \frac{50 /60^\circ}{17,7 /15^\circ} = 2\sqrt{2} /45^\circ = 2 + j2.$$

**6.13** Dado o diagrama de fasores da Fig. 6-29, determinar a impedância e a admitância equivalentes que a ele correspondem.

*Impedância equivalente*

*Admitância equivalente*

$$Z = \frac{V}{I} = \frac{120 /15^\circ}{3 /-15^\circ} = 40 /45^\circ = 28,3 + j28,3$$

$$Y = \frac{I}{V} = \frac{3 /-15^\circ}{120 /30^\circ} = 0,025 /-45^\circ = 0,0177 - j0,0177$$

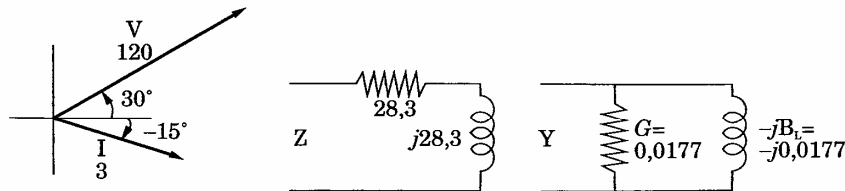


Figura 6-29

uito em paralelo da

e  $Z_{eq} = 1/Y_{eq} =$

3-28.

= 0,51 - j0,37.

0,51 - j0,37,

6.14 Dado o circuito em série-paralelo da Fig. 6-30, determinar  $Z_{eq}$  e  $Y_{eq}$ .

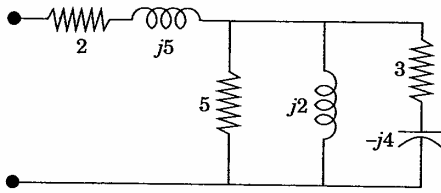


Figura 6-30

Calcula-se, primeiro, a admitância equivalente dos três ramos em paralelo, que, em seguida, é convertida em impedância.

$$Y_{peq} = \frac{1}{5} + \frac{1}{j2} + \frac{1}{5 \angle -53,1^\circ}$$

$$= 0,32 - j0,34 = 0,467 \angle -46,7^\circ$$

$$Z_{peq} = 1/Y_{peq} = 2,14 \angle 46,7^\circ = 1,47 + j1,56$$

Logo,  $Z_{eq} (2 + j5) + (1,47 + j1,56) = 3,47 + j6,56 = 7,42 \angle 62,1^\circ$

$$Y_{eq} = 1/(7,42 \angle 62,1^\circ) = 0,135 \angle -62,1^\circ = 0,063 - j0,119$$

6.15 Converter o circuito em série-paralelo do Probl. 6.14 em dois circuitos equivalentes que contenham, respectivamente,  $Z_{eq}$  e  $Y_{eq}$ .

Achar as correntes, supondo-se aplicada uma tensão  $V = 120 \angle 0^\circ$  a cada circuito.

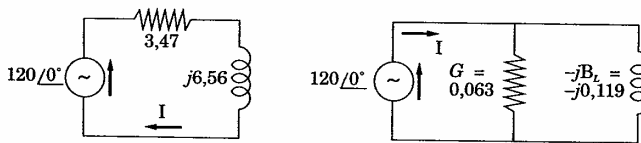


Figura 6-31

$$(a) Z = 7,42$$

$$I = \frac{V}{Z} = \frac{120}{7,42}$$

6.16 As correntes correntes eq

Como as ad

$$Y_p = Y_s \text{ ou } \frac{1}{R_p} = \frac{1}{R_s}$$

Igualando as

$$\frac{1}{R_p} = \frac{1}{(R_s)^2}$$

donde  $R_p = R_s$

6.17 Determinar a i

$$Z_{eq} = R_1 +$$

$$= R_1 +$$

(a)  $Z = 7,42/62,1^\circ$                       (b)  $Y = 0,135/-62,1^\circ$

$$I = \frac{V}{Z} = \frac{120/0^\circ}{7,42/62,1^\circ} = 16,2/-62,1^\circ \quad I = VY = (120/0^\circ)(0,135/-62,1^\circ) = 16,2/-62,1^\circ$$

6.16 As correntes de uma bobina são, em série, chamadas de  $R_s$  e  $L_s$ . Determinar as correntes equivalentes em paralelo,  $R_p$  e  $L_p$ , em termos de  $R_s$  e  $L_s$ .

Como as admitâncias dos dois circuitos da Fig. 6-32 devem ser iguais,

$$Y_p = Y_s \text{ ou } \frac{1}{R_p} + \frac{1}{j\omega L_p} = \frac{1}{R_s + j\omega L_s} = \frac{R_s - j\omega L_s}{(R_s)^2 + (\omega L_s)^2}$$

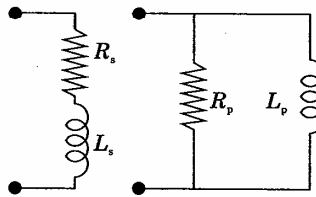


Figura 6-32

Igualando as partes reais e as partes imaginárias:

$$\frac{1}{R_p} = \frac{R_s}{(R_s)^2 + (\omega L_s)^2} \quad \text{e} \quad \frac{1}{j\omega L_p} = \frac{-j\omega L_s}{(R_s)^2 + (\omega L_s)^2}$$

donde  $R_p = R_s + (\omega L_s)^2/R_s$  e  $L_p = L_s + R_s^2/\omega^2 L_s$ .

6.17 Determinar a impedância equivalente do circuito em série-paralelo da Fig. 6-33.

$$\begin{aligned} Z_{eq} &= R_1 + \frac{(R_2 + j\omega L)R_3}{R_2 + R_3 + j\omega L} = R_1 + \frac{(R_2 R_3 + j\omega L R_3) [(R_2 + R_3) - j\omega L]}{(R_2 + R_3)^2 + (\omega L)^2} \\ &= R_1 + \frac{R_2 R_3 (R_2 + R_3) + \omega^2 L^2 R_3 + j\omega L R_3 (R_2 + R_3) - j\omega L (R_2 R_3)}{(R_2 + R_3)^2 + (\omega L)^2} \end{aligned}$$

$q \text{ e } Y_{eq}$

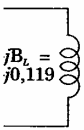
ramos em parale-

$i = 7,42/62,1^\circ$

$-j0,119$

circuitos equivalen-

$V = 120/0^\circ$  a cada



$$= \left[ R_1 + \frac{R_3(R_2^2 + R_2R_3 + \omega^2L^2)}{(R_2 + R_3)^2 + (\omega L)^2} \right] + j \left[ \frac{\omega LR_3^2}{(R_2 + R_3)^2 + (\omega L)^2} \right]$$

$$= R_{eq} + j\omega L_{eq}$$

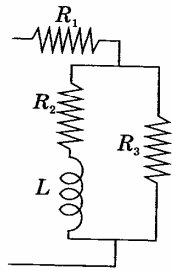


Figura 6-33

6.18 O primeiro ramo do circuito em paralelo da Fig. 6-34 contém dois resistores  $R$  iguais, em série, e no segundo existe um resistor  $R_1$  em série com uma indutância variável  $L$ . Mostrar como varia, em função de  $L$ , a tensão entre  $A$  e  $B$ .

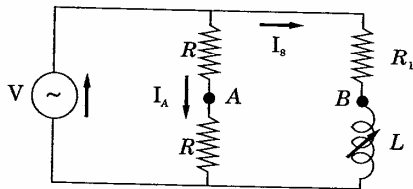


Figura 6-34

No primeiro ramo da corrente  $I_A = V/2R$  a diferença de potencial do resistor de baixo é  $I_A R = \frac{1}{2} V$ .

No segundo ramo, a corrente  $I_B = V/(R_1 + j\omega L)$  e a d.d.p. na indutância é

$$I_B j\omega L = \frac{V}{(R_1 + j\omega L)} (j\omega L)$$

Como as pol:

$$V_{AB} = I_A R -$$

Racionalizar

$$V_{AB} = V \left[ \frac{1}{2} - \right]$$

A expressão forma polar,

$$r = \sqrt{\left( \frac{1}{2} - \right)^2}$$

$$\phi = \text{arc tg} \frac{-1}{2}$$

$$= \text{arc tg} \frac{-1}{2}$$

Portanto, o v

tg  $2x = (2 \text{ tg} \cdot$   
impedância c

6.19 Na Fig. 6-36, di  
a diferença de |

Como as polaridades são as da Fig. 6-35,

$$V_{AB} = I_A R - I_B(j\omega L) = \frac{1}{2} V - \frac{V}{(R_1 + j\omega L)} (j\omega L)$$

Racionalizando e separando os termos real e imaginário, temos:

$$V_{AB} = V \left[ \left( \frac{1}{2} - \frac{\omega^2 L^2}{R_1^2 + (\omega L)^2} \right) - j \left( \frac{\omega L R_1}{R_1^2 + (\omega L)^2} \right) \right]$$

A expressão entre colchetes é um número complexo que, convertido à forma polar, tem valor absoluto  $r$  e ângulo  $\phi$ .

$$r = \sqrt{\left( \frac{1}{2} - \frac{\omega^2 L^2}{R_1^2 + (\omega L)^2} \right)^2 + \left( \frac{\omega L R_1}{R_1^2 + (\omega L)^2} \right)^2} = \frac{1}{2}$$

$$\begin{aligned} \phi &= \text{arc tg} \frac{[-\omega L R_1 / (R_1^2 + (\omega L)^2)]}{\frac{1}{2} - \omega^2 L^2 / (R_1^2 + (\omega L)^2)} = \text{arc tg} \frac{-2\omega L R_1}{R_1^2 - (\omega L)^2} \\ &= \text{arc tg} \frac{-2(\omega L / R_1)}{1 - (\omega L / R_1)^2} \end{aligned}$$

Portanto, o valor absoluto de  $V_{AB}$  é constante, i.e.,  $V_{AB} = \frac{1}{2} V$ ; e como  $\text{tg } 2x = (2 \text{tg } x) / (1 - \text{tg}^2 x)$  e  $\omega L / R = \text{tg } \theta$ ,  $\phi = -2\theta$ , onde  $\theta$  é o ângulo da impedância complexa do segundo ramo.

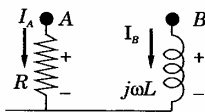


Figura 6-35

- 6.19 Na Fig. 6-36, duas malhas ativas são ligadas por um resistor de 10 ohms. Achar a diferença de potencial entre A e B.

Da Fig. 6-36 temos

$$I_A = \frac{10 \angle 30^\circ}{3 - j4} = \frac{10 \angle 30^\circ}{5 \angle -53,1^\circ} = 2 \angle 83,1^\circ$$

$$I_B = \frac{10 \angle 0^\circ}{3 + j4} = \frac{10 \angle 0^\circ}{5 \angle 53,1^\circ} = 2 \angle -53,1^\circ$$

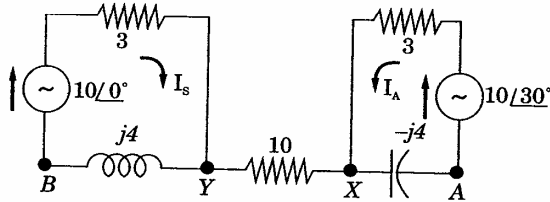


Figura 6-36

Para determinar  $V_{AB}$  é necessário que se conheçam as tensões nos terminais de cada um dos elementos da Fig. 6-37. Considerando as polaridades corretas, temos

$$V_{AX} = -I_A(-j4) = -2 \angle 83,1^\circ (-j4) = -8 \angle -6,9^\circ = -7,94 + j0,96$$

$$V_{XY} = 0 \text{ (não passa corrente no resistor de 10 ohms)}$$

$$V_{YB} = V_B(j4) = -2 \angle -53,1^\circ (j4) = 8 \angle 36,9^\circ = 6,4 + j4,8$$

$$\text{Logo, } V_{AB} = V_{AX} + V_{XY} + V_{YB} = -1,54 + j5,76 = 5,95 \angle 105^\circ$$

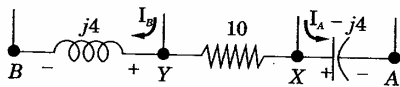


Figura 6-37

6.20 A corrente total do circuito em paralelo da Fig. 6-38 é  $I_T = 18 \angle 45^\circ$ . Determinar a diferença de potencial entre os pontos A e B.

Da Fig. 6-38,

$$I_A = I_T \left( \frac{Z_2}{Z_A} \right)$$

$$I_B = I_T \left( \frac{Z_1}{Z_A} \right)$$

As tensões são  $93,2 \angle 120^\circ$  e  $V_{AB}$

A Fig. 6-39, as polaridades iniciais

$$V_{AB} = (93,2 \angle 120^\circ) - V_{AB}$$

6.21 Determinar a impedância equivalente vista de A e B da ponte da Fig. 6-39.

A combinação de impedâncias em paralelo de  $Z_2$  e  $Z_1$  é

$$Z_{eq} = \frac{Z_1 Z_2}{Z_1 + Z_2}$$

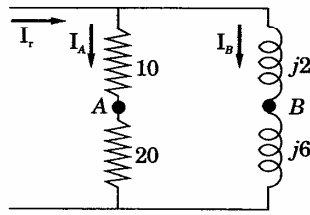


Figura 6-38

Da Fig. 6-38, temos

$$I_A = I_T \left( \frac{Z_B}{Z_A + Z_B} \right) = 18 \angle 45^\circ \left( \frac{j8}{30 + j8} \right) = 4,66 \angle 120^\circ$$

$$I_B = I_T \left( \frac{Z_A}{Z_A + Z_B} \right) = 18 \angle 45^\circ \left( \frac{30}{30 + j8} \right) = 17,5 \angle 30^\circ$$

As tensões na resistência de 20 ohms e na reatância  $j6$  são  $V_{20} = I_A(20) = 93,2 \angle 120^\circ$  e  $V_{j6} = I_B(j6) = 105 \angle 120^\circ$ , respectivamente.

A Fig. 6-39 mostra que as duas tensões podem ser somadas com as polaridades indicadas. Então,

$$V_{AB} = (93,2 \angle 120^\circ) - (105 \angle 120^\circ) = 11,8 \angle -60^\circ$$

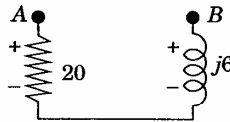


Figura 6-39

6.21 Determinar a impedância equivalente entre os terminais A e B o circuito em ponte da Fig. 6-40.

A combinação de  $Z_1$  e  $Z_4$  em paralelo está em série com a combinação paralelo de  $Z_2$  e  $Z_3$ . Então,

$$Z_{eq} = \frac{Z_1 Z_4}{Z_1 + Z_4} + \frac{Z_2 Z_3}{Z_2 + Z_3}$$

30°  
 tensões nos termi-  
 do as polaridades  
 + j0,96  
 = 5,95/105°  
 18/45°. Determinar

$$= \frac{500 (2000 \angle -30^\circ)}{500 + 2000 \angle -30^\circ} + \frac{250 \angle 30^\circ (1000)}{250 \angle 30^\circ + 1000}$$

$$= 596 \angle 4,05^\circ$$

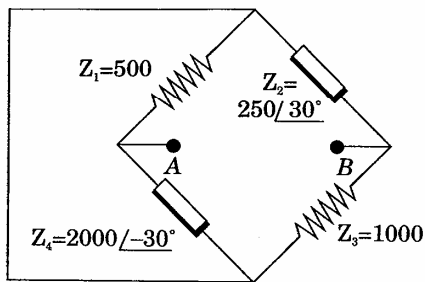


Figura 6-40

**Problemas Propostos**

- 6.22 Calcular a tensão em cada impedância do circuito em série da Fig. 6-41. Mostrar num diagrama de fasores que a soma  $V_1 + V_2 + V_3$  é igual à tensão aplicada  $V = 100/0^\circ$ .  
 Resp.:  $31,4/20,8^\circ$ ;  $25,1/50,8^\circ$ ;  $62,9/-29,2^\circ$ .

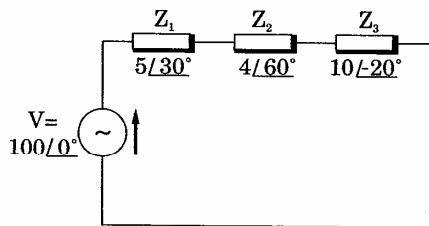


Figura 6-41

- 6.23 Determinar a tensão  $V$ , aplicada ao circuito em série da Fig. 6-42, sabendo que é de  $27/-10^\circ$  volts a queda de tensão em  $Z_1$ .  
 Resp.:  $126,5/-24,6^\circ$ .

6.24 Três impedâncias de tensão de tensão em  
 Resp.:  $I = 15$

6.25 Uma fonte de de  $R$  fixo e corrente é  $I$  atrasada de eficaz da corrente  
 Resp.: 6,25 a

6.26 A queda de tensão  $15^\circ$ . Determinar  
 Resp.:  $R = 4$

6.27 Um circuito reatância indutiva impedância  $Z$  resultante?  
 Resp.:  $Z = 1$

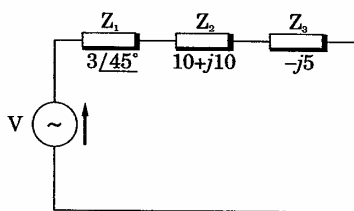


Figura 6-42

- 6.24 Três impedâncias  $Z_1 = 5 + j$ ,  $Z_2 = -j8$  e  $Z_3 = 4$  são ligadas em série a uma fonte de tensão desconhecida  $V$ . Determinar  $I$  e  $V$ , sendo  $63,2/18,45^\circ$  volts a queda de tensão em  $Z_3$ .  
*Resp.:  $I = 15,8/18,45^\circ$ ;  $V = 150/0^\circ$ .*
- 6.25 Uma fonte de tensão  $V = 25/180^\circ$  é ligada a um circuito em série, constituído de  $R$  fixo e  $X_L$  variável. Colocada a reatância em um valor arbitrário, a corrente é  $I = 11,15/153,4^\circ$ . Então,  $X_L$  é ajustada de modo a tornar a corrente atrasada de  $60^\circ$  em relação à tensão. Nessa segunda hipótese, qual é o valor eficaz da corrente?  
*Resp.: 6,25 ampères.*
- 6.26 A queda de tensão na reatância  $j2$  do circuito em série da Fig. 6-43 é  $V_{j2} = 13,04/15^\circ$ . Determinar  $Z$ .  
*Resp.:  $R = 4$  ohms;  $X_C = 15$  ohms.*

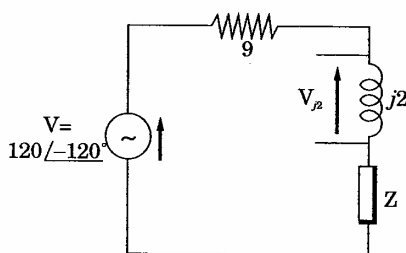


Figura 6-43

- 6.27 Um circuito em série é constituído de uma resistência  $R = 1$  ohm, uma reatância indutiva  $jX_L = j4$  ohms e uma terceira impedância  $Z$ . Qual é a impedância  $Z$ , sendo  $V = 50/45^\circ$  a tensão aplicada e  $I = 11,2/108,4^\circ$  a corrente resultante?  
*Resp.:  $Z = 1 - j8$ .*

série da Fig. 6-41.  
 $V_3$  é igual à tensão

6-42, sabendo que

- 6.28 Um circuito em série de três elementos contém uma impedância  $L = 0,02 \text{ H}$ . A tensão aplicada e a corrente resultante estão mostradas no diagrama da Fig. 6-44. Quais são os outros dois elementos do circuito, sendo  $\omega = 500 \text{ rad/s}$ ?  
 Resp.:  $R = 10 \ \Omega$ ;  $L = 0,04 \text{ H}$ .

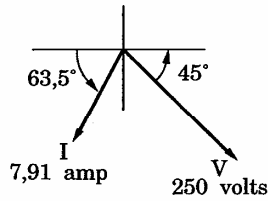


Figura 6-44

- 6.29 Calcular  $Z$  e  $I$  correspondentes ao diagrama de fasores da Fig. 6-45.  
 Resp.:  $Z = 2 - j0,5$ ;  $Y = 0,47 + j0,1175$ .

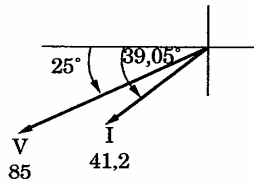


Figura 6-45

- 6.30 Para determinar a resistência  $R$  e a indutância  $L$  de uma bobina fazemos a ligação série da bobina com um resistor  $r = 25 \text{ ohms}$  e uma fonte de 120 volts, 60 Hz. Em seguida, medimos as tensões no resistor,  $V_r = 70,8 \text{ volts}$  e nos terminais da bobina  $V_{\text{bob}} = 86 \text{ volts}$ . Calcule  $R$  e  $L$ .  
 Resp.:  $R = 5 \text{ ohms}$ ,  $L = 79,6 \text{ mH}$ .
- 6.31 Uma combinação série de  $R$  e  $C$  está ligada em série com uma resistência de 15 ohms. Aplicando-se ao conjunto uma fonte de 120 volts, 60 Hz, as tensões eficazes nos terminais do conjunto  $RC$  e do resistor puro são, respectivamente, 87,3 e 63,6 volts. Determinar  $R$  e  $C$ .  
 Resp.:  $R = 5 \text{ ohms}$ ;  $C = 132,5 \ \mu\text{F}$ .
- 6.32 Determinar  $Z_{\text{eq}}$  e  $Y_{\text{eq}}$  do circuito em paralelo de dois ramos mostrado na Fig. 6-46. Calcular a corrente para cada circuito equivalente.  
 Resp.:  $Z_{\text{eq}} = 18,6 \angle -7,15^\circ$ ;  $Y_{\text{eq}} = 0,0538 \angle -7,15^\circ$ ;  $I_T = 10,75 \angle -7,15^\circ$ .

- 6.33 Determinar a da Fig. 6-47.  
 Resp.:  $16/25$

- 6.34 Determinar  $I_T$ , comparar cor.  
 Resp.:  $I_T = 1$

- 6.35 A Fig. 6-49 r paralelo de d  
 Resp.:  $Z_1 = 2$

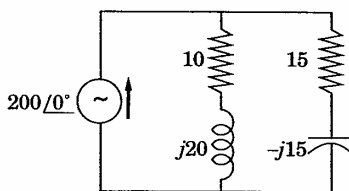


Figura 6-46

- 6.33 Determinar as correntes dos ramos e a corrente total do circuito em paralelo da Fig. 6-47. Construir o diagrama de fasores, mostrando  $I_1$ ,  $I_2$  e  $I_T$ .  
 Resp.:  $16/25^\circ$ ;  $12/0^\circ$ ;  $27,4/14,3^\circ$ .

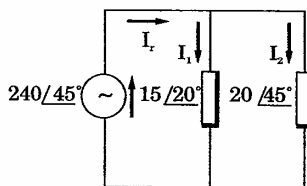


Figura 6-47

- 6.34 Determinar  $I_T$  no circuito em paralelo da Fig. 6-48. Achar  $Z_{eq}$  da relação  $V/I_T$  e comparar com  $Z_{eq} = Z_1 Z_2 / (Z_1 + Z_2)$ .  
 Resp.:  $I_T = 17,9/42,4^\circ$ ;  $Z_{eq} = 5,59/-12,4^\circ$ .

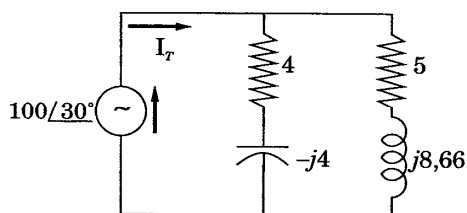


Figura 6-48

- 6.35 A Fig. 6-49 mostra o diagrama de fasores correspondente a um circuito em paralelo de dois ramos. Determinar as impedâncias dos ramos  $Z_1$  e  $Z_2$ .  
 Resp.:  $Z_1 = 2,5 + 20j$ ;  $Z_2 = 15/-90^\circ$ .

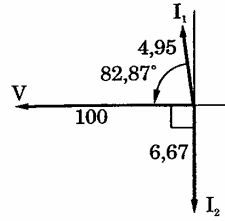


Figura 6-49

- 6.36 A tensão aplicada e as correntes em um circuito paralelo de dois ramos são as indicadas no diagrama de fasores da Fig. 6-50. Achar as impedâncias dos ramos,  $Z_1$  e  $Z_2$ .  
 Resp.:  $Z_1 = 11,55 - j20$ ;  $Z_2 = 27,6 + j11,75$ .

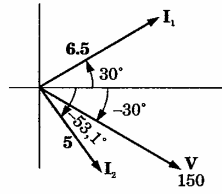


Figura 6-50

- 6.37 Dados  $I_1 = 2 \angle -30^\circ$  e  $I_T = 4,47 \angle 33,4^\circ$ , achar  $Z_2$  na Fig. 6-51.  
 Resp.:  $Z_2 = -j5$ .

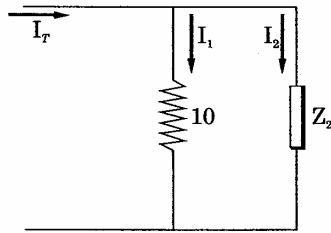


Figura 6-51

- 6.38 Determinar  $Y_{eq}$  quando admitância  
 Resp.:  $Y_{eq} = ($

$150/4j$

- 6.39 Calcular  $Z_{eq}$  e  
 Resp.:  $Z_{eq} = 2$

- 6.40 Dados  $V = 50$ ,  
 Resp.:  $Z = 5 \angle$

V

- 6.41 Determinar  $Z$ ,  
 Resp.:  $Z = 5 \angle 4$

- 6.38 Determinar  $Y_{eq}$  e  $Z_{eq}$  do circuito de 4 ramos em paralelo da Fig. 6-52, empregando admitância. Calcular  $I_T$  do circuito equivalente.  
 Resp.:  $Y_{eq} = 0,22/-58^\circ$ ;  $Z_{eq} = 4,55/58^\circ$ ;  $I_T = 33/-13^\circ$ .

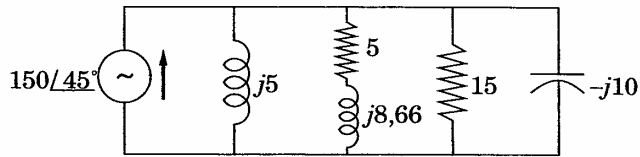


Figura 6-52

- 6.39 Calcular  $Z_{eq}$  e  $Y_{eq}$  do circuito paralelo mostrado na Fig. 6-53.  
 Resp.:  $Z_{eq} = 2,87/27^\circ$ ;  $Y_{eq} = 0,348/-27^\circ$ .

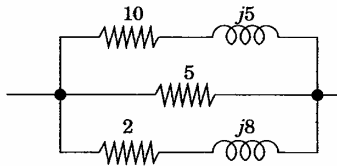


Figura 6-53

- 6.40 Dados  $V = 50/30^\circ$  e  $I_T = 27,9/57,8^\circ$ , determinar  $Z$ , na Fig. 6-54.  
 Resp.:  $Z = 5/-30^\circ$ .

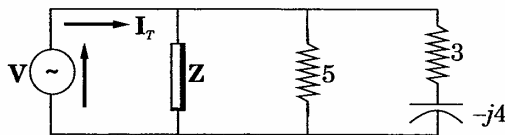


Figura 6-54

- 6.41 Determinar  $Z$ , na Fig. 6-55, conhecidos  $V = 100/90^\circ$  e  $I_T = 50,2/102,5^\circ$ .  
 Resp.:  $Z = 5/45^\circ$ .

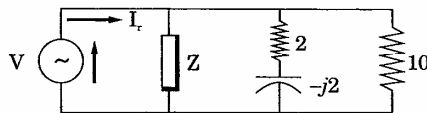


Figura 6-55

! dois ramos são as  
s impedâncias dos

- 6.42 Um conjunto série  $R$  e  $C$  está em paralelo com um resistor de 20 ohms. Aplicada ao circuito uma fonte de 60 Hz, a corrente total é 7,02 ampères, a corrente no resistor de 20 ohms é 6 ampères e no ramo  $RC$  é 2,3 ampères. Determinar  $R$  e  $C$ .  
 Resp.:  $R = 15$  ohms;  $C = 53,1 \mu\text{F}$ .
- 6.43 Dada a Fig. 6-56, determinar  $R$  e  $X_L$  sendo 29,9 ampères a corrente eficaz total, 8 ampères a corrente em  $R$  e 22,3 ampères a corrente do conjunto  $RL$  em paralelo.  
 Resp.:  $R = 5,8$  ohms;  $X_L = 14,5$  ohms.

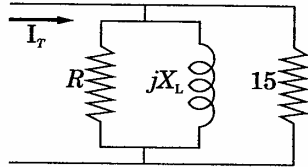


Figura 6-56

- 6.44 Determinar a tensão  $V_{AB}$  no circuito da Fig. 6-57.  
 Resp.:  $28,52/183,68^\circ$ .

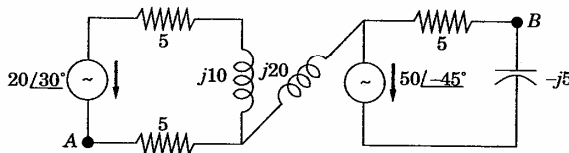


Figura 6-57

- 6.45 Um voltímetro colocado nos terminais do resistor de 3 ohms da Fig. 6-58 indica 45 volts. Qual é a leitura do amperímetro?  
 Resp.: 19,4 ampères.

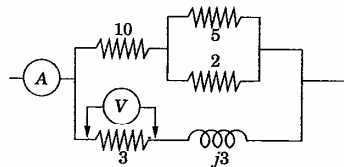


Figura 6-58

- 6.46 Determinar a marca 45 volt:  
 Resp.: 18 amf

- 6.47 Calcular a ten.  
 Resp.: 25,2 vc

- 6.48 O valor eficaz valores corres qualquer V e c  
 Resp.: 54,3 vc

- 6.49 Determinar o v sendo de 50 v  
 Resp.: 54,6 vc

- 6.46 Determinar a leitura do amperímetro da Fig. 6-59 sabendo que o voltímetro marca 45 volts nos terminais do resistor de 5 ohms.  
 Resp.: 18 ampères.

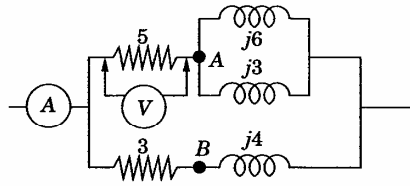


Figura 6-59

- 6.47 Calcular a tensão eficaz entre os pontos A e B do circuito do Probl. 6.46.  
 Resp.: 25,2 volts.
- 6.48 O valor eficaz da tensão entre os pontos A e B da Fig. 6-60 é 25 volts. Achar os valores correspondentes de V e  $I_T$ . Sugestão: Supor um valor conveniente para qualquer V e determinar  $V'_{AB}$  correspondente. Depois:  $V/25 = V'/V'_{AB}$ .  
 Resp.: 54,3 volts; 14,2 ampères.

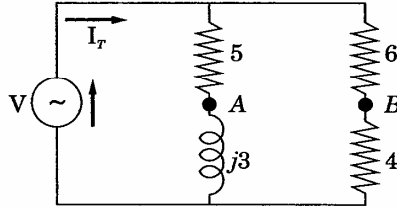


Figura 6-60

- 6.49 Determinar o valor eficaz da fonte de tensão, no circuito paralelo da Fig. 6-61, sendo de 50 volts a diferença de potencial entre A e B.  
 Resp.: 54,6 volts.

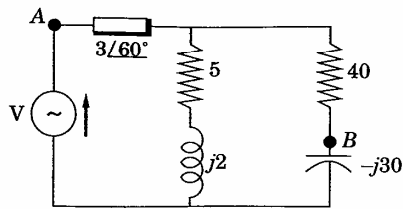


Figura 6-61

6.50 Reportando-se à Fig. 6-62, verificar que, para quaisquer valores de  $R$  e  $X_L$ , o valor eficaz de  $V_{AB}$  é constante e igual a 50 volts.

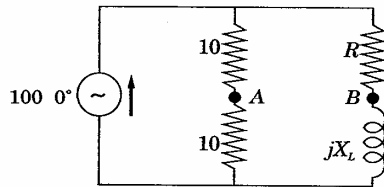
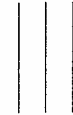


Figura 6-62



MAKRON  
Books

PC



## Introdução

Em divers  
tência. Por exempl  
potência à entrad  
transmissor de rá

Se a tensi  
será, também, fun  
estrutura passiva.  
chama potência in



MAKRON  
Books

## POTÊNCIA E CORREÇÃO DO FATOR DE POTÊNCIA

alores de  $R$  e  $X_L$ , o

### Introdução

Em diversos equipamentos elétricos, o maior interesse reside na potência. Por exemplo, temos interesse na potência gerada por um alternador, na potência à entrada de um motor elétrico ou na potência de saída de um transmissor de rádio ou de televisão.

Se a tensão, na Fig. 7-1, for função do tempo, a corrente resultante será, também, função do tempo e sua amplitude dependerá dos elementos da estrutura passiva. O produto da tensão pela corrente, em qualquer instante, se chama potência instantânea e é dado por:

$$p = vi$$

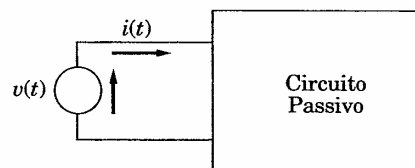


Figura 7-1

A potência  $p$  pode tomar valores positivos e negativos, dependendo do instante que se considere. Uma  $p$  positiva indica uma transferência de energia da fonte para a estrutura, ao passo que o valor negativo de  $p$  corresponde a uma transferência de energia da estrutura para a fonte.

### Potência em Regime Estacionário Senoidal – Potência Média ( $P$ )

Consideremos o caso ideal em que a estrutura passiva consta apenas de um elemento indutivo e apliquemos a ela uma tensão senoidal da forma  $v = V \text{ sen } \omega t$ . A corrente resultante terá a forma  $i = I \text{ sen } (\omega t - \pi/2)$ . A potência em qualquer instante será:

$$p = vi = V_m I_m (\text{sen } \omega t) [\text{sen } (\omega t - \pi/2)]$$

Como  $\text{sen } (\omega t - \pi/2) = -\text{cos } \omega t$  e  $2 \text{ sen } x \text{ cos } x = \text{sen } 2x$ , temos:

$$p = -\frac{1}{2} V_m \text{ sen } 2\omega t$$

O resultado acima está ilustrado na Fig. 7-2. Quando  $v$  e  $i$  são positivas, a potência  $p$  é positiva e a energia é fornecida da fonte para a indutância. Quando  $v$  e  $i$  são de sinais opostos, a potência é negativa e a energia retorna da indutância para a fonte. A potência tem uma frequência dupla da tensão da corrente. O valor médio da potência, indicado por  $P$ , é nulo para um ciclo completo.

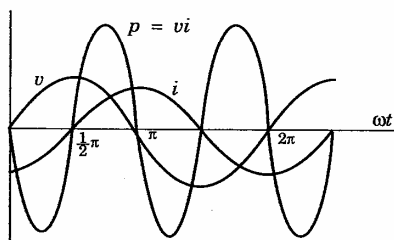


Figura 7-2 Estrutura com  $L$  pura.

No caso i  
análogos, como m

Se aplicar  
contenha resistên

Como sen

A Fig. 7-  
potência tem frequê  
é sempre positiva  
potência é  $P = \frac{1}{2}$

No caso ideal de uma estrutura capacitiva pura obtêm-se resultados análogos, como mostra a Fig. 7-3.

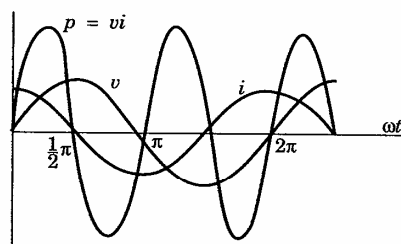


Figura 7-3 Estrutura com C pura.

Se aplicarmos, agora, uma tensão  $v = V_m \text{ sen } \omega t$  a uma estrutura que só contenha resistência, a corrente será  $i = I_m \text{ sen } \omega t$  e a potência correspondente

$$p = vi = V_m I_m \text{ sen}^2 \omega t$$

Como  $\text{sen}^2 x = \frac{1}{2}(1 - \cos 2x)$ , temos:

$$p = \frac{1}{2} V_m I_m (1 - \cos 2\omega t)$$

A Fig. 7-4 ilustra este resultado. Verifica-se que, também aqui, a potência tem frequência dupla da tensão ou da corrente. Além disso, a potência é sempre positiva e varia de zero ao valor máximo  $V_m I_m$ . O valor médio da potência é  $P = \frac{1}{2} V_m I_m$ .

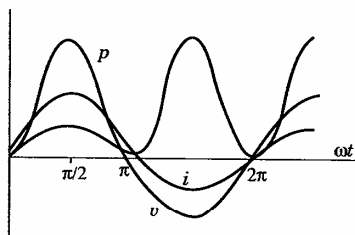


Figura 7-4 Estrutura com R pura.

Finalmente consideremos o caso de um circuito passivo geral. Aplicada uma tensão senoidal  $v = V_m \text{ sen } \omega t$ , teremos uma corrente resultante  $i = I_m \text{ sen } (\omega t + \phi)$ . O ângulo de fase  $\phi$  será positivo ou negativo, dependendo do caráter capacitivo ou indutivo da estrutura. Então,

$$p = vi = V_m I_m \text{ sen } \omega t \text{ sen } (\omega t + \phi)$$

Como  $\text{sen } \alpha \text{ sen } \beta = \frac{1}{2} [\cos (\alpha - \beta) - \cos (\alpha + \beta)]$  e  $\cos (-\alpha) = \cos \alpha$ :

$$p = \frac{1}{2} V_m I_m [\cos \phi - \cos (2\omega t + \phi)]$$

A potência instantânea  $p$  consta de um termo senoidal  $-1/2 V_m I_m \cos (2\omega t + \phi)$ , cujo valor médio é zero, e de um termo constante  $1/2 V_m I_m \cos \phi$ . Logo, o valor médio de  $p$  é

$$P = \frac{1}{2} V_m I_m \cos \phi = VI \cos \phi$$

onde  $V = V_m / \sqrt{2}$  e  $I = I_m / \sqrt{2}$  são os valores eficazes dos fasores  $V$  e  $I$ , respectivamente.

O termo  $\cos \phi$  é chamado *fator de potência*. O ângulo  $\phi$  é o ângulo entre  $V$  e  $I$  e seu valor está sempre entre  $+90^\circ$  e  $-90^\circ$ . Portanto,  $\cos \phi$  e, conseqüentemente,  $P$  são sempre positivos. Entretanto, para indicar o sinal de  $\phi$ , diz-se que um *circuito indutivo*, que tem a corrente atrasada em relação à tensão, tem um *fator de potência atrasado*. Num *circuito capacitivo*, a corrente está adiantada em relação à tensão; diz-se que ele tem um *fator de potência adiantado*.

A potência média  $P$  pode também ser obtida da expressão

$$P = \frac{1}{T} \int_0^T p dt$$

O watt (W) e o quilowatt (kW) = 1000 W são unidades usadas para a potência média.

### **Potência Ap**

O produto  $N$ . A unidade  $N$  é ampère (kVA) = 10

### **Potência Rec**

O produto  $Q$ . Sua unidade é o quilovolt-ampère

o geral. Aplicada  
 instante  $i = I_m \sin$   
 tendo do caráter

$= \cos \alpha:$

tal  $-1/2 V_m I_m \cos$   
 $V_m I_m \cos \phi$ . Logo,

$V$  e  $I$ , respectiva-

$\phi$  é o ângulo entre  
 $\phi$  e, conseqüente-  
 al de  $\phi$ , diz-se que  
 à tensão, tem um  
 te está adiantada  
 adiantado.

ensão

des usadas para a

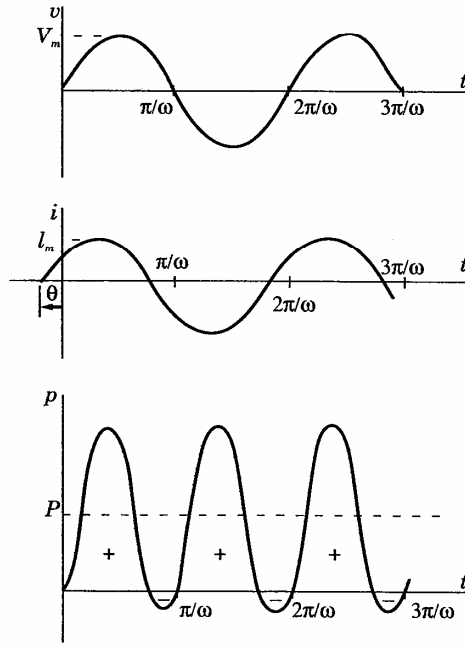


Figura 7-5

**Potência Aparente (N)**

O produto  $VI$  chama-se *potência aparente* e representa-se pelo símbolo  $N$ . A unidade  $N$  é o volt-ampère (VA) e o seu múltiplo mais usado é o quilovolt-ampère (kVA) = 1000 VA.

**Potência Reativa (Q)**

O produto  $VI \sin \phi$  chama-se *potência reativa* e indica-se pelo símbolo  $Q$ . Sua unidade é o volt-ampère-reativo (VAR) e o seu múltiplo mais empregado é o quilovolt-ampère-reativo (kVAR) = 1000 VAR.

### Triângulo das Potências

As equações que exprimem as potências médias, aparente e reativa podem ser desenvolvidas geometricamente em um triângulo retângulo chamado *triângulo das potências*.

Dado um circuito indutivo, representa-se a corrente atrasada e a tensão nos terminais, como mostra a Fig. 7-6(a), tomando **V** como referência. Na Fig. 7-6(b) representou-se a corrente com seus componentes em fase e em quadratura. A componente em fase está em fase com **V** e a componente em quadratura ou reativa é normal a **V** ou 90° fora de fase. Na Fig. 7-6(c) repetiu-se o diagrama, multiplicando **I**, **I sen φ** e **I cos φ** pelo valor eficaz da tensão, **V**. Tem-se:

Potência média  $P = \text{tensão} \times \text{componente em fase da corrente} = VI \cos \phi$

Potência aparente\*  $N = \text{tensão} \times \text{corrente} = VI$

Potência reativa  $Q = \text{tensão} \times \text{componente em quadratura da corrente} = VI \sin \phi$

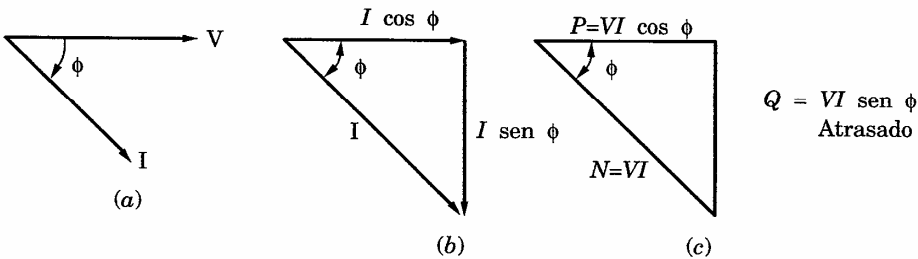
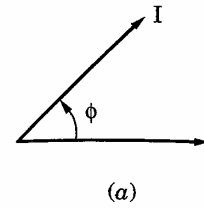


Figura 7-6 Triângulo das potências, carga indutiva.

Procedimento semelhante pode ser aplicado a uma corrente adiantada como na Fig. 7-7. O triângulo das potências, quando a carga é capacitiva, tem o cateto **Q** acima da horizontal.

\* N. R. É muito comum a utilização do símbolo **S** para indicar potência aparente. A escolha fica a critério do professor.



Fig

### Potência Co.

Os três la produto  $VI^*$ , cujo *plexa N*. Sua part à potência reativa

Seja  $V =$

$N = VI^* =$

O módulo adiantado (**I** adia ao passo que um â mente ao construi

A seguir, gadas na determi

Potência

Potência

Potência

Fator de :

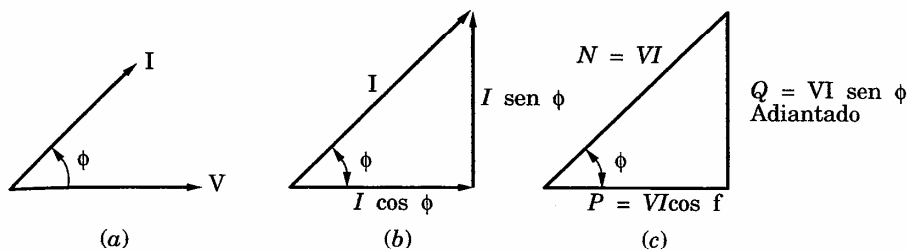


Figura 7-7 Triângulo das potências, carga capacitiva.

### Potência Complexa

Os três lados,  $N$ ,  $P$  e  $Q$ , do triângulo das potências podem ser obtidos do produto  $\mathbf{VI}^*$ , cujo resultado é um número complexo, chamado *potência complexa*  $\mathbf{N}$ . Sua parte real é igual à potência média  $P$  e sua parte imaginária igual à potência reativa  $Q$ .

Seja  $\mathbf{V} = Ve^{j\alpha}$  e  $\mathbf{I} = Ie^{j(\alpha + \phi)}$ . Então,

$$\mathbf{N} = \mathbf{VI}^* = Ve^{j\alpha}Ie^{-j(\alpha + \phi)} = VIe^{-j\phi} = VI \cos \phi - jVI \sin \phi = P - jQ$$

O módulo de  $\mathbf{N}$  é a potência aparente  $N = VI$ . Um ângulo de fase adiantado ( $\mathbf{I}$  adiantada em relação à  $\mathbf{V}$ ) determina uma potência  $Q$  adiantada, ao passo que um ângulo de fase atrasado indica  $Q$  atrasada. Deve-se ter isso em mente ao construir-se o triângulo das potências.

A seguir, apresentamos um resumo de equações que podem ser empregadas na determinação das componentes do triângulo das potências.

Potência média  $P = VI \cos \phi = I^2 R = V_R^2/R = \text{Re } \mathbf{VI}^*$

Potência reativa  $Q = VI \sin \phi = I^2 X = V_X^2/X = \text{Im } \mathbf{VI}^*$

Potência aparente  $N = VI = I^2 Z = V^2/Z = \text{valor absoluto de } \mathbf{VI}^*$

Fator de potência  $\text{fp} = \cos \phi = R/Z = P/N$



parente e reativa retângulo chama-

atrasada e a ten- mo referência. Na es em fase e em a componente em g. 7-6(c) repetiu-se icaz da tensão, V.

$VI \cos \phi$

orrente =  $VI \sin \phi$

$Q = VI \sin \phi$   
Atrasado

va.

orrente adiantada capacitiva, tem o

arente. A escolha fica

**Exemplo 1** Dado um circuito de impedância  $Z = 3 + j4$  e uma tensão aplicada  $V = 100 \angle 30^\circ$ , determine o triângulo das potências.

A corrente é  $I = V/Z = (100 \angle 30^\circ) / (5 \angle 53,1^\circ) = 20 \angle -23,1^\circ$ .

**Método 1**

$$P = I^2 R = (20)^2 3 = 1200 \text{ W}$$

$$Q = I^2 X = 1600 \text{ VAR atrasada}$$

$$N = I^2 Z = 2000 \text{ VA}$$

$$\text{fp} = \cos 53,1^\circ = 0,6 \text{ atrasado}$$

**Método 2**

$$N = VI = 100(20) = 2000 \text{ VA}$$

$$P = VI \cos \phi = 2000 \cos 53,1^\circ = 1200 \text{ W}$$

$$Q = VI \sin \phi = 2000 \sin 53,1^\circ = 1600 \text{ VAR atrasada}$$

$$\text{fp} = \cos \phi = \cos 53,1^\circ = 0,6 \text{ atrasado}$$

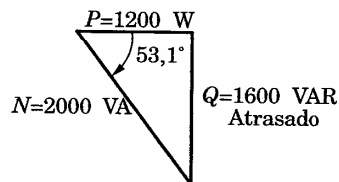


Figura 7-8

**Método 3**

$$N = VI^* = (100 \angle 30^\circ)(20 \angle 23,1^\circ) = 2000 \angle 53,1^\circ = 1200 + j1600, \text{ donde}$$

$P = 1200 \text{ W}$ ,  $Q = 1600 \text{ VAR atrasada}$ ,  $N = 2000 \text{ VA}$  e  $\text{fp} = \cos 53,1^\circ = 0,6$  atrasado

**Método 4**

$$V_R = IR =$$

$$\text{Logo, } P =$$

$$Q =$$

$$N =$$

$$\text{fp} =$$

Deve-se ter cuidado para não enganar mais frequência apenas, por  $V$ , ten

**Correção do**

Nas aplicações com cargas indutivas, a potência média  $P$ , de tempo que a carga por intermédio de

Como um zado à tensão fixa máxima permitida, fosse a ele ligada a potência média foi

Com relação da carga no sistema útil fornecida. É, isto é, que o ângulo se aproxime da un

No caso de variar o fator de potência, se que, como a potência útil,  $P$ , não varia. (

ma tensão aplicada

#### Método 4

$$V_R = IR = 20 \angle -23,1^\circ (3) = 60 \angle -23,1^\circ, V_X = (20 \angle -23,1^\circ)(4 \angle 90^\circ) = 80 \angle 66,9^\circ$$

$$\text{Logo, } P = V_{R^2}/R = 60^2/3 = 1200 \text{ W}$$

$$Q = V_X^2/X = 80^2/4 = 1600 \text{ VAR atrasada}$$

$$N = V^2/Z = 100^2/5 = 2000 \text{ VA}$$

$$\text{fp} = P/N = 0,6 \text{ atrasado}$$

Deve-se ter cuidado ao substituir os valores na equação  $P = V_{R^2}/R$ . O engano mais freqüente é substituir-se  $V_{R^2}$  tensão nos terminais do resistor apenas, por  $V$ , tensão total na impedância  $Z$ .

### Correção do Fator de Potência

Nas aplicações residenciais e industriais comuns, as cargas se apresentam indutivas e a corrente é atrasada em relação à tensão aplicada. A potência média  $P$ , fornecida à carga, é uma medida do trabalho útil por unidade de tempo que a carga pode executar. Essa potência, usualmente, é transmitida por intermédio de linhas de distribuição e transformadores.

Como um transformador, especificado em kVA, é, muitas vezes, utilizado à tensão fixa, os kVA são, simplesmente, uma indicação da corrente máxima permitida. Teoricamente, se uma carga indutiva ou capacitiva pura fosse a ele ligada, o transformador poderia ser plenamente carregado e a potência média fornecida seria nula.

Com relação ao triângulo das potências, a hipotenusa  $N$  dá uma indicação da carga no sistema de distribuição, ao passo que o cateto  $P$  mede a potência útil fornecida. É, portanto, desejável que  $N$  se aproxime o mais possível de  $P$ , isto é, que o ângulo  $\phi$  se aproxime de zero, ou seja, que o fator de potência  $\cos \phi$  se aproxime da unidade.

No caso comum de uma carga indutiva é quase sempre possível aumentar o fator de potência colocando capacitores em paralelo com a carga. Observe-se que, como a tensão nos terminais da carga permanece a mesma, a potência útil,  $P$ , não varia. Como o fator de potência é aumentado, a corrente e a potência

/1600, donde

$$\text{fp} = \cos 53,1^\circ = 0,6$$

aparente diminuem e obtém-se uma utilização mais eficiente do sistema de distribuição. Quando isto não ocorre, torna-se necessário efetuar uma correção do fator de potência do circuito.

**Exemplo 2** Corrigir para 0,9 atrasado o fator de potência do circuito do exemplo 1, acrescentando capacitores em paralelo. Achar  $N'$ , após a correção, e os vários capacitores necessários.

Partimos do triângulo das potências do Exemplo 1. Como  $\cos \phi' = 0,9$ , vem  $\phi' = 26^\circ$ .

$$N' = P / \cos \phi' = 1200 / \cos 26^\circ = 1333$$

Então,  $Q' = N' \sin \phi' = 1333 \sin 26^\circ = 585 \text{ VAR}$ , atrasado.

A potência reativa dos capacitores será:

$$Q - Q' = 1600 - 585 = 1015, \text{ adiantado}$$

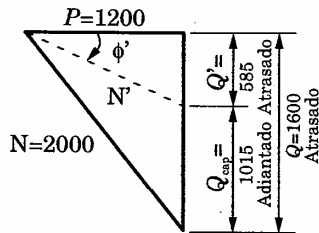


Figura 7-9

Como  $P$  permanece invariável, não muda também o trabalho, após a correção do fator de potência. O valor de  $N$ , entretanto, foi reduzido de 2000 para 1333 VA.

**Problemas Resolvidos**

7.1 Dado um circuito em que, aplicada a tensão  $V = 150 \text{ sen } (\omega t + 10^\circ)$ , a corrente resultante é  $i = 5 \text{ sen } (\omega t - 50^\circ)$ , determinar o triângulo das potências.

$$V = (150 \sqrt{2}) / 10^\circ = 106 / 10^\circ \text{ e } I = (5 / \sqrt{2}) / -50^\circ = 3,54 / -50^\circ.$$

$$\text{Então, } N = VI^* = (106 / 10^\circ)(3,54 / 50^\circ) = 375 / 60^\circ = 187,5 + j325.$$

donde:

$$P = \text{Re } V$$

$$Q = \text{Im } V$$

$$N = |VI$$

$$\text{fp} = \cos$$

7.2 Em um circui potência é 0, determinar as

Sob a forma

$$P = VI \cos \phi;$$

Como o fator do em relação

A impedância

Por ser  $Z =$

$$R = 2,6 \text{ ohm}$$

**Outro método**

Fazendo  $I =$   
Então:

$$Z = Z / -45^\circ =$$

$$C = 1 / \omega X_C =$$

onde:

$$P = \text{Re } \mathbf{VI}^* = 187,5 \text{ W}$$

$$Q = \text{Im } \mathbf{VI}^* = 325 \text{ VAR, atrasado}$$

$$N = |\mathbf{VI}^*| = 375 \text{ VA}$$

$$\text{fp} = \cos 60^\circ = 0,5 \text{ atrasado}$$

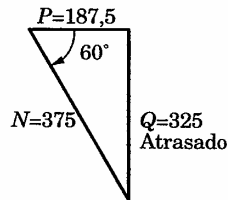


Figura 7-10

- 7.2 Em um circuito em série de dois elementos, a potência é 940 watts e o fator de potência é 0,707 adiantado. Sendo  $v = 99 \sin(6000t + 30^\circ)$  a tensão aplicada, determinar as constantes do circuito.

Sob a forma de fasor, a tensão aplicada é  $\mathbf{V} = (99/\sqrt{2}) \angle 30^\circ = 70 \angle 30^\circ$

$$P = VI \cos \phi; 940 = 70 I(0,707) \therefore I = 19 \text{ ampères.}$$

Como o fator de potência é 0,707 adiantado, o fasor corrente está adiantado em relação à tensão do ângulo  $\text{arc tg } 0,707 = 45^\circ$ . Logo,  $\mathbf{I} = 19 \angle 75^\circ$ .

A impedância do circuito  $\mathbf{Z} = \mathbf{V}/\mathbf{I} = (70 \angle 30^\circ)/(19 \angle 75^\circ) = 3,68 \angle -45^\circ = 2,6 - j2,6$

Por ser  $\mathbf{Z} = R - jX_C$  e  $X_C = 1/\omega C$ , temos:

$$R = 2,6 \text{ ohms e } C = \frac{1}{6000(2,6)} = 64,1 \mu\text{F}$$

#### Outro método

Fazendo  $I = 19$  ampères em  $P = RI^2$  resulta  $940 = R(19)^2 \therefore R = 2,6$  ohms. Então:

$\mathbf{Z} = Z \angle -45^\circ = 2,6 - j \times X_C$  e  $X_C = 2,6$ . Logo,

$$C = 1/\omega X_C = 64,1 \mu\text{F}$$

7.3 Dado o circuito em série da Fig. 7-11, determinar o triângulo das potências.

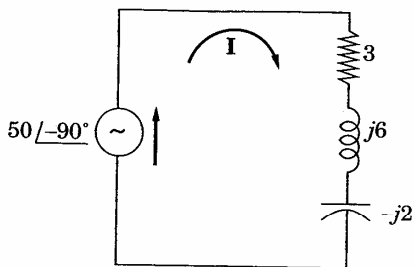


Figura 7-11

Da Fig. 7-11,  $Z = 3 + j6 - j2 = 3/53,1^\circ$  e  $I = V/Z = (50\angle-90^\circ)/(5\angle53,1^\circ) = 10\angle-143,1^\circ$ . Então,

$$N = VI^* = (50\angle-90^\circ)(10\angle143,1^\circ) = 500\angle53,1^\circ = 300 + j400$$

As componentes do triângulo das potências estão indicadas na Fig. 7-12.

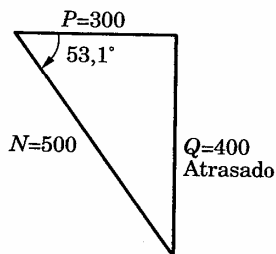


Figura 7-12

**Outro método**

Substituindo  $I = 10$  ampères na equação da potência de cada elemento,  $P = I^2R = 10^2(3) = 300$  W,  $Q_{j6} = 10^2(6) = 600$  VAR atrasado,  $Q_{-j2} = 10^2(2) = 200$  VAR adiantado e  $Q = Q_{j6} + R_{-j2} = 600 - 200 = 400$  VAR atrasado.

7.4 A corrente efi potências.

Fazendo

$$I_T = 30 \angle 0^\circ,$$

$$18,45 \angle -12,55$$

Logo,

$$P = I_2^2 R$$

$$Q = I_1^2 X$$

$$N = P -$$

$$fp = P/\Lambda$$

Esses resulta

$$Z_{eq} = \frac{5 - j3}{9 - j}$$

$$P = I_T^2 R = 30^2$$

7.5 No circuito em potência em cac

7.4 A corrente eficaz total no circuito da Fig. 7-13 é 30 ampères. Determinar as potências.

Fazendo

$$I_T = 30 \angle 0^\circ, I_2 = 30 \angle 0^\circ \left( \frac{5 - j3}{9 - j3} \right) = 18,45 \angle -12,55^\circ \text{ e } I_1 = 30 \angle 0^\circ \left( \frac{4}{9 - j3} \right) = 12,7 \angle 18,45^\circ.$$

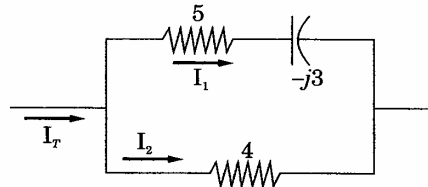


Figura 7-13

Logo,

$$P = I_2^2 R_4 = I_1^2 R_5 = (18,45)^2 (4) + (12,7)^2 (5) = 2165 \text{ W}$$

$$Q = I_1^2 X = (12,7)^2 (3) = 483 \text{ VAR adiantado}$$

$$N = P - jQ = 2165 - j483 = 2210 \angle -12,6^\circ, N = 2210 \text{ VA}$$

$$\text{fp} = P/N = 2165/2210 = 0,98 \text{ adiantado}$$

Esses resultados podem ser encontrados calculando-se a impedância

$$Z_{eq} = \frac{(5 - j3) 4}{9 - j3} = 2,4 - 0,533j. \text{ Daí}$$

$$P = I_T^2 R = 30^2 (2,4) = 2160 \text{ W e } Q = 30^2 (0,533) = 479,7 \text{ VAR adiantado}$$

7.5 No circuito em paralelo da Fig. 7-14 a potência total é 1100 watts. Calcular a potência em cada resistor e a leitura do amperímetro.

das potências.

$$0 \angle -90^\circ / (5 \angle 53,1^\circ) =$$

adas na Fig. 7-12.

de cada elemento, adido,  $Q_{-j2} = 10^2 (2) = 200 \text{ VAR atrasado}$ .

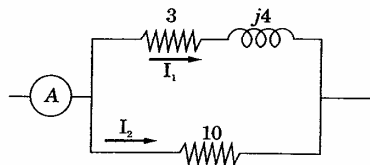


Figura 7-14

$$I_1 = \frac{V}{Z_1} = \frac{V}{3 + j4} = \frac{V}{5 \angle 53,1^\circ}$$

$$I_2 = \frac{V}{Z_2} = \frac{V}{10}$$

A relação entre os módulos das correntes é  $\frac{I_1}{I_2} = \frac{V/5}{V/10} = \frac{2}{1}$ . Partindo de  $P = I^2 R$ , as relações entre as potências dos resistores de 3 e de 10 ohms é

$$\frac{P_3}{P_{10}} = \frac{I_1^2 R_1}{I_2^2 R_2} = \left(\frac{2}{1}\right)^2 \frac{3}{10} = \frac{6}{5}$$

Como  $P_T = P_3 + P_{10}$ , dividindo ambos os termos por  $P_{10}$ ,  $P_T/P_{10} = P_3/P_{10} + 1$  e

$$P_{10} = 1100(5/11) = 500 \text{ W}, P_3 = 1100 - 500 = 600 \text{ W}$$

Assim,  $P = I^2 R$ ,  $I_1^2(3) = 600$  e  $I_1 = 14,14$ . Fazendo  $V = V \angle 0^\circ$

$$I_1 = 14,14 \angle -53,1^\circ = 8,48 - j11,31$$

$$I_2 = 7,07 \angle 0^\circ = 7,07$$

$$I_T = I_1 + I_2 = 15,55 - j11,31 = 19,25 \angle -36^\circ$$

A leitura do medidor é 19,25 ampères.

- 7.6 Determinar o triângulo das potências de cada ramo do circuito da Fig. 7-15 e somá-los para obter o triângulo do circuito todo.

$$I_1 = V/Z_1$$

$$N_1 = VI_1^*$$

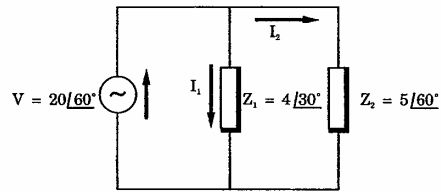
Logo,

$$P_1 = \text{Re } V I_1^*$$

$$Q_1 = \text{Im } V I_1^*$$

$$N_1 = |VI_1^*|$$

$$\text{fp}_1 = P_1/N_1$$



Ramo 1. Figura 7-15

$$I_1 = V/Z_1 = (20/60^\circ)/(4/30^\circ) = 5/30^\circ$$

$$N_1 = VI_1^* = (20/60^\circ)(5/-30^\circ) = 100/30^\circ = 86,6 + j50$$

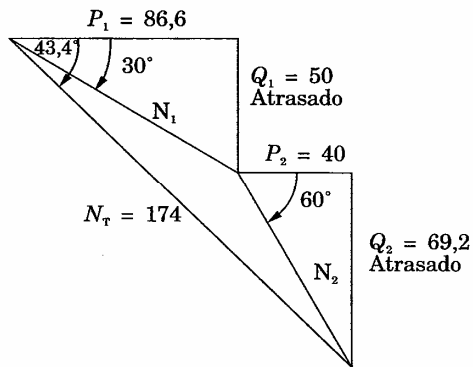
Logo,

$$P_1 = \text{Re } VI_1^* = 86,6 \text{ W}$$

$$Q_1 = \text{Im } VI_1^* = 50 \text{ VARS atrasado}$$

$$N_1 = |VI_1^*| = 100 \text{ VA}$$

$$\text{fp}_1 = P_1/N_1 = 0,866 \text{ atrasado}$$



Ramo 2. Figura 7-16

$= \frac{2}{1}$ . Partindo de 3 e de 10 ohms é

$$P_T/P_{10} = P_3/P_{10} + 1$$

$0^\circ$

suito da Fig. 7-15 e

$$I_2 = V/Z_2 = (20/60^\circ)/(5/60^\circ) = 4/0^\circ$$

$$N_2 = VI_2^* = (20/60^\circ)(4/0^\circ) = 80/60^\circ = 40 + j69,2$$

Logo,

$$P_2 = 40 \text{ W}$$

$$Q_2 = 69,2 \text{ VAR atrasado}$$

$$N_2 = 80 \text{ VA}$$

$$fp_2 = 0,5 \text{ atrasado}$$

Dos resultados e pela Fig. 7-16, obtém-se o triângulo das potências totais:

$$P_T = P_1 + P_2 = 86,6 + 40 = 126,6 \text{ W} \quad Q_T = Q_1 + Q_2 = 50 + 69,2 = 119,2 \text{ VAR atrasado}$$

$$\text{Como } N_T = P_T + jQ_T = 126,6 + j119,2 = 174/43,4^\circ,$$

$$N_T = |N_T| = 174 \text{ VA e } fp_T = P_T/S_T = 126,6/174 = 0,727 \text{ atrasado}$$

7.7 Um motor de indução cuja saída é 2HP tem rendimento de 85%. Com essa carga, o fator de potência é 0,8 atrasado. Determinar as potências de entrada.

$$S = 1755/0,8 = 2190 \text{ VA}, \phi = \cos^{-1}(0,8) = 36,9^\circ, Q = 2190 \text{ sen } 36,9^\circ = 1315 \text{ VARS atrasado}$$

7.8 Determinar o triângulo das potências totais do circuito em paralelo da Fig. 7-17, sendo de 20 watts a potência no resistor de 2 ohms.

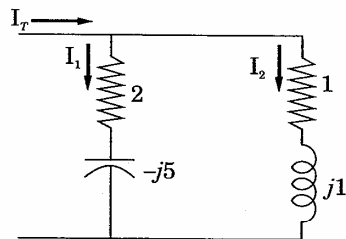


Figura 7-17

$$\begin{aligned} \text{De } P &= I^2 R \\ &= 3,16 \text{ amp} \\ &= 17 \text{ volts. } \end{aligned}$$

ou  $I_2 = 12,0$   
 $I_T = 11,16/$

Para calcul de  $N_T$ . Tem

$$\begin{aligned} N_T &= VI_T^* \\ P_T &= 164,5 \text{ W} \\ &= 0,867 \text{ atr} \end{aligned}$$

7.9 Determinar especificada fator de poté

**Carga 1**

Dados  $N =$   
 $P = N \cos \phi$   
 $\text{sen } 60^\circ = 2$

**Carga 2**

Dados  $P =$   
 $N = P/\cos 2$   
 $= 135 \text{ VA a}$

**Carga 3**

Dados  $N =$   
 $\phi = \text{arc sen}$   
 $= 283 \text{ W}$   
 Então,  $P_T =$   
 atrasado

Como  $N_1 =$   
 $N_2 =$

De  $P = I^2 R$  temos  $I_1^2(2) = 20$  e  $I_1 =$   
 $= 3,16$  ampères. Como  $Z_1 = 2 - j5 = 5,38/\underline{-68,2^\circ}$ ,  $V = I_1 Z_1 = 3,16(5,38)$   
 $= 17$  volts. Sendo  $V = 17/0^\circ$ ; então,  $I_1 = V/Z_1$  ou  $I_1 = 3,16/68,2^\circ$ ,  $I_2, I_2 = V/Z_2$   
 ou  $I_2 = 12,02/\underline{-45^\circ}$ ,  $I_T = I_1 + I_2 = 9,67 - j5,57$  ou  
 $I_T = 11,16/\underline{-29,9^\circ}$ (A)

Para calcularmos as componentes do triângulo das potências, precisamos de  $N_T$ . Temos:

$$N_T = VI_T^* = 17/0^\circ(11,16/29,9^\circ) = 189,72/29,9^\circ = 164,5 + j94,6$$

$$P_T = 164,5 \text{ W}, Q_T = 94,6 \text{ VARS atrasado}, N_T = 189,8 \text{ VA}, \cos \phi = 164,5/189,8 = 0,867 \text{ atrasado}$$

- 7.9 Determinar as potências de uma associação de três cargas individuais, assim especificadas: carga 1, 250 VA, fator de potência 0,5 atrasado; carga 2, 180 W, fator de potência 0,8 adiantado; carga 3, 300 VA, 100 VARS atrasados.

### Carga 1

Dados  $N = 250 \text{ VA}$ ,  $\cos \phi = 0,5$  atrasado.

$$P = N \cos \phi = 250(0,5) = 125 \text{ W}, \phi = \arccos 0,5 = 60^\circ, Q = N \sin \phi = 250 \sin 60^\circ = 216 \text{ VARS atrasado}$$

### Carga 2

Dados  $P = 180 \text{ W}$ ,  $\cos \phi = 0,8$  adiantado.

$$N = P/\cos \phi = 180/0,8 = 225 \text{ VA}, \phi = \arccos 0,8 = 36,9^\circ, Q = 225 \sin 36,9^\circ = 135 \text{ VA adiantando}$$

### Carga 3

Dados  $N = 300 \text{ VA}$ ,  $Q = 100 \text{ VARS atrasado}$ .

$$\phi = \arcsin (Q/N) = \arcsin (100/300) = 19,5^\circ, P = N \cos \phi = 300 \cos 19,5^\circ = 283 \text{ W}$$

Então,  $P_T = 125 + 180 + 283 = 588 \text{ W}$ ,  $Q_T = 216 - 135 + 100 = 181 \text{ VARS atrasado}$

$$\text{Como } N_T = P_T + jQ_T = 588 + j181 = 616/17,1^\circ,$$

$$N_T = 616 \text{ VA e } \cos \phi = P/N = 588/616 = 0,955 \text{ atrasado}$$

as potências totais:

$$- 69,2 = 119,2 \text{ VAR}$$

atrasado

de 85%. Com essa  
 ências de entrada.

$$2190 \sin 36,9^\circ =$$

aralelo da Fig. 7-17,

A Fig. 7-18 mostra os triângulos das potências de cada carga e o total.

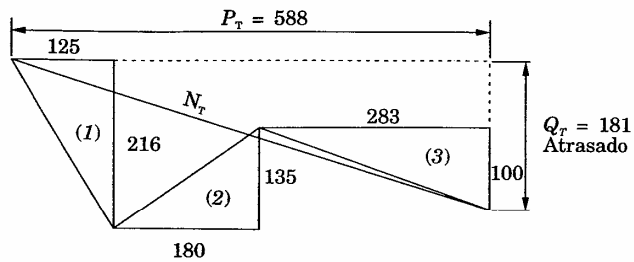


Figura 7-18

7.10 Um transformador de 25 kVA fornece 12 kW a uma carga com fator de potência de 0,6 atrasado. Determinar a porcentagem de plena carga que o transformador alimenta. Desejando-se alimentar cargas de fator de potência unitário com esse mesmo transformador, quantos kW podem ser acrescentados, até que o transformador esteja a plena carga?

Para carga de 12 kW,  $N = P/\cos \phi = 12/0,6 = 20$  kVA. Então, a porcentagem da plena carga é  $(20/25) 100 = 80\%$ . Como  $\phi = \arccos 0,6 = 53,1^\circ$ ,  $Q = N \sin \phi = 20 \sin 53,1^\circ = 16$  kVAR atrasado. As cargas adicionais têm fator de potência unitário; portanto, a potência reativa  $Q$  permanece inalterada. Logo, a plena carga, o ângulo  $\phi' = \arcsin (16/25) = 39,8^\circ$  e o fator de potência total  $P_T = N \cos \phi' = 25 \cos 39,8^\circ = 19,2$  kW. Assim,

Carga adicional =  $P_T - P = 19,2 - 12 = 7,2$  kW.

Esse resultado pode, também, ser obtido graficamente, como mostra a Fig. 7-19.

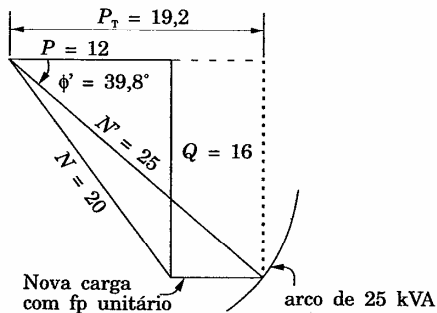


Figura 7-19

Observe-se fator de potência atrasado.

7.11 Com referência 0,866 adiantado transformado

Do Probl. 7.

$N = 20$  kVA.

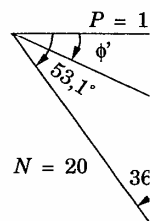
Traça-se o triângulo de potências considerando-se  $N$  procura-se o

Da Fig. 7-20

$$\frac{25}{\sin 96,9^\circ} =$$

Logo,  $\gamma =$

$$\phi' =$$



As potências e  $Q_T = 25$  se adicionadas adiantado.



Como  $N_2 = P_2 + jQ_2 = 11,1 - j6,4 = 12,8 / -30^\circ$ , temos:

$$N_2 = 12,8 \text{ kVA}$$

Portanto, devem ser adicionados 12,8 kVA de cargas novas com fator de potência 0,866 adiantado para fazer com que o transformador, operando a 12 kW com fator de potência 0,6 atrasado, passe a funcionar na sua potência nominal de 25 kVA.

**Outro método**

Da Fig. 7-20(a), para um ângulo  $\phi_2 = 30^\circ$ , tiramos:

$$P_2 = N_2 \cos 30^\circ = (\sqrt{3}/2)N_2 \text{ e } Q_2 = N_2 \sin 30^\circ = \frac{1}{2}N_2$$

$$(N')^2 = (P + P_2)^2 + (Q - Q_2)^2$$

Substituindo:

$$25^2 = [12 + (\sqrt{3}/2)N_2]^2 + (16 - \frac{1}{2}N_2)^2 \text{ e } N_2 = 12,8 \text{ kVA}$$

- 7.12 Um transformador de 500 kVA está operando a plena carga com fator de potência total de 0,6 atrasado. O fator de potência é melhorado acrescentando-se capacitores, até que o novo fator de potência seja 0,9 atrasado. Quantos kVAR capacitivos são necessários? Após a correção do fator de potência, que porcentagem da plena carga o transformador estará alimentando?

Para o transformador a plena carga (ver Fig. 7-21):

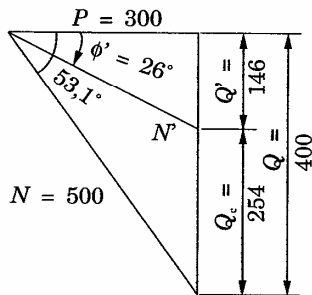


Figura 7-21

$$P = VI \cos \phi$$

$$\phi = \arccos \dots$$

$$Q = VI \sin \phi$$

Quando  $\cos \phi$

$$\phi' = \arccos \dots$$

Então, a ca  
porcentagem:

- 7.13 Um conjunto 0,8 atrasado rendimento, que o progra te melhorado potência do

Como os m  
indução, a j

Antes da su

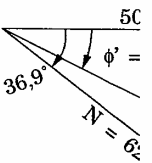
$$N = 500/0,8$$

$$Q = 625 \text{ ser}$$

Quando o fa

$$\phi' = \arccos \dots$$

$$Q' = 556 \text{ ser}$$



$$P = VI \cos \phi = 500 (0,6) = 300 \text{ kW}$$

$$\phi = \arccos 0,6 = 53,1^\circ$$

$$Q = VI \sin \phi = 500 \sin 53,1^\circ = 400 \text{ kVAR atrasado}$$

Quando  $\cos \phi = 0,9$  atrasado

$$\phi' = \arccos 0,9 = 26^\circ, N' = 300/0,9 = 333 \text{ kVA}, Q' = 333 \sin 26^\circ = 146 \text{ kVAR atrasado}$$

Então, a carga capacitiva =  $Q - Q' = 400 - 146 = 254 \text{ kVAR}$  adiantado e a percentagem de plena carga =  $(333/500)100 = 66,7\%$ .

- 7.13 Um conjunto de motores de indução com um total de 500 kW e fator de potência 0,8 atrasado deve ser substituído parcialmente por motores síncronos do mesmo rendimento, porém de fator de potência 0,707 adiantado. À medida que prossegue o programa de substituição, o fator de potência do conjunto é constantemente melhorado. Que percentagem da carga terá sido substituída quando o fator de potência do conjunto atingir 0,9 atrasado?

Como os motores síncronos têm o mesmo rendimento que os motores de indução, a potência média total permanece constante em 500 kW.

Antes da substituição dos motores:

$$N = 500/0,8 = 625 \text{ kVA}; \phi = \arccos 0,8 = 36,9^\circ;$$

$$Q = 625 \sin 36,9^\circ = 375 \text{ kVAR atrasado}$$

Quando o fator de potência do sistema passa a 0,9 atrasado,

$$\phi' = \arccos 0,9 = 26^\circ; N' = 500/0,9 = 556 \text{ kVA};$$

$$Q' = 556 \sin 26^\circ = 243 \text{ kVAR atrasado}$$

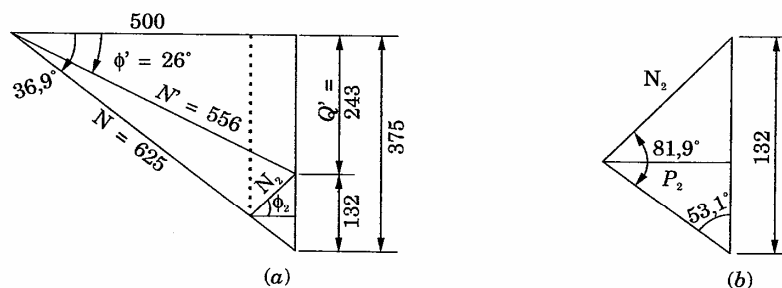


Figura 7-22

ovos com fator de  
rmador, operando  
funcionar na sua

kVA

arga com fator de  
ado acrescentando-  
atrasado. Quantos  
or de potência, que  
ando?

Como o fator de potência dos motores substituídos é 0,707 adiantado,  $\phi_2 = \arccos 0,707 = 45^\circ$ .

Aplicando a lei dos senos à Fig. 7-22(b),

$$\frac{N_2}{\sin 53,1^\circ} = \frac{132}{\sin 81,9^\circ} \therefore N_2 = 106,5 \text{ kVA}$$

$$\text{Então, } P_2 = 106,5 \cos 45^\circ = 75,3 \text{ kW}$$

A percentagem de carga substituída é

$$\frac{75,3}{500} \times 100 = 15\%$$

### Problemas Propostos

- 7.14 Dado um circuito com tensão aplicada  $v = 200 \sin(\omega t + 110^\circ)$  e corrente total  $i = 5 \sin(\omega t + 20^\circ)$ , determinar os elementos do triângulo das potências.  
 Resp.:  $P = 0$ ;  $Q = 500$  VARS atrasado.
- 7.15 Dado um circuito em que a tensão aplicada  $v = 14,14 \cos \omega t$  acarreta uma corrente total  $i = 17,1 \cos(\omega t - 14,05^\circ)$  mA, determinar o triângulo das potências.  
 Resp.:  $P = 117,5$  mW;  $Q = 29,6$  mVAR atrasado;  $\cos \phi = 0,97$  atrasado.
- 7.16 Dado um circuito em que a tensão aplicada  $v = 340 \sin(\omega t - 60^\circ)$  acarreta  $i = 13,3 \sin(\omega t - 48,7^\circ)$ , determinar os elementos do triângulo das potências.  
 Resp.:  $P = 2215$  W;  $Q = 442$  VARS adiantado;  $\cos \phi = 0,98$  adiantado.
- 7.17 Um circuito em série de dois elementos com  $R = 10$  ohms e  $X_C = 5$  ohms, está submetido a uma tensão eficaz aplicada de 120 volts. Determinar o triângulo das potências.  
 Resp.:  $\mathbf{N} = 1154 - j577$ ;  $\cos \phi = 0,894$  adiantado.
- 7.18 Em um circuito em série de dois elementos, onde  $R = 5$  ohms e  $X_L = 15$  ohms, a tensão eficaz no resistor é 31,6. Determinar o triângulo das potências.  
 Resp.:  $\mathbf{N} = 200 + j600$ ;  $\cos \phi = 0,316$  atrasado.
- 7.19 O fasor tensão, aplicado a um circuito em série de  $R = 8$  ohms e  $X_C = 6$  ohms, é  $\mathbf{V} = 50 \angle -90^\circ$ . Determinar todas as informações relativas às potências.  
 Resp.:  $\mathbf{N} = 200 - j150$ ;  $\cos \phi = 0,8$  adiantado.
- 7.20 Determinar a impedância do circuito que solicita 5040 volts-ampères, com fator de potência de 0,894 adiantado, de um fasor tensão aplicado  $\mathbf{V} = 150 \angle 45^\circ$ .  
 Resp.:  $4 - j2$ .
- 7.21 A corrente é 8,21 volt-ampères.  
 Resp.: 8,21
- 7.22 Um circuito com tensão aplicada  $v = 5000t + \dots$ .  
 Calcule as potências.  
 Resp.:  $R = 2$
- 7.23 Uma corrente  $i = 5,83 \angle -59^\circ$  e tensão  $v = \dots$ .  
 Calcule as potências.  
 Resp.:  $N_T = \dots$
- 7.24 Duas impedâncias  $Z_1 = 1920$  VARS e  $Z_2 = \dots$ .  
 Calcule  $P = 2$ .
- 7.25 O circuito sé é  $Z = 0,856$  e  $\phi = \dots$ .  
 Calcule  $Z = 1/$ .
- 7.26 No circuito em série de dois elementos, a potência é 300 watts. Determine  $\mathbf{N} = 300$ .

0,707 adiantado,

**7.21** A corrente eficaz em uma dada impedância é 18 ampères e acarreta 3500 volt-ampères com fator de potência 0,76 atrasado. Calcular a impedância.  
 Resp.:  $8,21 + j7,0$ .

**7.22** Um circuito em série de dois elementos em que a corrente instantânea é  $i = 4,24 \text{ sen}(5000t + 45^\circ)$  tem potência de 180 watts e um fator de potência 0,8 atrasado. Calcular as constantes do circuito.  
 Resp.:  $R = 20 \text{ ohms}$ ;  $L = 3 \text{ mH}$ .

**7.23** Uma corrente eficaz de 5 ampères percorre duas impedâncias em série  $Z_1 = 5,83/-59^\circ$  e  $Z_2 = 8,95/63,4^\circ$ . Determinar todas as informações sobre as potências.  
 Resp.:  $N_T = 175 + j75$ ;  $\cos \phi = 0,918$  atrasado.

**7.24** Duas impedâncias  $Z_1 = 5/45^\circ$  e  $Z_2 = 10/30^\circ$  estão em série e têm  $Q$  total de 1920 VARS atrasado. Determinar a potência média  $P$  e a potência aparente  $N$ .  
 Resp.:  $P = 2745 \text{ W}$ ;  $N = 3350 \text{ VA}$ .

**7.25** O circuito série da Fig. 7-23 solicita 36,4 volt-ampères com fator de potência de 0,856 atrasado. Determinar  $Z$ .  
 Resp.:  $Z = 1/90^\circ$ .

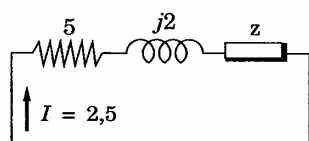


Figura 7-23

**7.26** No circuito em série da Fig. 7-24, o fator de potência é 0,6 atrasado e a potência é 300 watts. Determinar o triângulo das potências e a impedância desconhecida.  
 Resp.:  $N = 300 + j400$  e  $Z = 4/90^\circ$ .

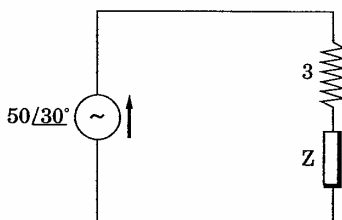


Figura 7-24

) e corrente total  $i =$  potências.

s  $\omega t$  acarreta uma guilo das potências. ' atrasado.

$\omega t - 60^\circ$ ) acarreta lo das potências. diantado.

$X_C = 5 \text{ ohms}$ , está inar o triângulo das

s e  $X_L = 15 \text{ ohms}$ , a potências.

ms e  $X_C = 6 \text{ ohms}$ , is potências.

olts-ampères, com licado  $V = 150/45^\circ$ .

7.27 Duas impedâncias  $Z_1 = 4/\angle -30^\circ$  e  $Z_2 = 5/\angle 60^\circ$  estão em paralelo submetidas ao fasor  $V = 20/\angle 0^\circ$ . Determinar o triângulo das potências de cada ramo e combiná-los para obter o triângulo total.  
 Resp.:  $P = 126,6$  W;  $Q = 19,3$  VARS atrasado;  $\cos \phi = 0,99$  atrasado.

7.28 Em um circuito constituído de  $R = 10$  ohms em paralelo com  $Z = 8/\angle -30^\circ$ , a corrente eficaz total é 5 ampères. Determinar os elementos do triângulo das potências.  
 Resp.:  $P = 110$  W;  $Q = 33$  VARS adiantado;  $\cos \phi = 0,957$  adiantado.

7.29 No ramo 1 do circuito em paralelo da Fig. 7-25 a potência é 8 kVAR. Calcular a potência e o fator de potência do circuito completo.  
 Resp.: 8 kW;  $\cos \phi = 0,555$  atrasado.

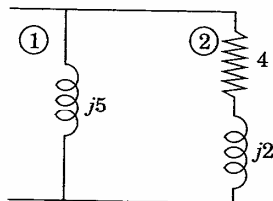


Figura 7-25

7.30 Se, no ramo 2 do circuito em paralelo da Fig. 7-26, tivermos 1490 VA, qual será a indicação do amperímetro? Determinar as informações sobre as potências.  
 Resp.: 42,4 ampères;  $N = 2210 + j3630$ ;  $\cos \phi = 0,521$  atrasado.

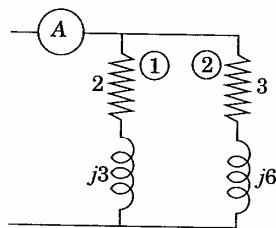


Figura 7-26

7.31 No circuito em paralelo da Fig. 7-27, a potência no resistor de 3 ohms é 666 watts e do circuito completo são solicitados 3370 volt-ampères com um fator de potência de 0,937 adiantado. Calcular  $Z$ .  
 Resp.:  $Z = 2 - j2$ .

7.32 A potência total no triângulo das potências é 1500 VA.  
 Resp.:  $N = 1500$

7.33 Sendo 2000 W em cada resistor?  
 Resp.:  $P_{15} = 72$

7.34  $Q$  total no circuito é 3920 VARS.  
 Resp.:  $N = 3920$

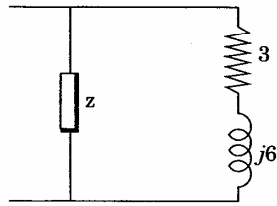


Figura 7-27

- 7.32 A potência total no circuito em paralelo da Fig. 7-28 é 1500 watts. Determinar o triângulo das potências.  
 Resp.:  $N = 1500 + j2480$ ,  $\cos \phi = 0,518$  atrasado.

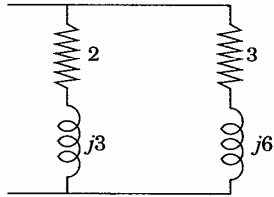


Figura 7-28

- 7.33 Sendo 2000 watts a potência total no circuito da Fig. 7-29, qual é a potência em cada resistor?  
 Resp.:  $P_{15} = 724$  W;  $P_8 = 1276$  W.

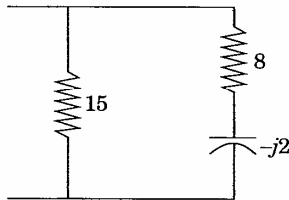


Figura 7-29

- 7.34  $Q$  total no circuito em paralelo da Fig. 7-30 é 2500 VARS atrasado. Determinar o triângulo das potências.  
 Resp.:  $N = 3920$  VA;  $P = 3020$  W;  $\cos \phi = 0,771$  atrasado.

lelo submetidas ao  
 ada ramo e combi-  
 atrasado.  
 com  $Z = 8/\angle -30^\circ$ , a  
 s do triângulo das  
 dianteado.  
 8 kVAR. Calcular a

1490 VA, qual será  
 re as potências.  
 ado.

or de 3 ohms é 666  
 res com um fator de

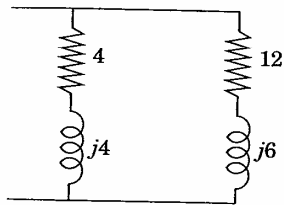


Figura 7-30

- 7.35 Determinar o fator de potência do circuito em paralelo da Fig. 7-31. Variando-se o resistor de 6 ohms, de modo que o fator de potência total se torne 0,9 atrasado, qual será o seu novo valor em ohms?  
 Resp.:  $\cos \phi = 0,8$  atrasado;  $R = 3,22$  ohms.

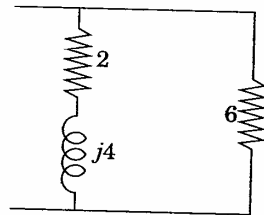


Figura 7-31

- 7.36 No circuito da Fig. 7-32, a carga original é  $Z = 5 + j8,66$ . Determinar a porcentagem de redução na corrente total, após a melhoria do fator de potência com o acréscimo de um capacitor  $-j20$  em paralelo.  
 Resp.: 38%.

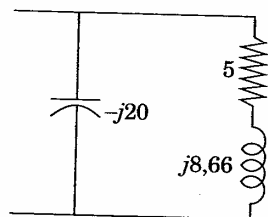


Figura 7-32

- 7.37 Achar a capaci-  
 atrasado do cir-  
 Resp.:  $C = 28,1$

- 7.38 Uma fonte de 6  
 uma carga com  
 necessária em  
 adiantado.  
 Resp.: (a) 61,3

- 7.39 No Probl. 7.38,  
 (a)? Houve mais  
 Resp.: 16,7%. N

- 7.40 Três impedânci  
 paralelo com un  
 de cada ramo e  
 Resp.:  $P = 190$   
 adiantado.

- 7.41 No circuito do P  
 fator de potênci  
 corrente total so  
 Resp.: 19,2 amp

- 7.42 Uma fonte de te  
 $Z_1 = 25/15^\circ$ ,  $Z_2 =$   
 de cada ramo e  
 Resp.:  $P = 4140$   
 atrasado.

- 7.43 Determinar o triâ  
 1, 5 kW com fat  
 adiantado; carga

- 7.37 Achar a capacitância  $C$  necessária para se corrigir o fator de potência para 0,95 atrasado do circuito da Fig. 7-33.  
 Resp.:  $C = 28,9 \mu\text{F}$ .

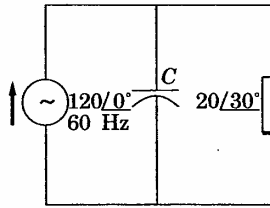


Figura 7-33

- 7.38 Uma fonte de 60 Hz e tensão eficaz de 240 volts fornece 4500 volt-ampères a uma carga com fator de potência 0,75 atrasado. Determinar a capacitância necessária em paralelo para levar o fator de potência para (a) 0,9 atrasado e (b) 0,9 adiantado.  
 Resp.: (a)  $61,3 \mu\text{F}$ ; (b)  $212 \mu\text{F}$ .
- 7.39 No Probl. 7.38, qual a redução percentual na corrente de linha, ocorrida no item (a)? Houve mais alguma redução na corrente, no item (a)?  
 Resp.: 16,7%. Não, as correntes são as mesmas.
- 7.40 Três impedâncias  $Z_1 = 20/30^\circ$ ,  $Z_2 = 15/-45^\circ$  e  $Z_3 = 10/0^\circ$  são ligadas em paralelo com uma fonte de  $V = 100/-45^\circ$ . Determinar o triângulo das potências de cada ramo e combiná-los, para obter o triângulo total das potências.  
 Resp.:  $P = 1904 \text{ W}$ ;  $Q = 221 \text{ VARS adiantado}$ ;  $N = 1920 \text{ VA}$ ;  $\cos \phi = 0,993$  adiantado.
- 7.41 No circuito do Probl. 7-40, a fonte de 100 volts fornece 1920 volt-ampères com fator de potência 0,993 adiantado ao circuito de três ramos em paralelo. Qual a corrente total solicitada pelo circuito?  
 Resp.: 19,2 ampères, avançada de  $6,62^\circ$  em relação à  $V$ .
- 7.42 Uma fonte de tensão  $V = 240/-30^\circ$  alimenta três impedâncias em paralelo  $Z_1 = 25/15^\circ$ ,  $Z_2 = 15/-60^\circ$  e  $Z_3 = 15/90^\circ$ . Determinar o triângulo das potências de cada ramo e combiná-los para obter o triângulo total.  
 Resp.:  $P = 4140 \text{ W}$ ;  $Q = 1115 \text{ VARS atrasado}$ ;  $N = 4290 \text{ VA}$ ;  $\cos \phi = 0,967$  atrasado.
- 7.43 Determinar o triângulo total das potências para as três cargas seguintes: carga 1, 5 kW com fator de potência 0,8 atrasado; carga 2, 4 VA com  $Q$  de 2 kVAR adiantado; carga 3, 6 kVA com fator de potência 0,9 atrasado.

7-31. Variando-se  
 torne 0,9 atrasado,

eterminar a porcenta-  
 de potência com o

*Resp.:  $P = 13,86$  kW;  $W = 4,38$  kVAR atrasado;  $N = 14,55$  kVA;  $\cos \phi = 0,965$  atrasado.*

- 7.44** Calcular o triângulo total das potências para as três cargas seguintes: carga 1, 200 VA com fator de potência 0,7 atrasado; carga 2, 350 VA com fator de potência 0,5 atrasado; carga 3, 275 VA com fator de potência unitário.

*Resp.:  $P = 590$  W;  $Q = 446$  VAR atrasado;  $N = 740$  VA;  $\cos \phi = 0,798$  atrasado.*

- 7.45** Uma carga de 300 kW e fator de potência 0,65 atrasado tem seu fator de potência melhorado para 0,9 atrasado com a adição de capacitores em paralelo. Quantos kVAR de capacitores são necessários e qual a redução percentual de kVA que daí resulta?

*Resp.: 204 kVAR; 28%.*

- 7.46** Uma carga industrial de 25 kVA tem fator de potência total de 0,8 atrasado. Instala-se um grupo de resistências de aquecimento corretoras com fator de potência unitário e o fator da instalação passa a 0,85 atrasado. Quantos kW resistivos foram instalados?

*Resp.: 4,3 kW.*

- 7.47** A carga de um motor de indução de 1500 watts, com fator de potência 0,75 atrasado, está combinada com motores síncronos de 500 volt-ampères,  $\cos \phi = 0,65$  adiantado. Quantos kVAR capacitivos são necessários para corrigir-se para 0,95 atrasado o fator de potência total dos dois grupos de motores? Qual a redução percentual nos volt-ampères?

*Resp.: 347 VAR; 6,3%.*

- 7.48** Com a introdução de 20 kVAR de capacitores o fator de potência de uma certa carga é corrigido para 0,9 atrasado. Tendo-se, no final, 185 kVA, pede-se o triângulo das potências da carga, antes da correção.

*Resp.:  $P = 166,5$  kW;  $Q = 101,0$  kVAR atrasado;  $\cos \phi = 0,856$  atrasado.*

- 7.49** A carga de 2000 volt-ampères de um motor de indução com  $\cos \phi = 0,80$  atrasado é combinada com 500 volt-ampères de motores síncronos. Sendo o fator de potência total 0,90 atrasado, determinar o fator de potência dos motores síncronos.

*Resp.: 0,92 adiantado.*

- 7.50** Uma carga de 65 kVA com um fator de potência atrasado é adicionada a um grupo de motores síncronos de 25 kVA com fator de potência 0,6 adiantado. Sendo 0,85 atrasado o fator de potência do conjunto, determinar o fator de potência da carga 65 kVA.

*Resp.: 0,585.*

- 7.51** Um transformador de 100 kVA está operando a 80% da plena carga com fator de potência 0,85 atrasado. Quantos kVA de carga com  $\cos \phi = 0,6$  atrasado podem

ser acrescenta  
formador?

*Resp.: 21,3 kV*

- 7.52** Um transforma  
atrasado. O fa  
capacitores em  
Quantos kW de  
agora, sem qu  
*Resp.: 52,5 kV*

- 7.53** Acrescenta-se  
Probl. 7.52, de  
carga podem s  
dor?  
*Resp.: 32 kVA.*

kVA;  $\cos \phi = 0,965$

cargas seguintes:  
2, 350 VA com fator  
ência unitário.  
 $\phi = 0,798$  atrasado.

o tem seu fator de  
capacitores em paralelo.  
reção percentual de k

al de 0,8 atrasado.  
storas com fator de  
asado. Quantos kW

ência 0,75 atrasado,  
pêres,  $\cos \phi = 0,65$   
corrigir-se para 0,95  
es? Qual a redução

tência de uma certa  
185 kVA, pede-se o

56 atrasado.

com  $\cos \phi = 0,80$   
síncronos. Sendo o  
otência dos motores

é adicionada a um  
ência 0,6 adiantado.  
terminar o fator de

a carga com fator de  
0,6 atrasado podem

ser acrescentados, sem que se exceda o regime de plena carga do transformador?

*Resp.:* 21,3 kVA.

- 7.52** Um transformador de 250 kVA funciona a plena carga com fator de potência 0,8 atrasado. O fator de potência deve ser corrigido para 0,9 atrasado, por meio de capacitores em paralelo. (a) Quantos kVAR de capacitores são necessários? (b) Quantos kW de carga com fator de potência unitário podem ser acrescentados, agora, sem que se exceda o regime dos kVA do transformador?

*Resp.:* 52,5 kVAR; 30,0 kW.

- 7.53** Acrescenta-se uma nova carga com fator de potência 0,5 atrasado ao sistema do Probl. 7.52, depois da instalação dos capacitores. Quantos kVA dessa nova carga podem ser acrescentados, respeitando-se o regime de kVA do transformador?

*Resp.:* 32 kVA.



MAKRON  
Books

## RESSONÂNCIA EM SÉRIE E EM PARALELO

### Introdução

Diz-se que um circuito de corrente alternada está em ressonância quando a tensão aplicada  $V$  e a corrente resultante  $I$  estão em fase. Na ressonância, portanto, a impedância complexa equivalente do circuito consiste em resistência  $R$ , apenas.

Como  $V$  e  $I$  estão em fase, o fator de potência de um circuito ressonante é unitário.

### Ressonância em Série

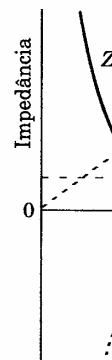
O circuito  $RLC$  em série da Fig. 8-1 tem uma impedância complexa  $Z = R + j(\omega L - 1/\omega C) = R + jX$ . O circuito está em ressonância quando  $X = 0$ , isto é quando  $\omega L = 1/\omega C$  ou  $\omega = 1/\sqrt{LC} = \omega_0$ .

Como  $\omega = 2\pi f$ , a frequência de ressonância é:

$$f_0 = \frac{1}{2\pi\sqrt{LC}} \text{ Hz}$$

Na Fig. 8- e suas três compo capacitiva se igua portanto, a impedã

Nas frequê indutiva e o ângu ângulo varia mais Quando  $\omega$  tende p:



Fi

Capítulo 8

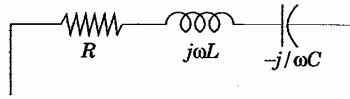


Figura 8-1

Na Fig. 8-2(a) representaram-se, em função de  $\omega$ , o valor absoluto de  $Z$  e suas três componentes  $R$ ,  $X_L$  e  $X_C$ . Quando  $\omega = \omega_0$  as reatâncias indutiva e capacitiva se igualam e, como  $|Z| = \sqrt{R^2 + X^2}$ , temos  $Z = R$ . Na ressonância, portanto, a impedância  $Z$  é mínima. Como  $I = V/Z$ , a corrente é máxima.

Nas frequências inferiores a  $\omega$ , a reatância capacitiva é maior que a indutiva e o ângulo da impedância é negativo. Se a resistência for baixa, o ângulo varia mais rapidamente com a frequência, como indica a Fig. 8-2(b). Quando  $\omega$  tende para zero, o ângulo de  $Z$  tende para  $-90^\circ$ .

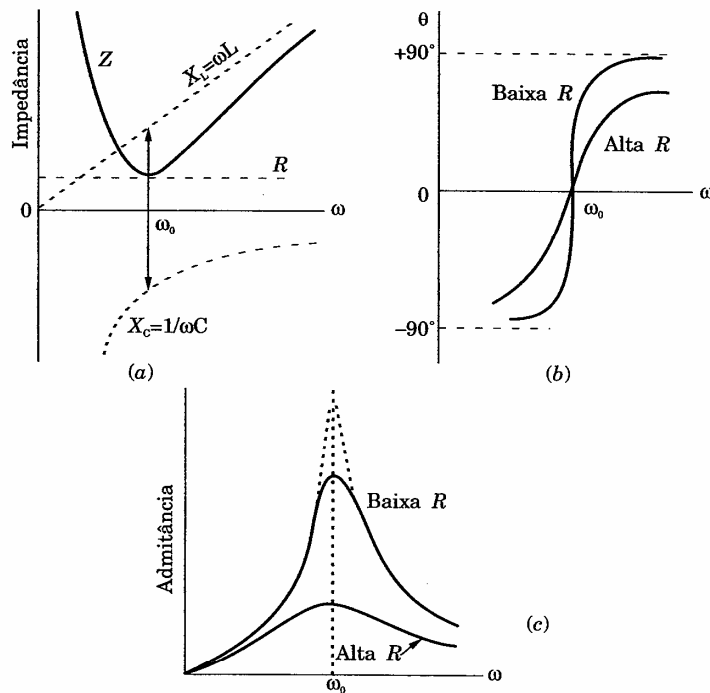


Figura 8-2 Circuito em série —  $Z(\omega)$ ,  $\theta(\omega)$ , e  $Y(\omega)$ .

SENAI / DR / AM  
NÚCLEO DE INFORMAÇÃO  
TECNOLÓGICA

é em ressonância  
estão em fase. Na  
o circuito consiste  
  
circuito ressonante  
  
ncia complexa  $Z =$   
quando  $X = 0$ , isto é

Nas frequências ilustradas na Figura 8-2 de  $\omega_0$ , a resistência indutiva excede a capacitiva e o ângulo de  $Z$  é positivo, tendendo para  $+90^\circ$  quando  $\omega \gg \omega_0$ .

Na Fig. 8-2(c), a admitância do circuito em série  $Y = 1/Z$  está representada em função de  $\omega$ . Como  $I = VY$ , essa representação vale também como indicação da variação da corrente em função de  $\omega$ . A Fig. 8-2(c), portanto, indica que a corrente máxima ocorre em  $\omega_0$  e que uma resistência baixa acarreta uma corrente maior. A curva tracejada indica o caso limite, quando  $R = 0$ . O ângulo de admitância (não representado é o negativo do ângulo de impedância, visto na Fig. 8-2(b)).

### Ressonância em Paralelo Circuito RLC Puro

O circuito em paralelo da Fig. 8-3 é um circuito ideal, constituído de ramos com elementos puros  $R, L, C$ . O comportamento desse circuito, entretanto, é de interesse para o objetivo geral da ressonância. Esse circuito paralelo ideal pode ser comparado com o circuito em série visto acima, constatando-se que se pode estabelecer uma dualidade entre os dois circuitos.

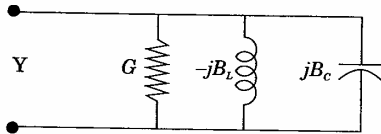


Figura 8-3

A admitância dos três elementos é  $Y = G + j(\omega C - 1/\omega L) = G + jB$ , onde  $B = B_C - B_L$ ,  $B_C = \omega C$  e  $B_L = 1/\omega L$ . O circuito está em ressonância quando  $B = 0$ , isto é, quando  $\omega C = 1/\omega L$  ou  $\omega = 1/\sqrt{LC} = \omega_0$ .

Como no circuito  $RLC$  em série, a frequência de ressonância é:

$$f_0 = \frac{1}{2\pi\sqrt{LC}} \text{ Hz}$$



Fig

Na Fig. 8- e suas três compon e indutiva são igua mínima e, como  $I =$

Nas frequê capacitiva e o âng positivo e tende pa

Nas frequê em função de  $\omega$  é t

resistência indutiva  $90^\circ$  quando  $\omega \gg \omega_0$ .  $\bar{Y} = 1/Z$  está representado também como (c), portanto, indica uma curva que se curva para cima quando  $R = 0$ . O ângulo de impedância, visto na

real, constituído de um circuito paralelo, entre-se circuito paralelo na, constatando-se os.

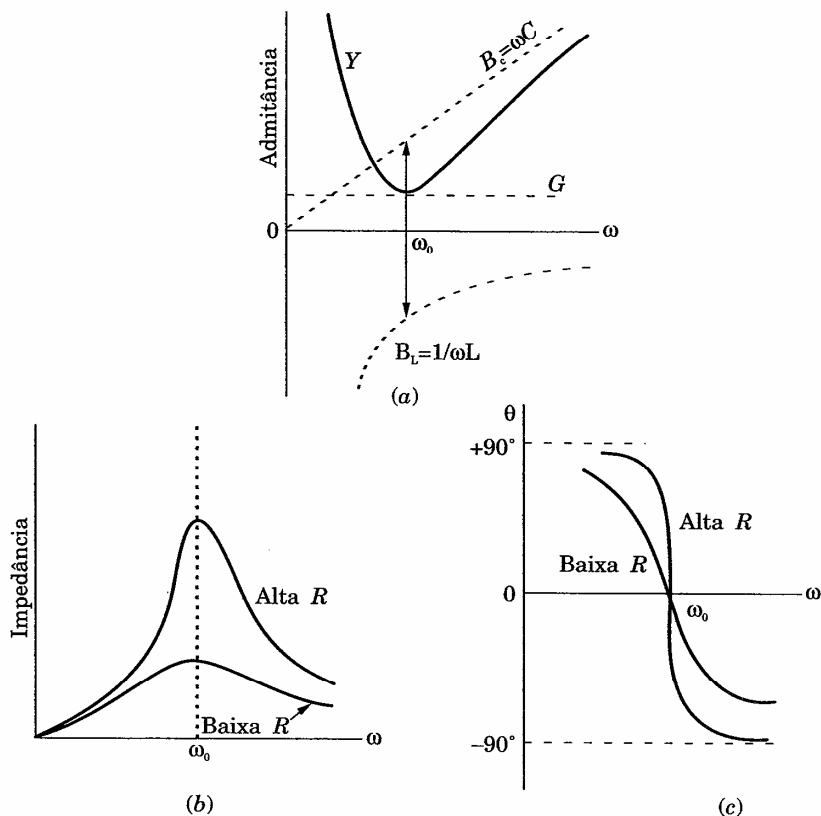


Figura 8-4 Circuito em paralelo —  $Y(\omega)$ ,  $Z(\omega)$  e  $\theta(\omega)$ .

Na Fig. 8-4(a) representaram-se, em função de  $\omega$ , o valor absoluto de  $Y$  e suas três componentes  $G$ ,  $B_C$  e  $B_L$ . Quando  $\omega = \omega_0$ , as susceptâncias capacitiva e indutiva são iguais e tem-se  $Y = G$ . Portanto, na ressonância, a admitância é mínima e, como  $I = VY$ , também a corrente é mínima.

Nas frequências inferiores a  $\omega_0$  a susceptância indutiva é superior à capacitiva e o ângulo de  $Y$  é negativo. O ângulo da impedância é, portanto, positivo e tende para  $+90^\circ$ , à medida que  $\omega$  tende para zero. Ver a Fig. 8-4(c).

Nas frequências acima de  $\omega_0$ , o ângulo de  $Z$  é negativo e sua variação em função de  $\omega$  é tanto mais rápida quanto maior  $R$ .

$(\omega L) = G + jB$ , onde ressonância quando

sonância é:

### Ressonância de um Circuito em Paralelo de Dois Ramos

No circuito de dois ramos em paralelo da Fig. 8-5, a admitância  $Y$  é a soma das admitâncias de cada ramo:

$$Y = Y_L + Y_C = \frac{1}{R_L + jX_L} + \frac{1}{R_C - jX_C}$$

$$= \left( \frac{R_L}{R_L^2 + X_L^2} + \frac{R_C}{R_C^2 + X_C^2} \right) + j \left( \frac{X_C}{R_C^2 + X_C^2} - \frac{X_L}{R_L^2 + X_L^2} \right)$$

O circuito está em ressonância quando a admitância complexa é um número real. Então  $X_C/(R_C^2 + X_C^2) = X_L/(R_L^2 + X_L^2)$  e

$$\frac{1}{\omega_0 C} (R_L^2 + \omega_0^2 L^2) = \omega_0 L (R_C^2 + 1/\omega_0^2 C^2) \tag{1}$$

Cada uma das cinco quantidades em (1) pode tornar-se variável para se obter a ressonância.

Tirando em (1) o valor de  $\omega_0$ ,

$$\omega_0 = \frac{1}{\sqrt{LC}} \sqrt{\frac{R_L^2 - L/C}{R_C^2 - L/C}} \tag{2}$$

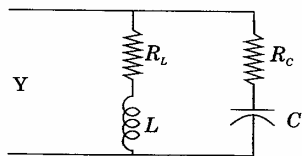


Figura 8-5

Assim, a frequência de ressonância  $\omega_0$  do circuito em paralelo de dois ramos difere de  $R$ ,  $L$  e  $C$  puros em paralelo pelo fator:

$$\sqrt{\frac{R_L^2 - L/C}{R_C^2 - L/C}}$$

A frequência de ressonância é dada por  $\omega_0 = 1/\sqrt{LC}$  quando  $R_C^2 < L/C$ . Quando  $R_C^2 > L/C$ , a frequência de ressonância é dada por  $\omega_0 = \frac{1}{\sqrt{LC}} \sqrt{\frac{R_L^2 - L/C}{R_C^2 - L/C}}$ . Ver o exemplo 8-1.

Tirando em

$$L =$$

ou, como  $Z_C = \sqrt{R_C^2 + X_C^2}$

Se, em (3), o circuito é ressonante quando  $L = \frac{1}{2} CZ_C^2$ . Quando  $Z_C^2 > 2L/C$ , o circuito é ressonante.

Tirando em

Se  $Z_L^2 > 4L/C$ , o circuito é ressonante.

Tirando em

e tirando  $R_C, R_C =$

Se o radical for negativo, o circuito não é ressonante para  $R_C$  para o qual  $Z_C^2 = 2L/C$ .

**le Dois**

A frequência deve ser um número real positivo; portanto, o circuito terá uma frequência de ressonância  $\omega_0$  quando  $R_L^2 > L/C$  e  $R_C^2 > L/C$  ou  $R_L^2 < L/C$  e  $R_C^2 < L/C$ . Quando  $R_L^2 = R_C^2 = L/C$ , o circuito é ressonante para todas as frequências. Ver o Probl. 8.12 para este caso especial.

Tirando em (1) o valor de  $L$ , obtemos:

$$L = \frac{1}{2} C \left[ (R_C^2 + X_C^2) \pm \sqrt{(R_C^2 + X_C^2)^2 - 4R_L^2 X_C^2} \right]$$

ou, como  $Z_C = \sqrt{R_C^2 + X_C^2}$ ,

$$L = \frac{1}{2} C \left[ Z_C^2 \pm \sqrt{Z_C^4 - 4R_L^2 X_C^2} \right] \quad (3)$$

Se, em (3),  $Z_C^4 > 4R_L^2 X_C^2$ , obtemos dois valores de  $L$  para os quais o circuito é ressonante. Se  $Z_C^4 = 4R_L^2 X_C^2$ , o circuito está em ressonância com  $L = \frac{1}{2} CZ_C^2$ . Quando  $Z_C^4 < 4R_L^2 X_C^2$ , não há valor de  $L$  que torne o circuito ressonante.

Tirando em (1) o valor de  $C$ , temos:

$$C = 2L \left[ \frac{1}{Z_L^2 \pm \sqrt{Z_L^4 - 4R_C^2 X_L^2}} \right] \quad (4)$$

Se  $Z_L^4 > 4R_C^2 X_L^2$ , temos valores de  $C$  para os quais o circuito é ressonante.

Tirando em (1) o valor de  $R_L$ , temos:

$$R_L = \sqrt{\omega^2 L C R_C^2 - \omega^2 L^2 + L/C} \quad (5)$$

e tirando  $R_C, R_C = \sqrt{R_L^2 / (\omega^2 L C) - 1/\omega^2 C^2 + L/C}$  (6)

Se o radicando, em (5) ou em (6), for positivo, teremos um valor para  $R_L$  ou para  $R_C$  para o qual o circuito de dois ramos está em ressonância.

### Fator de Qualidade $Q$

O fator de qualidade de bobinas, capacitores e circuitos é definido por:

$$Q = 2\pi \frac{\text{máxima energia armazenada}}{\text{energia dissipada por ciclo}}$$

Nos circuitos das Figs. 8-6 e 8-7, a energia dissipada por ciclo é dada pelo produto da potência média no resistor  $(I_{\text{max}}/\sqrt{2})^2 R$  pelo período  $T$  ou  $1/f$ .

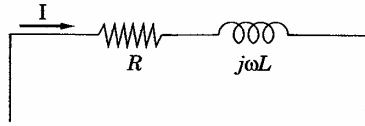


Figura 8-6

No circuito  $RL$  em série da Fig. 8-6 a energia armazenada máxima é  $\frac{1}{2} LI_{\text{max}}^2$ . Então,

$$Q = 2\pi \frac{\frac{1}{2} LI_{\text{max}}^2}{(I_{\text{max}}^2/2)R(1/f)} = \frac{2\pi fL}{R} = \frac{\omega L}{R}$$

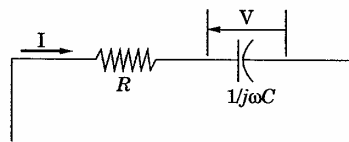


Figura 8-7

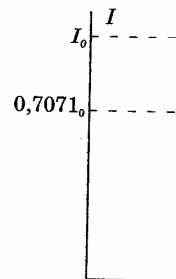
No circuito  $RC$  em série da Fig. 8-7, a energia armazenada máxima é  $\frac{1}{2} CV_{\text{max}}^2$  ou  $\frac{1}{2} I_{\text{max}}^2/\omega^2 C$ . Então,

$$Q = 2\pi \frac{\frac{1}{2} I_{\text{max}}^2/\omega^2 C}{(I_{\text{max}}^2/2)R(1/f)} = \frac{1}{\omega CR}$$

Num circ...  
tante. Uma vez...  
indutor é nula e v...

A corrent...  
freqüência, seme...  
sentou-se a corre...  
de escala, em fun...  
pontos em que a...  
pondentes são  $\omega_1$

Como a p...  
potência é igual...  
pondentes a  $\omega_1$  e...  
esses pontos, med...  
textos a largura d...  
"BANDWIDTH").



O fator de...  
de ressonância e d:

Num circuito  $RLC$  em série ressonante, a energia armazenada é constante. Uma vez que, quando a tensão no capacitor é máxima, a corrente no indutor é nula e vice-versa,  $\frac{1}{2} CV_{\max}^2 = \frac{1}{2} LI_{\max}^2$ . Então,

$$Q_0 = \frac{\omega_0 L}{R} = \frac{1}{\omega_0 CR}$$

A corrente de um circuito  $RLC$  em série tem variação, em função da frequência, semelhante à da admitância na Fig. 8-2(c). Na Fig. 8-8, representou-se a corrente do circuito  $RLC$  em função de  $\omega$  ou após conveniente troca de escala, em função de  $f$ . Em  $\omega_0$  a corrente  $I_0$  é máxima. Estão indicados os pontos em que a corrente é 0,707 do valor máximo. As frequências correspondentes são  $\omega_1$  e  $\omega_2$ .

Como a potência fornecida ao circuito é  $I^2 R$ , quando  $I = 0,707 I_0$  a potência é igual à metade do valor máximo, obtido em  $\omega_0$ . Os pontos correspondentes a  $\omega_1$  e  $\omega_2$  são chamados pontos de meia potência. A distância entre esses pontos, medida em Hz (Hertz), é chamada largura de faixa  $B$  (em alguns textos a largura de faixa é indicada por  $BW$  pois, em inglês, largura de faixa é "BANDWIDTH").

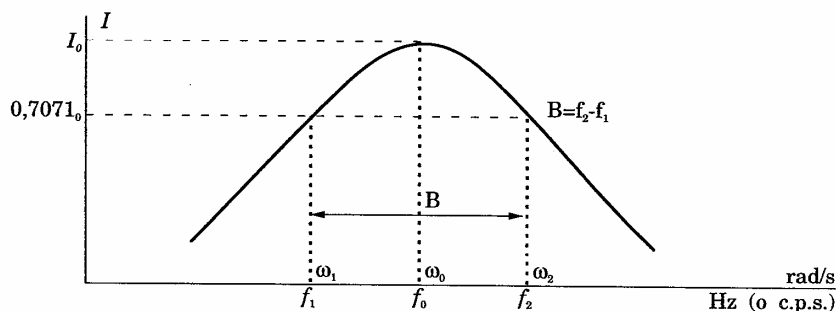


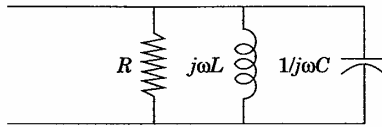
Figura 8-8

O fator de qualidade pode, agora, ser definido em função da frequência de ressonância e da largura de faixa, assim (ver Probl. 8.13):

$$Q_0 = \frac{\omega_0}{\omega_2 - \omega_1} = \frac{f_0}{f_2 - f_1} = \frac{f_0}{B}$$

A frequência de ressonância  $\omega_0$  é a média geométrica entre  $\omega_1$  e  $\omega_2$  (ver Probl. 8.6):

$$\omega_0 = \sqrt{\omega_1 \omega_2} \quad \text{e} \quad f_0 = \sqrt{f_1 f_2}$$



**Figura 8-9**

O circuito em paralelo da Fig. 8-9 armazena energia constante na ressonância. Uma vez que, quando a corrente no indutor é máxima, a tensão no capacitor é nula, e vice-versa,  $\frac{1}{2} LI_{\max}^2 = \frac{1}{2} CV_{\max}^2$ . Então,

$$Q_0 = \frac{R}{\omega_0 L} = \omega_0 CR$$

### ***Lugares Geométricos de Impedâncias***

Os circuitos com um elemento variável são analisados convenientemente pelo emprego dos diagramas dos lugares geométricos de impedância. Como  $\mathbf{I} = \mathbf{V}\mathbf{Y}$  e  $\mathbf{V}$  é geralmente constante, o lugar geométrico de  $\mathbf{Y}$  descreve a variação de  $I$  em função do elemento variável do circuito.

O circuito série da Fig. 8-10(a) tem uma resistência fixa e uma reatância variável que pode tomar valores positivos e negativos. Se admitirmos o plano da impedância  $\mathbf{Z}$  formado por um par de eixos cartesianos  $R$  e  $X$ , o lugar da impedância  $\mathbf{Z}$  para o circuito dado será uma linha reta, paralela ao eixo  $X$  e cortando o eixo  $R$  em  $R_L$ , como mostra a Fig. 8-10(b).

Podemos determinar o lugar da admitância  $\mathbf{Y}$  para o circuito dado no plano  $Y$ , formado por um par de eixos cartesianos  $G$  e  $B$ .

$$\text{Sendo } \mathbf{Z} = 1/\mathbf{Y}, \quad R_1 + jX = \frac{1}{G + jB} \quad (1)$$

Racionali:

ou

Somando

entre  $\omega_1$  e  $\omega_2$  (ver

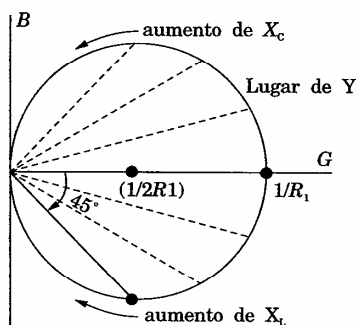
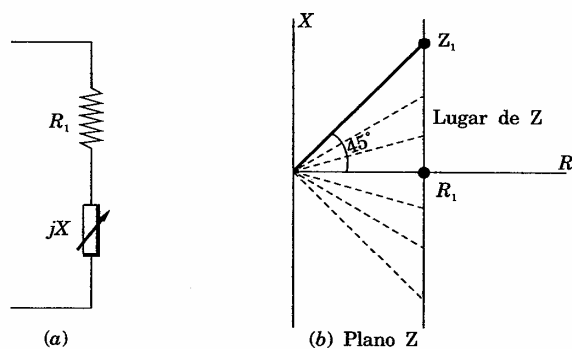
gia constante na  
ixima, a tensão no

ados conveniente-  
os de impedância.  
o de  $Y$  descreve a

a fixa e uma rea-  
s. Se admitirmos o  
nos  $R$  e  $X$ , o lugar  
aralela ao eixo  $X$  e

o circuito dado no

(1)



(c) Plano Y

Figura 8-10

Racionalizando e igualando as partes reais em (1), obtemos

$$R_1 = \frac{G}{G^2 + B^2}$$

ou  $G^2 - G/R_1 + B^2 = 0$  (2)

Somando  $1/4 R_1^2$  a ambos os membros de (2) e simplificando,

$$\left(G - \frac{1}{2R_1}\right)^2 + B^2 = \left(\frac{1}{2R_1}\right)^2$$
 (3)

Se compararmos a equação (3) com a forma padrão da equação de um círculo, conforme nos ensina a Geometria Analítica,  $(x - h)^2 + (y - k)^2 = r^2$ , verificaremos que o lugar de **Y** no plano é um círculo com centro em  $(1/2R_1, 0)$  e de raio  $1/2R_1$ . Ver Fig. 8-10(c).

Cada ponto no lugar geométrico de **Z** tem um ponto no lugar de **Y**. A cada ponto do lugar de **Z**, acima do eixo *R* corresponde um ponto do semicírculo, abaixo do eixo *G*, no plano **Y**. E  $+\infty$  do lugar de **Z** está na origem, no plano **Y**. Semelhantemente, a cada ponto abaixo do eixo *R*, no lugar de **Z**, corresponde um ponto do semicírculo, acima do eixo *G*, no plano **Y**. E  $-\infty$  no lugar de **Z** fica na origem no plano **Y**. Observem-se as posições relativas de **Z**<sub>1</sub> e **Y**<sub>1</sub>. As distâncias de **Z**<sub>1</sub> e **Y**<sub>1</sub> às respectivas origens são diferentes, enquanto os ângulos com os eixos horizontais são iguais, porém de sinais contrários.

Para reatância indutiva fixa e resistência variável, como na Fig. 8-11(a), o lugar geométrico de **Z** é uma linha horizontal em  $X = X_{L1}$  no primeiro quadrante do plano **Z**. Empregando o mesmo método acima, a equação do lugar de **Z** é

$$G^2 + (B + 1/2X_{L1})^2 = (1/2X_{L1})^2 \quad (4)$$

Comparando essa equação com a forma padrão da equação de um círculo, verifica-se que o lugar geométrico de **Y** é um círculo de centro em  $(0, -1/2X_{L1})$  e raio  $1/2X_{L1}$ , no plano **Y**. Ver Fig. 8-11(c). Entretanto, como o lugar geométrico de **Z**, na Fig. 8-11(b), é uma linha reta no primeiro quadrante do plano **Z**, somente o semicírculo do quarto quadrante do plano **Y** é a transformação do lugar de **Z** para esse circuito.

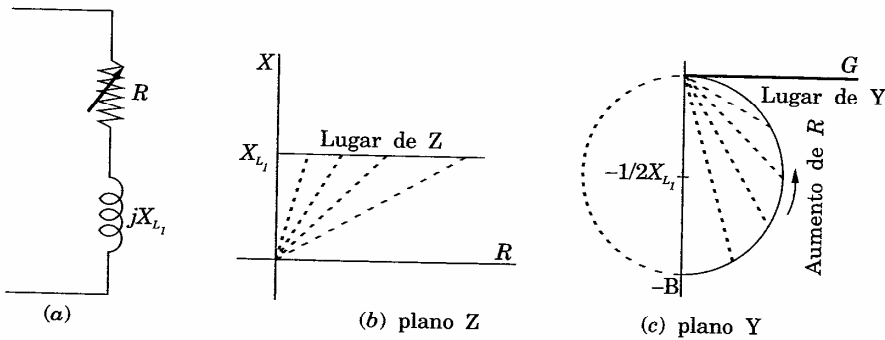
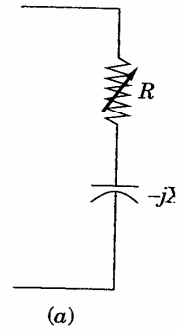


Figura 8-11

Quando a tensão variável,  $V$ , é uma linha horizontal, o lugar geométrico de **Y** é

Compara-se que verifica-se que o lugar geométrico de **Y** é uma linha horizontal em  $X = X_{L1}$  no primeiro quadrante do plano **Z**. Empregando o mesmo método acima, a equação do lugar de **Z** é



### Lugar Geométrico

Considere o primeiro ramo  $R_1$  com  $-jX_C$  variável.

Na Fig. 8-11 com o ponto fixo **Y**<sub>1</sub>

da equação de um círculo  $x^2 + (y - k)^2 = r^2$ , centro em  $(1/2R_1, 0)$  e

o lugar de **Y**. A parte do semicírculo, no plano **Y**, de **Z**, corresponde ao lugar de **Z** fica em  $Z_1$  e  $Y_1$ . As distâncias quanto os ângulos  $\theta$ .

mo na Fig. 8-11(a),  $X_{L1}$  no primeiro e a equação do lugar

$$(4)$$

a equação de um círculo de centro em  $Z_1$  e  $Y_1$ . No primeiro quadrante do plano **Y** é a transfor-

Quando uma reatância capacitiva pura está em série com uma resistência variável, como mostra a Fig. 8-12(a), o lugar geométrico de **Z** é uma linha horizontal para  $X = -X_{C1}$ , no quarto quadrante do plano **Z**. Ver Fig. 8-12(b). Empregando os mesmos métodos anteriores, a equação do lugar geométrico de **Y** é

$$G^2 + (B - 1/2X_{C1})^2 = (1/2X_{C1})^2 \quad (5)$$

Comparando a equação (5) com a forma padrão da equação do círculo, verifica-se que o lugar geométrico de **Y** é um semicírculo de centro em  $(0, 1/2X_{C1})$  e raio  $1/2X_{C1}$ , no primeiro quadrante do plano **Y**. Ver Fig. 8-12(c).

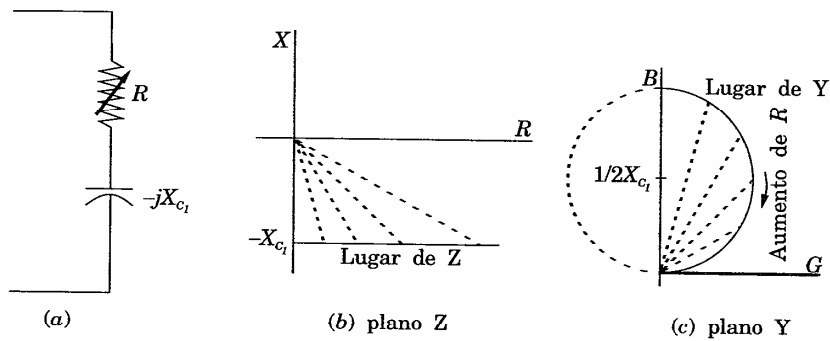


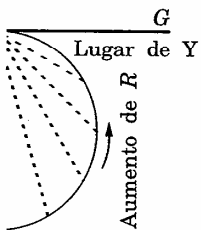
Figura 8-12

### Lugar Geométrico da Corrente

Consideremos o circuito em paralelo da Fig. 8-13(a), contendo, no primeiro ramo  $R_1$  fixo em série com  $jX_L$  e, no segundo ramo,  $R_2$  fixo em série com  $-jX_C$  variável. A admitância total dos dois ramos em paralelo é

$$Y_T = Y_1 + Y_2$$

Na Fig. 8-13(b), somando o lugar geométrico de  $Y_2$  do segundo ramo com o ponto fixo  $Y_1$ , obtemos o lugar total de  $Y_T$ .



plano **Y**

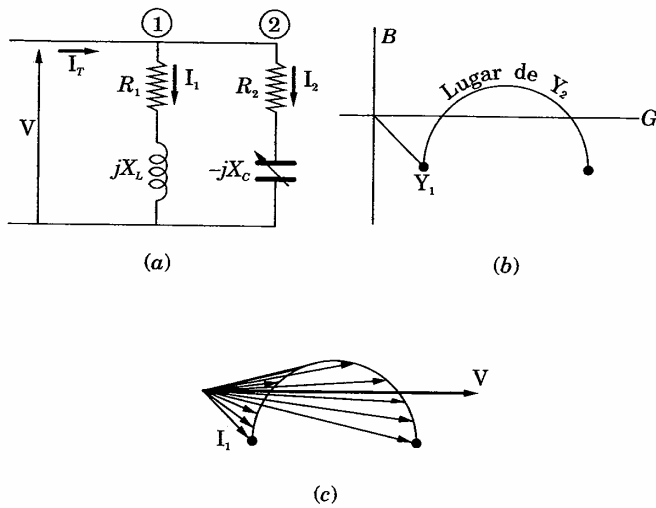


Figura 8-13

A corrente é obtida por  $I = VX$  e a Fig. 8-13(c) mostra que, à medida que a corrente fixa  $I_1$  vai sendo somada aos diversos valores de  $I_2$ , vai-se obtendo o lugar geométrico da corrente total. O diagrama mostra, também, que existem dois valores de  $C$  para os quais a corrente total está em fase com  $V$ .

A Fig. 8-13(c) mostra, também, porque, sob certas condições, não se consegue um valor de  $C$  que acarrete ressonância. Se o raio,  $1/2R_2$ , for reduzido a tal ponto que a curva não corte o eixo  $V$ , não haverá valor de  $C$  que produza ressonância. Nos problemas que se seguem são examinadas outras aplicações dos diagramas dos lugares geométricos.

**Problemas Resolvidos**

8.1 Num circuito RLC em série,  $R = 10$  ohms,  $L = 5$  mH e  $C = 12,5$   $\mu$ F. Representar graficamente o módulo e o ângulo da impedância em função de  $\omega$ , com  $\omega$  variando de  $0,8\omega_0$  a  $1,2\omega_0$ .

Na ressonância,

$$\omega = \omega_0 = 1/\sqrt{LC} = 1/\sqrt{(5 \times 10^{-3})(12,5 \times 10^{-6})} = 4000 \text{ rad/sec}$$

$$X_{L_0} = \omega_0 L$$

$$X_{C_0} = 1/\omega$$

Logo  $Z_0$

Como  $X_L =$  outros valc

Na Fig. 8-1 é a represe

$\omega$	
3200	
3600	
4000	
4400	
4800	

8.2 Aplica-se un a tensão er diagrama do

$$X_{L_0} = \omega_0 L = 4000(5 \times 10^{-3}) = 20 \text{ ohms}$$

$$X_{C_0} = 1/\omega_0 C = 1/(4000 \times 12,5 \times 10^{-6}) = 20 \text{ ohms}$$

Logo  $Z_0 = R + j(X_{L_0} - X_{C_0}) = 10 + j(20 - 20) = 10 \angle 0^\circ$

Como  $X_L = \omega L$  e  $X_C = 1/\omega C$ , então  $X_L/X_{L_0} = \omega/\omega_0$  e  $X_C/Z_{C_0} = \omega_0/\omega$ . Portanto, outros valores de  $X$ ,  $X_C$  e  $Z$  podem ser calculados, em outras frequências.

Na Fig. 8-14(a) vão tabeladas as reatâncias e impedâncias e a Fig. 8-14(b) é a representação gráfica pedida.

$\omega$	$X_L$	$X_C$	$Z$	
3200	16	25	$10 - j9$	$13,4 \angle -42^\circ$
3600	18	22,2	$10 - j4,2$	$10,8 \angle -22,8^\circ$
4000	20	20	10	$10 \angle 0^\circ$
4400	22	18,2	$10 + j3,8$	$10,7 \angle 20,8^\circ$
4800	24	16,7	$10 + j7,3$	$12,4 \angle 36,2^\circ$

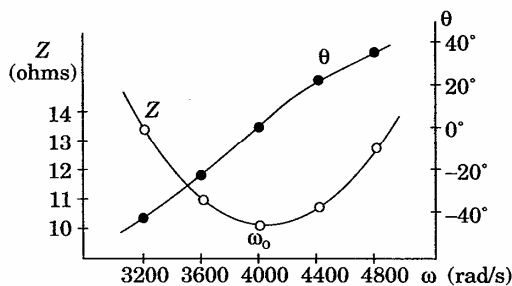


Figura 8-14

- 8.2 Aplica-se uma tensão  $V = 100 \angle 0^\circ$  ao circuito em série do Probl. 8.1. Determinar a tensão em cada elemento para  $\omega = 3600, 4000$  e  $4400$  rad/s. Traçar o diagrama do fasor tensão em cada frequência.

—G  
que, à medida que  
vai-se obtendo o  
bém, que existem  
om V.

condições, não se  
/2R<sub>2</sub>, for reduzido  
de C que produza  
outras aplicações

2,5 μF. Representar  
nção de ω, com ω

000 rad/sec

Para  $\omega = 3600$  rad/s,  $I = V/Z = (100/0^\circ)/(10,8/-22,8^\circ) = 9,26/22,8^\circ$ . Então,

$$V_R = 9,26/22,8^\circ (10) = 92,6/22,8^\circ, V_L = 9,26/22,8^\circ (18/90^\circ) = 167/112,8^\circ,$$

$$V_C = 206/-67,2^\circ$$

Para  $\omega = 4000$  rad/s,  $I = (100/0^\circ)/(10/0^\circ) = 10/0^\circ$ . Então,

$$V_R = 100/0^\circ, V_L = 10/0^\circ (20/90^\circ) = 200/90^\circ, V_C = 200/-90^\circ$$

Para  $\omega = 4400$  rad/s,  $I = (100/0^\circ)/(10,7/20,8^\circ) = 9,34/-20,8^\circ$ . Então,

$$V_R = 9,34/-20,8^\circ (10) = 93,4/-20,8^\circ, V_L = 9,34/-20,8^\circ (22/90^\circ) = 206/69,2^\circ,$$

$$V_C = 170/-110,8^\circ$$

Os três diagramas dos fasores tensão estão representados na Fig. 8-15. Observe-se que o módulo da tensão em cada elemento reativo de um circuito em série pode ser superior ao módulo da tensão aplicada, próximo da ressonância.

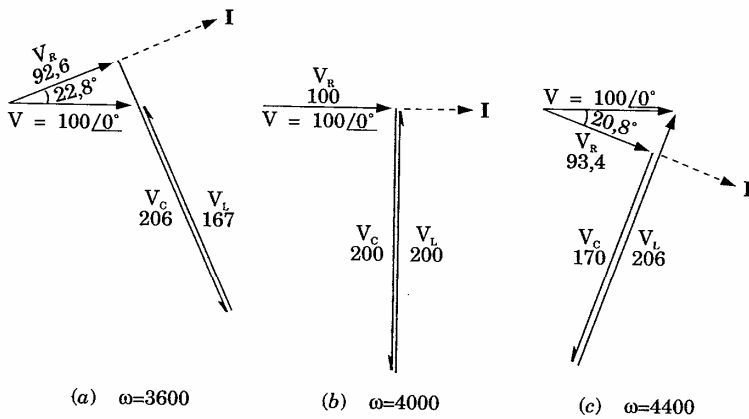


Figura 8-15

8.3 Em um circuito em série  $R = 5$  ohms,  $L = 20$  mH e numa capacitância variável aplica-se uma tensão de frequência  $f = 1000$  Hz. Determinar  $C$  para se obter ressonância em série.

Na ressonância

$$C = \frac{1}{L(2\pi f)^2}$$

8.4 Uma tensão  $V$  em série constituída por  $R$  e  $L$  até que a tensão

Como  $V_R = I R$  é máxima a corrente é

$$X_C = \frac{1}{\omega C} =$$

e  $Z = R = 5/\Omega$

$$V_R = 2/0^\circ =$$

8.5 Dado um circuito em série com frequência de

$$\omega_0 = 1/\sqrt{LC}$$

e  $f_0 = \omega_0/2\pi$

Na frequência maior que a ressonância  $I = V/Z$ ,  $|Z|$  é maior que  $R$  e  $\cos \theta = R/|Z|$

$$X_C - X_L = R$$

Substituindo  $f_1 = 145/2\pi =$

Em  $\omega_2$ , frequência maior que a ressonância

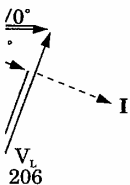
$$X_L - X_C = R$$

Substituindo  $\omega_2 = 5$

$26/22,8^\circ$ . Então,  
 $= 167/112,8^\circ$ ,

$8^\circ$ . Então,  
 $/90^\circ) = 206/69,2^\circ$ ,

ados na Fig. 8-15.  
 to reativo de um  
 aplicada, próximo



$\omega = 4400$

capacitância variável  
 iar C para se obter

Na ressonância, as reatâncias são iguais,  $2\pi fL = 1/2\pi fC$ . Então,

$$C = \frac{1}{L(2\pi f)^2} = \frac{1}{(20 \times 10^{-3})(2\pi \times 1000)^2} = 1,27 \mu\text{F}$$

- 8.4 Uma tensão  $V = 10/0^\circ$  de frequência 1000 rad/s é aplicada a um circuito em série constituído de  $R = 5$  ohms,  $C = 20 \mu\text{F}$  e uma indutância variável  $L$ . Ajusta-se  $L$  até que a tensão no resistor seja máxima. Achar a tensão em cada elemento.

Como  $V_R = RI$ , a tensão no resistor é máxima na ressonância, quando é máxima a corrente. Na ressonância, as reatâncias são iguais; conseqüentemente,

$$X_C = \frac{1}{\omega C} = \frac{1}{1000(20 \times 10^{-6})} = 50 \Omega \quad X_L = 50 \Omega$$

$$\text{e } Z = R = 5/0^\circ. \quad I = V/Z = (10/0^\circ)/(5/0^\circ) = 2/0^\circ \text{ e}$$

$$V_R = 2/0^\circ = 10/0^\circ, \quad V_L = (2/0^\circ)(50/90^\circ) = 100/90^\circ \text{ e } V_C = 100/-90^\circ$$

- 8.5 Dado um circuito em série em que  $R = 100$  ohms,  $L = 0,5$  H e  $C = 40 \mu\text{F}$ , calcular a frequência de ressonância e as frequências inferior e superior de meia-potência.

$$\omega_0 = 1/\sqrt{LC} = 1/\sqrt{0,5(40 \times 10^{-6})} = 224 \text{ rad/s}$$

$$\text{e } f_0 = \omega_0/2\pi = 35,7 \text{ Hz}$$

Na frequência de meia potência inferior,  $\omega_1$ , a reatância capacitiva é maior que a indutiva, a corrente é 0,707 do seu valor máximo e, como  $I = V/Z$ ,  $|Z|$  é 1,414 vezes o seu valor em  $\omega_0$ . Já que, em  $\omega_0$ ,  $Z = 100$ , em  $\omega_1$  temos  $|Z| = 141,4$  ohms. Por ser  $Z = 100 - j(X_C - X_L) = 141,4/\theta$ , segue-se que  $\cos \theta = R/Z = 100/141,4 = 0,707$  e  $\theta = -45^\circ$ . Então,

$$X_C - X_L = R \quad \text{ou} \quad 1/\omega_1 C - \omega_1 L = R \quad (1)$$

Substituindo em (1) os valores dados e tirando  $\omega_1$ , obtemos  $\omega_1 = 145$  rad/s,  $f_1 = 145/2\pi = 23,1$  Hz.

Em  $\omega_2$ , frequência superior de meia potência, a reatância indutiva é maior que a capacitiva,  $|Z|$  é também 141,4 ohms e  $\theta = 45^\circ$ . Então,

$$X_L - X_C = R \quad \text{ou} \quad \omega_2 L - 1/\omega_2 C = R \quad (2)$$

Substituindo em (2) os valores e tirando o valor de  $\omega_2$ , temos  $\omega_2 = 345$  rad/s e  $f_2 = 55$  Hz.

Como  $\omega_0$  é a média geométrica de  $\omega_1$  e  $\omega_2$ ,

$$\omega_0 = \sqrt{\omega_1 \omega_2} = \sqrt{145 \times 345} = 224 \text{ rad/sec}$$

- 8.6 Mostrar que  $\omega_0$ , frequência de ressonância de um circuito *RLC* em série, é a média geométrica de  $\omega_1$  e  $\omega_2$ , frequências de meia potência inferior e superior, respectivamente.

Como no Probl. 8.5,  $1/\omega_1 C = \omega_1 L = R$  em  $\omega_1$ , e  $\omega_2 L - 1/\omega_2 C = R$  em  $\omega_2$ . Logo,

$$1/\omega_1 C - \omega_1 L = \omega_2 L - 1/\omega_2 C \tag{1}$$

Multiplicando por  $C$  e substituindo  $\omega_0^2 = 1/LC$  em (1), obtemos:

$$1/\omega_1 - \omega_1/\omega_0^2 = \omega_2/\omega_0^2 - 1/\omega_2 \text{ ou } 1/\omega_1 + 1/\omega_2 = (\omega_1 + \omega_2)/\omega_0^2$$

onde  $\omega_0 = \sqrt{\omega_1 \omega_2}$ .

- 8.7 Aplica-se uma tensão  $V = 100/0^\circ$ , de frequência variável, a um circuito em série com  $R = 50$  ohms,  $L = 0,05$  H e  $C = 20 \mu\text{F}$ . Achar a tensão máxima no indutor, variando-se a frequência.

O módulo da impedância em função de  $\omega$  é  $Z = \sqrt{R^2 + (\omega L - 1/\omega C)^2}$ . Logo, o módulo da corrente é  $I = V/\sqrt{R^2 + (\omega L - 1/\omega C)^2}$ .

O módulo da tensão em  $L$  é

$$V_L = \omega LI = \omega LV/\sqrt{R^2 + (\omega L - 1/\omega C)^2}$$

Igualando a zero a derivada  $dV_L/d\omega$  e tirando o valor de  $\omega$ , obtém-se o valor de  $\omega$  quando  $V_L$  é máximo

$$\frac{dV_L}{d\omega} = \frac{d}{d\omega} \omega LV (R^2 + \omega^2 L^2 - 2L/C + 1/\omega^2 C^2)^{-1/2}$$

$$= \frac{(R^2 + \omega^2 L^2 - 2L/C + 1/\omega^2 C^2)^{1/2} LV - \omega LV \frac{1}{2} (R^2 + \omega^2 L^2 - 2L/C + 1/\omega^2 C^2)^{-1/2} (2\omega L^2 - 2/\omega^3 C^2)}{R^2 + \omega^2 L^2 - 2L/C + 1/\omega^2 C^2}$$

Fatorando  $LV(R^2 + \omega^2 L^2 - 2L/C + 1/\omega^2 C^2)^{-1/2}$  em (2) e fazendo o numerador igual a zero, temos

$$R^2 - 2L/C + 2/\omega^2 C^2 = 0$$

onde

$$\omega = \sqrt{\frac{1}{2L}}$$

Como  $Q_0$  anterior, t

$$\omega = \frac{1}{\sqrt{LC}}$$

Substituindo

$$\omega = \sqrt{\frac{1}{2L}}$$

Assim,  $X_L = 35,4$  ohms  
 $I = V/Z =$

A equação em  $\omega_0 =$  há em  $R$  ocorre acima

- 8.8 O circuito com indutor, no circuito.

A admitância

$$Y_T = \frac{1}{R_L} = \frac{R_L}{R_L^2 + \omega^2 L^2}$$

onde

$$\omega = \sqrt{\frac{2}{2LC - R^2C^2}} = 1/\sqrt{LC} \sqrt{\frac{2}{2 - R^2C/L}}$$

Como  $Q_0 = \omega_0 L/R = 1/\omega_0 CR$ ,  $Q_0^2 = L/R^2C$ ; substituindo no resultado anterior, temos:

$$\omega = \frac{1}{\sqrt{LC}} \sqrt{\frac{2Q_0^2}{2Q_0^2 - 1}}$$

Substituindo os dados, obtém-se:

$$\omega = \sqrt{\frac{2}{2(0,05)(20 \times 10^{-6}) - (50 \times 20 \times 10^{-6})^2}} \quad 1414 \text{ rad/s}$$

Assim,  $X_L = \omega L = 1414 (0,05) = 70,7$  ohms,  $X_C = 1/\omega C = 1/(1414 \times 20 \times 10^{-6}) = 35,4$  ohms e  $Z = 50 + j(70,7 - 35,4) = 50 + j35,4 = 61,2/35,3^\circ$ . Logo,  $I = V/Z = 100/61,2 = 1,635$  ampères e  $V_{Lmax} = 1,635 (70,7) = 115,5$  volts.

A equação de  $\omega$  mostra que, para  $Q$  elevado, a máxima tensão em  $L$  ocorre em  $\omega_0 = 1/\sqrt{LC}$ . Com  $Q$  elevado, em  $\omega$  obtém-se tensões máximas também em  $R$  e  $C$ . Para  $Q$  baixo,  $V_C$  máximo ocorre abaixo de  $\omega_0$  e  $V_L$  máximo ocorre acima. Ver o Probl. 8.28.

- 8.8** O circuito da Fig. 8-16 representa a ligação em paralelo de um capacitor e um indutor, onde a resistência da bobina é  $R_L$ . Achar a freqüência de ressonância do circuito.

A admitância total do circuito é

$$\begin{aligned} Y_T &= \frac{1}{R_L + j\omega L} + j\omega C \\ &= \frac{R_L}{R_L^2 + \omega^2 L^2} + j \left( \omega C - \frac{\omega L}{R_L^2 + \omega^2 L^2} \right) \end{aligned}$$

RLC em série, é a inferior e superior,

$1/\omega_2 C = R$  em  $\omega_2$ .

(1)

obtemos:

$$+ \omega_2 / \omega_0^2$$

a um circuito em tensão máxima no

$$\frac{-(\omega L - 1/\omega C)^2}{\omega^2}$$

de  $\omega$ , obtém-se o

$$1/2(2\omega L^2 - 2/\omega^3 C^2)$$

) e fazendo o nu-

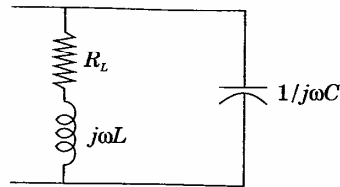


Figura 8-16

Na ressonância o termo em  $j$  é nulo, ou

$$\frac{\omega_0 L}{R_L^2 + \omega_0^2 L^2} = \omega_0 C \quad \text{onde} \quad \omega = \frac{1}{\sqrt{LC}} \sqrt{1 - \frac{R_L^2 C}{L}}$$

Se a resistência do indutor for pequena, comparada com  $\omega_0 L$ , a frequência de ressonância será dada por  $1/\sqrt{LC}$ .

- 8.9 Calcular a frequência de ressonância,  $\omega_0$ , do circuito da Fig. 8-17. Se o resistor do ramo  $RC$  aumentar, qual o seu valor máximo para o qual existe, ainda, uma frequência de ressonância?

$$\begin{aligned} \omega_0 &= \frac{1}{\sqrt{LC}} \sqrt{\frac{R_L^2 - L/C}{R_C^2 - L/C}} \\ &= \frac{1}{\sqrt{10^{-3} \times 20 \times 10^{-6}}} \sqrt{\frac{6^2 - 10^{-3}/(20 \times 10^{-6})}{4^2 - 10^{-3}/(20 \times 10^{-6})}} \\ &= 4540 \text{ rad/s} \end{aligned}$$

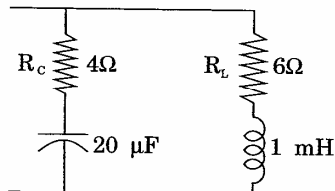


Figura 8-17

O numerador dentro do radical tem para valor  $36 - 50 = -14$ . Portanto, para que exista uma raiz real, o denominador deverá ser negativo, isto é,  $R_C^2 < L/C$  ou  $R_C < 7,07$  ohms. À medida que o valor de  $R_C$  se aproxima de 7,07 ohms, a frequência  $\omega_0$  se aproxima do infinito.

Se o valor aproximado

- 8.10 Determinar a frequência

A admitância

$$Y = \frac{1}{2 + j}$$

$$= \left( \frac{2}{4 + X_L^2} \right)$$

Fazendo o

$$10/125 = X$$

As raízes da equação  $X_L$  ressonante

- 8.11 Determinar a frequência

$$Y = \frac{1}{8 + j}$$

$$= \left( \frac{8}{100} + \dots \right)$$

Na ressonância

$$X_C/(69,5 + \dots)$$

Se o valor de  $R_L$  aumentar,  $\omega_0$  tenderá para zero, à medida que  $R_L$  se aproximar de 7,07 ohms.

- 8.10** Determinar os valores de  $L$  para os quais o circuito da Fig. 8-18 é ressonante na frequência  $\omega = 5000$  rad/s.

A admitância total é

$$\mathbf{Y} = \frac{1}{2 + jX_L} + \frac{1}{5 - j10}$$

$$= \left( \frac{2}{4 + X_L^2} + \frac{5}{125} \right) + j \left( \frac{10}{125} - \frac{X_L}{4 + X_L^2} \right)$$

Fazendo o termo em  $j$  igual a zero,

$$10/125 = X_L/(4 + X_L^2) \quad \text{ou} \quad X_L^2 - 12,5X_L + 4 = 0 \quad (1)$$

As raízes de (1) são  $X_L = 12,17$  e  $X_L = 0,33$ . Substituindo esses valores na equação  $X_L = \omega L$ , encontramos os valores de  $L$  para os quais o circuito é ressonante:  $L_1 = 2,43$  mH e  $L_2 = 0,066$  mH.

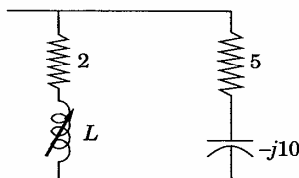


Figura 8-18

- 8.11** Determinar o valor de  $C$  que torna o circuito da Fig. 8-19 ressonante em  $\omega = 5000$  rad/s.

$$\mathbf{Y} = \frac{1}{8 + j6} + \frac{1}{8,34 - jX_C}$$

$$= \left( \frac{8}{100} + \frac{8,34}{69,5 + X_C^2} \right) + j \left( \frac{X_C}{69,5 + X_C^2} - \frac{6}{100} \right)$$

Na ressonância a admitância complexa é um número real. Então,

$$X_C/(69,5 + X_C^2) = 6/100 \quad \text{e} \quad X_C^2 - 16,7X_C + 69,5 = 0$$

$\frac{C}{L}$

com  $\omega_0 L$ , a fre-

8-17. Se o resistor existe, ainda, uma

= -14. Portanto, negativo, isto é, se aproxima de

donde  $X_C = 8,35$  ohms. Substituindo em  $X_C = 1/\omega_C$  e resolvendo, temos  $C = 24 \mu\text{F}$ .

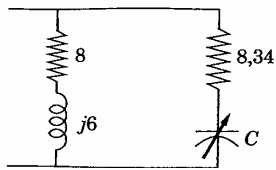


Figura 8-19

8.12 Determinar os valores de  $R_L$  e  $R_C$  que tornam o circuito da Fig. 8-20 ressonante em todas as frequências.

O circuito é ressonante na frequência

$$\omega_0 = \frac{1}{\sqrt{LC}} \sqrt{\frac{R_L^2 - L/C}{R_C^2 - L/C}}$$

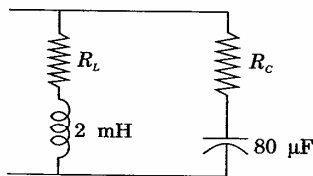


Figura 8-20

$\omega_0$  pode ter qualquer valor se  $R_L^2 = R_C^2 = L/C$ . Se  $L/C = (2 \times 10^{-3})/(80 \times 10^{-6}) = 25$ , temos  $R_L = R_C = \sqrt{25} = 5$  ohms.

Deixa-se como exercício para o estudante verificar este resultado para  $\omega = 2500$  rad/s e  $\omega = 5000$  rad/s.

8-13 Mostrar que, num circuito  $RLC$  em série,  $Q_0 = \omega_0 L/R = f_0/B$ .

Nas frequências de meia potência a reatância total é igual à resistência.

Na inferior,  $f_1$ , a reatância capacitiva é maior que a indutiva. Então,

$$1/2\pi f_1 C - 2\pi f_1 L = R, \text{ donde se obtém } f_1.$$

Na superior,  $f_2$ , a reatância indutiva é maior. Logo,

$$2\pi f_2 L - 1$$

Como  $B =$

$$Q_0 = f_0/B$$

8.14 Calcular  $Q$   $1 \mu\text{F}$ , em  $1/\omega_0 CR$  e  $j$

A frequên

$$\omega_0 = 1/\sqrt{L}$$

$$Q_0 = \omega_0 L/$$

ou  $Q$

Do Probl.

=  $R$ . Subst

$$1/(2\pi f_1 \times 1$$

Na superi

$$B = (745 -$$

$$Q_0 = f_0/B :$$

8.15 Representa 8-21(a), em



(l

$2\pi f_2 L - 1/2\pi f_2 C = R$ , donde se obtém  $f_2$ .

Como  $B = f_2 - f_1$ ,  $B = R/2\pi L$ . Então,

$Q_0 = f_0/B = 2\pi f_0 L/R = \omega_0 L/R$ .

- 8.14 Calcular  $Q$  de um circuito em série constituído de  $R = 20$  ohms,  $L = 0,05H$  e  $C = 1 \mu F$ , empregando cada uma das três expressões equivalentes para  $Q_0$ :  $\omega_0 L/R$ ,  $1/\omega_0 CR$  e  $f_0/B$ .

A frequência de ressonância é

$\omega_0 = 1/\sqrt{LC} = 1/\sqrt{0,05 \times 10^{-6}} = 4470$  rad/s e  $f_0 = \omega_0/2\pi = 712$  Hz. Então,

$Q_0 = \omega_0 L/R = 4470(0,05)/20 = 11,2$

ou  $Q_0 = 1/\omega_0 CR = 1/(4470 \times 10^{-6} \times 20) = 11,2$

Do Probl. 8.13 na frequência inferior de meia potência,  $1/2\pi f_1 C - 2\pi f_1 L = R$ . Substituindo:

$1/(2\pi f_1 \times 10^{-6}) - 2\pi f_1(0,05) = 20$  e  $f_1 = 681$  Hz

Na superior,  $f_2$ ,  $2\pi f_2 L - 1/2\pi f_2 C = R$ . Substituindo,  $f_2 = 745$  Hz. Então,

$B = (745 - 681) = 64$  Hz. Assim:

$Q_0 = f_0/B = 712/64 = 11,12$

- 8.15 Representar o diagrama do lugar geométrico da corrente, no circuito da Fig. 8-21(a), em que  $X_L$  é uma reatância indutiva variável.

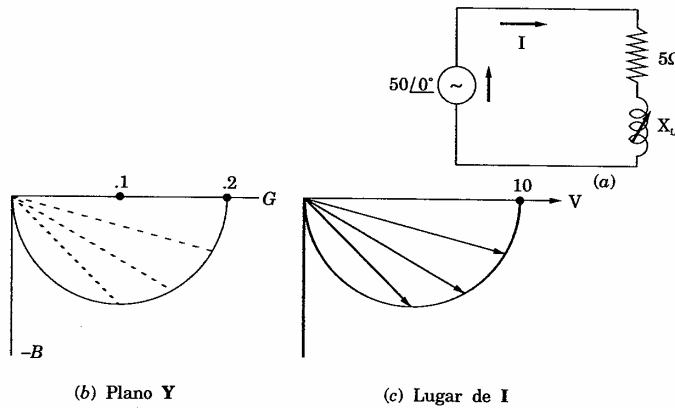


Figura 8-21

esolvendo, temos

ig. 8-20 ressonante

$10^{-3}/(80 \times 10^{-6}) =$

e resultado para

al à resistência.

itiva. Então,

O lugar geométrico de  $Y$  é um semicírculo de raio  $r = 1/2R = 0,1$ , como mostra a Fig. 8-21(b).

O lugar geométrico da corrente é determinado por  $I = VY$ , onde  $V = 50/0^\circ$ . Esse lugar é, portanto, semelhante ao de  $Y$  e tem valor máximo de 10 ampères, quando  $X_L = 0$ . Ver Fig. 8-21(c).

- 8.16 Representar o diagrama do lugar geométrico da corrente, no circuito da Fig. 8-22(a), em que  $R$  é uma resistência variável e a reatância capacitiva é fixa.

O lugar geométrico de  $Y$  é um semicírculo de raio  $r = 1/2X_C = 0,1$ . Ver Fig. 8-22(b).

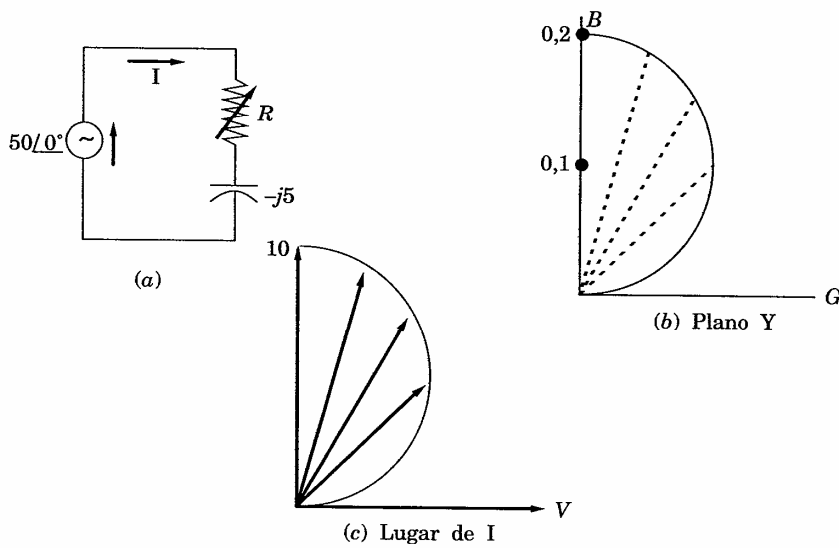


Figura 8-22

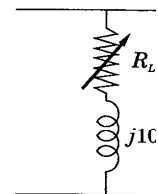
O lugar geométrico da corrente é determinado por  $I = -VY$ , onde  $V = 50/0^\circ$ . Portanto, a corrente tem um valor máximo de 10 ampères, quando  $R = 0$ . Ver Fig. 8-22(c).

- 8.17 Determinar o valor de  $R_L$  que acarreta ressonância no circuito da Fig. 8-23(a). Representar o lugar geométrico de  $Y$ , para explicar os resultados.

A admitância

$$Y_T = \frac{1}{R_L + j10}$$

Para que  $I = 5/41 = 10/I$  que produz



(c)

A admitância semicírculo a susceptância do ramo va

- 8.18 Determinar o valor de  $R_L$  que acarreta ressonância no circuito da Fig. 8-24(a).

A admitância geométrico 8-24(b).

No ponto in relação à te nária de  $Y_T$

$$Y_T = \left( 0,1 \right)$$

$1/2R = 0,1$ , como

$\mathbf{Y}$ , onde  $\mathbf{V} = 50/0^\circ$ ,  
 or máximo de 10

no circuito da Fig.  
 apacitiva é fixa.

$X_C = 0,1$ . Ver Fig.

A admitância total é

$$\mathbf{Y}_T = \frac{1}{R_L + j10} + \frac{1}{4 - j5} = \left( \frac{R_L}{R_L^2 + 100} + \frac{4}{41} \right) + j \left( \frac{5}{41} - \frac{10}{R_L^2 + 100} \right)$$

Para que haja ressonância, o termo em  $j$  de  $\mathbf{Y}$  deve ser nulo, isto é,  
 $5/41 = 10/(R_L^2 + 100)$ , donde  $R_L^2 = -18$ . Não há, portanto, um valor de  $R_L$   
 que produza ressonância.

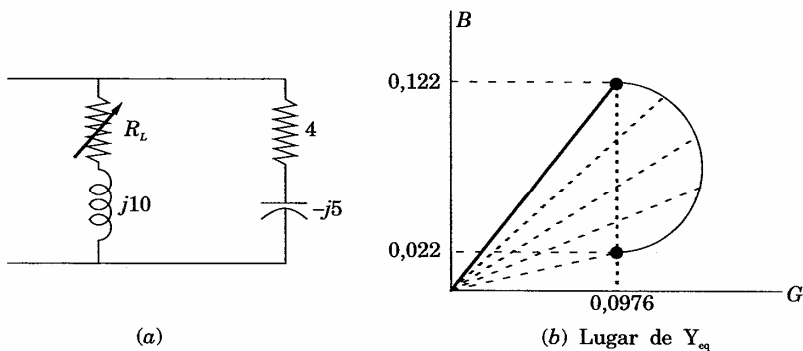


Figura 8-23

A admitância do ramo constante é  $1/(4 - j5) = 0,0976 + j0,122$ . O raio do  
 semicírculo é  $r = 1/2X_L = 1/20 = 0,05$ . O diâmetro, portanto, é 0,10. Como  
 a susceptância capacitiva do ramo constante é 0,122, o lugar geométrico  
 do ramo variável não corta o eixo real; logo, não há ressonância possível.

- 8.18 Determinar o lugar geométrico da corrente no circuito da Fig. 8-24(a) e deter-  
 minar o valor de  $R_C$  que acarreta um ângulo de fase de  $45^\circ$  entre  $\mathbf{V}$  e  $\mathbf{I}$ .

A admitância do ramo constante é  $1/R = 0,1$  ohms. O raio do lugar  
 geométrico semicircular do ramo  $RC$  é  $r = 1/2X_C = 1/8 = 0,125$ . Ver Fig.  
 8-24(b).

No ponto indicado na Fig. 8-24(c), a corrente está avançada de  $45^\circ$  em  
 relação à tensão. Segue-se que devem ser iguais as partes real e imagi-  
 nária de  $\mathbf{Y}_T$ . Como

$$\mathbf{Y}_T = \left( 0,1 + \frac{R_C}{R_C^2 + 16} \right) + j \left( \frac{4}{R_C^2 + 16} \right), \text{ segue-se que}$$

Plano Y G

$\mathbf{I} = -\mathbf{VY}$ , onde  
 de 10 ampères,  
 ito da Fig. 8-23(a).  
 ados.

$$0,1 + \frac{R_C}{R_C^2 + 16} = \frac{4}{R_C^2 + 16} \text{ de onde } R_C = 2 \Omega$$

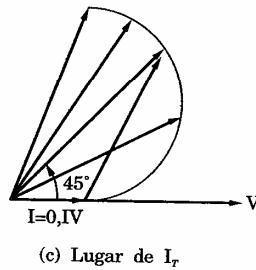
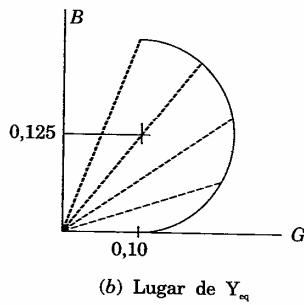
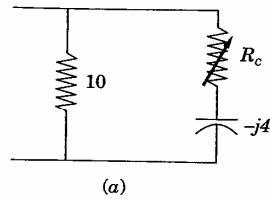


Figura 8-24

8.19 O circuito da Fig. 8-25 foi examinado no Probl. 6.18. Verificou-se, então, que o valor absoluto de  $V_{AB}$  era constante, isto é,  $V_{AB} = \frac{1}{2}V$  e que o fasor  $V_{AB}$  estava atrasado de  $2\theta$  em relação à tensão aplicada  $V$ , sendo  $\theta = \arctan \omega L/R$ . Mostrar, graficamente, esses resultados.

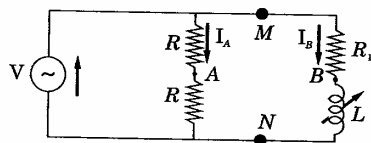
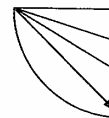


Figura 8-25

No primeiro  
cada resist  
 $V_R = IR =$

O diagrama:  
o ponto mé  
O segundo  
da corrente  
8-27(a). O  
tância,  $V_{BA}$   
se a tensão



(a)

As tensões  
Quando  $L \rightarrow \infty$   
Na Fig. 8-25  
superpostos  
portanto, de  
em relação

No primeiro ramo,  $Z = 2R$ ,  $Y = 1/2R$  e a corrente  $I_A = V/2R$ . A tensão em cada resistor é, então,

$$V_R = IR = V/2$$

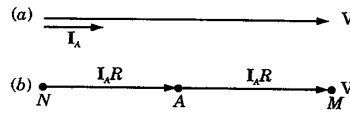


Figura 8-26

O diagrama de fasores da Fig. 8-26 mostra as tensões  $V_{NA}$  e  $V_{MA}$ , sendo A o ponto médio de V.

O segundo ramo tem um semicírculo como lugar geométrico de Y. O lugar da corrente é, portanto, também um semicírculo, como mostra a Fig. 8-27(a). O diagrama dos fasores de tensão consta da tensão na indutância,  $V_{BN}$ , e da tensão em  $R_1$ ,  $V_{MB}$ . As duas tensões se somam, obtendo-se a tensão V. Observe-se que  $I_B$  está atrasada de  $90^\circ$  em relação a  $V_{BN}$ .

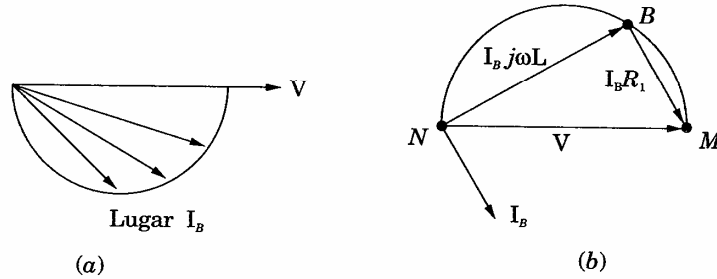
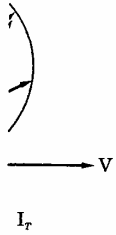


Figura 8-27

As tensões  $V_{BN}$  e  $V_{MB}$  são perpendiculares para todos os valores de L. Quando L varia de 0 a  $\infty$ , B se desloca de M a N no percurso semicircular.

Na Fig. 8-28, os dois diagramas fasoriais das Figs. 8-26(b) e 8-27(b) foram superpostos. Pode-se verificar que  $V_{AB}$  é o raio  $\frac{1}{2} V$  do semicírculo e, portanto, de amplitude constante. Além disso, o ângulo  $\phi$  de atraso de  $V_{AB}$  em relação a V é igual a  $2\theta$ , sendo  $\theta = \text{arc tg } \omega L R$ .



du-se, então, que o o fasor  $V_{AB}$  estava rc  $\text{tg } \omega L/R$ . Mostrar,

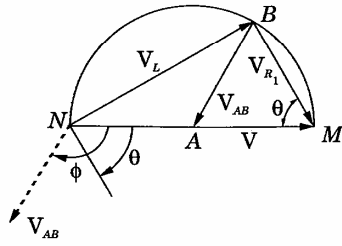


Figura 8-28

8.20 O lugar geométrico da corrente total de um circuito em paralelo de dois ramos é o indicado pela Fig. 8-29. Determinar os elementos nos ramos e especificar qual o elemento variável.

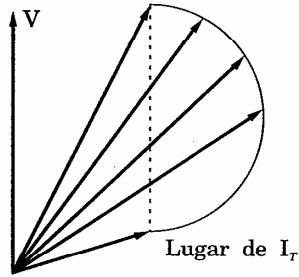


Figura 8-29

O ponto inferior do semicírculo corresponde à condição de corrente nula, no ramo variável. A corrente total nesse mesmo ponto, portanto, é inteiramente devida ao ramo constante 1. Como essa corrente está atrasada em relação à tensão, o ramo constante deve conter  $R_1$  e  $L_1$ .

O lugar geométrico semicircular da corrente no ramo 2 mostra que a corrente está em fase com a tensão em seu valor máximo. Em todos os demais pontos,  $I_2$  está atrasada em relação à  $V$ . O ramo 2, portanto, contém  $R_2$  e  $L_2$ , sendo  $L_2$  uma indutância variável, como mostra a Fig. 8-30.

8.21 No circuito são  $v = 70,7$   
 Resp.:  $R = 2$

8.22 A fonte do cir  
 Hz. Para que  
 Resp.:  $C = 2$

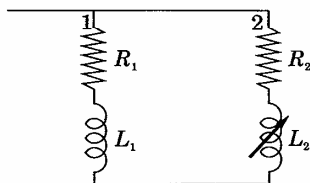


Figura 8-30

**Problemas Propostos**

- 8.21 No circuito *RLC* em série da Fig. 8-31, a tensão e a corrente instantâneas são  $v = 70,7 \text{ sen}(500t + 30^\circ)$  e  $i = 2,83 \text{ sen}(500t + 30^\circ)$ . Determinar *R* e *C*.  
 Resp.:  $R = 25 \text{ ohms}$ ;  $C = 8 \mu\text{F}$ .

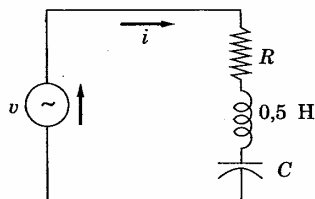


Figura 8-31

- 8.22 A fonte do circuito em série da Fig. 8-32 tem impedância  $5 + j3$  e frequência 2000 Hz. Para que valor de *C* será máxima a potência no resistor de 10 ohms?  
 Resp.:  $C = 26,6 \mu\text{F}$ ;  $P = 111 \text{ watts}$ .

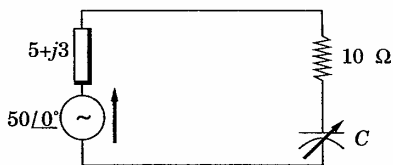


Figura 8-32

o de dois ramos é e especificar qual

le corrente nula, rtanto, é inteira- está atrasada em

2 mostra que a mo. Em todos os imo 2, portanto, no mostra a Fig.

- 8.23** Um circuito *RLC* em série em que  $L = 25 \text{ mH}$  e  $C = 75 \text{ }\mu\text{F}$  tem um ângulo de fase de  $25^\circ$  atrasado para  $\omega = 2000 \text{ rad/s}$ . Para que frequência o ângulo de fase será adiantado? Determinar  $\omega_0$ .  
*Resp.:*  $\omega = 267 \text{ rad/s}$ ;  $\omega_0 = 730 \text{ rad/s}$ .
- 8.24** Em um circuito *RLC* em série com  $L = 0,5 \text{ H}$  a tensão instantânea é  $v = 70,7 \text{ sen}(500t + 30^\circ)$  e a corrente instantânea é  $i = 1,5 \text{ sen}(500t)$ . Determinar os valores de  $R$  e  $C$ . Para que valor de  $\omega_0$  o circuito será ressonante?  
*Resp.:*  $R = 40,8 \text{ ohms}$ ;  $C = 8,83 \text{ }\mu\text{F}$ ;  $\omega_0 = 476 \text{ rad/s}$ .
- 8.25** Uma tensão de frequência variável é aplicada a um circuito em série, onde  $R = 10 \text{ ohms}$ ,  $L = 0,2 \text{ H}$  e  $C = 40 \text{ }\mu\text{F}$ . Calcular as frequências  $f_1$ ,  $f_0$  e  $f_2$  para as quais a corrente tem, respectivamente, as seguintes situações, em relação à tensão aplicada: avançada de  $30^\circ$ , em fase e atrasada de  $30^\circ$ .  
*Resp.:*  $f_1 = 54,0 \text{ Hz}$ ;  $f_0 = 56,3 \text{ Hz}$ ;  $f_2 = 58,6 \text{ Hz}$ .
- 8.26** O ângulo de fase em um circuito *RLC* em série em que  $R = 25 \text{ ohms}$  e  $L = 0,6 \text{ H}$  é  $60^\circ$  adiantado, sendo a frequência  $40 \text{ Hz}$ . Em que frequência o circuito será ressonante?  
*Resp.:*  $f_0 = 45,4 \text{ Hz}$ .
- 8.27** Varia-se a frequência, no circuito em série da Fig. 8-33, até que a tensão no capacitor seja máxima. Sendo  $100 \text{ volts}$  a tensão eficaz aplicada, determinar a tensão máxima no capacitor e a frequência em que ela ocorre.  
*Resp.:*  $\omega = 707 \text{ rad/s}$ ;  $V_C = 115,5 \text{ volts}$ .

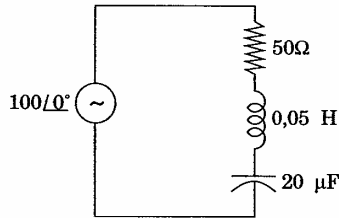


Figura 8-33

- 8.28** O fator de qualidade do circuito do Probl. 8.27 era  $Q_0 = \omega_0 L/R = 1$ . Suponha  $R = 10 \text{ ohms}$ , o que acarreta  $Q_0 = 5$ . Determine a frequência em que a tensão no capacitor é máxima. Repita para  $R = 5 \text{ ohms}$ .  
*Resp.:*  $\omega = 990 \text{ rad/s}$ ;  $998 \text{ rad/s}$ . **Nota.** Para  $Q_0 \geq 10$  pode-se admitir que as tensões máximas em  $R$ ,  $L$  e  $C$  ocorrem todas na frequência de ressonância  $\omega_0$  ou  $f_0$ .
- 8.29** Para mostrar o efeito de  $Q$  na amplitude da corrente, próximo da frequência de ressonância, represente o valor absoluto de  $Y$  em função de  $\omega$ , para os dois

seguintes  
 $L = 0,05 \text{ H}$

- 8.30** No circuito ressonante  
*Resp.:*  $\omega_0$

- 8.31** Determine  
*Resp.:*  $f_0$

- 8-32** No mesmo circuito  
*Resp.:*  $R_C$

- 8.33** Determine  
*Resp.:*  $R_L$

seguintes conjuntos de valores das constantes do circuito. Circuito 1:  $R = 5$  ohms,  $L = 0,05$  H e  $C = 20 \mu\text{F}$ . Circuito 2:  $R = 10$  ohms,  $L = 0,05$  H e  $C = 20 \mu\text{F}$ .

- 8.30** No circuito em paralelo da Fig. 8-34,  $L = 0,2$  H e  $C = 30 \mu\text{F}$ . Determinar a frequência de ressonância, supondo  $R_L = 0$ , e compará-la com a frequência de ressonância quando  $R = 50$  ohms.  
 Resp.:  $\omega_0 = 408$  rad/s;  $\omega_0 = 323$  rad/s.

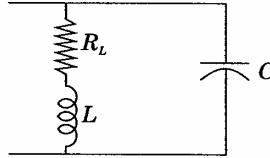


Figura 8-34

- 8.31** Determinar a frequência de ressonância,  $f_0$ , do circuito em paralelo da Fig. 8-35.  
 Resp.:  $f_0 = 159$  Hz.

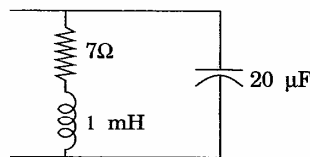


Figura 8-35

- 8.32** No mesmo Probl. 8.31, qual o valor de resistência que, em série com o capacitor, acarreta uma frequência de ressonância de 300 Hz?  
 Resp.:  $R_C = 6$  ohms.
- 8.33** Determinar o valor de  $R_L$  para o qual o circuito em paralelo da Fig. 8-36 é ressonante.  
 Resp.:  $R_L = 12,25$  ohms.

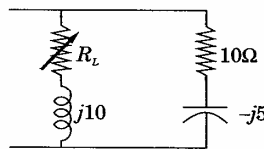


Figura 8-36

8.34 Para que valores de  $X_L$  será ressonante o circuito em paralelo da Fig. 8-37? Representar o lugar geométrico de  $Y$  para explicar o resultado.

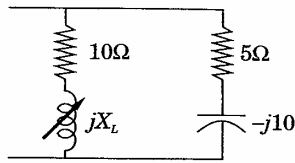


Figura 8-37

8.35 Qual o valor de  $R_0$  para o qual o circuito da Fig. 8-38 é ressonante? Representar o lugar geométrico de  $Y$  que explica o resultado.  
 Resp.:  $R_C = 0$ .

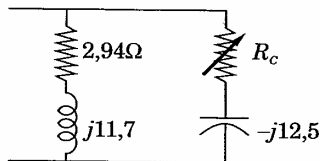


Figura 8-38

8.36 O circuito em paralelo da Fig. 8-39 é ressonante quando  $X_C = 9,68$  ohms ou  $X_C = 1,65$  ohms. Determinar o fasor corrente total para cada valor da reatância capacitiva.  
 Resp.:  $1,83/0^\circ$ ;  $3,61/0^\circ$ .

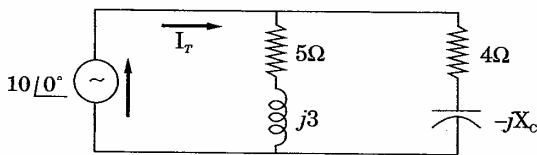


Figura 8-39

8.37 Qual o valor de  $R_C$  que proporciona ressonância no circuito da Fig. 8-40?  
 Resp.:  $R_C = 6$  ohms.

8.38 Aplica-se reatância diagrama:

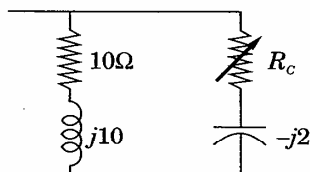
8.39 Aplica-se resistências gramadas d

8.40 No circuito não se p

8.41 O circuito  $\omega = 5000$  geométrico Resp.: 20

do da Fig. 8-37?

- 8.38** Aplica-se uma tensão  $V = 50/0^\circ$  a um circuito em série constituído de uma reatância indutiva fixa  $X_L = 5$  ohms e uma resistência variável  $R$ . Discutir os diagramas dos lugares geométricos da admitância e da corrente.

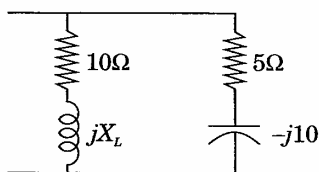


**Figura 8-40**

nte? Representar

- 8.39** Aplica-se uma tensão  $V = 50/0^\circ$  a um circuito em série constituído de uma resistência fixa  $R = 5$  ohms e uma capacitância variável  $C$ . Discutir os diagramas dos lugares geométricos da admitância e da corrente.

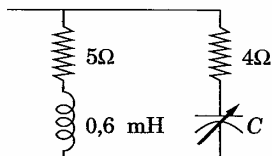
- 8.40** No circuito em paralelo da Fig. 8-41, a indutância pode ser variada sem limitação. Traçar o diagrama do lugar geométrico da admitância, para mostrar por que não se pode obter ressonância.



**Figura 8-41**

$\zeta_C = 9,68$  ohms  
a cada valor da

- 8.41** O circuito da Fig. 8-42 é ressonante para dois valores da capacitância  $C$ , quando  $\omega = 5000$  rad/s. Determinar esses valores de  $C$  e traçar o diagrama do lugar geométrico da admitância.  
Resp.:  $20,6 \mu\text{F}$ ;  $121 \mu\text{F}$ .



**Figura 8-42**

Fig. 8-40?

- 8-42 Na Fig. 8-43,  $I_T$  é atrasada de  $53,1^\circ$  em relação à tensão aplicada, quando  $R = 0$ . Se  $R = \infty$  (circuito aberto),  $I_T$  é avançada do mesmo ângulo. Construir o diagrama do lugar geométrico da admitância para ilustrar esta condição. Para que valor de  $R$  o circuito é ressonante?  
 Resp.:  $R = 6,25$  ohms.

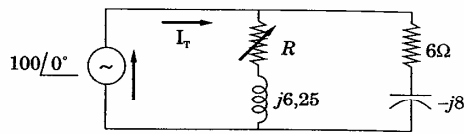


Figura 8-43

- 8.43 Determinar o valor de  $R$  que torna ressonante o circuito paralelo da Fig. 8-44 e construir o diagrama da admitância para explicar o resultado.

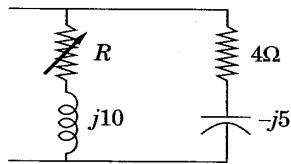


Figura 8-44

- 8.44 Qual a variação na reatância indutiva do Probl. 8.43, que torna possível obter-se ressonância com algum valor do resistor variável  $R$ ?  
 Resp.:  $X_L \leq 8,2$  ohms.
- 8.45 Determinar o valor de  $R$  que acarreta ressonância em paralelo no circuito da Fig. 8-45 e traçar o diagrama do lugar geométrico.  
 Resp.:  $R = 5,34$  ohms.

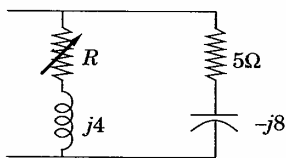


Figura 8-45

- 8.46 No Probl. a capacitância mostrar por valores us

- 8.47 O circuito L. Construcionam re Resp.:  $L =$

- 8.48 No lugar que acarreta tensão eficaz Resp.:  $L =$

- 8.49 No Probl. L que torna Resp.:  $I_T$

- 8.50 No circuit em relação variação Resp.:  $4\epsilon$

da, quando  $R =$   
 10. Construir o  
 condição. Para

- 8.46** No Probl. 8.11 desejava-se tornar ressonante o circuito em paralelo, variando-se a capacitância  $C$ . Empregar o diagrama do lugar geométrico da admitância para mostrar por que só foi obtida ressonância com um valor de  $C$  e não com os dois valores usuais.
- 8.47** O circuito em paralelo da Fig. 8-46 deve ser tornado ressonante pela variação de  $L$ . Construir o diagrama da admitância e determinar os valores de  $L$  que proporcionam ressonância com  $\omega = 5000$  rad/s.  
 Resp.:  $L = 2,43$  mH;  $L = 0,066$  mH.

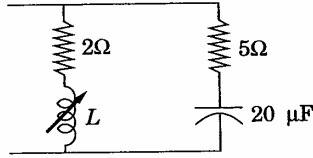


Figura 8-46

- 8.48** No lugar geométrico da admitância do problema 8.47, determinar o valor de  $L$  que acarreta corrente total mínima. Qual seria o módulo dessa corrente com uma tensão eficaz de 100 volts aplicada?  
 Resp.:  $L = 2,95$  mH;  $I_T = 5,1$  ampères.
- 8.49** No Probl. 8.47 aplicar uma tensão  $V = 150/\underline{75^\circ}$  e calcular  $I_T$  para cada valor de  $L$  que tornou ressonante o circuito.  
 Resp.:  $I_T = 7,98/\underline{75^\circ}$ ;  $I_T = 78,9/\underline{75^\circ}$ .

o da Fig. 8-44 e

possível obter-se

o circuito da Fig.

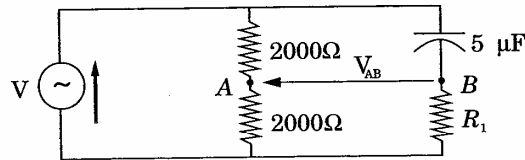


Figura 8-47

- 8.50** No circuito defasador da Fig. 8-47, a tensão  $V_{AB}$  deve ser atrasada de  $10^\circ$  a  $170^\circ$  em relação à tensão aplicada  $V$ . Na frequência de 60 Hz, qual a gama de variação de  $R_1$  que satisfaz ao desvio de tensão?  
 Resp.: 46,4 a 6080 ohms.

8.51 Em cada uma das Figs. 8-48(a), (b) e (c) é fornecido um diagrama da corrente total solicitada pelo circuito que contém um elemento variável. Descrever o circuito que corresponde a cada caso.

Resp.: (a) Um circuito de dois ramos em paralelo. Ramo 1:  $R$  e  $X_C$  fixos; ramo 2:  $R$  fixo e  $X_C$  variável.

(b) Um circuito paralelo de três ramos. Ramo 1:  $R$  e  $X_C$  fixos; ramo 2:  $X_C$  fixo; ramo 3:  $R$  fixo e  $X_L$  variável.

(c) Um circuito paralelo de dois ramos. Ramo 1:  $R$  e  $X_C$  fixos; ramo 2:  $X_L$  fixo e  $R$  variável.

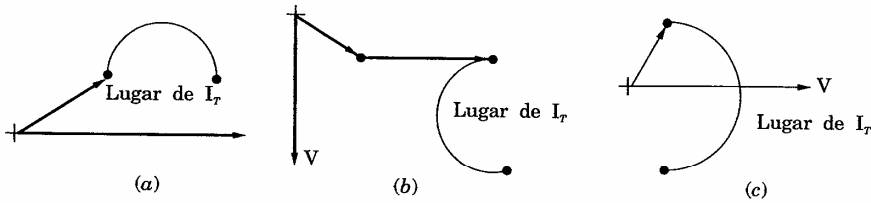


Figura 8-48

8.52 Determinar as constantes do circuito e suas ligações, correspondentes ao lugar geométrico da corrente indicado na Fig. 8-49, para  $\omega = 2000$  rad/s.

Resp.: Ramo 1:  $R = 7,07 \Omega$ ;  $L = 3,54$  mH. Ramo 2:  $R = 7,07 \Omega$ ;  $C$  variável.

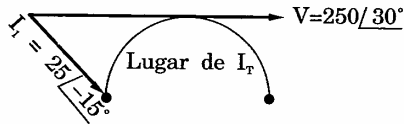


Figura 8-49

8.53 Um circuito em paralelo de dois ramos tem o diagrama da corrente mostrado na Fig. 8-50. Qual a variação no ramo  $RL$  que faz com que o ponto  $A$  caia sobre o fasor tensão?

Resp.: Fazer  $X_L = 5,78$  ohms.

8.54 Um circuit  
na Fig. 8-!  
Resp.: Ra  
Ramo 2: I  
Ramo 3: I

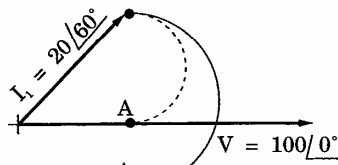


Figura 8-50

8.54 Um circuito em paralelo de três ramos tem o diagrama das correntes mostrado na Fig. 8-51. Determinar todas as correntes do circuito, sendo  $\omega = 5000$  rad/s.  
 Resp.: Ramo 1:  $R = 8,05 \Omega$ ;  $L = 0,423$  mH.  
 Ramo 2:  $R = 4,16 \Omega$ ;  $C = 27,7 \mu\text{F}$ .  
 Ramo 3:  $L = 2,74$  mH;  $R$  variável.

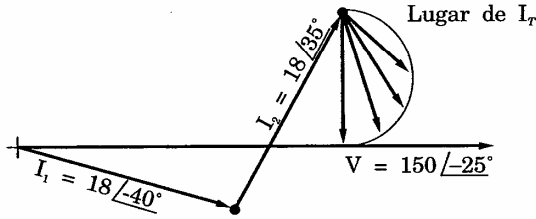


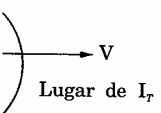
Figura 8-51

ama da corrente rel. Descrever o

$X_C$  fixos; ramo 2:

ramo 2:  $X_C$  fixo;

ramo 2:  $X_L$  fixo e  $R$



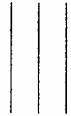
(c)

ndentes ao lugar 1/s.  $C$  variável.

nte mostrado na o A caía sobre o

MAKRON  
Books

# ANÁLISE DE CIRCUITOS PELAS CORRENTES DE MALHA



## Introdução

As fontes de tensão em um circuito elétrico ou estrutura produzem correntes em cada um dos ramos e conseqüentes tensões nos elementos do circuito. A solução da estrutura consiste em determinarem-se as correntes nos ramos ou as tensões nos elementos.

## Correntes de Malha

Para aplicação do *método das correntes de malha* escolhem-se percursos fechados simples para as chamadas *correntes de malha*, como mostra a Fig. 9-1. Escrevem-se, então, no caso, três equações em função das incógnitas  $I_1$ ,  $I_2$  e  $I_3$  e resolve-se o sistema. A corrente em cada braço é então determinada diretamente por uma das correntes de malha ou por uma combinação das mesmas.

 $v_x$ 

Assim,  
o sentido para l  
ramo da estrut  
mento de circu  
impedância con

Para se  
para as tensões  
 $I_1$  e escreve-se,  
longo da malha

A segu  
tensão é nula.

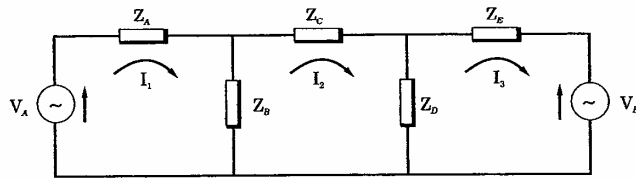


Figura 9-1 Correntes de malha em um circuito.

Assim, a corrente em  $Z_A$  é  $I_1$  e a corrente em  $Z_B$ , admitindo-se positivo o sentido para baixo, através da impedância, é  $I_1 - I_2$ . A corrente em qualquer ramo da estrutura é obtida de forma semelhante. A tensão em qualquer elemento de circuito será, então, o produto do fasor corrente no elemento pela impedância complexa.

Para se obter o conjunto de três equações, aplica-se a lei de Kirchhoff para as tensões a cada corrente de malha. Na Fig. 9-2 foi destacada a malha de  $I_1$  e escreve-se, então, a equação que iguala a soma das quedas de tensão, ao longo da malha, às "elevações" de tensão.

$$I_1 Z_A + (I_1 - I_2) Z_B = V_A \tag{1}$$

A segunda malha não contém fonte; portanto, a soma das quedas de tensão é nula.

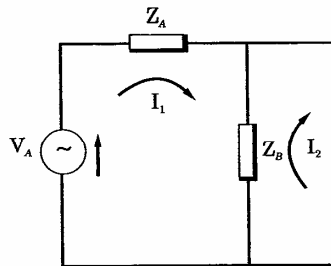


Figura 9-2

$$I_2 Z_C + (I_2 + I_3) Z_D + (I_2 - I_1) Z_B = 0 \tag{2}$$

SENAI / DR / AM  
NÚCLEO DE INFORMAÇÃO  
TECNOLOGICA

estrutura produzem  
s elementos do  
s correntes nos

hem-se percor-  
o mostra a Fig.  
incógnitas  $I_1, I_2$   
ão determinada  
ombinação das

Aplicando a lei de Kirchoff para as tensões à terceira malha,

$$I_3 Z_E + (I_3 + I_2) Z_D = V_B \tag{3}$$

Reunindo e reagrupando,

$$(Z_A + Z_B) I_1 - Z_B I_2 = V_A \tag{1'}$$

$$-Z_B I_1 + (Z_B + Z_C + Z_D) I_2 + Z_D I_3 = 0 \tag{2'}$$

$$Z_D I_2 + (Z_D + Z_E) I_3 = V_B \tag{3'}$$

Pode-se deduzir diretamente esse conjunto de equações. Consideremos a primeira malha da Fig. 9-2. Toma-se o sentido horário para a corrente  $I_1$  e todas as quedas de tensões nos elementos dessa malha, produzidas por  $I_1$ , são positivas. A corrente de malha  $I_2$  da segunda malha também circula em  $Z_B$ , porém em sentido oposto a  $I_1$ ; assim, a queda de tensão em  $Z_B$ , produzida por  $I_2$  é  $-Z_B I_2$ . A tensão  $V_A$  é positiva porque tem o mesmo sentido de  $I_1$ . Feitas estas considerações, aplicando-se a lei de Kirchoff à malha um, obtém-se a equação (1'). As equações (2') e (3') são obtidas de maneira semelhante.

As expressões *elevação de tensão* e *queda de tensão* são mais adequadas aos circuitos de corrente contínua, onde seu significado é mais claro do que nos circuitos com excitações senoidais, nos quais tensões e correntes instantâneas assumem valores positivos e negativos. Em regime estacionário senoidal, segundo a 2ª lei de Kirchoff para as tensões, aplicada a um circuito fechado, resulta uma igualdade com fasores, em que a *soma dos fasores das tensões nas impedâncias da malha é igual à soma dos fasores de todas as fontes de tensão agindo na malha*.

### Escolha das Correntes de Malha

Aplicando o método das correntes de malha, é possível simplificar-se a solução de um dado problema pela escolha conveniente das malhas no circuito. Se, na Fig. 9-1, desejássemos apenas determinar a corrente no ramo que contém  $Z_B$ , seria conveniente deixar apenas uma malha passar em  $Z_B$ . Precisamos, assim, determinar apenas  $I_1$ . A Fig. 9-3 mostra as novas malhas escolhidas.



O conj  
( $Z_A$ )

Quaisq  
de circuito deve  
haver dois ran  
correntes. No p  
mero de corren  
número inferior

### Número Ne

Para u  
necessário é evi  
forneça o núm  
questão nos con  
nada Topologia

A Fig. 4  
círculos e os ran  
a árvore da estr  
percursos fecha  
9-4(c) chamam-

malha,  
 (3)  
 A (1')  
 (2')  
 B (3')

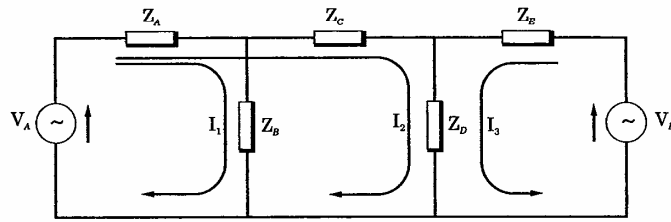


Figura 9-3

O conjunto de equações das correntes de malha é

$$\begin{aligned} (Z_A + Z_B)I_1 + Z_A I_2 &= V_A \\ Z_A I_1 + (Z_A + Z_C + Z_D)I_2 + Z_D I_3 &= V_A \\ Z_D I_2 + (Z_D + Z_E)I_3 &= V_B \end{aligned}$$

Quaisquer que sejam as correntes de malha escolhidas, cada elemento de circuito deverá ser percorrido pelo menos por uma corrente, e não tem como haver dois ramos com a mesma corrente ou igual combinação algébrica de correntes. No parágrafo seguinte, são apresentadas regras que indicam o número de correntes de malha necessário para a resolução de um circuito; um número inferior de correntes não será suficiente.

### Número Necessário de Correntes de Malha

Para um circuito simples e plano, o número de correntes de malha necessário é evidente. As estruturas mais elaboradas exigirão um método que forneça o número necessário de equações. Um estudo aprofundado desta questão nos conduz à uma bonita área no estudo de Circuitos Elétricos, denominada Topologia de Redes Elétricas. Veremos a seguir um pouco deste assunto.

A Fig. 9-4(b) mostra o gráfico da estrutura, onde os nós são pequenos círculos e os ramos foram substituídos por linhas. A seguir, a Fig. 9-4(c) mostra a árvore da estrutura, obtida com a inclusão apenas de ramos que não formam percursos fechados. A árvore da estrutura não é única. As linhas cheias da Fig. 9-4(c) chamam-se ramos da árvore e as tracejadas, ramos de ligação. Cada

ões. Considere-  
 ra a corrente  $I_1$   
 zidas por  $I_1$ , são  
 circula em  $Z_B$ ,  
 roduzida por  $I_2$   
 $I_1$ . Feitas estas  
 m-se a equação

simplificar-se a  
 has no circuito.  
 no ramo que  
 ar em  $Z_B$ . Pre-  
 novas malhas

ramo de ligação completa um percurso fechado. O número de correntes de malha exigido pela estrutura é igual ao número de ramos de ligação, 4.

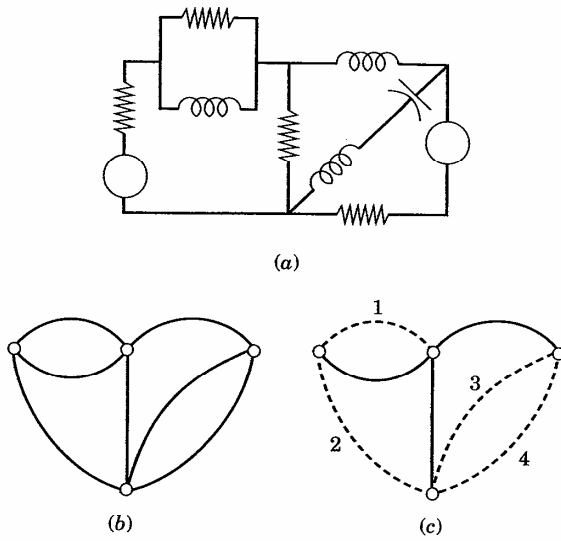


Figura 9-4 Estrutura, gráfico e árvore.

Obtém-se o mesmo resultado “cortando” os ramos do circuito original, de modo que cada corte “abra” um percurso fechado. Quando não houver mais percursos fechados a abrir, o número de cortes feitos indicará o número necessário de correntes de malha.

Um terceiro método consiste em contarem-se os ramos e nós da estrutura. O número necessário de correntes de malha é dado por

$$\text{Número de equações} = \text{ramos} - (\text{nós} - 1)$$

A estrutura da Fig. 9-4(a) contém sete ramos e quatro nós. O número de correntes de malha é  $7 - (4 - 1) = 4$ .

## Equações

Em n.

$Z_{11}$  é a impedância vista em  $I_1$  percorrendo o caminho pelas somas d

$Z_{12}$  é a

Segue a seguir a determinação das impedâncias de transferência sinal positivo no mesmo sentido

$V_1$  é a tensão positiva se a corrente for no sentido contrário das malhas.

**Exemplo**  
Fig. 9-5.

### Equações das Malhas

Em notação geral as equações de um circuito de três malhas são:

$$\begin{aligned} Z_{11}I_1 \pm Z_{12}I_2 \pm Z_{13}I_3 &= V_1 \\ \pm Z_{21}I_1 + Z_{22}I_2 \pm Z_{23}I_3 &= V_2 \\ \pm Z_{31}I_1 \pm Z_{32}I_2 + Z_{33}I_3 &= V_3 \end{aligned}$$

$Z_{11}$  é a impedância da malha um, igual à soma de todas as impedâncias que  $I_1$  percorre.  $Z_{22}$  e  $Z_{33}$  são as impedâncias das malhas dois e três, dadas pelas somas das impedâncias das respectivas malhas.

$Z_{12}$  é a soma das impedâncias comuns às correntes de malha  $I_1$  e  $I_2$ .

Segue-se que  $Z_{12} = Z_{21}$ . As impedâncias  $Z_{13}$ ,  $Z_{31}$ ,  $Z_{23}$  e  $Z_{32}$  são as somas das impedâncias comuns às correntes de malha indicadas por seus índices. O sinal positivo aplica-se caso as duas correntes percorram a impedância comum no mesmo sentido. Caso contrário, o sinal é o negativo.

$V_1$  é a soma de todas as tensões de geradores na malha um. O sinal será positivo se a fonte debitar no sentido da corrente de malha e negativo se em sentido contrário.  $V_2$  e  $V_3$  são as somas das tensões das fontes das respectivas malhas.

**Exemplo 1** Escrever as equações das correntes de malha do circuito da Fig. 9-5.

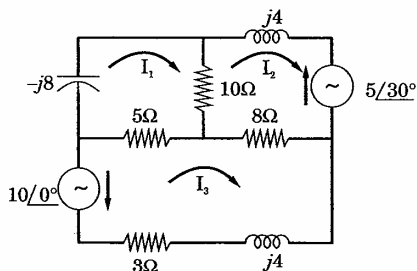


Figura 9 5

As correntes de malha estão traçadas no diagrama do circuito. Como não existe gerador na malha um, a soma das quedas de tensão é igual a zero.

$$\mathbf{I}_1(-j8) + (\mathbf{I}_1 - \mathbf{I}_2)10 + (\mathbf{I}_1 - \mathbf{I}_3)5 = 0$$

A fonte de  $5/\underline{30^\circ}$  volts da malha dois debita em sentido contrário ao da corrente de malha; seu sinal é, portanto, negativo.

$$\mathbf{I}_2(j4) + (\mathbf{I}_2 - \mathbf{I}_3)8 + (\mathbf{I}_2 - \mathbf{I}_1)10 = - (5/\underline{30^\circ})$$

Aplicando à terceira malha a lei de Kirchhoff para as tensões, obtemos

$$\mathbf{I}_3(3 + j4) + (\mathbf{I}_3 - \mathbf{I}_1)5 + (\mathbf{I}_3 - \mathbf{I}_2)8 = -(10/\underline{0^\circ})$$

Reagrupando os termos, o conjunto das três equações fica sendo:

$$\begin{aligned} (15 - j8)\mathbf{I}_1 - 10\mathbf{I}_2 - 5\mathbf{I}_3 &= 0 \\ -10\mathbf{I}_1 + (18 + j4)\mathbf{I}_2 - 8\mathbf{I}_3 &= -(5/\underline{30^\circ}) \\ -5\mathbf{I}_1 - 8\mathbf{I}_2 + (16 + j4)\mathbf{I}_3 &= -(10/\underline{0^\circ}) \end{aligned}$$

Compare-se o grupo de equações acima com as equações do circuito de três malhas, dadas em notação geral. A impedância da malha um é  $\mathbf{Z}_{11} = 5 + 10 - j8 = 15 - j8$ . A impedância comum às malhas um e dois é  $\mathbf{Z}_{12} = 10$ . Entretanto, o sentido de  $\mathbf{I}_2$  é oposto ao de  $\mathbf{I}_1$ ; então, o sinal de  $\mathbf{Z}_{12}$  é negativo. Da mesma maneira, a impedância comum às malhas um e três é  $\mathbf{Z}_{13} = -5$ . Observe-se que  $\mathbf{Z}_{12} = \mathbf{Z}_{21}$ ,  $\mathbf{Z}_{13} = \mathbf{Z}_{31}$  e  $\mathbf{Z}_{23} = \mathbf{Z}_{32}$ .

A tensão do gerador na malha dois é  $5/\underline{30^\circ}$ , porém seu sentido é contrário ao da corrente na malha; portanto, seu sinal é negativo. Cada termo do conjunto de equações acima pode ser comparado com a notação geral.

## Matrizes

Matriz é um arranjo de números ou de funções, dispostos em forma retangular (linhas e colunas), encerrados em um par de colchetes e sujeitos a determinadas regras de operação. Na matriz,

os números ou na coluna  $j$ . I "  $m \times n$ " e é cl  $m \times n$ ".

Duas

## Soma de $i$

Duas as ordens fore

A son matriz  $C$  de  $r$  corresponden

## Exemp

A

ito. Como não é igual a zero.

$$A = \begin{bmatrix} a_{11} & a_{12} & a_{13} & \dots & a_{1n} \\ a_{21} & a_{22} & a_{23} & \dots & a_{2n} \\ \dots & \dots & \dots & \dots & \dots \\ a_{m1} & a_{m2} & a_{m3} & \dots & a_{mn} \end{bmatrix}$$

contrário ao da

os números ou funções  $a_{ij}$  são seus elementos. Um elemento  $a_{ij}$  está na linha  $i$  e na coluna  $j$ . Esta matriz, de  $m$  linhas e  $n$  colunas, é de ordem “ $m$  por  $n$ ” ou “ $m \times n$ ” e é chamada “matriz  $A$ ” ou “matriz  $A$  de  $m \times n$ ” ou matriz “[ $a_{ij}$ ] de  $m \times n$ ”.

es, obtemos

Duas matrizes só serão iguais se uma for a exata reprodução da outra.

endo:

### Soma de Matrizes

Duas matrizes de mesma ordem podem ser somadas ou subtraídas; se os ordens forem diferentes, essas operações não poderão ser efetuadas.

do circuito de malha um é is um e dois é o sinal de  $Z_{12}$  malhas um e  $Z_{32}$ .

A soma (diferença) de duas matrizes  $m \times n$ ,  $A = [a_{ij}]$  e  $B = [b_{ij}]$ , é uma matriz  $C$  de  $m \times n$  em que cada elemento é a soma (diferença) dos elementos correspondentes de  $A$  e  $B$ . Assim,

$$A \pm B = [a_{ij} \pm b_{ij}]$$

do é contrário cada termo do ação geral.

**Exemplo 2** Se  $A = \begin{bmatrix} 1 & 4 & 0 \\ 2 & 7 & 3 \end{bmatrix}$  e  $B = \begin{bmatrix} 5 & 2 & 6 \\ 0 & 1 & 1 \end{bmatrix}$ , então,

$$A + B = \begin{bmatrix} 1 + 5 & 4 + 2 & 0 + 6 \\ 2 + 0 & 7 + 1 & 3 + 1 \end{bmatrix} = \begin{bmatrix} 6 & 6 & 6 \\ 2 & 8 & 4 \end{bmatrix} \text{ e}$$

$$A - B = \begin{bmatrix} -4 & 2 & -6 \\ 2 & 6 & 2 \end{bmatrix}$$

tos em forma es e sujeitos a

## Multiplicação de Matrizes

O produto  $A \times B$ , nessa ordem, da matriz  $A$  de  $1 \times m = [a_{11} \ a_{12} \ a_{13} \ \dots \ a_{1m}]$  pela

matriz  $B$  de  $m \times 1 = \begin{bmatrix} b_{11} \\ b_{21} \\ b_{31} \\ \dots \\ b_{m1} \end{bmatrix}$  é a matriz  $C$  de  $1 \times 1$

$$C = [a_{11} \ a_{12} \ \dots \ a_{1m}] \times \begin{bmatrix} b_{11} \\ b_{21} \\ \dots \\ b_{m1} \end{bmatrix} = [a_{11}b_{11} + a_{12}b_{21} + \dots + a_{1m}b_{m1}] =$$

$$= \left[ \sum_{k=1}^m a_{1k} b_{k1} \right]$$

Observe-se que cada elemento da linha é multiplicado pelo elemento correspondente da coluna e os produtos são somados.

**Exemplo 3**  $[1 \ 3 \ 5] \begin{bmatrix} 2 \\ 4 \\ -2 \end{bmatrix} = [1(2) + 3(4) + 5(-2)] = [4]$

O produto  $AB$ , nessa ordem, da matriz  $A$  de  $m \times s = [a_{ij}]$  pela matriz  $B$  de  $s \times n = [b_{ij}]$  é a matriz  $C$  de  $m \times n = [c_{ij}]$ , onde

$$c_{ij} = \sum_{k=1}^s a_{ik} b_{kj}, \quad i = 1, 2, \dots, m, \quad j = 1, 2, \dots, n$$

**Exemplo 4**  $\begin{bmatrix} a_{11} & a_{12} \\ a_{21} & a_{22} \\ a_{31} & a_{32} \end{bmatrix} \begin{bmatrix} b_{11} & b_{12} \\ b_{21} & b_{22} \end{bmatrix} = \begin{bmatrix} a_{11}b_{11} + a_{12}b_{21} & a_{11}b_{12} + a_{12}b_{22} \\ a_{21}b_{11} + a_{22}b_{21} & a_{21}b_{12} + a_{22}b_{22} \\ a_{31}b_{11} + a_{32}b_{21} & a_{31}b_{12} + a_{32}b_{22} \end{bmatrix}$

**Exemp.**

**Exemp.**

$$\begin{bmatrix} 5 & -3 \\ 4 & 2 \end{bmatrix} \begin{bmatrix} 8 \\ 7 \end{bmatrix}$$

Duas só é definido c B. Portanto, s produto AB é for, também, é

## Inversão

Num algarismo ma

Por e inversão. Em inversões, po portanto, há algarismo 2 p

## Determin

Tome

**Exemplo 5**

$$\begin{bmatrix} 3 & 5 & -8 \\ 2 & 1 & 6 \\ 4 & -6 & 7 \end{bmatrix} \begin{bmatrix} I_1 \\ I_2 \\ I_3 \end{bmatrix} = \begin{bmatrix} 3I_1 + 5I_2 - 8I_3 \\ 2I_1 + 1I_2 + 6I_3 \\ 4I_1 - 6I_2 + 7I_3 \end{bmatrix}$$

**Exemplo 6**

$$\begin{bmatrix} 5 & -3 \\ 4 & 2 \end{bmatrix} \begin{bmatrix} 8 & -2 & 6 \\ 7 & 0 & 9 \end{bmatrix} = \begin{bmatrix} 5(8) + (-3)(7) & 5(-2) + (-3)(0) & 5(6) + (-3)(9) \\ 4(8) + 2(7) & 4(-2) + (2)(0) & 4(6) + 2(9) \end{bmatrix}$$

$$= \begin{bmatrix} 19 & -10 & 3 \\ 46 & -8 & 42 \end{bmatrix}$$

Duas matrizes  $A$  e  $B$  só podem ser multiplicadas, isto é, o produto  $AB$  só é definido quando o número de colunas de  $A$  é igual ao número de linhas de  $B$ . Portanto, se  $A$  for, por exemplo, uma matriz  $3 \times 2$  e  $B$  for uma matriz  $2 \times 5$ , o produto  $AB$  é definido, mas não o é o produto  $BA$ . Se  $D$  for uma matriz  $3 \times 3$  e  $E$  for, também,  $3 \times 3$ , ambos os produtos,  $AB$  e  $BA$ , serão definidos.

**Inversão**

Num arranjo de algarismos positivos existirá uma inversão quando um algarismo maior preceder um menor.

Por exemplo, em 132, o algarismo 3 precede 2; há, portanto, uma inversão. Em 321 o algarismo 3 precede 2 e 1, e o algarismo 2 precede 1; há três inversões, portanto. Em 4213, 4 precede 2, 1 e 3 e o algarismo 2 precede 1; portanto, há quatro inversões. Em 3421, 3 precede 2 e 1, 4 precede 2 e 1 e o algarismo 2 precede 1; há, portanto, cinco inversões.

**Determinante de uma Matriz**

Tomemos  $n$  elementos da matriz  $n$  quadrada

$a_{12} a_{13} \dots a_{1m}]$

$+ a_{1m} b_{m1}] =$

pelo elemento

pela matriz  $B$

$\begin{bmatrix} a_{12} b_{22} \\ a_{22} b_{22} \\ a_{32} b_{22} \end{bmatrix}$

$$A = \begin{bmatrix} a_{11} & a_{12} & a_{13} & \dots & a_{1n} \\ a_{21} & a_{22} & a_{23} & \dots & a_{2n} \\ \dots & \dots & \dots & \dots & \dots \\ a_{n1} & a_{n2} & a_{n3} & \dots & a_{nn} \end{bmatrix}$$

e formemos um produto  $a_{1j_1} a_{2j_2} a_{3j_3} \dots a_{nj_n}$ , de modo que um, e apenas um, elemento pertença a uma linha e um, e apenas um, elemento pertença a uma coluna. Observe-se que a seqüência dos primeiros índices é, por conveniência, na ordem 1, 2, ..., n; portanto, a seqüência  $j_1, j_2, \dots, j_n$  dos segundos índices é uma das  $n!$  permutações dos algarismos 1, 2, ..., n. Dá-se ao produto o sinal + ou -, conforme seja par ou ímpar o número de inversões dos segundos índices.

Portanto, o determinante de uma matriz  $n$  quadrada, escrito  $|A|$ , é a soma de todos os  $n!$  produtos de sinal diferente que podem ser formados com os elementos de  $A$ .

O determinante de uma matriz quadrada de ordem  $n$  chama-se determinante de ordem  $n$ .

**Exemplo 7**  $\begin{vmatrix} a_{11} & a_{12} \\ a_{21} & a_{22} \end{vmatrix} = a_{11}a_{22} - a_{12}a_{21}$

**Exemplo 8**  $\begin{vmatrix} a_{11} & a_{12} & a_{13} \\ a_{21} & a_{22} & a_{23} \\ a_{31} & a_{32} & a_{33} \end{vmatrix} = a_{11}a_{22}a_{33} - a_{11}a_{23}a_{32} - a_{12}a_{21}a_{33} + a_{12}a_{23}a_{31} + a_{13}a_{21}a_{32} - a_{13}a_{22}a_{31}$

### Menores e Cofatores

O menor de um elemento  $a_{ij}$  de um determinante de ordem  $n$  é o determinante de ordem  $(n - 1)$  obtido quando se eliminam a linha e a coluna que contêm esse elemento. O menor de um elemento  $a_{ij}$  se designa por  $|M_{ij}|$ .

O menor com seu sinal,  $(-1)^{i+j} |M_{ij}|$ , chama-se cofator de  $a_{ij}$  e se designa por  $\Delta_{ij}$ .

**Exempl**

Para o d

$$|M_{23}| =$$

### Valor de u

O valo obtidos, multiq pelo seu cofat

$$|A| =$$

$$= -a$$

é a expansão c

**Exemp**

$$\begin{vmatrix} 1 & 4 \\ 2 & 1 \\ 3 & 5 \end{vmatrix}$$

$$= 3\{4(-6)$$

**Exemp**

**Exemp**

**Exemplo 9**

Para o determinante de 3ª ordem  $|A| = \begin{vmatrix} a_{11} & a_{12} & a_{13} \\ a_{21} & a_{22} & a_{23} \\ a_{31} & a_{32} & a_{33} \end{vmatrix}$ ,

$|M_{23}| = \begin{vmatrix} a_{11} & a_{12} \\ a_{31} & a_{32} \end{vmatrix}$  e  $\Delta_{23} = (-1)^{2+3} \begin{vmatrix} a_{11} & a_{12} \\ a_{31} & a_{32} \end{vmatrix} = - \begin{vmatrix} a_{11} & a_{12} \\ a_{31} & a_{32} \end{vmatrix}$

**Valor de um Determinante**

O valor de um determinante  $|A|$  de ordem  $n$  é a soma dos  $n$  produtos obtidos, multiplicando-se cada elemento de qualquer linha ou coluna escolhida pelo seu cofator. Assim,

$$|A| = \begin{vmatrix} a_{11} & a_{12} & a_{13} \\ a_{21} & a_{22} & a_{23} \\ a_{31} & a_{32} & a_{33} \end{vmatrix} = a_{12}\Delta_{12} + a_{22}\Delta_{22} + a_{32}\Delta_{32}$$

$$= -a_{12} \begin{vmatrix} a_{21} & a_{23} \\ a_{31} & a_{33} \end{vmatrix} + a_{22} \begin{vmatrix} a_{11} & a_{13} \\ a_{31} & a_{33} \end{vmatrix} - a_{32} \begin{vmatrix} a_{11} & a_{13} \\ a_{21} & a_{23} \end{vmatrix}$$

é a expansão de  $|A|$  pela segunda coluna.

**Exemplo 10**

$$\begin{vmatrix} 1 & 4 & 7 \\ 2 & 1 & -6 \\ 3 & 5 & 0 \end{vmatrix} = 3 \begin{vmatrix} 4 & 7 \\ 1 & -6 \end{vmatrix} - 5 \begin{vmatrix} 1 & 7 \\ 2 & -6 \end{vmatrix} + 0 \begin{vmatrix} 1 & 4 \\ 2 & 1 \end{vmatrix}$$

$$= 3\{4(-6) - 7(1)\} - 5\{1(-6) - 7(2)\} + 0 = 7$$

**Exemplo 11**  $\begin{vmatrix} 3 & 5 & 8 \\ 1 & 0 & 2 \\ 4 & 0 & 3 \end{vmatrix} = -5 \begin{vmatrix} 1 & 2 \\ 4 & 3 \end{vmatrix} = -5\{1(3) - 2(4)\} = 25$

**Exemplo 12**  $\begin{vmatrix} 4 & 7 & -2 \\ 0 & 5 & 0 \\ 8 & 2 & -3 \end{vmatrix} = 5 \begin{vmatrix} 4 & -2 \\ 8 & -3 \end{vmatrix} = 5\{4(-3) - (-2)(8)\} = 20$

, e apenas um, atenção a uma conveniência, ndos índices é ito o sinal + ou os índices.

scrito  $|A|$ , é a mudados com os

ama-se deter-

$- a_{12}a_{21}a_{33}$

$- a_{13}a_{22}a_{31}$

ordem  $n$  é o ha e a coluna a por  $|M_{ij}|$ . r de  $a_{ij}$  e se

## Propriedades dos Determinantes

1. Se duas linhas ou colunas de um determinante são idênticas, o valor do determinante é zero. Por exemplo,

$$\begin{vmatrix} 1 & 8 & 1 \\ -4 & 2 & -4 \\ 6 & 1 & 6 \end{vmatrix} = 0$$

2. Multiplicando-se cada elemento de uma linha ou coluna de um determinante por qualquer número  $k$ , o determinante fica multiplicado por  $k$ . Por exemplo,

$$2 \begin{vmatrix} 3 & -4 & 2 \\ -1 & 5 & 0 \\ 2 & 6 & 7 \end{vmatrix} = \begin{vmatrix} 6 & -8 & 4 \\ -2 & 10 & 0 \\ 4 & 12 & 14 \end{vmatrix} = \begin{vmatrix} 3 & -4 & 4 \\ -1 & 5 & 0 \\ 2 & 6 & 14 \end{vmatrix}$$

3. Trocando-se as posições de duas linhas ou colunas de um determinante, troca-se o sinal deste. Por exemplo,

$$\begin{vmatrix} 1 & 4 & 7 \\ -2 & 5 & 8 \\ 3 & -6 & 9 \end{vmatrix} = - \begin{vmatrix} 4 & 1 & 7 \\ 5 & -2 & 8 \\ -6 & 3 & 9 \end{vmatrix} = - \begin{vmatrix} 3 & -6 & 9 \\ -2 & 5 & 8 \\ 1 & 4 & 7 \end{vmatrix}$$

4. Se cada elemento de uma linha ou coluna for expresso como a soma de dois ou mais números, o determinante poderá ser escrito como a soma de dois ou mais determinantes. Por exemplo,

$$\begin{vmatrix} 3 & -7 & 5 \\ 2 & 4 & -5 \\ 1 & 6 & 8 \end{vmatrix} = \begin{vmatrix} 3 & -9 + 2 & 5 \\ 2 & 4 + 0 & -5 \\ 1 & 8 - 2 & 8 \end{vmatrix} = \\ = \begin{vmatrix} 3 & -9 & 5 \\ 2 & 4 & -5 \\ 1 & 8 & 8 \end{vmatrix} + \begin{vmatrix} 3 & 2 & 5 \\ 2 & 0 & -5 \\ 1 & -2 & 8 \end{vmatrix}$$

5. Somando-se aos elementos de qualquer linha (coluna)  $k$  vezes o elemento correspondente de qualquer outra linha (coluna), o valor do determinante não se altera. Por exemplo,

$$\begin{vmatrix} 1 & 9 & -3 \\ 4 & 6 & -2 \\ -3 & 1 & 5 \end{vmatrix} = \begin{vmatrix} 1 & 9 + 3(-3) & -3 \\ 4 & 6 + 3(-2) & -2 \\ -3 & 1 + 3(5) & 5 \end{vmatrix} = \begin{vmatrix} 1 & 0 & -3 \\ 4 & 0 & -2 \\ -3 & 16 & 5 \end{vmatrix}$$

## Resolução Regra de C

O siste

pode ser escrita

O valor do por  $x_1$  se cada dade 2).

$\Delta_a$

Agora, somemos  $x_2$  vez elemento corre

$x_1 \Delta_a =$

ou

### Resolução de Equações Lineares por Determinantes – Regra de Cramer

O sistema de três equações lineares a três incógnitas  $x_1, x_2$  e  $x_3$

$$a_{11}x_1 + a_{12}x_2 + a_{13}x_3 = k_1$$

$$a_{21}x_1 + a_{22}x_2 + a_{23}x_3 = k_2$$

$$a_{31}x_1 + a_{32}x_2 + a_{33}x_3 = k_3$$

pode ser escrito sob a forma de matrizes

$$\begin{bmatrix} a_{11} & a_{12} & a_{13} \\ a_{21} & a_{22} & a_{23} \\ a_{31} & a_{32} & a_{33} \end{bmatrix} \begin{bmatrix} x_1 \\ x_2 \\ x_3 \end{bmatrix} = \begin{bmatrix} k_1 \\ k_2 \\ k_3 \end{bmatrix}$$

O valor numérico do determinante dos coeficientes,  $\Delta_a$ , fica multiplicado por  $x_1$  se cada elemento da primeira coluna for multiplicado por  $x_1$  (propriedade 2).

$$\Delta_a = \begin{vmatrix} a_{11} & a_{12} & a_{13} \\ a_{21} & a_{22} & a_{23} \\ a_{31} & a_{32} & a_{33} \end{vmatrix} \quad \text{e} \quad x_1\Delta_a = \begin{vmatrix} a_{11}x_1 & a_{12} & a_{13} \\ a_{21}x_1 & a_{22} & a_{23} \\ a_{31}x_1 & a_{32} & a_{33} \end{vmatrix}$$

Agora, a cada elemento da primeira coluna deste último determinante, somemos  $x_2$  vezes o elemento correspondente da segunda coluna e  $x_3$  vezes o elemento correspondente da terceira coluna (propriedade 5). Então,

$$x_1\Delta_a = \begin{vmatrix} (a_{11}x_1 + a_{12}x_2 + a_{13}x_3) & a_{12} & a_{13} \\ (a_{21}x_1 + a_{22}x_2 + a_{23}x_3) & a_{22} & a_{23} \\ (a_{31}x_1 + a_{32}x_2 + a_{33}x_3) & a_{32} & a_{33} \end{vmatrix} = \begin{vmatrix} k_1 & a_{12} & a_{13} \\ k_2 & a_{22} & a_{23} \\ k_3 & a_{32} & a_{33} \end{vmatrix}$$

ou 
$$x_1 = \frac{\begin{vmatrix} k_1 & a_{12} & a_{13} \\ k_2 & a_{22} & a_{23} \\ k_3 & a_{32} & a_{33} \end{vmatrix}}{\Delta_a}$$

desde que  $\Delta_a \neq 0$ . Da mesma maneira, tem-se:

$$x_2 = \frac{\begin{vmatrix} a_{11} & k_1 & a_{13} \\ a_{21} & k_2 & a_{23} \\ a_{31} & k_3 & a_{33} \end{vmatrix}}{\Delta_a} \quad x_3 = \frac{\begin{vmatrix} a_{11} & a_{12} & k_1 \\ a_{21} & a_{22} & k_2 \\ a_{31} & a_{32} & k_3 \end{vmatrix}}{\Delta_a}$$

$$I_1 =$$

Este método, chamado *Regra de Cramer*, pode ser aplicado a qualquer sistema de  $n$  equações lineares a  $n$  incógnitas, desde que o determinante dos coeficientes seja diferente de zero.

## O Método das Matrizes e a Análise de Circuitos

As equações das correntes de três malhas

$$\begin{aligned} Z_{11}I_1 \pm Z_{12}I_2 \pm Z_{13}I_3 &= V_1 \\ \pm Z_{21}I_1 + Z_{22}I_2 \pm Z_{23}I_3 &= V_2 \\ \pm Z_{31}I_1 \pm Z_{32}I_2 + Z_{33}I_3 &= V_3 \end{aligned}$$

são escritas agora sob a forma de matrizes

$$\begin{bmatrix} Z_{11} & \pm Z_{12} & \pm Z_{13} \\ \pm Z_{21} & Z_{22} & \pm Z_{23} \\ \pm Z_{31} & \pm Z_{32} & Z_{33} \end{bmatrix} \begin{bmatrix} I_1 \\ I_2 \\ I_3 \end{bmatrix} = \begin{bmatrix} V_1 \\ V_2 \\ V_3 \end{bmatrix}$$

ou

$$[Z] [I] = [V]$$

que se designa como lei de Ohm sob a forma de matrizes, onde  $[Z]$  é a matriz impedância,  $[I]$  a matriz corrente e  $[V]$  a matriz tensão.

As correntes de malha  $I_1$ ,  $I_2$  e  $I_3$  são encontradas pelas relações de dois determinantes.

Se o c  
elementos da c  
equações para

Os ter  
nentes fasores  
corrente de m  
 $V_2(\Delta_{21}/\Delta_2)$  devi

## Impedânc

Seja u  
terminais exte  
 $V_1$  e chamemo

$$\mathbf{I}_1 = \frac{\begin{vmatrix} \mathbf{V}_1 & \pm \mathbf{Z}_{12} & \pm \mathbf{Z}_{13} \\ \mathbf{V}_2 & \mathbf{Z}_{22} & \pm \mathbf{Z}_{23} \\ \mathbf{V}_3 & \pm \mathbf{Z}_{32} & \mathbf{Z}_{33} \end{vmatrix}}{\Delta_z} \quad \mathbf{I}_2 = \frac{\begin{vmatrix} \mathbf{Z}_{11} & \mathbf{V}_1 & \pm \mathbf{Z}_{13} \\ \pm \mathbf{Z}_{21} & \mathbf{V}_2 & \pm \mathbf{Z}_{23} \\ \pm \mathbf{Z}_{31} & \mathbf{V}_3 & \mathbf{Z}_{33} \end{vmatrix}}{\Delta_z}$$

$$\mathbf{I}_3 = \frac{\begin{vmatrix} \mathbf{Z}_{11} & \pm \mathbf{Z}_{12} & \mathbf{V}_1 \\ \pm \mathbf{Z}_{21} & \mathbf{Z}_{22} & \mathbf{V}_2 \\ \pm \mathbf{Z}_{31} & \pm \mathbf{Z}_{32} & \mathbf{V}_3 \end{vmatrix}}{\Delta_z}$$

Se o determinante numerador de cada uma for desenvolvido pelos elementos da coluna que contém as tensões, obteremos o seguinte conjunto de equações para as correntes de malha:

$$\mathbf{I}_1 = \mathbf{V}_1 \left( \frac{\Delta_{11}}{\Delta_z} \right) + \mathbf{V}_2 \left( \frac{\Delta_{21}}{\Delta_z} \right) + \mathbf{V}_3 \left( \frac{\Delta_{31}}{\Delta_z} \right) \quad (1)$$

$$\mathbf{I}_2 = \mathbf{V}_1 \left( \frac{\Delta_{12}}{\Delta_z} \right) + \mathbf{V}_2 \left( \frac{\Delta_{22}}{\Delta_z} \right) + \mathbf{V}_3 \left( \frac{\Delta_{32}}{\Delta_z} \right) \quad (2)$$

$$\mathbf{I}_3 = \mathbf{V}_1 \left( \frac{\Delta_{13}}{\Delta_z} \right) + \mathbf{V}_2 \left( \frac{\Delta_{23}}{\Delta_z} \right) + \mathbf{V}_3 \left( \frac{\Delta_{33}}{\Delta_z} \right) \quad (3)$$

Os termos dos segundos membros das equações (1), (2) e (3) são componentes fasores que resultam das várias tensões de excitação. Assim, em (1), a corrente de malha  $\mathbf{I}_1$  consta de três partes:  $\mathbf{V}_1(\Delta_{11}/\Delta_z)$  devida à tensão  $\mathbf{V}_1$ ;  $\mathbf{V}_2(\Delta_{21}/\Delta_z)$  devida à tensão  $\mathbf{V}_2$  e  $\mathbf{V}_3(\Delta_{31}/\Delta_z)$  devida à tensão  $\mathbf{V}_3$ .

### Impedância no Ponto de Excitação

Seja um circuito passivo, ou isento de fontes de alimentação, com dois terminais externos, como mostra a Fig. 9-6. Apliquemos aí uma fonte de tensão  $\mathbf{V}_1$  e chamemos  $\mathbf{I}_1$  a corrente de malha resultante.

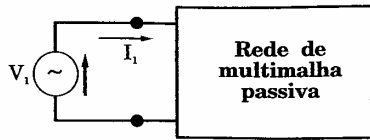


Figura 9-6

Como não há outras fontes no circuito, a equação da corrente de malha  $I_1$  é

$$I_1 = V_1 \left( \frac{\Delta_{11}}{\Delta_z} \right) + (0) \left( \frac{\Delta_{21}}{\Delta_z} \right) + (0) \left( \frac{\Delta_{31}}{\Delta_z} \right) + \dots = V_1 \left( \frac{\Delta_{11}}{\Delta_z} \right)$$

A impedância de entrada ou impedância no ponto de excitação é a relação entre a tensão aplicada  $V_1$  e a corrente resultante  $I_1$ . Assim,

$$Z_{e1} = V_1 / I_1 = \Delta_z / \Delta_{11}$$

Define-se a impedância de entrada de um circuito (com elementos passivos e ativos) como sendo a impedância apresentada pelo circuito nos terminais especificados, quando todas as fontes são substituídas por suas respectivas impedâncias internas. Assim, a relação  $\Delta_z / \Delta_{11}$  é a impedância no ponto de excitação da malha um (independentemente de ser a estrutura passiva ou ativa) e sua unidade é o ohm.

### Impedância de Transferência

Uma fonte de tensão que excita uma malha produzirá uma corrente em cada uma das outras malhas da estrutura. Impedância de transferência é a relação entre uma tensão de excitação em uma malha e a corrente resultante em outra malha, anuladas todas as demais fontes.

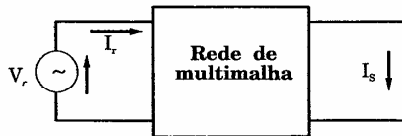


Figura 9-7

Seja  $I_s$  é a corrente

$$I_s$$

e

O índice de ação, isto é, a determinante índices que a

9.1 Escolhid correspond

Aplican

$$I_1(2 -$$

$$I_2(10) -$$

$$I_3(10) -$$

Reagru

$$(7 + j$$

$$-j$$

$$-$$

que, sol

\* N. R. Nos p em volts.

Seja o circuito da Fig. 9-7, onde  $V_r$  é a tensão de excitação da malha  $r$  e  $I_s$  é a corrente produzida na malha  $s$ . Então,

$$I_s = (0) \left( \frac{\Delta_{1s}}{\Delta_z} \right) + \dots + V_r \left( \frac{\Delta_{rs}}{\Delta_z} \right) + \dots + (0) \left( \frac{\Delta_{ns}}{\Delta_z} \right) = V_r \left( \frac{\Delta_{rs}}{\Delta_z} \right)$$

e

$$Z_{\text{transf}(rs)} = V_r / I_s = \Delta_z \Delta_{rs} (\Omega)$$

O índice duplo na impedância de transferência,  $rs$ , indica o sentido da ação, isto é, a fonte está na malha  $r$  e a corrente resultante está na malha  $s$ . O determinante do denominador é o cofator da posição  $rs$ ,  $\Delta_{rs}$ , com os mesmos índices que a impedância de transferência.

### Problemas Resolvidos\*

- 9.1 Escolhidas as correntes de malha indicadas na Fig. 9-8, escrever as equações correspondentes a essas correntes e colocá-las sob a forma de matrizes.

Aplicando a lei de Kirchhoff para as tensões, a cada uma das três malhas,

$$I_1(2 - j2) + (I_1 - I_2)(j5) + (I_1 - I_3)5 = 10 \angle 0^\circ$$

$$I_2(10) + (I_2 - I_3)(2 - j2) + (I_2 - I_1)(j5) = -5 \angle 30^\circ$$

$$I_3(10) + (I_3 - I_1)(5) + (I_3 - I_2)(2 - j2) = -10 \angle 90^\circ$$

Reagrupando os termos,

$$(7 + j3)I_1 - (j5)I_2 - (5)I_3 = 10 \angle 0^\circ$$

$$-(j5)I_1 + (12 + j3)I_2 - (2 - j2)I_3 = -5 \angle 30^\circ$$

$$-(5)I_1 - (2 - j2)I_2 + (17 - j2)I_3 = -10 \angle 90^\circ$$

que, sob a forma de matriz, dão

\* N. R. Nos problemas que se seguem os elementos são dados em ohms e as fontes de tensão em volts.

$$\begin{bmatrix} 7 + j3 & -j5 & -5 \\ -j5 & 12 + j3 & -(2 - j2) \\ -5 & -(2 - j2) & 17 - j2 \end{bmatrix} \begin{bmatrix} \mathbf{I}_1 \\ \mathbf{I}_2 \\ \mathbf{I}_3 \end{bmatrix} = \begin{bmatrix} 10 \angle 0^\circ \\ -(5 \angle 30^\circ) \\ -(10 \angle 90^\circ) \end{bmatrix}$$

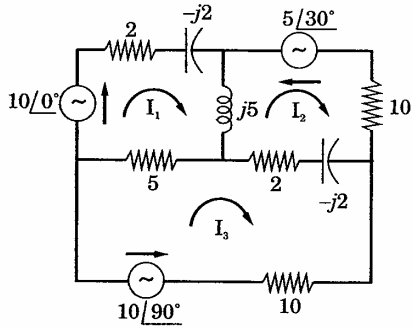


Figura 9-8

9.2 Pela inspeção do circuito da Fig. 9-9, escrever as equações das correntes de malha, sob a forma de matrizes.

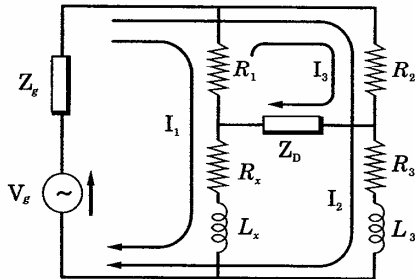


Figura 9-9

Os termos da matriz impedância são determinados a partir de suas definições. A impedância da malha um,  $Z_{11}$ , é a soma de todas as impedâncias na malha,  $(R_1 + R_x + j\omega L_x + Z_g)$ . O elemento  $Z_{12}$ , impedância comum às correntes de malha um e dois, é  $Z_g$  com sinal positivo, já que as duas correntes de malha passam por ela no mesmo sentido. A matriz corrente consta simplesmente de  $\mathbf{I}_1$ ,  $\mathbf{I}_2$  e  $\mathbf{I}_3$ . A matriz tensão é, portanto, constituída pelas tensões excitadoras das malhas. A equação pedida das matrizes é, então,

$$\begin{bmatrix} (R_1 + R_x) \end{bmatrix}$$

9.3 Achar o circuito.

Escolhe pela for

$$\begin{bmatrix} 10 - j \\ j5 \end{bmatrix}$$

e

$$\mathbf{I}_1 = \begin{bmatrix} | \\ | \\ | \end{bmatrix}$$

$$\mathbf{I}_1 = \frac{1}{5}$$

A potêr potênci no resi: watts, e

9.4 Para o indica a

As equ

$$\begin{bmatrix} 10 - \\ 10 \end{bmatrix}$$

$$\begin{bmatrix} (R_1 + R_x + j\omega L_x + Z_g) & Z_g & -R_1 \\ Z_g & (R_2 + R_3 + j\omega L_3 + Z_g) & R_2 \\ -R_1 & R_2 & (R_1 + R_2 + Z_D) \end{bmatrix} \begin{bmatrix} I_1 \\ I_2 \\ I_3 \end{bmatrix} = \begin{bmatrix} V_g \\ V_g \\ 0 \end{bmatrix}$$

9.3 Achar a potência de saída da fonte da Fig. 9-10 e a potência nos resistores do circuito.

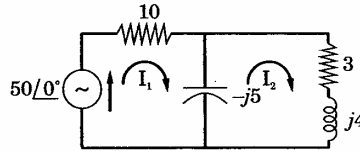


Figura 9-10

Escolhemos as correntes de malha como mostra o diagrama, de modo que pela fonte circula apenas uma corrente. Então, temos:

$$\begin{bmatrix} 10 - j5 & j5 \\ j5 & 3 - j1 \end{bmatrix} \begin{bmatrix} I_1 \\ I_2 \end{bmatrix} = \begin{bmatrix} 50 \angle 0^\circ \\ 0 \end{bmatrix}$$

e

$$I_1 = \frac{\begin{vmatrix} 50 \angle 0^\circ & j5 \\ 0 & 3 - j1 \end{vmatrix}}{\begin{vmatrix} 10 - j5 & j5 \\ j5 & 3 - j1 \end{vmatrix}} \quad I_2 = \frac{\begin{vmatrix} 10 - j5 & 50 \angle 0^\circ \\ j5 & 0 \end{vmatrix}}{\Delta_z}$$

$$I_1 = \frac{150 - j50}{50 - j25} = 2,83 \angle 8,14^\circ \quad I_2 = \frac{-j250}{50 - j25} = 4,47 \angle -63,4^\circ$$

A potência da fonte é  $P = VI \cos \theta = 50 (2,83) \cos (8,14^\circ) = 140$  watts. A potência no resistor de 10 ohms é  $P_{10} = (I_1)^2 10 = (2,83)^2 10 = 80$  watts, e, no resistor de 3 ohms,  $P_3 = (I_2)^2 3 = 60$  watts; sua soma,  $80 + 60 = 140$  watts, é igual à potência de saída da fonte.

9.4 Para o mesmo circuito do Probl. 9.3, escolhendo as correntes de malha como indica a Fig. 9-11, determinar a potência de saída da fonte.

As equações das correntes de malha sob a forma de matrizes são

$$\begin{bmatrix} 10 - j5 & 10 \\ 10 & 13 + j4 \end{bmatrix} \begin{bmatrix} I_1 \\ I_2 \end{bmatrix} = \begin{bmatrix} 50 \angle 0^\circ \\ 50 \angle 0^\circ \end{bmatrix}$$

as correntes de

partir de suas  
todas as impe-  
2, impedância  
tivo, já que as  
ido. A matriz  
io é, portanto,  
ão pedida das

Então,

$$I_1 = \frac{\begin{vmatrix} 50 \angle 0^\circ & 10 \\ 50 \angle 0^\circ & 13 + j4 \end{vmatrix}}{\begin{vmatrix} 10 - j5 & 10 \\ 10 & 13 + j4 \end{vmatrix}} = \frac{150 + j200}{50 - j25} = 4,47 \angle 79,7^\circ$$

$$I_2 = \frac{\begin{vmatrix} 10 - j5 & 50 \angle 0^\circ \\ 10 & 50 \angle 0^\circ \end{vmatrix}}{\Delta_z} = \frac{-j250}{50 - j25} = 4,47 \angle -63,4^\circ$$

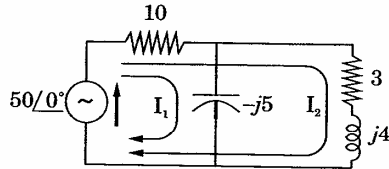


Figura 9-11

No ramo da fonte circulam as duas correntes de malha. Então,

$$I_1 + I_2 = \left( \frac{150 + j200}{50 - j25} \right) + \left( \frac{-j250}{50 - j25} \right) = 2,83 \angle 8,14^\circ$$

e a potência da fonte é  $P = VI \cos \theta = 50(2,83) \cos 8,14^\circ = 140 \text{ W}$ .

- 9.5 O circuito da Fig. 9-12 tem as tensões indicadas entre cada par das três linhas. Determinar as correntes  $I_A$ ,  $I_B$  e  $I_C$ .

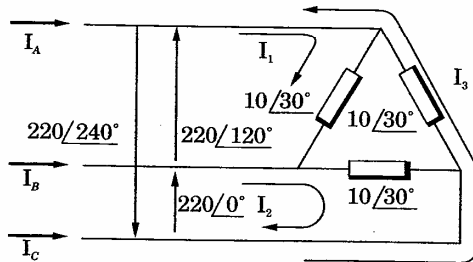


Figura 9-12

Escolhid  
são indej

$$\begin{bmatrix} 10 \angle 30^\circ \\ 0 \\ 0 \end{bmatrix}$$

donde se

$$I_1 = \frac{220}{10}$$

$$I_3 = \frac{220}{10}$$

Então,

$$I_A = I_1$$

$$I_B = I_2$$

$$I_C = I_3$$

- 9.6 Na estrut  
represent  
se anule  
podem se

Escolhidas as correntes de malha indicadas no diagrama, as correntes são independentes. Isso se verifica quando se escreve a matriz:

$$\begin{bmatrix} 10 \angle 30^\circ & 0 & 0 \\ 0 & 10 \angle 30^\circ & 0 \\ 0 & 0 & 10 \angle 30^\circ \end{bmatrix} \begin{bmatrix} \mathbf{I}_1 \\ \mathbf{I}_2 \\ \mathbf{I}_3 \end{bmatrix} = \begin{bmatrix} 220 \angle 120^\circ \\ 220 \angle 0^\circ \\ 220 \angle 240^\circ \end{bmatrix}$$

donde se tiram as três correntes:

$$\mathbf{I}_1 = \frac{220 \angle 120^\circ}{10 \angle 30^\circ} = 22 \angle 90^\circ, \quad \mathbf{I}_2 = \frac{220 \angle 0^\circ}{10 \angle 30^\circ} = 22 \angle -30^\circ,$$

$$\mathbf{I}_3 = \frac{220 \angle 240^\circ}{10 \angle 30^\circ} = 22 \angle 210^\circ$$

Então,

$$\mathbf{I}_A = \mathbf{I}_1 - \mathbf{I}_3 = (22 \angle 90^\circ - 22 \angle 210^\circ) = 38,1 \angle 60^\circ$$

$$\mathbf{I}_B = \mathbf{I}_2 - \mathbf{I}_1 = (22 \angle -30^\circ - 22 \angle 90^\circ) = 38,1 \angle -60^\circ$$

$$\mathbf{I}_C = \mathbf{I}_3 - \mathbf{I}_2 = (22 \angle 210^\circ - 22 \angle -30^\circ) = 38,1 \angle 180^\circ$$

- 9.6 Na estrutura de quatro malhas da Fig. 9-13, as correntes de malha são as representadas.  $R$  e os dois capacitores iguais de  $C$  farads são ajustados até que se anule a corrente em  $Z_D$ . Nessa situação mostre que as incógnitas  $R_x$  e  $L_x$  podem ser expressas em termos de  $R$ ,  $C$  e da frequência da fonte,  $\omega$  rad/s.

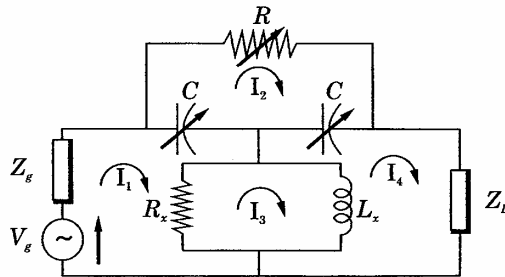


Figura 9-13

tão,  
10 W.  
das três linhas.

As equações de malha sob a forma matricial são:

$$\begin{bmatrix} (R_x + \frac{1}{j\omega C} + Z_g) & -\left(\frac{1}{j\omega C}\right) & -R_x & 0 \\ -\left(\frac{1}{j\omega C}\right) & \left(R + \frac{1}{j\omega C} + \frac{1}{j\omega C}\right) & 0 & -\left(\frac{1}{j\omega C}\right) \\ -R_x & 0 & (R_x + j\omega L_x) & -(j\omega L_x) \\ 0 & -\left(\frac{1}{j\omega C}\right) & -(j\omega L_x) & \left(\frac{1}{j\omega C} + j\omega L_x + Z_D\right) \end{bmatrix} \begin{bmatrix} \mathbf{I}_1 \\ \mathbf{I}_2 \\ \mathbf{I}_3 \\ \mathbf{I}_4 \end{bmatrix} = \begin{bmatrix} \mathbf{V}_g \\ 0 \\ 0 \\ 0 \end{bmatrix}$$

Exprimimos  $\mathbf{I}_4$ , corrente em  $Z_D$  sob a forma de determinante e tornamo-la igual a zero.

$$\mathbf{I}_4 = \frac{\begin{vmatrix} \left(R_z + \frac{1}{j\omega C} + Z_g\right) & -\left(\frac{1}{j\omega C}\right) & -R_x & V_g \\ -\left(\frac{1}{j\omega C}\right) & \left(R + \frac{1}{j\omega C} + \frac{1}{j\omega C}\right) & 0 & 0 \\ -R_x & 0 & (R_x + j\omega L_x) & 0 \\ 0 & -\left(\frac{1}{j\omega C}\right) & -(j\omega L_x) & 0 \end{vmatrix}}{\Delta_z} = 0$$

Desenvolvendo o numerador pelos elementos da quarta coluna, temos:

$$-V_g \begin{vmatrix} -\left(\frac{1}{j\omega C}\right) & \left(R + \frac{1}{j\omega C} + \frac{1}{j\omega C}\right) & 0 \\ -R_x & 0 & (R_x + j\omega L_x) \\ 0 & -\left(\frac{1}{j\omega C}\right) & -(j\omega L_x) \end{vmatrix} = 0$$

Como esse determinante deve ser nulo,

$$-(-R_x)(R + 1/j\omega C + 1/j\omega C)(-j\omega L_x) - (-1/j\omega C)(-1/j\omega C)(R_x + j\omega L_x) = 0$$

onde

9.7 Determinar

Escolhamos correntes

$$\begin{bmatrix} 6 - j8 \\ -(3 - j4) \end{bmatrix}$$

$$\mathbf{I}_1 = \frac{\begin{vmatrix} 220 \\ 220 \\ 6 \\ -(3) \end{vmatrix}}{\Delta_x}$$

$$\mathbf{I}_2 = \frac{\begin{vmatrix} 6 - j8 & 2 \\ -(3 - j4) & 2 \end{vmatrix}}{\Delta_x}$$

As correntes = (25,4/83)

9.8 Empregar a estrutura de impedância

donde  $R_x = 1/(\omega^2 C^2 R)$  e  $L_x = 1/(2\omega^2 C)$

9.7 Determinar as correntes  $I_A$ ,  $I_B$  e  $I_C$  do circuito da Fig. 9-14.

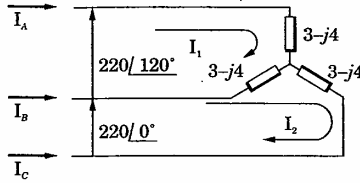


Figura 9-14

Escolhemos as duas correntes de malha indicadas no diagrama. As equações correspondentes sob a forma matricial são:

$$\begin{bmatrix} 6 - j8 & -(3 - j4) \\ -(3 - j4) & 6 - j8 \end{bmatrix} \begin{bmatrix} I_1 \\ I_2 \end{bmatrix} = \begin{bmatrix} 220 \angle 120^\circ \\ 220 \angle 0^\circ \end{bmatrix}$$

$$I_1 = \frac{\begin{vmatrix} 220 \angle 120^\circ & -(3 - j4) \\ 220 \angle 0^\circ & 6 - j8 \end{vmatrix}}{\begin{vmatrix} 6 - j8 & -(3 - j4) \\ -(3 - j4) & 6 - j8 \end{vmatrix}} = \frac{2200 \angle 66,9^\circ + 1100 \angle -53,1^\circ}{100 \angle -106,2^\circ - 25 \angle -106,2^\circ} = \frac{1905 \angle 36,9^\circ}{75 \angle -106,2^\circ}$$

$$= 25,4 \angle 143,1^\circ$$

$$I_2 = \frac{\begin{vmatrix} 6 - j8 & 220 \angle 120^\circ \\ -(3 - j4) & 220 \angle 0^\circ \end{vmatrix}}{\Delta_x} = \frac{2200 \angle -53,1^\circ + 1100 \angle 66,9^\circ}{75 \angle -106,2^\circ} = \frac{1905 \angle -23,2^\circ}{75 \angle -106,2^\circ} = 25,4 \angle 83^\circ$$

As correntes de linha pedidas são  $I_A = I_1 = 25,4 \angle 143,1^\circ$ ,  $I_B = I_2 = I_1 = (25,4 \angle 83^\circ - 25,4 \angle 143,1^\circ) = 25,4 \angle 23,1^\circ$ , e  $I_C = -I_2 = 25,4 \angle -97^\circ$ .

9.8 Empregar o método matricial para determinar a impedância de entrada da estrutura da Fig. 9-15, vista da fonte de 50 volts. Calcular  $I_1$  usando essa impedância.

$\begin{bmatrix} I_1 \\ I_2 \\ I_3 \\ I_4 \end{bmatrix} = \begin{bmatrix} V_g \\ 0 \\ 0 \\ 0 \end{bmatrix}$   
e tornamo-la

$V_g$   
0  
0  
0  
= 0

oluna, temos:

0

$-j\omega L_x = 0$

A impedância de entrada da malha um ou impedância no ponto de excitação é:

$$Z_{i1} = \frac{\Delta_z}{\Delta_{11}} = \frac{\begin{vmatrix} 11 & -5 & 0 \\ -5 & 27 & -4 \\ 0 & -4 & 8 \end{vmatrix}}{\begin{vmatrix} 27 & -4 \\ -4 & 8 \end{vmatrix}} = \frac{2000}{200} = 10\Omega$$

Então,  $I_1 = V_1/Z_{i1} = 50/10 = 5$  ampères.

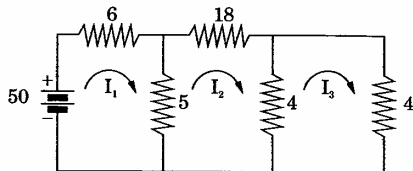


Figura 9-15

9.9 Determinar a corrente de malha  $I_3$  da Fig. 9.15 usando a impedância de transferência.

A fonte se encontra na malha um e a corrente pedida na malha três. A impedância de transferência pedida é

$$Z_{\text{transf}(13)} = \frac{\Delta_z}{\Delta_{13}} = \frac{2000}{\begin{vmatrix} -5 & 27 \\ 0 & -4 \end{vmatrix}} = \frac{2000}{20} = 100\Omega$$

e a corrente de malha  $I_3 = V_1/Z_{\text{transf}(13)} = 50/100 = 0,5$  ampères.

9.10 Calcular a corrente de malha  $I_2$  do circuito da Fig. 9-15, empregando a impedância de transferência.

Como a fonte está na malha um e a corrente pedida na malha dois, a impedância de transferência necessária é

$$Z_{\text{transf}(12)} = \frac{\Delta_z}{\Delta_{12}} = \frac{2000}{(-1) \begin{vmatrix} -5 & -4 \\ 0 & 8 \end{vmatrix}} = \frac{2000}{40} = 50\Omega$$

e  $I_2 = V_1/Z_{\text{transf}(12)} = 50/50 = 1$  ampère.

9.11 Calcular a

As equaçõ

$$\begin{bmatrix} 3 + j14 \\ -j10 \end{bmatrix}$$

donde

$$I_1 = \frac{\begin{vmatrix} 100 \\ 3 \\ - \end{vmatrix}}{\begin{vmatrix} 3 \\ - \end{vmatrix}} = \frac{1000/1}{100}$$

Assim,  $V_x$

A soma ( $\nabla$

9.12 Determina volts no ci

As corren no ramo c uma font utilizada

$$Z_{e1} = \frac{\Delta_z}{\Delta_{11}}$$

9.11 Calcular as tensões  $V_{AB}$  e  $V_{BC}$  da estrutura da Fig. 9-16.

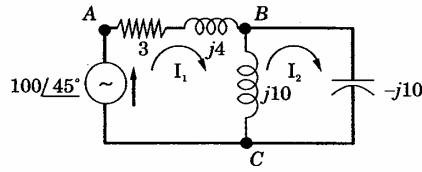


Figura 9-16

As equações das correntes de malha sob a forma matricial são:

$$\begin{bmatrix} 3 + j14 & -j10 \\ -j10 & 0 \end{bmatrix} \begin{bmatrix} I_1 \\ I_2 \end{bmatrix} = \begin{bmatrix} 100 / 45^\circ \\ 0 \end{bmatrix}$$

donde

$$I_1 = \frac{\begin{vmatrix} 100 / 45^\circ & -j10 \\ 0 & 0 \end{vmatrix}}{\begin{vmatrix} 3 + j14 & -j10 \\ -j10 & 0 \end{vmatrix}} = \frac{0}{100} = 0, \quad I_2 = \frac{\begin{vmatrix} 3 + j14 & 100 / 45^\circ \\ -j10 & 0 \end{vmatrix}}{\Delta_z} =$$

$$= \frac{1000 / 135^\circ}{100} = 10 / 135^\circ$$

Assim,  $V_{AB} = I_1(3 + j4) = 0$  e  $V_{BC} = I_2(-j10) = (10 / 135^\circ)(10 / -90^\circ) = 100 / 45^\circ$ .

A soma ( $V_{AB} + V_{BC}$ ) =  $100 / 45^\circ$ , valor do fasor tensão aplicado.

9.12 Determinar as três componentes do triângulo das potências da fonte de  $10 / 30^\circ$  volts no circuito da Fig. 9-17.

As correntes de malha são escolhidas conforme indica a figura, circulando no ramo que contém a fonte apenas a corrente  $I_1$ . Uma vez que só existe uma fonte no circuito, a impedância no ponto de excitação pode ser utilizada para a determinação de  $I_1$ .

$$Z_{e1} = \frac{\Delta_z}{\Delta_{11}} = \frac{\begin{vmatrix} 8 - j2 & -3 & 0 \\ -3 & 8 + j5 & -5 \\ 0 & -5 & 7 - j2 \end{vmatrix}}{\begin{vmatrix} 8 + j5 & -5 \\ -5 & 7 - j2 \end{vmatrix}} = \frac{315 / 16,2^\circ}{45,1 / 24,9^\circ} = 6,98 / -8,7^\circ$$

e  $I_1 = V_1/Z_{i1} = (10 \angle 30^\circ)/(6,98 \angle -8,7^\circ) = 1,43 \angle 38,7^\circ$

A potência de saída da fonte é  $P = V_1 I_1 \cos \theta = 10(1,43) \cos 8,7 = 14,1$  W. A potência reativa  $Q = V_1 I_1 \sin 8,7^\circ = 2,16$  VAR adiantada. A potência aparente  $N = V_1 I_1 = 14,3$  VA.

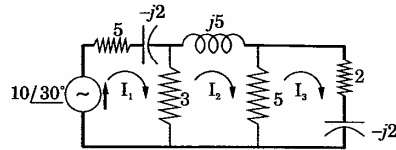


Figura 9-17

9.13 Determinar  $I_2$  e  $I_3$  no circuito da Fig. 9-17, empregando as impedâncias de transferência.

A fonte está na malha um e a corrente pedida é a da malha dois: usa-se a impedância de transferência  $Z_{\text{transf}(12)}$ :

$$Z_{\text{transf}(12)} = \frac{\Delta_z}{\Delta_{12}} = \frac{315 \angle 16,2^\circ}{(-1) \begin{vmatrix} -3 & -5 \\ 0 & 7 - j2 \end{vmatrix}} = \frac{315 \angle 16,2^\circ}{21,8 \angle -16^\circ} = 14,45 \angle 32,2^\circ$$

Logo,  $I_2 = V_1/Z_{\text{transf}(12)} = (10 \angle 30^\circ)/(14,45 \angle 32,2^\circ) = 0,693 \angle -2,2^\circ$

Da mesma maneira,

$$Z_{\text{transf}(13)} = \frac{\Delta_z}{\Delta_{13}} = \frac{315 \angle 16,2^\circ}{\begin{vmatrix} -3 & 8 + j5 \\ 0 & -5 \end{vmatrix}} = \frac{315 \angle 16,2^\circ}{15} = 21 \angle 16,2^\circ$$

e  $I_3 = V_1/Z_{\text{transf}(13)} = (10 \angle 30^\circ)/(21 \angle 16,1^\circ) = 0,476 \angle 13,8^\circ$

9.14 Calcular a potência no circuito resistivo da Fig. 9-17 e compará-la com a potência de saída da fonte.

Dos Probs. 9-12 e 9-13:  $I_1 = 1,43 \angle 38,7^\circ$ ;  $I_2 = 0,693 \angle -2,2^\circ$ ;  $I_3 = 0,476 \angle 13,8^\circ$ .

A potência no primeiro resistor de 5 ohms é  $P = 5(I_1)^2 = 5(1,43)^2 = 10,2$  watts. No resistor de 3 ohms, duas correntes de malha se combinam para dar a corrente no ramo  $(I_1 - I_2) = (1,115 + j0,895) - (0,693 - j0,027) =$

$= 0,422 +$   
também,  
 $= 0,693$   
potência  
é  $P = 2 ($

A potênc:  
igual à p

9.15 A fonte V.  
Determina:  
A corren:

$$I_3 = \frac{V}{2}$$

mos:

$$I_3 = \frac{\begin{vmatrix} 8 - j \\ -3 \\ 0 \end{vmatrix}}{\begin{vmatrix} 8 - j2 \\ -3 \\ 0 \end{vmatrix}}$$

Então:

$$V_1 = \frac{0,1}{0,1}$$

$= 0,422 + j0,922 = 1,01/65,4^\circ$ ; logo,  $P = 3(1,01)^2 = 3,06$  watts. Assim, também, a corrente no ramo que contém o resistor de 5 ohms é  $(I_2 - I_3) = (0,693 - j0,027) - (0,462 + j0,113) = (0,231 - j0,140) = 0,271/-31,2^\circ$  e a potência  $P = 5(0,271)^2 = 0,367$  watts. A potência no resistor de 2 ohms é  $P = 2(I_3)^2 = 2(0,476)^2 = 0,543$  watts.

A potência total no circuito é  $P_T = 10,2 + 3,06 + 0,367 + 0,453 + 14,1$  watts, igual à potência de saída do Probl. 9-12.

**9.15** A fonte  $V_1$  do circuito da Fig. 9-18 acarreta uma tensão  $V_0$  na impedância  $2 - j2$ . Determinar a fonte  $V_1$ , que corresponde a  $V_0 = 5/0^\circ$ .

A corrente de malha  $I_3$ , com a tensão dada  $V_0$  é:

$$I_3 = \frac{V_0}{2 - j2} = \frac{5/0^\circ}{2\sqrt{2} / -45^\circ} = 1,76 / 45^\circ.$$

Sob a forma de determinante, temos:

$$I_3 = \frac{\begin{vmatrix} 8 - j2 & -3 & V_1 \\ -3 & 8 + j5 & 0 \\ 0 & -5 & 0 \end{vmatrix}}{\begin{vmatrix} 8 - j2 & -3 & 0 \\ -3 & 8 + j5 & -5 \\ 0 & -5 & 7 - j2 \end{vmatrix}} = V_1 \frac{\begin{vmatrix} -3 & 8 + j5 \\ 0 & -5 \end{vmatrix}}{315 / 16,2^\circ} = V_1(0,0476 / -16,2^\circ)$$

Então:

$$V_1 = \frac{I_3}{0,0476 / -16,2^\circ} = \frac{1,76 / 45^\circ}{0,0476 / -16,2^\circ} = 36,9 / 61,2^\circ$$

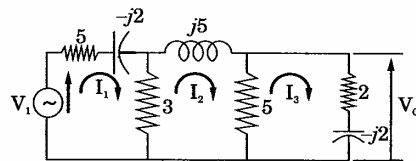


Figura 9-18

- 9.16 Quando o circuito da Fig. 9-19 é ligado a uma carga de alta impedância, a tensão de saída  $V_0$  é dada pela queda de tensão na impedância  $5 - j5$ . Determinar a função de transferência de tensão,  $V_0/V_i$ , do circuito.

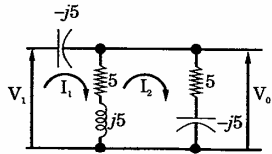


Figura 9-19

Para as duas correntes de malha escolhidas, as equações correspondentes, sob a forma matricial, são

$$\begin{bmatrix} 5 & -(5 + j5) \\ -(5 + j5) & 10 \end{bmatrix} \begin{bmatrix} I_1 \\ I_2 \end{bmatrix} = \begin{bmatrix} V_i \\ 0 \end{bmatrix}$$

A tensão de saída  $V_0$  é

$$V_0 = I_2(5 - j5) = (5 - j5) \frac{\begin{vmatrix} 5 & V_i \\ -(5 + j5) & 0 \end{vmatrix}}{\begin{vmatrix} 5 & -(5 + j5) \\ -(5 + j5) & 10 \end{vmatrix}} = \frac{(5 - j5)(5 + j5)V_i}{(50 - j50)} =$$

$$= \frac{50V_i}{50\sqrt{2} \angle -45^\circ}$$

onde 
$$\frac{V_0}{V_i} = \frac{50}{50\sqrt{2} \angle -45^\circ} = 0,707 \angle 45^\circ$$

- 9.17 O circuito da Fig. 9-20 contém duas fontes. Achar a corrente devida a cada fonte, na impedância  $2 + j3$ .

As correntes de malha estão escolhidas de modo que a corrente na impedância pedida é dada diretamente pela corrente de malha  $I_2$ . Assim, sob a forma matricial, as equações são:

$$\begin{bmatrix} 5 + j5 & -j5 & 0 \\ -j5 & 8 + j8 & -6 \\ 0 & -6 & 10 \end{bmatrix} \begin{bmatrix} I_1 \\ I_2 \\ I_3 \end{bmatrix} = \begin{bmatrix} 30 \angle 0^\circ \\ 0 \\ -20 \angle 0^\circ \end{bmatrix}$$

O deter

$$\Delta_z = \begin{vmatrix} 5 \\ \end{vmatrix}$$

O deter  
segunda

$$\begin{vmatrix} 5 \\ \end{vmatrix}$$

$$I_2 = -$$

+ (-20,

$$(20 \angle 0^\circ)$$

A corre:  
que ori:  
corrent

- 9.18 Com rel  
cada um

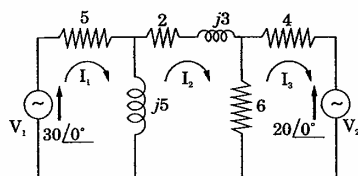


Figura 9-20

O determinante da impedância é:

$$\Delta_z = \begin{vmatrix} 5 + j5 & -j5 & 0 \\ -j5 & 8 + j8 & -6 \\ 0 & -6 & 10 \end{vmatrix} = 70 + j620 = 624 \angle 83,55^\circ.$$

O determinante do numerador de  $I_2$  é desenvolvido pelos elementos da segunda coluna

$$I_2 = \frac{\begin{vmatrix} 5 + j5 & 30 \angle 0^\circ & 0 \\ -j5 & 0 & -6 \\ 0 & -20 \angle 0^\circ & 10 \end{vmatrix}}{\Delta_z} = \frac{(30 \angle 0^\circ) \begin{vmatrix} -j5 & -6 \\ 0 & 10 \end{vmatrix} + 0 + (-20 \angle 0^\circ) \begin{vmatrix} 5 + j5 & 0 \\ -j5 & -6 \end{vmatrix}}{\Delta_z}$$

$$= \frac{(30 \angle 0^\circ)(-60) + (-20 \angle 0^\circ)(-30 \angle 0^\circ)}{624 \angle 83,55^\circ}$$

$$= \frac{-1800 + 600}{624 \angle 83,55^\circ} = \frac{-1200}{624 \angle 83,55^\circ} = 1,92 \angle -83,55^\circ$$

A corrente que origina a fonte  $V_1$  pela impedância  $2 + j3$  é  $2,41 \angle 6,45^\circ$  e a que origina  $V_2$  é  $1,36 \angle 141,45^\circ$ . A soma destas intensidades é o valor da corrente  $I_2$ ; quer dizer,  $I_2 = 2,41 \angle 6,45^\circ + 1,36 \angle 141,45^\circ = 1,74 \angle 40,1^\circ$ .

9.18 Com relação ao circuito da Fig. 9-20, determinar (a) a potência fornecida por cada uma das fontes de tensão e (b) a potência em cada resistor.

(a) A corrente no ramo que contém a fonte  $V_1$  é:

$$I_1 = \frac{\begin{vmatrix} 30 \angle 0^\circ & -j5 & 0 \\ 0 & 8 + j8 & -6 \\ -20 \angle 0^\circ & -6 & 10 \end{vmatrix}}{\Delta_z} = \frac{2240 \angle 53,8^\circ}{624 \angle 83,55^\circ} = 3,59 \angle -29,75^\circ$$

Potência de saída dessa fonte:  $P_1 = V_1 I_1 \cos \theta = 30(3,59) \cos 29,75^\circ = 93,5$  watts.

A potência no ramo que contém  $V_2$  é:

$$I_3 = \frac{\begin{vmatrix} 5 + j5 & -j5 & 30 \angle 0^\circ \\ -j5 & 8 + j8 & 0 \\ 0 & -6 & -20 \angle 0^\circ \end{vmatrix}}{\Delta_z} = \frac{860 \angle -125,6^\circ}{624 \angle 83,55^\circ} = 1,38 \angle -209,15^\circ$$

Observe-se que  $V_2$  e  $I_3$  não são do mesmo sentido. A potência de saída é  $P_2 = V_2(I_3) \cos \theta = (20)(1,38) \cos(-209,15^\circ) = 24,1$  watts. Logo, a potência total é

$$P_T = P_1 + P_2 = 93,5 + 24,1 = 117,6 \text{ watts.}$$

(b) A potência no resistor de 5 ohms é  $P_5 = 5(I_1)^2 = 5(3,59)^2 = 64,5$  watts. No resistor de 2 ohms,  $P_2 = 2(I_2)^2 = 2(1,74)^2 = 6,05$  watts. A corrente no ramo do resistor de 6 ohms é  $(I_2 - I_3) = (1,33 + j1,12) - (-1,205 + j0,672) = 2,535 + j0,45 = 2,57 \angle 10,1^\circ$ ; então,  $P_6 = 6(2,57)^2 = 39,6$  watts. A potência no resistor de 4 ohms é  $P_4 = 4(I_3)^2 = 4(1,38)^2 = 7,61$  watts. Logo, a potência total é:

$$P_T = 64,5 + 6,05 + 39,6 + 7,61 = 117,76 \text{ watts.}$$

**9.19** O circuito da Fig. 9-21 contém duas fontes de tensão  $V_1$  e  $V_2$ . Supondo  $V_1 = 30 \angle 0^\circ$ , determinar  $V_2$ , de modo que seja nula a corrente na impedância  $2 + j3$ .

Escolhem-se as correntes de malha, conforme a figura indica, passando apenas uma corrente pela impedância  $2 + j3$ . O conjunto de equações correspondentes, na forma matricial, é:

$$\begin{bmatrix} 5 + j5 \\ -j5 \\ 0 \end{bmatrix}$$

onde

$$I_2 = \begin{bmatrix} 5 \\ - \\ - \end{bmatrix}$$

Desenvol

$$-30$$

$$-30$$

e  $V_2$

Outra so  
iguais as

$$I_1(j5) = I_2$$

Substitu

$$\frac{30 \angle 0^\circ}{5 + j5} (j)$$

**9.20** Na Fig. 9- seja nula

$$\begin{bmatrix} 5 + j5 & -j5 & 0 \\ -j5 & 8 + j8 & 6 \\ 0 & 6 & 10 \end{bmatrix} \begin{bmatrix} \mathbf{I}_1 \\ \mathbf{I}_2 \\ \mathbf{I}_3 \end{bmatrix} = \begin{bmatrix} 30 \angle 0^\circ \\ 0 \\ \mathbf{V}_2 \end{bmatrix}$$

onde

$$\mathbf{I}_2 = \frac{\begin{vmatrix} 5 + j5 & 30 \angle 0^\circ & 0 \\ -j5 & 0 & 6 \\ 0 & \mathbf{V}_2 & 10 \end{vmatrix}}{\Delta_z} = 0$$

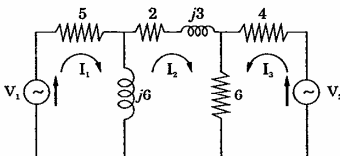


Figura 9-21

Desenvolvendo, temos:

$$-30 \angle 0^\circ \begin{vmatrix} -j5 & 6 \\ 0 & 10 \end{vmatrix} - \mathbf{V}_2 \begin{vmatrix} 5 + j5 & 0 \\ -j5 & 6 \end{vmatrix} = 0$$

$$-30 \angle 0^\circ (50 \angle -90^\circ) - \mathbf{V}_2 (6)(5\sqrt{2} \angle 45^\circ) = 0$$

$$e \quad \mathbf{V}_2 = \frac{-30 \angle 0^\circ (50 \angle -90^\circ)}{6(5\sqrt{2} \angle 45^\circ)} = 35,4 \angle 45^\circ$$

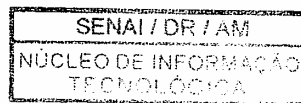
**Outra solução** Se não passa corrente no ramo  $2 + j3$ ,  $\mathbf{I}_2 = 0$  e devem ser iguais as quedas de tensão na reatância  $j5$  e na resistência de 6 ohms, isto é,

$$\mathbf{I}_1(j5) = \mathbf{I}_3(6)$$

$$\text{Substituindo, } \mathbf{I}_1 = 30 \angle 0^\circ / (5 + j5) \quad e \quad \mathbf{I}_3 = \mathbf{V}_2 / 10,$$

$$\frac{30 \angle 0^\circ}{5 + j5} (j5) = \frac{\mathbf{V}_2}{10} (6) \quad \text{donde} \quad \mathbf{V}_2 = \frac{30 \angle 90^\circ}{\sqrt{2} \angle 45^\circ} \left( \frac{10}{6} \right) = 35,4 \angle 45^\circ$$

**9.20** Na Fig. 9-21 tem-se  $\mathbf{V}_2 = 20 \angle 0^\circ$ . Determinar a fonte de tensão  $\mathbf{V}_1$ , de modo que seja nula a corrente no ramo que contém  $\mathbf{V}_2$ .



Empregando-se as correntes de malha escolhidas no Probl. 9-19, escreva-se a expressão de  $I_3$ , sob a forma de determinante, e iguale-se seu valor a zero:

$$I_3 = \frac{\begin{vmatrix} 5 + j5 & -j5 & V_1 \\ -j5 & 8 + j8 & 0 \\ 0 & 6 & 20 \angle 0^\circ \end{vmatrix}}{\Delta_z} = 0$$

Desenvolvendo, temos:

$$V_1 \begin{vmatrix} -j5 & 8 + j8 \\ 0 & 6 \end{vmatrix} + 20 \angle 0^\circ \begin{vmatrix} 5 + j5 & -j5 \\ -j5 & 8 + j8 \end{vmatrix} = 0$$

$$V_1 (30 \angle -90^\circ) + 20 \angle 0^\circ (25 + j80) = 0$$

e 
$$V_1 = \frac{-20 \angle 0^\circ (25 + j80)}{30 \angle -90^\circ} = 55,8 \angle -17,4^\circ$$

**Problemas Propostos**

- 9.21 Determinar o número de correntes de malha necessário à solução de cada um dos circuitos apresentados nas Figs. 9-22(a-f). Empregar dois métodos diferentes em cada circuito.  
 Resp.: (a) 5; (b) 4; (c) 3; (d) 4; (e) 4; (f) 5.

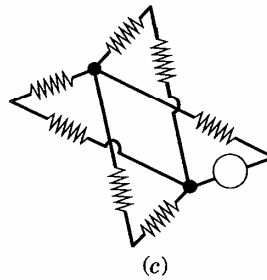
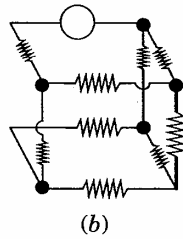
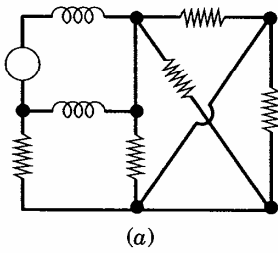


Figura 9-22



- 9.22 Determinar o número de correntes de malha necessário à solução de cada um dos circuitos apresentados nas Figs. 9-22(a-f). Empregar dois métodos diferentes em cada circuito.  
 Resp.: 4, 4

- 9.23 Determinar o número de correntes de malha necessário à solução de cada um dos circuitos apresentados nas Figs. 9-22(a-f). Empregar dois métodos diferentes em cada circuito.  
 Resp.:  $I_A$

- 9.24 Achar as correntes de malha em cada um dos circuitos apresentados nas Figs. 9-22(a-f).  
 Resp.: 26

9-19, escreva-se seu valor a

$$\frac{5}{j8} = 0$$

ção de cada um métodos diferen-

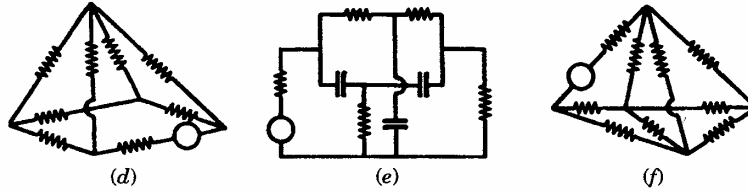
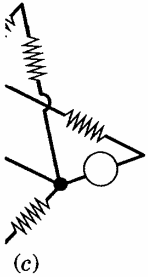


Figura 9-22

9.22 Determinar a corrente no resistor de 3 ohms do circuito da Fig. 9-23. O diagrama mostra o sentido positivo.  
 Resp.:  $4,47 \angle -63,4^\circ$ .

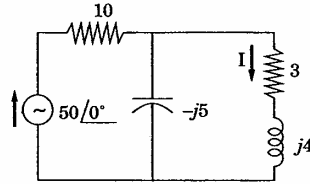


Figura 9-23

9.23 Determinar as correntes  $I_A$ ,  $I_B$  e  $I_C$  no circuito da Fig. 9-24.  
 Resp.:  $I_A = 12,1 \angle 46,4^\circ$ ;  $I_B = 19,1 \angle -47,1^\circ$ ;  $I_C = 22,1 \angle 166,4^\circ$ .

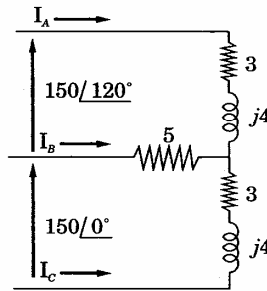


Figura 9-24

9.24 Achar as correntes  $I_A$ ,  $I_B$  e  $I_C$  da Fig. 9-25.  
 Resp.:  $26 \angle 45^\circ$ ;  $26 \angle -75^\circ$ ;  $26 \angle -195^\circ$ .

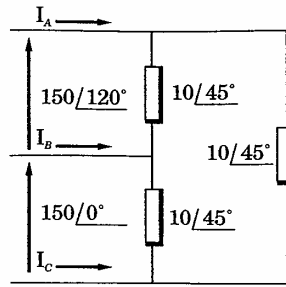


Figura 9-25

- 9.25 Determinar a tensão  $V_{AB}$  do circuito da Fig. 9-26, por meio das correntes de malha.  
 Resp.:  $V_{AB} = 75,4/55,2^\circ$ .

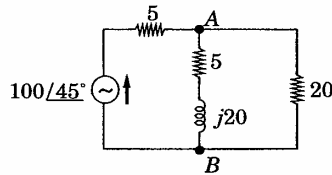


Figura 9-26

- 9.26 Calcular a tensão eficaz da fonte  $V$  da Fig. 9-27, de modo que seja de 100 watts a potência no resistor de 5 ohms.  
 Resp.: 40,3 volts.

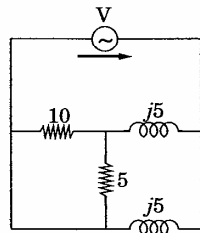


Figura 9-27

- 9.27 Escolher cc segunda es  
 Resp.: (61)

- 9.28 No circuito cada uma  
 Resp.:  $P_1 =$   
 $P_1 =$

- 9.29 Determinar circuito de  
 Resp.:  $P =$

- 9.30 Na Fig. 9- indicados circuito.  
 Resp.:  $P_1$

- 9.27 Escolher correntes de malha para o circuito da Fig. 9-28 e calcular  $\Delta_z$ . Fazer uma segunda escolha de correntes e, novamente, calcular  $\Delta_z$ .  
 Resp.:  $(61 - j15)$ .

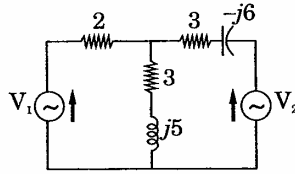


Figura 9-28

- 9.28 No circuito da Fig. 9-28,  $V_1$  e  $V_2$  são, ambas, de  $50\angle 0^\circ$ . Qual a potência que cada uma fornece ao circuito? Repetir, invertendo o sentido da fonte  $V_2$ .  
 Resp.:  $P_1 = 191$  W;  $P_2 = 77,1$  W.  
 $P_1 = 327$  W;  $P_2 = 214$  W.

- 9.29 Determinar a potência fornecida pela fonte e a potência em cada resistor do circuito de duas malhas da Fig. 9-29.  
 Resp.:  $P = 36,7$  W;  $P_1 = 2,22$  W;  $P_2 = 27,8$  W e  $P_3 = 6,66$  W.

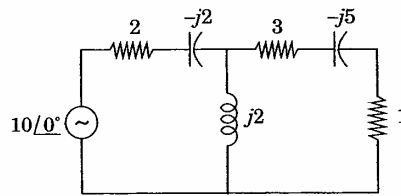


Figura 9-29

- 9.30 Na Fig. 9-30,  $V_1$  e  $V_2$  são fontes idênticas, de  $10\angle 90^\circ$  volts, com os sentidos indicados no diagrama. Determinar a potência que cada fonte fornece ao circuito.  
 Resp.:  $P_1 = 11,0$  W;  $P_2 = 9,34$  W.

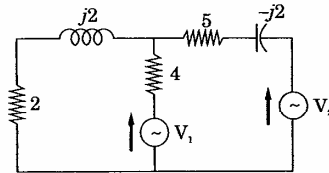


Figura 9-30

9.31 Determinar a corrente na impedância  $3 + j4$  do circuito da Fig. 9-31.

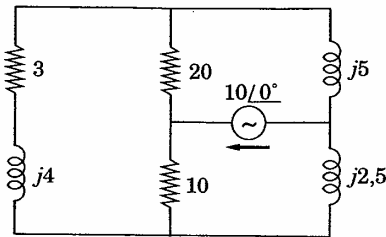


Figura 9-31

9.32 O circuito da Fig. 9-32 é chamado ponte de Hay. Escolher as correntes de malha, de modo que apenas uma circule em  $Z_D$  e escrever as equações sob a forma matricial. Expressar a corrente em  $Z_D$  sob a forma de determinante e igualá-la a zero. Achar  $R_x$  e  $L_x$  em função das outras constantes da ponte.

Resp.:  $R_x = \frac{\omega^2 C_1^2 R_1 R_2 R_4}{1 + (\omega R_1 C_1)^2}$ ,  $L_x = \frac{C_1 R_2 R_4}{1 + (\omega R_1 C_1)^2}$

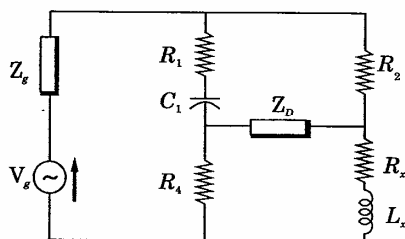


Figura 9-32

9.35 Determina  
Resp.: 0,1

9.33 A Fig. 9-33 apresenta o circuito da ponte de Owen. Determinar  $R_x$  e  $L_x$  em termos das demais constantes da ponte, quando é nula a corrente em  $Z_D$ .

Resp.:  $R_x = \frac{C_1}{C_4} R_2$ ,  $L_x = C_1 R_2 R_4$ .

9.34 O circuito da Fig. 9-34 é o de uma ponte de comparação de indutâncias. Escolher as correntes de malha e escrever as equações sob a forma matricial. Determinar  $R_x$  e  $L_x$  sendo nula a corrente  $Z_D$ .

Resp.:  $R_x = \frac{R_2}{R_1} R_4$ ,  $L_x = \frac{R_2}{R_1} R_4$ .

9.36 Determina  
Resp.: 0,1

9.37 Calcular V  
Resp.: 1,5

-31.

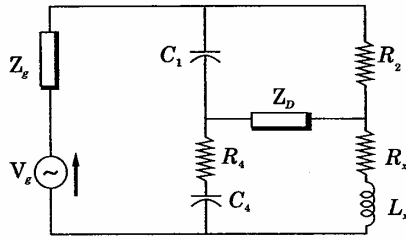


Figura 9-33

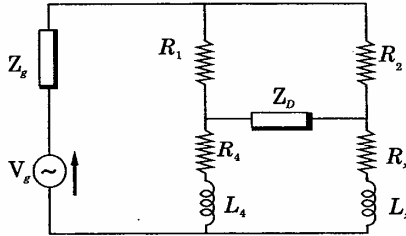


Figura 9-34

- 9.35 Determinar a função de transferência da tensão  $V_o/V_i$  no circuito da Fig. 9-35.  
 Resp.:  $0,139/90^\circ$ .

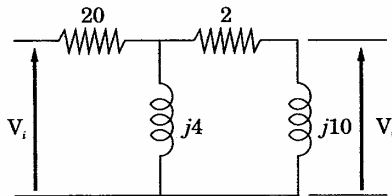


Figura 9-35

- 9.36 Determinar a função de transferência da tensão  $V_o/V_i$  no circuito da Fig. 9-36.  
 Resp.:  $0,159/-61,4^\circ$ .
- 9.37 Calcular  $V_o$  com a polaridade indicada, no circuito da Fig. 9-37.  
 Resp.:  $1,56/128,7^\circ$ .

entes de malha,  
 es sob a forma  
 te e igualá-la a

$L_x$  e  $L_x$  em termos  
 $Z_D$ .

de indutâncias.  
 forma matricial.

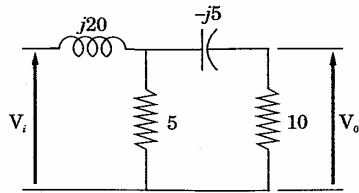


Figura 9-36

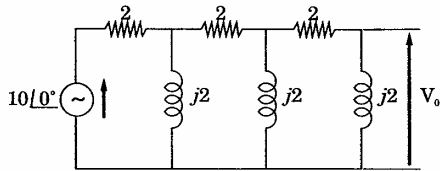


Figura 9-37

9.38 Determinar a potência em cada um dos três resistores do circuito da Fig. 9-38.  
 Resp.: 471 W; 47,1 W; 471 W.

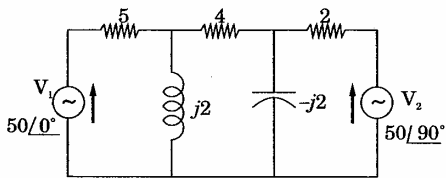


Figura 9-38

9.39 Calcular a potência fornecida por cada uma das fontes do circuito da Fig. 9-38.  
 Resp.:  $P_1 = 422$  W;  $P_2 = 565$  W.

9.40 Achar a corrente  $I_3$  no circuito da Fig. 9-39.  
 Resp.:  $1,38 \angle -209,15^\circ$ .

9.41 Determinar a corrente  $I_3$  no circuito da Fig. 9-40.  
 Resp.:  $11,6 \angle 113,2^\circ$ .

9.42 No circuito  
 Resp.:  $-j\tilde{c}$

9.43 As três c  
 principais  
 Resp.: 4,;

9.44 Escolhida  
 $Z_{\text{transf}(12)} \in$   
 Resp.: 20

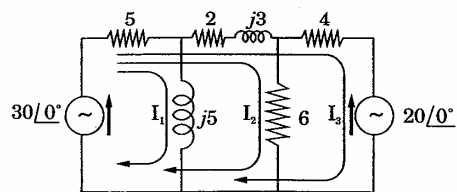


Figura 9-39

- 9.42 No circuito da Fig. 9-40, determinar a razão de correntes  $I_1/I_3$ .  
 Resp.:  $-j3,3$ .

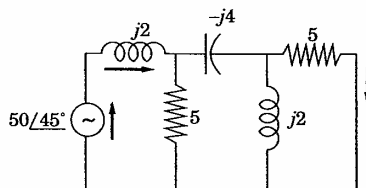


Figura 9-40

- 9.43 As três correntes de malha do circuito da Fig. 9-41 pertencem às malhas principais. Calcular  $Z_{\text{transf}(13)}$  e  $Z_{\text{transf}(31)}$ .  
 Resp.:  $4,3/\underline{-68,2^\circ}$  para ambas.

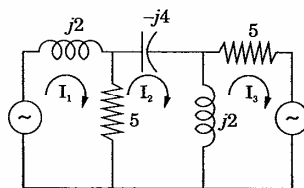


Figura 9-41

- 9.44 Escolhidas as correntes indicadas nas três malhas da Fig. 9-42, determinar  $Z_{it}$ ,  $Z_{\text{transf}(12)}$  e  $Z_{\text{transf}(13)}$ .  
 Resp.:  $20,2/\underline{-36,1^\circ}$ ;  $17,4/\underline{-71,6^\circ}$ ;  $6,82/\underline{-82,9^\circ}$ .

ito da Fig. 9-38.

ito da Fig. 9-38.

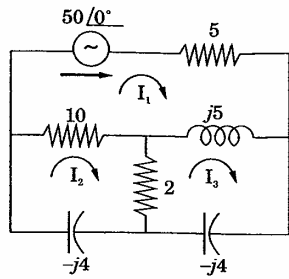


Figura 9-42

9.45 Na Fig. 9-43, acrescentou-se uma fonte  $V_3$  ao circuito da Fig. 9-42. Determinar  $V_3$  de modo que  $I_1$  seja nula.  
 Resp.:  $16,8/133,2^\circ$ .

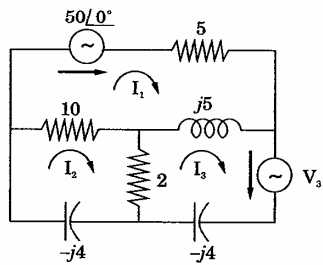


Figura 9-43

9.46 Na Fig. 9-44, acrescentou-se uma fonte  $V_2$  ao circuito da Fig. 9-42. Calcular  $V_2$  para ter  $I_1$  igual a zero.  
 Resp.:  $42,9/144,5^\circ$ .

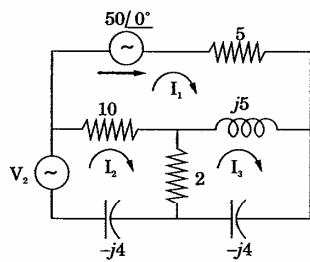


Figura 9-44

9.47 Determinar o resistor  $R$  de modo que a potência dissipada no resistor seja máxima.  
 Resp.:  $26$

9.48 Supondo  $V_1 = 100$  V, determinar a potência dissipada no resistor  $R$ .  
 Resp.:  $V_1$

9.49 Dadas as condições anteriores, determinar a potência dissipada no resistor  $R$ .  
 Resp.:  $12$

9.50 Determinar o valor de  $V_2$  para que a potência dissipada no resistor  $R$  seja máxima.  
 Resp.:  $V_2$

- 9.47 Determinar  $V_2$  no circuito da Fig. 9-45, de modo que seja nula a corrente no resistor de 4 ohms.  
 Resp.:  $26,3/113,2^\circ$ .

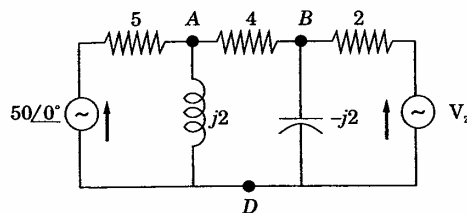


Figura 9-45

- 9.48 Supondo, na Fig. 9-45,  $V_2 = 26,3/113,2^\circ$  volts, determinar  $V_{AD}$  e  $V_{BD}$ .  
 Resp.:  $V_{AD} = V_{BD} = 18,5/68,1^\circ$ .
- 9.49 Dadas as correntes de malha da Fig. 9-46, determinar  $Z_{\text{transf}(13)}$  e calcular  $I_3$  com o auxílio dessa impedância de transferência.  
 Resp.:  $12,8/-38,7^\circ$  ohms;  $0,782/38,7^\circ$  ampères.

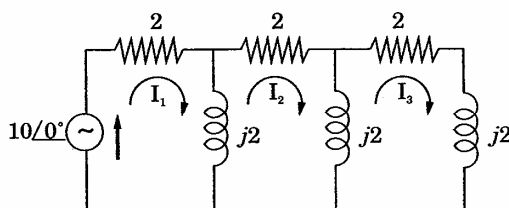


Figura 9-46

- 9.50 Determinar  $V_2$ , no circuito da Fig. 9-47, de modo que seja nula a corrente nessa fonte  $V_2$ .  
 Resp.:  $V_2 = 4/180^\circ$ .

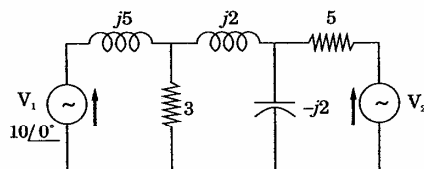


Figura 9-47

9.42. Determinar

9.42. Calcular  $V_2$

- 9.51 Determinar o módulo da tensão da fonte  $V_1$  da Fig. 9-48, de modo que seja de 20 volts o valor eficaz da tensão no resistor de 5 ohms.  
 Resp.: 60,1 volts.

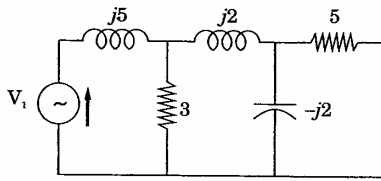
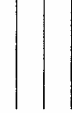


Figura 9-48



MAKRON  
Books



### Introdução

No Ca  
 resolução de es  
 a aplicação de  
 mesma solução  
 lei de Kirchof

### Tensões de

Um *no*  
*de circuito*. Se  
*principal* ou *ju*  
 Fig. 10-1, A, B,  
 no nó é a tensã  
 nó de referênci

\* N. T. É com  
 circuito.

MAKRON  
Books

## ANÁLISE DE ESTRUTURAS PELAS TENSÕES DOS NÓS

### Introdução

No Capítulo 9, estabeleceu-se o método das correntes de malha, para a resolução de estruturas, ou circuitos, pela escolha de correntes de malha e com a aplicação da lei de Kirchhoff para as tensões. Neste capítulo, obtém-se a mesma solução com a introdução de equações estabelecidas com a aplicação da lei de Kirchhoff para as correntes. Este é o chamado *método das tensões dos nós*.

### Tensões dos Nós

Um *nó* é um ponto de uma estrutura comum a *dois ou mais elementos de circuito*. Se *três ou mais elementos* se unirem em um nó, este é chamado *nó principal* ou *junção*.\* A cada nó pode-se atribuir um número ou uma letra. Na Fig. 10-1, A, B, 1, 2 e 3 são nós e 1, 2 e 3 são nós principais ou junções. Tensão no nó é a tensão de um determinado nó, referente a um nó particular, chamado *nó de referência*. Escolhemos, na Fig. 10-1, o nó 3 como nó de referência.  $V_{13}$  é a

\* N. T. É comum chamar-se *nó*, simplesmente, a um ponto comum a três ou mais ramos de um circuito.

tensão entre os nós 1 e 3 e  $V_{23}$  é a tensão entre os nós 2 e 3. Poderemos, portanto, escrever  $V_1$  em lugar de  $V_{13}$ , e  $V_2$  em lugar de  $V_{23}$ .

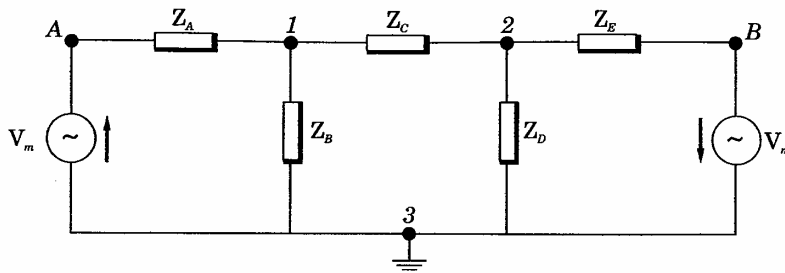


Figura 10-1 Nós de uma estrutura.

O método das tensões dos nós consiste em se determinarem as tensões de todos os nós principais, referidas ao nó de referência. Aplicamos, então, a lei de Kirchhoff para as correntes às junções 1 e 2, obtendo-se duas equações com as incógnitas  $V_1$  e  $V_2$ . Na Fig. 10-2 destacamos o nó 1 com todos os seus ramos. Suponhamos todas as correntes dos ramos saindo do nó. Como a soma dessas correntes deve ser nula,

$$\frac{V_1 - V_m}{Z_A} + \frac{V_1}{Z_B} + \frac{V_1 - V_2}{Z_C} = 0 \quad (1)$$

Ao escrever-se (1), a escolha do sentido das correntes é arbitrária. Ver Probl. 10-1.

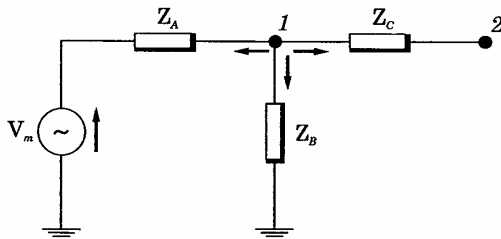


Figura 10-2

Repetimos o procedimento para o nó 2, mostrado na Fig. 10-3. A equação resultante é:

Reagr

Como

### Número de

Com o  
 todos os nós de  
 ao número de  
 dos nós e das c  
 a solução de u  
 circuito com d  
 malhas que de  
 para a sua sol

3. Poderemos,

$$\frac{V_2 - V_1}{Z_C} + \frac{V_2}{Z_D} + \frac{V_2 + V_n}{Z_E} = 0 \tag{2}$$

Reagrupando termos em (1) e (2), o sistema de duas equações fica:

$$\begin{aligned} \left(\frac{1}{Z_A} + \frac{1}{Z_B} + \frac{1}{Z_C}\right)V_1 - \left(\frac{1}{Z_C}\right)V_2 &= \left(\frac{1}{Z_A}\right)V_m \\ -\left(\frac{1}{Z_C}\right)V_1 + \left(\frac{1}{Z_C} + \frac{1}{Z_D} + \frac{1}{Z_E}\right)V_2 &= -\left(\frac{1}{Z_E}\right)V_n \end{aligned} \tag{3}$$

Como  $1/Z = Y$ , o sistema (3) pode ser reescrito em função das admitâncias:

$$\begin{aligned} (Y_A + Y_B + Y_C)V_1 - Y_C V_2 &= Y_A V_m \\ -Y_C V_1 + (Y_C + Y_D + Y_E)V_2 &= -Y_E V_n \end{aligned} \tag{4}$$

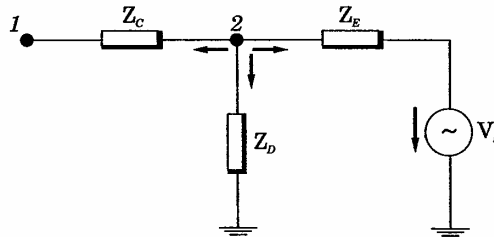


Figura 10-3

### Número de Equações dos Nós

Com exceção do nó de referência, podem-se escrever equações para todos os nós de uma estrutura. Assim, o número necessário de equações é igual ao número de nós principais menos um. Dispondo-se dos métodos das tensões dos nós e das correntes de malha, a escolha do que seja mais conveniente para a solução de uma dada estrutura ou circuito depende da sua configuração. Um circuito com diversos ramos em paralelo, geralmente, tem maior número de malhas que de nós, exigindo, portanto, um menor número de equações dos nós para a sua solução. Ver Probl. 9.6 e 10.4. Pode ocorrer que o número de malhas

tem as tensões  
os, então, a lei  
equações com  
os seus ramos.  
a soma dessas

(1)

arbitrária. Ver

Fig. 10-3. A

seja igual ao de nós ou que existam mais nós que malhas. Deve escolher-se sempre o método que exigir o menor número de equações.

### Equações dos Nós por Inspeção

Um circuito que contenha quatro nós principais exige três equações de nós para a sua solução. Pela notação geral, essas equações são

$$\begin{aligned} Y_{11} V_1 + Y_{12} V_2 + Y_{13} V_3 &= I_1 \\ Y_{21} V_1 + Y_{22} V_2 + Y_{23} V_3 &= I_2 \\ Y_{31} V_1 + Y_{32} V_2 + Y_{33} V_3 &= I_3 \end{aligned} \quad (5)$$

$Y_{11}$  é a auto-admitância (ou admitância própria) do nó 1, dada pela soma de todas as admitâncias ligadas ao nó 1. Do mesmo modo,  $Y_{22}$  e  $Y_{33}$  são as admitâncias próprias dos nós 2 e 3, obtidas pelas somas das admitâncias ligadas aos respectivos nós.

$Y_{12}$  é a admitância mútua entre os nós 1 e 2, obtida pela soma das admitâncias ligando 1 e 2. Seu sinal é negativo, como se verifica na primeira equação de (4). Do mesmo modo,  $Y_{23}$  e  $Y_{13}$  são as admitâncias mútuas dos elementos que ligam os nós 2 e 3 e os nós 1 e 3, respectivamente. Todas as admitâncias mútuas têm sinais negativos. Note-se que  $Y_{13} = Y_{31}$  e  $Y_{23} = Y_{32}$ .

$I_1$  é a soma de todas as correntes no nó 1. A corrente que chega ao nó tem sinal positivo e a que dele se afasta tem sinal negativo.\*  $I_2$  e  $I_3$  são as somas das correntes nos nós 2 e 3, respectivamente.

Por analogia com a notação matricial das correntes de malha (Capítulo 9), as três equações dos nós, obtidas de (5), se escrevem, sob a forma matricial:

$$\begin{bmatrix} Y_{11} & Y_{12} & Y_{13} \\ Y_{21} & Y_{22} & Y_{23} \\ Y_{31} & Y_{32} & Y_{33} \end{bmatrix} \begin{bmatrix} V_1 \\ V_2 \\ V_3 \end{bmatrix} = \begin{bmatrix} I_1 \\ I_2 \\ I_3 \end{bmatrix} \quad (6)$$

As três tensões  $V_1$ ,  $V_2$  e  $V_3$  são obtidas de:

e

Desen  
coluna que cor  
nos nós:

Os ter  
nentes, resulta  
 $V_1$  é a soma de  
e  $I_3$  ( $\Delta_{31}/\Delta_Y$ ), de

**Exempl**  
mi-las so

O nó 3  
deixam o  
correntes

\* N. R. Evidentemente, esta regra é operacional. Veja Probl. 10.1.

$$\mathbf{V}_1 = \frac{\begin{vmatrix} \mathbf{I}_1 & \mathbf{Y}_{12} & \mathbf{Y}_{13} \\ \mathbf{I}_2 & \mathbf{Y}_{22} & \mathbf{Y}_{23} \\ \mathbf{I}_3 & \mathbf{Y}_{32} & \mathbf{Y}_{33} \end{vmatrix}}{\Delta_Y}, \quad \mathbf{V}_2 = \frac{\begin{vmatrix} \mathbf{Y}_{11} & \mathbf{I}_1 & \mathbf{Y}_{13} \\ \mathbf{Y}_{21} & \mathbf{I}_2 & \mathbf{Y}_{23} \\ \mathbf{Y}_{31} & \mathbf{I}_3 & \mathbf{Y}_{33} \end{vmatrix}}{\Delta_Y}$$

$$\begin{vmatrix} \mathbf{Y}_{11} & \mathbf{Y}_{12} & \mathbf{I}_1 \\ \mathbf{Y}_{21} & \mathbf{Y}_{22} & \mathbf{I}_2 \\ \mathbf{Y}_{31} & \mathbf{Y}_{32} & \mathbf{I}_3 \end{vmatrix}$$

$$\mathbf{V}_3 = \frac{\quad}{\Delta_Y}$$

(5)

Desenvolvendo-se o determinante do numerador pelos elementos da coluna que contém a corrente, obtêm-se as seguintes equações para as tensões nos nós:

$$\mathbf{V}_1 = \mathbf{I}_1 \left( \frac{\Delta_{11}}{\Delta_Y} \right) + \mathbf{I}_2 \left( \frac{\Delta_{21}}{\Delta_Y} \right) + \mathbf{I}_3 \left( \frac{\Delta_{31}}{\Delta_Y} \right) \quad (7)$$

$$\mathbf{V}_2 = \mathbf{I}_1 \left( \frac{\Delta_{12}}{\Delta_Y} \right) + \mathbf{I}_2 \left( \frac{\Delta_{22}}{\Delta_Y} \right) + \mathbf{I}_3 \left( \frac{\Delta_{32}}{\Delta_Y} \right) \quad (8)$$

$$\mathbf{V}_3 = \mathbf{I}_1 \left( \frac{\Delta_{13}}{\Delta_Y} \right) + \mathbf{I}_2 \left( \frac{\Delta_{23}}{\Delta_Y} \right) + \mathbf{I}_3 \left( \frac{\Delta_{33}}{\Delta_Y} \right) \quad (9)$$

Os termos dos segundos membros de (7), (8) e (9) são os fasores componentes, resultantes das diversas tensões de excitação. Assim, em (7), a tensão  $\mathbf{V}_1$  é a soma de  $\mathbf{I}_1(\Delta_{11}/\Delta_Y)$ , devida à corrente  $\mathbf{I}_1$ ,  $\mathbf{I}_2(\Delta_{21}/\Delta_Y)$ , devida à corrente  $\mathbf{I}_2$  e  $\mathbf{I}_3(\Delta_{31}/\Delta_Y)$ , devida à corrente  $\mathbf{I}_3$ .

**Exemplo** Escrever as equações dos nós do circuito da Fig. 10-4 e exprimi-las sob a forma matricial.

O nó 3 foi escolhido para referência. Admitindo-se que as correntes deixam os nós 1 e 2 e aplicando a cada um deles a lei de Kirchhoff para as correntes, obtém-se:

(6)

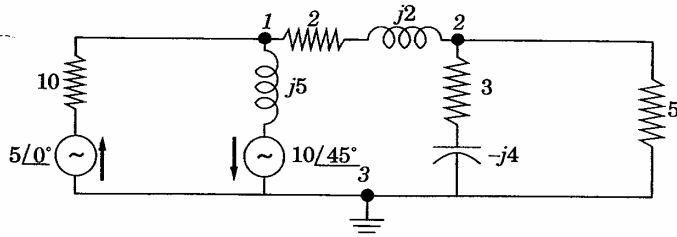


Figura 10-4

No nó 1: 
$$\frac{V_1 - 5/0^\circ}{10} + \frac{V_1 + 10/45^\circ}{j5} + \frac{V_1 - V_2}{2 + j2} = 0 \quad (10)$$

No nó 2: 
$$\frac{V_2 - V_1}{2 + j2} + \frac{V_2}{3 - j4} + \frac{V_2}{5} = 0 \quad (11)$$

Reagrupando:

$$\left(\frac{1}{10} + \frac{1}{j5} + \frac{1}{2 + j2}\right) V_1 - \left(\frac{1}{2 + j2}\right) V_2 = \frac{5/0^\circ}{10} - \frac{10/45^\circ}{j5} \quad (12)$$

$$-\left(\frac{1}{2 + j2}\right) V_1 + \left(\frac{1}{2 + j2} + \frac{1}{3 - j4} + \frac{1}{5}\right) V_2 = 0 \quad (13)$$

Na matriz quadrada que contém as admitâncias, temos  $Y_{11} = 1/10 + 1/j5 + 1/(2 + j2)$ , o que, pela comparação com (6), está de acordo com a definição de  $Y_{11}$ , admitância própria do nó 1. Da mesma forma,  $Y_{12} = Y_{21} = -1/(2 + j2)$ , concordando com a definição de admitância mútua.

Na notação geral,  $I_1$  foi definida como a soma de todas as correntes de excitação do nó 1. De acordo com a convenção de sinais, a corrente da fonte do ramo esquerdo, que entra no nó 1, tem sinal positivo, ao passo que a corrente da fonte do segundo ramo, que sai do nó 1, tem sinal negativo. Portanto,  $I_1 = (5/0^\circ)/10 - (10/45^\circ)/j5$ . A corrente  $I_2$  no nó 2 é nula, pois não há fontes nos ramos ligados ao nó 2.

## Admitância

Considere a fonte de tensão em paralelo com

Como 1

A adm de excitação, p de tensão resul

A adm estrutura apre são anuladas.\*

V

\* N. R. "Anular"

### Admitância de Entrada (ou no Ponto de Excitação)

Consideremos um circuito passivo com terminais externos, como esquematiza a Fig. 10-5. A corrente  $I_1$  penetra no nó 1 e quaisquer admitâncias em paralelo com a fonte são admitidas como já incluídas na estrutura.

Como não há fonte de corrente dentro da estrutura, a equação de  $V_1$  fica

$$V_1 = I_1 \begin{pmatrix} \Delta_{11} \\ \Delta_Y \end{pmatrix} \tag{14}$$

A admitância de entrada,  $Y_e$ , é, por definição, a relação entre a corrente de excitação, proveniente da fonte aplicada entre os dois terminais, e a queda de tensão resultante entre eles. De (14), então,

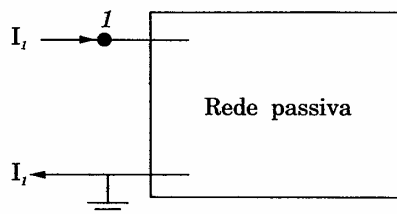


Figura 10-5

$$Y_e = \frac{I_1}{V_1} = \frac{\Delta_Y}{\Delta_{11}}$$

A admitância de entrada de uma estrutura ativa é a admitância que a estrutura apresenta em seus terminais quando todas as suas fontes internas são anuladas.\* Então

$$V_1 = I_1 \begin{pmatrix} \Delta_{11} \\ \Delta_Y \end{pmatrix} + (0) \begin{pmatrix} \Delta_{21} \\ \Delta_Y \end{pmatrix} + (0) \begin{pmatrix} \Delta_{31} \\ \Delta_Y \end{pmatrix} + \dots = I_1 \begin{pmatrix} \Delta_{11} \\ \Delta_Y \end{pmatrix}$$

ou

$$Y_{e1} = I_1/V_1 = \Delta_Y/\Delta_{11}$$

\* N. R. "Anular" uma fonte significa substituí-la por sua impedância interna.

A definição de  $Y_e$ , portanto, é válida, quer para a estrutura passiva quer para a ativa.

### Admitância de Transferência

Uma corrente de excitação em um nó de um circuito produz tensões em todos os nós em relação ao de referência. A admitância de transferência é a relação entre a corrente de excitação em um nó e a tensão resultante em outro nó, supondo-se nulas todas as demais fontes.

No circuito da Fig. 10-6,  $I_r$  é a corrente de excitação, penetrando no nó  $r$ . A tensão resultante no nó  $s$  é dada por

$$V_s = (0) \left( \frac{\Delta_{1s}}{\Delta_Y} \right) + \dots + I_r \left( \frac{\Delta_{rs}}{\Delta_Y} \right) + \dots + (0) \left( \frac{\Delta_{ss}}{\Delta_Y} \right) = I_r \left( \frac{\Delta_{rs}}{\Delta_Y} \right)$$

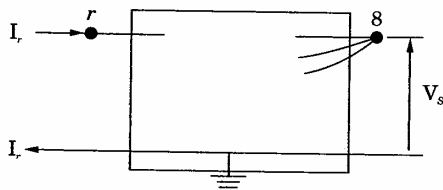


Figura 10-6

Então, temos:  $Y_{\text{transf}(rs)} = I_r / V_s = \Delta_Y / \Delta_{rs}$

Observe-se que o ponto de retorno da corrente de excitação foi escolhido para nó de referência. Tem de ser assim, do contrário a corrente aparecerá em mais de um termo da equação de  $V_s$ , deixando de ser válida a definição de  $Y_{\text{transf}}$

Empregando as admitâncias, obtemos o seguinte sistema de equações para  $V_1, V_2$  e  $V_3$  numa estrutura de quatro nós principais:

$$V_1 = \frac{I_1}{Y_{e1}} + \frac{I_2}{Y_{\text{transf}(21)}} + \frac{I_3}{Y_{\text{transf}(31)}}$$

$$V_2 = \frac{I_1}{Y_{\text{transf}(12)}} + \frac{I_2}{Y_{e2}} + \frac{I_3}{Y_{\text{transf}(32)}}$$

Quando todas as demais fontes de transferência

#### 10.1 Escrever

Já que todas as correntes

$$(V_2 - V_1)$$

Reagrupando

Na Fig. Igualando

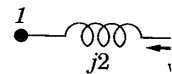
$$(V_1 - V_2)$$

Reagrupando

ou

$$- (1/j2)$$

Logo, pode-se escrever



$$V_3 = \frac{I_1}{Y_{\text{transf}(13)}} + \frac{I_2}{Y_{\text{transf}(23)}} + \frac{I_3}{Y_{e3}}$$

Quando apenas uma fonte de corrente atua no circuito, sendo nulas todas as demais fontes, ficam evidentes as definições de admitância de entrada e de transferência.

### Problemas Resolvidos

10.1 Escrever a equação do nó 2 das Figs. 10-7(a) e 10-7(b).

Já que todas as correntes, na Fig. 10-7(a), se afastam do nó 2, a soma das correntes que saem é igual a zero.

$$(V_2 - V_1)/j2 + V_2/10 + (V_2 + 10 \angle 0^\circ)/j5 = 0$$

$$\text{Reagrupando: } -(1/j2)V_1 + (1/j2 + 1/10 + 1/j5)V_2 = -10 \angle 0^\circ / j5$$

Na Fig. 10-7(b), uma corrente entra e as outras duas saem do nó 2. Igualando a corrente que entra à soma das que saem:

$$(V_1 - V_2)/j2 = V_2/10 + (V_2 + 10 \angle 0^\circ)/j5$$

$$\text{Reagrupando: } V_2/10 + (V_2 + 10 \angle 0^\circ)/j5 + (V_2 - V_1)/j2 = 0$$

ou

$$-(1/j2)V_1 + (1/j2 + 1/10 + 1/j5)V_2 = -10 \angle 0^\circ / j5$$

Logo, pode-se escolher qualquer sentido para as correntes nos ramos, ao se escreverem as equações dos nós. As equações resultantes serão idênticas.

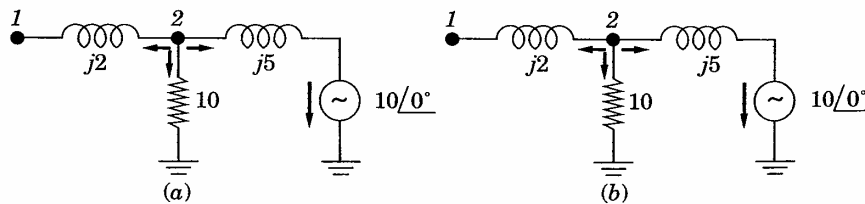


Figura 10-7

**10.2** Escrever as equações dos nós do circuito da Fig. 10-8 e exprimi-las sob a forma matricial.

Foram numerados três nós e escolhido o nó de referência, conforme indica o diagrama. Supondo que todas as correntes deixam os nós, escrevem-se as seguintes equações, respectivamente, nos nós 1, 2 e 3:

$$(V_1 - V_2)/(-j8) + V_1/5 + (V_1 - V_3 + 10 \angle 0^\circ)/(3 + j4) = 0$$

$$(V_2 - V_1)/(-j8) + V_2/10 + (V_2 - V_3 - 5 \angle 0^\circ)/(j4) = 0$$

$$V_3/8 + (V_3 - V_1 - 10 \angle 0^\circ)/(3 + j4) + (V_3 - V_2 + 5 \angle 0^\circ)/(j4) = 0$$

Reagrupando os termos, temos:

$$\left(\frac{1}{-j8} + \frac{1}{5} + \frac{1}{3+j4}\right)V_1 - \left(\frac{1}{-j8}\right)V_2 - \left(\frac{1}{3+j4}\right)V_3 = (-10 \angle 0^\circ)/(3+j4)$$

$$-\left(\frac{1}{-j8}\right)V_1 + \left(\frac{1}{-j8} + \frac{1}{10} + \frac{1}{j4}\right)V_2 - \left(\frac{1}{j4}\right)V_3 = (5 \angle 0^\circ)/(j4)$$

$$-\left(\frac{1}{3+j4}\right)V_1 - \left(\frac{1}{j4}\right)V_2 + \left(\frac{1}{8} + \frac{1}{j4} + \frac{1}{3+j4}\right)V_3 = \left(\frac{10 \angle 0^\circ}{3+j4}\right) - \left(\frac{5 \angle 0^\circ}{j4}\right)$$

Na notação matricial as equações são:

$$\begin{bmatrix} \left(\frac{1}{-j8} + \frac{1}{5} + \frac{1}{3+j4}\right) & -\left(\frac{1}{-j8}\right) & -\left(\frac{1}{3+j4}\right) \\ -\left(\frac{1}{-j8}\right) & \left(\frac{1}{-j8} + \frac{1}{10} + \frac{1}{j4}\right) & -\left(\frac{1}{j4}\right) \\ -\left(\frac{1}{3+j4}\right) & -\left(\frac{1}{j4}\right) & \left(\frac{1}{8} + \frac{1}{j4} + \frac{1}{3+j4}\right) \end{bmatrix} \begin{bmatrix} V_1 \\ V_2 \\ V_3 \end{bmatrix} = \begin{bmatrix} -\left(\frac{10 \angle 0^\circ}{3+j4}\right) \\ \left(\frac{5 \angle 0^\circ}{j4}\right) \\ \left(\frac{10 \angle 0^\circ}{3+j4} - \frac{5 \angle 0^\circ}{j4}\right) \end{bmatrix}$$

**10.3** Escrever, pela observação do circuito da Fig. 10-9, as equações dos nós, sob a forma matricial.

A escolha dos nós está indicada no diagrama. Em  $[Y]$ ,  $Y_{11}$  é a soma de todas as admitâncias ligadas ao nó 1,  $(1/Z_g + 1/R_1 + j\omega C_1)$ . São  $Y_{12}$  e  $Y_{13}$  as admitâncias comuns aos nós 1 e 2 e 1 e 3, tomados com o sinal contrário, isto é,  $Y_{12} = -j\omega C_1$  e  $Y_{13} = -(1/R_1)$ , respectivamente. Os demais termos de  $[Y]$  são determinados de maneira semelhante.

Há, apenas, portanto:

$$\begin{bmatrix} \left(\frac{1}{Z_g} + \frac{1}{R_1} + j\omega C_1\right) \\ -j\omega C_1 \\ -\left(\frac{1}{R_1}\right) \\ 0 \end{bmatrix}$$

**10.4** No circuito são ajustadas  $R_x$  e aquela cor

O diagrama impedâncias equações

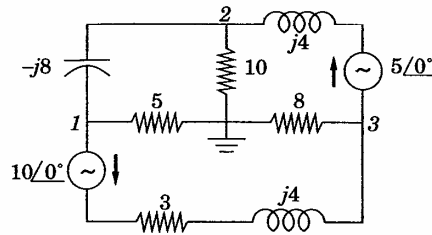


Figura 10-8

Há, apenas, uma corrente de excitação na estrutura; ela penetra no nó 1 e, portanto, tem sinal positivo,  $I_1 = V_g/Z_g$ .

$$\begin{bmatrix} \left(\frac{1}{Z_g} + \frac{1}{R_1} + j\omega C_1\right) & -(j\omega C_1) & -\left(\frac{1}{R_1}\right) & 0 \\ -(j\omega C_1) & \left(j\omega C_1 + \frac{1}{R_3} + j\omega C_2\right) & 0 & -(j\omega C_2) \\ -\left(\frac{1}{R_1}\right) & 0 & \left(\frac{1}{R_1} + \frac{1}{R_2} + j\omega C_3\right) & -\left(\frac{1}{R_2}\right) \\ 0 & -(j\omega C_2) & -\left(\frac{1}{R_2}\right) & \left(\frac{1}{R_2} + j\omega C_2 + \frac{1}{Z_D}\right) \end{bmatrix} \begin{bmatrix} V_1 \\ V_2 \\ V_3 \\ V_4 \end{bmatrix} = \begin{bmatrix} V_g/Z_g \\ 0 \\ 0 \\ 0 \end{bmatrix}$$

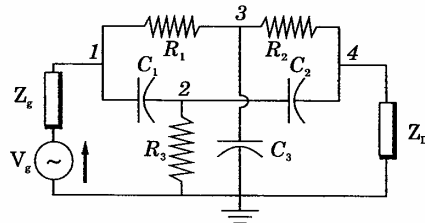


Figura 10-9

10.4 No circuito da Fig. 10-10, os dois capacitores iguais, de  $C$  farads, e o resistor  $R$  são ajustados, até que se anule a corrente na impedância detetora  $Z_D$ . Determinar  $R_x$  e  $L_x$  em função das demais constantes do circuito, de modo a satisfazer aquela condição.

O diagrama indica a escolha dos nós. Estando a referência de um lado da impedância  $Z_D$ , a corrente nula em  $Z_D$  resulta de  $V_3$  igual a zero. As equações dos nós, sob a forma matricial, são:

las sob a forma  
nforme indica  
s, escrevem-se

= 0  
1/(j4) = 0

+j4)  
4)  
j4) - (5∠0° / j4)

- (10∠0° / (3+j4))  
(5∠0° / j4)  
(10∠0° / (3+j4) - 5∠0° / j4)

dos nós, sob a  
11 é a soma de  
. São  $Y_{12}$  e  $Y_{13}$   
s com o sinal  
tivamente. Os  
ante.

$$\begin{bmatrix} \left(\frac{1}{Z_g} + j\omega C + \frac{1}{R}\right) & -(j\omega C) & -\left(\frac{1}{R}\right) \\ -(j\omega C) & \left(j2\omega C + \frac{1}{R_x} + \frac{1}{j\omega L_x}\right) & -(j\omega C) \\ -\left(\frac{1}{R}\right) & -(j\omega C) & \left(j\omega C + \frac{1}{R} + \frac{1}{Z_D}\right) \end{bmatrix} \begin{bmatrix} V_1 \\ V_2 \\ V_3 \end{bmatrix} = \begin{bmatrix} V_g/Z_g \\ 0 \\ 0 \end{bmatrix}$$

Expressando  $V_3$  sob a forma de determinante e fazendo-o igual a zero:

$$V_3 = \frac{\begin{vmatrix} \left(\frac{1}{Z_g} + j\omega C + \frac{1}{R}\right) & -(j\omega C) & V_g/Z_g \\ -(j\omega C) & \left(j2\omega C + \frac{1}{R_x} + \frac{1}{j\omega L_x}\right) & 0 \\ -\left(\frac{1}{R}\right) & -(j\omega C) & 0 \end{vmatrix}}{\Delta_Y} = 0$$

O determinante do numerador deve ser nulo. Desenvolvendo-o pelos elementos da terceira coluna, obtemos

$$(V_g/Z_g) \begin{vmatrix} -j\omega C & (j2\omega C + 1/R_x + 1/j\omega L_x) \\ -1/R & -j\omega C \end{vmatrix} = 0$$

Então:  $-\omega^2 C^2 + j2\omega C/R + 1/(RR_x) + 1/(j\omega L_x R) = 0$

onde:  $R_x = 1/(\omega^2 C^2 R)$  e  $L_x = 1/(2\omega^2 C)$

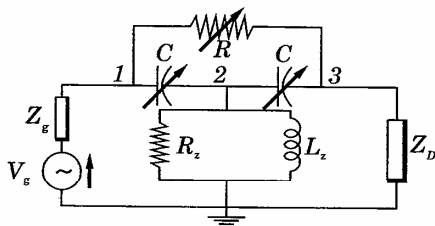


Figura 10-10

Este resu  
9.6. Obs  
reduzido  
nós.

10.5 Determina

Havendo  
Escolhid  
de Kirchl  
à soma d

$10 \angle 0^\circ = V$

Sendo I :  
resistor d

$V_{AB} = I(\dots)$

10.6 Determina

O circuito  
de referên  
corrente s

$\frac{V_1 - 10 \angle \dots}{(5 + j3)}$

reagrupar

$V_1 \left(\frac{1}{8} + \dots\right)$

$$\begin{bmatrix} \mathbf{V}_1 \\ \mathbf{V}_2 \\ \mathbf{V}_3 \end{bmatrix} = \begin{bmatrix} \mathbf{V}_g / \mathbf{Z}_g \\ 0 \\ 0 \end{bmatrix}$$

igual a zero:

$$g \left| \begin{array}{l} \\ \\ \\ \end{array} \right. = 0$$

dividindo-o pelos

$$x \left| \begin{array}{l} \\ \\ \\ \end{array} \right. = 0$$

Este resultado já foi obtido pelo método das correntes de malha, no Probl. 9.6. Observe-se que o número de equações necessárias à solução ficou reduzido de quatro para três, com o emprego do método das tensões nos nós.

**10.5** Determinar  $V_{AB}$  pelo método dos nós, na estrutura da Fig. 10-11.

Havendo dois nós principais ou funções, basta uma equação de nós. Escolhida a referência em  $B$ , escreve-se a equação do nó 1. Aplicando a lei de Kirchhoff para as correntes, a corrente  $10/0^\circ$  que entra deve ser igual à soma das correntes que saem:

$$10/0^\circ = V_1/10 + V_1/(5 + j2) \text{ e } V_1 = 10/0^\circ / (0,281/-14,2^\circ) = 35,6/14,2^\circ$$

Sendo  $I = V_1/(5 + j2)$  a corrente no ramo  $(5 + j2)$ , a queda de tensão no resistor de 5 ohms desse ramo será:

$$V_{AB} = I(5) = \frac{V_1}{(5 + j2)} (5) = \frac{35,6/14,2^\circ}{(5 + j2)} (5) = 33/-7,6^\circ$$

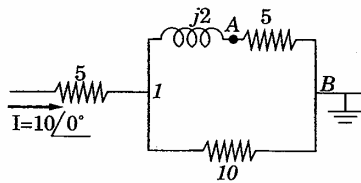


Figura 10-11

**10.6** Determinar  $V_{AB}$  no circuito da Fig. 10-12.

O circuito não contém nós principais. Entretanto, escolhido  $B$  como ponto de referência e  $A$  como nó 1, pode-se escrever a equação, supondo que a corrente sai do nó  $A$  pelos dois ramos. Tem-se, portanto:

$$\frac{V_1 - 10/0^\circ}{(5 + 3)} + \frac{V_1 - 10/90^\circ}{(2 + j5)} = 0$$

reagrupando:

$$V_1 \left( \frac{1}{8} + \frac{1}{2 + j5} \right) = \left( \frac{10/0^\circ}{8} + \frac{10/90^\circ}{2 + j5} \right)$$

onde:  $V_{AB} = V_1 = 11,8 \angle 55,05^\circ$ .

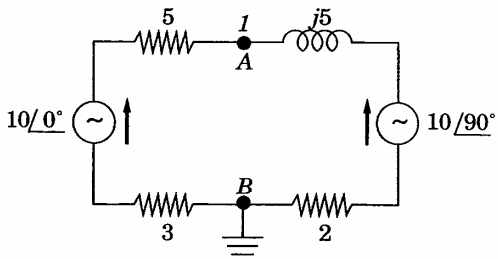


Figura 10-12

10.7 Determinar  $V_{AB}$  na estrutura da Fig. 10-13.

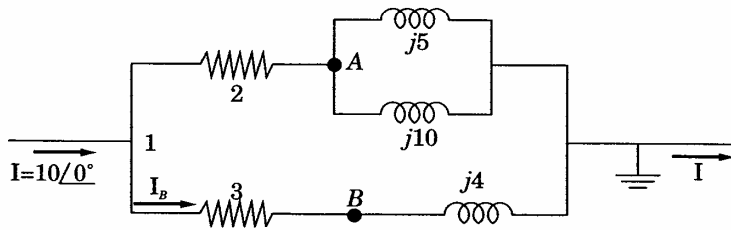


Figura 10-13

As equações dos nós são:

No nó 1:  $10 \angle 0^\circ = (V_1 - V_2)/2 + V_1/(3 + j4)$

No nó 2:  $(V_2 - V_1)/2 + V_2/j5 + V_2/j10 = 0$

Reagrupando:  $\left(\frac{1}{2} + \frac{1}{3 + j4}\right) V_1 - \frac{1}{2} V_2 = 10 \angle 0^\circ$

$-\frac{1}{2} V_1 + \left(\frac{1}{2} + \frac{1}{j5} + \frac{1}{j10}\right) V_2 = 0$

e  $V_1 = -$

$V_2 = -$

A tensão  
 $I_B = V_1/$

$V_B = \frac{1}{3}$

A tensão

$V_{AB} = V$

10.8 Determina

Escolhen  
mos a eq

$\frac{V_1 + 100}{20}$

$$e \mathbf{V}_1 = \frac{\begin{vmatrix} 10/0^\circ & -0,5 \\ 0 & (0,5 - j0,3) \end{vmatrix}}{\begin{vmatrix} (0,62 - j0,16) & -0,5 \\ -0,5 & (0,5 - j0,3) \end{vmatrix}} = \frac{5,83 \angle -31^\circ}{0,267 \angle -87,42^\circ} = 21,8 \angle 56,42^\circ$$

$$\mathbf{V}_2 = \frac{\begin{vmatrix} (0,62 - j0,16) & 10/0^\circ \\ -0,5 & 0 \end{vmatrix}}{\Delta_Y} = \frac{5 \angle 0^\circ}{0,267 \angle -87,42^\circ} = 18,7 \angle 87,42^\circ$$

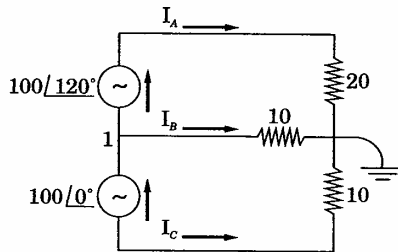
A tensão de nó  $\mathbf{V}_2$  é a tensão de A, com respeito à referência. Como  $\mathbf{I}_B = \mathbf{V}_1 / (3 + j4)$ , a tensão  $\mathbf{V}_B$  referente à referência é:

$$\mathbf{V}_B = \frac{\mathbf{V}_1}{(3 + j4)} (j4) = \frac{21,8 \angle 56,42^\circ}{(3 + j4)} (j4) = 17,45 \angle 93,32^\circ$$

A tensão  $\mathbf{V}_{AB}$  pedida é, então,

$$\mathbf{V}_{AB} = \mathbf{V}_A - \mathbf{V}_B = (18,7 \angle 87,42^\circ) - (17,45 \angle 93,32^\circ) = 2,23 \angle 34,1^\circ$$

**10.8** Determinar as correntes de linha  $\mathbf{I}_A$ ,  $\mathbf{I}_B$  e  $\mathbf{I}_C$  na estrutura da Fig. 10-14.



**Figura 10-14**

Escolhemos o nó 1 e o ponto de referência indicados no diagrama. Obtemos a equação dos nós:

$$\frac{\mathbf{V}_1 + 100 \angle 120^\circ}{20} + \frac{\mathbf{V}_1}{10} + \frac{\mathbf{V}_1 - 100 \angle 0^\circ}{10} = 0$$

$$\text{de onde resulta } \mathbf{V}_1 = \frac{200 \angle 0^\circ - 100 \angle 120^\circ}{5} = 50 - j17,32 = 53 \angle -19,1^\circ$$

Em seguida, são calculadas as correntes nos ramos:

$$\mathbf{I}_A = (\mathbf{V}_1 + 100 \angle 120^\circ) / 20 = (50 - j17,32 - 50 + 86,6) / 20 = 3,46 \angle 90^\circ$$

$$\mathbf{I}_B = \mathbf{V}_1 / 10 = 5,3 \angle -19,1^\circ$$

$$\mathbf{I}_C = (\mathbf{V}_1 - 100 \angle 0^\circ) / 10 = (50 - j17,32 - 100) / 10 = 5,3 \angle -160,9^\circ$$

Observe-se que a soma das três correntes que penetram no nó de referência é nula:

$$\begin{aligned} \mathbf{I}_A + \mathbf{I}_B + \mathbf{I}_C &= 3,46 \angle 90^\circ + 5,3 \angle -19,1^\circ + 5,3 \angle -160,9^\circ \\ &= j3,46 + 5,0 - j1,732 - 5 - j1,732 = 0 \end{aligned}$$

**10.9** Determinar as correntes de linha  $\mathbf{I}_A$ ,  $\mathbf{I}_B$  e  $\mathbf{I}_C$  no circuito da Fig. 10-15.

Os nós 1 e 2 e o nó de referência estão identificados na figura. As tensões dos nós  $\mathbf{V}_1$  e  $\mathbf{V}_2$  podem ser lidas diretamente na figura, pois são iguais às tensões dadas. Assim,

$$\mathbf{V}_1 = 150 \angle 120^\circ \text{ e } \mathbf{V}_2 = -150 \angle 0^\circ = 150 \angle 180^\circ$$

Com a lei de Kirchhoff para as correntes aplicada a cada um dos três nós, calculam-se as correntes pedidas.

No nó 1:

$$\mathbf{I}_A = \frac{\mathbf{V}_1}{10 \angle 45^\circ} + \frac{\mathbf{V}_1 - \mathbf{V}_2}{10 \angle 45^\circ} = \frac{300 \angle 120^\circ - 150 \angle 180^\circ}{10 \angle 45^\circ} = 26 \angle 45^\circ$$

No nó de referência:

$$\mathbf{I}_B = \frac{-\mathbf{V}_1}{10 \angle 45^\circ} - \frac{\mathbf{V}_2}{10 \angle 45^\circ} = \frac{150 \angle -60^\circ + 150 \angle 0^\circ}{10 \angle 45^\circ} = 26 \angle -75^\circ$$

No nó 2:

$$\mathbf{I}_C = \frac{\mathbf{V}_2}{10 \angle 45^\circ} + \frac{\mathbf{V}_2 - \mathbf{V}_1}{10 \angle 45^\circ} = \frac{300 \angle 180^\circ - 150 \angle 120^\circ}{10 \angle 45^\circ} = 26 \angle -195^\circ$$

**10.10** Determinar as correntes de linha  $\mathbf{I}_A$ ,  $\mathbf{I}_B$  e  $\mathbf{I}_C$  no circuito da Fig. 10-16.

O nó 1 é o nó de referência.

$$\mathbf{V}_1 = 50 \angle 0^\circ$$

onde:

$$\mathbf{V}_1 = 10 \angle 0^\circ$$

Calculam-se as correntes indicadas:

$$\mathbf{I}_5 = (50 \angle 0^\circ - 10 \angle 0^\circ) / 10 = 4 \angle 0^\circ$$

$$\mathbf{I}_3 = \mathbf{V}_1 / (3 + j4) = 10 \angle 0^\circ / 5 \angle 53,1^\circ = 2 \angle -53,1^\circ$$

A potência complexa em  $\mathbf{I}_5$  é

$$P = \mathbf{V}_1 \mathbf{I}_5^* = 50 \angle 0^\circ \cdot 4 \angle 0^\circ = 200 \text{ W}$$

De  $P = \mathbf{I}_5^2 R$ , temos

$$P_5 = (\mathbf{I}_5)^2 R = 4^2 \cdot 10 = 160 \text{ W}$$

Observe-se que a potência complexa em  $\mathbf{I}_5$  é  $P = 198 \text{ W}$ .

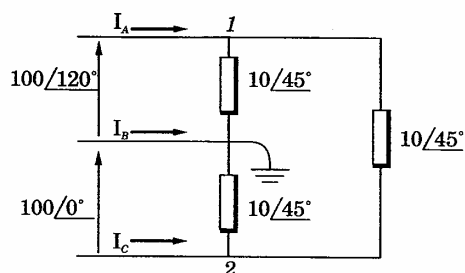


Figura 10-15

10.10 Determinar a potência de saída da fonte e a potência em cada resistor do circuito da Fig. 10-16.

O nó 1 e o de referência foram selecionados como indica a figura. A equação dos nós é:

$$(V_1 - 50 \angle 0^\circ) / 5 + V_1 / j10 + V_1(3 - j4) = 0$$

onde:

$$V_1 = (10 \angle 0^\circ) / (0,326 \angle 10,6^\circ) = 30,7 \angle -10,6^\circ$$

Calculamos as seguintes correntes nos braços, admitindo os sentidos indicados:

$$I_5 = (50 \angle 0^\circ - V_1) / 5 = (50 \angle 0^\circ - 30,7 \angle -10,6^\circ) / 5 = 4,12 \angle 15,9^\circ$$

$$I_3 = V_1 / (3 - j4) = (30,7 \angle -10,6^\circ) / (5 \angle -53,1^\circ) = 6,14 \angle 42,5^\circ$$

A potência de saída da fonte é

$$P = VI_5 \cos \phi = (50)(4,12) \cos 15,9^\circ = 198 \text{ W}$$

De  $P = I^2R$  determina-se a potência dissipada em cada resistor:

$$P_5 = (I_5)^2 5 = (4,12)^2 5 = 85 \text{ W e } P_3 = (I_3)^2 3 = (6,14)^2 3 = 113 \text{ W}$$

Observe-se que a potência total fornecida pela fonte é igual à soma das potências dissipadas pelos dois resistores do circuito, isto é,  $P_T = 85 + 113 = 198 \text{ W}$ .

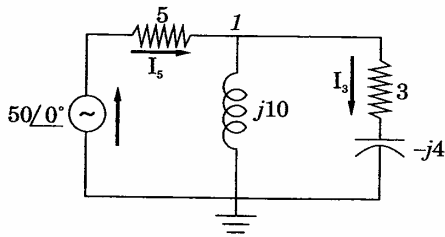


Figura 10-16

10.11 Determinar, na Fig. 10-17, as tensões nos nós 1 e 2, referidas ao ponto indicado.

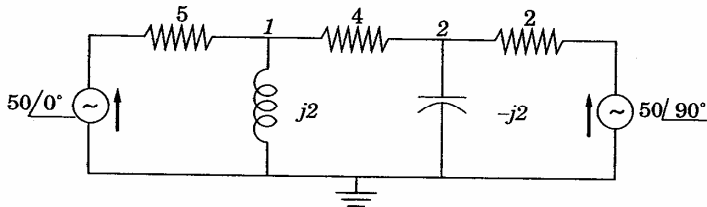


Figura 10-17

Pelo exame da figura, escrevem-se as equações dos dois nós, sob a forma matricial.

$$\begin{bmatrix} \left(\frac{1}{5} + \frac{1}{j2} + \frac{1}{4}\right) & -\left(\frac{1}{4}\right) \\ -\left(\frac{1}{4}\right) & \left(\frac{1}{4} + \frac{1}{-j2} + \frac{1}{2}\right) \end{bmatrix} \begin{bmatrix} \mathbf{V}_1 \\ \mathbf{V}_2 \end{bmatrix} = \begin{bmatrix} \left(\frac{50 \angle 0^\circ}{5}\right) \\ \left(\frac{50 \angle 90^\circ}{2}\right) \end{bmatrix}$$

onde:

$$\mathbf{V}_1 = \frac{\begin{vmatrix} 10 & -25 \\ j25 & (0,75 + j0,5) \end{vmatrix}}{\begin{vmatrix} (0,45 - j0,5) & -0,25 \\ -0,25 & (0,75 + j0,5) \end{vmatrix}} = \frac{13,5 \angle 56,3^\circ}{0,546 \angle -15,95^\circ} = 24,7 \angle 72,25^\circ$$

$$\mathbf{V}_2 = -$$

10.12 Dado  $\mathbf{V}_0$ ,  
cia  $2 - j2$

$$\mathbf{V}_i$$

No diag  
Assim,  $\mathbf{V}$

As equaç

$$\begin{bmatrix} 1 \\ 5 - j2 \\ - \end{bmatrix}$$

Tirando c

$$\mathbf{V}_0 = \mathbf{V}_2$$

Então:  $\frac{\mathbf{V}}{\mathbf{V}}$

$$\mathbf{V}_2 = \frac{\begin{vmatrix} 0,45 - j0,5 & 10 \\ -0,25 & j25 \end{vmatrix}}{\Delta_Y} = \frac{18,35 \angle 37,8^\circ}{0,546 \angle -15,95^\circ} = 33,6 \angle 53,75^\circ$$

10.12 Dado  $V_0$ , na estrutura da Fig. 10-18, como sendo a queda de tensão na impedância  $2 - j2$ , devida à fonte  $V_i$ , determinar a relação  $V_0/V_i$ .

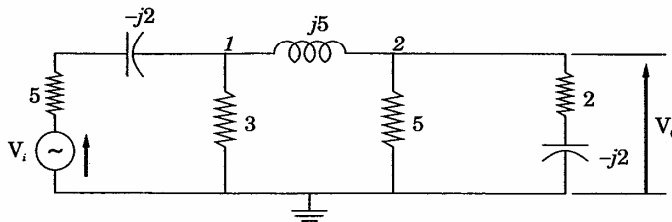


Figura 10-18

No diagrama estão indicados os nós 1, 2 e de referência, escolhidos. Assim,  $V_0$  é a tensão do nó 2, referida ao ponto escolhido.

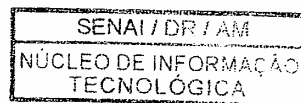
As equações dos nós, sob a forma matricial, são, pois:

$$\begin{bmatrix} \left( \frac{1}{5 - j2} + \frac{1}{3} + \frac{1}{j5} \right) & -\left( \frac{1}{j5} \right) \\ -\left( \frac{1}{j5} \right) & \left( \frac{1}{j5} + \frac{1}{5} + \frac{1}{2 - j2} \right) \end{bmatrix} \begin{bmatrix} \mathbf{V}_1 \\ \mathbf{V}_2 \end{bmatrix} = \begin{bmatrix} \frac{\mathbf{V}_i}{5 - j2} \\ 0 \end{bmatrix}$$

Tirando o valor de  $V_0$ :

$$\mathbf{V}_0 = \mathbf{V}_2 = \frac{\begin{vmatrix} (0,506 - j0,131) & \mathbf{V}_i/(5 - j2) \\ j0,2 & 0 \end{vmatrix}}{\begin{vmatrix} (0,506 - j0,131) & j0,2 \\ j0,2 & 0,45 + j0,05 \end{vmatrix}} = \frac{(0,2 \angle -90^\circ) \mathbf{V}_i / (5 - j2)}{(0,276 \angle -7^\circ)}$$

$$\text{Então: } \frac{\mathbf{V}_0}{\mathbf{V}_i} = \frac{0,2 \angle -90^\circ}{(5 - j2)(0,276 \angle -7^\circ)} = 0,1345 \angle -61,2^\circ$$



Esse resultado é chamado *função transferência* e permite o cálculo direto da tensão de saída de um ramo dado, para qualquer tensão de entrada dada, isto é,  $V_0 = V_i (0,1345 \angle -61,2^\circ)$ .

10.13 Dados os nós 1 e 2 da Fig. 10-19, determinar a relação  $V_1/V_2$ .

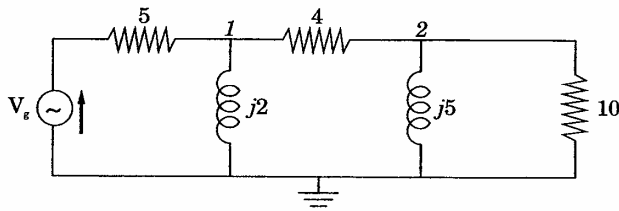


Figura 10-19

Equações dos nós, na forma matricial:

$$\begin{bmatrix} \left(\frac{1}{5} + \frac{1}{j2} + \frac{1}{4}\right) & -\left(\frac{1}{4}\right) \\ -\left(\frac{1}{4}\right) & \left(\frac{1}{4} + \frac{1}{j5} + \frac{1}{10}\right) \end{bmatrix} \begin{bmatrix} V_1 \\ V_2 \end{bmatrix} = \begin{bmatrix} (V_g/5) \\ 0 \end{bmatrix}$$

onde  $V_1 = \frac{\begin{vmatrix} (V_g/5) & -0,25 \\ 0 & (0,35 - j0,2) \end{vmatrix}}{\Delta_Y} = \frac{(V_g/5)(0,403 \angle -29,8^\circ)}{\Delta_Y}$

$V_2 = \frac{\begin{vmatrix} (0,45 - j0,5) & (V_g/5) \\ -0,25 & 0 \end{vmatrix}}{\Delta_Y} = \frac{(V_g/5)(0,25)}{\Delta_Y}$

e

$\frac{V_1}{V_2} = \frac{(V_g/5)(0,403 \angle -29,8^\circ)/\Delta_Y}{(V_g/5)(0,25)/\Delta_Y} = 1,61 \angle -29,8^\circ$

Outra e apenas u e  $V_2 = I_1$

Então te

$$\frac{V_1}{V_2} = \frac{I_1}{I_1}$$

10.14 No circuit admitância

A matriz

$$[Y] = \begin{bmatrix} \vdots \\ \vdots \\ \vdots \end{bmatrix}$$

$$= \begin{bmatrix} 0,6 & - \\ & - \end{bmatrix}$$

Então:

$$Y_{i1} = \frac{\Delta_Y}{\Delta_{11}}$$

$$Y_{\text{transf}(21)}$$

No nó 1:

Como não

$$V_1 = \frac{I_1}{Y_{i1}}$$

cálculo direto  
ção de entrada

**Outra solução** Expressar as tensões dos nós pelos cofatores. Como apenas uma fonte atua no circuito, pela corrente  $I_1$  temos  $V_1 = I_1 (\Delta_{11}/\Delta_Y)$  e  $V_2 = I_1 (\Delta_{12}/\Delta_Y)$ .

Então temos:

$$\frac{V_1}{V_2} = \frac{I_1(\Delta_{11}/\Delta_Y)}{I_1(\Delta_{12}/\Delta_Y)} = \frac{\Delta_{11}}{\Delta_{12}} = \frac{0,35 - j0,2}{0,25} = 1,61 \angle -29,8^\circ$$

**10.14** No circuito da Fig. 10-20, determinar as tensões dos nós 1 e 2, empregando as admitâncias de entrada e de transferência.

A matriz (Y) das admitâncias, para os nós escolhidos, é:

$$[Y] = \begin{bmatrix} \left( \frac{1}{10} + \frac{1}{j5} + \frac{1}{2} \right) & -\left( \frac{1}{2} \right) \\ -\left( \frac{1}{2} \right) & \left( \frac{1}{2} + \frac{1}{3 + j4} + \frac{1}{-j10} \right) \end{bmatrix} =$$

$$= \begin{bmatrix} (0,6 - j0,2) & -0,5 \\ -0,5 & (0,62 - j0,06) \end{bmatrix}$$

Então:

$$Y_{i1} = \frac{\Delta_Y}{\Delta_{11}} = \frac{\begin{vmatrix} (0,6 - j0,2) & -0,5 \\ -0,5 & (0,62 - j0,06) \end{vmatrix}}{(0,62 - j0,06)} = \frac{0,194 \angle -55,5^\circ}{0,62 \angle -5,56^\circ} = 0,313 \angle -49,94^\circ$$

$$Y_{\text{transf}(21)} = \frac{\Delta_Y}{\Delta_{12}} = \frac{0,194 \angle -55,5^\circ}{(-1)(-0,5)} = 0,388 \angle -55,5^\circ$$

$$\text{No nó 1: } V_1 = \frac{I_1}{Y_{i1}} + \frac{I_2}{Y_{\text{transf}(21)}}$$

Como não há corrente devida ao gerador no nó 2, temos:

$$V_1 = \frac{I_1}{Y_{i1}} = \frac{(50 \angle 0^\circ)/10}{0,313 \angle -49,94^\circ} = 15,95 \angle 49,94^\circ$$

9,8°)

Do mesmo modo,  $V_2 = \frac{I_1}{Y_{transf}} + \frac{I_2}{Y_{i2}} = \frac{(50 \angle 0^\circ)10}{0,388 \angle -55,5^\circ} = 12,9 \angle 55,5^\circ$

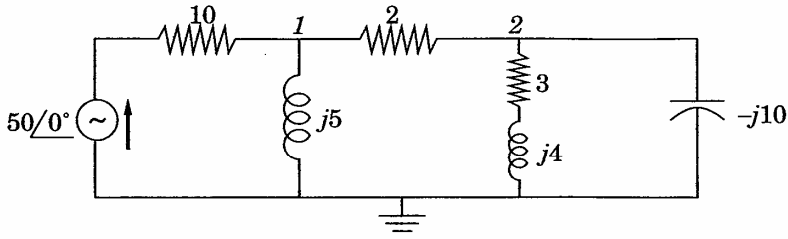


Figura 10-20

**Problemas Propostos**

10.15 Determinar o número de equações de tensões de nós necessário à solução de cada uma das estruturas mostradas na Figura 10-21 (a-f).

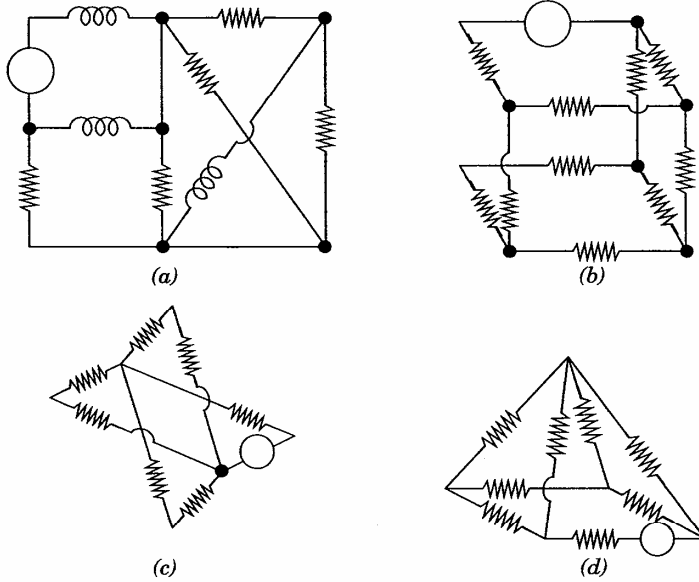


Figura 10-21

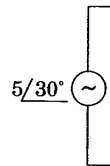


Resp.: (ε

10.16 Escrever

v

10.17 Escrever matricial. matriz ob



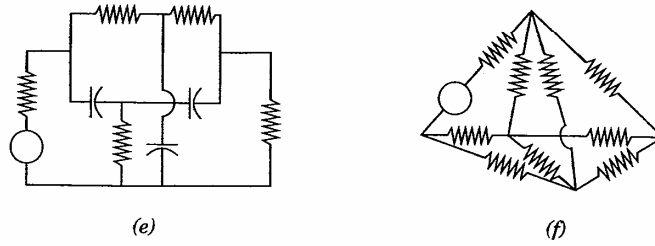


Figura 10-21 (continuação)

Resp.: (a) 3, (b) 5, (c) 1, (d) 4, (e) 4, (f) 4.

10.16 Escrever a equação do nó indicado no circuito da Fig. 10-22.

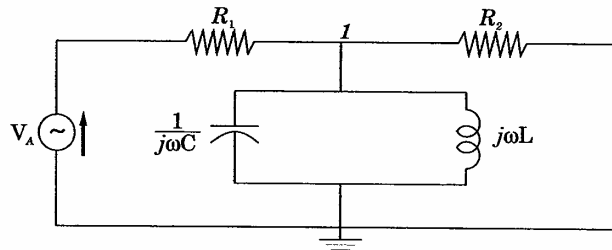


Figura 10-22

10.17 Escrever as equações dos nós do circuito da Fig. 10-23 e colocá-las sob a forma matricial. Em seguida, escrever  $[y]$  por inspeção da figura e comparar com a matriz obtida a partir das equações.

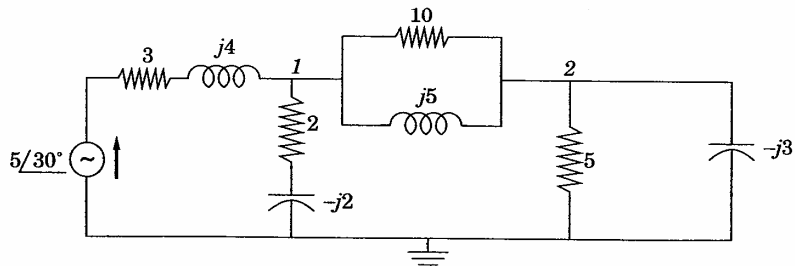
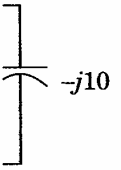
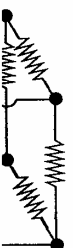


Figura 10-23

2,9 / 55,5°



irio à solução de



10.18 Escrever as equações dos nós da estrutura da Fig. 10-24 e colocá-las sob a forma matricial. Em seguida, escrever [Y] pela inspeção da figura e compará-la com a matriz obtida a partir das equações.

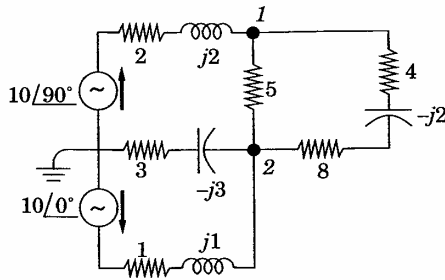


Figura 10-24

10.19 A Fig. 10-25 mostra o circuito da ponte de Wien. Escrever as três equações dos nós e colocá-las sob a forma matricial. Escrever [Y] por inspeção da figura e compará-la com a matriz obtida a partir das equações.

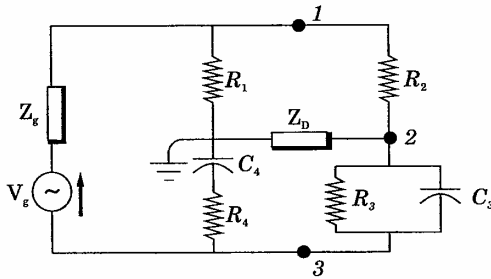


Figura 10-25

10.20 Determinar a potência fornecida pela fonte de 50 volts e a potência nos dois resistores da Fig. 10-26, empregando o método dos nós.  
 Resp.: 140 W; 80 W; 60 W.

10.21 Calcular a tensão  $V_{AB}$  no circuito da Fig. 10-27, empregando o método dos nós.  
 Resp.:  $75,4 \angle 55,2^\circ$  V.

10.22 Determinar  
 Resp.: 4

10.23 No circuito  
 sentido c  
 Resp.: 1

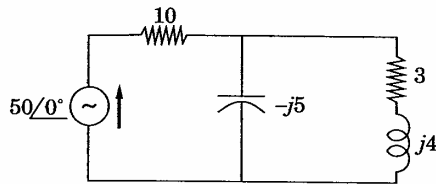


Figura 10-26

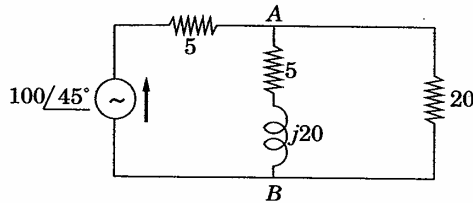


Figura 10-27

10.22 Determinar a tensão do nó  $V_1$  no circuito da Fig. 10-28.  
 Resp.:  $43,9 \angle 14,9^\circ$  V.

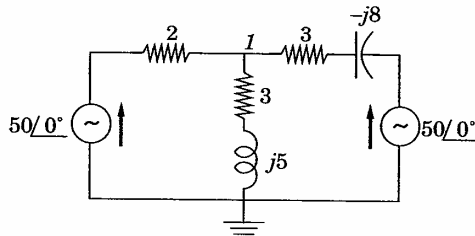


Figura 10-28

10.23 No circuito da Fig. 10-29, determinar a tensão do nó 1 e a corrente  $I_1$ . Admitir o sentido de  $I_1$  indicado no diagrama.  
 Resp.:  $17,7 \angle -45^\circ$  V;  $1,77 \angle 135^\circ$  A.

colocá-las sob a  
 ra e compará-la

as equações dos  
 ação da figura e

otência nos dois

método dos nós.

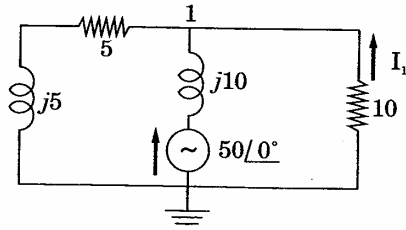


Figura 10-29

10.24 Empregando o método dos nós, determinar a potência fornecida pela fonte de 10 volts e a potência em cada resistor do circuito da Fig. 10-30.  
 Resp.: 36,7; 27,8; 6,66 e 2,22 W.

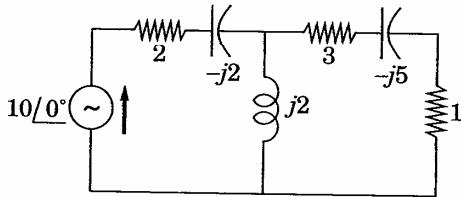


Figura 10-30

10.25 Determinar a potência fornecida pela fonte  $V_1 = 50 \angle 0^\circ$  ao circuito da Fig. 10-31. Qual a potência dissipada em cada resistor do circuito?  
 Resp.:  $P = 354 \text{ W}$ ;  $P_1 = 256 \text{ W}$ ;  $P_2 = 77,1 \text{ W}$ ;  $P_3 = 9,12 \text{ W}$  e  $P_4 = 11,3 \text{ W}$ .

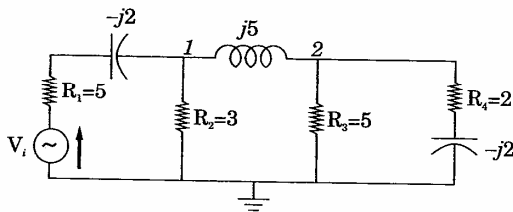


Figura 10-31

10.26 Empregando o método dos nós, determinar  $I_1$  no circuito da Fig. 10-32.  
 Resp.:  $5 \angle 90^\circ \text{ A}$ .

10.27 Determinar a potência fornecida pela fonte de 10 volts e a potência em cada resistor do circuito da Fig. 10-30.  
 Resp.: 24,2 W.

10.28 No circuito da Fig. 10-31, determinar a potência fornecida pela fonte  $V_1$  e a potência dissipada em cada resistor do circuito.  
 Resp.: 71,6 W.

10.29 Calcular a tensão de circuito aberto  $V_{oc}$  no circuito da Fig. 10-32.  
 Resp.: 179 V.

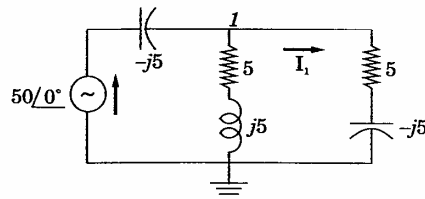


Figura 10-32

- 10.27 Determinar a tensão eficaz da fonte  $V$  de modo a ter uma potência de 75 watts no resistor de 3 ohms do circuito da Fig. 10-33.  
 Resp.: 24,2 V.

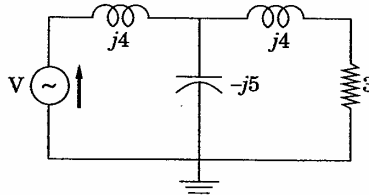


Figura 10-33

- 10.28 No circuito da Fig. 10-34, qual a tensão  $V$  que acarreta uma tensão  $50 \angle 0^\circ$  volts no nó 1?  
 Resp.:  $71,6 \angle -30,2^\circ$  V.

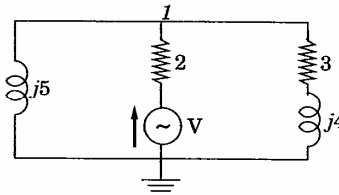


Figura 10-34

- 10.29 Calcular a tensão no nó 1 do circuito apresentado na Fig. 10-35.  
 Resp.:  $179 \angle 204,8^\circ$  V.

a pela fonte de 10

ito da Fig. 10-31.

= 11,3 W.

j. 10-32.

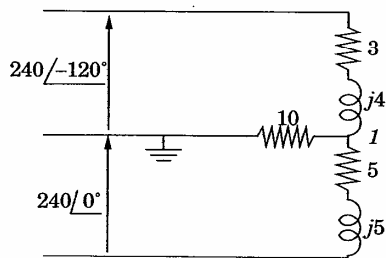


Figura 10-35

10.30 Determinar as três correntes de linha  $I_A$ ,  $I_B$  e  $I_C$  do circuito da Fig. 10-36.  
 Resp.:  $10 \angle 60^\circ$ ;  $10 \angle -60^\circ$  e  $10 \angle 180^\circ$  A.

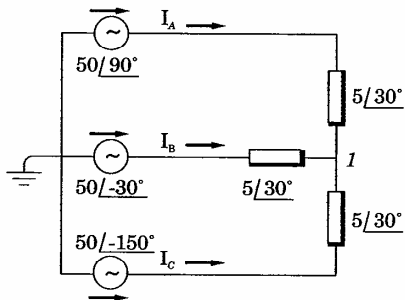


Figura 10-36

10.31 No circuito da Fig. 10-37, determinar a tensão da fonte  $V_2$ , de modo que seja nula a corrente na impedância  $2 + j4$ .  
 Resp.:  $125 \angle -135^\circ$  V.

10.32 Qual a corrente na impedância  $2 + j4$  da Fig. 10-37, se a fonte  $V_2$  for  $100 \angle 30^\circ$ ?  
 Resp.:  $12,1 \angle -11^\circ$  A.

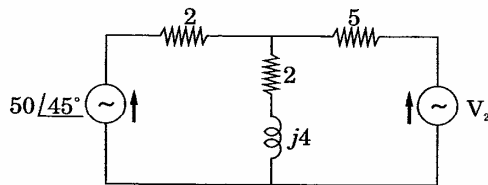


Figura 10-37

10.33 Determinar a potência  $P_1$ .  
 Resp.: 0,7

10.34 A corrente  $I$  é determinada por qual valor?  
 Resp.: 0,7

10.35 No circuito da Fig. 10-36, determinar a corrente  $I$  pelo método das correntes de malha.  
 Resp.: 0,7

10.36 Determinar a tensão  $V_2$  nos nós  $a$  e  $b$ .  
 Resp.: 0,15

10.33 Determinar a potência fornecida por cada fonte do circuito do Probl. 10.32.  
 Resp.:  $P_1 = -90,6 \text{ W}$ ;  $P_2 = 1000 \text{ W}$ .

10.34 A corrente de excitação da Fig. 10-38 é  $I_1$ . A corrente no resistor de 10 ohms é  $I_2$ .  
 Determinar a relação  $I_2/I_1$ .  
 Resp.:  $0,151 \angle 25,8^\circ$ .

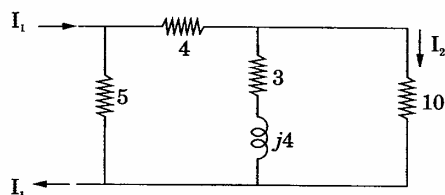


Figura 10-38

10.35 No circuito da Fig. 10-39, determinar a função transferência de tensão,  $V_0/V_i$ , pelo método dos nós.  
 Resp.:  $0,707 \angle 45^\circ$ .

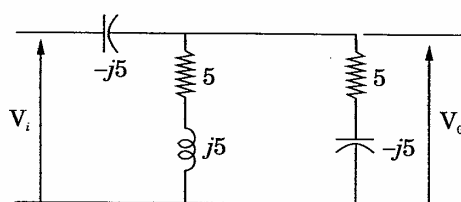


Figura 10-39

10.36 Determinar  $V_0/V_i$  do circuito apresentado na Fig. 10-40 utilizando o método dos nós.  
 Resp.:  $0,159 \angle -61,4^\circ$ . Comparar com o Probl. 9.36.

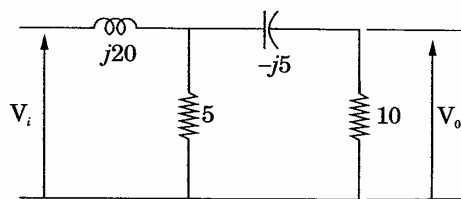


Figura 10-40

ig. 10-36.

le modo que seja

$V_2$  for  $100 \angle 30^\circ$ ?

10.37 Determinar a tensão entre os terminais do circuito paralelo da Fig. 10-41 empregando o método dos nós.

Resp.:  $72,2 \angle 53,8^\circ$ .

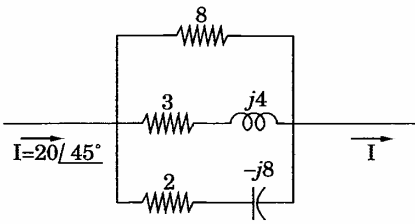


Figura 10-41

10.38 Determinar, pelo método dos nós, as tensões  $V_{AB}$ ,  $V_{BC}$  e  $V_{CD}$ , no circuito da Fig. 10-42.

Resp.:  $35,4 \angle 45^\circ$  V;  $50 \angle 0^\circ$  V;  $13,3 \angle -90^\circ$  V.

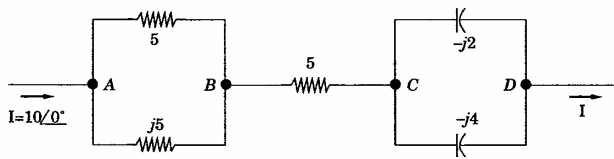


Figura 10-42

10.39 Empregando o método dos nós, determinar a tensão nas impedâncias em paralelo da Fig. 10-43.

Resp.:  $35 \angle -24,8^\circ$  V.

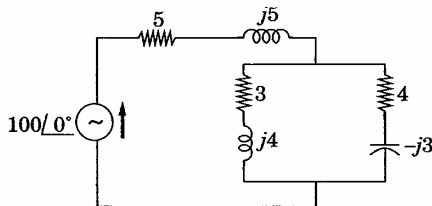


Figura 10-43

10.40 No circuito

fonte  $10 \angle$

Resp.: 3,1

10.41 Determinar:

10-45.

Resp.: 39

$30 \angle 0^\circ$

10.42 No circuito

o sentido

Resp.: 1,7

10.43 Determinar

corrente r

referência

Resp.: 95

Fig. 10-41 empre-

- 10.40** No circuito da Fig. 10-44, determinar as tensões dos nós  $V_1$  e  $V_2$  e a corrente na fonte  $10 \angle 30^\circ$  volts.  
 Resp.:  $3,02 \angle 65,2^\circ$  V;  $1,34 \angle -31,3^\circ$  V;  $1,44 \angle 38,8^\circ$  V.

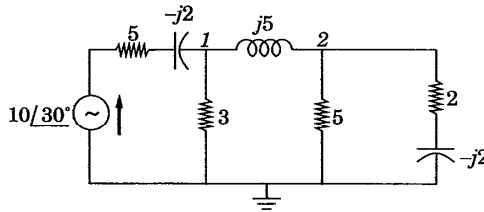


Figura 10-44

no circuito da Fig.

- 10.41** Determinar, pelo método dos nós, a potência no resistor de 6 ohms da Fig. 10-45.  
 Resp.: 39,6 W.

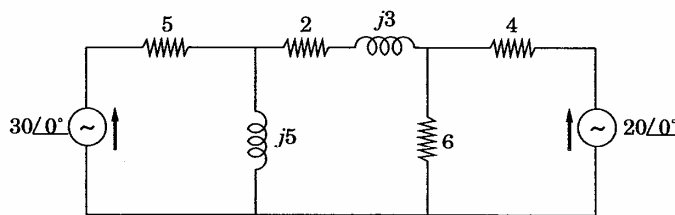


Figura 10-45

impedâncias em

- 10.42** No circuito da Fig. 10-45, determinar a corrente na impedância  $2 + j3$ , admitindo o sentido positivo para a direita.  
 Resp.:  $1,73 \angle 40^\circ$  A.
- 10.43** Determinar a tensão  $V_1$  no circuito da Fig. 10-46, de modo que seja nula a corrente no resistor de 4 ohms. Escolher um dos extremos desse resistor como referência.  
 Resp.:  $95,4 \angle -23,2^\circ$  V.

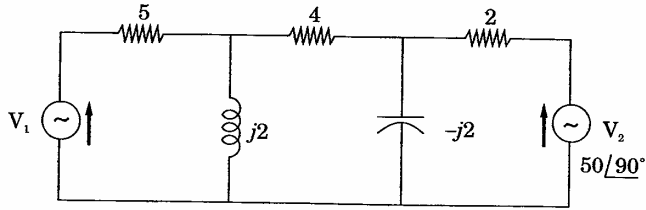


Figura 10-46

10.44 No circuito da Fig. 10-46,  $V_1 = 50 \angle 0^\circ$  e  $V_2$  é desconhecida. Determinar  $V_2$ , de modo que a corrente no resistor de 4 ohms seja nula.  
 Resp.:  $26,2 \angle 113,2^\circ$  V.

10.45 No circuito da Fig. 10-47, determinar a corrente  $I_3$  com o sentido ali indicado.  
 Resp.:  $11,7 \angle 112,9^\circ$  A.

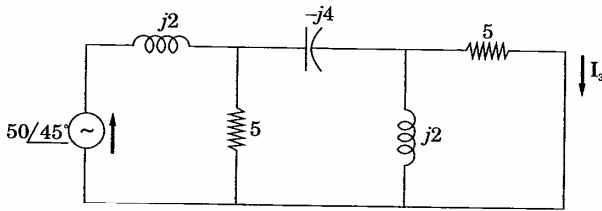


Figura 10-47

10.46 Calcular a relação entre as tensões de nós  $V_1/V_2$  no circuito da Fig. 10-48.  
 Resp.:  $2,26 \angle 96,35^\circ$ .

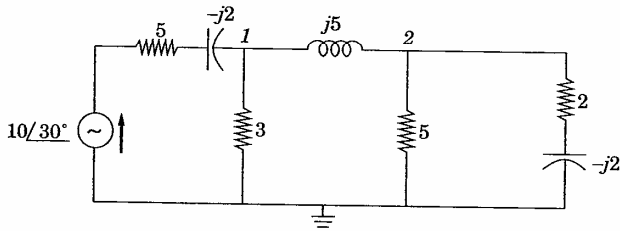


Figura 10-48

10.47 Determine o método de  
 Resp.: 1,5

$10 \angle 0^\circ$

10.48 Calcular a:  
 Resp.: 18,0

$50 \angle 0^\circ$

10.49 Determinar  
 nula a corrente  
 Resp.:  $4 \angle 1$

$10 \angle$

- 10.47 Determinar a tensão  $V_0$  no circuito da estrutura da Fig. 10-49, empregando o método dos nós.  
 Resp.:  $1,56 \angle 128,7^\circ$  V.

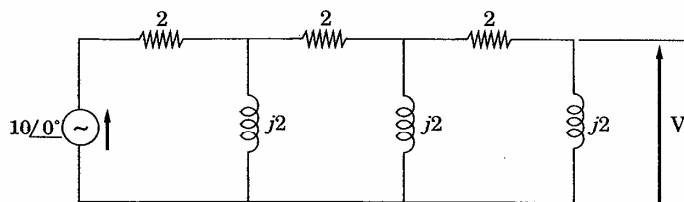


Figura 10-49

- 10.48 Calcular as tensões de nós  $V_1$  e  $V_2$  no circuito da Figura 10-50.  
 Resp.:  $18,6 \angle 68,2^\circ$  V.

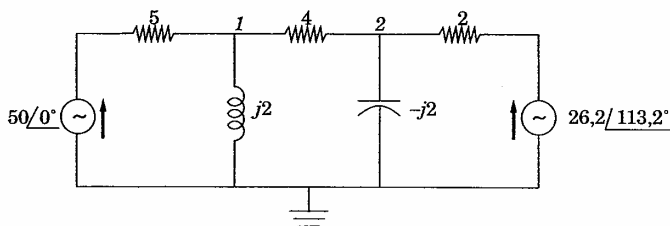


Figura 10-50

- 10.49 Determinar a tensão do gerador  $V_2$ , no circuito da Fig. 10-51, de modo que seja nula a corrente do mesmo.  
 Resp.:  $4 \angle 180^\circ$  V. Comparar com o Probl. 9.50.

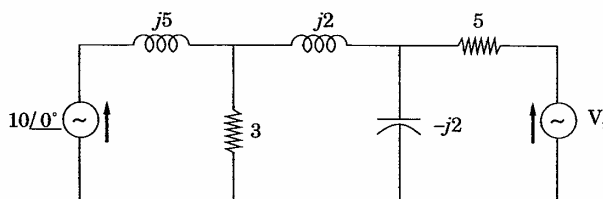


Figura 10-51

10.50 Na estrutura da Fig. 10-52, determinar a corrente  $I$ , de modo que a tensão  $V_{AB}$  seja  $5 \angle 30^\circ$  volts.  
 Resp.:  $9,72 \angle -16^\circ$  A.

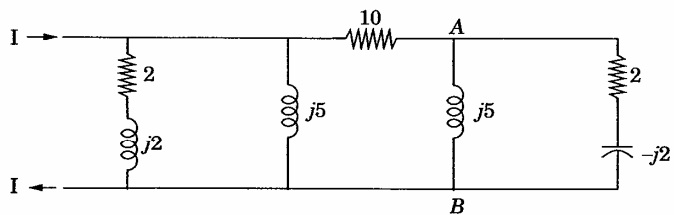
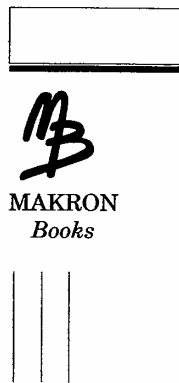


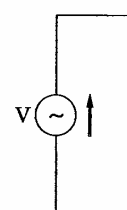
Figura 10-52



### Introdução

Uma e:  
 correntes de ma

Seja a  
 ligadas, uma de  
 do-se cada impe  
 consequenteme  
 balho necessári  
 estrutura ativa  
 e de Norton pre





MAKRON  
Books

## TEOREMAS DE THEVENIN E NORTON

### Introdução

Uma estrutura cujas impedâncias são fixas pode ser resolvida pelas correntes de malha ou pelo método das tensões dos nós.

Seja a estrutura da Fig. 11-1. As impedâncias  $Z_1$ ,  $Z_2$  e  $Z_3$  devem ser ligadas, uma de cada vez, ao circuito. Conforme o método empregado, inserindo-se cada impedância no circuito, resulta uma matriz diferente para  $Z$  ou  $Y$  e, conseqüentemente, são necessárias três soluções completas diferentes. O trabalho necessário para isso fica consideravelmente reduzido, se substituirmos a estrutura ativa por um circuito equivalente simples. Os teoremas de Thevenin e de Norton prestam-se a esse propósito.

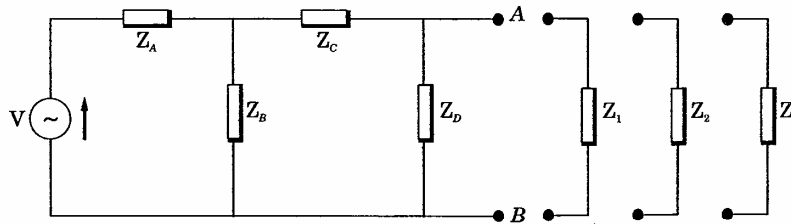


Figura 11-1

### Teorema de Thevenin

Esse teorema estabelece que qualquer estrutura linear ativa com terminais de saída como *AB* da Fig. 11-2(a) pode ser substituída por uma única fonte de tensão  $V^{\circ}$ , em série com uma impedância  $Z^{\circ}$ , como mostra a Fig. 11-2(b).

A *tensão equivalente de Thevenin*,  $V^{\circ}$ , é a tensão em circuito aberto medida nos terminais *AB*. A *impedância equivalente*,  $Z^{\circ}$ , é a impedância da estrutura, vista dos terminais *AB*, quando todas as fontes internas são anuladas\*.

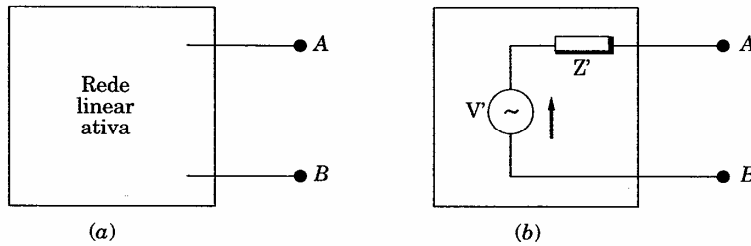


Figura 11-2 Circuito equivalente de Thevenin.

A polaridade da tensão  $V^{\circ}$  equivalente de Thevenin deve ser escolhida de modo que a corrente através de uma impedância ligada tenha o mesmo sentido que teria com a impedância ligada à estrutura ativa original.

#### Exemplo 1

Dado o circuito da Fig. 11-3, determinar o circuito equivalente de Thevenin, em relação aos terminais *AB*. Empregar o resultado, determinando a corrente nas duas impedâncias  $Z_1 = 5 - j5$  e  $Z_2 = 10 \angle 0^{\circ}$ , ligadas, cada uma, aos terminais *AB* e calcular a potência a elas fornecida.

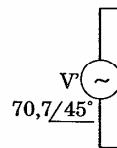
Na Fig. 11-3, a corrente é:

$$I = 50 \angle 0^{\circ} / (5 + j5 - j5) = 10 \angle 0^{\circ}$$

A tensão  $V^{\circ}$  de Thevenin equivalente é, então, a queda de tensão na impedância  $5 + j5$ . Logo,

A impe

O circu  
dirigida



Ligando  
Theven

$$I_1 =$$

\* N. T. Substituídas pelas respectivas impedâncias internas.

$$V = V_{AB} = I(5 + j5) = 70,7 \angle 45^\circ$$

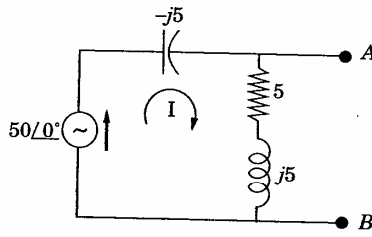


Figura 11-3

A impedância, vista dos terminais AB, é:

$$Z' = \frac{(5 + j5)(-j5)}{5 + j5 - j5} = 5 - j5$$

O circuito equivalente de Thevenin é o da Fig. 11-4(a) com a fonte V dirigida para o terminal A.

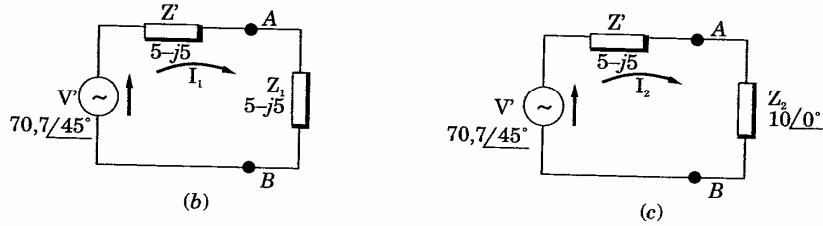
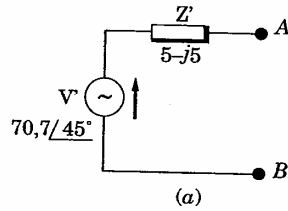


Figura 11-4

Ligando-se a impedância  $Z_1$  aos terminais do circuito equivalente de Thevenin, tem-se, como se vê na Fig. 11-4(b):

$$I_1 = (70,7 \angle 45^\circ) / (5 - j5 + 5 - j5) = 5 \angle 90^\circ \text{ e } P_1 = (I_1)^2 5 = 125 \text{ W}$$

ativa com ter-  
por uma única  
a Fig. 11-2(b).  
circuito aberto  
impedância da  
nas são anula-

● A  
● B

ser escolhida  
nha o mesmo  
nal.

nte de Theve-  
terminando a  
as, cada uma,

de tensão na

Quando a impedância  $Z_2$  é ligada, como na Fig. 11-4(c), tem-se:

$$I_2 = (70,7/45^\circ)/(5 - j5 + 10) = 4,47/63,43^\circ \text{ e } P_2 = (I_2)^2 10 = 200 \text{ W}$$

### Teorema de Norton

O teorema de Norton estabelece que qualquer circuito linear ativo de terminais de saída tais como  $AB$  da Fig. 11-5(a) pode ser substituído por uma única fonte de corrente  $I$  em paralelo com uma impedância  $Z'$  como mostra a Fig. 11-5(b).

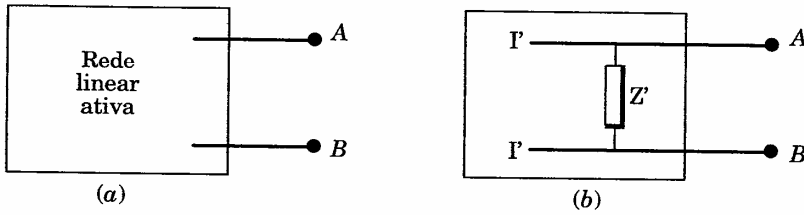


Figura 11-5 Circuito equivalente de Norton.

A corrente equivalente de Norton,  $I$ , é a corrente através do curto-circuito aplicado aos terminais da estrutura ativa. A impedância paralela  $Z'$  é a impedância vista dos terminais  $AB$ , quando todas as fontes internas são anuladas.\* Portanto, dado um circuito linear ativo, as impedâncias  $Z'$  dos circuitos equivalentes de Norton e Thevenin são iguais.

A corrente através de uma impedância ligada aos terminais do circuito equivalente de Norton deve ter o mesmo sentido que a corrente através da mesma impedância, ligada à estrutura ativa original.

#### Exemplo 2

Dado o circuito da Fig. 11-6, determinar o circuito equivalente de Norton, em relação aos terminais  $AB$ . Com o resultado obtido, calcular a corrente

nas imp  
terminai

Aplicado  
=50/0° /(-

A Fig. 11-  
corrente é  
Ligada a i  
como mos

$I_1 = I \left( \frac{Z}{Z + Z_1} \right)$   
 $Z_1$  é  $P_1 = I_1^2 Z_1$   
Quando a  
tem-se:  $I_2$

\* N. T. Substituídas pelas respectivas impedâncias internas.

nas impedâncias  $Z_1 = 5 - j5$  e  $Z_2 = 10/0^\circ$ , ligadas sucessivamente aos terminais  $AB$ , e determinar a potência fornecida a cada uma.

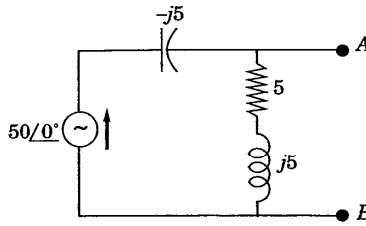


Figura 11-6

Aplicado um curto-circuito aos terminais  $AB$  (Fig. 11-7), temos  $I' = 50/0^\circ / (-j5) = 10/90^\circ$ . Anulada a fonte,  $Z' = \frac{-j5(5 + j5)}{5 + j5 - j5} = 5 - j5$ .

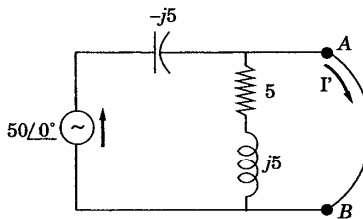


Figura 11-7

A Fig. 11-8(a) mostra o circuito equivalente de Norton. Observe-se que a corrente é dirigida para o terminal A.

Ligada a impedância  $Z_1$  aos terminais do circuito equivalente de Norton, como mostra a Fig. 11-8(b), tem-se a corrente em  $Z_1$ .

$$I_1 = I' \left( \frac{Z'}{Z' + Z_1} \right) = 10 \angle 90^\circ \left( \frac{5 - j5}{10 - j10} \right) = 5 \angle 90^\circ. \text{ A potência fornecida a } Z_1 \text{ é } P_1 = 5(I_1)^2 = 125 \text{ W}$$

Quando a impedância  $Z_2$  é ligada em  $AB$ , como se vê na Fig. 11-8(c), tem-se:  $I_2 = I'(5 - j5)/(15 - j5) = 4,47/63,43^\circ$  e  $P_2 = 10 (I_2)^2 = 200 \text{ W}$ .

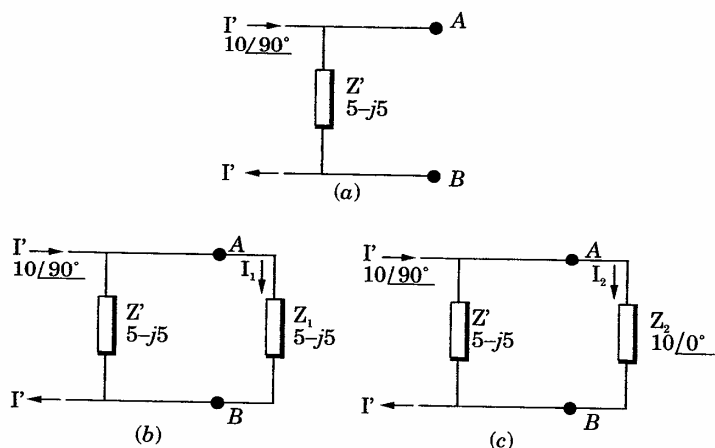


Figura 11-8

Na Fig. terminais  $AB$ , e corrente no The correntes são ig de Norton e a t

A mesr aberto em cada  $I'Z'$ . Igualando

Os circ freqüência. As impedância equ foram determin ativa. Uma vez circuitos de The foram calculad

### Circuitos Equivalentes de Thevenin e Norton

Os teoremas de Thevenin e de Norton foram aplicados aos dois circuitos idênticos do exemplo 1 e do exemplo 2, respectivamente, obtendo-se resultados idênticos. Segue-se que os circuitos de Thevenin e de Norton são equivalentes entre si.\*

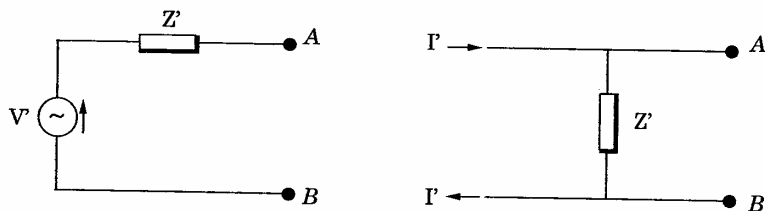


Figura 11-9 Circuitos de Thevenin e Norton.

#### 11.1 Determinar

A impedân impedânci

$$Z' = j5 +$$

A corrente =  $1,117 / -2 j4$  ohms.

\* N. R. Na realidade se diz que um é o dual do outro.

Na Fig. 11-9 encontra-se a mesma impedância  $Z'$  à esquerda dos terminais  $AB$ , em ambos os circuitos. Aplicando-se um curto em cada circuito, a corrente no Thevenin é dada por  $V'/Z'$ , enquanto no Norton é  $I$ . Como as duas correntes são iguais, temos uma relação entre a corrente do circuito equivalente de Norton e a tensão equivalente de Thevenin, isto é,  $I = V'/Z'$ .

A mesma relação pode ser obtida se for considerada a tensão circuito aberto em cada circuito. Para o circuito de Thevenin, ela é  $V'$  e, para o Norton,  $I'Z'$ . Igualando as duas tensões,  $V' = I'Z'$  ou  $I' = V'/Z'$ , como vimos acima.

Os circuitos de Thevenin e de Norton são *equivalentes para uma só frequência*. As impedâncias complexas da estrutura ativa foram reduzidas à impedância equivalente  $Z'$ . A tensão equivalente  $V'$  e a corrente equivalente  $I'$  foram determinadas com o emprego das impedâncias complexas da estrutura ativa. Uma vez que as reatâncias dependem da frequência, conclui-se que os circuitos de Thevenin e de Norton são *equivalentes apenas na frequência em que foram calculados*.

### Problemas Resolvidos

- 11.1 Determinar o circuito equivalente de Thevenin da estrutura ativa da Fig. 11-10.

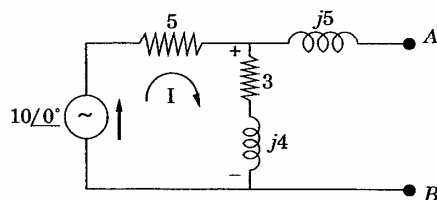


Figura 11-10

A impedância equivalente  $Z'$  é calculada substituindo-se a fonte por sua impedância interna. Assim, temos:

$$Z' = j5 + \frac{5(3 + j4)}{5 + 3 - j4} = 2,5 + j6,25$$

A corrente  $I$  do circuito aberto da Fig. 11-10 é  $I = (10\angle 0^\circ)/(5 + 3 + j4) = 1,117\angle -26,6^\circ$ . A tensão em circuito aberto é a queda na impedância  $(3 + j4)$  ohms.

$$V = I(3 + j4) = (1,117 / -26,6^\circ)(5 / 53,1^\circ) = 5,58 / 26,5^\circ$$

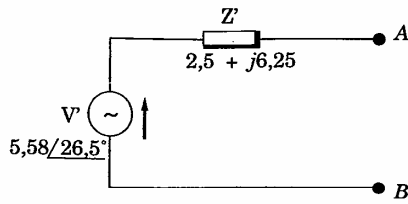


Figura 11-11

A polaridade de  $V$  é dada pelo sentido da corrente que entra na impedância  $3 + j4$ . Assim, a fonte  $V$  debita no sentido do terminal  $A$  no circuito equivalente da Fig. 11-11.

11.2 Determinar o circuito equivalente de Norton da estrutura ativa da Fig. 11-10.

A impedância equivalente é a mesma calculada no Probl. 11.1:  $Z' = 2,5 + j6,25$ .

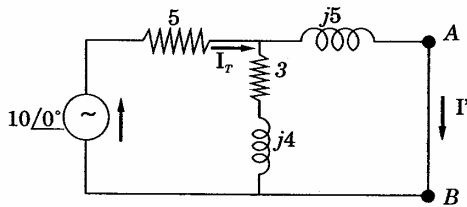


Figura 11-12

Aplicado um curto-circuito aos terminais  $AB$ , como mostra a Fig. 11-12, a impedância total que o circuito apresenta à fonte  $10 / 0^\circ$  é:

$$Z_T = 5 + \frac{(3 + j4)j5}{3 + j4 + j5} = 5,83 + j2,5 = 6,35 / 23,2^\circ$$

Assim:

$$I_T = 10 / 0^\circ / Z_T = (10 / 0^\circ) / (6,35 / 23,2^\circ) = 1,575 / -23,2^\circ \text{ e}$$

$$I = I_T \frac{3 + j4}{3 + j4 + j5} = 1,575 / -23,2^\circ \left( \frac{5 / 53,1^\circ}{3 + j9} \right) = 0,83 / -41,65^\circ$$

A Fig. 11 corrente terminal

11.3 Nos terminais a potência

Determinante é  $I$  é  $V_5 = I(5)$

Expressa  $V_{AB} = V'$

Quando a igual à c

$$Z' = \frac{5}{2}$$

\* N. T. Melhor

A Fig. 11-13 mostra o circuito equivalente de Norton. Observe-se que a corrente  $I$  é dirigida para A, já que a corrente do curto-circuito entra pelo terminal A.

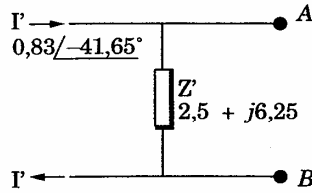


Figura 11-13

- 11.3 Nos terminais AB do circuito de corrente contínua da Fig.11-14, ligam-se, sucessivamente, três resistores  $R_1 = 1$  ohm,  $R_2 = 5$  ohms e  $R_3 = 10$  ohms. Determinar a potência dissipada em cada resistor.

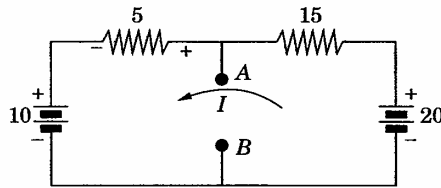


Figura 11-14

Determina-se o circuito equivalente de Thevenin. Na Fig. 11-14, a corrente é  $I = (20 - 10)/(5 + 15) = 0,5$  ampère. A queda no resistor de 5 ohms é  $V_5 = I(5) = 2,5$  volts com a polaridade indicada.

Exprime-se a tensão de A em relação à B, isto é,

$$V_{AB} = V' = 10 + V_5 = 12,5 \text{ volts}$$

Quando as fontes de tensão contínua são anuladas \*, a impedância  $Z'$  fica igual à combinação paralela dos resistores de 5 e 15 ohms,

$$Z' = \frac{5 \cdot 15}{20} = 3,75$$

\* N. T. Melhor diríamos, substituídas pelas respectivas impedâncias internas.

41,65°

na impedân-  
l A no circuito

a Fig. 11-10.

11.1:  $Z' = 2,5 +$

a Fig. 11-12, a

A Fig. 11-15 mostra o Thevenin equivalente. Ligando-se cada um dos três resistores aos terminais AB, pode-se calcular as potências respectivas.

Para  $R_1 = 1 \text{ ohm}$ ,  $I_1 = 12,5/(3,75 + 1) = 2,63 \text{ A}$

e  $P_1 = (I_1)^2 (1) = (2,63)^2 (1) = 6,91 \text{ W}$ .

Para  $R_2 = 5 \text{ ohms}$ ,  $I_2 = 12,5/(3,75 + 5) = 1,43 \text{ A}$

e  $P_2 = (I_2)^2 (5) = (1,43)^2 (5) = 10,2 \text{ W}$ .

Para  $R_3 = 10 \text{ ohms}$ ,  $I_3 = 12,5/(3,75 + 10) = 0,91 \text{ A}$

e  $P_3 = (I_3)^2 (10) = (0,91)^2 (10) = 8,28 \text{ W}$ .

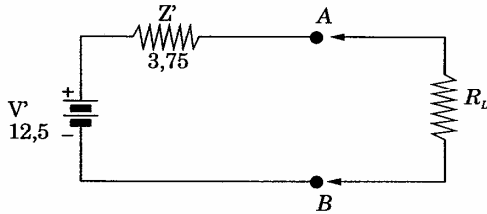


Figura 11-15

11.4 Para o circuito da Fig. 11-16, determinar o circuito equivalente de Norton, em relação aos terminais AB.

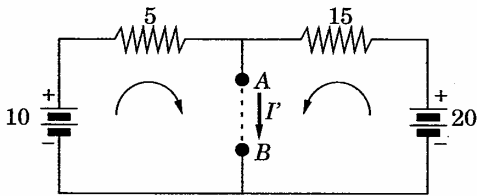


Figura 11-16

Aplicando um curto-circuito aos terminais AB, determina-se  $I'$ :

$I' = 10/5 + 20/15 = 3,33 \text{ A}$

A impedância, é

$Z' = 5(15$

A Fig. 11

11.5 Determina  
No circui  
A corren

$$I_2 = \frac{5}{55}$$

55

A tensão  
redução

la um dos três respectivas.

A impedância equivalente, vista desses terminais, anuladas as fontes de tensão, é:

$$Z' = 5(15)/(5 + 15) = 3,75 \text{ ohms.}$$

A Fig. 11-17 apresenta o circuito equivalente de Norton.

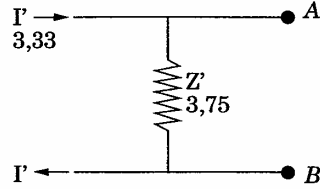


Figura 11-17

11.5 Determinar o Thevenin equivalente do circuito da Fig. 11-18.

No circuito aberto, há duas correntes de malha, como mostra o diagrama. A corrente  $I_2$  é dada por

$$I_2 = \frac{\begin{vmatrix} 5 + j5 & 55,8 \angle -17,4^\circ \\ -j5 & 0 \end{vmatrix}}{\begin{vmatrix} 5 + j5 & -j5 \\ -j5 & 8 + j8 \end{vmatrix}} = \frac{279 \angle 72,6^\circ}{83,7 \angle 72,6^\circ} = 3,33 \angle 0^\circ$$

de Norton, em

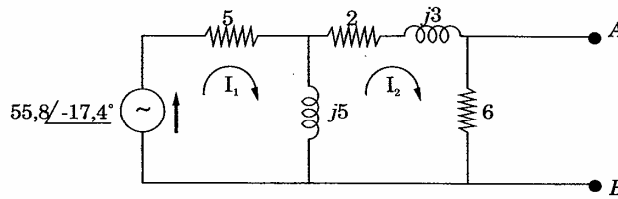


Figura 11-18

se  $I'$ :

A tensão em circuito aberto será  $V_{AB} = I_2 (6) = 3,33 \angle 0^\circ (6) = 20 \angle 0^\circ$ . Pela redução do circuito,

$$Z' = \frac{6 \left[ \frac{5(j5)}{5 + j5} + (2 + j3) \right]}{6 + \left[ \frac{5(j5)}{5 + j5} + (2 + j3) \right]} = 3,32 + j1,41$$

A Fig. 11-19 mostra o circuito equivalente Thevenin com  $V'$  dirigido para A.

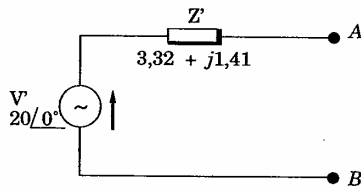


Figura 11-19

11.6 Determinar o circuito equivalente de Norton para o circuito da Fig. 11-18.

Aplicado um curto-circuito em AB, obtém-se a corrente  $I_2$ , através do curto:

$$I_2 = \mathbf{I} = \frac{\begin{vmatrix} 5 + j5 & 55,8 \angle -17,4^\circ \\ -j5 & 0 \end{vmatrix}}{\begin{vmatrix} 5 + j5 & -j5 \\ -j5 & 5 + j8 \end{vmatrix}} = \frac{279 \angle 72,6^\circ}{(-5 + j50)} = 5,58 \angle -23,14^\circ$$

A impedância  $Z' = 3,32 + j1,41$  foi calculada no Probl. 11.5.

Como verificação, a tensão em circuito aberto do circuito equivalente de Norton, mostrado na Fig. 11-20, pode ser comparada com  $V'$  de Thevenin do Probl. 11.5.

$$V_{ab} = \mathbf{I}Z' = 5,58 \angle -23,14^\circ (3,32 + j1,41) = 20,1 \angle -0,140$$

No Probl.

11.7 Substituir c terminais A

Na única r

$$\mathbf{I} = 20 \angle 0^\circ$$

A queda de

A tensão  $V$  de 10 ohm:

$$V' = V_{AB} =$$

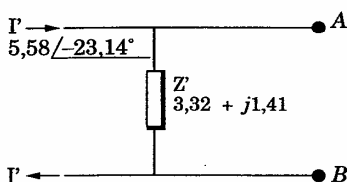


Figura 11-20

No Probl. 11.5,  $V^{\circ} = 20/0^{\circ}$ . Resultados bastante próximos.

- 11.7 Substituir o circuito ativo da Fig. 11-21 por um equivalente de Thevenin nos terminais AB.

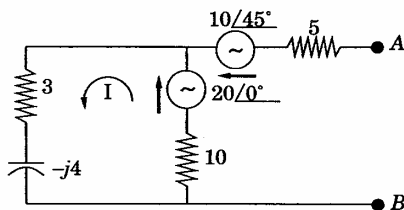


Figura 11-21

Na única malha do circuito, a corrente é:

$$I = 20/0^{\circ} / (10 + 3 - j4) = 1,47 / 17,1^{\circ}$$

A queda de tensão no resistor de 10 ohms é, então,  $V_{10} = I(10) = 14,7/17,1^{\circ}$ .

A tensão  $V_{AB}$  é a soma das tensões das duas fontes e da queda no resistor de 10 ohms, com as polaridades indicadas na Fig. 11-22. Assim,

$$V^{\circ} = V_{AB} = 20/0^{\circ} - 10/45^{\circ} - 14,7/17,1^{\circ} = 11,39/264,4^{\circ}$$

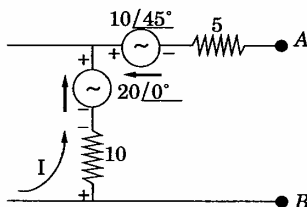


Figura 11-22

$I^{\circ}$  dirigido para

g. 11-18.  
 $I_2$ , através do

$-23,14^{\circ}$

equivalente de  
 $V^{\circ}$  de Thevenin

A impedância  $Z' = 5 + \frac{10(3 - j4)}{10 + 3 - j4} = 7,97 - j2,16$ .

A Fig. 11-23 mostra o circuito equivalente de Thevenin.

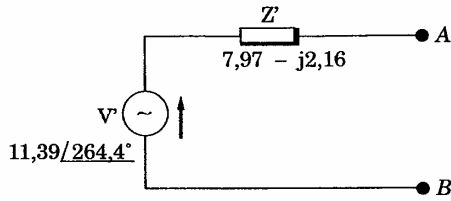


Figura 11-23

11.8 Determinar o circuito equivalente de Norton do circuito da Fig. 11-21.

$Z' = 7,97 - j2,16$ , calculada no Probl. 11.7.

Aplicando um curto-circuito nos terminais  $AB$  e escolhendo o sentido dos ponteiros do relógio para as correntes nas malhas principais, temos

$$I' = I_2 = \frac{\begin{vmatrix} 13 - j4 & -20 \\ -10 & (20 - 10/45^\circ) \end{vmatrix}}{\begin{vmatrix} 13 - j4 & -10 \\ -10 & 15 \end{vmatrix}} = \frac{156 \angle 247,4^\circ}{112,3 \angle -32,3^\circ} = 1,39 \angle 279,7^\circ$$

No Norton, a fonte de corrente  $I'$  debita no terminal  $A$ , como mostra a Fig. 11-24.

Comparando a tensão em circuito aberto  $V_{ab}$ , deste circuito, com a tensão  $V'$  do Thevenin equivalente do Probl. 11.7:

$$V_{ab} = I'Z' = (1,39 \angle 279,7^\circ)(8,25 \angle -15,2^\circ) = 11,45 \angle 264,5^\circ$$

e  $V' = 11,39 \angle 264,4^\circ$

11.9 No circuito de

Anulada e  
nais, const

$$Z' = \frac{5 -}{5 +}$$

Em circuit  
 $I_1$  pelo dia

$$I_1 = 5 \angle 30$$

Uma vez q

$$V' = I_1(5 +$$

A Fig. 11-2

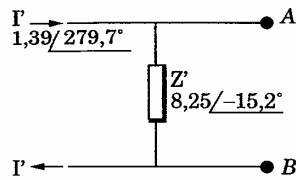


Figura 11-24

11.9 No circuito ativo da Fig. 11.25 há uma fonte de corrente  $I = 5/30^\circ$ . Achar o circuito de Thevenin equivalente, nos terminais AB.

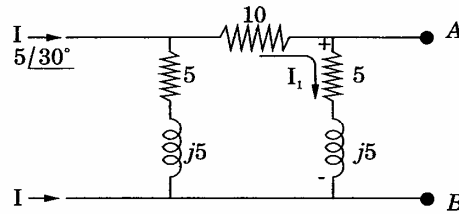


Figura 11-25

Anulada a fonte, a impedância equivalente, vista daqueles dois terminais, consta de dois ramos em paralelo. Então,

$$Z' = \frac{(5 + j5)(15 + j5)}{(5 + j5 + 15 + j5)} = 4 + j3$$

Em circuito aberto, a corrente  $I$  se divide entre os dois ramos. Calculando  $I_1$  pelo diagrama, temos:

$$I_1 = 5 / 30^\circ \left( \frac{5 + j5}{20 + j10} \right) = 1,585 / 48,4^\circ$$

Uma vez que a tensão  $V_{AB} = V'$  é a queda de tensão na impedância  $5 + j5$

$$V' = I_1(5 + j5) = (1,585/48,4^\circ) (7,07/45^\circ) = 11,2/93,4^\circ$$

A Fig. 11-26 mostra o circuito de Thevenin equivalente.

11-21.  
do o sentido dos  
ais, temos  
  
= 1,39 / 279,7°  
  
no mostra a Fig.  
to, com a tensão

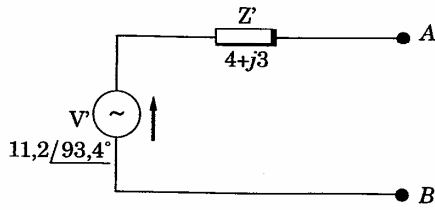


Figura 11-26

11.10 Determinar o circuito equivalente de Norton do circuito ativo da Fig. 11-25.

A impedância equivalente, calculada no Probl. 11.9, é  $Z' = 4 + j3 = 5/36,9^\circ$ .

Aplicando um curto-circuito em AB da Fig. 11-25, a corrente nesse circuito é

$$I = 5/30^\circ \left( \frac{5 + 5}{5 + j5 + 10} \right) = 2,24/56,6^\circ$$

A Fig. 11-27 apresenta o circuito equivalente de Norton.

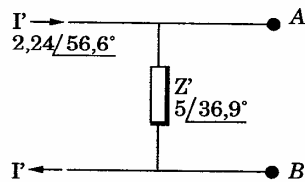


Figura 11-27

A circuito aberto, o circuito equivalente de Norton tem uma tensão  $V_{ab} = (2,24/56,6^\circ)(5/36,9^\circ) = 11,2/93,5^\circ$ . No Probl. 11.9, a tensão do Thevenin equivalente é  $V' = 11,2/93,4^\circ$ .

11.11 Determinar o Thevenin equivalente ao circuito em ponte dado na Fig. 11.28. Em que condições a tensão em circuito aberto dos terminais AB é igual a zero?

Anulada AB, é cor  
combinaç

$$Z' = \frac{Z_1}{Z_1 + Z_2}$$

A circuito  
diagrama

$$I_1 = V_g / Z_1$$

Admitind

$$V' = V_{AB}$$

$$= \frac{V_g Z_4}{Z_1 + Z_2}$$

$$= V_g \left[ \frac{Z_4}{Z_1 + Z_2} \right]$$

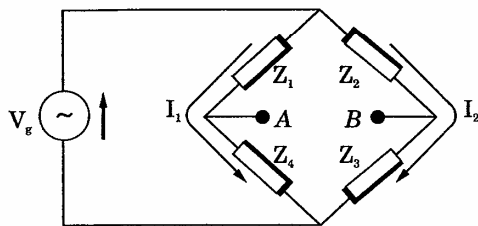


Figura 11-28

Anulada a fonte de tensão, a impedância equivalente, vista dos terminais  $AB$ , é constituída pela combinação paralela de  $Z_1$  e  $Z_4$ , em série com a combinação paralela de  $Z_2$  e  $Z_3$ . Então,

$$Z' = \frac{Z_1 Z_4}{Z_1 + Z_4} + \frac{Z_2 Z_3}{Z_2 + Z_3}$$

A circuito aberto, a fonte  $V_g$  acarreta as correntes  $I_1$  e  $I_2$ , mostradas no diagrama.

$$I_1 = V_g / (Z_1 + Z_4) \text{ e } I_2 = V_g / (Z_2 + Z_3)$$

Admitindo que o potencial de  $A$  é superior ao de  $B$ , temos:

$$\begin{aligned} V' &= V_{AB} = I_1 Z_4 - I_2 Z_3 \\ &= \frac{V_g Z_4}{Z_1 + Z_4} - \frac{V_g Z_3}{Z_2 + Z_3} \\ &= V_g \left[ \frac{Z_2 Z_4 - Z_1 Z_3}{(Z_1 + Z_4)(Z_2 + Z_3)} \right] \end{aligned}$$

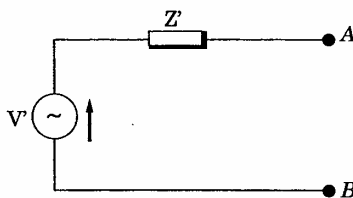


Figura 11-29

Fig. 11-25.  
 $Z' = 4 + j3 =$

te nesse circui-

a tensão  $V_{ab} =$   
 io do Thevenin

a Fig. 11.28. Em  
 qual a zero?

A tensão  $V$  do Thevenin equivalente é proporcional à diferença  $Z_2 Z_4 - Z_1 Z_3$ . Quando  $Z_2 Z_4 = Z_1 Z_3$ , a tensão  $V = 0$ .

11.12 Determinar o Thevenin equivalente do circuito em ponte da Fig. 11-30.

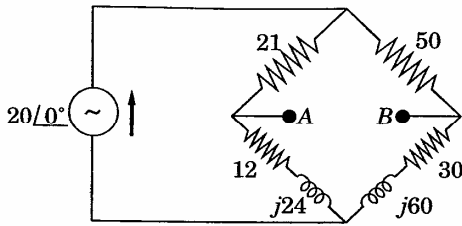


Figura 11-30

A impedância equivalente nos terminais AB, depois de anulada a fonte, é:

$$Z' = \frac{21(12 + j24)}{33 + j24} + \frac{50(30 + j60)}{80 + j60} = 47,4 \angle 26,8^\circ$$

Em circuito aberto, a corrente, no lado esquerdo da ponte, é  $I_1 = (20\angle 0^\circ)/(33 + j24)$ . No lado direito,  $I_2 = (20\angle 0^\circ)/(80 + j60)$ .

Admitindo que o ponto A tem potencial superior ao de B, temos:

$$V' = V_{AB} = \frac{(20\angle 0^\circ)(12 + j24)}{33 + j24} - \frac{(20\angle 0^\circ)(30 + j60)}{80 + j60}$$

$$= (20\angle 0^\circ)(1 + j2) \left[ \frac{12}{33 + j24} - \frac{30}{80 + j60} \right] = 0,328 \angle 170,5^\circ$$

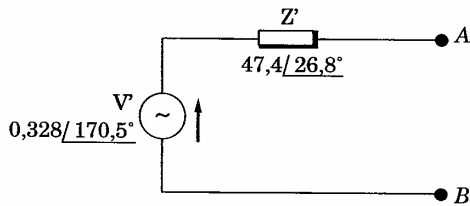


Figura 11-31

11.13 Substituir equivalente circuito ec

A impedância 5 equivalente

$$Z_1 = \frac{5}{6}$$

$Z_1$  está e:

$$Z_2 = 1,9$$

$Z'$  é obtid

$$Z' = \frac{1,9}{6}$$

Consider malha.

$$I_2 = \frac{8}{8}$$

A tensão

$$V' = I_2(5)$$

- 11.13 Substituir o circuito à esquerda dos terminais  $AB$  da Fig. 11-32 pelo Thevenin equivalente. Em seguida, determinar a corrente na impedância  $2 - j2$ , ligada ao circuito equivalente.

A impedância  $Z'$  pode ser encontrada pela redução da estrutura. A impedância  $5 - j2$  está em paralelo com a resistência de 3 ohms. A impedância equivalente é

$$Z_1 = \frac{(5 - j2)(3 + j0)}{8 - j2} = 1,94 - j0,265$$

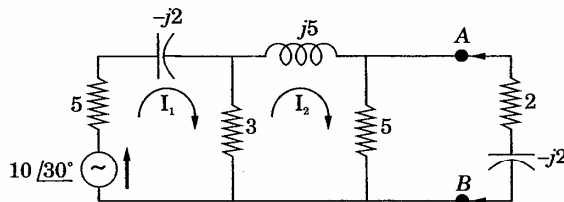


Figura 11-32

$Z_1$  está em série com  $j5$ . Somando as duas, obtemos

$$Z_2 = 1,94 - j0,265 + j5 = 1,94 + j4,735$$

$Z'$  é obtida pela combinação de  $Z_2$  e o resistor de 5 ohms. Assim,

$$Z' = \frac{(1,94 + j4,735)(5)}{6,94 + j4,735} = 3,04 \angle 33,4^\circ = 2,54 + j1,67$$

Considerando o circuito aberto, calcula-se  $I_2$  pelo método da corrente de malha.

$$I_2 = \frac{\begin{vmatrix} 8 - j2 & 10 \angle 30^\circ \\ -3 & 0 \end{vmatrix}}{\begin{vmatrix} 8 - j2 & -3 \\ -3 & 8 + j5 \end{vmatrix}} = \frac{30 \angle 30^\circ}{69,25 \angle 20,3^\circ} = 0,433 \angle 9,7^\circ$$

A tensão a circuito aberto é a queda no resistor de 5 ohms:

$$V = I_2(5) = (0,433 \angle 9,7^\circ) 5 = 2,16 \angle 9,7^\circ$$

Conectando a impedância  $2 - j2$  ao Thevenin equivalente (Fig. 11-33), a corrente pedida será:

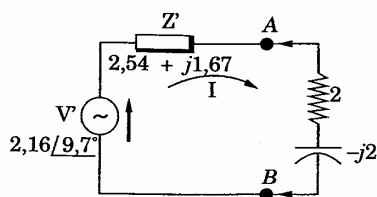


Figura 11-33

$$I = V / (Z + 2 - j2) = (2,16/9,7°) / (4,54 - j0,33) = 0,475/13,86°$$

11.14 Determinar uma tensão  $V_2$ , no circuito da Fig. 11-34, de modo que seja nula a corrente na impedância  $2 + j3$ .

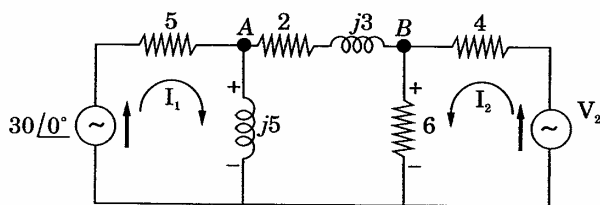


Figura 11-34

Aplica-se o teorema de Thevenin ao circuito dado e obtém-se a tensão equivalente medida nos terminais  $AB$ . A circuito aberto, as duas correntes de malha são  $I_1 = (30/0°) / (5 + j5)$  e  $I_2 = V_2 / 10$ .

Supondo que o potencial de  $A$  seja mais alto que o de  $B$ , tem-se:

$$V = V_{AB} = I_1(j5) - I_2(6) = 30/0°(j5)/(5 + j5) - V_2(6)/10 = 21,2/45° - 0,6V_2$$

A corrente no Thevenin equivalente da Fig. 11-35 será nula se  $V = 0$ . Então,

$$0 = 21,2/45° - 0,6 V_2 \therefore V_2 = 35,4/45° \text{ (veja Probl. 9.19)}$$

Observação: o valor da impedância  $Z'$  da Fig. 11-35 não é necessário no problema. Entretanto, seu cálculo é deixado ao leitor como exercício.

11.15 Determina na fonte 2

Calcula-s terminais O valor de

$$I_2 = \frac{5}{5 + j5}$$

A tensão e

$$V = \frac{V_1}{83,6}$$

Ao se liga mostra a l V' deverá V1 = 20/0°

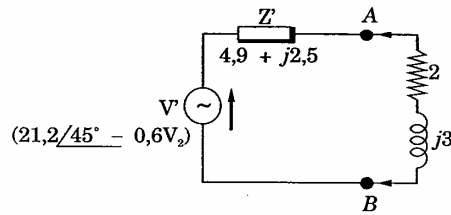


Figura 11-35

11.15 Determinar a tensão  $V_1$  da fonte da Fig. 11-36, de modo que seja nula a corrente na fonte  $20/0^\circ$ .

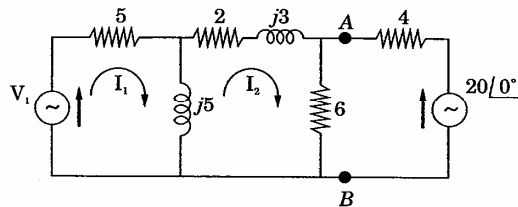


Figura 11-36

Calcula-se o equivalente de Thevenin para o circuito ativo à esquerda dos terminais  $AB$ . A circuito aberto, existem duas correntes de malha,  $I_1$  e  $I_2$ . O valor de  $I_2$  é

$$I_2 = \frac{\begin{vmatrix} 5 + j5 & V_1 \\ -j5 & 0 \end{vmatrix}}{\begin{vmatrix} 5 + j5 & -j5 \\ -j5 & 8 + j8 \end{vmatrix}} = \frac{V_1 5 / 90^\circ}{83,6 / 72,6^\circ}$$

A tensão a circuito aberto é agora a queda no resistor de 6 ohms,  $I_2 (6)$ :

$$V' = \frac{V_1 5 / 90^\circ}{83,6 / 72,6^\circ} (6) = (0,359 / 17,4^\circ) V_1$$

Ao se ligar o circuito equivalente de Thevenin aos terminais  $AB$ , como mostra a Fig. 11-37, fica evidenciado que, para que a corrente seja nula,  $V'$  deverá ser igual à outra fonte, isto é,  $V' = 20/0^\circ$ . Assim,  $(0,359/17,4^\circ) V_1 = 20/0^\circ$ , donde  $V_1 = 55,7 / -17,4^\circ$  (veja Probl. 9.20).

Também neste caso é válida a observação feita no final do problema anterior.

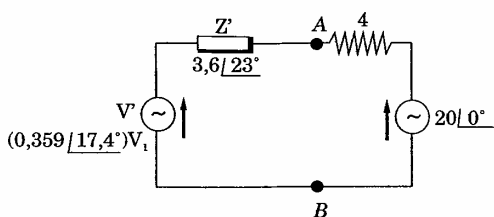


Figura 11-37

11.16 Três impedâncias,  $Z_1 = 10/30^\circ$ ,  $Z_2 = 20/0^\circ$  e  $Z_3 = 5 - j5$ , deverão ser ligadas, sucessivamente, aos terminais AB da Fig. 11-38. Determinar a potência dissipada em cada uma delas.

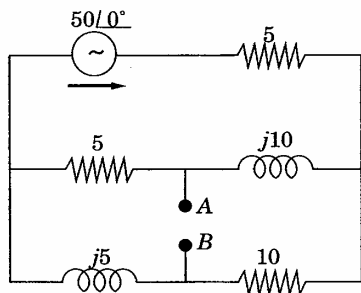


Figura 11-38

Substituído o circuito por seu equivalente Thevenin nos terminais AB, as impedâncias são aí ligadas, uma de cada vez.

Para o cálculo da impedância de entrada escolhem-se três cortes de malha, como se uma fonte hipotética estivesse debitando entre os terminais AB, conforme mostra a Fig. 11-39. A impedância de entrada  $Z_{eI}$  é  $Z'$  do circuito de Thevenin. Da definição de  $Z_e$ , temos  $Z_{eI} = \Delta_z / \Delta_{11}$ , onde

$$\Delta_z = \begin{vmatrix} (5 + j5) & -5 & (5 + j5) \\ -5 & (10 + j10) & (-5 - j10) \\ (5 + j5) & (-5 - j10) & (15 + j15) \end{vmatrix} = 1455 / 121^\circ$$

e

$$\Delta_{11} = \begin{vmatrix} 1 \\ - \\ - \end{vmatrix}$$

Substitui  
+  $j5,34$ .

A circuito  
11-40. São

$$I_1 = \frac{|}{10}$$

$$\Delta_{11} = \begin{vmatrix} (10 + j10) & (-5 - 10) \\ (-5 - j10) & (15 + j15) \end{vmatrix} = 213,5 \angle 69,4^\circ$$

Substituindo  $Z' = Z_{e1} = \Delta_z / \Delta_{11} = 1455 / \underline{121^\circ} / 213,5 / \underline{69,4^\circ} = 6,82 / \underline{51,6^\circ} = 4,23 + j5,34$ .

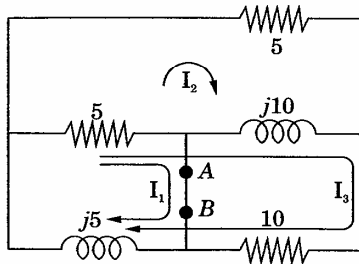


Figura 11-39

A circuito aberto há duas correntes de malha,  $I_1$  e  $I_2$ , como se vê na Fig. 11-40. São elas:

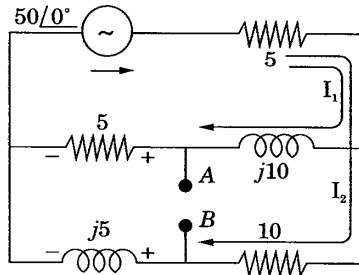


Figura 11-40

$$I_1 = \frac{\begin{vmatrix} 50 & 5 \\ 50 & 15 + j5 \end{vmatrix}}{\begin{vmatrix} 10 + j10 & 5 \\ 5 & 15 + j5 \end{vmatrix}} = \frac{558 \angle 26,6^\circ}{213,5 \angle 69,4^\circ} = 2,62 \angle -42,8^\circ$$

al do problema

erão ser ligadas, potência dissipa-

erminais AB, as

três cortes de entre os termi- entrada  $Z_{e1}$  é  $Z'$   $\Delta_{11}$ , onde

e

$$I_2 = \frac{\begin{vmatrix} 10 + j10 & 50 \\ 5 & 50 \end{vmatrix}}{\Delta_z} = \frac{558 \angle 63,4^\circ}{213,5 \angle 69,4^\circ} = 2,62 \angle -6^\circ$$

A tensão do equivalente Thevenin  $V'$  é a tensão em circuito aberto  $V_{AB}$ , admitindo-se o ponto  $A$  a um potencial maior do que o de  $B$ . Na Fig. 11-40, as quedas de tensão no resistor de 5 ohms do ramo central e na reatância  $j5$  do ramo inferior estão indicadas com polaridades instantâneas. Então,

$$V' = V_{AB} = I_1(5) - I_2(j5) = (2,62 \angle -42,8^\circ)(5) - (2,62 \angle -6^\circ)(5 \angle 90^\circ) = 23,4 \angle -69,4^\circ$$

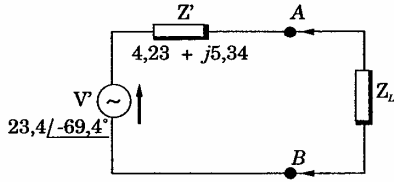


Figura 11-41

A Fig. 11-41 mostra o circuito equivalente de Thevenin com a impedância de carga  $Z_L$  ligada aos terminais  $AB$ .

Substituindo os valores de  $Z_L$  dados, em  $I = V'/(Z + Z_L)$ , obtêm-se as correntes e as potências pedidas. Assim, temos:

Com  $Z_L = Z_1 = 10 \angle 30^\circ = 8,66 + j5$ ,

$$I_1 = \frac{23,4 \angle -69,4^\circ}{(4,23 + j5,34 + 8,66 + j5)} = 1,414 \angle -108,2^\circ$$

e  $P_1 = (I_1)^2 \text{Re}Z_1 = (1,414)^2 (8,66) = 17,32 \text{ W}$ ;

com  $Z_L = Z_2 = 20 \angle 0^\circ$ , temos:

$$I_2 = \frac{23,4 \angle -69,4^\circ}{(4,23 + j5,34 + 20)} = 0,940 \angle -81,8^\circ \text{ e } P_2 = (0,940)^2(20) = 17,65 \text{ W}$$

com  $Z_L = 1$

$$I_3 = \frac{1}{(4,23 + j5,34)}$$

11.17 Determinar da Fig. 11-40,  $Z'$  =

11.18 Obter o circuito equivalente de Thevenin.  $Z'$  =

11.19 Obter o circuito equivalente de Norton.  $Z'$  =

$$50 \text{ V} \frac{+}{-}$$

11.20 Determinar a potência máxima transferida.  $Z'$  =

com  $Z_L = Z_3 = 5 - j5$ , temos:

$$I_3 = \frac{23,4 \angle -69,4^\circ}{(4,23 + j5,34 + 5 - j5)} = 2,54 \angle -71,5^\circ \text{ e } P_3 = (2,54)^2(5) = 32,3 \text{ W.}$$

**Problemas Propostos**

11.17 Determinar o circuito equivalente de Thevenin nos terminais AB do circuito ativo da Fig. 11-42.

Resp.:  $Z' = 9,43 \text{ ohms}$ ;  $V' = 6,29 \text{ V (B+)}$ .

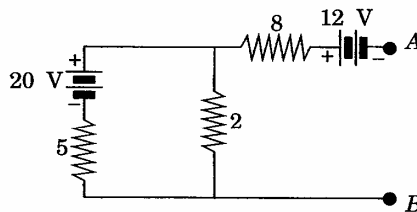


Figura 11-42

11.18 Obter o circuito equivalente de Norton do circuito da Fig. 11-42.

Resp.:  $Z' = 9,43 \text{ ohms}$ ;  $I' = 0,667 \text{ A}$ .

11.19 Obter o circuito equivalente de Thevenin nos terminais AB do circuito ativo da Fig. 11.43.

Resp.:  $Z' = 1,52 \text{ ohms}$ ;  $V' = 11,18 \text{ V (B+)}$ .

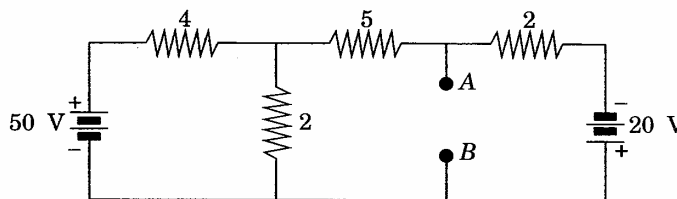


Figura 11-43

11.20 Determinar o circuito equivalente de Norton no circuito da Fig. 11-43.

Resp.:  $Z' = 1,52 \text{ ohms}$ ;  $I' = 7,35 \text{ A}$ .

11.21 Obter o Thevenin equivalente ao circuito em ponte da Fig. 11-44, visto dos terminais AB.

Resp.:  $Z' = 55,5$  ohms,  $V' = 0$  volt.

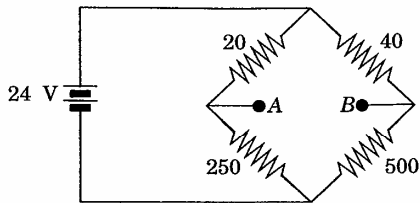


Figura 11-44

11.22 Mudado o resistor de 500 ohms do circuito da Fig. 11-44 para 475 ohms, determinar o circuito equivalente de Thevenin.

Resp.:  $Z' = 55,4$  ohms;  $V' = 0,0863$  V (A+).

11.23 Aplicando o teorema de Thevenin ao circuito em ponte da Fig. 11-45, determinar a deflexão de um galvanômetro, ligado em AB, com uma resistência de 100 ohms e uma sensibilidade de  $0,5 \mu\text{A}$  por mm.

Resp.:  $D = 19,5$  cm.

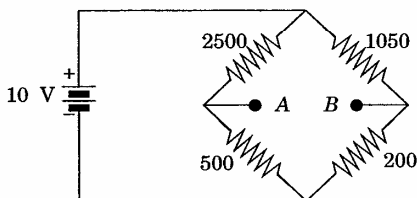


Figura 11-45

11.24 Determinar o circuito equivalente de Thevenin nos terminais AB da ponte de CA, mostrada na Fig. 11-46.

Resp.:  $Z' = 88,7 / 11,55^\circ$ ;  $V' = 0,192 / -43,4^\circ$ .

11.25 Aplicando o teorema de Thevenin ao circuito em ponte da Fig. 11-44, determinar o circuito equivalente de Thevenin nos terminais AB, com um resistor de 100 ohms ligado ao longo de AB.  
Resp.: 2,

11.26 Repetir o problema 11.25 para o circuito da Fig. 11-45.

11.27 Obter o circuito equivalente de Thevenin nos terminais AB da ponte de CA, mostrada na Fig. 11-46.  
Resp.:  $Z'$

11.28 Obter o circuito equivalente de Thevenin nos terminais AB da ponte de CA, mostrada na Fig. 11-46.  
Resp.:  $Z'$

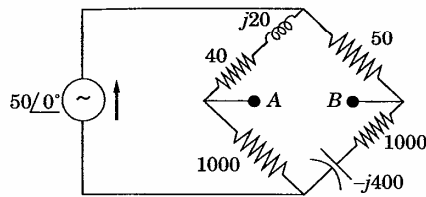


Figura 11-46

- 11.25** Aplicando o teorema de Thevenin, determinar a potência num resistor de 1 ohm ligado aos terminais  $AB$  do circuito da Fig. 11-47.  
*Resp.: 2,22 W.*

- 11.26** Repetir o Probl. 11.25, empregando o circuito equivalente de Norton.

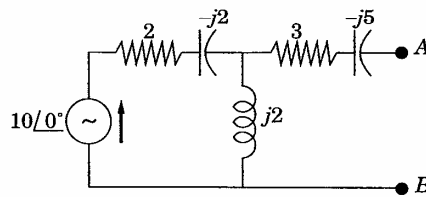


Figura 11-47

- 11.27** Obter o circuito equivalente de Thevenin nos terminais  $AB$  do circuito ativo da Fig. 11-48.  
*Resp.:  $Z' = 10,6/45^\circ$ ;  $V' = 11,17/-63,4^\circ$ .*

- 11.28** Obter o circuito equivalente de Norton nos terminais  $AB$  do circuito da Fig. 11-48.  
*Resp.:  $Z' = 10,6/45^\circ$ ;  $I' = 1,05/251,6^\circ$ .*

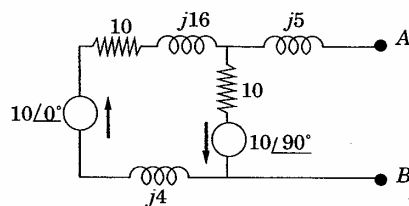


Figura 11-48

11-44, visto dos

para 475 ohms,

11-45, determinar  
 resistência de 100

da ponte de CA,

- 11.29** Empregando o teorema de Thevenin, determinar a potência entregue a uma impedância  $2 + j4$  ligada aos terminais  $AB$  do circuito ativo da Fig. 11-49.  
 Resp.: 475 W.

- 11.30** Repetir o Probl. 11.29, aplicando o teorema de Norton.

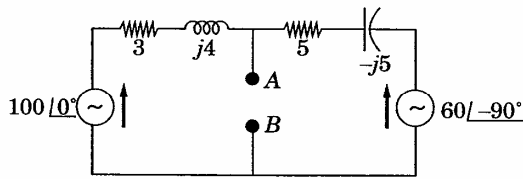


Figura 11-49

- 11.31** Obter o circuito equivalente de Thevenin nos terminais  $AB$  do circuito ativo da Fig. 11-50.  
 Resp.:  $Z' = 5,55∠0°$ ;  $V' = 5,9∠16,4°$ .

- 11.32** Obter o circuito equivalente de Norton para a estrutura da Fig. 11-50.  
 Resp.:  $Z' = 5,55∠0°$ ;  $I' = 1,06∠16,4°$ .

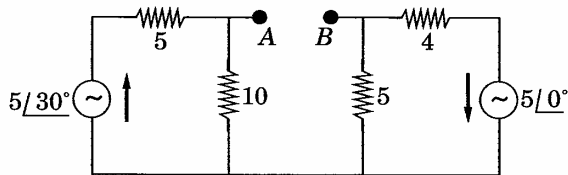


Figura 11-50

- 11.33** Obter o circuito equivalente de Thevenin nos terminais  $AB$  da estrutura ativa da Fig. 11-51.  
 Resp.:  $Z' = 2,5 + j12,5$ ;  $V' = 25\sqrt{2}/45°$ .

- 11.34** Obter o circuito equivalente de Norton para a estrutura da Fig. 11-51.  
 Resp.:  $Z' = 2,5 + j12,5$ ;  $I' = 2,77∠-33,7°$ .

- 11.35** Substituir o equivalente equivalente.  
 Resp.:  $Z' :$

- 11.36** Repetir o nais  $AB$ .  
 Resp.:  $Z' :$

- 11.37** Uma fonte pontos inc  
 Resp.:  $Z' :$

- 11.38** Determina 11-53.  
 Resp.:  $Z' :$

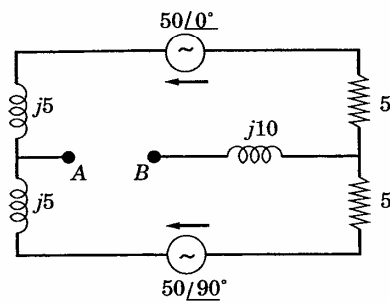


Figura 11-51

- 11.35** Substituindo a estrutura da Fig. 11.52, nos terminais  $AB$ , por seu Thevenin equivalente, determinar a corrente  $I$  na impedância  $3 + j4$ .

*Resp.:  $Z' = 3,53/45^\circ$ ;  $V' = 70,7/135^\circ$ ;  $I = 8,3/85,2^\circ$ .*

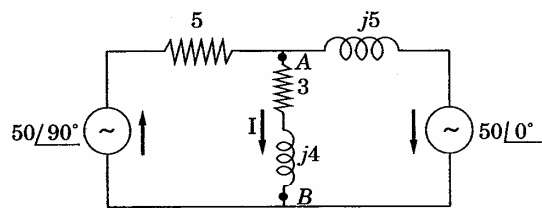


Figura 11-52

- 11.36** Repetir o Probl. 11.35 empregando um circuito equivalente de Norton nos terminais  $AB$ .

*Resp.:  $Z' = 3,53/45^\circ$ ;  $I' = 20/90^\circ$ ;  $I = 8,3/85,2^\circ$ .*

- 11.37** Uma fonte de corrente  $15/45^\circ$  ampères alimenta o circuito da Fig. 11-53 nos pontos indicados. Substituir o circuito por um Thevenin equivalente em  $AB$ .

*Resp.:  $Z' = 11,48 + j1,19$ ;  $V' = 28,6/83,8^\circ$ .*

- 11.38** Determinar o circuito equivalente de Norton nos terminais  $AB$  do circuito da Fig. 11-53.

*Resp.:  $Z' = 11,48 + j1,19$ ;  $I' = 2,47/77,9^\circ$ .*

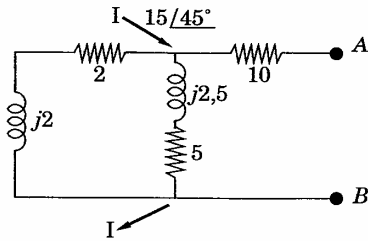


Figura 11-53

11.39 Obter o circuito equivalente de Thevenin nos terminais AB do circuito da Fig. 11-54.

Resp.:  $Z' = 5,34/-49,8^\circ$ ;  $V' = 43,3/-70,6^\circ$ .

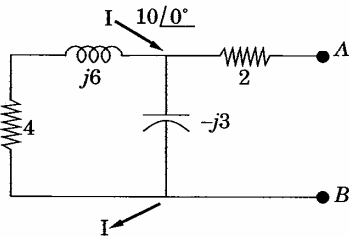


Figura 11-54

11.40 Obter o circuito equivalente de Norton para a estrutura da Fig. 11-54.

Resp.:  $Z' = 5,34/-49,8^\circ$ ;  $I' = 8,1/-20,8^\circ$ .

11.41 Empregando o teorema de Thevenin, determinar a potência dissipada na impedância  $Z = 10/60^\circ$  ohms, ligada aos terminais AB da estrutura da Fig. 11-55.

Resp.: 23 W.

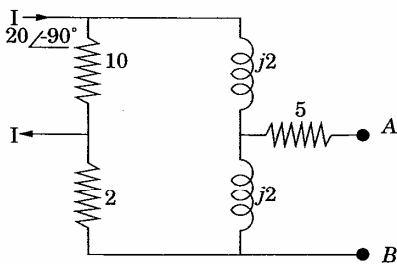


Figura 11-55

11.42 Repetir c

11.43 Obter o c  
Resp.:  $Z'$

11.44 Determin  
Resp.:  $Z'$

11.45 Determin  
Fig. 11-5  
Resp.:  $Z'$

11.46 Obter o c  
Resp.:  $Z'$

11.47 O circuito  
uma fon  
Thevenin  
Resp.:  $Z'$

11.42 Repetir o Probl. 11.41, empregando o circuito equivalente de Norton.

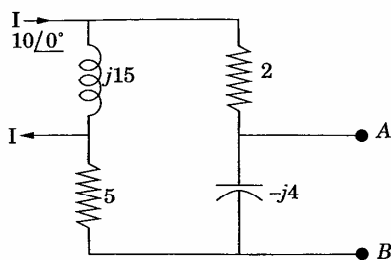


Figura 11-56

11.43 Obter o circuito equivalente de Thevenin do circuito ativo da Fig. 11-56.

Resp.:  $Z' = 5,09 \angle -82,5^\circ$ ;  $V' = 46,2 \angle -57,5^\circ$ .

11.44 Determinar o circuito equivalente de Norton para o circuito da Fig. 11-56.

Resp.:  $Z' = 5,09 \angle -82,5^\circ$ ;  $I' = 9,05 \angle 25^\circ$ .

11.45 Determinar o circuito equivalente de Thevenin nos terminais AB do circuito da Fig. 11-57.

Resp.:  $Z' = 6,2 \angle 51,8^\circ$ ;  $V' = 62,6 \angle 44,17^\circ$ .

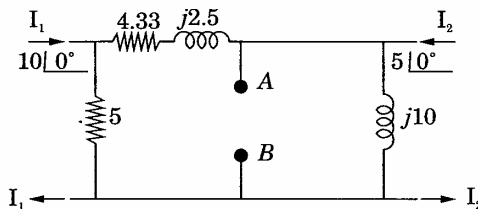


Figura 11-57

11.46 Obter o circuito equivalente de Norton para o circuito da Fig. 11-57.

Resp.:  $Z' = 6,2 \angle 51,8^\circ$ ;  $I' = 10,1 \angle -7,63^\circ$ .

11.47 O circuito ativo da Fig. 11-58 contém uma fonte de corrente de  $4 \angle 45^\circ$  ampères e uma fonte de tensão de  $25 \angle 90^\circ$  volts. Determinar o circuito equivalente de Thevenin nos terminais AB.

Resp.:  $Z' = 3,68 \angle 36^\circ$ ;  $V' = 22,2 \angle 98^\circ$ .

circuito da Fig.

1-54.

impedância na impedância da Fig. 11-55.

- 11.48 Obter o circuito equivalente de Norton para o circuito da Fig. 11-58.  
 Resp.:  $Z' = 3,68/36^\circ$ ;  $I' = 6,03/62^\circ$ .

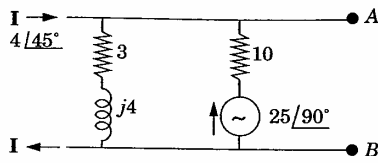


Figura 11-58

- 11.49 Determinar o Thevenin equivalente nos terminais AB do circuito ativo da Fig. 11-59.  
 Resp.:  $Z' = 3,47/6,85^\circ$ ;  $V' = 31,2/6,89^\circ$ .

- 11.50 Obter o circuito equivalente de Norton para o circuito da Fig. 11-59.  
 Resp.:  $Z' = 3,47/6,85^\circ$ ;  $I' = 9,0/0^\circ$ .

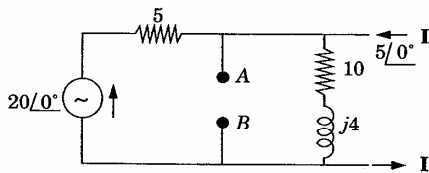


Figura 11-59



MAKRON  
Books

### Introdução

Os métodos possíveis a respeito dos teoremas de Thevenin e Norton, a redução dos circuitos em partes individuais e a determinação dos parâmetros de transferência, serão considerados neste capítulo.

### Transformações

Uma conexão em estrela (Y) e suas impedâncias  $Z_A$ ,  $Z_B$ ,  $Z_C$  podem ser substituídas por uma conexão em triângulo ( $\Delta$ ) constituída por três impedâncias  $Z_{AB}$ ,  $Z_{BC}$ ,  $Z_{CA}$  cujas respectivas impedâncias são iguais.

MAKRON  
Books**TEOREMAS GERAIS  
DE CIRCUITOS****Introdução**

Os métodos das correntes de malha e das tensões nos nós tornam possível a resolução, praticamente, de todos os circuitos. A introdução dos teoremas de Thevenin e de Norton, no Capítulo 11, mostrou sua utilidade na redução dos cálculos numéricos quando várias impedâncias devem ser ligadas, individualmente, a um par de terminais. Também os teoremas apresentados neste capítulo atendem à mesma finalidade de simplificação da solução de determinados tipos de problemas sobre circuitos. Este capítulo pode, por esta razão, ser considerado como uma ampliação do Capítulo 11.

**Transformação  $\Delta - Y$** 

Uma estrutura passiva de três terminais, constituída por três impedâncias  $Z_A$ ,  $Z_B$  e  $Z_C$ , como mostra a Fig. 12-1(a), forma o que se chama uma ligação em  $\Delta$  (delta ou triângulo). Um circuito passivo de três terminais, constituído por três impedâncias  $Z_1$ ,  $Z_2$  e  $Z_3$  ligadas, como mostra a Fig. 12-1(b), constitui uma ligação em Y (estrela). Os dois circuitos serão equivalentes se suas respectivas impedâncias de entrada, de saída e de transferência forem iguais.

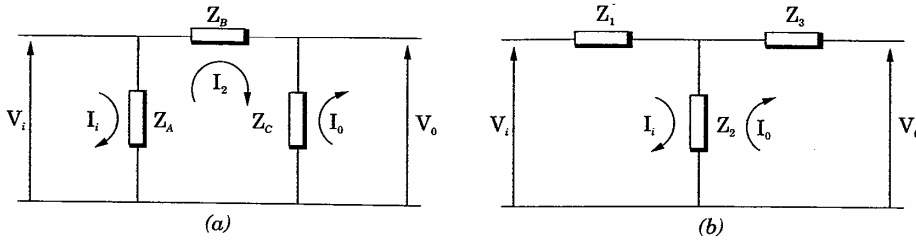


Figura 12-1

Seja  $V_i$  a tensão de entrada e  $V_0$  a correspondente tensão de saída em cada circuito. Escolhendo a corrente de entrada,  $I_i$ , e a de saída,  $I_0$ , com o mesmo sentido horário, em cada circuito, seja  $I_2$  a corrente da malha central da ligação em  $\Delta$ , com o sentido indicado.

A forma matricial das equações das correntes de malha do circuito ligado em  $\Delta$  é:

$$\begin{bmatrix} Z_A & -Z_A & 0 \\ -Z_A & Z_A + Z_B + Z_C & -Z_C \\ 0 & -Z_C & Z_C \end{bmatrix} \begin{bmatrix} I_i \\ I_2 \\ I_0 \end{bmatrix} = \begin{bmatrix} V_i \\ 0 \\ -V_0 \end{bmatrix}$$

As correspondentes impedâncias de entrada, de saída e de transferência são:

$$Z_1 = \frac{\Delta_z}{\Delta_{11}} = \frac{Z_A Z_B}{Z_A + Z_B}$$

$$Z_0 = \frac{\Delta_z}{\Delta_{33}} = \frac{Z_B Z_C}{Z_B + Z_C}$$

$$Z_{\text{transf}} = \frac{\Delta_z}{\Delta_{13}} = Z_B$$

As equações das correntes de malha do circuito ligado em Y, Fig. 12-1(b), são:

$$\begin{bmatrix} Z_1 + Z_2 & -Z_2 \\ -Z_2 & Z_2 + Z_3 \end{bmatrix} \begin{bmatrix} I_i \\ I_0 \end{bmatrix} = \begin{bmatrix} V_i \\ -V_0 \end{bmatrix}$$

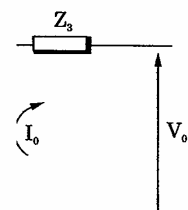
As correntes são:

Igualan

Substituindo os valores

Assim, uma ligação em

Para obter (3), (4) e (5) e to



As correspondentes impedâncias de entrada, de saída e de transferência são:

$$\mathbf{Z}_1 = \frac{\Delta_z}{\Delta_{11}} = \frac{\mathbf{Z}_1\mathbf{Z}_2 + \mathbf{Z}_1\mathbf{Z}_3 + \mathbf{Z}_2\mathbf{Z}_3}{\mathbf{Z}_2 + \mathbf{Z}_3}$$

$$\mathbf{Z}_0 = \frac{\Delta_z}{\Delta_{22}} = \frac{\mathbf{Z}_1\mathbf{Z}_2 + \mathbf{Z}_1\mathbf{Z}_3 + \mathbf{Z}_2\mathbf{Z}_3}{\mathbf{Z}_1 + \mathbf{Z}_2}$$

$$\mathbf{Z}_{\text{transf}} = \frac{\Delta_z}{\Delta_{12}} = \frac{\mathbf{Z}_1\mathbf{Z}_2 + \mathbf{Z}_1\mathbf{Z}_3 + \mathbf{Z}_2\mathbf{Z}_3}{\mathbf{Z}_2}$$

Igualando as impedâncias de mesmo nome, nos dois circuitos:

$$\frac{\mathbf{Z}_A\mathbf{Z}_B}{\mathbf{Z}_A + \mathbf{Z}_B} = \frac{\mathbf{Z}_1\mathbf{Z}_2 + \mathbf{Z}_1\mathbf{Z}_3 + \mathbf{Z}_2\mathbf{Z}_3}{\mathbf{Z}_2 + \mathbf{Z}_3} \quad (1)$$

$$\frac{\mathbf{Z}_B\mathbf{Z}_C}{\mathbf{Z}_B + \mathbf{Z}_C} = \frac{\mathbf{Z}_1\mathbf{Z}_2 + \mathbf{Z}_1\mathbf{Z}_3 + \mathbf{Z}_2\mathbf{Z}_3}{\mathbf{Z}_1 + \mathbf{Z}_2} \quad (2)$$

$$\mathbf{Z}_B = \frac{\mathbf{Z}_1\mathbf{Z}_2 + \mathbf{Z}_1\mathbf{Z}_3 + \mathbf{Z}_2\mathbf{Z}_3}{\mathbf{Z}_2} \quad (3)$$

Substituindo  $\mathbf{Z}_B$  em (1) e (2) pelo seu valor em (3) e, em seguida, tirando os valores de  $\mathbf{Z}_A$  e  $\mathbf{Z}_C$ , vem:

$$\mathbf{Z}_A = \frac{\mathbf{Z}_1\mathbf{Z}_2 + \mathbf{Z}_1\mathbf{Z}_3 + \mathbf{Z}_2\mathbf{Z}_3}{\mathbf{Z}_3} \quad (4)$$

$$\mathbf{Z}_C = \frac{\mathbf{Z}_1\mathbf{Z}_2 + \mathbf{Z}_1\mathbf{Z}_3 + \mathbf{Z}_2\mathbf{Z}_3}{\mathbf{Z}_1} \quad (5)$$

Assim, uma ligação em estrela de  $\mathbf{Z}_1$ ,  $\mathbf{Z}_2$  e  $\mathbf{Z}_3$  pode ser substituída por uma ligação em triângulo de  $\mathbf{Z}_A$ ,  $\mathbf{Z}_B$  e  $\mathbf{Z}_C$ , atendidas as equações (3), (4) e (5).

Para obter-se a transformação de  $\Delta$  para  $Y$ , somem-se as três equações (3), (4) e (5) e tome-se o inverso. Vem:

$$\frac{1}{\mathbf{Z}_A + \mathbf{Z}_B + \mathbf{Z}_C} = \frac{\mathbf{Z}_1\mathbf{Z}_2\mathbf{Z}_3}{(\mathbf{Z}_1\mathbf{Z}_2 + \mathbf{Z}_1\mathbf{Z}_3 + \mathbf{Z}_2\mathbf{Z}_3)^2} \quad (6)$$

Multiplicando o primeiro membro de (6) por  $Z_A Z_B$  e o segundo membro pelas expressões de  $Z_A$  em (4) e de  $Z_B$  em (3), temos:

$$\left( \frac{1}{Z_A + Z_B + Z_C} \right) Z_A Z_B =$$

$$= \frac{Z_1 Z_2 Z_3}{(Z_1 Z_2 + Z_1 Z_3 + Z_2 Z_3)^2} \left( \frac{Z_1 Z_2 + Z_1 Z_3 + Z_2 Z_3}{Z_3} \right) \left( \frac{Z_1 Z_2 + Z_1 Z_3 + Z_2 Z_3}{Z_2} \right)$$

donde 
$$Z_1 = \frac{Z_A Z_B}{Z_A + Z_B + Z_C}$$

Semelhantemente, obtêm-se expressões para  $Z_2$  e  $Z_3$  em função de  $Z_A$ ,  $Z_B$  e  $Z_C$ . Os resultados completos das transformações  $Y - \Delta$  e vice-versa são tabulados a seguir.

#### Transformação $Y - \Delta$

$$Z_A = \frac{Z_1 Z_2 + Z_1 Z_3 + Z_2 Z_3}{Z_3}$$

$$Z_B = \frac{Z_1 Z_2 + Z_1 Z_3 + Z_2 Z_3}{Z_2}$$

$$Z_C = \frac{Z_1 Z_2 + Z_1 Z_3 + Z_2 Z_3}{Z_1}$$

#### Transformação $\Delta - Y$

$$Z_1 = \frac{Z_A Z_B}{Z_A + Z_B + Z_C}$$

$$Z_2 = \frac{Z_A Z_C}{Z_A + Z_B + Z_C}$$

$$Z_3 = \frac{Z_B Z_C}{Z_A + Z_B + Z_C}$$

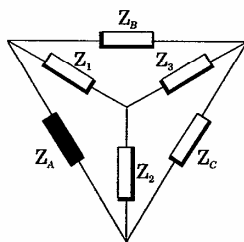


Figura 12-2

As relações acima podem ser obtidas pelas duas regras mnemônicas a seguir:

#### 1. Transformação

Qualq  
duas, das imp  
é oposta.

Na Fi  
impedância qu

#### 2. Transformação

Qualq  
cias adjacentes

Na Fi  
triângulo, divi

### Teorema d

Este te  
estrutura bilat  
respostas obtid  
anuladas.\*

O prin  
de malha e das  
como relações c

\* N. T. Substitu

segundo membro

$$\frac{Z_1 Z_3 + Z_2 Z_3}{Z_2}$$

em função de  $Z_A$ ,  
vice-versa são

- Y

### 1. Transformação Y - $\Delta$

Qualquer impedância do triângulo é igual à soma dos produtos, duas a duas, das impedâncias da estrela, dividida pela impedância da estrela que lhe é oposta.

Na Fig. 12-2,  $Z_A$  é igual à soma dos três produtos, dividida por  $Z_3$ , impedância que lhe fica oposta na estrela.

### 2. Transformação $\Delta$ - Y

Qualquer impedância da estrela é igual ao produto das duas impedâncias adjacentes do triângulo dividido pela soma das três impedâncias do triângulo.

Na Fig. 12-3,  $Z_1$  é igual ao produto  $Z_A Z_B$ , impedâncias adjacentes do triângulo, dividido pela soma das três impedâncias do triângulo.

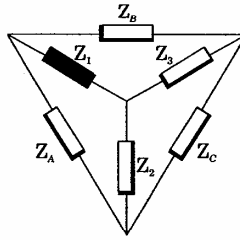


Figura 12-3

## Teorema da Superposição

Este teorema estabelece que a resposta, em qualquer elemento de uma estrutura bilateral linear que contenha duas ou mais fontes, é a soma das respostas obtidas individualmente por cada fonte, com todas as devidas fontes anuladas.\*

O princípio da superposição estava implícito nos métodos das correntes de malha e das tensões dos nós. Essas correntes e tensões foram encontradas como relações de dois determinantes (ver Capítulos 9 e 10). O desenvolvimento

mnemônicas a

\* N. T. Substituídas pelas respectivas impedâncias internas.

dos determinantes do numerador em função dos elementos da coluna que contém as fontes resultou em equações do tipo:

$$\mathbf{I}_1 = \mathbf{V}_1 \frac{\Delta_{11}}{\Delta_Z} + \mathbf{V}_2 \frac{\Delta_{21}}{\Delta_Z} + \mathbf{V}_3 \frac{\Delta_{31}}{\Delta_Z} + \dots \quad (7)$$

e

$$\mathbf{V}_1 = \mathbf{I}_1 \frac{\Delta_{11}}{\Delta_Y} + \mathbf{I}_2 \frac{\Delta_{21}}{\Delta_Y} + \mathbf{I}_3 \frac{\Delta_{31}}{\Delta_Y} + \dots \quad (8)$$

Os termos da equação (7) são as correntes componentes da corrente de malha  $\mathbf{I}_1$ , devidas às tensões  $\mathbf{V}_1, \mathbf{V}_2$ , etc. Na equação (8) os termos são as tensões componentes da tensão de nó  $\mathbf{V}_1$ , devidas às correntes  $\mathbf{I}_1, \mathbf{I}_2$ , etc.

Caso as correntes de malha sejam escolhidas de modo que as fontes fiquem todas em ramos não-acoplados, os termos de (7) serão idênticos às correntes devidas a cada fonte, atuando isoladamente. Do mesmo modo, se as fontes de correntes de uma estrutura a ser resolvida pelo método dos nós tiverem todas um mesmo ponto de retorno, tomando-se esse ponto como referência, os termos da equação (8) serão idênticos às tensões de nós que resultam quando cada fonte atua isoladamente.

O princípio da superposição se aplica à determinação de correntes e de tensões de nós linearmente relacionadas às fontes que ajem no circuito. A potência não pode ser determinada pela superposição, por ser quadrática a relação entre potência e corrente ou tensão.

### ***Teorema da Reciprocidade***

Estabelece este teorema que, num circuito, *com uma única fonte*, linear e bilateral, a relação entre excitação e resposta é constante, quando se invertem as posições entre excitação e resposta.

Na hipótese de corrente de malha com uma única fonte atuando na estrutura, pode-se demonstrar o teorema, considerando a seguinte equação para a corrente  $\mathbf{I}_r$ :

$$\mathbf{I}_r = \mathbf{V}_1 \frac{\Delta_{1r}}{\Delta_Z} + \mathbf{V}_2 \frac{\Delta_{2r}}{\Delta_Z} + \dots + \mathbf{V}_r \frac{\Delta_{rr}}{\Delta_Z} + \mathbf{V}_s \frac{\Delta_{sr}}{\Delta_Z} + \dots$$

Seja  $\mathbf{V}_r$

A relaç

Interca  
torna  $\mathbf{V}_r$  e a cor

A relaç

As dua  
em qualquer es  
dância  $[\mathbf{Z}]$  é sim  
iguais. Assim, a  
a mesma corre  
para a malha  $r$ .  
*não permanece*

O teore  
tenham uma úni  
tensão que apar  
que atua nos ter  
de corrente é de  
*outros pontos de*

### ***Teorema da***

A qued  
é dada por  $\mathbf{I}_Z \cdot \mathbf{I}$

Seja  $\mathbf{V}_s$  a fonte única da estrutura. Então

$$(7) \quad \mathbf{I}_r = \mathbf{V}_s \frac{\Delta_{sr}}{\Delta_z}$$

A relação entre a excitação e a resposta é

$$(8) \quad \frac{\mathbf{V}_s}{\mathbf{I}_r} = \frac{\Delta_z}{\Delta_{sr}} = \mathbf{Z}_{\text{transf}(sr)} \quad (9)$$

Intercambiando-se as posições entre a excitação e a resposta, a fonte se torna  $\mathbf{V}_r$  e a corrente  $\mathbf{I}_s$ :

$$\mathbf{I}_s = \mathbf{V}_r \frac{\Delta_{rs}}{\Delta_z}$$

A relação entre excitação e resposta é, então,

$$(10) \quad \frac{\mathbf{V}_r}{\mathbf{I}_s} = \frac{\Delta_z}{\Delta_{rs}} = \mathbf{Z}_{\text{transf}(rs)}$$

As duas impedâncias de transferências são iguais [equações (9) e (10)] em qualquer estrutura linear bilateral, pois, nesses circuitos, a matriz impedância  $[\mathbf{Z}]$  é simétrica em relação à diagonal principal e os cofatores  $\Delta_{sr}$  e  $\Delta_{rs}$  são iguais. Assim, a corrente na malha  $r$  devida a uma fonte de tensão na malha  $s$  é a mesma corrente produzida na malha  $s$  quando a fonte de tensão é deslocada para a malha  $r$ . Deve-se ressaltar que *as correntes em outras partes do circuito não permanecerão as mesmas*.

O teorema da reciprocidade aplica-se também a circuitos que contêm uma única fonte de corrente. O teorema estabelece que, nesse caso, a tensão que aparece em um par de terminais  $mn$ , devida a uma fonte de corrente que atua nos terminais  $ab$ , é a mesma tensão que aparece em  $ab$ , quando a fonte de corrente é deslocada para os terminais  $mn$ . Deve-se ressaltar que *as tensões em outros pontos do circuito não permanecerão as mesmas*. Ver Probl. 12.9.

### **Teorema da Compensação**

A queda de tensão em uma impedância  $\mathbf{Z}$ , em que circula a corrente  $\mathbf{I}$ , é dada por  $\mathbf{I}\mathbf{Z}$ . De acordo com o teorema da compensação, essa impedância pode

ser substituída por uma f.e.m. *de compensação*, cuja amplitude e fase sejam iguais a  $\mathbf{I}\mathbf{Z}$ . Do mesmo modo, se  $\mathbf{V}$  é a tensão em um elemento ou ramo de uma estrutura cuja impedância é  $\mathbf{Z}$ , esse elemento ou ramo pode ser substituído por uma fonte de corrente  $\mathbf{I} = \mathbf{V}/\mathbf{Z}$ . As correntes e tensões em todas as demais partes do circuito permanecem inalteradas, após a substituição da fonte de compensação. O teorema da compensação chama-se, também, teorema da substituição.

Na Fig. 12-4(a), um ramo de uma estrutura contém as impedâncias  $\mathbf{Z}_A$  e  $\mathbf{Z}_B$ . Se a corrente nesse ramo for  $\mathbf{I}_1$ , a queda de tensão em  $\mathbf{Z}_A$  será  $\mathbf{I}_1\mathbf{Z}_A$ , com a polaridade indicada. A Fig. 12-4(b) mostra a fonte de compensação,  $\mathbf{V}_C = \mathbf{I}_1\mathbf{Z}_A$ , que substitui  $\mathbf{Z}_A$ . A polaridade de  $\mathbf{V}_C$  deve ser a indicada, pois a seta, no sentido convencional, aponta para o terminal positivo.

Caso ocorra alguma alteração no circuito que influa sobre  $\mathbf{I}_1$ , a fonte de compensação deverá ser modificada convenientemente. Por esta razão, a fonte de compensação  $\mathbf{V}_C$  é chamada de fonte dependente.

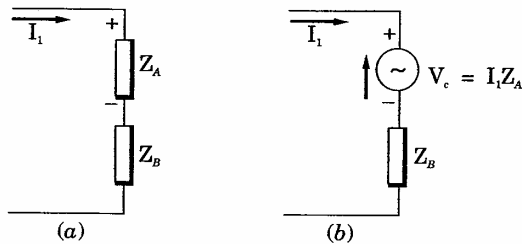
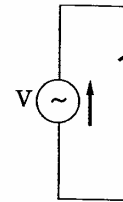


Figura 12-4

O teorema da compensação é útil na determinação das alterações da corrente e da tensão, em um elemento de circuito, quando se muda o valor de sua impedância. Esta aplicação ocorre em circuitos de pontes e de potenciômetros, onde uma pequena variação em uma impedância resulta num desvio das condições de equilíbrio.

Na Fig. 12-5(a), a fonte  $\mathbf{V}$  acarreta no circuito uma corrente  $\mathbf{I} = \mathbf{V}/\mathbf{Z}$ . Na Fig. 12-5(b), a impedância total é substituída por  $(\mathbf{Z} + \delta\mathbf{Z})$ . A corrente é, então,  $\mathbf{I}' = \mathbf{V}/(\mathbf{Z} + \delta\mathbf{Z})$ . Uma fonte de compensação  $\mathbf{V}_C = \mathbf{I}\delta\mathbf{Z}$ , atuando no circuito, *depois de anulada a fonte original*, acarreta uma corrente  $\Delta\mathbf{I}$ , como mostra a Fig. 12-5(c).  $\Delta\mathbf{I}$  é a alteração na corrente, devida à variação  $\delta\mathbf{Z}$  na impedância do circuito. Pelo teorema da superposição,  $\mathbf{I} + \Delta\mathbf{I} = \mathbf{I}'$  ou  $\Delta\mathbf{I} = \mathbf{I}' - \mathbf{I}$ .



**Exemplo**

No circuito  $\mathbf{Z} = 2 + j1$ . De o resultad

Antes da 1  
acrescenta

$$\mathbf{I} = \mathbf{V}/(\mathbf{Z} + \delta\mathbf{Z})$$

A variação

$$\Delta\mathbf{I} = \mathbf{I}' - \mathbf{I} =$$

le e fase sejam  
u ramo de uma  
substituído por  
s demais partes  
e de compensa-  
substituição.

mpedâncias  $Z_A$   
será  $Z_1 Z_A$ , com  
ição,  $V_C = I_1 Z_A$ ,  
seta, no sentido

re  $I_1$ , a fonte de  
a razão, a fonte

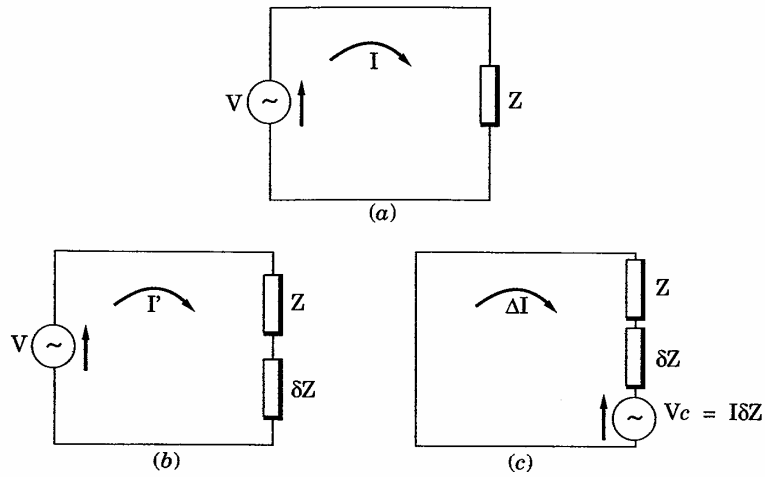


Figura 12-5

**Exemplo**

No circuito da Fig. 12-6, troca-se a impedância  $3 + j4$  por  $5 + j5$ , isto é,  $\delta Z = 2 + j1$ . Determinar a variação da corrente pelo cálculo direto e verificar o resultado, aplicando o teorema da compensação.

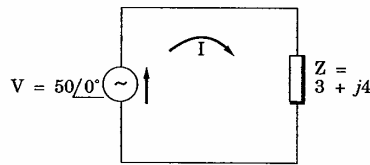


Figura 12-6

s alterações da  
uda o valor de  
de potenciôme-  
num desvio das

nte  $I = V/Z$ . Na  
rente é, então,  
circuito, depois  
mostra a Fig.  
impedância do

Antes da troca,  $I = V/Z = (50/0^\circ)/(5/53,1^\circ) = 10/-53,1^\circ$ . Quando se acrescenta  $\delta Z$  ao circuito, como mostra a Fig. 12-7(a), tem-se:

$$I = V/(Z + \delta Z) = (50/0^\circ)/(5 + j5) = 7,07/-45^\circ$$

A variação na corrente é

$$\Delta I = I' - I = (5 - j5) - (6 - j8) = -1 + j3 = 3,16/108,45^\circ$$

SENAI / DR / AM  
NÚCLEO DE INFORMAÇÃO  
TECNOLÓGICA

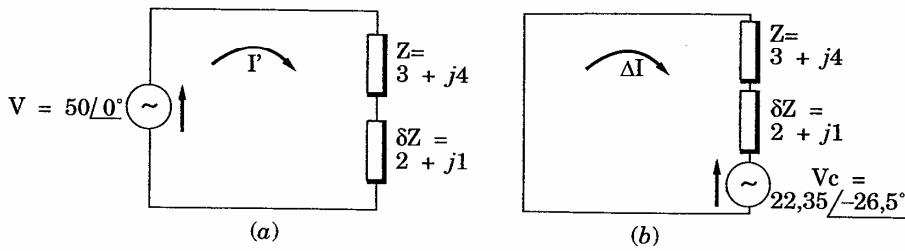


Figura 12-7

Aplicando o teorema da compensação, a fonte de compensação  $V_C = I\delta Z = (10\angle-53,1^\circ)(2 + j1) = 22,35\angle-26,5^\circ$ . Introduzindo essa fonte no circuito que contém  $Z$  e  $\delta Z$  e tornando igual a zero a fonte  $50\angle 0^\circ$ , como mostra a Fig. 12-7(b), a variação de corrente é:

$$\Delta I = - \frac{V_C}{Z + \delta Z} = - \frac{22,35 \angle -26,5^\circ}{5 + j5} = 3,16 \angle 108,45^\circ$$

Portanto, quando se modifica uma impedância em um circuito e se deseja conhecer a correspondente variação de corrente,  $\Delta I$ , determina-se essa variação fazendo atuar a fonte de compensação,  $V_C$ , com as demais fontes tornadas iguais a zero.

### Teoremas da Máxima Transferência de Potência

Os teoremas que se seguem determinam os valores de impedâncias de carga que resultam em máxima transferência de potência entre os terminais de um circuito ativo.

Seja uma fonte e uma impedância complexa fixa, associadas em série, fornecendo potência a uma carga, constituída por uma resistência variável ou uma impedância complexa variável.

**Caso 1** Carga: resistência variável  $R_L$  (Fig. 12-8). A corrente no circuito é:

$$I = \frac{V_g}{(R_g + R_L) + jX_g}$$

A potên

O valor encontrado igua

=

ou

e

Então, ter

Sendo a estrutura ativa, carga for igual a

$$Z = 3 + j4$$

$$\delta Z = 2 + j1$$

$$V_c = 22,35 / -26,5^\circ$$

ação  $V_C = I\delta Z =$   
no circuito que  
o mostra a Fig.

uito e se deseja  
termina-se essa  
s demais fontes

ncia

impedâncias de  
os terminais de

ciadas em série,  
ncia variável ou

rente no circui-

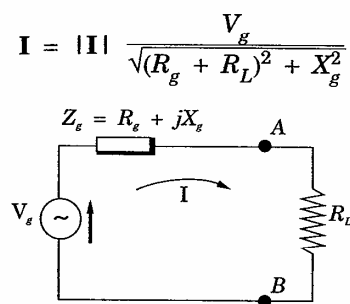


Figura 12-8

A potência entregue a  $R_L$  é, então:

$$P = I^2 R_L = \frac{V_g^2 R_L}{(R_g + R_L)^2 + X_g^2}$$

O valor de  $R_L$  que determina a máxima potência transferida à carga é encontrado igualando-se a zero a primeira derivada  $dP/dR_L$ .

$$\frac{dP}{dR_L} = \frac{d}{dR_L} \left[ \frac{V_g^2 R_L}{(R_g + R_L)^2 + X_g^2} \right] =$$

$$= V_g^2 \left\{ \frac{[(R_g + R_L)^2 + X_g^2] - R_L(2)(R_g + R_L)}{[(R_g + R_L)^2 + X_g^2]^2} \right\} = 0$$

ou  $R_g^2 + 2R_g R_L + R_L^2 + X_g^2 - 2R_L R_g - 2R_L^2 = 0$

e  $R_g^2 + X_g^2 = R_L^2$

Então, temos:  $R_L = \sqrt{R_g^2 + X_g^2} = |Z_g|$

Sendo a carga uma resistência variável pura entre os terminais da estrutura ativa, ocorre a máxima transferência de potência se a resistência de carga for igual ao valor absoluto da impedância do circuito.

Se a componente reativa da impedância em série com a fonte for nula, isto é,  $X_g = 0$ , a máxima potência será transferida para a carga se as resistências da carga e da fonte forem iguais,  $R_L = R_g$ .

**Caso 2** Carga: impedância  $Z_L$  com resistência e impedância variáveis (Fig. 12-9).

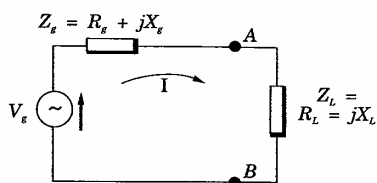


Figura 12-9

A corrente do circuito é:

$$\mathbf{I} = \frac{\mathbf{V}_g}{(R_g + R_L) + j(X_g + X_L)}$$

$$\mathbf{I} = |\mathbf{I}| = \frac{V_g}{\sqrt{(R_g + R_L)^2 + (X_g + X_L)^2}}$$

A potência entregue pela fonte é:

$$P = I^2 R_L = \frac{V_g^2 R_L}{(R_g + R_L)^2 + (X_g + X_L)^2} \quad (11)$$

Fixando-se  $R_L$  em (11), o valor de  $P$  é máximo quando  $X_g = -X_L$ . A equação (11) torna-se:

$$P = \frac{V_g^2 R_L}{(R_g + R_L)^2}$$

Considere-se, agora,  $R_L$  variável. Como mostra o caso 1, a potência máxima é entregue à carga quando  $R_L = R_g$ . Se  $R_L = R_g$  e  $X_L = -X_g$ , tem-se  $Z_L = Z_g$ .

Se a impedância de carga é constituída de resistência e reatância variáveis, a máxima transferência de potência, nos terminais do circuito ativo,

dá-se quando a impedância  $Z_g$

**Caso 3** é fixa (Fig. 12-10)

Obtém-se a condição de que derivada de  $P$  e

e

Como  $Z$  impedância única máxima transferida da impedância d

12.1 Determinar a Fig. 12-11

dá-se quando a impedância de carga  $Z_L$  é igual ao conjugado do complexo da impedância  $Z_g$  do circuito.

**Caso 3** Carga: impedância  $Z_L$  com resistência variável e reatância fixa (Fig. 12-10).

Obtêm-se as mesmas equações para  $I$  e  $P$  já obtidas no caso 2, com a condição de que  $X_L$  permaneça constante. Quando se iguala a zero a primeira derivada de  $P$  em relação a  $R_L$ , tem-se:

$$R_L^2 = R_g^2 + (X_g + X_L)^2$$

e

$$R_L = |Z_g + jX_L|$$

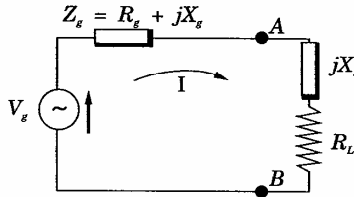


Figura 12-10

Como  $Z_g$  e  $X_L$  são admitidas fixas, podem ser combinadas em uma impedância única. Assim, com  $R_L$  variável, o caso 3 reduz-se ao caso 1 e a máxima transferência de potência ocorre quando  $R_L$  é igual ao valor absoluto da impedância do circuito.

(11)

**Problemas Resolvidos**

12.1 Determinar o circuito em  $\Delta$  equivalente às impedâncias ligadas em Y, conforme a Fig. 12-11.

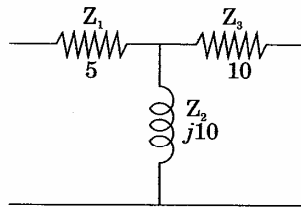


Figura 12-11

a fonte for nula,  
a se as resistên-  
lância variáveis

do  $X_g = -X_L$ . A

so 1, a potência  
 $L = -X_g$ , tem-se

ncia e reatância  
do circuito ativo,

O circuito equivalente em  $\Delta$  tem para impedâncias  $Z_A$ ,  $Z_B$  e  $Z_C$ , conforme a Fig. 12-12, onde:

$$Z_A = \frac{Z_1 Z_2 + Z_1 Z_3 + Z_2 Z_3}{Z_3} = \frac{5(j10) + 5(10) + 10(j10)}{10} =$$

$$= \frac{50 + j150}{10} = 5 + j15$$

$$Z_B = \frac{Z_1 Z_2 + Z_1 Z_3 + Z_2 Z_3}{Z_2} = \frac{50 + j150}{j10} = 15 - j5$$

$$Z_C = \frac{Z_1 Z_2 + Z_1 Z_3 + Z_2 Z_3}{Z_1} = \frac{50 + j150}{5} = 10 - j30$$

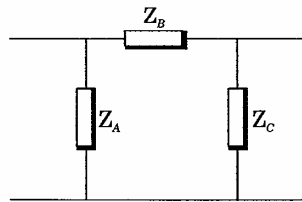


Figura 12-12

Como verificação, converter as impedâncias do circuito em  $\Delta$ , novamente, nas impedâncias do circuito em Y:

$$Z_1 = \frac{Z_A Z_B}{Z_A + Z_B + Z_C} = \frac{(5 + j15)(15 - j5)}{5 + j15 + 15 - j5 + 10 + j30} = \frac{150 + j200}{30 + j40} = 5$$

$$Z_2 = \frac{Z_A Z_C}{Z_A + Z_B + Z_C} = \frac{(5 + j15)(10 + j30)}{30 + j40} = j10$$

$$Z_3 = \frac{Z_B Z_C}{Z_A + Z_B + Z_C} = \frac{(15 - j5)(10 + j30)}{30 + j40} = 10$$

- 12.2 Uma ligação em  $\Delta$  contém três impedâncias iguais a  $Z_\Delta = 15/\underline{30}^\circ$ . Determinar as impedâncias da ligação em Y, equivalente.

$$Z_1 = \frac{Z_A}{Z_A}$$

Logo,  $Z_1 =$   
Assim, pa  
um circuit  
do circuit

Inversame  
são iguais  
lente em t  
estrela.

- 12.3 Mostrar qu  
substituída

Aplica-se 1  
12-13. Che  
e  $I_2$  tensão  
o circuito,

As equaçõe

onde:  $I_1 =$

e  $Z_C$ , conforme

$$Z_1 = \frac{Z_A Z_B}{Z_A + Z_B + Z_C}, \text{ onde } Z_A = Z_B = Z_C = Z\Delta.$$

Logo,  $Z_1 = Z\Delta/3 = (15/\sqrt{30})/3 = 5/\sqrt{30}$ . Do mesmo modo,  $Z_2 = Z_3 = Z\Delta/3 = 5/\sqrt{30}$ . Assim, para qualquer circuito em  $\Delta$  com três impedâncias iguais temos um circuito equivalente em  $Y$ , cujas impedâncias são um terço daquelas do circuito em  $\Delta$ .

Inversamente, quando todas as impedâncias de um circuito em estrela são iguais, são também iguais entre si as impedâncias do circuito equivalente em triângulo e são iguais a três vezes as impedâncias do circuito em estrela.

**12.3** Mostrar que uma estrutura passiva de três terminais e várias malhas pode ser substituída por uma associação de três impedâncias, ligadas em  $\Delta$ .

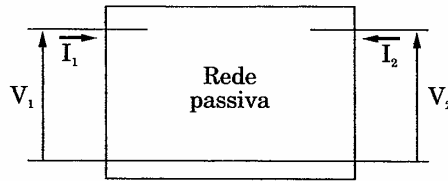


Figura 12-13

Aplica-se uma tensão  $V_1$  aos terminais da esquerda, como mostra a Fig. 12-13. Chamando  $I_1$  à corrente que entra no circuito e designando por  $V_2$  e  $I_2$  tensão e corrente nos terminais da direita, tem-se que, sendo passivo o circuito, todas as demais tensões são nulas.

As equações das correntes de malha, na forma matricial, são:

$$\begin{bmatrix} Z_{11} & Z_{12} & \dots & Z_{1n} \\ Z_{21} & Z_{22} & \dots & \dots \\ \dots & \dots & \dots & \dots \\ Z_{n1} & \dots & \dots & Z_{nn} \end{bmatrix} \begin{bmatrix} I_1 \\ I_2 \\ \cdot \\ I_n \end{bmatrix} = \begin{bmatrix} V_1 \\ V_2 \\ 0 \\ 0 \end{bmatrix}$$

onde:  $I_1 = V_1 \frac{\Delta_{11}}{\Delta_Z} + V_2 \frac{\Delta_{21}}{\Delta_Z}$  e  $I_2 = V_1 \frac{\Delta_{12}}{\Delta_Z} + V_2 \frac{\Delta_{22}}{\Delta_Z}$

o  $\Delta$ , novamente,

$$\frac{150 + j200}{30 + j40} = 5$$

/30°. Determinar

Expressando-se essas duas equações simultâneas na forma matricial, tem-se:

$$\begin{bmatrix} \frac{\Delta_{11}}{\Delta_Z} & \frac{\Delta_{21}}{\Delta_Z} \\ \frac{\Delta_{12}}{\Delta_Z} & \frac{\Delta_{22}}{\Delta_Z} \end{bmatrix} \begin{bmatrix} \mathbf{V}_1 \\ \mathbf{V}_2 \end{bmatrix} = \begin{bmatrix} \mathbf{I}_1 \\ \mathbf{I}_2 \end{bmatrix}$$

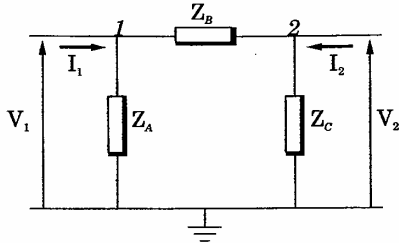


Figura 12-14

Esta equação matricial é semelhante à que resulta de uma estrutura de três nós dos quais um é tomado para referência. A Fig. 12-14 apresenta essa estrutura onde  $Z_A$ ,  $Z_B$  e  $Z_C$  estão ligadas em  $\Delta$ . Introduzindo  $\mathbf{Z}_1$ ,  $\mathbf{I}_1$ ,  $\mathbf{V}_2$  e  $\mathbf{I}_2$  com os mesmos sentidos que na Fig. 12-13 e escrevendo as equações matriciais correspondentes, por aplicação do método das tensões dos nós, temos:

$$\begin{bmatrix} \left(\frac{1}{Z_A} + \frac{1}{Z_B}\right) & -\frac{1}{Z_B} \\ -\frac{1}{Z_B} & \left(\frac{1}{Z_B} + \frac{1}{Z_C}\right) \end{bmatrix} \begin{bmatrix} \mathbf{V}_1 \\ \mathbf{V}_2 \end{bmatrix} = \begin{bmatrix} \mathbf{I}_1 \\ \mathbf{I}_2 \end{bmatrix}$$

Igualando os elementos correspondentes das duas matrizes, temos:

$$(1) \left(\frac{1}{Z_A} + \frac{1}{Z_B}\right) = \frac{\Delta_{11}}{\Delta_Z}, \quad (2) \left(\frac{1}{Z_B} + \frac{1}{Z_C}\right) = \frac{\Delta_{22}}{\Delta_Z}, \quad (3) -\frac{1}{Z_B} = \frac{\Delta_{21}}{\Delta_Z}$$

Substitui

$$Z_A = \frac{\Delta_{11}}{\Delta_Z}$$

É sempre uma estrutura  $\Delta$ . Pode ac serem fisi

12.4 Aplicar os equivalentes

Escolhida

$$\Delta_Z = \begin{vmatrix} 5 & \\ & - \end{vmatrix} = 40$$

e

$$\Delta_{11} = \begin{vmatrix} - & \\ & - \end{vmatrix}$$

$$\Delta_{21} = (-)$$

Emprega

$$Z_A = \frac{\Delta_{11}}{\Delta_Z}$$

forma matricial,

Substituindo (3) em (1) e (2), obtemos:

$$\mathbf{Z}_A = \frac{\Delta_Z}{\Delta_{11} + \Delta_{21}}, \quad \mathbf{Z}_B = -\frac{\Delta_Z}{\Delta_{21}}, \quad \mathbf{Z}_C = \frac{\Delta_Z}{\Delta_{22} + \Delta_{21}}$$

É sempre possível, matematicamente, como se vê, a transformação de uma estrutura de três terminais em um circuito equivalente em Y ou em  $\Delta$ . Pode acontecer, entretanto, de os elementos do circuito equivalente não serem fisicamente realizáveis. Ver Probl. 12.4.

- 12.4 Aplicar os resultados do Probl. 12.3 ao circuito da Fig. 12-15 e obter o circuito equivalente em  $\Delta$ .

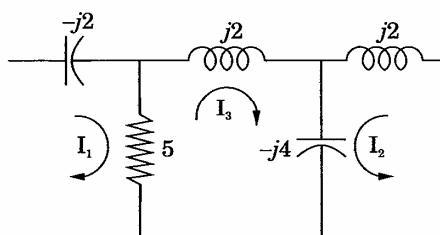


Figura 12-15

Escolhidas as correntes de malha indicadas no diagrama, temos:

$$\Delta_Z = \begin{vmatrix} 5 - j2 & 0 & -5 \\ 0 & -j2 & -j4 \\ -5 & -j4 & 5 - j2 \end{vmatrix}$$

$$= 40 - j24 = 46,6 \angle -31^\circ$$

e

$$\Delta_{11} = \begin{vmatrix} -j2 & -j4 \\ -j4 & 5 - j2 \end{vmatrix} = 12 - j10, \quad \Delta_{22} = \begin{vmatrix} 5 - j2 & -5 \\ -5 & 5 - j2 \end{vmatrix} = -4 - j20,$$

$$\Delta_{21} = (-) \begin{vmatrix} 0 & -5 \\ -j4 & 5 - j2 \end{vmatrix} = j20$$

Empregando as expressões do Probl. 12.3, temos:

$$\mathbf{Z}_A = \frac{\Delta_Z}{\Delta_{11} + \Delta_{21}} = \frac{46,6 \angle -31^\circ}{12 - j10 + j20} = 2,98 \angle -70,8^\circ$$

ma estrutura de 12-14 apresenta produzindo  $\mathbf{Z}_1$ ,  $\mathbf{I}_1$ , e escrevendo as método das ten-

zes, temos:

$$-\frac{1}{\mathbf{Z}_B} = \frac{\Delta_{21}}{\Delta_Z}$$

$$Z_B = \frac{\Delta_Z}{\Delta_{21}} = \frac{46,6 \angle -31^\circ}{j20} = 2,33 \angle 59^\circ$$

$$Z_C = \frac{\Delta_Z}{\Delta_{22} + \Delta_{21}} = \frac{46,6 \angle -31^\circ}{-4 - j20 + j20} = 11,65 \angle 149^\circ$$

Observe-se que  $Z_A$  pode ser obtida pela associação de uma resistência e uma capacitância em série e  $Z_B$  pela associação, também em série, de uma resistência e uma indutância. A impedância  $Z_C$ , entretanto, exigiria uma resistência negativa. Um circuito com as três impedâncias calculadas não pode, portanto, ser construído.

**12.5** Dado o circuito da Fig. 12-16, determinar a corrente no resistor de 2 ohms por aplicação do princípio da superposição.

Seja  $I$  a corrente no resistor de 2 ohms, devida a  $V_1$ , quando  $V_2$  é igualada a zero, e  $I''$  a corrente no mesmo ramo devida a  $V_2$ , quando  $V_1$  é igualada a zero. Escolhidas as correntes de malha indicadas na Fig. 12-16, tem-se, para  $I$  e  $I''$ :

$$I = \frac{\begin{vmatrix} V_1 & 5 & 0 \\ V_1 & 12 & -4 \\ 0 & -4 & 6 \end{vmatrix}}{\begin{vmatrix} 7 & 5 & 0 \\ 5 & 12 & -4 \\ 0 & -4 & 6 \end{vmatrix}} = \frac{10 \begin{vmatrix} 12 & -4 \\ -4 & 6 \end{vmatrix} - 10 \begin{vmatrix} 5 & 0 \\ -4 & 6 \end{vmatrix}}{242} = 1,075 \text{ amp.}$$

$$I'' = \frac{\begin{vmatrix} 0 & 5 & 0 \\ -V_2 & 12 & -4 \\ 0 & -4 & 6 \end{vmatrix}}{242} = \frac{-(-20) \begin{vmatrix} 5 & 0 \\ -4 & 6 \end{vmatrix}}{242} = 2,48 \text{ ampères}$$

Aplicando-se o teorema da superposição, a corrente  $I_1$ , devida às duas fontes atuando simultaneamente, é:

$$I_1 = I + I'' = 1,075 + 2,48 = 3,555 \text{ ampères}$$

**12.6** Aplicar o corrente n

$$V_1 = 50 \angle$$

Seja  $V_2 =$

$$Z_{T_1} = 5$$

e

$$I_{T_1} = \frac{V_1}{Z_T}$$

A corrent

$$I_1 = I_{T_1} \left( \right.$$

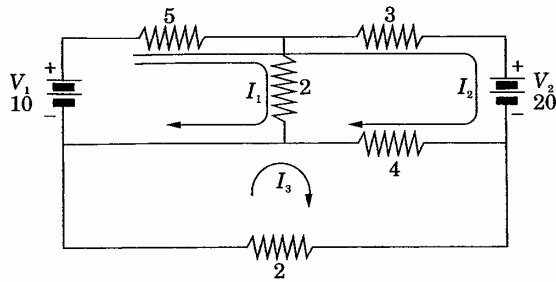


Figura 12-16

12.6 Aplicar o teorema da superposição ao circuito da Fig. 12-17 e determinar a corrente na impedância  $3 + j4$  ohms.

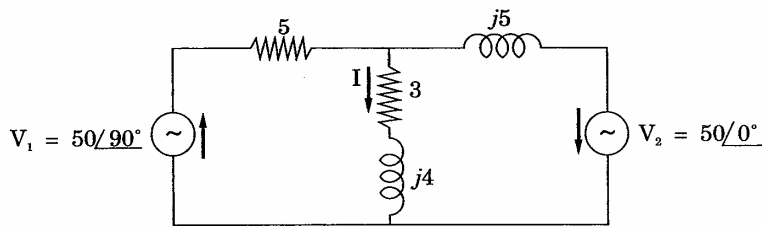


Figura 12-17

Seja  $V_2 = 0$  e  $V_1$  a única fonte presente no circuito. Tem-se:

$$Z_{T_1} = 5 + \frac{(3 + j4) 5}{3 + j9} = 5,83 + j2,5 = 6,35 \angle 23,2^\circ$$

e

$$I_{T_1} = \frac{V_1}{Z_{T_1}} = \frac{50 \angle 90^\circ}{6,35 \angle 23,2^\circ} = 7,87 \angle 66,8^\circ$$

A corrente no ramo  $3 + j4$ , devida apenas a  $V_1$ , é:

$$I_1 = I_{T_1} \left( \frac{j5}{3 + j9} \right) = 7,87 \angle 66,8^\circ \left( \frac{j5}{3 + j9} \right) = 4,15 \angle 85,3^\circ$$

a resistência e  
n em série, de  
tanto, exigiria  
ências calcula-

r de 2 ohms por

o  $V_2$  é igualada  
o  $V_1$  é igualada  
12-16, tem-se,

= 1,075 amp.

apêres

levada às duas

Seja, agora,  $V_1 = 0$  e  $V_2$  a única fonte presente. Tem-se:

$$Z_{T_2} = j5 + \frac{5(3 + j4)}{8 + j4} = 2,5 + j6,25 = 6,74 \angle 68,2^\circ$$

$$I_{T_2} = \frac{V_2}{Z_{T_2}} = \frac{50 \angle 0^\circ}{6,74 \angle 68,2^\circ} = 7,42 \angle -68,2^\circ$$

A corrente no ramo  $3 + j4$ , devida apenas a  $V_2$ , é:

$$I_2 = -(7,42 \angle -68,2^\circ) \left( \frac{5}{8 + j4} \right) = 4,15 \angle 85,3^\circ$$

onde o sinal menos indica que  $I_2$  tem o mesmo sentido de  $I$  no diagrama.

A corrente total no ramo  $3 + j4$  é:

$$I = I_1 + I_2 = 4,15 \angle 85,3^\circ + 4,15 \angle 85,3^\circ = 8,30 \angle 85,3^\circ$$

12.7 Aplicar o teorema da superposição ao circuito da Fig. 12-18 e determinar a tensão  $V_{AB}$ .

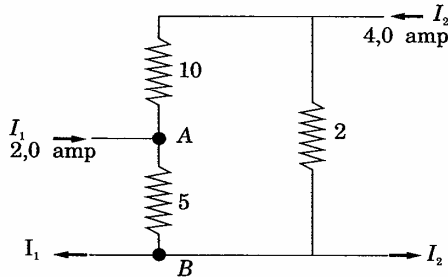


Figura 12-18

Com  $I_1 = 2$  ampères atuando no circuito e  $I_2 = 0$ , tem-se  $V'_{AB} = -(2)(5)(12)/17 = 7,06$  volts.

Se, agora,  $I_1 = 0$  e  $I_2 = 4$  ampères atua no circuito, a corrente no resistor de 5 ohms será  $I_5 = 4(2/17) = 8/17$  ampères. Então,  $V''_{AB} = (8/17)5 = 2,35$  volts.

Agindo as duas fontes, a tensão é:

$$V_{AB} = V'_{AB} + V''_{AB} = 7,06 + 2,35 = 9,41 \text{ volts.}$$

12.8 No circuito  $I_x$  no ramo dade nesse

Na Fig. 12 pedida é a

$$I_x = I_3 = \frac{\begin{vmatrix} 10 + j5 \\ -j5 \\ 0 \end{vmatrix}}{\begin{vmatrix} 10 + j \\ -j5 \\ 0 \end{vmatrix}}$$

Aplicando, a excitação correntes c

12.8 No circuito da Fig. 12-19(a), a fonte de tensão  $100/45^\circ$  acarreta uma corrente  $I_x$  no ramo de 5 ohms. Achar  $I_x$  e, em seguida, verificar o teorema da reciprocidade nesse circuito.

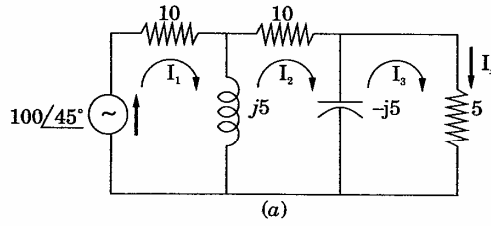


Figura 12-19

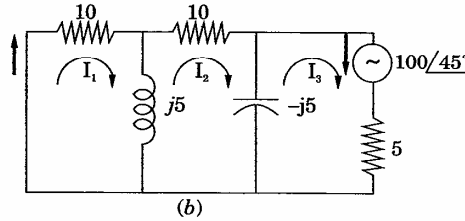


Figura 12-19

Na Fig. 12-19(a) vêm-se as correntes de malha  $I_1$ ,  $I_2$  e  $I_3$ . A corrente  $I_x$  pedida é a corrente de malha  $I_3$ .

$$I_x = I_3 = \frac{\begin{vmatrix} 10 + j5 & -j5 & 100/45^\circ \\ -j5 & 10 & 0 \\ 0 & j5 & 0 \end{vmatrix}}{\begin{vmatrix} 10 + j5 & -j5 & 0 \\ -j5 & 10 & j5 \\ 0 & j5 & 5 - j5 \end{vmatrix}} = 100/45^\circ \left( \frac{25}{1155 \angle -12,5^\circ} \right) = 2,16 \angle 57,5^\circ \quad (1)$$

Aplicando, agora, o teorema da reciprocidade, pela troca de posições entre a excitação e a resposta, como mostra a Fig. 12-19(b), e empregando as correntes de malha indicadas, além de notar que  $I_x = I_1$ , temos:

I no diagrama.

3 e determinar a

tem-se  $V_{AB} =$

ente no resistor  
 $= (8/17)5 = 2,35$

$$\mathbf{I}_x = \mathbf{I}_1 = \frac{\begin{vmatrix} 0 & -j5 & 0 \\ 0 & 10 & j5 \\ 100 \angle 45^\circ & j5 & 5 - j5 \end{vmatrix}}{\Delta_z} = 100 \angle 45^\circ \left( \frac{25}{1155 \angle -12,5^\circ} \right) = 2,16 \angle 57,5^\circ \quad (2)$$

Verificada a igualdade de (1) e (2), fica verificado o teorema da reciprocidade, pois  $\mathbf{I}_x$  é igual nas duas equações.

**12.9** O circuito da Fig. 12-20(a) contém uma única fonte de corrente  $I = 12 \angle 90^\circ$  ampères. Determinar a tensão  $V_2$  do nó 2. Aplicar o teorema da reciprocidade e comparar os resultados.

Sob a forma matricial, as duas equações nodais da estrutura da Fig. 12-20(a) são:

$$\begin{bmatrix} \left( \frac{1}{3 + j4} + \frac{1}{j10} \right) & -\frac{1}{j10} \\ -\frac{1}{j10} & \left( \frac{1}{j10} + \frac{1}{5} + \frac{1}{2 + j2} \right) \end{bmatrix} \begin{bmatrix} \mathbf{V}_1 \\ \mathbf{V}_2 \end{bmatrix} = \begin{bmatrix} 12 \angle 90^\circ \\ 0 \end{bmatrix}$$

donde:

$$\mathbf{V}_2 = \frac{\begin{vmatrix} 0,12 - j0,26 & 12 \angle 90^\circ \\ j0,1 & 0 \end{vmatrix}}{\begin{vmatrix} 0,12 - j0,26 & j0,1 \\ j0,1 & 0,45 - j0,35 \end{vmatrix}} = 12 \angle 90^\circ \left( \frac{-j0,1}{0,161 \angle 260,35^\circ} \right) = 7,45 \angle 99,65^\circ$$

Empregando o teorema da reciprocidade, aplica-se a corrente  $I$  entre o nó 2 e o de referência, no circuito da Fig. 12-20(b). Calcula-se, em seguida, a tensão nos terminais em que penetrava corrente. Basta uma equação de nó, pois só existem dois nós no circuito. Logo:

$$\left( \frac{1}{3 + j14} + \frac{1}{5} + \frac{1}{2 + j2} \right) \mathbf{V}_2 = 12 \angle 90^\circ \quad \text{donde} \quad \mathbf{V}_2 = \frac{12 \angle 90^\circ}{0,563 \angle -34,4^\circ} = 21,3 \angle 124,4^\circ$$

$$I = 12 \angle 90^\circ$$

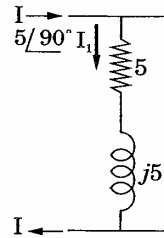
$$I \leftarrow$$

A tensão  $V_x$

$$\mathbf{V}_x = \mathbf{V}_2 \left( \right)$$

Comparar  $\mathbf{V}_x$ , na esteira, assim, permanece

**12.10** No circuito  $\mathbf{V}_x$ . Trocar teorema da



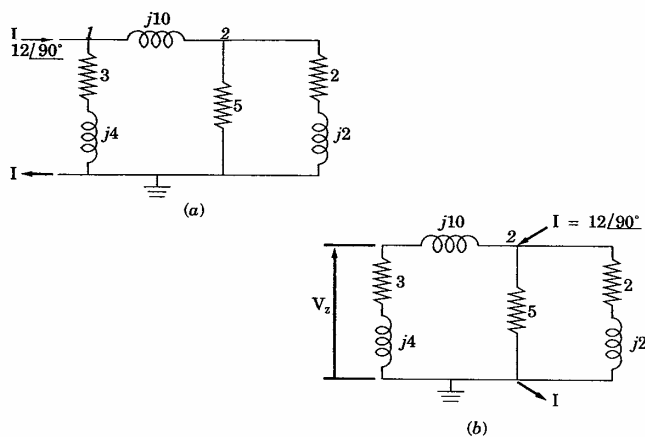


Figura 12-20

A tensão  $V_x$  é, então:

$$V_x = V_2 \left( \frac{3 + j4}{3 + j4 + j10} \right) = 21,3 \angle 124,4^\circ \left( \frac{3 + j4}{3 + j14} \right) = 7,45 \angle 99,6^\circ$$

Comparando os valores calculados de  $V_2$  no circuito da Fig. 12-20(a) e de  $V_x$ , na estrutura da Fig. 12-20(b), verificamos que eles são iguais, provando, assim, o teorema da reciprocidade. Observe-se, também, que  $V_2$  não permanece a mesma, depois da troca de posição entre excitação e resposta.

**12.10** No circuito de uma única fonte de corrente da Fig. 12-21(a), determinar a tensão  $V_x$ . Trocar as posições entre a fonte de corrente e a tensão  $V_x$ . Verifica-se o teorema da reciprocidade?

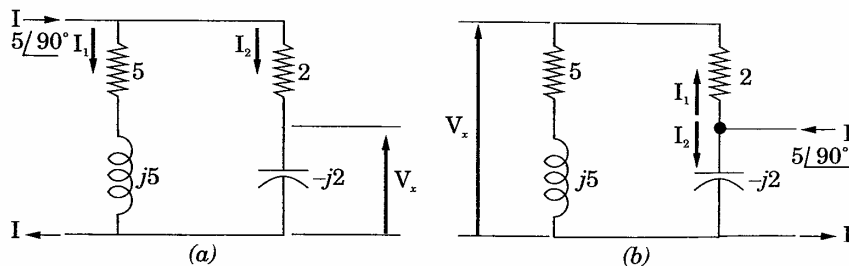


Figura 12-21

2,16  $\angle 57,5^\circ$  (2)

na da reciproci-

rente  $I = 12/90^\circ$   
da reciprocidade

estrutura da Fig.

$= 7,45 \angle 99,65^\circ$

ente  $I$  entre o nó  
e, em seguida, a  
uma equação de

$\frac{21,3 \angle 124,4^\circ}{4}$

Na Fig. 12-21(a), a corrente  $I_2 = I \left( \frac{5+j5}{7+j3} \right) = 5 \angle 90^\circ \left( \frac{5+j5}{7+j3} \right) = 4,64 \angle 111,8^\circ$ .

Logo, a tensão  $V_x = I_2 (-j2) = (4,64 \angle 111,8^\circ)(2 \angle -90^\circ) = 9,28 \angle 21,8^\circ$  volts.

Na Fig. 12-21(b), a fonte de corrente  $I$  e os terminais em que se mede  $V_x$  são trocados. A corrente  $I_1 = I \left( \frac{-j2}{7+j3} \right) = 5 \angle 90^\circ \left( \frac{-j2}{7+j3} \right) = 1,31 \angle -23,2^\circ$ .

Uma vez que  $V_x = (1,31 \angle -23,2^\circ)(5+j5) = 9,27 \angle 21,8^\circ$  volts, como antes, fica verificado o teorema da reciprocidade.

**12.11** Substituir a reatância  $j4$ , no circuito da Fig. 12-22(a), por uma f.e.m. de compensação.

Escolhidas as correntes de malha  $I_1$  e  $I_2$ , como mostra o diagrama, tem-se para valor de  $I_2$  (corrente na reatância  $j4$ ):

$$I_2 = \frac{\begin{vmatrix} 5+j10 & 20 \\ 5 & 20 \end{vmatrix}}{\begin{vmatrix} 5+j10 & 5 \\ 5 & 8+j4 \end{vmatrix}} = \frac{20(j10)}{103 \angle 104,05^\circ} = 1,94 \angle -14,05^\circ$$

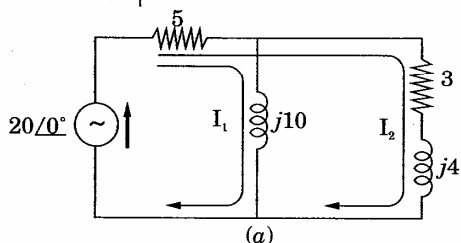


Figura 12-22

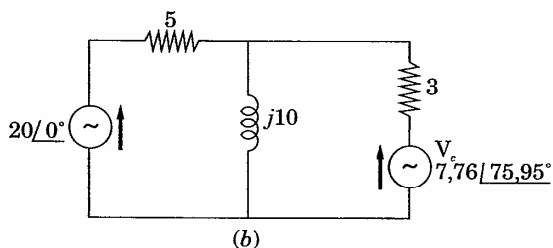


Figura 12-22

A fonte de Fig. 12-22(reatância  $j$

Verifique a um ramo e

**12.12** Substituir a compensaçã

A impedânc =  $1,46 + j$

$Z_T = 5 + 1$

A fonte de

$V_C = I_T Z_{eq}$

A Fig. 12-2 corretamer

$$= 4,64 / 111,8^\circ$$

que se mede  $V_x$   
 $21,8^\circ$  volts.

como antes, fica

e.m. de compen-

agrama, tem-se

$1^\circ$

A fonte de compensação é  $V_C = I_2(j4) = 1,94 / -14,05^\circ (j4) = 7,76 / 75,95^\circ$ . A Fig. 12-22(b) mostra o circuito com a fonte de compensação em lugar da reatância  $j4$ .

Verifique a equivalência dos dois circuitos, calculando uma corrente em um ramo em cada circuito e comparando os resultados.

**12.12** Substituir a associação paralela das impedâncias  $j10$  e  $3 + j4$  por uma fonte de compensação.

A impedância equivalente às impedâncias em paralelo é  $Z_{eq} = \frac{j10(3 + j4)}{3 + j14} = 1,46 + j3,17 = 3,50 / 65,3^\circ$ . Então:

$$Z_T = 5 + 1,46 + j3,17 = 7,18 / 26,2^\circ \text{ e } I_T = \frac{V}{Z_T} = \frac{20 / 0^\circ}{7,18 / 26,2^\circ} = 2,79 / -26,2^\circ$$

A fonte de compensação é:

$$V_C = I_T Z_{eq} = (2,79 / 26,2^\circ)(3,50 / 65,3^\circ) = 9,77 / 39,1^\circ$$

A Fig. 12-23(b) mostra o circuito com a fonte de compensação polarizada corretamente.

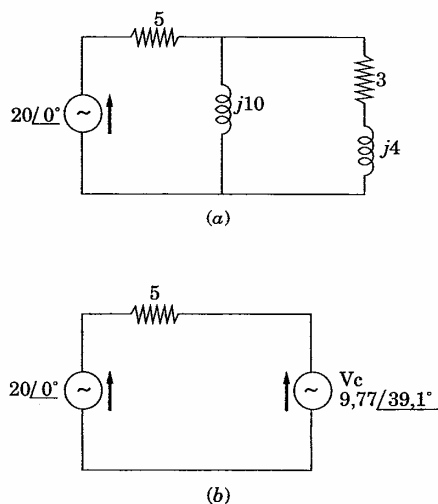


Figura 12-23

**12.13** A impedância  $3 + j4$  da Fig. 12-24(a) é substituída por  $4 + j4$ , Fig. 12-24(b). Determinar a corrente no resistor de 10 ohms, antes e depois da troca. Aplicar o teorema da compensação e determinar a diferença entre as duas correntes no resistor de 10 ohms.

Antes da troca de  $3 + j4$  [Fig. 12-24(a)], temos:

$$Z_T = 10 + \frac{j5(3 + j4)}{3 + j9} = 11,1 \angle 13^\circ \quad \text{e} \quad I_T = \frac{V}{Z} = \frac{50 \angle 0^\circ}{11,1 \angle 13^\circ} = 4,50 \angle -13^\circ$$

Depois da troca [Fig. 12-24(b)]:

$$Z'_T = 10 + \frac{j5(4 + j4)}{4 + j9} = 11,03 + j2,68 = 11,35 \angle 13,65^\circ$$

$$\text{e} \quad I'_T = \frac{V}{Z'_T} = 4,41 \angle -13,65^\circ$$

A fonte de compensação é  $V_c = I(\delta Z)$ , onde  $I$ , corrente inicial no ramo  $3 + j4$ , é

$$I = I_T \left( \frac{j5}{3 + j9} \right) = 4,5 \angle -13^\circ \left( \frac{j5}{3 + j9} \right) = 2,37 \angle 5,5^\circ$$

e  $\delta Z = (4 + j4) - (3 + j4) = 1$ . Então,  $V_c = 2,37 \angle 5,5^\circ (1) = 2,37 \angle 5,5^\circ$  com sentido oposto à corrente  $I$ .

A variação da corrente  $\Delta I_T$  é determinada fazendo-se igual a zero a fonte inicial de tensão e deixando-se  $V_c$  como única fonte atuando no circuito, como mostra a Fig. 12-24(c).

$$\text{Nesse circuito, portanto, } Z''_T = 4 + j4 + \frac{j5(10)}{10 + j5} = 10 \angle 53,1^\circ \text{ e}$$

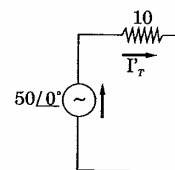
$$\Delta I_T = - \left( \frac{V_c}{Z''_T} \right) \left( \frac{5}{10 + j5} \right) = - \left( \frac{2,37 \angle 5,5^\circ}{10 \angle 53,1^\circ} \right) \left( \frac{j5}{10 + j5} \right) = 0,1055 \angle 195,8^\circ$$

Comparando com a diferença entre  $I'_T$  e  $I_T$ , temos:

$$I'_T - I_T = (4,41 \angle -13,65^\circ) - (4,50 \angle -13^\circ) = -0,10 - j0,03 = 0,1045 \angle 196,7^\circ$$

Observe-se que os dois valores de  $\Delta I_T$  não são exatamente iguais. O valor determinado com a tensão de compensação  $V_c$  é mais exato que o obtido

pela sub  
pequena  
acarreta  
erro no c  
madame



**12.14** Calcular e  
reduzir o v

Sejam  $I$  e  
mudança

$$I = \frac{V}{Z} =$$

$$\Delta I = I' -$$

Se calcul:

$$= I(\delta Z) = ?$$

A variaçã

pela subtração  $\mathbf{I}' - \mathbf{I}$ . Isso é verdadeiro, particularmente, quando é pequena a variação de impedância. Conforme se verifica acima, isso acarreta uma pequena variação na corrente, introduzindo, portanto, um erro no cálculo da diferença de duas quantidades que são muito aproximadamente iguais.

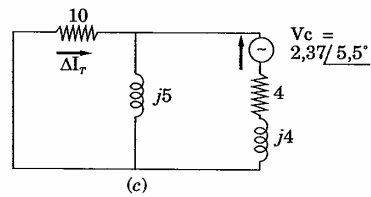
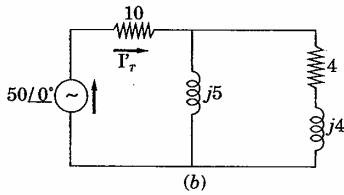
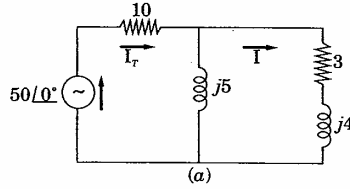


Figura 12-24

12.14 Calcular a variação na corrente do circuito em série da Fig. 12-25(a), ao se reduzir o valor da reatância para  $j35$ .

Sejam  $\mathbf{I}$  e  $\mathbf{I}'$ , respectivamente, as correntes no circuito, antes e depois da mudança da reatância [Fig. 12-25(a) e (b)].

$$\mathbf{I} = \frac{\mathbf{V}}{\mathbf{Z}} = \frac{100 \angle 45^\circ}{50 \angle 53,1^\circ} = 2,0 \angle -8,1^\circ; \quad \mathbf{I}' = \frac{\mathbf{V}}{\mathbf{Z} + \delta\mathbf{Z}} = \frac{100 \angle 45^\circ}{30 + j35} = 2,17 \angle -4,4^\circ$$

$$\Delta\mathbf{I} = \mathbf{I}' - \mathbf{I} = 2,17 \angle -4,4^\circ - 2,0 \angle -8,1^\circ = 0,223 \angle 31,6^\circ$$

Se calcularmos  $\Delta\mathbf{I}$  por aplicação do teorema da compensação, temos  $\mathbf{V}_C = -\mathbf{I}(\delta\mathbf{Z}) = 2,0 \angle -8,1^\circ (-j5) = 10 \angle -98,1^\circ$ , dirigida, como mostra a Fig. 12-25(c). A variação de corrente é:

$i_4$ , Fig. 12-24(b).  
a troca. Aplicar o  
uas correntes no

$$= 4,50 \angle -13^\circ$$

l no ramo  $3 + j4$ ,

$5,5^\circ$  com sentido

al a zero a fonte  
ndo no circuito,

$53,1^\circ$  e

$$0,1055 \angle 195,8^\circ$$

$$= 0,1045 \angle 196,7^\circ$$

e iguais. O valor  
ato que o obtido

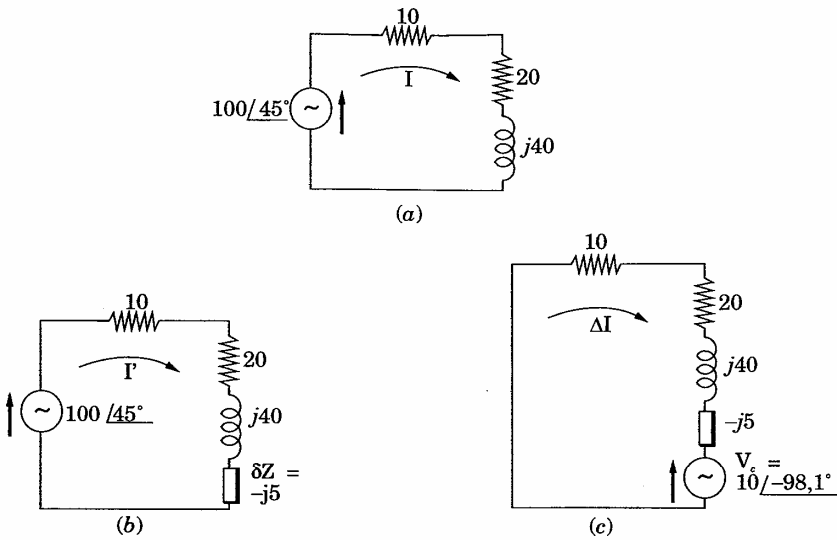


Figura 12-25

$$\Delta I = -V_c / (Z + \delta Z) = -(10 \angle -98,1^\circ) / (30 + j35) =$$

$$= (10 \angle 81,9^\circ) / (46,1 \angle 49,4^\circ) = 0,217 \angle 32,5^\circ$$

Novamente, temos um pequeno erro devido à pequena variação da impedância.

- 12.15 No circuito da Fig. 12-26, a carga  $Z_L$  é constituída por uma resistência pura  $R_L$ . Determinar o valor de  $R_L$  para o qual a fonte entrega a máxima potência à carga. Determinar o valor dessa potência máxima,  $P$ .

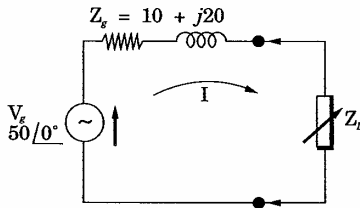


Figura 12-26

A máxima t  
= 22,4 ohm

Assim, I =  
máxima fo

- 12.16 Na hipótese complexa  $Z$ , que resulta máxima.

A máxima  
=  $10 + j20$ ,

A impedâr  
Conseqüen  
62,5 watts.

- 12.17 Na estrutura uma resistê  
ohms. Deter  
de potência.

A tensão eq  
=  $45,6 \angle 60$ ,  
AB é  $Z' =$

No circuit  
impedância  
ajustável e  
ohms. Logo

$$R_L = |Z_g -$$

$$Z = Z' + Z$$

Então, tem

$$I = \frac{V'}{Z_T} =$$

A máxima transferência de potência ocorre quando  $R_L = |Z_g| = |10 + j20| = 22,4$  ohms.

Assim,  $I = V/(Z_g + R_L) = (50\angle 0^\circ)/(10 + j20 + 22,4) = 1,31\angle -31,7^\circ$  e a potência máxima fornecida à carga é  $P = I^2 R_L = (1,31)^2(22,4) = 38,5$  watts.

- 12.16** Na hipótese de a carga da Fig. 12-26 ser constituída por uma impedância complexa  $Z_L$ , em que  $R_L$  e  $X_L$  sejam ambas variáveis, determinar o valor de  $Z_L$  que resulta na máxima transferência de potência. Calcular o valor da potência máxima.

A máxima transferência de potência ocorre quando  $Z_L = Z_g$ . Como  $Z_g = 10 + j20$ , teremos  $Z_L = 10 - j20$ .

A impedância total do circuito é  $Z_T = (10 + j20) + (10 - j20) = 20$ .

Conseqüentemente,  $I = V/Z_T = (50\angle 0^\circ)/20 = 2,5\angle 0^\circ$  e  $P = I^2 R = (2,5)^2(10) = 62,5$  watts.

- 12.17** Na estrutura da Fig. 12-27, a carga ligada entre os terminais  $AB$  é constituída por uma resistência variável  $R_L$  e uma reatância capacitiva  $X_C$  variável entre 2 e 8 ohms. Determinar os valores de  $R_L$  e  $X_C$  que acarretam a máxima transferência de potência. Calcular a potência máxima  $P$  fornecida à carga.

A tensão equivalente de Thevenin nos terminais  $AB$  é  $V = \frac{50\angle 45^\circ}{5 + j10}(2 + j10) = 45,6\angle 60,3^\circ$ . A impedância da estrutura ativa ligada nos terminais  $AB$  é  $Z = 3(2 + j10)/(5 + j10) = 2,64 + j0,72$ .

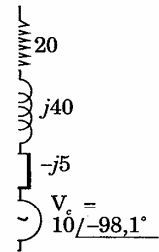
No circuito dado, a máxima transferência de potência ocorre com uma impedância  $Z_L = Z^* = 2,64 - j0,72$ . Nas condições do problema,  $X_C$  é ajustável entre 2 e 8 ohms. O valor mais próximo para  $X_C$  é, portanto, 2 ohms. Logo:

$$R_L = |Z_g - jX_C| = |2,64 + j0,72 - j2| = |2,64 - j1,28| = 2,93 \text{ ohms}$$

$$Z = Z + Z_L = (2,64 + 2,93) + j(0,72 - 2) = 5,57 - j1,28 = 5,70\angle -13^\circ$$

Então, temos:

$$I = \frac{V}{Z_T} = \frac{45,6\angle 60,3^\circ}{5,70\angle -13^\circ} = 8,0\angle 73,3^\circ \text{ e } P = I^2 R_L = (8,0)^2 2,93 = 187 \text{ W.}$$



riação da impe-

istência pura  $R_L$ .  
potência à carga.

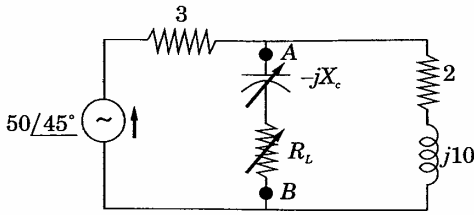


Figura 12-27

12.18 A resistência  $R_g$  do circuito da Fig. 12-28 é ajustável entre 2 e 55 ohms. Qual o valor de  $R_g$  que acarreta a máxima transferência de potência nos terminais AB ?

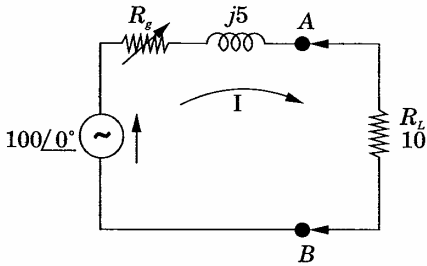


Figura 12-28

No circuito dado, a resistência de carga  $R_L$  é fixa. Os teoremas de máxima transferência de potência não se aplicam, portanto. Obviamente, a maior corrente ocorre quando  $R_g$  é mínima.

Fazendo, portanto,  $R_g$  igual a 2 ohms, temos:

$$Z_T = (2 + j5 + 10) = 13 \angle 22,6^\circ$$

$$e \quad I = V/Z_T = (100 \angle 0^\circ) / (13 \angle 22,6^\circ) = 7,7 \angle -22,6^\circ$$

A potência máxima é  $P = (7,7)^2 10 = 593$  watts.

**Problemas Propostos**

12.19 Determinar o circuito em Y equivalente à ligação em  $\Delta$  da Fig. 12-29.  
 Resp.:  $(0,5 - j0,5)$ ,  $(3 - j1)$ ,  $(1 + j3)$ .

12.20 A estrutura paralelo. De  
 Resp.:  $(5 +$

12.21 Na Fig. 12- paralelo com estrela eq  
 Resp.:  $Z =$

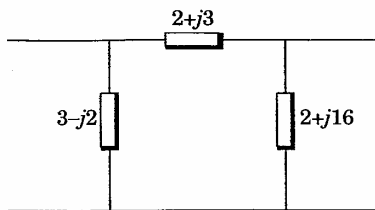


Figura 12-29

- 12.20 A estrutura da Fig. 12-30 é constituída por dois circuitos em Y, ligados em paralelo. Determinar a estrela simples equivalente.  
 Resp.:  $(5 + j5)$ ,  $\infty$ ,  $(5 + j5)$ .

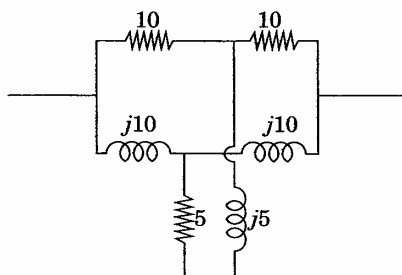


Figura 12-30

- 12.21 Na Fig. 12-31, um circuito equilibrado com  $Z = 10/\underline{30^\circ}$ , ligado em  $\Delta$ , está em paralelo com um circuito equilibrado, com  $Z = 4/\underline{-45^\circ}$ , ligado em Y. Determinar a estrela equivalente.  
 Resp.:  $Z = 2,29/\underline{-3,5^\circ}$ .

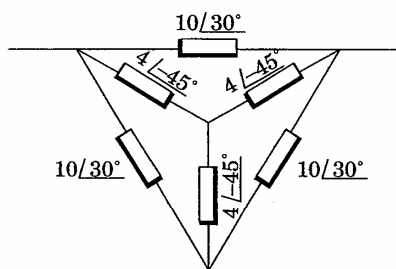


Figura 12-31

55 ohms. Qual o os terminais AB?

mas de máxima amente, a maior

12-29.

12.22 Mostrar que a estrutura passiva de três terminais da Fig. 12-32(a) pode ser substituída por um circuito em estrela, como o da Fig. 12-32(b), onde  $Z_1 = (\Delta_{11} - \Delta_{12})/\Delta_Y$ ,  $Z_2 = \Delta_{12}/\Delta_Y$  e  $Z_3 = (\Delta_{22} - \Delta_{12})/\Delta_Y$ . ( $\Delta_Y$  e os cofatores referem-se às equações das tensões nos nós, na forma matricial.)

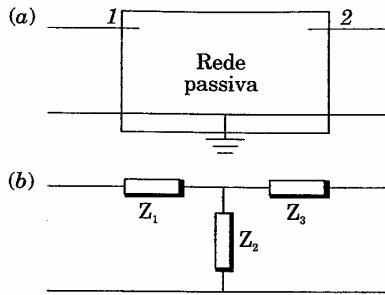


Figura 12-32

12.23 Substituir a estrutura da Fig. 12-33 por um circuito equivalente em estrela, empregando os processos desenvolvidos no Probl. 12.22.  
 Resp.:  $(12 + j1)$ ;  $(-1 + j2)$ ;  $(4 + j1)$ .

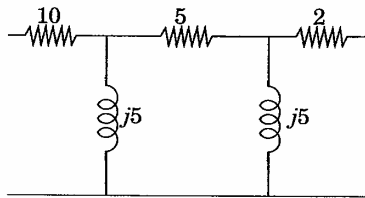


Figura 12-33

12.24 Determinar a ligação de três impedâncias em Y equivalente à estrutura da Fig. 12-34.  
 Resp.: 6,25; 2,5; 10,5 ohms.

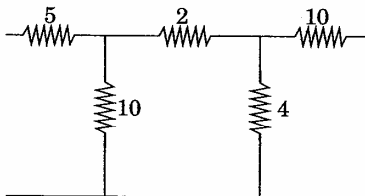


Figura 12-34

12.25 Obter o circ  
 Resp.: 10,2

12.26 Obter o circ  
 Resp.:  $(3 -$

12.27 Empregand  
 ohms do circ  
 Resp.:  $l = 4,$

12.28 A fonte de te  
 superior. De  
 da superpos  
 Resp.:  $l = 1,$

12.29 Na estrutura  
 cada uma de  
 Resp.: 2,27

2-32(a) pode ser de  $Z_1 = (\Delta_{11} - \Delta_{12})/\Delta$  n-se às equações

12.25 Obter o circuito em  $\Delta$  equivalente à estrutura da Fig. 12-34.

Resp.: 10,25; 43; 17,2 ohms.

12.26 Obter o circuito em  $\Delta$  equivalente à estrutura da Fig. 12-35.

Resp.:  $(3 - j2)$ ;  $(2 + j3)$ ;  $(2 + j16)$ .

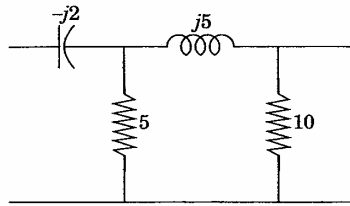


Figura 12-35

12.27 Empregando o teorema da superposição, determinar a corrente no resistor de 2 ohms do circuito da Fig. 12-36.

Resp.:  $I = 4,27$  A.

12.28 A fonte de tensão  $V_2$  da Fig. 12-36 é mudada para 8,93 volts, positiva no terminal superior. Determinar a corrente no resistor de 2 ohms, com o auxílio do teorema da superposição.

Resp.:  $I = 1,43$  A.

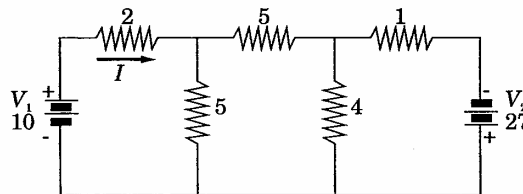


Figura 12-36

12.29 Na estrutura da Fig. 12-37, determinar a corrente no resistor de 5 ohms devida a cada uma das fontes de tensão.

Resp.: 2,27 A; 3,41 A.

lente em estrela,

a estrutura da Fig.

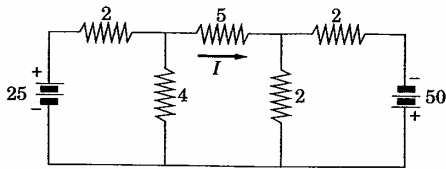


Figura 12-37

12.30 Determinar as componentes da tensão do nó  $V_2$ , devidas a cada uma das fontes de corrente da Fig. 12-38.

Resp.:  $8,48/-2,8^\circ$ ;  $8,20/12,2^\circ$ .

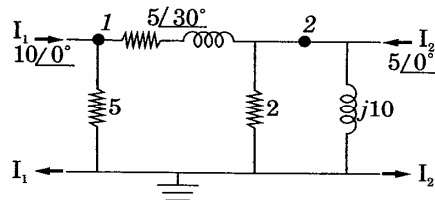


Figura 12-38

12.31 Na estrutura da Fig. 12-39, determinar a corrente no resistor de 4 ohms devida a cada uma das fontes de tensão.

Resp.:  $3,24/60,95^\circ$ ;  $6,16/-142,2^\circ$ .

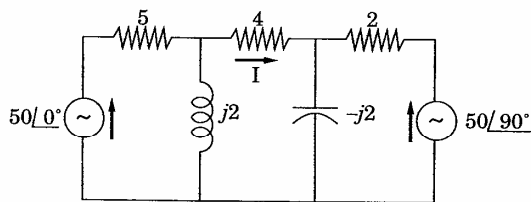


Figura 12-39

12.32 Permitindo-se que as fontes de tensão da Fig. 12-40 atuem separadamente no circuito, constata-se que as correntes correspondentes, no resistor de 10 ohms, são iguais. Qual é o valor da relação  $V_1/V_2$ ?

Resp.:  $0,707/-45^\circ$ .

12.33 Determinar a tensão no nó  $V_2$ , devidas a cada uma das fontes de corrente da Fig. 12-38.

Resp.:  $5,8$ .

12.34 No circuito da Fig. 12-38, determinar a corrente  $I_2$ .

12.35 Determinar a corrente  $I_2$  no resistor de 2 ohms da Fig. 12-39. Aplicar o teorema de superposição.

Resp.:  $2,27$ .

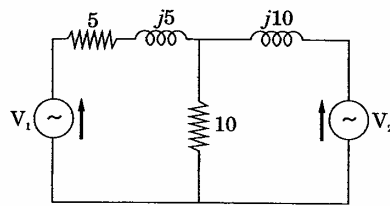


Figura 12-40

12.33 Determinar as componentes da tensão de nó  $V_2$ , no circuito da Fig. 12-41, devidas a cada uma das fontes de correntes  $I_1$  e  $I_2$ .  
 Resp.:  $5,82/-5,5^\circ$ ;  $9,22/72,9^\circ$ .

12.34 No circuito da Fig. 12-41, a fonte de corrente  $I_2$  é mudada para  $3,16/191,6^\circ$  ampères. Com o auxílio do teorema da superposição, determinar a tensão de nó  $V_2$ .

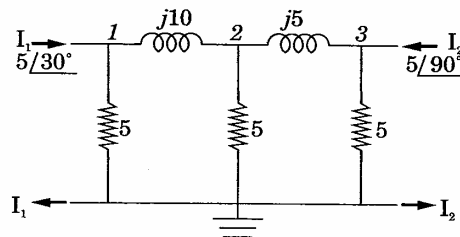


Figura 12-41

12.35 Determinar a corrente  $I$  na impedância  $3 - j4$  ohms do circuito da Fig. 12-42. Aplicar o teorema da reciprocidade e comparar as duas correntes.  
 Resp.:  $2,27/53,2^\circ$ .

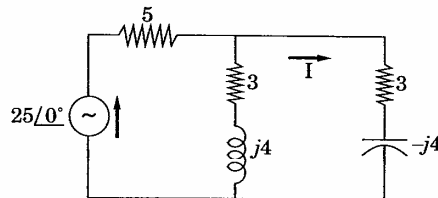


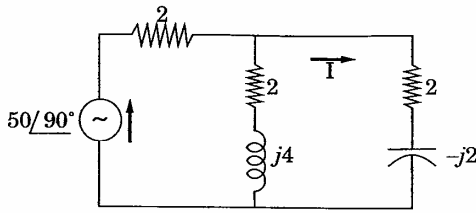
Figura 12-42

a uma das fontes

4 ohms devida a

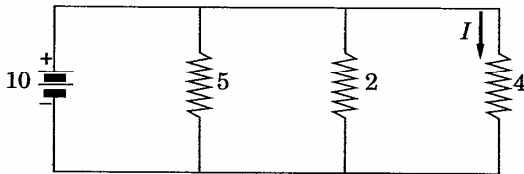
paradamente no  
 istor de 10 ohms,

- 12.36** Determinar a corrente  $I$  na impedância  $2 - j2$  ohms do circuito da Fig. 12-43. Aplicar o teorema da reciprocidade e comparar as duas correntes.  
 Resp.:  $10,1/129,1^\circ$ .



**Figura 12-43**

- 12.37** Calcular a corrente no resistor de 4 ohms do circuito da Fig. 12-44. Aplicar o teorema da reciprocidade e comparar as duas correntes. Que variações de corrente resultam nos ramos dos resistores de 5 ohms e de 2 ohms?  
 Resp.: 2,5 ampères. Após a aplicação do teorema da reciprocidade, as correntes nos resistores de 5 ohms e 2 ohms são nulas. Anteriormente, as correntes eram de 2 e de 5 ampères, respectivamente.



**Figura 12-44**

- 12.38** Na estrutura da Fig. 12-45, determinar a corrente no resistor de 5 ohms. Aplicar o teorema da reciprocidade e comparar as duas correntes.  
 Resp.:  $0,270/53,75^\circ$ .
- 12.39** Calcular a corrente  $I$  no resistor de 50 ohms da Fig. 12-46. Verificar o teorema da reciprocidade, trocando de posição a fonte de tensão e a corrente resultante  $I$ .  
 Resp.: 1,32 mA.

**12.40** Determina  
 dade e cor  
 Resp.:  $35I$

**12.41** Calcular  $V$   
 reciprocida  
 Resp.:  $5,0i$

o da Fig. 12-43.  
es.

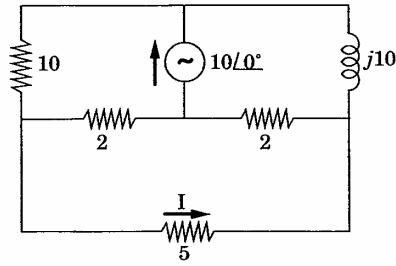


Figura 12-45

12-44. Aplicar o  
ue variações de  
hms?  
ade, as correntes  
s correntes eram

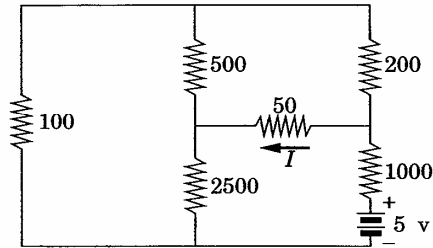


Figura 12-46

12.40 Determinar a tensão  $V_x$  no circuito da Fig. 12.47. Aplicar o teorema da reciprocidade e comparar as duas tensões.  
Resp.:  $35/-12,1^\circ$ .

é 5 ohms. Aplicar  
icar o teorema da  
resultante  $I$ .

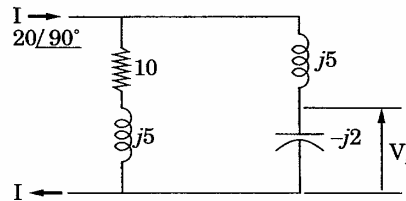


Figura 12-47

12.41 Calcular  $V_x$  no circuito da Fig. 12-48 e, em seguida, verificar o teorema da reciprocidade.  
Resp.:  $5,08/21^\circ$ .

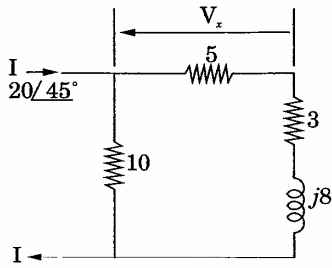


Figura 12-48

12.42 Determinar a tensão  $V_x$  no circuito da Fig. 12-49. Trocar de posição a fonte de corrente e a tensão  $V_x$  e verificar o teorema da reciprocidade.  
 Resp.:  $2,53/-162,3^\circ$ .

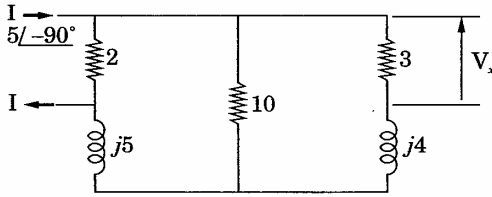


Figura 12-49

12.43 Substituir as impedâncias em paralelo  $3 + j4$  e  $3 - j4$  do circuito da Fig. 12-50 por uma fonte de tensão de compensação. Como verificação, determinar a corrente no resistor de 5 ohms, antes e depois da substituição.  
 Resp.:  $V_C = 11,35/0^\circ$  volts;  $I = 2,73/0^\circ$  ampères.

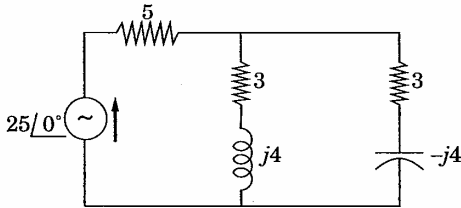


Figura 12-50

12.44 Substituir a fonte de tensão por uma fonte de corrente e uma impedância de compensação.  
 Resp.:  $V_C =$

12.45 Substituir a fonte de tensão por uma fonte de corrente e uma impedância de compensação.  
 Resp.: 11,3

12.46 Conforme o teorema de substituição, substituir o resistor de 1 ohm por uma fonte de tensão de compensação e determinar a corrente  $\Delta I$  no resistor de 5 ohms.  
 Resp.:  $\Delta I =$

12.44 Substituir o resistor de 5 ohms da Fig. 12-50 por uma fonte de tensão de compensação e determinar a corrente total da fonte de  $25/0^\circ$ , antes e após a substituição.

Resp.:  $V_C = 13,65/0^\circ$  volts;  $I = 2,73/0^\circ$  ampères.

12.45 Substituir cada uma das associações em paralelo de resistores da Fig. 12-51 por uma fonte de tensão de compensação e calcular a corrente total de saída da fonte de 50 volts.

Resp.: 11,35 V; 4,55 V; 3,41 A.

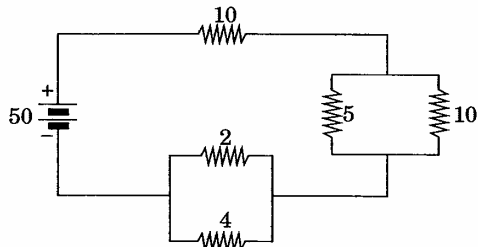


Figura 12-51

12.46 Conforme mostra a Fig. 12-52(a),  $I$  é a corrente na fonte de 20 volts. Quando o resistor de 10 ohms do lado de cima é trocado para 12 ohms, a corrente naquela fonte passa a ser  $I'$ . Determinar a variação de corrente  $\Delta I = (I' - I)$ , com o auxílio da fonte de tensão de compensação, como se vê na Fig. 12-52(b).

Resp.:  $\Delta I = -0,087$  A.

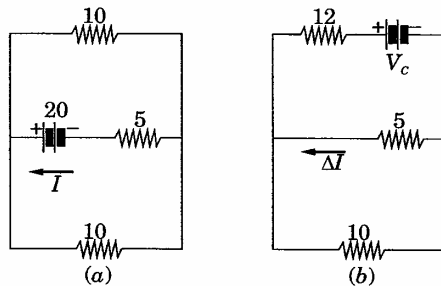


Figura 12-52

osição a fonte de

da Fig. 12-50 por  
rminar a corrente

12.47 O resistor de 5 ohms da Fig. 12-53(a) é mudado para 8 ohms. Determinar a variação de corrente  $\Delta I$  que resulta na impedância  $3 + j4$ .  
 Resp.:  $0,271/159^\circ$  A.

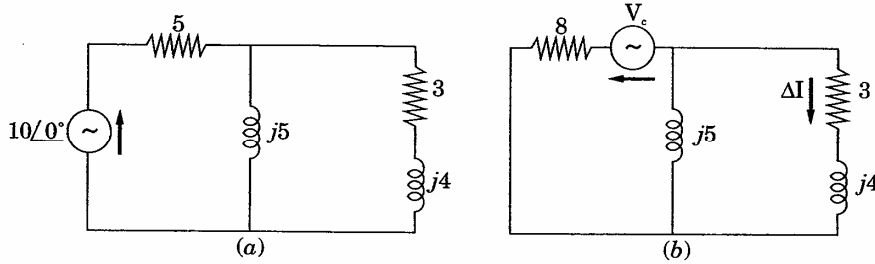


Figura 12-53

12.48 A corrente  $I$  circula na fonte  $50/45^\circ$  do circuito da Fig. 12-54(a). Troca-se o resistor de 10 ohms para 5 ohms. Empregar o teorema da compensação para determinar  $V_c$  e  $\Delta I$  [Fig. 12-54(b)].  
 Resp.:  $21,45/-166^\circ$  V;  $2,74/-36^\circ$  A.

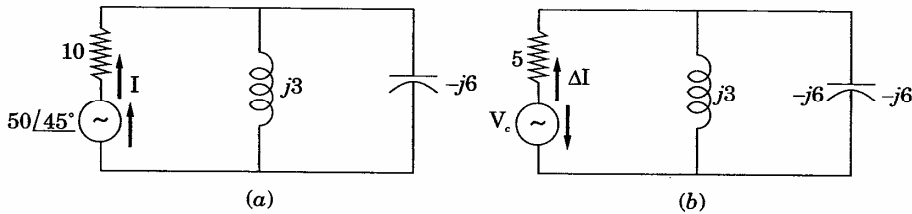


Figura 12-54

12.49 Determinar o valor de  $R_L$  que acarreta a máxima transferência de potência no circuito da Fig. 12-55. Calcular o valor da potência máxima.  
 Resp.: 11,17 ohms; 309 watts.

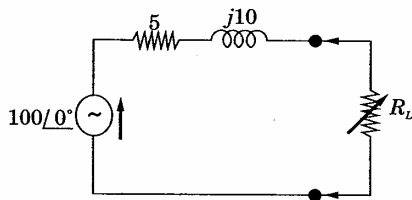
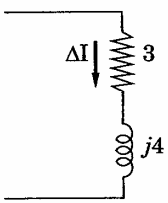


Figura 12-55

12.50 No circui de 15 oh qual a pc  
 Resp.: (a

12.51 Duas foni AB do cir forem var da máxim  
 Resp.: (4.

ns. Determinar a



**12.50** No circuito da Fig. 12-56, a carga é constituída por uma reatância capacitiva fixa de 15 ohms e uma resistência variável  $R_L$ . Determinar (a) o valor de  $R_L$  para o qual a potência transferida é máxima; (b) o valor da potência máxima.  
 Resp.: (a)  $R_L = 11,17$  ohms; (b) 236 watts.

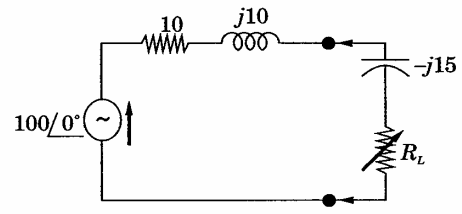


Figura 12-56

i4(a). Troca-se o  
impedância para

**12.51** Duas fontes de tensão atuam sobre a impedância de carga ligada aos terminais AB do circuito da Fig. 12-57. Se tanto a reatância como a resistência da carga forem variáveis, que valor da carga  $Z_L$  receberá a máxima potência? Qual o valor da máxima potência?  
 Resp.:  $(4,23 + j1,15)\Omega$ ; 5,68 W.

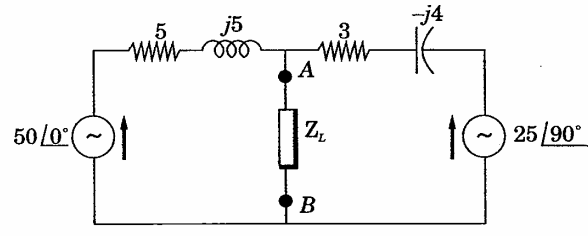
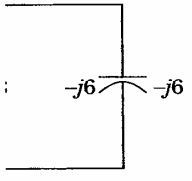


Figura 12-57

ia de potência no



MAKRON  
Books

## INDUTÂNCIA MÚTUA

### Introdução

Os circuitos estudados nos capítulos anteriores eram constituídos por malhas e nós. Como duas malhas contíguas possuem um ramo comum e dois nós se ligam por elementos passivos ou ativos, malhas e nós se dizem acoplados condutivamente. Os métodos mistos solucionam essas estruturas.

Neste capítulo, analisaremos outro tipo de acoplamento – o acoplamento magnético. Quando a interação entre duas malhas tem lugar através de um campo magnético, em lugar de fazê-lo pelos elementos comuns, diz-se que as malhas estão acopladas indutiva ou magneticamente.

### Auto-Indutância

Quando a corrente varia em um circuito, o fluxo magnético que o abrange varia e, no circuito, induz-se uma f.e.m. Admitindo constante a permeabilidade, a f.e.m. induzida é proporcional à taxa de variação da corrente, isto é:

$$v_L = L \frac{di}{dt} \quad (1)$$

onde a constan  
A unidade de a

Numa

onde  $Nd\phi$  defin  
equações (1) e (

onde:

### Indutância

Na Fig  
tempo. A corre  
fluxo abrange a  
O fluxo restant  
2 é dada pela le

**Capítulo 13**

onde a constante de proporcionalidade  $L$  se chama auto-indutância do circuito. A unidade de auto-indutância é o weber/ampère ou henry (H).

Numa bobina de  $N$  espiras a f.e.m. induzida é dada por:

$$v_L = N \frac{d\phi}{dt} \quad (2)$$

onde  $Nd\phi$  define o "fluxo de ligação" ("flux linkage") do circuito. Combinando as equações (1) e (2), temos:

$$L \frac{di}{dt} = N \frac{d\phi}{dt}$$

onde:

$$L = N \frac{d\phi}{di}$$

**Indutância Mútua**

Na Fig. 13-1, consideremos a corrente  $i_1$ , na bobina 1, variando com o tempo. A corrente variável  $i_1$  estabelece um fluxo magnético  $\phi_1$ . Parte desse fluxo abrange apenas a bobina 1 e chama-se fluxo de perdas  $\phi_{11}$  ("leakage flux"). O fluxo restante  $\phi_{12}$  abrange, também, a bobina 2. A tensão induzida na bobina 2 é dada pela lei de Faraday:

$$v_2 = N_2 \frac{d\phi_{12}}{dt} \quad (3)$$

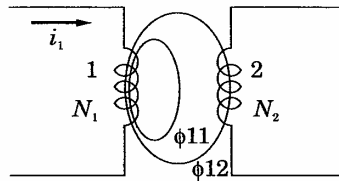


Figura 13-1

(1)

Como  $\phi_{12}$  está relacionado à corrente  $i_1$ ,  $v_2$  é proporcional à taxa de variação da corrente  $i_1$  ou:

$$v_2 = M \frac{di_1}{dt} \quad (4)$$

onde a constante de proporcionalidade  $M$  se chama indutância mútua entre as duas bobinas. A unidade de indutância mútua é a mesma unidade de auto-indutância (o henry).

Combinando as equações (3) e (4), temos:

$$v_2 = N_2 \frac{d\phi_{12}}{dt} = M \frac{di_1}{dt}$$

e

$$M = N_2 \frac{d\phi_{12}}{di_1} \quad (5)$$

A indutância mútua de um par de bobinas enroladas no mesmo núcleo de ferro é dada pela equação (5); o fluxo e a corrente não se relacionam linearmente. Se, em lugar do ferro, o meio for o ar, o fluxo e a corrente estarão relacionados linearmente e a indutância mútua será:

$$M = \frac{N_2 \phi_{12}}{i_1} \quad (6)$$

O acoplamento mútuo é bilateral e resultados análogos serão obtidos se uma corrente variável  $i_2$ , função do tempo, circular na bobina 2 da Fig. 13-1. Os fluxos de ligação são, portanto,  $\phi_2$ ,  $\phi_{21}$  e  $\phi_{22}$ , a tensão induzida na bobina 1 é  $v_1 = M(di_2/dt)$  e as equações (5) e (6) tornam-se, respectivamente:

$$M = \frac{N_1 d\phi_{21}}{di_2} \quad (7) \quad \text{e} \quad M = \frac{N_1 \phi_{21}}{i_2} \quad (8)$$

### **Coefficiente de Acoplamento, $k$**

Na Fig. 13-1 o "fluxo de ligação" depende do espaçamento e orientação dos eixos das bobinas e da permeabilidade do meio. A fração do fluxo total

que abrange as  
temos:

Como  $\phi$   
As ope  
tâncias  $L_1$  e  $L_2$ .

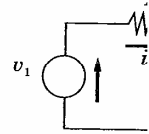
$$M^2 = \left($$

Substit

$$M^2 = k$$

### **Análise de**

Com a f  
sobre as tensões  
como mostra a F



Como, e  
malha  $i_1$  e  $i_2$  são  
malhas são escri

que abrange as duas bobinas chama-se coeficiente de acoplamento  $k$ . Então, temos:

$$k = \frac{\phi_{12}}{\phi_1} = \frac{\phi_{21}}{\phi_2}$$

Como  $\phi_{12} \leq \phi_1$  e  $\phi_{21} \leq \phi_2$ , o máximo valor para  $k$  é a unidade.

As operações a seguir permitem obter-se  $M$  em termos das auto-indutâncias  $L_1$  e  $L_2$ . Multiplicando as equações (6) e (8), obtém-se:

$$M^2 = \left( \frac{N_2 \phi_{12}}{i_1} \right) \left( \frac{N_1 \phi_{21}}{i_2} \right) = \left( \frac{N_2 k \phi_1}{i_1} \right) \left( \frac{N_1 k \phi_2}{i_2} \right) = k^2 \left( \frac{N_1 \phi_1}{i_1} \right) \left( \frac{N_2 \phi_2}{i_2} \right) \quad (9)$$

Substituindo  $L_1 = N_1 \phi_1 / i_1$  e  $L_2 = N_2 \phi_2 / i_2$  em (9), temos:

$$M^2 = k^2 L_1 L_2 \quad \text{e} \quad M = k \sqrt{L_1 L_2}$$

### Análise de Circuitos Acoplados

Com a finalidade de mostrar o sentido dos enrolamentos e seus efeitos sobre as tensões de indutância mútua, as bobinas são apresentadas no núcleo, como mostra a Fig. 13-2.

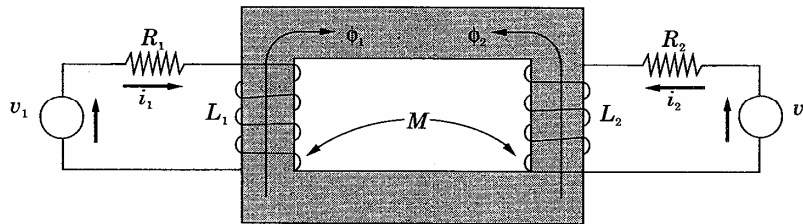


Figura 13-2

Como, em cada circuito, existe uma fonte de tensão, as correntes de malha  $i_1$  e  $i_2$  são escolhidas no mesmo sentido das fontes e as equações das duas malhas são escritas de conformidade com a lei de Kirchhoff:

$$R_1 i_1 + L_1 \frac{di_1}{dt} \pm M \frac{di_2}{dt} = v_1 \quad (10)$$

$$R_2 i_2 + L_2 \frac{di_2}{dt} \pm M \frac{di_1}{dt} = v_2$$

As tensões de indutância mútua podem ter qualquer polaridade dependendo do sentido do enrolamento. Os sinais corretos em (10) podem ser determinados por aplicação da regra da mão direita a cada bobina: segurando-se a bobina, de modo que os dedos envolvam as espiras no sentido em que a corrente as percorre, o polegar direito aponta no sentido do fluxo. Os sentidos de  $\phi_1$  e de  $\phi_2$  são, portanto, os indicados na figura. Se os fluxos  $\phi_1$  e  $\phi_2$ , devidos a correntes de sentidos supostos positivos, se somam, os sinais das tensões de indutância mútua são os mesmos das tensões de auto-indutância.

Na Fig. 13-2 observa-se que  $\phi_1$  e de  $\phi_2$  têm sentidos opostos. Escrevendo (10), novamente, com os sinais corretos, temos:

$$R_1 i_1 + L_1 \frac{di_1}{dt} - M \frac{di_2}{dt} = v_1 \quad (11)$$

$$R_2 i_2 + L_2 \frac{di_2}{dt} - M \frac{di_1}{dt} = v_2$$

Admitindo fontes de tensões senoidais, o conjunto (11) torna-se, em regime estacionário:

$$(R_1 + j\omega L_1) \mathbf{I}_1 - j\omega M \mathbf{I}_2 = \mathbf{V}_1 \quad (12)$$

$$-j\omega M \mathbf{I}_1 + (R_2 + j\omega L_2) \mathbf{I}_2 = \mathbf{V}_2$$

Recordando o sistema de duas equações simultâneas das correntes de malha (Capítulo 9), temos:

$$\mathbf{Z}_{11} \mathbf{I}_1 \pm \mathbf{Z}_{12} \mathbf{I}_2 = \mathbf{V}_1 \quad (13)$$

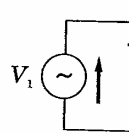
$$\pm \mathbf{Z}_{21} \mathbf{I}_1 + \mathbf{Z}_{22} \mathbf{I}_2 = \mathbf{V}_2$$

Vimos que  $\mathbf{Z}_{12} = \mathbf{Z}_{21}$  eram as impedâncias comuns às duas correntes de malha  $\mathbf{I}_1$  e  $\mathbf{I}_2$ . As malhas eram acopladas condutivamente, já que as correntes circula-

vam num ramo de equações, ou não são acopladas em tais casos, o ac

## Corrente $I_1$

Na seção seguinte vamos discutir um circuito com uma fonte de tensão e corrente induzida e a corrente é deter



Seja o circuito de tensão. Admitindo-se a regra de Lenz estabelecida, o circuito completado, a corrente que se oponha ac

Portanto, o sentido do fluxo  $\phi$  se então a regra dos dedos envolverão as correntes de malha

vam num ramo comum. No circuito da Fig. 13-2, temos um sistema semelhante de equações, onde  $j\omega M$  corresponde a  $Z_{12}$  e  $Z_{21}$  das equações (13). As malhas não são acopladas condutivamente, pois as duas correntes não percorrem impedâncias comuns. Entretanto, as equações indicam que existe acoplamento. Em tais casos, o acoplamento é chamado *mútuo* ou *acoplamento magnético*.

### Corrente Induzida

Na seção precedente, após admitir o sentido das correntes, examinamos um circuito com duas malhas acopladas mutuamente, cada uma contendo uma fonte de tensão. Algumas vezes, torna-se necessário analisarmos a corrente induzida numa malha em que não existe fonte de tensão. O sentido dessa corrente é determinado por aplicação da lei de Lenz.

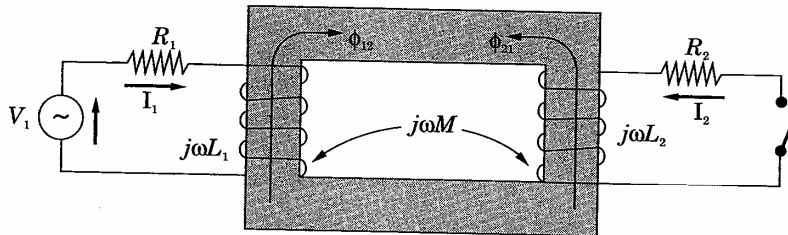


Figura 13-3

Seja o circuito da Fig. 13-3, onde apenas a malha 1 contém uma fonte de tensão. Admitindo para a corrente  $I_1$  o sentido de acordo com a fonte  $V_1$ , aplica-se a regra da mão direita para determinar o sentido do fluxo  $\phi_{12}$ . A lei de Lenz estabelece que a polaridade da tensão induzida é tal que, se o circuito for completado, circulará pela bobina uma corrente de sentido tal que crie um fluxo que se oponha ao fluxo principal, estabelecido pela corrente  $I_1$ .

Portanto, quando o interruptor é fechado no circuito da Fig. 13-3, o sentido do fluxo  $\phi_{21}$ , de conformidade com a lei de Lenz, é o indicado. Aplicando-se então a regra da mão direita, com o polegar apontando no sentido de  $\phi_{21}$ , os dedos envolverão a bobina 2 no sentido da *corrente induzida*. As equações das correntes de malha são, então:

$$\begin{aligned} (R_1 + j\omega L_1)I_1 - j\omega MI_2 &= V_1 \\ -j\omega MI_1 + (R_2 + j\omega L_2)I_2 &= 0 \end{aligned} \tag{14}$$

Como não existe fonte de tensão na malha 2, segue-se que a corrente induzida  $I_2$  resultou da tensão na indutância mútua  $(R_2 + j\omega L_2)I_2$ , que é igual a  $j\omega MI_1$ . Na Fig. 13-4, representa-se essa tensão como uma fonte. O sentido da fonte deve ser o indicado pela seta para que o sentido da corrente  $I_2$  seja o positivo. Portanto, a polaridade instantânea da tensão de indutância mútua, na bobina 2, é positiva no terminal em que a corrente induzida sai do enrolamento.

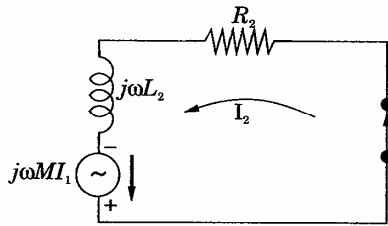
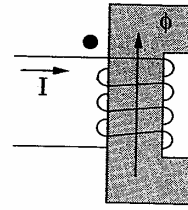


Figura 13-4

### Regra do Ponto – Bobinas Acopladas

O processo de determinação da polaridade relativa das tensões de indutância mútua por considerações quanto ao núcleo e ao sentido do enrolamento não é prático. Para simplificar a representação de circuitos acoplados, as bobinas são marcadas com pontos, como mostra a Fig. 13-5(c). Coloca-se um ponto nos terminais das bobinas que sejam instantaneamente da mesma polaridade, tendo em vista a indutância mútua, apenas. Para isso, devemos, portanto, saber em que terminal de cada bobina colocar o ponto. Devemos, também, determinar o sinal atribuído à tensão de indutância mútua, ao escrever as equações das correntes de malha.



Para loc um sentido para onde a corrente positivo, em relação à direita para determinar o fluxo na segunda bobina. Ver a Fig. 13-5(c).

Com o sinal da corrente induzida, a polaridade instantânea desse terminal, e a polaridade das bobinas por intermédio do diagrama. As bobinas são acopladas.

Para determinar as correntes de ambas as bobinas, os terminais que têm o mesmo ponto em  $L_1$  e  $L_2$  são opostos.

(14)

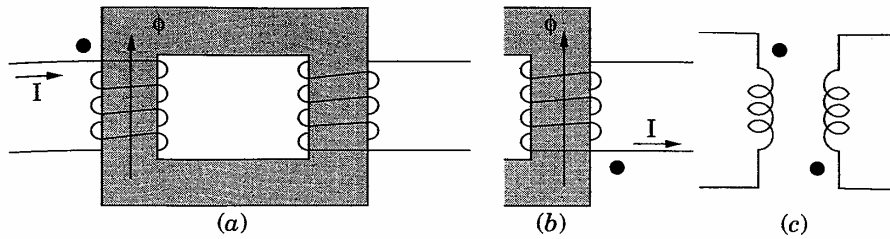


Figura 13-5

Para localizar os pontos em um par de bobinas acopladas, escolhe-se um sentido para a corrente em uma delas e coloca-se um ponto no terminal por onde a corrente penetra no enrolamento. Esse terminal é instantaneamente positivo, em relação ao outro terminal da bobina. Aplica-se a regra da mão direita para determinar o fluxo correspondente, como mostra a Fig. 13-5(a). O fluxo na segunda bobina deve-se opor ao fluxo original, de acordo com a lei de Lenz. Ver a Fig. 13-5(b).

Com o auxílio da regra da mão direita, determina-se o sentido da corrente induzida e, como a tensão de indutância mútua é positiva no terminal por onde a corrente induzida deixa o enrolamento, deve-se colocar um ponto nesse terminal, como na Fig. 13-5(b). Uma vez identificada a polaridade das bobinas por intermédio dos pontos, não haverá mais necessidade do núcleo no diagrama. As bobinas podem, então, ser ilustradas como indica a Fig. 13-5(c).

Para determinar o sinal da tensão de indutância mútua nas equações das correntes de malha, usa-se a regra dos pontos, que estabelece: (1) quando ambas as correntes entram ou saem de um par de bobinas acopladas pelos terminais que têm ponto, os sinais dos termos em  $M$  são iguais aos sinais dos termos em  $L$ ; (2) se uma das correntes entra e a outra sai, os sinais dos termos em  $M$  são opostos aos dos termos em  $L$ .

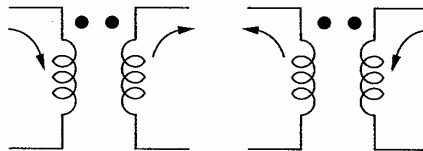


Figura 13-6

SENAI / DR / AM  
NÚCLEO DE INFORMAÇÃO  
TECNOLOGICA

que a corrente  $I_2$ , que é igual a  $I_1$ . O sentido da corrente  $I_2$  seja o mesmo da corrente  $I_1$ , a sai do enrola-

das tensões de indução de cada bobina. Quando as bobinas são acopladas, as tensões induzidas em cada bobina são iguais. Coloca-se um ponto no terminal de entrada da mesma polaridade. Quando as bobinas são acopladas, as tensões induzidas em cada bobina são iguais. Coloca-se um ponto no terminal de entrada da mesma polaridade.

A Fig. 13-6 mostra quando os sinais dos termos em  $M$  e em  $L$  são opostos. A Fig. 13-7 ilustra dois casos em que os sinais de  $M$  e de  $L$  são iguais.

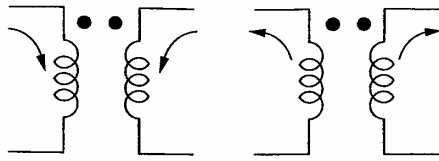


Figura 13-7

Ainda como ilustração das polaridades relativas nos circuitos com acoplamento mútuo, seja o circuito da Fig. 13-8, onde estão indicados os pontos e as correntes  $I_1$  e  $I_2$ . Como uma corrente entra e a outra sai, pelos terminais com ponto, o sinal dos termos em  $M$  é oposto ao dos termos em  $L$ . Sob a forma matricial, as equações das correntes de malha para este circuito são:

$$\begin{bmatrix} Z_{11} & -j\omega M \\ -j\omega M & Z_{22} \end{bmatrix} \begin{bmatrix} I_1 \\ I_2 \end{bmatrix} = \begin{bmatrix} V_1 \\ 0 \end{bmatrix} \quad (15)$$

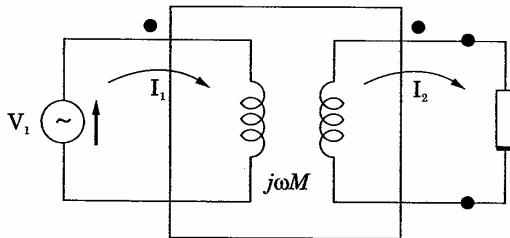


Figura 13-8

A Fig. 13-9 apresenta uma estrutura simples a duas malhas com acoplamento condutivo. Estão indicados os terminais positivos. Sob a forma matricial, as equações das correntes de malha são:

$$\begin{bmatrix} Z_{11} & -Z \\ -Z & Z_{22} \end{bmatrix} \begin{bmatrix} I_1 \\ I_2 \end{bmatrix} = \begin{bmatrix} V_1 \\ 0 \end{bmatrix} \quad (16)$$

A impedância total contém  $Z$ .

Cobrimos a diferença, apenas. Comparando (15) corresponde ao

### Circuitos I

Na análise do acoplamento mútuo, o circuito da Fig. 13-8. As equações

Sejam  $Z_{11}$  e  $Z_{22}$  as impedâncias próprias das malhas 1 e 2, respectivamente. Sejam  $Z$  as impedâncias de acoplamento mútuo. A equação (16) pode ser escrita na forma matricial:

$M$  e em  $L$  são  
e  $L$  são iguais.

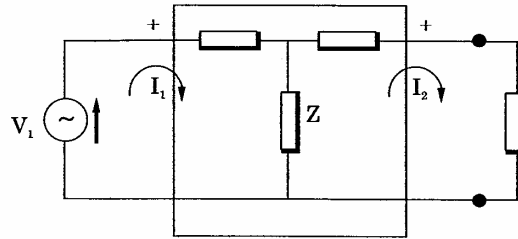


Figura 13-9

A impedância  $Z$ , comum a ambas as correntes de malha, apresenta sinal negativo porque as correntes  $I_1$  e  $I_2$  têm sentidos opostos no ramo que contém  $Z$ .

Cobrindo-se as “caixinhas” nas Figs. 13-8 e 13-9, os dois circuitos diferem, apenas pelos pontos, em um deles, e pela notação de sinais, no outro. Comparando (15) e (16), verifica-se que o sinal negativo atribuído a  $j\omega M$  corresponde ao sinal negativo de  $Z$ .

(15)

### Circuitos Equivalentes Acoplados Condutivamente

Na análise de circuitos, é possível substituir-se um circuito com acoplamento mútuo por um outro equivalente, acoplado condutivamente. Seja o circuito da Fig. 13-10(a), com os sentidos das correntes  $I_1$  e  $I_2$  como se representa. As equações das correntes de malha são, então, sob a forma matricial:

$$\begin{bmatrix} R_1 + j\omega L_1 & -j\omega M \\ -j\omega M & R_2 + j\omega L_2 \end{bmatrix} \begin{bmatrix} I_1 \\ I_2 \end{bmatrix} = \begin{bmatrix} V_1 \\ V_2 \end{bmatrix} \quad (17)$$

Sejam os mesmos os sentidos das correntes nas Figs. 13-10(b) e 13-10(a). As correntes  $I_1$  e  $I_2$  têm sentidos opostos no ramo comum; a impedância é, então,  $j\omega M$ . Nas equações (17),  $Z_{11} = R_1 + j\omega L_1$ . Como a corrente de malha  $I_1$  passa no ramo comum que contém a impedância  $j\omega M$ , devemos inserir  $(-j\omega M)$  na malha e escrever:

(16)

as malhas com  
os. Sob a forma

$$Z_{11} = R_1 + j\omega L_1 - j\omega M + j\omega M = R_1 + j\omega L_1$$

Semelhantemente, na malha 2, temos:

$$Z_{22} = R_2 + j\omega L_2 - j\omega M + j\omega M = R_2 + j\omega L_2$$

Se escrevermos as equações das correntes de malha para o circuito da Fig. 13-10(b), obteremos as equações (17). O circuito da Fig. 13-10(b), acoplado condutivamente, é, portanto, equivalente ao circuito de acoplamento mútuo da Fig. 13-10(a).

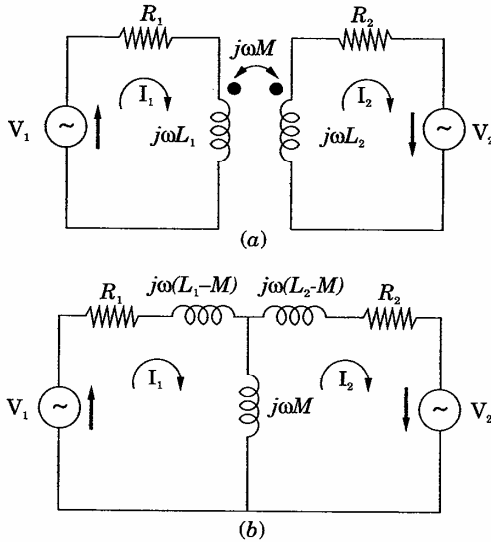


Figura 13-10

Este método de análise, entretanto, nem sempre conduz a um circuito equivalente fisicamente realizável. Isto é verdade quando  $M > L_1$  ou  $M > L_2$ .

Para substituir a ligação em série das bobinas acopladas mutuamente, mostradas na Fig. 13-11(a), procede-se da seguinte maneira: aplica-se o método acima descrito, obtendo-se o circuito equivalente da Fig. 13-11(b) com os pontos; em seguida substitui-se esse equivalente pelo equivalente condutivo mostrado na Fig. 13-11(c).

A análise na determinação de Fig. 13-11(b) não a regra dos pontos equações pela impedância com

- 13.1 Em um par e os fluxos maxwells.\*  $M$  e  $k$  (1 we
- O fluxo de auto-indu = 0,06 H.
- O coeficiente
- A indutância
- Como  $M =$

\* N. R. Aqui a pa magnéticos.

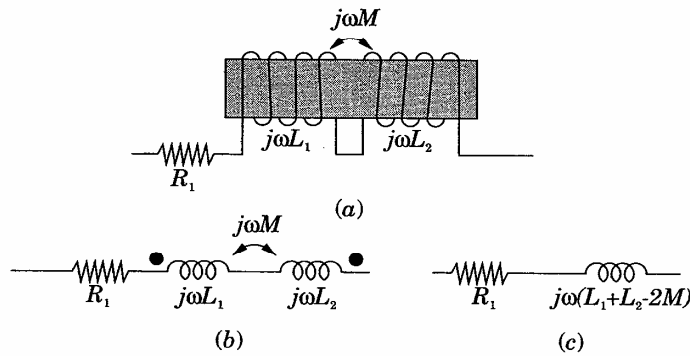


Figura 13-11

A análise do circuito da Fig. 13-11(a) exige que se considere os fluxos, na determinação dos sinais das tensões de indutância mútua. No circuito da Fig. 13-11(b) não há necessidade de se conhecerem os fluxos, mas é necessária a regra dos pontos. Com o circuito da Fig. 13-11(c) podem-se escrever as equações pela forma usual, sem que se exija atenção especial ao fluxo, aos pontos ou à indutância mútua. Todos os três circuitos possuem a mesma impedância complexa  $Z = R_1 + j\omega(L_1 + L_2 - 2M)$ .

**Problemas Resolvidos**

**13.1** Em um par de bobinas acopladas, a corrente contínua na bobina 1 é 5 ampères e os fluxos correspondentes  $\phi_{11}$  e  $\phi_{12}$  são, respectivamente, 20000 e 40000 maxwells.\* Sendo  $N_1 = 500$  e  $N_2 = 1500$  os totais de espiras, determinar  $L_1$ ,  $L_2$ ,  $M$  e  $k$  (1 weber =  $10^8$  maxwells).

O fluxo total é  $\phi_1 = \phi_{11} + \phi_{12} = 60000$  maxwells =  $6 \times 10^{-4}$  webers. A auto-indutância da bobina 1 é, então,  $L_1 = N_1\phi_1/I_1 = 500(6 \times 10^{-4})/5 = 0,06$  H.

O coeficiente de acoplamento é  $k_1 = \phi_{12}/\phi_1 = 40000/60000 = 0,667$ .

A indutância mútua  $M = N_2\phi_{12}/I_1 = 1500(4 \times 10^{-4})/5 = 0,12$  H

Como  $M = k\sqrt{L_1L_2}$ , vem  $0,12 = 0,667\sqrt{0,06L_2}$  e  $L_2 = 0,539$  H.

\* N. R. Aqui a palavra "maxwells" designa uma antiga unidade (do sistema CGS) para fluxos magnéticos.

ara o circuito da  
10(b), acoplado  
mento mútua da

uz a um circuito  
 $L_1$  ou  $M > L_2$ .

las mutuamente,  
plica-se o método  
(b) com os pontos;  
ndutivo mostrado

- 13.2 Duas bobinas,  $L_1 = 0,8$  H e  $L_2 = 0,2$  H têm um coeficiente de acoplamento  $k = 0,9$ . Determinar a indutância mútua  $M$  e a relação de espiras  $N_1/N_2$ .

A indutância mútua é  $M = k\sqrt{L_1 L_2} = 0,9\sqrt{0,8(0,2)} = 0,36$  H.

Tomando  $M = N_2\phi_{12}/i_1$ , fazendo  $\phi_{12} = k\phi_1$  e multiplicando por  $N_1/N_1$ , obtém-se

$$M = k \frac{N_2}{N_1} \left( \frac{N_1 \phi_1}{i_1} \right) = k \frac{N_2}{N_1} L_1 \text{ e } N_1/N_2 = kL_1/M = 0,9(0,8)/0,36 = 2$$

- 13.3 Duas bobinas cujas respectivas auto-indutâncias são  $L_1 = 0,05$  H e  $L_2 = 0,20$  H têm coeficiente de acoplamento  $k = 0,5$ . A bobina 2 tem 1000 espiras. Sendo  $i_1 = 5 \text{ sen } 400t$  a corrente na bobina 1, determinar a tensão na bobina 2 e o fluxo máximo estabelecido pela bobina 1.

A indutância mútua é  $M = k\sqrt{L_1 L_2} = 0,5\sqrt{0,05(0,20)} = 0,05$  H. A tensão na bobina 2 será, então:  $v_2 = M(di_1/dt) = 0,05 \frac{d}{dt} (5 \text{ sen } 400t) = 100 \cos 400t$ . Como a tensão na bobina 2 é também dada por  $v_2 = -N_2(d\phi_{12}/dt)$ , temos:

$$100 \cos 400t = 1000(d\phi_{12}/dt)$$

e

$$\phi_{12} = 10^{-3} \int 100 \cos 400t \, dt = 0,25 \times 10^{-3} \text{ sen } 400t$$

O fluxo  $\phi_{12}$  máximo é  $0,25 \times 10^{-3}$  weber, então:

$$\phi_{1(\text{max})} = \frac{\phi_{12(\text{max})}}{0,5} = \frac{0,25 \times 10^{-3}}{0,5} = 0,5 \times 10^{-3} \text{ Wb}$$

- 13.4 Aplicar a lei de Kirchhoff para as tensões ao circuito da Fig. 13-12 e escrever sua equação sob a forma instantânea.

O exame do sentido dos enrolamentos das bobinas mostra que os sinais dos termos em  $M$  são opostos aos dos termos em  $L$ . Observe-se, também, que em cada bobina aparece uma tensão de indutância mútua, devida à corrente  $i$ , na outra bobina.

$$Ri + L_1 \frac{di}{dt} - M \frac{di}{dt} + \frac{1}{C} \int i \, dt + L_2 \frac{di}{dt} - M \frac{di}{dt} = v$$

ou  $Ri +$

- 13.5 Escrever a Escolhida da mão di dos termo

$$R_1 i_1 + L_1$$

$$R_2 i_2 + L_2$$

- 13.6 Repetir o Pr

ou  $Ri + (L_1 + L_2 - 2M) \frac{di}{dt} + \frac{1}{C} \int i dt = v$

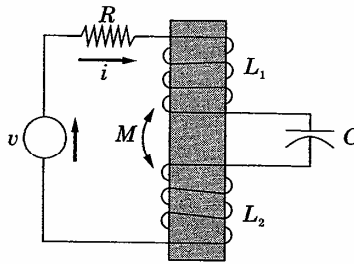


Figura 13-12

13.5 Escrever as equações instantâneas do circuito acoplado da Fig. 13-3

Escolhidas as correntes  $i_1$  e  $i_2$ , como mostra o diagrama, aplica-se a regra da mão direita a cada enrolamento. Já que os fluxos se somam, os sinais dos termos em  $M$  são iguais aos dos termos em  $L$ . Assim:

$$R_1 i_1 + L_1 \frac{di_1}{dt} + M \frac{di_2}{dt} = v$$

$$R_2 i_2 + L_2 \frac{di_2}{dt} + M \frac{di_1}{dt} = v$$

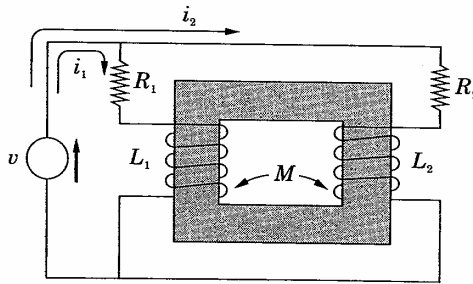


Figura 13-13

13.6 Repetir o Probl. 13.5, sendo a corrente  $i_2$  a indicada na Fig. 13-14.

acoplamento  $k = v_1/N_2$ .

6 H.

ndo por  $N_1/N_1$ ,

$)/0,36 = 2$

5 H e  $L_2 = 0,20$  H  
n 1000 espiras.  
são na bobina 2 e

0,05 H. A ten-  
(5 sen 400t) =  
dada por  $v_2 =$

12 e escrever sua  
ra que os sinais  
rve-se, também,  
mútua, devida à

Ao se aplicar a lei de Kirchhoff para as tensões à malha da corrente  $i_2$ , são negativas as tensões de indutância mútua. Assim, temos:

$$R_1(i_1 - i_2) + L_1 \frac{d}{dt}(i_1 - i_2) + M \frac{di_2}{dt} = v$$

$$R_1(i_2 - i_1) + R_2 i_2 + L_2 \frac{di_2}{dt} - M \frac{d}{dt}(i_2 - i_1) + L_1 \frac{d}{dt}(i_2 - i_1) - M \frac{di_2}{dt} = 0$$

10

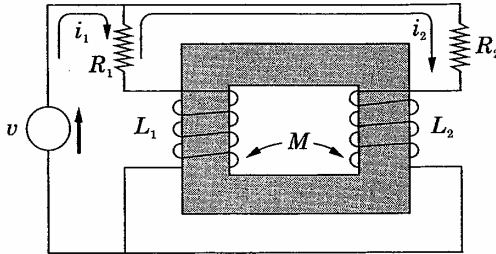


Figura 13-14

- 13.7 Duas bobinas ligadas em série têm indutância equivalente  $L_A$  se a ligação for ativa e indutância equivalente  $L_B$  se a ligação for subtrativa (em oposição). Determinar a indutância mútua  $M$  em termos de  $L_A$  e  $L_B$ .

Quando a ligação é aditiva, a indutância equivalente é dada por:

$$L_A = L_1 + L_2 + 2M \tag{1}$$

Quando é subtrativa, tem-se:

$$L_B = L_1 + L_2 - 2M \tag{2}$$

Subtraindo (1) de (2), temos:

$$L_A - L_B = 4M \quad \text{e} \quad M = \frac{1}{4} (L_A - L_B)$$

Esta solução indica um processo prático para a determinação de  $M$ : ligam-se as duas bobinas das duas maneiras possíveis e medem-se as indutâncias equivalentes numa ponte de CA; a indutância mútua é um quarto da diferença entre as duas indutâncias equivalentes.

- 13.8 Determinar o circuito equivalente ao da Fig. 13-15, com os pontos colocados nas bobinas. Achar a tensão na reatância  $-j10$ , empregando o circuito equivalente.

Para local  
vos sentid  
minal de c  
fluxo corre  
Pela lei de  
para cima  
induzida.  
se colocar

Com os sei  
matricial,

$$\begin{bmatrix} 5 - j5 \\ 5 + j3 \end{bmatrix}$$

onde  $I_1 =$

corrente  $i_2$ , são

$$1) - M \frac{di_2}{dt} = 0$$

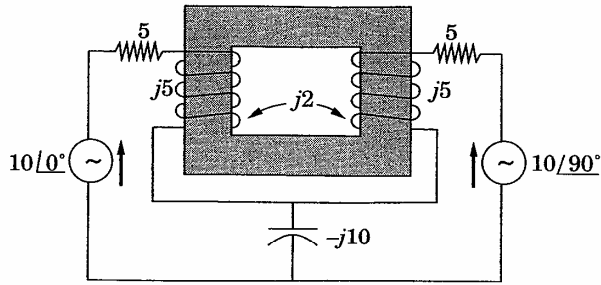


Figura 13-15

Para localizar os pontos, consideram-se apenas as bobinas e os respectivos sentidos de enrolamento. Admitida a corrente penetrando pelo terminal de cima da bobina da esquerda, coloca-se aí um ponto. O sentido do fluxo correspondente é de baixo para cima, na parte esquerda do núcleo. Pela lei de Lenz, o fluxo na bobina da direita deve, também, ser de baixo para cima. A regra da mão direita indica, então, o sentido da corrente induzida. Essa corrente sai do enrolamento pelo terminal superior. Deve-se colocar um ponto nesse terminal, como mostra a Fig. 13-16.

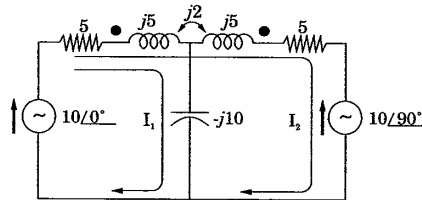


Figura 13-16

Com os sentidos apontados para  $i_1$  e  $i_2$ , as equações das malhas, na forma matricial, são:

$$\begin{bmatrix} 5 - j5 & 5 + j3 \\ 5 + j3 & 10 + j6 \end{bmatrix} \begin{bmatrix} \mathbf{I}_1 \\ \mathbf{I}_2 \end{bmatrix} = \begin{bmatrix} 10 \\ 10 - j10 \end{bmatrix}$$

$$\text{onde } \mathbf{I}_1 = \frac{\begin{vmatrix} 10 & 5 + j3 \\ 10 - j10 & 10 + j6 \end{vmatrix}}{\Delta_z} = 1,015 \angle 113,95^\circ$$

se a ligação for a (em oposição).

ada por:

(1)

(2)

minuição de  $M$ : e medem-se as cia mútua é um tes.

tos colocados nas cuito equivalente.

A tensão na reatância  $-j10$  é, então:

$$\mathbf{V} = \mathbf{I}_1(-j10) = 10,15/23,95^\circ$$

- 13.9 Determinar o circuito equivalente ao da Fig. 13-17, com os pontos colocados nas bobinas, e escrever a respectiva equação.

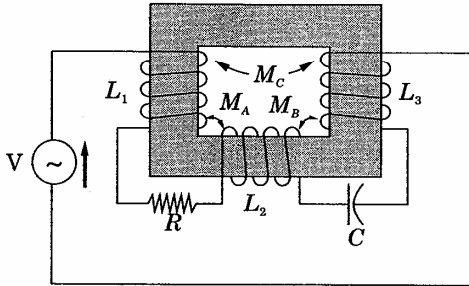


Figura 13-17

Localizam-se os pontos pelos métodos empregados no Probl. 13.8, obtendo-se o circuito da Fig. 13-18.

Aplicando-se a lei de Kirchhoff para as tensões à malha simples, temos:

$$\left[ R + \frac{1}{j\omega C} + j\omega(L_1 + L_2 + L_3 + 2M_A - 2M_B - 2M_C) \right] \mathbf{I} = \mathbf{V}$$

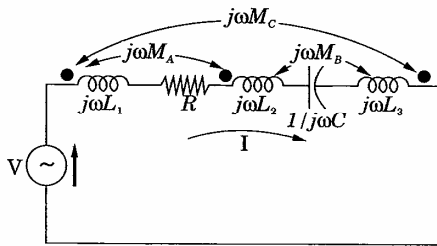


Figura 13-18

- 13.10 No circuito da Fig. 13-19, dados os pontos na localização indicada, determinar a tensão no resistor de 5 ohms. Inverter a polaridade de uma bobina e repetir o problema.

Para a in

$$jX_m = jk$$

A current

$$\mathbf{I}_2 = \frac{\dots}{\begin{vmatrix} \dots \\ -3 \end{vmatrix}}$$

Logo, a te

$$\mathbf{V}_5 = \mathbf{I}_2(\xi)$$

Trocando resultand

$$\mathbf{I}_2 = \frac{\dots}{\begin{vmatrix} 3 + \\ 3 + \end{vmatrix}}$$

A tensão r

$$\mathbf{V}_5 = \mathbf{I}_2 (\dots)$$

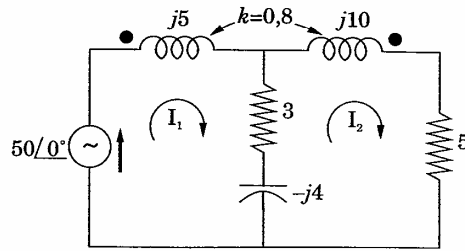


Figura 13-19

Para a indutância mútua, tem-se:

$$jX_m = jk\sqrt{X_{L1}X_{L2}} = j8\sqrt{5(10)} = j5,66$$

A corrente de malha  $I_2$  é:

$$I_2 = \frac{\begin{vmatrix} 3 + j1 & 50 \\ -3 - j1,66 & 0 \end{vmatrix}}{\begin{vmatrix} 3 + j1 & -3 - j1,66 \\ -3 - j1,66 & 8 + j6 \end{vmatrix}} = \frac{172 \angle 29^\circ}{19,9 \angle 53,8^\circ} = 8,60 \angle 24,8^\circ$$

Logo, a tensão no resistor de 5 ohms é:

$$V_5 = I_2(5) = 43 \angle -24,8^\circ$$

Trocando-se a polaridade de uma bobina, muda a matriz impedância, resultando um outro valor para  $I_2$ .

$$I_2 = \frac{\begin{vmatrix} 3 + j1 & 50 \\ -3 + j9,66 & 0 \end{vmatrix}}{\begin{vmatrix} 3 + j1 & -3 + j9,66 \\ 3 + j9,66 & 8 + j6 \end{vmatrix}} = \frac{505 \angle -72,7^\circ}{132 \angle 39,4^\circ} = 3,83 \angle -112,1^\circ$$

A tensão no resistor de 5 ohms será:

$$V_5 = I_2 (5) = 19,15 \angle -112,1^\circ$$

os colocados nas

obl. 13.8, obten-

simples, temos:

$$I = V$$

cada, determinar a bobina e repetir o

13.11 Determinar a indutância equivalente da ligação em paralelo de  $L_1$  e  $L_2$ , mostrada na Fig. 13-20(a).

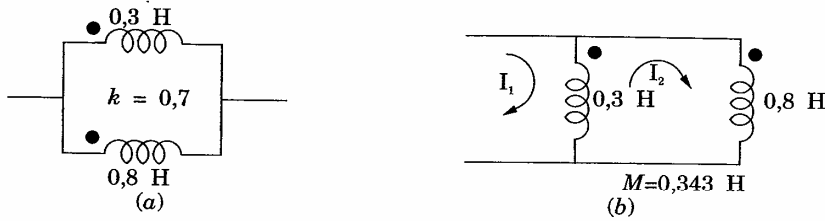


Figura 13-20

A indutância mútua é  $M = k \sqrt{L_1 L_2} = 0,7 \sqrt{0,3(0,8)} = 0,343 \text{ H}$ .

Redesenhado o circuito, como mostra a Fig. 13-20(b), e introduzidas as correntes de malha, vem:

$$[Z] = \begin{bmatrix} j\omega 0,3 & j\omega 0,043 \\ j\omega 0,043 & j\omega 0,414 \end{bmatrix}$$

$$Z_{i1} = \frac{\Delta_z}{\Delta_{11}} = \frac{j\omega 0,3(j\omega 0,414) - (j\omega 0,043)^2}{j\omega 0,414} = j\omega 0,296$$

A impedância equivalente das bobinas acopladas é, então, 0,296 H.

13.12 A Fig. 13-21 apresenta o circuito da ponte de Heaviside, usada na determinação da indutância mútua de duas bobinas. Determinar  $M$  em função das demais constantes da ponte, quando a corrente  $I_D$  do detetor se anula.

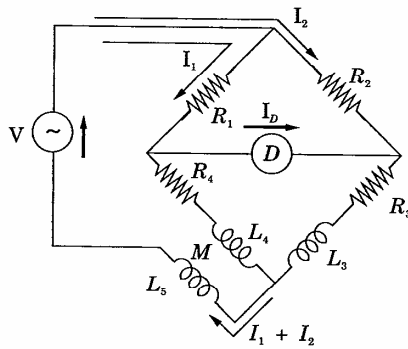


Figura 13-21

O diagrama ser igual

$$I_1 R_1 = I_2 R_2$$

Pela mesma razão, a corrente

$$I_1(R_4 + j\omega L_4) = I_2(R_3 + j\omega L_3)$$

Substituindo

$$I_1(R_4 + j\omega L_4) = I_2(R_3 + j\omega L_3)$$

Igualando

$$R_4 R_2 = R_3 R_1$$

13.13 Substituir AB.

A tensão escolhida

$$I_2 = \frac{5}{-2}$$

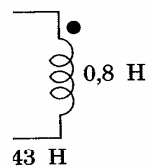
Então,

$$V = V_{AB}$$

Para determinar a corrente de AB, anulando

\* N. T. Substituir

$L_1$  e  $L_2$ , mostrada



343 H.  
introduzidas as

O diagrama mostra as correntes  $I_1$  e  $I_D$ , escolhidas. Sendo  $I_D = 0$ , devem ser iguais as quedas de tensão em  $R_1$  e  $R_2$ , logo:

$$I_1 R_1 = I_2 R_2 \tag{1}$$

Pela mesma razão, devem ser iguais as quedas em  $(R_4 + j\omega L_4)$  e  $(R_3 + j\omega L_3)$ . Entretanto, em  $L_4$  aparece uma tensão devida à indutância mútua, e a corrente na outra bobina do par,  $L_5$ , é a soma  $I_1 + I_2$ .

$$I_1(R_4 + j\omega L_4) + j\omega M(I_1 + I_2) = I_2(R_3 + j\omega L_3) \tag{2}$$

Substituindo  $I_2 = (R_1/R_2)I_1$  em (2), temos:

$$I_1(R_4 + j\omega L_4 + j\omega M) + (R_1/R_2)I_1(j\omega M) = (R_1/R_2)I_1(R_3 + j\omega L_3) \tag{3}$$

Igualando as partes reais e imaginárias de (3), vem:

$$R_4 R_2 = R_1 R_3 \text{ e } j\omega \left( L_4 + M + \frac{R_1}{R_2} M \right) = j\omega \frac{R_1}{R_2} L_3, \text{ donde } M = \frac{R_1 L_3 - R_2 L_4}{R_1 + R_2}$$

**13.13** Substituir o circuito da Fig. 13-12 pelo Thevenin equivalente visto dos terminais AB.

A tensão  $V'$  do Thevenin equivalente é a tensão a circuito aberto em AB. Escolhidas  $I_1$  e  $I_2$ , tem-se para  $I_2$ :

$$I_2 = \frac{\begin{vmatrix} 5 + j5 & 10 \\ -2 + j3 & 0 \end{vmatrix}}{\begin{vmatrix} 5 + j5 & -2 + j3 \\ -2 + j3 & 6 + j5 \end{vmatrix}} = \frac{20 - j30}{10 + j67} = 0,533 \angle -137,8^\circ$$

Então,

$$V' = V_{AB} = I_2(4) = 2,13 \angle -137,8^\circ$$

Para determinar  $Z'$  do Thevenin equivalente, estabelece-se a terceira corrente de malha  $I_3$  e calcula-se  $Z_{i_3}$ , que é a impedância nos terminais AB, anuladas todas as fontes internas.\*

\* N. T. Substituídas pelas respectivas impedâncias internas.

o, 0,296 H.  
a na determinação  
inção das demais  
l.

$$Z' = Z_{\text{entrada}3} = \frac{\Delta_z}{\Delta_{33}} = \frac{\begin{vmatrix} 5 + j5 & -2 + j3 & 0 \\ -2 + j3 & 6 + j5 & -4 \\ 0 & -4 & 8 \end{vmatrix}}{\begin{vmatrix} 5 + j5 & -2 + j3 \\ -2 + j3 & 6 + j5 \end{vmatrix}}$$

$$Z' = \frac{j456}{10 + j67} = 6,74 \angle 8,5^\circ = 6,67$$

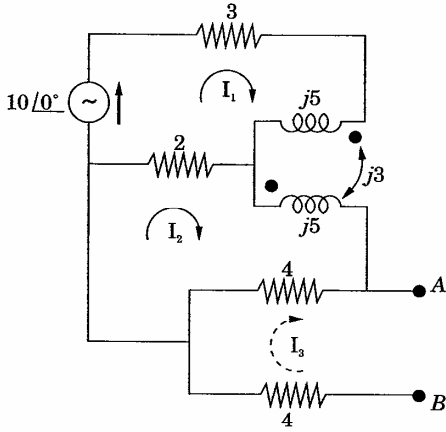


Figura 13-22

A Fig. 13-23 mostra o circuito equivalente de Thevenin.

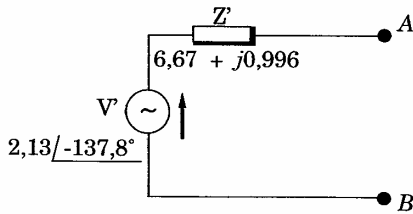


Figura 13-23

13.14 Mostrar que os pontos são desnecessários no circuito da Fig. 13-24, desde que a segunda malha seja passiva.

Escolhidas

$$I_2 = \frac{\begin{vmatrix} 2 \\ 2 + \pm j \end{vmatrix}}$$

O valor de ângulo de malha, é distância mút mesmo val impedânci devido à in

13.15 No circuito ( determinar . potência.

A impedân mindo-se e

$$Z = 5 - j5 +$$

Para que a a indutân

$$19 - 2k \sqrt{12}$$

A ligação in da indutân

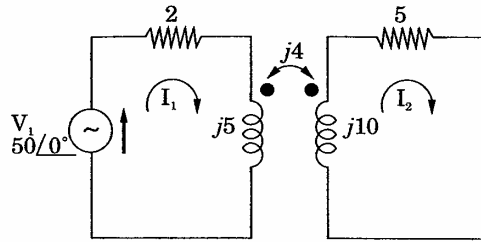


Figura 13-24

Escolhidas as correntes de malha mostradas no diagrama, tem-se

$$I_2 = \frac{\begin{vmatrix} 2 + j5 & 50 \\ \pm j4 & 0 \end{vmatrix}}{\begin{vmatrix} 2 + j5 & \pm j4 \\ \pm j4 & 5 + j10 \end{vmatrix}} = \frac{-50(\pm j4)}{-24 + j45} = 3,92 \angle 61,9^\circ \pm 90^\circ$$

O valor de  $\Delta_z$  não é afetado pelo sinal de  $M$  e a corrente  $I_2$  terá para ângulo de fase  $151,9^\circ$  ou  $-28,1^\circ$ . Como não existe fonte de tensão na malha, é desnecessário o conhecimento da polaridade da tensão de indutância mútua. As quedas de tensão nas impedâncias da malha teriam o mesmo valor absoluto e ângulo de fase diferindo de  $180^\circ$ . A potência numa impedância não seria afetada e  $I_1$  seria a mesma, fosse qual fosse o sinal devido à indutância mútua.

- 13.15 No circuito da Fig. 13-25, depois de escolher a melhor ligação para as bobinas e determinar  $k$ , determinar o valor de  $R_L$  que resulta na máxima transferência de potência.

A impedância do circuito à esquerda de  $AB$  deve ser um mínimo. Exprimindo-se essa impedância, tem-se:

$$Z = 5 - j5 + j12 + j12 \pm j2X_M = 5 + j19 \pm j2k\sqrt{12(12)}$$

Para que a impedância seja um mínimo, a reatância deve ser nula; logo, a indutância mútua deve ter sinal negativo. Assim, temos:

$$19 - 2k\sqrt{12(12)} = 0 \text{ e } k = 19/24 = 0,792$$

A ligação indicada na Fig. 13-26 acarreta sinal negativo para as tensões da indutância mútua, conforme se deseja. Logo, a impedância do circuito,

13-24, desde que

à esquerda de  $AB$ , é 5 ohms, resistência pura, e a potência será máxima quando  $R_L = R_g = 5$  ohms.

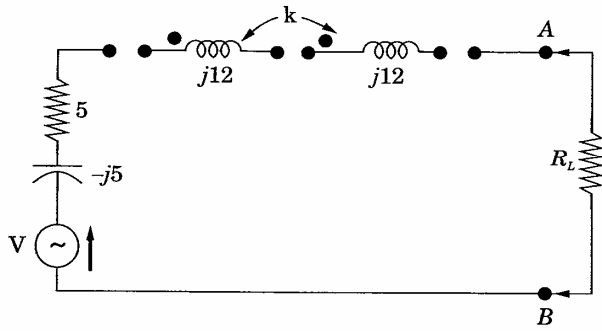


Figura 13-25

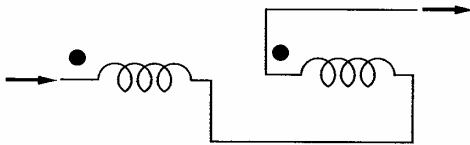


Figura 13-26

13.16 No circuito da Fig. 13-25,  $R_L = 10$  ohms e  $V = 50\angle 0^\circ$ . Supondo possíveis as duas ligações das bobinas e  $k$  variável de 0 a 1, determinar a faixa de valores de potência que pode ser fornecida ao resistor de carga.

Com o acoplamento indicado na Fig. 13-26, o sinal da indutância mútua é negativo e a impedância total do circuito, incluindo a carga, é  $Z_T = 5 - j5 + j12 + j12 - j24k + 10$ . Para  $k = 1$ :

$$Z_T = 15 - j5 = 15,8 \angle -18,45^\circ, \quad I = \frac{V}{Z_T} = \frac{50 \angle 0^\circ}{15,8 \angle -18,45^\circ} = 3,16 \angle 18,45^\circ$$

A potência no resistor de 10 ohms é  $P = I^2 R = (3,16)^2 (10) = 100$  watts. Para  $k = 0$ , temos:

$$Z_T = 15 + j19 = 24,2 \angle 51,7^\circ, \quad I = 50^\circ / (24,2 \angle 51,7^\circ) = 2,06 \angle -51,7^\circ$$

A potência no resistor de 10 ohms é  $P = I^2 R = (2,06)^2 (10) = 42,4$  watts.

Mudando  
torne posi

$$Z_T = 15$$

A potênci

O resisto  
entre 12 e

13.17 Determinar  
acoplamen

Escolhida

$$\begin{bmatrix} 3 + j1 \\ -3 - j2 \end{bmatrix}$$

No circuit  
com os me  
matriz imp  
no ramo c  
própria da  
impedânci  
pede uma  
mostra a F

Mudando a ligação das bobinas para que o sinal da indutância mútua se torne positivo, acarreta  $Z_T = 15 + j19 + jk24$ . Para  $k = 1$ , vem:

$$Z_T = 15 + j43 = 45,6 / 70,8^\circ, \quad I = 50 / 0^\circ / (45,6 / 70,8^\circ) = 1,095 / -70,8^\circ$$

A potência correspondente é  $P = I^2 R = (1,095)^2 (10) = 12$  watts.

O resistor de 10 ohms deve, portanto, admitir uma potência variável entre 12 e 100 watts.

- 13.17 Determinar um circuito acoplado condutivamente, equivalente ao circuito de acoplamento mútuo da Fig. 13-27.

Escolhidas as correntes  $I_1$  e  $I_2$ , pode-se escrever sob a forma matricial:

$$\begin{bmatrix} 3 + j1 & -3 - j2 \\ -3 - j2 & 8 + j6 \end{bmatrix} \begin{bmatrix} I_1 \\ I_2 \end{bmatrix} = \begin{bmatrix} 50 / 0^\circ \\ 0 \end{bmatrix}$$

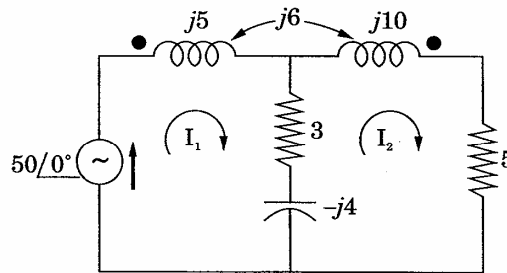


Figura 13-27

No circuito acoplado condutivamente, escolhem-se as correntes de malha com os mesmos sentidos que têm no circuito de acoplamento mútuo. Da matriz impedância,  $Z_{12} = -3 - j2$ . Como as correntes têm sentido opostos no ramo comum, a impedância desse ramo deve ser  $3 + j2$ . A impedância própria da malha 1 é  $Z_{11} = 3 + j1$ . Há necessidade, portanto, de uma impedância  $-j1$  na malha. Da mesma maneira, com  $Z_{22} = 8 + j6$ , a malha pede uma impedância  $5 + j4$ , além dos elementos do ramo comum, como mostra a Fig. 13-28.

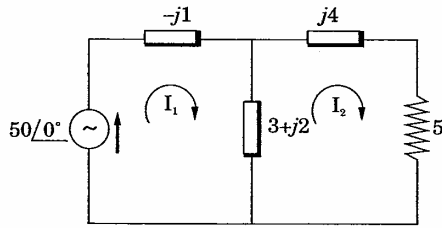


Figura 13-28

13.18 Determinar o circuito acoplado condutivamente equivalente à estrutura de acoplamento mútuo da Fig. 13-29.

Escolhidas as correntes de malha  $I_1$  e  $I_2$ , as equações, sob a forma matricial, ficam:

$$\begin{bmatrix} 7 + j8 & -2 - j12 \\ -2 - j12 & 6 + j19 \end{bmatrix} \begin{bmatrix} I_1 \\ I_2 \end{bmatrix} = \begin{bmatrix} V \\ 0 \end{bmatrix}$$

No circuito acoplado condutivamente, as correntes circulam em sentidos opostos, pelo ramo comum. Como  $Z_{12}$  é  $-2 - j12$ , na matriz impedância, a impedância desse ramo deve ser  $2 + j12$ . Ainda, da matriz impedância,  $Z_{11} = 7 + j8$  e  $Z_{22} = 6 + j19$ . Logo, as demais impedâncias nas malhas 1 e 2 do circuito equivalente devem ser, respectivamente:

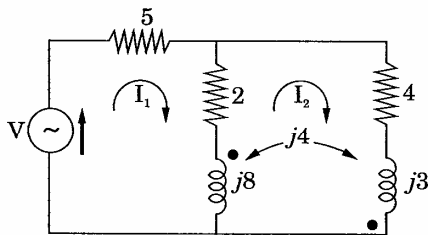


Figura 13-29

$$Z_1 = (7 + j8) - (2 + j12) = 5 - j4 \text{ e } Z_2 = (6 + j19) - (2 + j12) = 4 + j7$$

A Fig. 13-30 mostra o circuito equivalente pedido.

13.19 Duas bobinas com 80 espiras. Reduzindo a bobina na bobina  
Resp.: 37

13.20 O coeficiente de acoplamento e  $N_2 = 80$  espiras na bobina 2,  
Resp.: 0,1

13.21 Duas bobinas em série ligadas em paralelo. As indutâncias de  $L_1$ ,  $L_2$ ,  
Resp.:  $L_1$

13.22 Duas bobinas acopladas condutivamente. Reduzindo as bobinas para as disposições em série e em paralelo, as indutâncias equivalentes são:  
Resp.: 15

13.23 Duas bobinas acopladas condutivamente. Determinar as indutâncias equivalentes quando as bobinas são ligadas em série e em paralelo.  
Resp.: 16

13.24 Duas bobinas acopladas condutivamente. Determinar o coeficiente de acoplamento quando as bobinas são ligadas em série e em paralelo.  
Resp.: 0,1

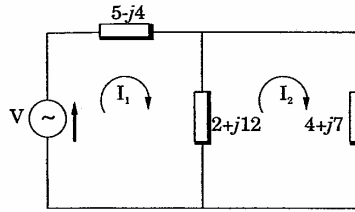


Figura 13-30

### Problemas Propostos

- 13.19** Duas bobinas têm coeficiente de acoplamento  $k = 0,85$  e a bobina 1 tem 250 espiras. Com  $i_1 = 2$  ampères na bobina 1, o fluxo total  $\phi_1$  é  $3,0 \times 10^{-4}$  weber. Reduzindo-se  $i_1$  linearmente até zero, em dois milissegundos a tensão induzida na bobina 2 fica igual a 63,75 volts. Determinar  $L_1$ ,  $L_2$ ,  $M$  e  $N_2$ .  
 Resp.: 37,5 mH; 150 mH; 63,8 mH; 500.
- 13.20** O coeficiente de acoplamento de duas bobinas, respectivamente, com  $N_1 = 100$  e  $N_2 = 800$  é 0,85. Com a bobina 1 aberta e uma corrente de 5 ampères na bobina 2, o fluxo  $\phi_2$  é  $3,5 \times 10^{-4}$  weber. Determinar  $L_1$ ,  $L_2$  e  $M$ .  
 Resp.: 0,875; 5,95 mH.
- 13.21** Duas bobinas idênticas têm indutância equivalente de 0,080 H, quando ligadas em série aditiva, e de 0,035 H, quando em série subtrativa. Quais são os valores de  $L_1$ ,  $L_2$ ,  $M$  e  $k$ ?  
 Resp.:  $L_1 = L_2 = 28,8$  mH;  $M = 11,25$  mH;  $k = 0,392$ .
- 13.22** Duas bobinas acopladas com  $L_1 = 0,02$  H,  $L_2 = 0,01$  H e  $k = 0,5$  são ligadas de quatro formas diferentes: série aditiva, série subtrativa e em paralelo com ambas as disposições possíveis dos sentidos dos enrolamentos. Quais são as quatro indutâncias equivalentes?  
 Resp.: 15,9; 44,1; 9,47; 3,39 mH.
- 13.23** Duas bobinas idênticas têm  $L = 0,02$  H e coeficiente de acoplamento  $k = 0,8$ . Determinar  $M$  e as duas indutâncias equivalentes, admitindo que elas estejam ligadas em série aditiva e em série subtrativa.  
 Resp.: 16; 72; 8 mH.
- 13.24** Duas bobinas cujas indutâncias estão na relação de quatro para um têm coeficiente de acoplamento  $k = 0,6$ . Ligadas em série aditiva, sua indutância equiva-

estrutura de aco-

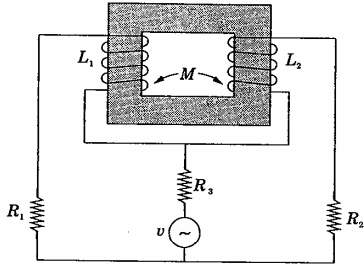
s, sob a forma

am em sentidos  
 iz impedância, a  
 riz impedância,  
 nas malhas 1 e

=  $4 + j7$

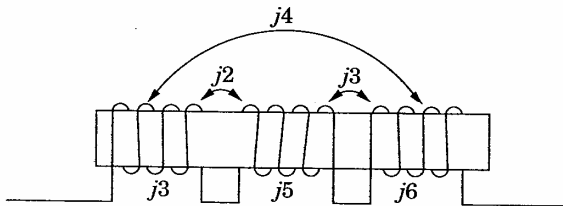
lente é 44,4 mH. Determinar  $L_1$ ,  $L_2$  e  $M$ .  
 Resp.: 6; 24; 7,2 mH.

- 13.25** Duas bobinas de indutâncias  $L_1 = 6,8$  mH e  $L_2 = 4,5$  mH são ligadas em série aditiva e em série subtrativa. As indutâncias equivalentes dessas ligações são, respectivamente, 19,6 mH e 3 mH. Determinar  $M$  e  $k$ .  
 Resp.: 4,15 mH; 0,75.



**Figura 13-31**

- 13.26** Arbitrar as correntes de malha no circuito da Fig. 13-31 e escrever suas equações instantâneas. Representar o circuito equivalente, localizar os pontos, escrever suas equações e comparar os resultados.
- 13.27** Traçar o circuito com ponto equivalente ao das bobinas da Fig. 13-32 e determinar a reatância indutiva equivalente.  
 Resp.:  $j12$ .



**Figura 13-32**

- 13.28** Determinar, situando os pontos, o circuito equivalente às bobinas da Fig. 13-33 e escrever sua equação instantânea.

- 13.29** Representar e calcular a reatância indutiva equivalente.  
 Resp.: 4,47

- 13.30** Achar o circuito equivalente às bobinas da Fig. 13-35, situando os pontos e localizar os terminais A e B.  
 Resp.: 0,239

- 13.31** Determinar o circuito equivalente às bobinas da Fig. 13-36, situando os pontos e localizar os terminais A e B.  
 Resp.: 2,54

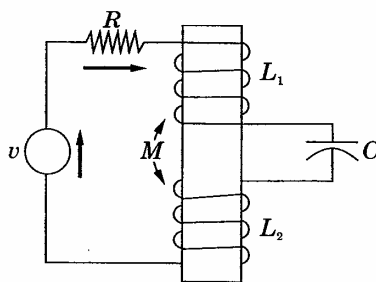


Figura 13-33

- 13.29 Representar o circuito equivalente às bobinas da Fig. 13-34, situando os pontos, e calcular a corrente  $I$ .  
 Resp.:  $4,47/26,7^\circ$ .

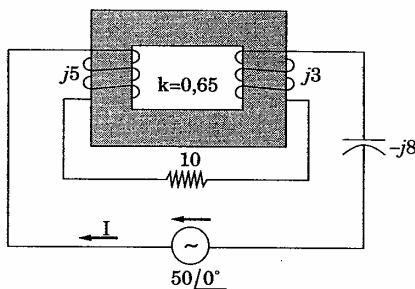


Figura 13-34

- 13.30 Achar o circuito equivalente para as três bobinas acopladas, mostradas na Fig. 13-35, situando os pontos, e determinar a indutância equivalente, vista dos terminais  $AB$ . Todos os coeficientes de acoplamento são de 0,5.  
 Resp.: 0,239 H.
- 13.31 Determinar o circuito equivalente ao da Fig. 13-36, situando os pontos, e determinar a impedância equivalente nos terminais  $AB$ .  
 Resp.:  $2,54 + j2,26$ .

ligadas em série as ligações são,

ever suas equa- izar os pontos,

i. 13-32 e deter-

as da Fig. 13-33

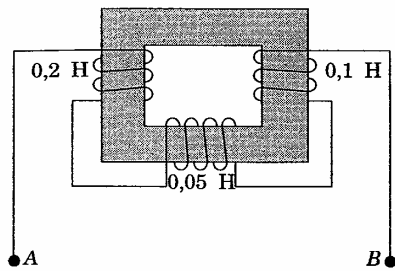


Figura 13-35

13.32 Ainda no circuito da Fig. 13-36, inverter o enrolamento de uma das bobinas e determinar a impedância equivalente.  
 Resp.:  $2,53 + j0,238$ .

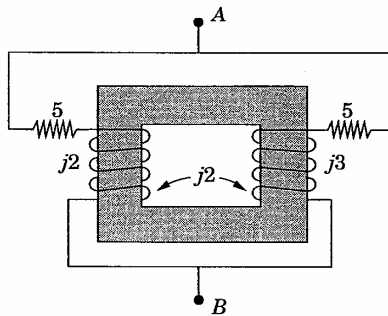


Figura 13-36

13.33 Determinar o valor de  $k$  e situar os pontos, no circuito em série da Fig. 13-37, de modo que o circuito esteja em ressonância em série.  
 Resp.:  $R = 0,177$ .

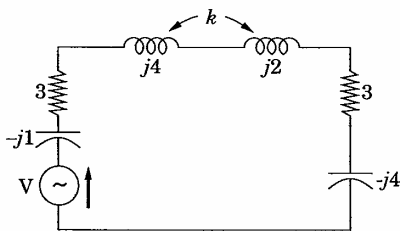


Figura 13-37

13.34 Determinar modo que  $c$   
 Resp.:  $k = 1$

13.35 Determinar potência de  
 Resp.:  $W =$

13.36 Ainda no P  
 posição do  
 Resp.: 54,2

13.37 No circuito  
 Repetir par  
 Resp.: 1,41

13.38 No probl. 1  
 $V_1 = 100/0^\circ$   
 Resp.:  $100_l$

- 13.34** Determinar o valor de  $k$  e situar os pontos, no circuito em série da Fig. 13-38, de modo que o circuito esteja em ressonância em série.  
 Resp.:  $k = 0,112$ .

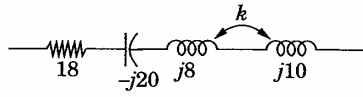


Figura 13-38

- 13.35** Determinar  $k$  e situar os pontos, no circuito da Fig. 13-39, de modo que a potência de saída da fonte de  $50\angle 0^\circ$  volts seja 168 watts.  
 Resp.:  $W = 0,475$ .

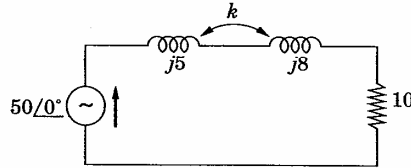


Figura 13-39

- 13.36** Ainda no Probl. 13.35, determinar a potência de saída da fonte, ao inverter-se a posição dos pontos. Utilizar o valor de  $k$  encontrado no Probl. 13.35.  
 Resp.: 54,2 watts.

- 13.37** No circuito da Fig. 13-40, determinar a relação  $V_2/V_1$  que anula a corrente  $I_1$ . Repetir para a hipótese de anular  $I_2$ .  
 Resp.:  $1,414\angle -45^\circ$ ;  $0,212\angle 32^\circ$ .

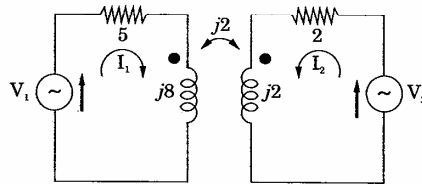


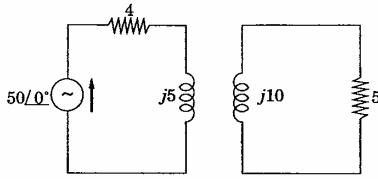
Figura 13-40

- 13.38** No probl. 13.37, que tensão aparece nos terminais da reatância  $j8$ , quando  $V_1 = 100\angle 0^\circ$  e  $I_1 = 0$ ?  
 Resp.:  $100\angle 0^\circ$  (+ no ponto).

a das bobinas e

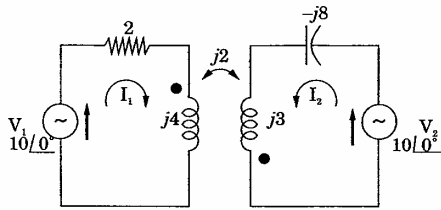
da Fig. 13-37, de

- 13.39** Determinar a reatância indutiva  $j\omega M$  do circuito da Fig. 13-41, quando a potência no resistor de 5 ohms é 45,2 watts.  
 Resp.:  $j4$ .



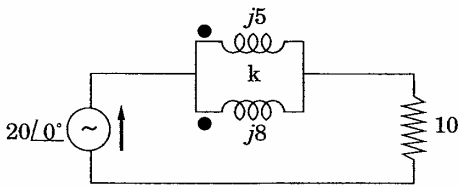
**Figura 13-41**

- 13.40** No circuito da Fig. 13-42, determinar as componentes da corrente  $I_2$  devidas a cada uma das fontes  $V_1$  e  $V_2$ .  
 Resp.:  $0,77/112,6^\circ$ ;  $1,72/86^\circ$ .



**Figura 13-42**

- 13.41** Determinar o valor de  $k$ , no circuito da Fig. 13-43, sendo de 32 watts a potência no resistor de 10 ohms.  
 Resp.: 0,791.



**Figura 13-43**

- 13.42** Determinar seja máxim  
 Resp.: 1,4 -

- 13.43** Achar a  $imj$   
 Resp.: 3 + j

- 13.44** No circuito  
 Resp.: 25,2

- 13.45** Achar a  $imj$   
 Resp.: 1 + j

ando a potência

- 13.42** Determinar a impedância de carga,  $Z_L$ , no circuito da Fig. 13-44, de modo que seja máxima a transferência de potência nos terminais  $AB$ .  
 Resp.:  $1,4 - j2,74\Omega$ .

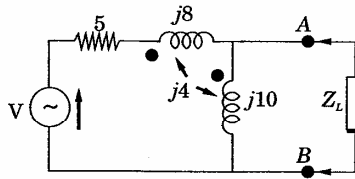


Figura 13-44

ente  $I_2$  devidas a

- 13.43** Achar a impedância de saída do circuito da Fig. 13-45, nos terminais da fonte.  
 Resp.:  $3 + j36,3$ .

- 13.44** No circuito da Fig. 13-45, determinar a tensão na reatância  $j5$ , sendo  $V = 50/45^\circ$ .  
 Resp.:  $25,2/49,74^\circ$ .

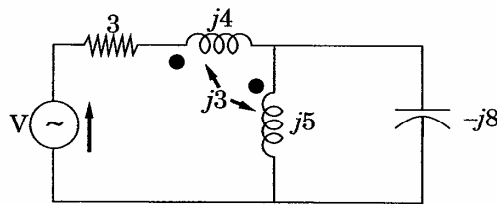


Figura 13-45

watts a potência

- 13.45** Achar a impedância equivalente do circuito acoplado da Fig. 13-46.  
 Resp.:  $1 + j1,5$ .

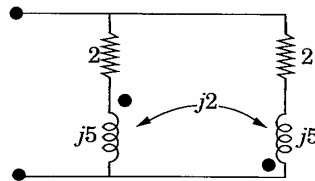


Figura 13-46

13.46 Determinar o circuito de Thevenin equivalente nos terminais  $AB$  do circuito da Fig. 13-47.

Resp.:  $Z' = 2 + j6,5$ ;  $V' = 5 + j5$ .

13.47 Determinar o circuito equivalente de Norton nos terminais  $AB$  da estrutura da Fig. 13-47.

Resp.:  $Z' = 2 + j6,5$ ;  $I' = 1,04 \angle -27,9^\circ$ .

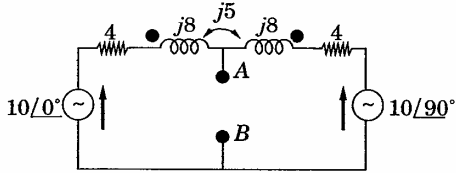


Figura 13-47

13.51 Achar a im  
Resp.: 6,2

13.48 Determinar o circuito de Thevenin equivalente nos terminais  $AB$  do circuito da Fig. 13-48.

Resp.:  $Z' = 8,63 \angle 48,75^\circ$ ;  $V' = 4,84 \angle -34,7^\circ$ .

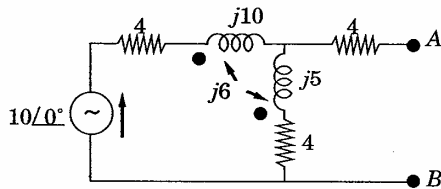


Figura 13-48

13.49 Determinar o circuito equivalente de Norton para a estrutura da Fig. 13-48.

Resp.:  $Z' = 8,63 \angle 48,75^\circ$ ;  $I' = 0,560 \angle -83,4^\circ$ .

13.50 Calcular a impedância de entrada do circuito da Fig. 13-49, vista dos terminais da fonte  $V$ .

Resp.:  $7,06 + j3,22$ .

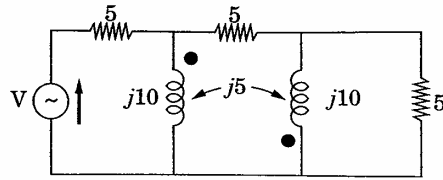


Figura 13-49

13.51 Achar a impedância equivalente da estrutura da Fig. 13-50 nos terminais AB.  
 Resp.:  $6,22 + j4,65$ .

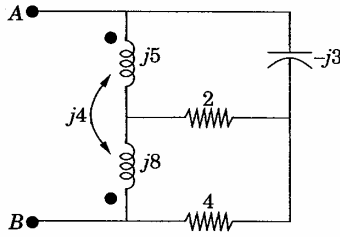


Figura 13-50

3 do circuito da  
 da estrutura da

3 do circuito da

Fig. 13-48.

los terminais da



MAKRON  
Books

## SISTEMAS POLIFÁSICOS

### Introdução

Um sistema polifásico é constituído por duas ou mais tensões iguais, com diferenças de fase fixas, fornecendo energia às cargas ligadas às linhas. No sistema bifásico, duas tensões iguais diferem em fase de  $90^\circ$ ; no sistema trifásico, a diferença de fase entre as tensões é de  $120^\circ$ . Nos retificadores polifásicos usam-se, às vezes, sistemas de seis ou mais fases, com o objetivo de obter uma tensão retificada com pouca ondulação ("ripple"); o sistema trifásico é, entretanto, o comumente usado para a geração e transmissão de energia elétrica.

### Sistema Bifásico

A rotação do par de bobinas perpendiculares da Fig. 14-1(a) num campo magnético constante acarreta tensões induzidas cuja diferença de fase constante é  $90^\circ$ . Com o mesmo número de espiras nas bobinas, as tensões instantâneas e dos fasores têm as mesmas amplitudes, como mostram os respectivos diagramas nas Figs. 14-1(b) e (c).

O diagrama do fasor tensão da Fig. 14-1(b) tem  $V_{BN} = V_{\text{bob}} \angle 0^\circ$  como referência; como consequência  $V_{AN} = V_{\text{bob}} \angle 90^\circ$ . Se os terminais  $A'$  e  $B'$  das

bobinas forem l  
nas três linhas.  
zes maior que a:  
 $+ V_{NB} = V_{\text{bob}} \angle 90^\circ$



### Sistema Tri

É de 12  
bobinas igualme  
bobina A atinge  
pela C. Essa seq  
rotação anti-hor  
A-B-C-A-B-C ...;  
14-2(c), onde se

apítulo 14

bobinas forem ligados, constituindo a linha  $N$ , o sistema bifásico fica contido nas três linhas  $A, B, N$ . A diferença de potencial entre as linhas  $A$  e  $B$  é  $\sqrt{2}$  vezes maior que as tensões de linha para neutro e é obtida pela soma  $V_{AB} = V_{AN} + V_{NB} = V_{bob} \angle 90^\circ + V_{bob} \angle 180^\circ = \sqrt{2} V_{bob} \angle 135^\circ$ .

DS

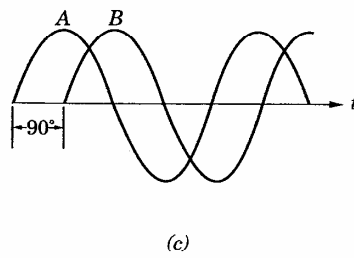
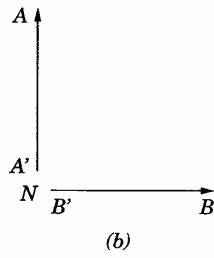
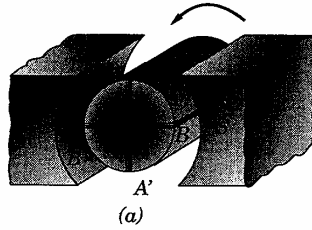


Figura 14-1 Sistema bifásico.

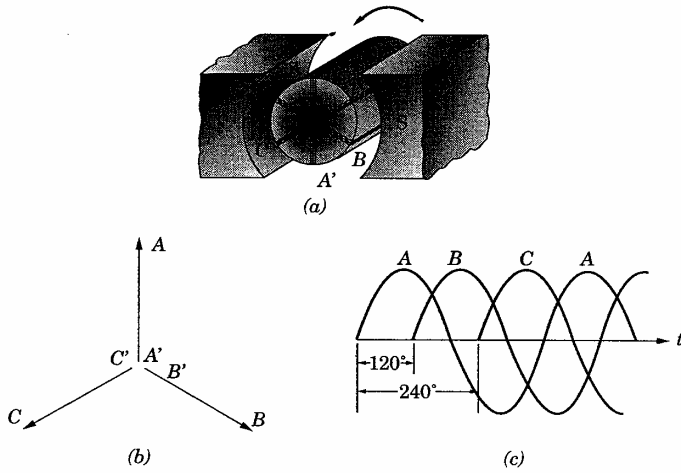
**Sistema Trifásico**

É de  $120^\circ$  a diferença de fase entre as tensões induzidas nas três bobinas igualmente espaçadas da Fig. 14-2(a). Na seqüência  $ABC$ , a tensão na bobina  $A$  atinge um máximo em primeiro lugar, seguida pela bobina  $B$  e, depois, pela  $C$ . Essa seqüência fica evidente pelo diagrama de fasores, sendo positiva a rotação anti-horária, onde os fasores passam por um ponto fixo na seqüência  $A-B-C-A-B-C \dots$ , e também pelo traçado das tensões instantâneas da Fig. 14-2(c), onde se verifica que os máximos ocorrem na mesma ordem.

tensões iguais, s às linhas. No sistema trifásico de obter uma sistema bifásico é, entrega elétrica.

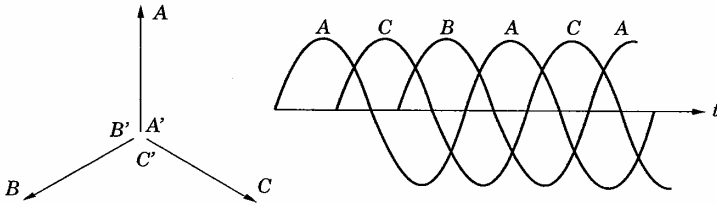
Fig. 14-1(a) num diferença de fase as, as tensões o mostram os

$V_{bob} \angle 0^\circ$  como as  $A'$  e  $B'$  das



**Figura 14-2** Sistema trifásico com seqüência ABC.

A rotação das bobinas em sentido oposto resulta na seqüência CBA, como mostra na Fig. 14-3.

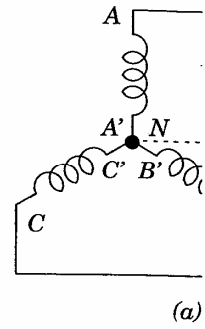


**Figura 14-3** Sistema trifásico com seqüência CBA.

A máquina apresentada na Fig. 14-2(a) é teórica; diversas limitações práticas impedem sua utilização. Realmente, na prática, o campo gira, enquanto o enrolamento trifásico é estacionário.

A ligação dos terminais A', B' e C', como na Fig. 14-4(a), resulta num alternador ligado em Y (em estrela), ao passo que a ligação de A em B', de B em

C' e de C em A', ou em triângulo).



Na ligação são iguais, enquanto em triângulo, são  $\sqrt{3}$  vezes

Seja qual trifásico de tensões condutor do sistema

### Tensões do S

A escolha mina os ângulos  $V_{BC}$  foi escolhida todas as tensões

A tensão B e C ou C e A. O neutro é  $1/\sqrt{3}$  vezes quatro fios, CBA, de linha para neutro

C' e de C em A', como na Fig. 14-4(b), resulta num alternador ligado em Δ (delta ou triângulo).

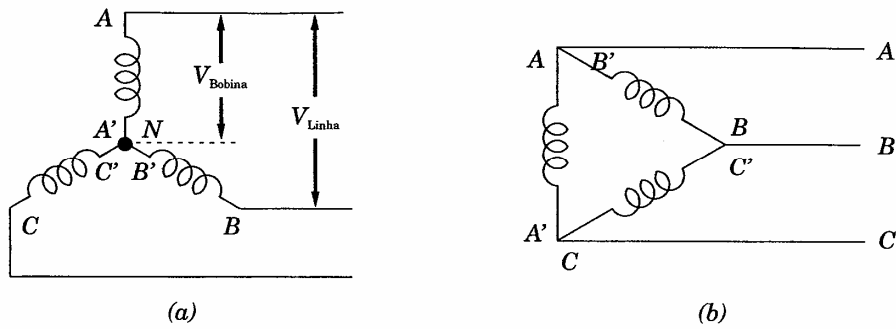


Figura 14-4

Na ligação em estrela, as correntes na bobina (ou “de fase”) e na linha são iguais, enquanto a tensão de linha é  $\sqrt{3}$  vezes a tensão de fase. Na ligação em triângulo, são iguais as tensões de linha e de fase, porém as correntes de linha são  $\sqrt{3}$  vezes as correntes de fase. Ver Probl. 14.2.

Seja qual for a ligação, as três linhas A, B e C constituem um sistema trifásico de tensão. O ponto neutro da ligação em estrela fornece o quarto condutor do sistema trifásico a quatro condutores.

### Tensões do Sistema Trifásico

A escolha de uma tensão de referência com ângulo de fase nulo determina os ângulos de fase de todas as demais tensões do sistema. Neste capítulo,  $V_{BC}$  foi escolhida para referência. Os triângulos das Figs. 14-5(a) e (b) mostram todas as tensões nas seqüências ABC e CBA.

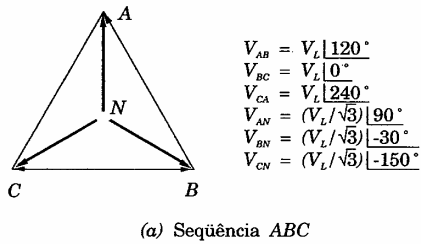
A *tensão do sistema* é a tensão entre quaisquer pares de linhas, A e B, B e C ou C e A. No sistema a quatro fios, a amplitude da tensão entre linha e neutro é  $1/\sqrt{3}$  vezes a tensão de linha. Por exemplo, num sistema trifásico a quatro fios, CBA, de 208 volts, as tensões de linha são de 208 volts e as tensões de linha para neutro (tensões de fase) são de  $208/\sqrt{3}$  ou 120 volts. A Fig. 14-5(b)

seqüência CBA,

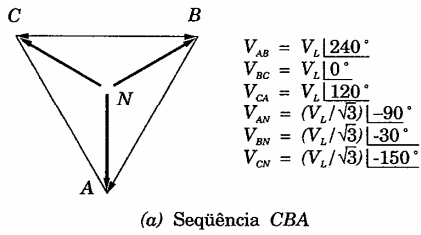
rsas limitações  
ampo gira, en-

a), resulta num  
em B', de B em

determina os ângulos de fase das tensões. Assim,  $V_{BC} = 208/0^\circ$ ,  $V_{AB} = 208/240^\circ$ ,  $V_{CA} = 208/120^\circ$ ,  $V_{AN} = 120/-90^\circ$ ,  $V_{BN} = 120/30^\circ$  e  $V_{CN} = 120/150^\circ$ .



$$\begin{aligned} V_{AB} &= V_L \angle 120^\circ \\ V_{BC} &= V_L \angle 0^\circ \\ V_{CA} &= V_L \angle 240^\circ \\ V_{AN} &= (V_L/\sqrt{3}) \angle -90^\circ \\ V_{BN} &= (V_L/\sqrt{3}) \angle -30^\circ \\ V_{CN} &= (V_L/\sqrt{3}) \angle -150^\circ \end{aligned}$$



$$\begin{aligned} V_{AB} &= V_L \angle 240^\circ \\ V_{BC} &= V_L \angle 0^\circ \\ V_{CA} &= V_L \angle 120^\circ \\ V_{AN} &= (V_L/\sqrt{3}) \angle -90^\circ \\ V_{BN} &= (V_L/\sqrt{3}) \angle -30^\circ \\ V_{CN} &= (V_L/\sqrt{3}) \angle -150^\circ \end{aligned}$$

Figura 14-5

### Cargas Trifásicas Equilibradas

**Exemplo 1** Um sistema ABC trifásico a três condutores, 110 volts, alimenta uma carga em triângulo, constituída por três impedâncias iguais de  $5/45^\circ$  ohms. Determinar as correntes de linha  $I_A$ ,  $I_B$  e  $I_C$  e traçar o diagrama de fasores.

A Fig. 14-6 esquematiza o circuito, aplicadas as tensões e representados os sentidos positivos das correntes de linha e de fase. Daí, temos:

$$I_{AB} = \frac{V_{AB}}{Z} = \frac{110 \angle 120^\circ}{5 \angle 45^\circ} = 22 \angle 75^\circ = 5,7 + j21,2$$

$$I_{BC} = \frac{V_{BC}}{Z} = \frac{110 \angle 0^\circ}{5 \angle 45^\circ} = 22 \angle -45^\circ = 15,55 - j15,55$$

$$I_{CA} = \frac{V_{CA}}{Z}$$

Aplicando :  
tem-se:

$$I_A = I_{AB} +$$

$$I_B = I_{BA} +$$

$$I_C = I_{CA} +$$

O diagrama:  
bradas, de

$V_{AB} = 208/240^\circ$

$$I_{CA} = \frac{V_{CA}}{Z} = \frac{110/240^\circ}{5/45^\circ} = 22/-195^\circ = -21,2 - j5,7$$

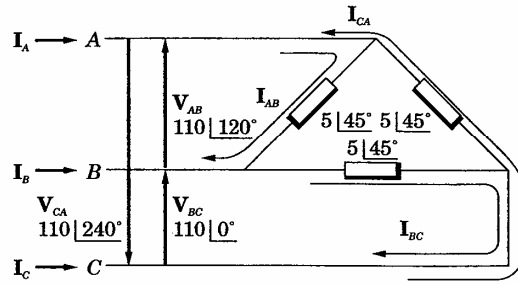


Figura 14-6

Aplicando a lei de Kirchhoff para as correntes a cada vértice da carga, tem-se:

$$I_A = I_{AB} + I_{AC} = 22/75^\circ - 22/195^\circ = 38,1/45^\circ$$

$$I_B = I_{BA} + I_{BC} = -22/75^\circ + 22/-45^\circ = 38,1/75^\circ$$

$$I_C = I_{CA} + I_{CB} = 22/195^\circ - 22/-45^\circ = 38,1/165^\circ$$

O diagrama de fasores da Fig. 14-7 mostra as correntes de linha, equilibradas, de 38,1 ampères com ângulos de fase de 120° entre elas.

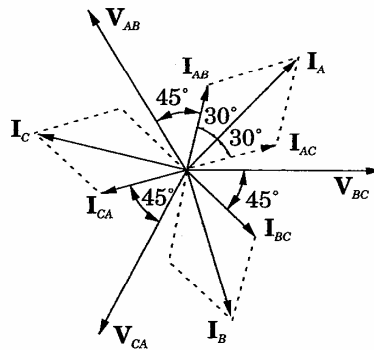


Figura 14-7

res, 110 volts,  
s impedâncias  
 $I_B$  e  $I_C$  e traçar  
representados  
temos:

Para uma carga equilibrada ligada em triângulo, a tensão de linha e a tensão de fase são iguais e a corrente de linha é  $\sqrt{3}$  vezes a corrente de fase.

**Exemplo 2** Um sistema CBA trifásico a quatro condutores, 208 volts, alimenta uma carga em estrela, constituída por impedâncias  $20\angle-30^\circ$  ohms. Calcular as correntes de linha e traçar o diagrama de fasores.

A Fig. 14-8 mostra o circuito, aplicadas as tensões de linha para neutro da Fig. 14-5(b). O diagrama apresenta todas as correntes de linha, verificando-se que elas retornam pelo condutor neutro. Assim:

$$I_A = \frac{V_{AN}}{Z} = \frac{120\angle-90^\circ}{20\angle-30^\circ} = 6,0\angle-60^\circ$$

$$I_B = \frac{V_{BN}}{Z} = \frac{120\angle30^\circ}{20\angle-30^\circ} = 6,0\angle60^\circ$$

$$I_C = \frac{V_{CN}}{Z} = \frac{120\angle150^\circ}{20\angle-30^\circ} = 6,0\angle180^\circ$$

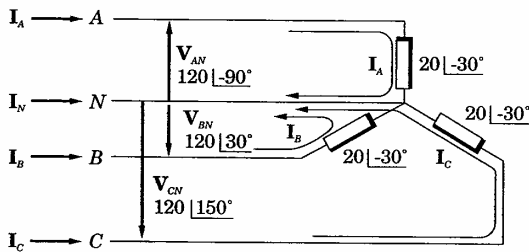


Figura 14-8

Admitindo positiva a corrente do neutro, quando se dirige para a carga, tem-se:

$$I_N = -(I_A + I_B + I_C) = -(6,0\angle-60^\circ + 6,0\angle60^\circ + 6,0\angle180^\circ) = 0$$

O diagrama de linha, esta correspondência

Numa carga equilibrada as correntes são iguais às correntes de fase e a tensão de linha é  $\sqrt{3}$  vezes a tensão de fase.

### Circuito Monofásico Equilibrado

De conformidade com o artigo 12, um condutor equivalente a um condutor neutro, onde  $Z_Y = (1/3)Z$  em estrela para as formas.

O circuito de quatro condutores com uma tensão de fase igual a zero. As correntes referidas ao ângulo de fase estarão avançadas para neutro, do

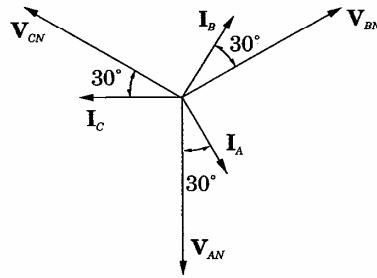


Figura 14-9

O diagrama de fasores da Fig. 14-9 mostra as correntes equilibradas de linha, estando cada uma delas adiantada, em relação à tensão simples correspondente, de um ângulo igual ao ângulo da impedância respectiva.

Numa carga equilibrada ligada em estrela, as correntes de linha são iguais às correntes de fase. A corrente no neutro é nula e a tensão de linha é  $\sqrt{3}$  vezes a tensão de fase, ou seja,  $V_L = \sqrt{3} V_F$ .

### **Circuito Monofásico Equivalente para Cargas Equilibradas**

De conformidade com as transformações de  $Y$  para  $\Delta$ , vistas no Capítulo 12, um conjunto de três impedâncias  $Z_{\Delta}$ , numa ligação em triângulo, é equivalente a um conjunto de três impedâncias iguais  $Z_Y$  ligadas em estrela, onde  $Z_Y = (1/3)Z_{\Delta}$ . É possível, portanto, um cálculo mais direto do circuito em estrela para cargas trifásicas equilibradas, ligadas de qualquer das duas formas.

O circuito equivalente de uma linha é uma fase do circuito trifásico a quatro condutores em estrela da Fig. 14-10, com a diferença de que se emprega uma tensão de amplitude igual à de linha para neutro e de ângulo de fase igual a zero. A corrente de linha calculada para esse circuito tem um ângulo de fase referido ao ângulo de fase nula da tensão. As correntes de linha reais  $I_A$ ,  $I_B$  e  $I_C$  estarão avançadas ou atrasadas, em relação às respectivas tensões de linha para neutro, do mesmo ângulo de fase.

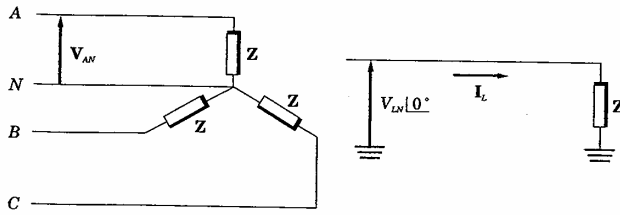


Figura 14-10 Circuito monofásico equivalente.

**Exemplo 3** Calcular as correntes de linha do exemplo 1 pelo método do equivalente monofásico.

Traça-se o circuito de uma linha e assinala-se um  $\Delta$  na carga, para lembrar de que as impedâncias estavam ligadas em triângulo. A impedância do equivalente ligado em estrela é:  $Z_Y = Z_\Delta/3 = (5/3) \angle 45^\circ$  e a tensão de linha é:

$$V_{LN} = V_L / \sqrt{3} = 110 / \sqrt{3} = 63,5$$

A corrente de linha é, portanto, dada por:

$$I_L = \frac{V_{LN}}{Z} = \frac{63,5 \angle 0^\circ}{(5/3) \angle 45^\circ} = 38,1 \angle -45^\circ$$

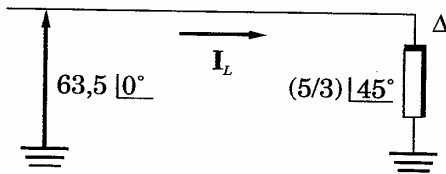


Figura 14-11

Como esta corrente está atrasada de  $45^\circ$  em relação à tensão, as correntes de linha  $I_A$ ,  $I_B$  e  $I_C$  estão atrasadas de  $45^\circ$  em relação às suas respectivas tensões  $V_{AN}$ ,  $V_{BN}$  e  $V_{CN}$ . Os ângulos dessas tensões são obtidos do triângulo da Fig. 14-5(a). As tensões entre linha e neutro (tensões de fase) e as correspondentes correntes de linha estão reunidas a seguir:

$$V_{AN} = 63,5$$

$$V_{BN} = 63,5$$

$$V_{CN} = 63,5$$

Estas correntes de linha são obtidas, em seguida, de  $45^\circ$ . Assim:

$$V_{AB} = 110$$

$$V_{BC} = 110$$

$$V_{CA} = 110$$

### Carga Desbalanceada

A solução consiste em se aplicar a lei de Kirchhoff. As correntes de linha que ocorrem nas cargas

**Exemplo** Para os circuitos, tem  $Z_{CA} = 15 \angle -45^\circ \Omega$  para os fasores.

Traça-se o circuito equivalente monofásico para os fasores de linha e neutro independente

$$I_{AB} = \frac{V_{AN}}{Z_{AN}}$$

$$\begin{aligned} V_{AN} &= 63,5/90^\circ & I_A &= 38,1/90^\circ - 45^\circ = 38,1/45^\circ \\ V_{BN} &= 63,5/-30^\circ & I_B &= 38,1/-30^\circ - 45^\circ = 38,1/-75^\circ \\ V_{CN} &= 63,5/-150^\circ & I_C &= 38,1/-150^\circ - 45^\circ = 38,1/-195^\circ \end{aligned}$$

Estas correntes são idênticas às obtidas no exemplo 1. Caso se deseje, as correntes de fase da carga ligada em triângulo poderão ser calculadas por  $I_F = I_L/\sqrt{3} = 38,1/\sqrt{3} = 22$ . Os ângulos de fase dessas correntes são obtidos, escrevendo-se os ângulos das tensões de linha [Fig. 14-5(a)] e, em seguida, determinando-se as correntes, de modo que estejam atrasadas de  $45^\circ$ . Assim, temos:

$$\begin{aligned} V_{AB} &= 110/120^\circ & I_{AB} &= 22/120^\circ - 45^\circ = 22/75^\circ \\ V_{BC} &= 110/0^\circ & I_{BC} &= 22/0^\circ - 45^\circ = 22/-45^\circ \\ V_{CA} &= 110/240^\circ & I_{CA} &= 22/240^\circ - 45^\circ = 22/195^\circ \end{aligned}$$

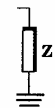
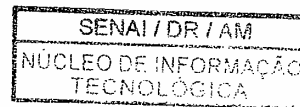
### Carga Desequilibrada em Triângulo

A solução, quando a carga é desequilibrada e ligada em triângulo, consiste em se calcularem as correntes de fase e, em seguida, por aplicação aos nós da lei de Kirchhoff para as correntes, determinar as três correntes de linha. As correntes de linha não serão iguais e sua defasagem não será de  $120^\circ$ , como ocorre nas cargas equilibradas.

**Exemplo 4** Um sistema trifásico ABC de 240 volts, a três condutores, tem carga ligada em triângulo com  $Z_{AB} = 10/0^\circ$ ,  $Z_{BC} = 10/30^\circ$  e  $Z_{CA} = 15/-30^\circ$ . Calcular as três correntes de linha e traçar o diagrama de fasores.

Traça-se o diagrama do circuito, como na Fig. 14-12, e aplicam-se os fasores tensão. Conforme mostra o diagrama, as correntes de fase são independentes e dadas por:

$$I_{AB} = \frac{V_{AB}}{Z_{AB}} = \frac{240/120^\circ}{10/0^\circ} = 24/120^\circ, \quad I_{BC} = \frac{V_{BC}}{Z_{BC}} = 24/-30^\circ,$$



pelos métodos do

na carga, para o ângulo. A impedância  $Z$  e a tensão

ão, as correntes de fase e as respectivas tensões de fase) e as correntes de linha:

$$I_{CA} = \frac{V_{CA}}{Z_{CA}} = 16 \angle 270^\circ$$

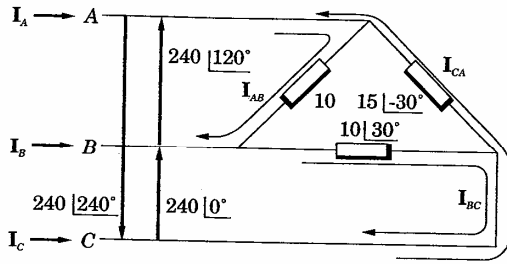


Figura 14-12

Aplicando aos nós a lei de Kirchoff para as correntes, temos:

$$I_A = I_{AB} + I_{AC} = 24 \angle 120^\circ - 16 \angle 270^\circ = 38,7 \angle 108,1^\circ$$

$$I_B = I_{BA} + I_{BC} = -24 \angle 120^\circ + 24 \angle -30^\circ = 46,4 \angle -45^\circ$$

$$I_C = I_{CA} + I_{CB} = 16 \angle 270^\circ - 24 \angle -30^\circ = 21,2 \angle 190,9^\circ$$

Notar que os defasamentos não são de 120°.

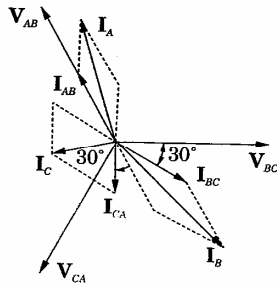


Figura 14-13

### Carga Desbalanceada com Quatro

Num sistema quando a carga é desbalanceada a corrente permanece constante (tensão de fase).

**Exemplo** para carga ligada em estrela as correntes

Traça-se o diagrama escolhendo as referências dependentes e

$$I_A = \frac{V_{AN}}{Z_A}$$

$$I_C = \frac{V_{CN}}{Z_C}$$

A corrente é positiva o se

$$I_N = -(I_A + I_B + I_C)$$

A Fig. 14-15

### Carga Desequilibrada, Ligada em Estrela, com Quatro Condutores

Num sistema a quatro fios, o condutor neutro transporta corrente quando a carga é desequilibrada, e a tensão em cada uma das impedâncias de carga permanece fixa e de amplitude igual à existente entre linha e neutro (tensão de fase). As correntes de linha são desiguais e sua defasagem não é  $120^\circ$ .

**Exemplo 5** Um sistema CBA trifásico a quatro fios, 208 volts, tem carga ligada em estrela com  $Z_A = 6 \angle 0^\circ$ ,  $Z_B = 6 \angle 30^\circ$  e  $Z_C = 5 \angle 45^\circ$ . Determinar as correntes de linha e no neutro. Traçar o diagrama de fasores.

Traça-se o diagrama do circuito (Fig 14-14), aplicam-se os fasores tensão, escolhendo-se as correntes de linha indicadas. As correntes são independentes e dadas por:

$$I_A = \frac{V_{AN}}{Z_A} = \frac{120 \angle -90^\circ}{6 \angle 0^\circ} = 20 \angle -90^\circ, \quad I_B = \frac{V_{BN}}{Z_B} = 20 \angle 0^\circ,$$

$$I_C = \frac{V_{CN}}{Z_C} = 24 \angle 105^\circ$$

A corrente no neutro é a soma das correntes de linha  $I_A$ ,  $I_B$  e  $I_C$ . Supondo positivo o sentido de  $I_N$  para a carga, temos:

$$I_N = -(I_A + I_B + I_C) = -(20 \angle -90^\circ + 20 \angle 0^\circ + 24 \angle 105^\circ) = 14,1 \angle -166,9^\circ$$

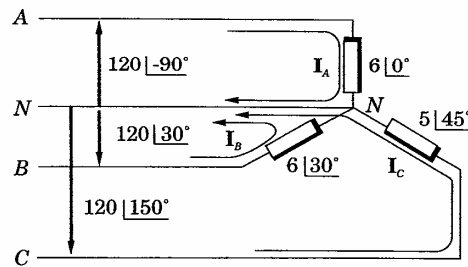


Figura 14-14

A Fig. 14-15 mostra o diagrama de fasores.

mos:

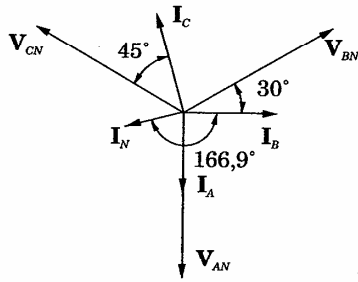


Figura 14-15

### Carga Desequilibrada, Ligada em Estrela, com Três Condutores

Estando apenas as três linhas A, B e C ligadas a uma carga desequilibrada em estrela, o ponto comum das três impedâncias de carga não está no potencial do neutro e é designado por "O", em vez de "N". As tensões nas três impedâncias podem diferir consideravelmente do valor entre linha e neutro, como mostra o triângulo das tensões que relaciona todas as tensões no circuito. É de particular interesse a diferença de tensão entre "O" e "N", *tensão de deslocamento do neutro*.

**Exemplo 6** Um sistema trifásico CBA, a três fios, 208 volts, tem carga  $Z_A = 6/0^\circ$ ,  $Z_B = 6/30^\circ$  e  $Z_C = 5/45^\circ$ , ligada em estrela. Determinar as correntes de linha e o fasor tensão em cada impedância. Traçar o triângulo das tensões e determinar a tensão de deslocamento do neutro,  $V_{ON}$ .

Traça-se o diagrama do circuito e selecionam-se as correntes de malha  $I_1$  e  $I_2$ , como mostra a Fig. 14-16. Escrevem-se as correspondentes equações matriciais de  $I_1$  e  $I_2$ , como se segue:

$$\begin{bmatrix} 6/0^\circ + 6/30^\circ & -6/30^\circ \\ -6/30^\circ & 6/30^\circ + 5/45^\circ \end{bmatrix} \begin{bmatrix} I_1 \\ I_2 \end{bmatrix} = \begin{bmatrix} 208/240^\circ \\ 208/0^\circ \end{bmatrix}$$

Daí, vem:

As correntes

$$I_A = I_1$$

$$I_B = I_2$$

$$I_C = -I_1$$

As tensões de linha por

$$V_{AO} =$$

$$V_{BO} =$$

$$V_{CO} =$$

O diagrama um triângulo

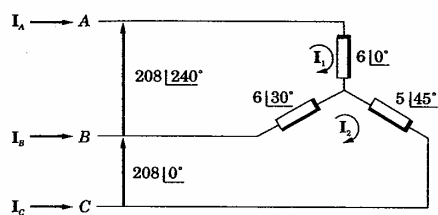


Figura 14-16

Daí, vem:  $I_1 = 23,3/261,1^\circ$  e  $I_2 = 26,5/-63,4^\circ$ .

As correntes de linha  $I_A$ ,  $I_B$  e  $I_C$ , dirigidas como mostra o diagrama, são:

$$I_A = I_1 = 23,3/261,1^\circ$$

$$I_B = I_2 - I_1 = 26,5/-63,4^\circ - 23,3/261,1^\circ = 15,45/-2,5^\circ$$

$$I_C = -I_2 = 26,5/116,6^\circ$$

As tensões nas três impedâncias são dadas pelos produtos das correntes de linha pelas respectivas impedâncias. Logo:

$$V_{AO} = I_A Z_A = 23,3/261,1^\circ (6/0^\circ) = 139,8/261,1^\circ$$

$$V_{BO} = I_B Z_B = 15,45/-2,5^\circ (6/30^\circ) = 92,7/27,5^\circ$$

$$V_{CO} = I_C Z_C = 26,5/116,6^\circ (5/45^\circ) = 132,5/161,6^\circ$$

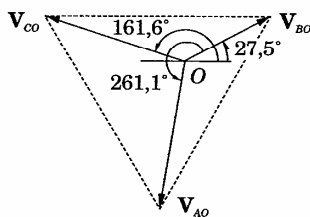


Figura 14-17

O diagrama de fasores dessas três tensões, mostrado na Fig. 14-17, forma um triângulo equilátero. Na Fig. 14-18, reconstrói-se esse triângulo,

om Três

arga desequili-  
ga não está no  
nsões nas três  
inha e neutro,  
ões no circuito.  
"N", tensão de

olts, tem carga  
Determinar as  
Traçar o triân-  
o neutro,  $V_{ON}$

tes de malha  $I_1$   
entes equações

acrescentando-se o neutro e aparecendo, assim, a tensão de deslocamento do neutro,  $V_{ON}$ . Essa tensão pode ser calculada utilizando-se qualquer um dos três pontos,  $A$ ,  $B$  ou  $C$ , e seguindo-se a notação convencional de duplo índice. Utilizando o ponto  $A$ , temos:

$$\begin{aligned} V_{ON} &= V_{OA} + V_{AN} = -139,8/261,1^\circ + 120/-90^\circ \\ &= 28,1/39,8^\circ \end{aligned}$$

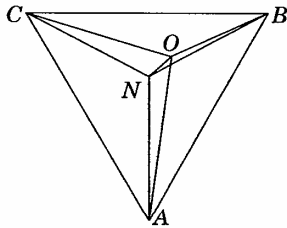


Figura 14-18

### Método do Deslocamento do Neutro, Carga Desequilibrada em Estrela a Três Condutadores

No exemplo 6, a tensão  $V_{ON}$  de deslocamento do neutro foi obtida em função das tensões na carga. Se determinarmos uma expressão para  $V_{ON}$  independente das tensões na carga, as correntes e tensões, pedidas no exemplo 6, serão obtidas mais diretamente, como mostra o exemplo 7.

Para obter a tensão de deslocamento do neutro, escrevem-se as correntes de linha em termos das tensões na carga e das admitâncias da carga.

$$I_A = V_{AO} Y_A, \quad I_B = V_{BO} Y_B,$$

$$I_C = V_{CO} Y_C \quad (1)$$

Em seguida, aplica-se a lei de Kirchhoff para as correntes ao nó  $O$  (Fig. 14-19), escrevendo:

$$I_A + I_B + I_C = 0 \quad (2)$$

$$V_{AO} Y_A + V_{BO} Y_B + V_{CO} Y_C = 0 \quad (3)$$

Do diag  
função das suas

$$V_{AO} = V_{AO}$$

Substitui

$$(V_{AN} + V_{AO})$$

onde:

As tens  
Fig. 14-5, para  
os inversos das  
termos de (6) s  
neutro pode ser

**Exemplo**  
exemplo 6

Da Fig. 1

$$V_{ON} =$$

Do diagrama da Fig. 14-18, tiram-se as tensões  $V_{AO}$ ,  $V_{BO}$  e  $V_{CO}$  em função das suas componentes, isto é:

$$V_{AO} = V_{AN} + V_{NO} \quad V_{BO} = V_{BN} + V_{NO} \quad V_{CO} = V_{CN} + V_{NO} \quad (4)$$

Substituindo as expressões de (4) em (3), temos:

$$(V_{AN} + V_{NO})Y_A + (V_{BN} + V_{NO})Y_B + (V_{CN} + V_{NO})Y_C = 0 \quad (5)$$

$$\text{onde: } V_{ON} = \frac{V_{AN}Y_A + V_{BN}Y_B + V_{CN}Y_C}{Y_A + Y_B + Y_C} \quad (6)$$

As tensões  $V_{AN}$ ,  $V_{BN}$  e  $V_{CN}$  da equação (6) são obtidas pelo triângulo da Fig. 14-5, para a seqüência dada no problema. As admitâncias  $Y_A$ ,  $Y_B$  e  $Y_C$  são os inversos das impedâncias de carga  $Z_A$ ,  $Z_B$  e  $Z_C$ . Portanto, como todos os termos de (6) são dados ou obtidos facilmente, a tensão de deslocamento do neutro pode ser calculada e empregada na determinação das correntes de linha.

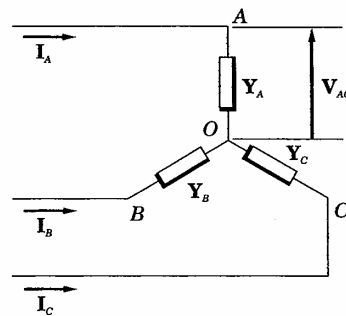


Figura 14-19

**Exemplo 7** Determinar as correntes de linha e as tensões na carga do exemplo 6 pelo método do deslocamento do neutro.

Da Fig. 14-20, a equação da tensão de deslocamento do neutro é:

$$V_{ON} = \frac{V_{AN}Y_A + V_{BN}Y_B + V_{CN}Y_C}{Y_A + Y_B + Y_C}$$

e deslocamento  
do-se qualquer  
onvencional de

es

o foi obtida em  
ssão para  $V_{ON}$   
das no exemplo

vem-se as cor-  
rias da carga.

(1)  
es ao nó O (Fig.

(2)

(3)

onde:

$$Y_A = 1/(6/0^\circ) = 0,1667/0^\circ = 0,1667$$

$$Y_B = 1/(6/30^\circ) = 0,1667/-30^\circ = 0,1443 - j0,0833$$

$$Y_C = 1/(5/45^\circ) = 0,20/-45^\circ = 0,1414 - j0,1414$$

$$Y_A + Y_B + Y_C = 0,4524 - j0,2247$$

$$= 0,504/-26,5^\circ$$

e  $V_{AN}Y_A = 120/-90^\circ(0,1667/0^\circ) = 20/-90^\circ = -j20$

$$V_{BN}Y_B = 120/30^\circ(0,1667/-30^\circ) = 20/0^\circ = 20$$

$$V_{CN}Y_C = 120/150^\circ(0,20/-45^\circ) = 24/105^\circ = -6,2 + j23,2$$

$$V_{AN}Y_A + V_{BN}Y_B + V_{CN}Y_C = 13,8 + j3,2 = 14,1/13,1^\circ$$

Então, finalmente:  $V_{ON} = 14,1/13,1^\circ/0,504/-26,5^\circ = 28,0/39,6^\circ$

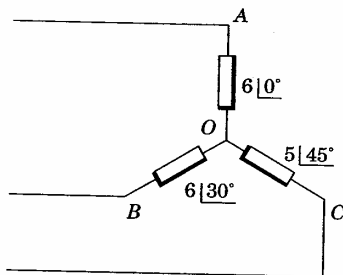


Figura 14-20

As tensões  $V_{AO}$ ,  $V_{BO}$  e  $V_{CO}$  são obtidas com o emprego de  $V_{NO}$  e da tensão apropriada de linha para neutro. Assim:

$$V_{AO} = V_{AN} + V_{NO} = 120/-90^\circ - 28,0/39,6^\circ = 139,5/261,1^\circ$$

$$V_{BO} = V_{BN} + V_{NO} = 120/30^\circ - 28,0/39,6^\circ = 92,5/27,1^\circ$$

$$V_{CO} = V_{CN}$$

As correntes correspondentes

$$I_A = V_{AO}Y_A$$

$$I_B = V_{BO}Y_B$$

$$I_C = V_{CO}Y_C$$

As correntes resultantes

### Potência no

Já que as cargas são equilibradas em potência total e a corrente é a mesma em cada impedância.

e a potência

$$\mathbf{V}_{CO} = \mathbf{V}_{CN} + \mathbf{V}_{NO} = 120/150^\circ - 28,0/39,6^\circ = 132,5/161,45^\circ$$

As correntes de linha obtêm-se facilmente a partir das tensões e das correspondentes admitâncias de carga. Assim:

$$\mathbf{I}_A = \mathbf{V}_{AO} \mathbf{Y}_A = 139,5/261,1^\circ (0,1667/0^\circ) = 23,2/261,1^\circ$$

$$\mathbf{I}_B = \mathbf{V}_{BO} \mathbf{Y}_B = 92,5/27,1^\circ (0,1667/-30^\circ) = 15,4/-2,9^\circ$$

$$\mathbf{I}_C = \mathbf{V}_{CO} \mathbf{Y}_C = 132,5/161,45^\circ (0,20/-45^\circ) = 26,6/116,45^\circ$$

As correntes e tensões acima conferem, com boa aproximação, com os resultados do exemplo 6.

### Potência nas Cargas Trifásicas Equilibradas

Já que a corrente é a mesma nas impedâncias de fase das cargas equilibradas em estrela ou em triângulo, a potência de fase é igual a um terço da potência total. A tensão na impedância  $\mathbf{Z}_\Delta$  da Fig. 14-21(a) é *tensão de linha* e a corrente é *corrente de fase*. O ângulo entre a tensão e a corrente é o ângulo da impedância. A potência de fase é, então, dada por:

$$P_F = V_L I_F \cos \phi \quad (7)$$

e a potência total é:

$$P_T = 3 V_L I_F \cos \phi \quad (8)$$

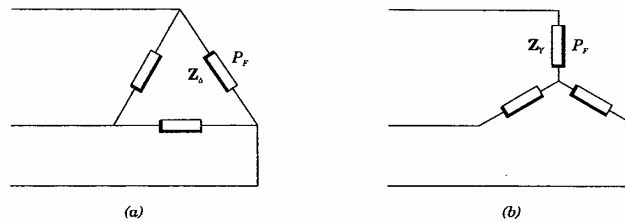


Figura 14-21

$j23,2$

$,2 = 14,1/13,1^\circ$

$3,6^\circ$

$V_{NO}$  e da tensão

Como, nas cargas equilibradas em triângulo,  $I_L = \sqrt{3} I_F$ , temos:

$$P_L = \sqrt{3} V_L I_F \cos \phi \quad (9)$$

Na Fig. 4-21(b), as impedâncias estão ligadas em estrela, as correntes são *correntes de linha* e a tensão em  $Z_Y$  é *tensão de fase*. O ângulo entre elas é o ângulo da impedância. A potência de fase é, então, dada por:

$$P_F = V_F I_L \cos \phi \quad (10)$$

e a potência total é

$$P_T = 3 V_F I_L \cos \phi \quad (11)$$

Como

$$V_L = \sqrt{3} V_F$$

$$P_T = \sqrt{3} V_L I_L \cos \phi \quad (12)$$

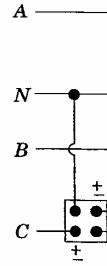
Como as equações (9) e (12) são idênticas, a potência em qualquer carga trifásica equilibrada é dada por  $\sqrt{3} V_L I_L \cos \phi$ , onde  $\phi$  é o ângulo da impedância de carga ou o ângulo da impedância equivalente, na hipótese de serem várias cargas equilibradas, alimentadas pelo mesmo sistema.

Os volts-ampères totais  $N_T$  (potência aparente total) e a potência reativa total  $Q_T$  foram relacionadas a  $P_T$  no Capítulo 7. Assim, para uma carga trifásica equilibrada, a potência ativa, a potência aparente e a potência reativa são dadas por

$$P_T = \sqrt{3} V_L I_L \cos \phi; N_T = \sqrt{3} V_L I_L; Q_T = \sqrt{3} V_L I_L \sin \phi \quad (13)$$

### Wattímetros e Cargas em Estrela a Quatro Condutores

Um wattímetro é um instrumento com uma bobina de potencial e uma bobina de corrente, arranjadas de forma que sua deflexão seja proporcional a  $VI \cos \phi$ , onde  $\phi$  é o ângulo entre a tensão e a corrente. Uma carga ligada em estrela, a quatro condutores, exige três wattímetros com um medidor instalado em cada linha, como mostra a Fig. 14-22(a).



O diagrama na fase A e adi respectivamente

$$W_A = V_{AN} I_A \cos$$

O wattímetro lêem nas fases B

### Método dos

A potência soma das leituras do sua bobinas é As leituras dos r

$$W_A$$

\* N. T. O índice correspondentes

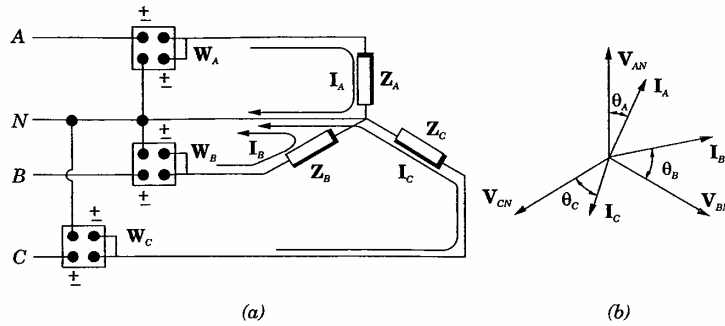


Figura 14-22

O diagrama de fasores da Fig. 14-22(b) admite uma corrente atrasada na fase A e adiantada nas fases B e C, com ângulo de fase  $\phi_A$ ,  $\phi_B$  e  $\phi_C$ , respectivamente. As leituras dos wattímetros são, então:

$$W_A = V_{AN} I_A \cos \angle A^{AN}, \quad W_B = V_{BN} I_B \cos \angle B^{BN}, \quad W_C = V_{CN} I_C \cos \angle C^{CN} \quad (14)^*$$

O wattímetro  $W_A$  lê a potência na fase A, e os wattímetros  $W_B$  e  $W_C$  lêem nas fases B e C, respectivamente. A potência total é:

$$P_T = W_A + W_B + W_C \quad (15)$$

### Método dos Dois Wattímetros

A potência total em uma carga trifásica a três condutores é obtida pela soma das leituras de dois wattímetros ligados em duas linhas quaisquer, estando sua bobinas de potencial ligadas à terceira linha, como mostra a Fig. 14-23. As leituras dos medidores são:

$$W_A = V_{AB} I_A \cos \angle A^{AB} \quad \text{e} \quad W_C = V_{CB} I_C \cos \angle C^{CB} \quad (16)$$

\* N. T. O índice duplo no ângulo de fase indica que o mesmo se refere à tensão e à corrente correspondentes.

Aplicando a lei de Kirchhoff para as correntes aos nós A e C da carga em triângulo, tem-se:

$$I_A = I_{AB} + I_{AC} \quad \text{e} \quad I_C = I_{CA} + I_{CB} \quad (17)$$

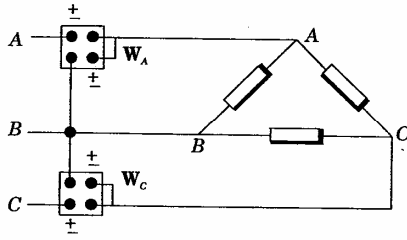


Figura 14-23

Substituindo nas equações (16) os valores de  $I_A$  e  $I_C$ , dados por (17), temos:

$$W_A = V_{AB} I_{AB} \cos \phi_{AB/AB} + V_{AB} I_{AC} \cos \phi_{AB/AC} \quad (18)$$

$$W_C = V_{CB} I_{CA} \cos \phi_{CB/CA} + V_{CB} I_{CB} \cos \phi_{CB/CB}$$

Os termos  $V_{AB} I_{AB} \cos \phi_{AB/AB}$  e  $V_{CB} I_{CB} \cos \phi_{CB/CB}$  são facilmente identificados como as potências nas fases AB e CB da carga. Os dois termos restantes contêm  $V_{AB} I_{AC}$  e  $V_{CB} I_{CA}$  que, agora, podem ser escritos como  $V_L I_{AC}$ , já que  $V_{AB}$  e  $V_{CB}$  são tensões de linha e  $I_{AC} = I_{CA}$ . Para identificar esses dois termos, construímos o diagrama de fasores da Fig. 14-24, onde admitimos a corrente  $I_{AC}$  atrasada de  $\phi$ , em relação a  $V_{AC}$ .

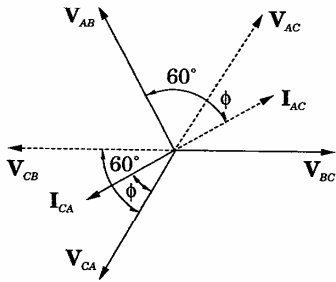


Figura 14-24

Do diag

Somand

$$\phi_{AC}^{AB} = 60^\circ + \phi$$

Como cc

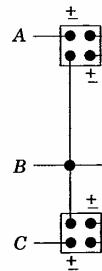
$$V_L I_{AC} \cos$$

ou:  $V_L I_{AC}$

que é a potência  
dois wattímetros:  
xamos ao leitor,  
uma carga ligad

### Aplicação e Equilibrad

Para m  
remos as três ir  
25(a). A Fig. 14-  
admitindo-se a c



A e C da carga

(17)

Do diagrama, escrevemos:

$$\angle_{AC}^{AB} = 60^\circ + \phi \quad \text{e} \quad \angle_{CA}^{CB} = 60^\circ - \phi \quad (19)$$

Somando, agora, os dois termos que restaram de (18) e substituindo  $\angle_{AC}^{AB} = 60^\circ + \phi$  e  $\angle_{CA}^{CB} = 60^\circ - \phi$ , temos:

$$V_L I_{AC} \cos(60^\circ + \phi) + V_L I_{AC} \cos(60^\circ - \phi) \quad (20)$$

Como  $\cos(a \pm b) = \cos a \cos b \mp \sin a \sin b$ , escrevemos:

$$V_L I_{AC} (\cos 60^\circ \cos \phi - \sin 60^\circ \sin \phi + \cos 60^\circ \cos \phi + \sin 60^\circ \sin \phi) \quad (21)$$

ou:  $V_L I_{AC} \cos \phi \quad (22)$

que é a potência na fase restante da carga, a fase AC. Verifica-se, assim, que dois wattímetros indicam a carga total numa carga ligada em triângulo. Deixamos ao leitor, como exercício, a aplicação do método dos dois wattímetros a uma carga ligada em estrela.

dados por (17),

(18)

### Aplicação do Método dos Dois Wattímetros a Cargas Equilibradas

Para mostrar a aplicação do método a cargas equilibradas, consideremos as três impedâncias iguais, ligadas em estrela, mostradas na Fig. 14-25(a). A Fig. 14-25(b) apresenta o diagrama de fasores para a seqüência ABC, admitindo-se a corrente atrasada de um ângulo  $\phi$ .

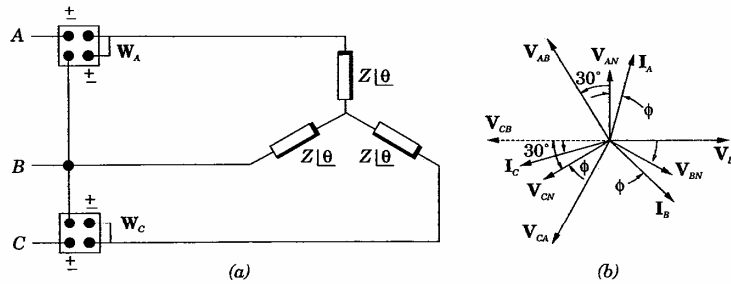


Figura 14-25

ilmente identi-  
rmos restantes  
 $I_{AC}$ , já que  $V_{AB}$   
s dois termos,  
s a corrente  $I_{AC}$

Com os wattímetros na linhas A e C, suas leituras são:

$$W_A = V_{AB} I_A \cos \varphi_A^{AB} \quad \text{e} \quad W_C = V_{CB} I_C \cos \varphi_C^{CB} \quad (23)$$

Do diagrama de fasores,

$$\varphi_A^{AB} = 30^\circ + \phi \quad \text{e} \quad \varphi_C^{CB} = 30^\circ - \phi \quad (24)$$

Substituindo (24) em (23), tem-se:

$$W_A = V_{AB} I_A \cos (30^\circ + \phi) \quad \text{e} \quad W_C = V_{CB} I_C \cos (30^\circ - \phi) \quad (25)$$

Quando o método dos dois wattímetros é usado numa carga equilibrada, as leituras dos wattímetros são  $V_L I_L \cos (30^\circ + \phi)$  e  $V_L I_L \cos (30^\circ - \phi)$ , onde  $\phi$  é o ângulo da impedância. As duas leituras podem ser empregadas para a determinação do ângulo  $\phi$ .

Como, em geral, não conhecemos a ordem relativa na seqüência, temos (escrevendo a expressão de  $W_1$  e usando o co-seno da soma de dois ângulos) a seguinte expressão:

$$W_1 = V_L I_L (\cos 30^\circ \cos \phi - \sin 30^\circ \sin \phi)^* \quad (26)$$

Da mesma maneira, para  $W_2$  temos:

$$W_2 = V_L I_L (\cos 30^\circ \cos \phi + \sin 30^\circ \sin \phi)^* \quad (27)$$

Assim, a soma  $W_1 + W_2 = \sqrt{3} V_L I_L \cos \phi$  e a diferença  $W_2 - W_1 = V_L I_L \sin \phi$ , donde:

$$\operatorname{tg} \phi = \sqrt{3} \left( \frac{W_2 - W_1}{W_1 + W_2} \right) \quad (28)$$

Portanto, a tangente do ângulo da impedância  $Z$  é  $\sqrt{3}$  vezes a relação entre a diferença e a soma das leituras dos dois wattímetros. Sem conhecer as linhas em que os medidores estão localizados, nem a seqüência do sistema, é impossível definir-se o sinal de  $\phi$ . Entretanto, quando se conhecem a seqüência e a localização dos medidores, o sinal pode ser determinado por uma das seguintes expressões com as designações exatas de cada wattímetro:

Seqüênc

$\operatorname{tg} \phi =$

Seqüênc

$\operatorname{tg} \phi =$

14.1 Mostrar que linha e neutri

A Fig. 14-2 triângulo e e cujo centi

A tensão er tal  $V_F \cos 3$  segue-se qu

$$V_L = 2(V_F$$

14.2 Calcular as em triângulc

\* N. R. Por não conhecermos as linhas onde se situam os wattímetros, utilizamos as denominações genéricas  $W_1$  e  $W_2$ .

Sequência ABC:

$$\operatorname{tg} \phi = \sqrt{3} \frac{W_A - W_B}{W_A + W_B} = \sqrt{3} \frac{W_B - W_C}{W_B + W_C} = \sqrt{3} \frac{W_C - W_A}{W_C + W_A} \quad (29)$$

Sequência CBA:

$$\operatorname{tg} \phi = \sqrt{3} \frac{W_B - W_A}{W_B + W_A} = \sqrt{3} \frac{W_C - W_B}{W_C + W_B} = \sqrt{3} \frac{W_A - W_C}{W_A + W_C} \quad (30)$$

### Problemas Resolvidos

- 14.1 Mostrar que, no sistema trifásico, a tensão de linha  $V_L \sqrt{3}$  vezes a tensão entre linha e neutro,  $V_F$ .

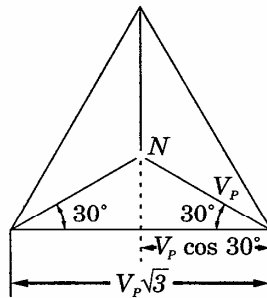


Figura 14-26

A Fig. 14-26 mostra as tensões de um sistema trifásico constituindo um triângulo equilátero, cujos lados são proporcionais às tensões de linha  $V_L$  e cujo centro representa o ponto neutro,  $N$ .

A tensão entre linha e neutro (tensão de fase) tem para projeção horizontal  $V_F \cos 30^\circ$  ou  $V_F \sqrt{3}/2$ . Como a base é a soma de duas dessas projeções, segue-se que:

$$V_L = 2(V_F \sqrt{3}/2) = \sqrt{3} V_F$$

- 14.2 Calcular as correntes a plena carga nos enrolamentos de alternadores, ligados em triângulo e em estrela em regime de 25 kVA a 480 volts.

Na ligação em estrela, a corrente é a mesma, na linha e no enrolamento. Num sistema trifásico equilibrado,

$$N = \sqrt{3}V_L I_L \quad \text{e} \quad I_L = \frac{N}{\sqrt{3}V_L} = \frac{25 \times 10^3}{\sqrt{3} \times 480} = 30,1 \text{ A}$$

Estando o alternador ligado em triângulo, com a mesma potência aparente, as correntes de linha permanecem em 30,1 A. As correntes nos enrolamentos são  $I_L/\sqrt{3}$ , ou seja,  $I_F = 30,1/\sqrt{3} = 17,35 \text{ A}$ .

- 14.3 Um sistema bifásico com tensão de 150 volts entre linha e neutro alimenta uma carga equilibrada ligada em triângulo, constituída por impedâncias de  $10/\underline{53,1^\circ}$  ohms. Calcular as correntes de linha e a potência total.

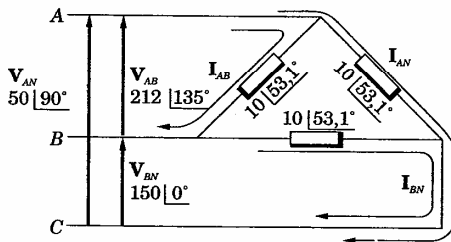


Figura 14-27

No sistema bifásico, as duas tensões entre linha e neutro\* estão defasadas de 90°. Assim, se  $V_{BN}$  é tomada como referência,  $V_{AN}$  está a 90°, como mostra a Fig. 14-27. A tensão entre linhas\* é  $\sqrt{2}$  vezes a tensão entre linha e neutro. Assim,  $V_{AB} = \sqrt{2} (150) = 212$ . As correntes de fase são:

$$I_{AB} = \frac{V_{AB}}{Z} = \frac{212 / \underline{135^\circ}}{10 / \underline{53,1^\circ}} = 21,2 / \underline{81,9^\circ}$$

$$I_{AN} = \frac{V_{AN}}{Z} = \frac{150 / \underline{90^\circ}}{10 / \underline{53,1^\circ}} = 15,0 / \underline{36,9^\circ}$$

\* N. T. Também no sistema bifásico chamamos *tensões de fase* às tensões entre linha e neutro, e *tensão de linha* às tensões entre linhas.

$$I_{BN} = \frac{V_E}{2}$$

As corren ligada em Se admit carga, ter

$$I_A = I_{AN}$$

$$I_B = I_{BN}$$

$$I_N = I_{NA}$$

A potênci carga. As:

$$P_{AB} = I_A^2$$

$$P_{AN} = I_A^2$$

$$P_{BN} = I_B^2$$

F

- 14.4 Um sisterr equilibrad: Determina

Aplicam-é 14-28. As

$$I_{AB} = \frac{V_A}{Z}$$

$$I_{CA} = \frac{V_C}{Z}$$

$$I_{BN} = \frac{V_{BN}}{Z} = \frac{150 \angle 0^\circ}{10 \angle 53,1^\circ} = 15,0 \angle -53,1^\circ$$

As correntes de linha, por aplicação da lei de Kirchhoff aos nós da carga ligada em triângulo, são determinadas em função das correntes de fase. Se admitirmos positivo o sentido dessas correntes dirigindo-se para a carga, temos:

$$I_A = I_{AN} + I_{AB} = 15,0 \angle 36,9^\circ + 21,2 \angle 81,9^\circ = 33,5 \angle 63,4^\circ$$

$$I_B = I_{BN} + I_{BA} = 15,0 \angle -53,1^\circ - 21,2 \angle 81,9^\circ = 33,6 \angle -79,7^\circ$$

$$I_N = I_{NA} + I_{NB}' = -15,0 \angle 36,9^\circ - 15,0 \angle -53,1^\circ = 21,2 \angle 171,86^\circ$$

A potência total é obtida por meio da corrente eficaz nas impedâncias de carga. Assim, temos:

$$P_{AB} = I_{AB}^2 R = (21,2)^2 6 = 2700 \text{ W}$$

$$P_{AN} = I_{AN}^2 R = (15,0)^2 6 = 1350 \text{ W}$$

$$P_{BN} = I_{BN}^2 R = (15,0)^2 6 = 1350 \text{ W}$$

$$\text{Potência total} = 5400 \text{ W}$$

- 14.4** Um sistema trifásico, *ABC*, a três condutores e 100 volts, alimenta uma carga equilibrada, ligada em triângulo, constituída por impedâncias de  $20 \angle 45^\circ$  ohms. Determinar as correntes de linha e traçar o diagrama de fasores.

Aplicam-se as tensões de linha da seqüência *ABC* ao circuito da Fig. 14-28. As correntes de fase são:

$$I_{AB} = \frac{V_{AB}}{Z} = \frac{100 \angle 120^\circ}{20 \angle 45^\circ} = 5,0 \angle 75^\circ, \quad I_{BC} = \frac{V_{BC}}{Z} = 5,0 \angle -45^\circ,$$

$$I_{CA} = \frac{V_{CA}}{Z} = 5,0 \angle 195^\circ$$

o enrolamento.

potência apa-  
correntes nos

neutro alimenta  
impedâncias de  
al.

tro\* estão de-  
 $I_{AN}$  está a  $90^\circ$ ,  
vezes a tensão  
rentes de fase

re linha e neutro,

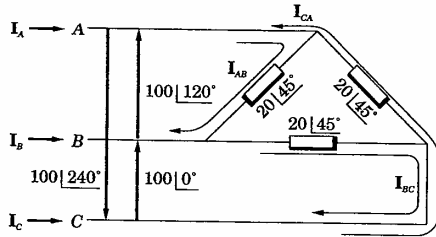


Figura 14-28

Para calcular as correntes de linha aplica-se a lei de Kirchhoff a cada nó da carga. Assim, temos:

$$I_A = I_{AB} + I_{AC} = 5,0/75^\circ - 5,0/195^\circ = 8,66/45^\circ$$

$$I_B = I_{BA} + I_{BC} = -5,0/75^\circ + 5,0/-45^\circ = 8,66/-75^\circ$$

$$I_C = I_{CA} + I_{CB} = 5,0/195^\circ - 5,0/-45^\circ = 8,66/165^\circ$$

A Fig. 14-29 mostra o diagrama de fasores das correntes de fase e de linha.

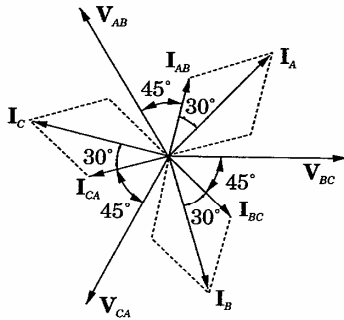


Figura 14-29

14.5 Determinar as leituras dos wattímetros, quando se aplica o método dos dois wattímetros ao circuito do Probl. 14.4.

Sendo a ca

$$W_1 = V_L I_L \cos \phi$$

onde  $\phi$  é o ângulo de fase e  $I_L = 8,66$  A

$$W_1 = 100 \cos 30^\circ$$

$$W_2 = 100 \cos 90^\circ = 0$$

A potência ativa

Como verificação podemos verificar a potência trifásica e

$$P = \sqrt{3} V_L I_L \cos \phi$$

14.6 Três impedâncias  $Z_A, Z_B, Z_C$  trifásicas e traçar o dia

$I_A$

$I_B$

$I_C$

Nos sistemas trifásicos com impedâncias desbalanceadas, a amplitude da tensão de linha é

$$V_{LN} = V_L / \sqrt{3}$$

Sendo a carga trifásica, equilibrada, a três condutores, as leituras são:

$$W_1 = V_L I_L \cos(30^\circ + \phi) \text{ e } W_2 = V_L I_L \cos(30^\circ - \phi) \quad (1)$$

onde  $\phi$  é o ângulo da impedância de carga. Do Probl. 14.4,  $V_L = 100$ ,  $I_L = 8,66$  e o ângulo da impedância de carga é  $45^\circ$ . Substituindo em (1), temos:

$$W_1 = 100 (8,66) \cos(30^\circ + 45^\circ) = 866 \cos 75^\circ = 224 \text{ W}$$

$$W_2 = 100 (8,66) \cos(30^\circ - 45^\circ) = 866 \cos(-15^\circ) = 836 \text{ W}$$

A potência total é, então,  $P_T = W_1 + W_2 = 1060 \text{ W}$ .

Como verificação, podemos calcular a potência total em qualquer carga trifásica equilibrada por:

$$P = \sqrt{3} V_L I_L \cos \phi = \sqrt{3} 100 (8,66) \cos 45^\circ = 1060 \text{ W}$$

- 14.6 Três impedâncias iguais de  $5 \angle -30^\circ$  ohms são ligadas em estrela a um sistema CBA trifásico, a três condutores, 150 volts. Determinar as correntes de linha e traçar o diagrama de fasores.

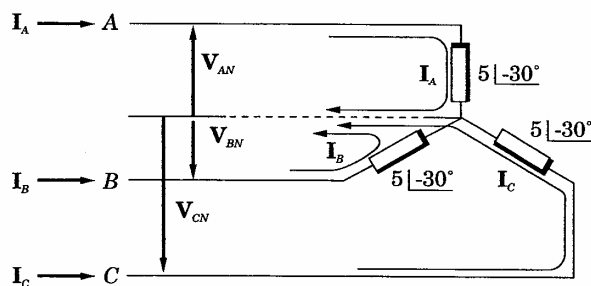


Figura 14-30

Nos sistemas equilibrados, a três condutores, ligados em estrela, podemos acrescentar o condutor neutro, como mostra Fig. 14-30. Em seguida, aplicadas as tensões entre linha e neutro (tensões de fase), de amplitudes:

$$V_{LN} = V_L / \sqrt{3} = 150 / \sqrt{3} = 86,6$$

e seqüência CBA, as correntes de linha são:

$$I_A = \frac{V_{AN}}{Z} = \frac{86,6 \angle -90^\circ}{5 \angle -30^\circ} = 17,32 \angle -60^\circ, \quad I_B = \frac{V_{BN}}{Z} = 17,32 \angle 60^\circ,$$

$$I_C = \frac{V_{CN}}{Z} = 17,32 \angle 180^\circ$$

O diagrama de fasores da Fig. 14-31 mostra o conjunto equilibrado de correntes de linha, avançado de  $30^\circ$  (ângulo da impedância de carga) em relação às tensões de fase.

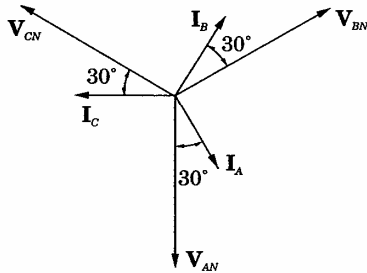


Figura 14-31

- 14.7 Aplicando-se o método dos dois wattímetros ao circuito do Probl. 14.6, determinar as leituras dos wattímetros.

Sendo a carga trifásica, equilibrada,

$$W_1 = V_L I_L \cos(30^\circ + \phi) = 150 (17,32) \cos(30^\circ + 30^\circ) = 1300 \text{ W}$$

$$W_2 = V_L I_L \cos(30^\circ - \phi) = 150 (17,32) \cos(30^\circ - 30^\circ) = 2600 \text{ W}$$

A potência total é  $P_T = W_1 + W_2 = 3900 \text{ W}$

Pela fórmula geral para cargas trifásicas equilibradas, a potência total é:

$$P = \sqrt{3} V_L I_L \cos \phi = \sqrt{3} (150) (17,32) \cos(-30^\circ) = 3900 \text{ W}$$

- 14.8 Três impedâncias iguais de  $15 \angle 30^\circ$  ohms são ligadas em triângulo a um sistema trifásico ABC, 200 volts, três condutores. Determinar as correntes de linha pelo método do circuito equivalente de uma linha.

Como a ca  
minar as i

$$Z_Y = Z_\Delta / 3$$

A amplitu

$$V_{LN} = V_L$$

No circuit

$$115,5 \angle 0^\circ,$$

$$I_L = \frac{V_{LN}}{Z}$$

Para dete  
primeiro  
e neutro,

$$I_A = 23,1 \angle$$

e  $I_C = 23,$

Na ligaçã  
com as co

O ângulo  
= $13,3 \angle 90^\circ$ .

- 14.9 Três impe  
dâncias ig  
mesmo si:

Como a carga é dada em triângulo, devemos, em primeiro lugar, determinar as impedâncias da carga em estrela equivalente:

$$Z_Y = Z_{\Delta}/3 = 15 \angle 30^{\circ}/3 = 5 \angle 30^{\circ}$$

A amplitude da tensão de fase é:

$$V_{LN} = V_L/\sqrt{3} = 200/\sqrt{3} = 115,5$$

No circuito equivalente de uma linha da Fig. 14-32, aplicando-se a tensão  $115,5 \angle 0^{\circ}$ , a corrente resultante é:

$$I_L = \frac{V_{LN}}{Z} = \frac{115,5 \angle 0^{\circ}}{5 \angle 30^{\circ}} = 23,1 \angle -30^{\circ}$$

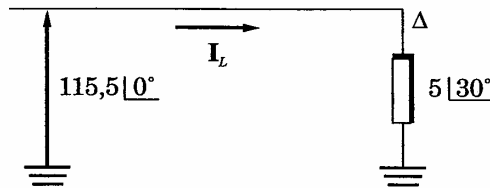


Figura 14-32

Para determinar as correntes de linha  $I_A$ ,  $I_B$  e  $I_C$  devemos determinar, em primeiro lugar, o ângulo de fase das tensões correspondentes entre linha e neutro, na seqüência ABC. Como  $V_{AN}$  tem ângulo de fase de  $90^{\circ}$ ,  $I_A = 23,1 \angle 90^{\circ} - 30^{\circ} = 23,1 \angle 60^{\circ}$ . Do mesmo modo, determina-se  $I_B = 23,1 \angle -60^{\circ}$  e  $I_C = 23,1 \angle 180^{\circ}$ .

Na ligação em triângulo as correntes nas impedâncias estão relacionadas com as correntes de linha por  $I_L = \sqrt{3} I_F$ , donde  $I_F = 23,1/\sqrt{3} = 13,3$ .

O ângulo de  $V_{AB}$  na seqüência ABC é  $120^{\circ}$ ; assim,  $I_{AB} = 13,3 \angle 120^{\circ} - 30^{\circ} = 13,3 \angle 90^{\circ}$ . Do mesmo modo, conclui-se que  $I_{BC} = 13,3 \angle -30^{\circ}$  e  $I_{CA} = 13,3 \angle 210^{\circ}$ .

- 14.9 Três impedâncias iguais de  $10 \angle 30^{\circ}$  ohms, ligadas em estrela, e três impedâncias iguais de  $15 \angle 0^{\circ}$  ohms, também ligadas em estrela, são ligadas a um mesmo sistema trifásico a três condutores, 250 volts. Calcular a potência total.

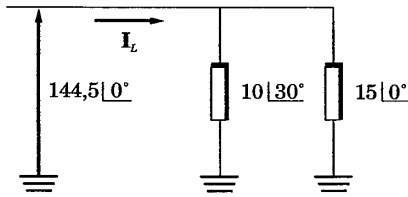


Figura 14-33

Já que ambas as cargas estão em estrela, suas impedâncias podem ser representadas, diretamente, no circuito equivalente de uma linha, como mostra a Fig. 14-33. A tensão aplicada no circuito equivalente de uma linha é:

$$V_{LN} = V_L / \sqrt{3} = 250 / \sqrt{3} = 144,5$$

A corrente é, então:

$$I_L = \frac{144,5 \angle 0^\circ}{10 \angle 30^\circ} + \frac{144,5 \angle 0^\circ}{15 \angle 0^\circ}$$

$$= 14,45 \angle -30^\circ + 9,62 \angle 0^\circ = 23,2 \angle -18,1^\circ$$

Na fórmula da potência,  $P = \sqrt{3} V_L I_L \cos \phi$ , o ângulo da impedância de carga quando há apenas uma carga é  $\phi$ . Com várias cargas no mesmo sistema,  $\phi$  é o ângulo da impedância equivalente. No cálculo da corrente  $I_L$  foram consideradas ambas as cargas e verificou-se que a corrente estava atrasada de  $18,1^\circ$  em relação à tensão. Assim, sabemos que a impedância equivalente é indutiva e tem ângulo de  $18,1^\circ$ . Portanto,

$$P = \sqrt{3} V_L I_L \cos \phi = \sqrt{3} (250) (23,2) \cos 18,1^\circ = 9530 \text{ W}$$

- 14.10** Três impedâncias iguais de  $12 \angle 30^\circ$  ohms, ligadas em triângulo, e outras três, também iguais, e de  $5 \angle 45^\circ$  ohms, ligadas em estrela, são alimentadas por um mesmo sistema trifásico ABC a três condutores, 208 volts. Calcular as correntes de linha e a potência total.

Como a primeira carga está em triângulo, determinamos, primeiro, a estrela equivalente:

$$Z_Y = Z_\Delta / 3 = 12 \angle 30^\circ / 3 = 4 \angle 30^\circ$$

Sendo a te

A Fig. 14-33  
dâncias de  
única equi

$$Z_{eq} = \frac{4 \angle 30^\circ}{3}$$

A corrente

$$I_L = \frac{V_{LN}}{Z_{eq}}$$

Na seqüência  
tanto,  $I_A$   
minam-se

A potênci

$$P = \sqrt{3} V_L I_L \cos \phi$$

- 14.11** Um sistema trifásico em triângulo com impedâncias iguais. Determinar as correntes de linha e a potência total.

$$I_{AB} = \frac{V_L}{Z_\Delta}$$

$$I_{BC} = \frac{V_L}{Z_\Delta}$$

Sendo a tensão de linha 208 volts, a tensão de fase é  $208/\sqrt{3}$  ou 120 volts.

A Fig. 14-34 mostra o circuito equivalente de uma linha. As duas impedâncias de carga são  $4/30^\circ$  e  $5/45^\circ$  ohms e podem ser substituídas por uma única equivalente:

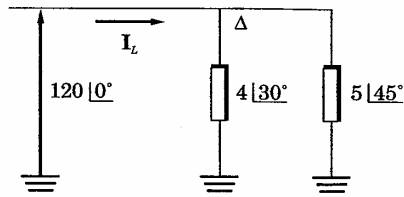


Figura 14-34

$$Z_{eq} = \frac{4/30^\circ (5/45^\circ)}{4/30^\circ + 5/45^\circ} = 2,24 / 36,6^\circ$$

A corrente é, então:

$$I_L = \frac{V_{LN}}{Z_{eq}} = \frac{120 / 0^\circ}{2,24 / 36,6^\circ} = 53,6 / -36,6^\circ$$

Na seqüência *ABC*, a tensão  $V_{AN}$  tem ângulo de fase de  $90^\circ$ ; portanto,  $I_A = 53,6 / (90^\circ - 36,6^\circ) = 53,6 / 53,4^\circ$ . Da mesma forma determinam-se  $I_B = 53,6 / -66,6^\circ$  e  $I_C = 53,6 / -186,6^\circ$ .

A potência total é:

$$P = \sqrt{3} V_L I_L \cos \phi = \sqrt{3} (208) (53,6) \cos 36,6^\circ = 15500 \text{ W}$$

- 14.11 Um sistema trifásico *CBA* a três condutores, 240 volts, alimenta uma carga em triângulo constituída por  $Z_{AB} = 25/90^\circ$ ,  $Z_{BC} = 15/30^\circ$  e  $Z_{CA} = 20/0^\circ$  ohms. Determinar as correntes de linha e a potência total.

$$I_{AB} = \frac{V_{AB}}{Z_{AB}} = \frac{240 / 240^\circ}{25 / 90^\circ} = 9,6 / 150^\circ$$

$$I_{BC} = \frac{V_{BC}}{Z_{BC}} = \frac{240 / 0^\circ}{15 / 30^\circ} = 16,0 / -30^\circ$$

$$I_{CA} = \frac{V_{CA}}{Z_{CA}} = \frac{240 \angle 120^\circ}{20 \angle 0^\circ} = 12,0 \angle 120^\circ$$

No circuito da Fig. 14.35, as tensões de linha da seqüência CBA são aplicadas à carga em triângulo. O diagrama mostra as correntes de fase escolhidas. Então:

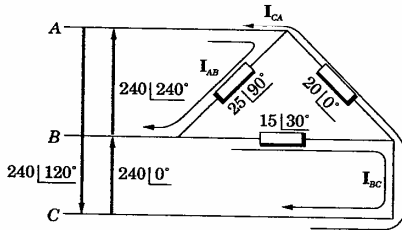


Figura 14-35

Calculam-se, então, as correntes de linha em função das correntes de fase.

$$I_A = I_{AB} + I_{AC} = 9,6 \angle 150^\circ - 12 \angle 120^\circ = 6,06 \angle 247,7^\circ$$

$$I_B = I_{BA} + I_{BC} = -9,6 \angle 150^\circ + 16 \angle -30^\circ = 25,6 \angle -30^\circ$$

$$I_C = I_{CA} + I_{CB} = 12 \angle 120^\circ - 16 \angle -30^\circ = 27,1 \angle 137,2^\circ$$

Como era de esperar, por ser a carga desequilibrada, as correntes de linha são desiguais.

Cálculo da potência em cada fase:

Impedância  $Z_{AB} = 25 \angle 90^\circ = 0 + j25$  ohms,  $R_{AB} = 0$  e  $I_{AB} = 9,6$  A. Então,  $P_{AB} = I_{AB}^2 R_{AB} = (9,6)^2(0) = 0$

Impedância  $Z_{BC} = 15 \angle 30^\circ = 13 + j7,5$  ohms,  $R_{BC} = 13$  ohms e  $I_{BC} = 16$  A. Então,  $P_{BC} = I_{BC}^2 R_{BC} = (16)^2(13) = 3330$  W

Impedância  $Z_{CA} = 20 \angle 0^\circ = 20 + j0$  ohms,  $R_{CA} = 20$  ohms e  $I_{CA} = 12$  A. Então,  $P_{CA} = I_{CA}^2 R_{CA} = (12)^2(20) = 2880$  W

A potência total é a soma das potências nas três fases, ou seja:

$$P_T = P_{AB} + P_{BC} + P_{CA}$$

14.12 Determinar wattímetros  $B$ ,  $(b)$  nas li

(a) Com os

$$(1) W_A =$$

Do Probl. 14.11, a potência total é o ângulo

$$W_A = 2400$$

Ainda do Probl. 14.11, substituindo

$$W_B = 2400$$

A potência

(b) Com os

$$(3) W_A =$$

Do Probl. 14.11, substituindo em

$$W_A = 2400$$

Também  $V$  em (4):

$$W_C = 2400$$

A potência

14.13 Um sistema em estrela, correntes de

$$P_T = P_{AB} + P_{BC} + P_{CA} = 0 + 3330 + 2880 = 6210 \text{ W}$$

- 14.12** Determinar as leituras dos wattímetros, ao se empregar o método dos dois wattímetros no circuito do Probl. 14.11, estando os medidores (a) nas linhas A e B, (b) nas linhas A e C.

(a) Com os wattímetros nas linhas A e B,

$$(1) W_A = V_{AC} I_A \cos \varphi_A^{AC} \quad (2) W_B = V_{BC} I_B \cos \varphi_B^{BC}$$

Do Probl. 14.11,  $V_{AC} = 240/\underline{-60^\circ}$  e  $I_A = 6,06/\underline{247,7^\circ}$ . Então, o ângulo  $\varphi_{AC/A}$  é o ângulo entre  $247,7^\circ$  e  $-60^\circ$ , ou  $52,3^\circ$ . Substituindo em (1):

$$W_A = 240(6,06) \cos 52,3^\circ = 890 \text{ W}$$

Ainda do Probl. 14.11,  $V_{BC} = 240/\underline{0^\circ}$  e  $I_B = 25,6/\underline{-30^\circ}$ . Então,  $\varphi = 30^\circ$ ; substituindo em (2):

$$W_B = 240(25,6) \cos 30^\circ = 5320 \text{ W}$$

A potência total  $P_T = W_A + W_B = 890 + 5320 = 6210 \text{ W}$

(b) Com os wattímetros nas linhas A e C,

$$(3) W_A = V_{AB} I_A \cos \varphi_A^{AB} \quad (4) W_C = V_{CB} I_C \cos \varphi_C^{CB}$$

Do Probl. 14.11,  $V_{AB} = 240/\underline{240^\circ}$ . Como  $I_A = 6,06/\underline{247,7^\circ}$ ,  $\varphi = 7,7^\circ$ . Substituindo em (3):

$$W_A = 240(6,06) \cos 7,7^\circ = 1440 \text{ W}$$

Também  $V_{CB} = 240/\underline{180^\circ}$  e  $I_C = 27,1/\underline{137,2^\circ}$ , donde  $\varphi = 42,8^\circ$ . Substituindo em (4):

$$W_C = 240(27,1) \cos 42,8^\circ = 4770 \text{ W}$$

A potência total  $P_T = W_A + W_C = 1440 + 4770 = 6210 \text{ W}$ .

- 14.13** Um sistema ABC trifásico a quatro condutores, 208 volts, alimenta uma carga em estrela, onde  $Z_A = 10/\underline{0^\circ}$ ,  $Z_B = 15/\underline{30^\circ}$  e  $Z_C = 10/\underline{-30^\circ}$  ohms. Determinar as correntes de linha, a corrente do neutro e a potência total.

ência CBA são  
rentes de fase

is correntes de

rentes de linha

= 9,6 A. Então,

is e  $I_{BC} = 16 \text{ A}$ .

s e  $I_{CA} = 12 \text{ A}$ .

seja:

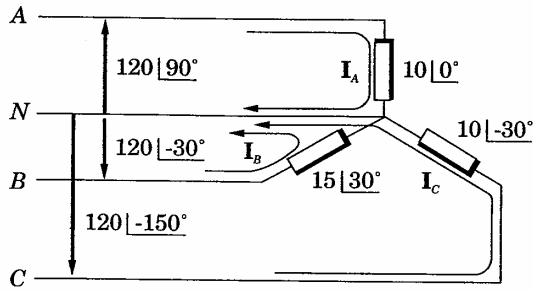


Figura 14-36

No circuito da Fig. 14-36, aplicam-se as tensões entre linha e neutro na seqüência ABC e calculam-se as correntes de linha, supondo positivo o sentido que se dirige para a carga.

$$I_A = V_{AN}/Z_A = (120/90^\circ)/(10/0^\circ) = 12/90^\circ$$

$$I_B = V_{BN}/Z_B = (120/-30^\circ)/(15/30^\circ) = 8/-60^\circ$$

$$I_C = V_{CN}/Z_C = (120/-150^\circ)/(10/-30^\circ) = 12/-120^\circ$$

O condutor neutro contém o fasor soma das correntes de linha. Sendo positivo o sentido que se dirige para a carga, temos:

$$I_N = -(I_A + I_B + I_C) = -(12/90^\circ + 8/-60^\circ + 12/-120^\circ) = 5,69/69,4^\circ$$

A corrente  $I_A = 12/90^\circ$  ampères circula na impedância  $Z_A = 10 + j0$  ohms; a potência nessa fase da carga é  $P_A = (12)^2 10 = 1440$  W.  $I_B = 8/-60^\circ$  ampères circula em  $Z_B = 15/30^\circ = 13 + j7,5$  ohms; a potência nessa fase é  $P_B = (8)^2 13 = 832$  W. Assim, também,  $I_C = 12/-120^\circ$  circula em  $Z_C = 10/-30^\circ = 8,66 - j5$  ohms e  $P_C = (12)^2 8,66 = 1247$  W.

A potência total é:

$$P_T = P_A + P_B + P_C = 1440 + 832 + 1247 = 3519 \text{ W.}$$

14.14 As impedâncias de carga do Probl. 14.13 são ligadas a um sistema trifásico ABC, a três condutores e 208 volts. Determinar as correntes de linha e as tensões nas impedâncias de carga.

O circuito  
Escolhida  
matricial

$$\begin{bmatrix} 10 \angle 0^\circ + \\ -15 \angle \end{bmatrix}$$

onde:

$$I_1 = \frac{521}{367},$$

$$I_2 = \frac{3730}{367}.$$

Partindo  
correntes

$$I_A = I_1 = 1$$

$$I_B = I_2 - I_1$$

$$I_C = -I_2 =$$

As tensões

$$V_{AO} = I_A Z$$

$$V_{BO} = I_B Z$$

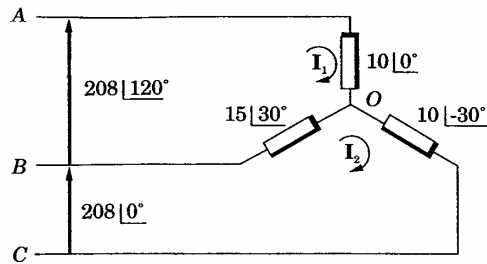


Figura 14-37

O circuito da Fig. 14-37 mostra as duas tensões de linha  $V_{AB}$  e  $V_{BC}$ . Escolhidas as correntes de malha  $I_1$  e  $I_2$ , como mostra a figura, a forma matricial das equações respectivas fica:

$$\begin{bmatrix} 10 \angle 0^\circ + 15 \angle 30^\circ & -15 \angle 30^\circ \\ -15 \angle 30^\circ & 15 \angle 30^\circ + 10 \angle -30^\circ \end{bmatrix} \begin{bmatrix} I_1 \\ I_2 \end{bmatrix} = \begin{bmatrix} 208 \angle 120^\circ \\ 208 \angle 0^\circ \end{bmatrix}$$

onde:

$$I_1 = \frac{5210 \angle 90^\circ}{367,5 \angle 3,9^\circ} = 14,15 \angle 86,1^\circ$$

$$I_2 = \frac{3730 \angle 56,6^\circ}{367,5 \angle 3,9^\circ} = 10,15 \angle 52,7^\circ$$

Partindo de  $I_1$  e  $I_2$  e com o sentido positivo dirigindo-se para a carga, as correntes de linha são:

$$I_A = I_1 = 14,15 \angle 86,1^\circ$$

$$I_B = I_2 - I_1 = 10,15 \angle 52,7^\circ - 14,15 \angle 86,1^\circ = 8,0 \angle -49,5^\circ$$

$$I_C = -I_2 = 10,15 \angle (52,7^\circ - 180^\circ) = 10,15 \angle -127,3^\circ$$

As tensões nas impedâncias de carga são, então:

$$V_{AO} = I_A Z_A = 14,15 \angle 86,1^\circ (10 \angle 0^\circ) = 141,5 \angle 86,1^\circ$$

$$V_{BO} = I_B Z_B = 8,0 \angle -49,5^\circ (15 \angle 30^\circ) = 120 \angle -19,5^\circ$$

$$V_{CO} = I_C Z_C = 10,15 / -127,3^\circ (10 / -30^\circ) = 101,5 / -157,3^\circ = 101,5 / 202,7^\circ$$

Representadas essas três tensões, obtém-se o triângulo da seqüência ABC, unindo-se as extremidades dos fasores por meio de linhas e retas. A Fig. 14-38 mostra como se pode acrescentar o ponto N.

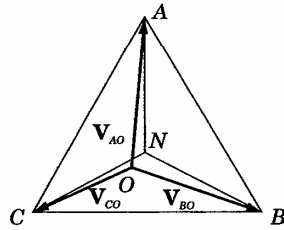


Figura 14-38

14.15 Repetir a solução do Probl. 14.14 empregando o método do deslocamento do neutro.

No método do deslocamento do neutro a tensão  $V_{ON}$  é calculada pela fórmula:

$$V_{ON} = \frac{V_{AN}Y_A + V_{BN}Y_B + V_{CN}Y_C}{Y_A + Y_B + Y_C}$$

Do Probl. 14.14,  $Y_A = 1/10 = 0,1$ ,  $Y_B = 1/(15/30^\circ) = 0,0577 - j0,033$  e  $Y_C = 1/(10/-30^\circ) = 0,0866 + j0,050$ . Então,

$$Y_A + Y_B + Y_C = 0,244 + j0,0167 = 0,244 / 3,93^\circ$$

$$e \quad V_{AN}Y_A = 120/90^\circ (0,1) = 12/90^\circ = j12$$

$$V_{BN}Y_B = 120/-30^\circ (0,0667/-30^\circ) = 8,0/-60^\circ = 4,0 - j6,93$$

$$V_{NC}Y_C = 120/-150^\circ (0,1/30^\circ) = 12/-120^\circ = -6,0 - j10,4$$

$$V_{AN}Y_A + V_{BN}Y_B + V_{NC}Y_C = -2,0 - j5,33 = 5,69 / 249,4^\circ$$

Portanto:  $V_{ON} =$

As tensões de seqüência são calculadas a partir de  $V_{ON}$ .

$$V_{AO} = V_{AN}$$

$$V_{BO} = V_{BN}$$

$$V_{CO} = V_{CN}$$

Para obter as tensões de seqüência pelas respectivas correntes:

$$I_A = V_{AO} Y_A$$

$$I_B = V_{BO} Y_B$$

$$I_C = V_{CO} Y_C$$

Os resultados são os seguintes:

14.16 Empregar as leituras obtidas no triângulo de seqüência para calcular a potência ativa e reativa.

Para a carga

$$\text{tg } \phi = \sqrt{3}$$

onde  $\phi =$  seqüência

A potência

$$I_L = \frac{1}{\sqrt{3}}$$

Portanto:  $V_{ON} = (5,69/249,4^\circ)/(0,244/3,93^\circ) = 23,3/245,5^\circ = -9,66 - j21,2$

As tensões nas impedâncias de carga podem ser expressas em função das tensões correspondentes entre linha e neutro e da tensão de deslocamento do neutro. Assim,

$$V_{AO} = V_{AN} + V_{NO} = 120/90^\circ + (9,66 + j21,2) = 141,2/86,08^\circ$$

$$V_{BO} = V_{BN} + V_{NO} = 120/-30^\circ + (9,66 + j21,2) = 120/-18,9^\circ$$

$$V_{CO} = V_{CN} + V_{NO} = 120/-150^\circ + (9,66 + j21,2) = 102/202,4^\circ$$

Para obter as correntes de linha, tomam-se os produtos dessas tensões pelas respectivas admitâncias

$$I_A = V_{AO} Y_A = 141,2/86,08^\circ (0,1/0^\circ) = 14,12/86,08^\circ$$

$$I_B = V_{BO} Y_B = 120/-18,9^\circ (0,0667/-30^\circ) = 8,0/-48,9^\circ$$

$$I_C = V_{CO} Y_C = 102/202,4^\circ (0,1/30^\circ) = 10,2/232,4^\circ \text{ ou } 10,2/-127,6^\circ$$

Os resultados acima são bastante próximos dos resultados obtidos no problema anterior.

- 14.16 Empregando-se o método dos dois wattímetros em uma carga equilibrada, as leituras obtidas são 1154 e 577 watts. Determinar as impedâncias da carga em triângulo, supondo de 100 volts a tensão do sistema.

Para cargas trifásicas equilibradas, temos:

$$\operatorname{tg} \phi = \sqrt{3} \frac{W_1 - W_2}{W_1 + W_2} = \pm \sqrt{3} \frac{1154 - 577}{1154 + 577} = \pm 0,577$$

donde  $\phi = \pm 30^\circ$ . (Usamos o duplo sinal, porque, sem que se conheçam a seqüência e a localização dos medidores, o sinal fica indeterminado.)

A potência total  $P = \sqrt{3} V_L I_L \cos \phi$  e

$$I_L = \frac{P}{\sqrt{3} V_L \cos \phi} = \frac{1,731}{\sqrt{3} (100) (0,866)} = 11,55 \text{ ampères}$$

1,5/202,7°

da seqüência  
nhas e retas. A

eslocamento do

calculada pela

-j0,033 e  $Y_C =$

93

4

249,4°

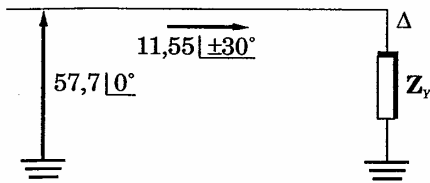


Figura 14-39

A Fig. 14-39 mostra o circuito equivalente de uma linha, onde está aplicada a tensão  $100/\sqrt{3} \angle 0^\circ = 57,7 \angle 0^\circ$ . A impedância da carga em estrela é:

$$Z_Y = \frac{V}{I} = \frac{57,7 \angle 0^\circ}{11,55 \angle \pm 30^\circ} = 5,0 \angle \pm 30^\circ$$

e

$$Z_\Delta = 3Z_Y = 15 \angle \pm 30^\circ$$

- 14.17 Aplicando-se o método dos dois wattímetros a um sistema trifásico a três condutores, 100 volts, seqüência ABC, tem-se  $W_B = 836$  watts e  $W_C = 224$  watts, estando os medidores nas linhas B e C. Determinar as impedâncias da carga em triângulo.

Sendo dadas a seqüência e a localização dos medidores, fica definido o sinal de  $\phi$ . Assim, temos:

$$\operatorname{tg} \phi = \sqrt{3} \frac{W_B - W_C}{W_B + W_C} = \sqrt{3} \frac{836 - 224}{836 + 224} = 1 \text{ ou } \phi = 45^\circ$$

Como

$$P = \sqrt{3} V_L I_L \cos \phi, I_L = \frac{P}{\sqrt{3} V_L \cos \phi} = \frac{1060}{\sqrt{3} (100)(0,707)} = 8,66.$$

A tensão no circuito equivalente de uma linha vem, pois, a ser  $57,7 \angle 0^\circ$  e a impedância da estrela  $Z_Y = V/I = (57,7 \angle 0^\circ)/(8,66 \angle -45^\circ) = 6,67 \angle 45^\circ$ . A impedância pedida do triângulo é  $Z_\Delta = 3Z_Y = 20 \angle 45^\circ$ .

- 14.18 Uma unidade e um motor alimentados minar a amp

Sendo 1 H entrada de

O motor é

$$P = \sqrt{3} V_L$$

$$4662 = \sqrt{3}$$

No circuito em relação é, então  $I_L$

Para a ca tuindo: 15

A corrente de aqueci

$$I_L = 15,25$$

\* N. T. No Brasil 63.233 de 12/9 volvida quando do, valendo 73!

- 14.18 Uma unidade trifásica de aquecimento de 1500 watts, fator de potência unitário e um motor de indução de 5 HP\*, rendimento 80% e fator de potência 0,85, são alimentados pelo mesmo sistema trifásico a três condutores, 208 volts. Determinar a amplitude da corrente de linha para regime normal do motor de indução.

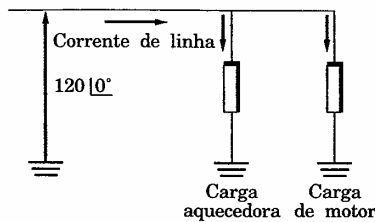


Figura 14-40

Sendo 1 HP = 746 watts\*, a saída do motor é  $746 \times 5 = 3730$  watts. A entrada do motor é, então,  $3730/0,80 = 4662$  watts.

O motor é uma carga trifásica equilibrada. Então, temos:

$$P = \sqrt{3} V_L I_L \cos \phi; \text{ donde:}$$

$$4662 = \sqrt{3} (208 I_L) (0,85); I_L = 15,25 \text{ ampères}$$

No circuito equivalente de uma linha o fasor corrente está atrasado de  $\phi$  em relação à tensão;  $\phi = \arccos 0,85 = 31,7^\circ$ . A corrente de linha do motor é, então  $I_L = 15,25 / -31,7^\circ$ .

Para a carga de aquecimento,  $P = \sqrt{3} V_L I_L \cos \phi$ , onde  $\phi = 0^\circ$ . Substituindo:  $1500 = \sqrt{3} (208) I_L$ ,  $I_L = 4,16$  e  $I_L = 4,16 / 0^\circ$ .

A corrente total de linha é o fasor soma das correntes do motor e da carga de aquecimento:

$$I_L = 15,25 / -31,7^\circ + 4,16 / 0^\circ = 18,9 / -25,1^\circ$$

\* N. T. No Brasil, segundo o Quadro Geral das Unidades de Medida aprovado pelo Decreto nº 63.233 de 12/9/1968, a unidade de potência é o cavalo-vapor (cv), que é a potência desenvolvida quando se produz um trabalho igual a 75 quilogramas-força-metros em cada segundo, valendo 735,5 W, arredondados para 736 W.

A corrente em cada linha será, então, 18,9 ampères, em regime normal do motor.

14.19 Três impedâncias iguais de  $30\angle 30^\circ$  ohms são ligadas em triângulo a um sistema trifásico a três condutores, 208 volts, por condutores cujas impedâncias são  $0,8 + j0,6$ . Determinar a amplitude da tensão de linha na carga.

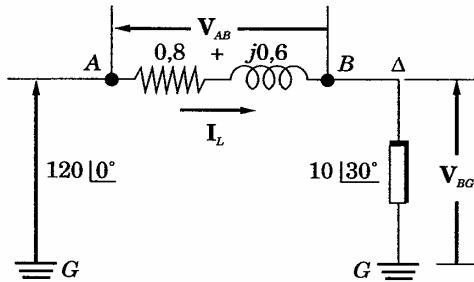


Figura 14-41

A Fig. 14-41 mostra o circuito com a impedância equivalente em estrela igual a  $1/3 Z_\Delta$  ou  $10\angle 30^\circ$  ohms. A impedância da linha está em série com a carga e, portanto:

$$Z_{ez} = Z_{linha} + Z_{carga} = 0,8 + j0,6 + 8,66 + j5,0 = 9,46 + j5,6 = 11,0 \angle 30,6^\circ$$

Então, temos: 
$$I_L = \frac{Z}{Z_{eq}} = \frac{120 \angle 0^\circ}{11,0 \angle 30,6^\circ} = 10,9 \angle -30,6^\circ$$

A tensão na carga é  $V_{BG} = I_L Z_{carga} = 10,9 \angle -30,6^\circ (10\angle 30^\circ) = 109 \angle -0,6^\circ$ .

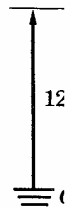
A tensão de linha pedida é:

$$V_L = \sqrt{3} (109) = 189$$

Assim, a tensão de 208 volts do sistema caiu para 189 volts na carga, devido à impedância das linhas.

A Fig. 14-42 mostra o diagrama de fasores com a queda na linha  $V_{AB} = I_L Z_{linha} = (10,9 \angle -30,6^\circ) \times (0,8 + j0,6) = 10,9 \angle 6,3^\circ$  e  $V_{AG} = V_{AB} + V_{BG}$ .

14.20 Determinar paralelo cor



No circuito carga  $10\angle 30^\circ$

$$Z_P = \frac{10}{8,66}$$

Assim,  $Z_P$

$$Z_{eq} = Z_{linl}$$

A corrente

$$I_L = \frac{V}{Z_{eq}}$$

e a tensão

$$V_{BG} = I_L Z_L$$

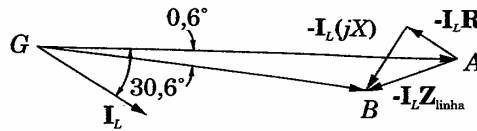


Figura 14-42

14.20 Determinar a tensão de linha, na carga do Probl. 14.19, depois de se ligar em paralelo com essa carga um conjunto de capacitores de reatância  $-j20$ .

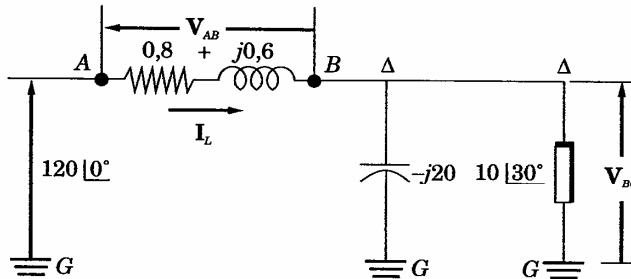


Figura 14-43

No circuito equivalente de uma linha da Fig. 14-43, a reatância  $-j20$  e a carga  $10/30^\circ$  estão em paralelo e, portanto:

$$Z_P = \frac{10/30^\circ (-j20)}{(8,66 + j5) - j20} = 11,55/0^\circ$$

Assim,  $Z_P$  está em série com as impedâncias de linha, de modo que:

$$Z_{eq} = Z_{linha} + Z_P = (0,8 + j0,6) + (11,55/0^\circ) = 12,35/2,78^\circ$$

A corrente de linha é:

$$I_L = \frac{V}{Z_{eq}} = \frac{120/0^\circ}{12,35/2,78^\circ} = 9,73/-2,78^\circ$$

e a tensão na carga é:

$$V_{BG} = I_L Z_P = (9,73/-2,78^\circ) (11,55/0^\circ) = 112/-2,78^\circ$$

gime normal do  
ilo a um sistema  
mpedâncias são

nte em estrela  
em série com a

$$i = 11,0/30,6^\circ$$

$$109/-0,6^\circ$$

volts na carga,

teda na linha

$$V_G = V_{AB} + V_{BG}$$

A tensão de linha correspondente é  $V_L = \sqrt{3} (112) = 194$  volts.

Conforme foi mostrado no Capítulo 7, o fator de potência fica melhorado quando se acrescentam capacitores em paralelo com a carga. Isso acarreta uma redução na queda de tensão na linha. Assim, neste problema a tensão de 208 volts do sistema caiu para 194 volts e não para 189 volts, como no Probl. 14.19.

### Problemas Propostos

- 14.21** Três impedâncias iguais de  $10/53,1^\circ$  ohms são ligadas em triângulo a um sistema CBA trifásico, a três condutores, 240 volts. Calcular as correntes de linha.  
*Resp.*:  $41,6/-143,1^\circ$ ;  $41,6/-23,1^\circ$  e  $41,6/96,9^\circ$ .
- 14.22** Três impedâncias de  $15,9/70^\circ$  ohms são ligadas em triângulo a um sistema CBA trifásico, a três condutores, 100 volts. Determinar as correntes de linha e a potência total.  
*Resp.*:  $10,9/-160^\circ$ ;  $10,9/-40^\circ$ ;  $10,9/80^\circ$ ; 646 watts.
- 14.23** Três impedâncias de  $42/-35^\circ$  ohms são ligadas em triângulo a um sistema ABC trifásico, a três condutores, 350 volts. Determinar as correntes de linha e a potência total.  
*Resp.*:  $14,4/125^\circ$ ;  $14,4/5^\circ$ ;  $14,4/-115^\circ$ ; 7130 watts.
- 14.24** Uma carga equilibrada em estrela com impedância de  $6/45^\circ$  ohms é ligada a um sistema CBA trifásico, a quatro condutores, 208 volts. Determinar as correntes de linha, incluindo o neutro.  
*Resp.*:  $20/-135^\circ$ ;  $20/-15^\circ$ ;  $20/105^\circ$ ; 0.
- 14.25** Uma carga equilibrada em estrela com impedâncias de  $65/-20^\circ$  ohms é ligada a um sistema CBA trifásico a três condutores, 480 volts. Determinar as correntes de linha e a potência total.  
*Resp.*:  $4,26/-70^\circ$ ;  $4,26/50^\circ$ ;  $4,26/170^\circ$ ; 3320 watts.
- 14.26** Um motor de indução de 50 HP com rendimento de 85%, a plena carga, e fator de potência de 0,80 é ligado a um sistema trifásico de 480 volts. Determinar as impedâncias da estrela equivalente que pode substituí-lo.  
*Resp.*:  $4,2/36,9^\circ$ .
- 14.27** Um motor de indução trifásico de 25 HP, com rendimento de 82%, a plena carga, e fator de potência de 0,75 é ligado a um sistema de 208 volts. Determinar as impedâncias do triângulo equivalente que pode substituí-lo e achar as leituras obtidas pelo  
*Resp.*: 4,28
- 14.28** Três impec  $5/45^\circ$  ohms: condutores total.  
*Resp.*: 119.
- 14.29** Uma carga carga equil um sistema de linha e ;  
*Resp.*: 25,;
- 14.30** Um sistem com impec impedânci: tude da co  
*Resp.*: 240
- 14.31** Duas carg ohms, resp a potência  
*Resp.*: 169
- 14.32** Um sisterr equilibrad: ligadas er três impec da imped quando se  
*Resp.*: 18,
- 14.33** As leitura: 120 volts da carga ;  
*Resp.*: 16
- 14.34** As leitura: 173,2 volt cias da c;  
*Resp.*: 10

obtidas pelo método dos dois wattímetros.

*Resp.*:  $4,28/41,4^\circ$ ; 5,58 kW; 17,15 kW.

- 14.28** Três impedâncias iguais de  $9/-30^\circ$  ohms em triângulo e três impedâncias de  $5/45^\circ$  ohms, em estrela, são ligadas ao mesmo sistema *ABC* trifásico, a três condutores, 480 volts. Determinar a amplitude da corrente de linha e a potência total.

*Resp.*: 119,2 A; 99 kW.

- 14.29** Uma carga equilibrada em triângulo com impedâncias de  $27/-25^\circ$  ohms e uma carga equilibrada em estrela, com impedâncias de  $10/-30^\circ$  ohms, são ligadas a um sistema *ABC* trifásico, a três condutores, 208 volts. Determinar as correntes de linha e a potência em cada carga.

*Resp.*:  $25,3/117,4^\circ$ ;  $25,3/-2,6^\circ$ ;  $25,3/-122,6^\circ$ ; 4340 W e 3740W.

- 14.30** Um sistema trifásico a 100 volts alimenta uma carga equilibrada em triângulo com impedâncias de  $10/-36,9^\circ$  ohms e uma carga equilibrada em estrela, com impedâncias de  $5/53,1^\circ$  ohms. Determinar a potência em cada carga e a amplitude da corrente de linha total.

*Resp.*: 2400 W; 1200 W; 20,8 A.

- 14.31** Duas cargas equilibradas em triângulo, com impedâncias de  $20/-60^\circ$  e  $18/45^\circ$  ohms, respectivamente, são ligadas a um sistema trifásico de 150 volts. Calcular a potência em cada carga.

*Resp.*: 1690 W; 2650 W.

- 14.32** Um sistema *CBA* trifásico, a três condutores, 173,2 volts, alimenta três cargas equilibradas, constituídas como se segue: três impedâncias de  $10/0^\circ$  ohms, ligadas em estrela, três impedâncias de  $24/90^\circ$  ohms, ligadas em triângulo, e três impedâncias iguais desconhecidas, ligadas em triângulo. Determinar o valor da impedância desconhecida, sabendo que a corrente na linha A, positiva quando se dirige para a carga, é igual a  $32,7/-138,1^\circ$  ampères.

*Resp.*:  $18/45^\circ$ .

- 14.33** As leituras dos wattímetros colocados nas linhas A e B de um sistema *CBA* de 120 volts são, respectivamente, 1500 e 500 watts. Determinar as impedâncias da carga equilibrada ligada em triângulo.

*Resp.*:  $16,3/-41^\circ$ .

- 14.34** As leituras dos wattímetros colocados nas linhas A e B de um sistema *ABC* de 173,2 volts são, respectivamente, -301 e + 1327 watts. Determinar as impedâncias da carga equilibrada, ligada em estrela.

*Resp.*:  $10/-70^\circ$ .

- 14.35** Determinar as leituras de dois wattímetros usados num sistema trifásico de 240 volts sendo de  $20/80^\circ$  ohms a carga equilibrada, ligada em triângulo.  
*Resp.:* -1710 watts; 3210 watts.
- 14.36** Em um sistema CBA, trifásico, de 173,2 volts, que alimenta uma carga equilibrada, os wattímetros estão ligados às linhas B e C. Sendo  $I_A = 32,7/-41,9^\circ$  ampères a corrente de linha, determinar as leituras dos wattímetros.  
*Resp.:* 1170 watts; 5370 watts.
- 14.37** Um sistema CBA de 100 volts alimenta uma carga equilibrada e possui wattímetros ligados às linhas A e B. Determinar as leituras dos mesmos, sabendo que a corrente na linha B é  $I_B = 10,9/-40^\circ$  ampères.  
*Resp.:* -189 watts; 835 watts.
- 14.38** Uma carga em triângulo, com  $Z_{AB} = 10/30^\circ$ ,  $Z_{BC} = 25/0^\circ$  e  $Z_{CA} = 20/-30^\circ$  ohms, está ligada a um sistema trifásico ABC, a três condutores, 500 volts. Calcular as correntes de linha e a potência total.  
*Resp.:*  $75/90^\circ$  A;  $53,9/-68,2^\circ$  A;  $32/231,3^\circ$  A; 42,4 kW.
- 14.39** Um sistema ABC trifásico, a três condutores, 208 volts, alimenta uma carga ligada em triângulo, onde  $Z_{AB} = 5/0^\circ$ ,  $Z_{BC} = 4/30^\circ$  e  $Z_{CA} = 6/-15^\circ$  ohms. Determinar as correntes de linha e as leituras dos wattímetros nas linhas A e C.  
*Resp.:*  $70,5/99,65^\circ$  A;  $90,5/-43,3^\circ$  A;  $54,6/187,9^\circ$  A; 13,7 kW e 11,25 kW.
- 14.40** Uma carga em estrela, com  $Z_A = 3 + j0$ ,  $Z_B = 2 + j3$  e  $Z_C = 2 - j1$  ohms, está ligada a um sistema CBA trifásico, de 100 volts, a quatro condutores. Determinar as correntes de linha e no neutro, supondo positivo o sentido que se dirige para a carga.  
*Resp.:*  $19,25/-90^\circ$  A;  $16/-26,3^\circ$  A;  $25,8/176,6^\circ$  A e  $27,3/63,3^\circ$  A.
- 14.41** Uma carga em estrela, com  $Z_A = 12/45^\circ$ ,  $Z_B = 10/30^\circ$  e  $Z_C = 8/0^\circ$  ohms, está ligada a um sistema de 208 volts, a quatro condutores. Calcular a potência total.  
*Resp.:* 3898 watts.
- 14.42** Em um sistema ABC trifásico de 220 volts a três condutores, as correntes de linha são  $I_A = 43,5/116,6^\circ$ ,  $I_B = 43,3/-48^\circ$  e  $I_C = 11,39/218^\circ$  ampères. Determinar as leituras de pares de wattímetros colocados nas linhas (a) A e B, (b) B e C, (c) A e C.  
*Resp.:* (a) 5270 W, 6370 W; (b) 9310 W, 2330 W; (c) 9550 W, 1980 W.
- 14.43** As correntes de linha em um sistema ABC trifásico a três condutores e 440 volts são  $I_A = 19,72/90^\circ$ ,  $I_B = 57,3/-9,9^\circ$  e  $I_C = 57,3/-189,9^\circ$  ampères. Determinar as leituras de pares de wattímetros colocados nas linhas (a) A e B, (b) B e C.  
*Resp.:* (a) 7,52 kW, 24,8 kW; (b) 16,15 kW, 16,15 kW.
- 14.44** O diagrama tensões de Sendo 10 a carga, supõe  
*Resp.:*  $20/9$
- 14.45** O circuito da carga ligada ABC e o sistema  
*Resp.:* 284/
- 14.46** Um alternador ampères por alternador 0,65, quanto  
*Resp.:* 26,6
- 14.47** No diagrama têm amplitude potência total  
*Resp.:* 1,47

- 14.44 O diagrama de fasores da Fig. 14-44 apresenta as correntes de linha e as tensões de fase de um sistema  $ABC$  trifásico, a três condutores, 346 volts. Sendo 10 ampères a amplitude da corrente de linha, calcular a impedância da carga, suposta em estrela.  
 Resp.:  $20/90^\circ$  ohms.

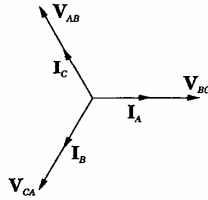


Figura 14-44

- 14.45 O circuito da Fig. 14-45 indica uma impedância infinita (circuito aberto) na fase  $B$  da carga ligada em estrela. Determinar o fasor tensão  $V_{OB}$ , sendo a seqüência  $ABC$  e o sistema de 208 volts.  
 Resp.:  $284/150^\circ$ .

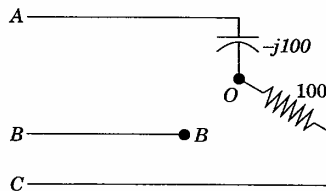


Figura 14-45

- 14.46 Um alternador trifásico de 440 volts, ligado em estrela, tem um limite de 35 ampères por bobina. (a) Qual é o regime da máquina em kVA? (b) Se o alternador fornece corrente de linha de 20 ampères com fator de potência de 0,65, quantos kVA por fase fornece a máquina?  
 Resp.: 26,6 kVA; 5,08 kVA.
- 14.47 No diagrama de fasores da Fig. 14-46, as correntes de linha são equilibradas e têm amplitude de 10 ampères e a tensão de linha é 120 volts. Determinar a potência total correspondente e os volts-ampères totais.  
 Resp.: 1,47 kW; 208 kVA.

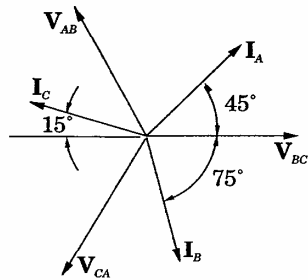


Figura 14-46

- 14.48 Uma carga em estrela, com  $Z_A = 10/0^\circ$ ,  $Z_B = 10/60^\circ$  e  $Z_C = 10/-60^\circ$  ohms, está ligada a um sistema ABC trifásico a três condutores e 200 volts. Determinar as tensões  $V_{AO}$ ,  $V_{BO}$  e  $V_{CO}$  nas impedâncias da carga.  
 Resp.:  $173/90^\circ$ ,  $100/0^\circ$ ,  $100/180^\circ$  volts.
- 14.49 Uma carga em estrela, com  $Z_A = 10/-60^\circ$ ,  $Z_B = 10/0^\circ$  e  $Z_C = 10/60^\circ$  ohms, está ligada a um sistema CBA trifásico, a três condutores e 208 volts. Calcular as tensões nas impedâncias da carga.  
 Resp.:  $208/-120^\circ$ ;  $0,208/180^\circ$  volts.
- 14.50 Um sistema ABC trifásico, de 480 volts, alimenta uma carga em estrela, com  $Z_A = 10/0^\circ$ ,  $Z_B = 5/-30^\circ$  e  $Z_C = 5/30^\circ$  ohms. Determinar as leituras de wattímetros nas linhas A e B.  
 Resp.: 8,92 kW; 29,6 kW.
- 14.51 Um sistema CBA trifásico, de 100 volts, alimenta uma carga em estrela em que  $Z_A = 3 + j0$ ,  $Z_B = 2 + j3$  e  $Z_C = 2 - j1$  ohms. Determinar as tensões nas impedâncias da carga.  
 Resp.:  $31,6/-67,9^\circ$ ;  $84,3/42,7^\circ$ ;  $68,6/123,8^\circ$  volts.
- 14.52 Três impedâncias idênticas de  $15/60^\circ$  ohms estão ligadas em estrela a um sistema trifásico de 240 volts, a três condutores. As impedâncias das linhas entre a fonte e a carga são de  $2 + j1$  ohms. Determinar a amplitude da tensão de linha na carga.  
 Resp.: 213 volts.
- 14.53 Repetir o Probl. 14.52 para impedâncias idênticas de  $15/-60^\circ$  ohms, ligadas em estrelas, e comparar os resultados, traçando os diagramas dos fasores tensão.  
 Resp.: 235 volts.

MAKRON  
Books

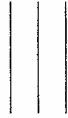
## Introdução

Nos cir-  
gime estacionár-  
uma expressão :  
tempo, isto é,  $v$   
como mostram :

Certas  
15-1(c) é um ex-  
um intervalo. A  
<  $t < T$  e por  $f(t)$   
descrevam satí-  
da resposta do c  
como a soma de  
de estruturas li  
aplicação do tec  
resolver esse tij



## ANÁLISE DE FORMAS DE ONDAS PELO MÉTODO DE FOURIER



### Introdução

Nos circuitos examinados até aqui, consideramos a resposta, em regime estacionário, a excitações constantes ou de forma senoidal. Nesses casos, uma expressão simples descrevia as funções excitadoras para qualquer valor do tempo, isto é,  $v = \text{constante}$  para CC e  $v = V_{\text{max}} \sin \omega t$  para CA para qualquer  $t$ , como mostram as Figs. 15-1(a) e (b).

Certas formas de ondas periódicas, das quais a dente-de-serra da Fig. 15-1(c) é um exemplo, só podem ser descritas por uma função simples dentro de um intervalo. Assim, a dente-de-serra é expressa por  $f(t) = (V/T)t$  no intervalo  $0 < t < T$  e por  $f(t) = (V/T)(t - T)$  no intervalo  $T < t < 2T$ . Embora tais expressões descrevam satisfatoriamente a forma de onda, não permitem a determinação da resposta do circuito. Entretanto, se uma função periódica puder ser expressa como a soma de um número finito ou infinito de funções senoidais, as respostas de estruturas lineares a excitações não-senoidais poderão ser determinadas por aplicação do teorema da superposição. O método de Fourier fornece o meio de se resolver esse tipo de problema.

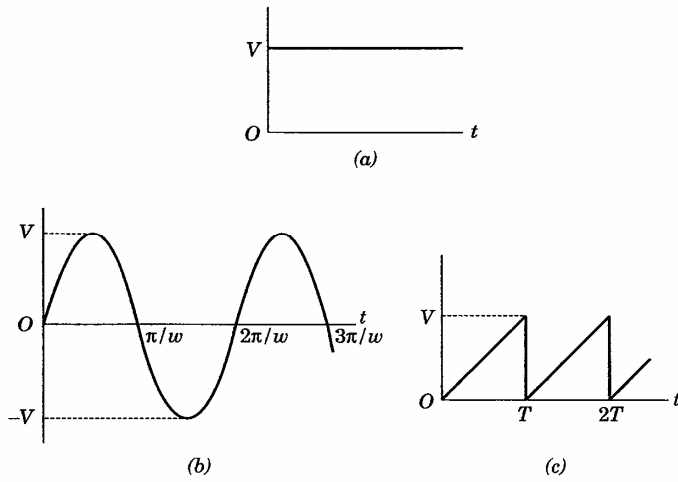


Figura 15-1

### Série Trigonométrica de Fourier

Toda forma de onda periódica, isto é, para a qual  $f(t) = f(t + T)$ , pode ser expressa por uma série de Fourier, desde que:

- (1) sendo descontínua, haja um número finito de descontinuidades, no período  $T$ ;
- (2) tenha um valor médio finito, no período  $T$ ;
- (3) tenha um número finito de máximos positivos e negativos.

Satisfeitas essas condições, chamadas *condições de Dirichlet*, existe a série de Fourier, que pode ser escrita, na forma trigonométrica:

$$f(t) = \frac{1}{2} a_0 + a_1 \cos \omega t + a_2 \cos 2\omega t + a_3 \cos 3\omega t + \dots + b_1 \sin \omega t + b_2 \sin 2\omega t + b_3 \sin 3\omega t + \dots \quad (1)$$

Os coeficientes co-senoi integrando para série, já que a fr

$$\int_0^{2\pi/\omega} \dots + \int_0^{2\pi/\omega} \dots$$

As inte exceção de +  $\int_c$

$$a_n =$$

Multiplicando integral dos co

$$b_n =$$

Outra dependente de  $2\pi$

Os coeficientes de Fourier,  $a$ 's e  $b$ 's, são determinados, para uma dada forma de onda, pelo cálculo de integrais. Obtém-se a integral para os coeficientes co-senoidais multiplicando ambos os membros de (1) por  $\cos n\omega t$  e integrando para todo o período. O período da fundamental,  $2\pi/\omega$ , é o período da série, já que a frequência de cada termo da série é um múltiplo da fundamental.

$$\int_0^{2\pi/\omega} f(t) \cos n\omega t dt = \int_0^{2\pi/\omega} \frac{1}{2} a_0 \cos n\omega t dt + \int_0^{2\pi/\omega} a_1 \cos \omega t \cos n\omega t dt + \dots + \int_0^{2\pi/\omega} a_n \cos^2 n\omega t dt + \dots + \int_0^{2\pi/\omega} b_1 \sin \omega t \cos n\omega t dt + \int_0^{2\pi/\omega} b_2 \sin 2\omega t \cos n\omega t dt + \dots \tag{2}$$

As integrais definidas do segundo membro de (2) são todas nulas, com exceção de  $\int_0^{2\pi/\omega} a_n \cos^2 n\omega t dt$  que tem para valor  $\frac{\pi}{\omega} a_n$ . Então:

$$a_n = \frac{\omega}{\pi} \int_0^{2\pi/\omega} f(t) \cos n\omega t dt = \frac{2}{T} \int_0^T f(t) \cos n\omega t dt \tag{3}$$

Multiplicando (1) por  $\sin n\omega t$  e integrando como acima, obtém-se a integral dos coeficientes senoidais. Assim:

$$b_n = \frac{\omega}{\pi} \int_0^{2\pi/\omega} f(t) \sin n\omega t dt = \frac{2}{T} \int_0^T f(t) \sin n\omega t dt \tag{4}$$

Outra forma dessas integrais com a variável  $\omega t$  e o período correspondente de  $2\pi$  radianos é:

$$a_n = \frac{1}{\pi} \int_0^{2\pi} f(t) \cos n\omega t d(\omega t) \tag{5}$$

$$b_n = \frac{1}{\pi} \int_0^{2\pi} f(t) \sin n\omega t d(\omega t) \tag{6}$$

(1)

Os limites de integração devem incluir um período completo, mas não precisam ser 0 a  $T$  ou de 0 a  $2\pi$ . A integração pode ser feita entre  $-T/2$  e  $T/2$ ,  $-\pi$  e  $+\pi$ , ou qualquer outro período completo que simplifique a operação. A constante  $a_0$  é obtida de (3) ou (5), para  $n = 0$ ; entretanto, como  $\frac{1}{2} a_0$  é o valor médio da função, pode-se determiná-la, muitas vezes, por simples inspeção da forma de onda. A série com os coeficientes obtidos pelas integrais descritas converge uniformemente para a função em todos os pontos contínuos e converge para o valor médio nos pontos de descontinuidade.

**Exemplo 1** Determinar a série de Fourier para a forma de onda mostrada na Fig. 15-2.

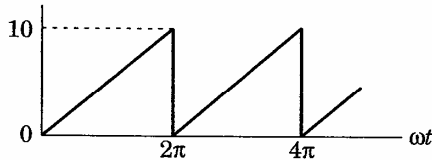


Figura 15-2

A forma de onda é contínua para  $0 < \omega t < 2\pi$  e dada por  $f(t) = (10/2\pi)\omega t$ , com descontinuidades em  $\omega t = n2\pi$ , onde  $n = 0, 1, 2, \dots$ . As condições de Dirichlet são satisfeitas e os coeficientes de Fourier são calculados por intermédio de (5) e (6). O valor médio da função é 5, por inspeção, e portanto,  $\frac{1}{2} a_0 = 5$ . Pela equação (5), então:

$$a_n = \frac{1}{\pi} \int_0^{2\pi} \left(\frac{10}{2\pi}\right) \omega t \cos n\omega t \, d(\omega t) = \frac{10}{2\pi^2} \left[ \frac{\omega t}{n} \sin n\omega t + \frac{1}{n^2} \cos n\omega t \right]_0^{2\pi}$$

$$= \frac{10}{2\pi^2 n^2} (\cos n2\pi - \cos 0) = 0 \text{ para qualquer valor inteiro de } n.$$

A série não contém termos co-senoidais. Empregando a equação (6), obtemos

$$b_n = \frac{1}{\pi} \int_0^{2\pi} \left(\frac{10}{2\pi}\right) \omega t \sin n\omega t \, d(\omega t) = \frac{10}{2\pi^2} \left[ -\frac{\omega t}{n} \cos n\omega t + \frac{1}{n^2} \sin n\omega t \right]_0^{2\pi} = -\frac{10}{\pi n}$$

Empregando a série fica

$$f(t) = 5 - \frac{10}{\pi} \sum_{n=1}^{\infty} \frac{\sin n\omega t}{n}$$

Os termos combinados em Resultam, assim

e

onde  $C_n = \sqrt{a_n^2 + b_n^2}$  é a amplitude de

### Série Expo

Se cada termo for expresso na sua

$f(t)$

Reagr

Empregando esses coeficientes dos termos senoidais e o termo médio, a série fica

$$f(t) = 5 - \frac{10}{\pi} \operatorname{sen} \omega t - \frac{10}{2\pi} \operatorname{sen} 2\omega t - \frac{10}{3\pi} \operatorname{sen} 3\omega t - \dots = 5 - \frac{10}{\pi} \sum_{n=1}^{\infty} \frac{\operatorname{sen} n\omega t}{n}$$

Os termos senoidais e co-senoidais da mesma frequência podem ser combinados em um único termo senoidal ou co-senoidal com um ângulo de fase. Resultam, assim, duas alternativas para a forma da série trigonométrica:

$$f(t) = \frac{1}{2} a_0 + \sum C_n \cos (n\omega t - \theta_n) \tag{7}$$

e

$$f(t) = \frac{1}{2} a_0 + \sum C_n \operatorname{sen} (n\omega t + \phi_n) \tag{8}$$

onde  $C_n = \sqrt{a_n^2 + b_n^2}$ ,  $\theta_n = \operatorname{arc} \operatorname{tg} (b_n/a_n)$  e  $\phi_n = \operatorname{arc} \operatorname{tg} (a_n/b_n)$ . Em (7) e (8)  $C_n$  é a amplitude do harmônico e os ângulos de fase do harmônico são  $\theta_n$  ou  $\phi_n$ .

### Série Exponencial de Fourier

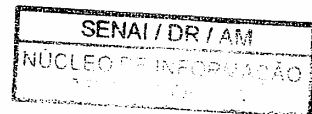
Se cada um dos termos em seno e co-seno da série trigonométrica for expresso na sua forma exponencial, obtém-se uma série de termos exponenciais:

$$f(t) = \frac{a_0}{2} + a_1 \left( \frac{e^{j\omega t} + e^{-j\omega t}}{2} \right) + a_2 \left( \frac{e^{j2\omega t} + e^{-j2\omega t}}{2} \right) + \dots$$

$$+ b_1 \left( \frac{e^{j\omega t} - e^{-j\omega t}}{2j} \right) + b_2 \left( \frac{e^{j2\omega t} - e^{-j2\omega t}}{2j} \right) + \dots \tag{9}$$

Reagrupando, temos:

$$f(t) = \dots + \left( \frac{a_2}{2} - \frac{b_2}{2j} \right) e^{-j2\omega t} + \left( \frac{a_1}{2} - \frac{b_1}{2j} \right) e^{-j\omega t}$$



$$+ a_0 + \left(\frac{a_1}{2} + \frac{b_1}{2j}\right)e^{j\omega t} + \left(\frac{a_2}{2} + \frac{b_2}{2j}\right)e^{j2\omega t} + \dots \quad (10)$$

Definiremos, agora, uma nova constante complexa  $\mathbf{A}$ , tal que:

$$\mathbf{A}_0 = \frac{1}{2}a_0, \quad \mathbf{A}_n = \frac{1}{2}(a_n - jb_n), \quad \mathbf{A}_{-n} = \frac{1}{2}(a_n + jb_n) \quad (11)$$

e reescreveremos (10) como:

$$f(t) = \left\{ \dots + \mathbf{A}_{-2}e^{-j2\omega t} + \mathbf{A}_{-1}e^{-j\omega t} + \mathbf{A}_0 + \mathbf{A}_1e^{j\omega t} + \mathbf{A}_2e^{j2\omega t} + \dots \right\} \quad (12)$$

Para obter as integrais dos coeficientes  $\mathbf{A}_n$ , multiplicam-se ambos os membros de (12) por  $e^{-jn\omega t}$  e integra-se no intervalo de um período completo:

$$\begin{aligned} \int_0^{2\pi} f(t) e^{-jn\omega t} d(\omega t) &= \dots + \int_0^{2\pi} \mathbf{A}_{-2} e^{-j2\omega t} e^{-jn\omega t} d(\omega t) \\ &+ \int_0^{2\pi} \mathbf{A}_{-1} e^{-j\omega t} e^{-jn\omega t} d(\omega t) + \int_0^{2\pi} \mathbf{A}_0 e^{-jn\omega t} d(\omega t) + \\ &\int_0^{2\pi} \mathbf{A}_1 e^{j\omega t} e^{-jn\omega t} d(\omega t) + \dots + \int_0^{2\pi} \mathbf{A}_n e^{jn\omega t} e^{-jn\omega t} d(\omega t) + \dots \end{aligned} \quad (13)$$

Todas as integrais definidas do segundo membro são nulas, exceto  $\int_0^{2\pi} \mathbf{A}_n d(\omega t)$ , que tem o valor  $2\pi\mathbf{A}_n$ . Assim,  $\mathbf{A}_n = \frac{1}{2\pi} \int_0^{2\pi} f(t) e^{-jn\omega t} d(\omega t)$  ou, com

$$t \text{ como variável: } \mathbf{A}_n = \frac{1}{T} \int_0^T f(t) e^{-jn\omega t} dt \quad (14)$$

Do mesmo modo que no cálculo das integrais de  $a_n$  e  $b_n$ , os limites de integração em (14) devem abranger um período completo que seja conveniente, não necessariamente 0 a  $2\pi$  ou 0 a  $T$ .

Os coeficientes da série trigonométrica são obtidos a partir dos coeficientes da série exponencial, somando-se e subtraindo-se as expressões de  $\mathbf{A}_n$  e  $\mathbf{A}_{-n}$  em (11). Assim, temos:

$$\mathbf{A}_n + \mathbf{A}_{-n} = \frac{1}{2}(a_n - jb_n + a_n + jb_n)$$

onde:

e

ou

**Exemplo**  
onda mo:  
exponenc  
exemplo

No inter  
inspeção,  
(14), obtê

$$\mathbf{A}_n = \frac{1}{2\pi}$$

Introduz  
Fourier

$f(t) = \dots$

O coefici

$$a_n = \mathbf{A}_n$$

e o coefic

$$b_n = j(\mathbf{A}_n - \mathbf{A}_{-n})$$

(10) onde:  $a_n = A_n + A_{-n}$  (15)

e  $A_n - A_{-n} = \frac{1}{2}(a_n - jb_n - a_n - jb_n)$

ou  $b_n = j(A_n - A_{-n})$  (16)

**Exemplo 2** Determinar a série exponencial de Fourier para a forma de onda mostrada na Fig. 15-3. Empregando os coeficientes dessa série exponencial, obter  $a_n$  e  $b_n$  para a série trigonométrica e comparar com o exemplo 1.

No intervalo  $0 < \omega t < 2\pi$ , a função é definida por  $f(t) = (10/2\pi)\omega t$ . Por inspeção, verifica-se que o valor médio da função é 5. Substituindo  $f(t)$  em (14), obtêm-se os coeficientes  $A_n$ :

$$A_n = \frac{1}{2\pi} \int_0^{2\pi} \left(\frac{10}{2\pi}\right) \omega t e^{-jn\omega t} d(\omega t) = \frac{10}{(2\pi)^2} \left[ \frac{e^{-jn\omega t}}{(-jn)^2} (-jn\omega t - 1) \right]_0^{2\pi} = j \frac{10}{2\pi n}$$

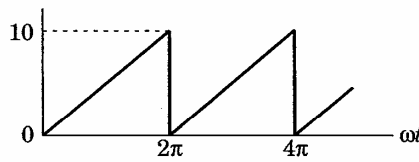


Figura 15-3

Introduzindo os coeficientes  $A_n$  em (12), a forma exponencial da série de Fourier para a onda dada fica:

$$f(t) = \dots - j \frac{10}{4\pi} e^{-j2\omega t} - j \frac{10}{2\pi} e^{-j\omega t} + 5 + j \frac{10}{2\pi} e^{j\omega t} + j \frac{10}{4\pi} e^{j2\omega t} + \dots \quad (17)$$

O coeficiente do termo co-seno da série trigonométrica é:

$$a_n = A_n + A_{-n} = j \frac{10}{2\pi n} + j \frac{10}{2\pi(-n)} = 0$$

e o coeficiente do termo em seno é:

$$b_n = j(A_n - A_{-n}) = j \left( j \frac{10}{2\pi n} - j \frac{10}{2\pi(-n)} \right) = - \frac{10}{\pi n}$$

Assim, a série trigonométrica não tem os termos em co-seno, pois  $a_n = 0$  para qualquer valor de  $n$  e os coeficientes dos termos em seno são  $-10/(\pi n)$ . O valor médio é 5 e a série é dada por:

$$f(t) = 5 - \frac{10}{\pi} \operatorname{sen} \omega t - \frac{10}{2\pi} \operatorname{sen} 2\omega t - \frac{10}{3\pi} \operatorname{sen} 3\omega t - \dots$$

igual à do exemplo 1.

## Simetria das Formas de Onda

A série obtida no exemplo 1, além do termo constante, continha apenas termos em seno. Outras formas de onda conterão apenas termos em co-seno e, às vezes, existem apenas harmônicos ímpares. Isso resulta de certos tipos de simetria associados à forma de onda. O conhecimento dessa simetria acarreta simplificação nos cálculos para a determinação da série. As definições que se seguem são importantes para esse fim:

1. Uma função  $f(x)$  diz-se par se  $f(x) = f(-x)$

A função  $f(x) = 2 + x^2 + x^4$  é um exemplo de função par, pois são iguais os seus valores para  $x$  e  $-x$ . O co-seno é uma função par, pois pode ser expresso em série sob a forma:

$$\cos x = 1 - \frac{x^2}{2!} + \frac{x^4}{4!} - \frac{x^6}{6!} + \frac{x^8}{8!} - \dots$$

A soma de duas ou mais funções pares é uma função par e a adição de uma constante mantém a natureza par da função.

Na Fig. 15-4, as formas de onda representam funções pares. São simétricas em relação ao eixo vertical.

2. Uma função  $f(x)$  diz-se ímpar se  $f(x) = -f(-x)$ .

A função  $f(x) = x + x^3 + x^5$  é um exemplo de função ímpar, pois são de sinais opostos seus valores para  $x$  e  $-x$ . O seno é uma função ímpar, pois pode ser expresso em série sob a forma:

$$\operatorname{sen} x = x - \frac{x^3}{3!} + \frac{x^5}{5!} - \frac{x^7}{7!} + \frac{x^9}{9!} - \dots$$

A soma de uma co-adição de uma co não mais será íg par.

As form: ímpares.



A soma de duas ou mais funções ímpares é uma função ímpar, porém a adição de uma constante elimina a natureza ímpar da função, uma vez que  $f(x)$  não mais será igual a  $-f(-x)$ . O produto de duas funções ímpares é uma função par.

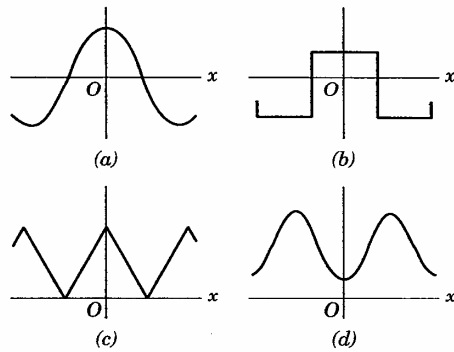


Figura 15-4

As formas de onda apresentadas na Fig. 15-5 representam funções ímpares.

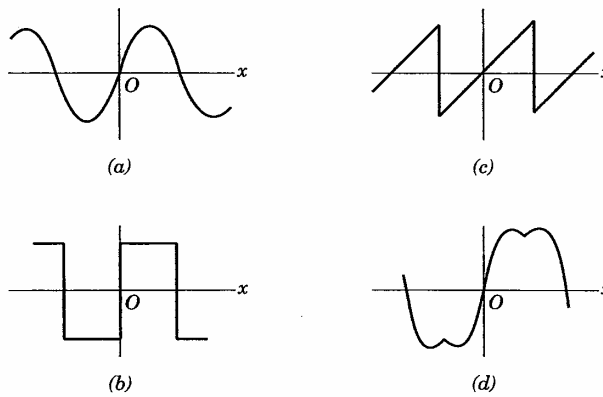


Figura 15-5

no, pois  $a_n = 0$   
s em seno são

continha apenas  
s em co-seno e,  
certos tipos de  
netria acarreta  
finações que se

pois são iguais  
de ser expresso

r e a adição de

ares. São simé-

par, pois são de  
mpar, pois pode

3. Uma função periódica  $f(x)$  diz-se possuindo simetria de meia onda se  $f(x) = -f(x + T/2)$ , onde  $T$  é o período. Na Fig. 15-6, são vistas duas formas de ondas possuindo simetria de meia onda.

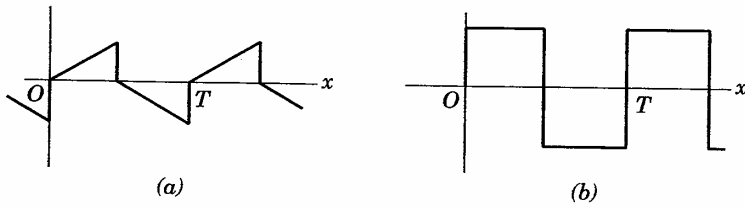


Figura 15-6

Quando o tipo de simetria de uma onda é determinado, chega-se às seguintes conclusões: se a forma de onda é par, todos os termos da série correspondente são co-senoidais além de, possivelmente, uma constante, caso a forma de onda possua um valor médio. Portanto, não há necessidade de calcularem-se as integrais para os coeficientes  $b_n$ , pois não podem existir termos em seno. Se é ímpar, a série contém, apenas, termos em seno. A onda pode ser ímpar somente depois de eliminado o termo constante, caso em que sua representação conterá apenas essa constante e uma série de termos senoidais. Caso a onda possua simetria de meia-onda, existem apenas harmônicos ímpares. Salvo na hipótese em que a função seja também ímpar ou par, a série conterá termos em seno e em co-seno; em qualquer caso,  $a_n$  e  $b_n$  são nulos para  $n = 2, 4, 6 \dots$  em toda forma de onda que possua simetria de meia onda.

Determinadas formas de ondas podem ser pares ou ímpares, dependendo da localização do eixo vertical. A onda quadrada da Fig. 15-7(a) satisfaz a condição de função par, isto é,  $f(x) = f(-x)$ . Um deslocamento do eixo vertical para a posição indicada na Fig. 15-7(b) resulta numa função ímpar, onde  $f(x) = -f(-x)$ . Se o eixo vertical estiver situado em qualquer outro ponto que não os indicados na Fig. 15-7, a onda quadrada não será nem par nem ímpar. Sua série conterá termos em seno e em co-seno. Assim, na análise de funções periódicas, desde que a forma da onda o permita, o eixo vertical deve ser convenientemente escolhido, de modo a acarretar uma função par ou uma função ímpar.



O deslocamento da função em série. Os requisitos de um termo em seno. mostra a Fig. 15-7 termos em seno.

Como o co-seno é real e empregadas para de onda par só coeficientes de mesmo modo, os senoidais, tem co

### Espectro de

Chamadas dos harmônicos das ondas cujas séries

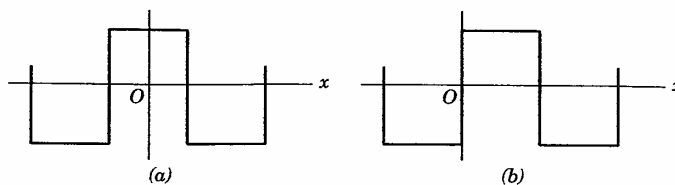


Figura 15-7

O deslocamento do eixo horizontal pode simplificar a representação da função em série. Como exemplo, a forma de onda da Fig. 15-8(a) só satisfaz os requisitos de uma função ímpar, depois de removido seu valor médio, como mostra a Fig. 15-8(b). Assim, sua série conterá um termo constante e todos os termos em seno.

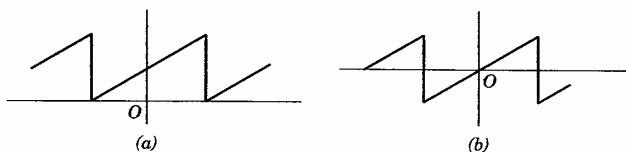


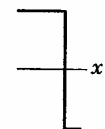
Figura 15-8

Como o equivalente exponencial do seno é um imaginário puro e o do co-seno é real puro, as considerações de simetria feitas acima poderão ser empregadas para verificar os coeficientes da série exponencial. Em uma forma de onda par só contendo termos em co-seno na sua série trigonométrica, os coeficientes de sua exponencial de Fourier devem ser números reais puros. Do mesmo modo, uma função ímpar, cuja série trigonométrica conste de termos senoidais, tem coeficientes imaginários puros na sua série exponencial.

### Espectro de Linha

Chama-se *espectro de linha* a uma representação gráfica das amplitudes dos harmônicos da onda. As linhas diminuem mais depressa para as ondas cujas séries convergem rapidamente. As ondas que possuem desconti-

meia onda se  
as duas formas



lo, chega-se às  
rmos da série  
nstante, caso a  
ssidade de cal-  
existir termos  
onda pode ser  
m que sua re-  
mos senoidais.  
armônicos ím-  
ou par, a série  
são nulos para  
ia onda.

mpares, depen-  
5-7(a) satisfaz  
lo eixo vertical  
o ímpar, onde  
ponto que não  
em ímpar. Sua  
se de funções  
tical deve ser  
o par ou uma

nuidades, como a dente-de-serra e a onda quadrada, possuem espectro com amplitudes que decrescem lentamente, já que suas séries possuem os harmônicos muito altos. Seus harmônicos de décima ordem possuirão, às vezes, amplitudes com valor significativo, comparadas com o fundamental. Por outro lado, as séries das formas de onda sem descontinuidades e de conformação suave convergem rapidamente para a função e apenas alguns termos são suficientes para reproduzir a onda. Essa convergência rápida fica evidente pelo espectro de linha, pois as amplitudes dos harmônicos decrescem rapidamente, de modo que, depois do 5º ou do 6º, deixam de ter importância.

O conteúdo harmônico e o espectro de linha são parte integrante da própria natureza da onda e não se modificam com o método de análise. O deslocamento do eixo zero dá um espectro completamente diferente à série trigonométrica, variando grandemente, também, os coeficientes da série exponencial, mas os mesmos harmônicos sempre aparecem na série e sua amplitude, dada por  $C_n = \sqrt{a_n^2 + b_n^2}$ , permanece constante.

A Fig. 15-9 mostra a onda dente-de-serra do exemplo 1 e seu espectro. Como só havia termos em seno na série, as amplitudes  $C_n$  dos harmônicos são iguais a  $b_n$ .

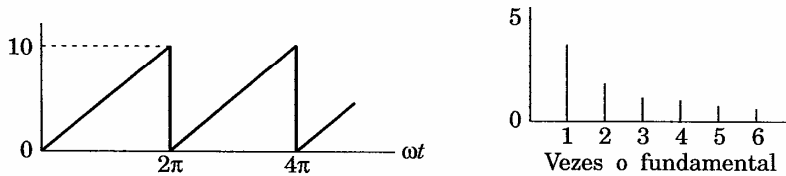


Figura 15-9

A série exponencial da onda dente-de-serra possui termos com frequências  $+n\omega$  e  $-n\omega$  [ver equação (17)] e o espectro é o apresentado na Fig. 15-10. A amplitude de um determinado harmônico é a soma das duas amplitudes, uma em  $+n\omega$  e outra em  $-n\omega$ . No espectro da Fig. 15-10, em  $n = -2$  e  $n = +2$ , encontram-se linhas de amplitude  $10/4\pi$ . Somando-as obtém-se  $10/2\pi$  para a amplitude total desse harmônico, o que concorda com o espectro da Fig. 15-9.

### Síntese da

Síntese  
análise de Fou  
geralmente os p  
Às vezes, somer  
que a série de F

A série  
amplitude máxi

$$f(t) =$$

Na Fig  
apesar de o re

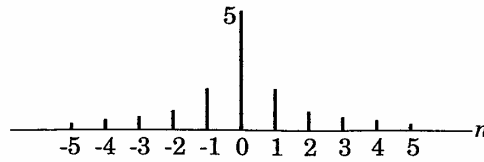


Figura 15-10

### Síntese da Forma de Onda

Síntese é a reunião dos componentes, de modo a reconstituir o todo. Na análise de Fourier, ela é a recombinação dos termos da série trigonométrica, geralmente os primeiros quatro ou cinco, de modo a reproduzir a onda original. Às vezes, somente depois de sintetizar uma onda fica o estudante convencido de que a série de Fourier exprime, de fato, a onda periódica para a qual foi obtida.

A série trigonométrica para a onda dente-de-serra do exemplo 1, com amplitude máxima igual a 10, é:

$$f(t) = 5 - \frac{10}{\pi} \text{sen } \omega t - \frac{10}{2\pi} \text{sen } 2\omega t - \frac{10}{3\pi} \text{sen } 3\omega t - \dots$$

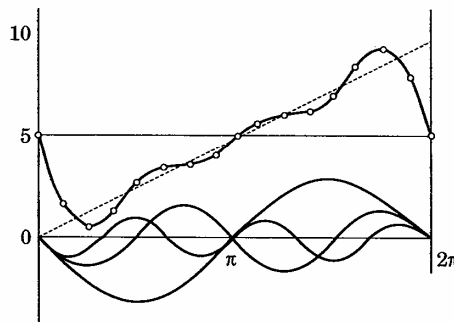


Figura 15-11

Na Fig. 15-11, esses quatro termos estão representados e somados e, apesar de o resultado não ser uma onda dente-de-serra perfeita, constata-se

o espectro com  
em os harmô-  
rão, às vezes,  
ntal. Por outro  
e conformação  
ns termos são  
a evidente pelo  
rapidamente,

integrante da  
de análise. O  
erente à série  
da série expo-  
sua amplitude,

o seu espectro.  
armônicos são

$\frac{1}{5}$   $\frac{1}{6}$   
amental

s com frequên-  
a Fig. 15-10. A  
plitudes, uma  
-2 e  $n = +2$ ,  
e  $10/2\pi$  para a  
da Fig. 15-9.

que, com a inclusão de mais termos, a representação tenderá para aquela onda. Como essa onda possui descontinuidades, sua série não convergê rapidamente e, conseqüentemente, a síntese, empregando apenas quatro termos, não conduz a um resultado muito bom. O termo seguinte, de frequência  $4\omega$ , tem amplitude  $10/4\pi$ , que, certamente, ainda é significativa, comparada com a amplitude  $10/\pi$  do harmônico fundamental. Como, na síntese da forma de onda, cada termo é adicionado, reduzem-se as irregularidades da resultante e melhora a aproximação à onda original. Isso era o que queríamos expressar quando dizíamos que a *série converge para a função em todos os pontos e para o valor médio nos pontos de descontinuidades*.

Na Fig. 15-11, é claro que o valor 5 permanece nos pontos 0 e  $2\pi$ , já que todos os termos em seno são nulos nesses pontos. Esses são pontos de descontinuidade; o valor da função é 10 quando deles nos aproximamos pela esquerda e 0 quando pela direita, com o valor médio 5.

## Valor Eficaz e Potência

Uma onda de corrente periódica e não-senoidal passando por um resistor, produz uma potência determinada pelo valor eficaz ou rms da onda. No Capítulo 2, viu-se que o valor eficaz de uma função tal como

$$f(t) = \frac{1}{2} a_0 + a_1 \cos \omega t + a_2 \cos 2\omega t + \dots + b_1 \sin \omega t + b_2 \sin 2\omega t + \dots$$

era:

$$F_{\text{rms}} = \sqrt{\left(\frac{1}{2} a_0\right)^2 + \frac{1}{2} a_1^2 + \frac{1}{2} a_2^2 + \dots + \frac{1}{2} b_1^2 + \frac{1}{2} b_2^2 + \dots} \quad (18)$$

Exprimindo a amplitude do harmônico por  $c_n = \sqrt{a_n^2 + b_n^2}$  e chamando  $c_0$  ao valor médio, temos, da equação (18):

$$F_{\text{rms}} = \sqrt{c_0^2 + \frac{1}{2} c_1^2 + \frac{1}{2} c_2^2 + \frac{1}{2} c_3^2 + \dots}$$

Supond corrente result diferentes ampl riam com  $n\omega$ . É a ressonância p ver:

$$v = V_0 +$$

com os correspo

$$V_{\text{rms}} = \sqrt{V_0^2 +}$$

A potê: obtida pelo proc

$$p = vi =$$

Como t um número int de tensão, o pi tensão.) A potê:

$$P = \frac{1}{T} \int_0^T$$

O exai mostra que ele: de uma constar de frequências o produto das quadrado, aplic Todos os outros é, então, dada:

$$P = V_0 I$$

onde  $\theta_n = (\phi_n$  frequência  $n\omega$  senoidais. Nos média é  $P = V$

Supondo um circuito linear com uma tensão periódica aplicada, a corrente resultante terá o mesmo conteúdo harmônico da tensão, porém com diferentes amplitudes relativas desses harmônicos, já que as impedâncias variam com  $n\omega$ . É possível que alguns harmônicos não apareçam na corrente, pois a ressonância paralela acarreta impedância infinita. Em geral, pode-se escrever:

$$v = V_0 + \sum V_n \text{sen}(n\omega t + \phi_n) \text{ e } i = I_0 + \sum I_n \text{sen}(n\omega t + \psi_n) \quad (19)$$

com os correspondentes valores eficazes:

$$V_{\text{rms}} = \sqrt{V_0^2 + \frac{1}{2}V_1^2 + \frac{1}{2}V_2^2 + \dots} \text{ e } I_{\text{rms}} = \sqrt{I_0^2 + \frac{1}{2}I_1^2 + \frac{1}{2}I_2^2 + \dots} \quad (20)$$

A potência média  $P$  decorre da integração da potência instantânea, obtida pelo produto de  $v$  e  $i$ , logo:

$$p = vi = \left[ V_0 + \sum V_n \text{sen}(n\omega t + \phi_n) \right] \left[ I_0 + \sum I_n \text{sen}(n\omega t + \psi_n) \right] \quad (21)$$

Como  $v$  e  $i$  têm períodos de  $T$  segundos, seu produto deve conter em  $T$  um número inteiro de períodos. (Lembrar que, para uma onda senoidal simples de tensão, o produto  $i$  tem um período igual à metade daquele da onda de tensão.) A potência média é:

$$P = \frac{1}{T} \int_0^T \left[ V_0 + \sum V_n \text{sen}(n\omega t + \phi_n) \right] \left[ I_0 + \sum I_n \text{sen}(n\omega t + \psi_n) \right] dt \quad (22)$$

O exame dos termos possíveis no produto das duas séries infinitas mostra que eles são dos seguintes tipos: o produto de duas constantes, o produto de uma constante por uma função senoidal, o produto de duas funções senoidais de frequências diferentes e o quadrado de funções senoidais. Após a integração, o produto das duas constantes permanece  $V_0 I_0$ , e as funções senoidais ao quadrado, aplicados os limites de integração, aparecem como  $(V_n I_n / 2) \cos(\phi_n - \psi_n)$ . Todos os outros produtos, integrados no período  $T$ , são nulos. A potência média é, então, dada por:

$$P = V_0 I_0 + \frac{1}{2} V_1 I_1 \cos \theta_1 + \frac{1}{2} V_2 I_2 \cos \theta_2 + \frac{1}{2} V_3 I_3 \cos \theta_3 + \dots \quad (23)$$

onde  $\theta_n = (\phi_n - \psi_n)$  é o ângulo da impedância equivalente da estrutura na frequência  $n\omega$  rad/s e  $V_n$  e  $I_n$  são os valores máximos das respectivas funções senoidais. Nos circuitos de CA de uma só frequência viu-se que a potência média é  $P = VI \cos \theta$ , a qual está incluída em (23), pois  $V$  é um valor eficaz

( $V = V_{\max}/\sqrt{2}$  e  $I = I_{\max}/\sqrt{2}$ ), de modo que  $P = 1/2 V_{\max} I_{\max} \cos \theta$ . Nos circuitos de CC a potência é  $VI$ , incluída em (23) como  $V_0 I_0$ . A equação (23) é, portanto, perfeitamente geral, incluindo circuitos de CC, circuitos de CA de uma só frequência e ondas periódicas não-senoidais. Observa-se também de (23) que tensão e corrente de frequências diferentes não contribuem para a potência média. Com relação à potência, portanto, cada harmônico atua independentemente.

### Aplicações na Análise de Circuitos

Sugeriu-se acima que, aplicados os termos da série de uma tensão a uma estrutura linear, obtêm-se os termos harmônicos correspondentes da série da corrente. Este resultado é obtido por superposição. Portanto, cada termo da série de Fourier que representa a tensão é considerado como uma fonte isolada, como indica a Fig. 15-12. Em seguida, cada impedância equivalente da estrutura, na frequência do respectivo harmônico,  $n\omega$ , é empregada para o cálculo da corrente nesse harmônico. A soma dessas respostas individuais é a resposta total  $i$  sob a forma de série, devida à tensão aplicada.

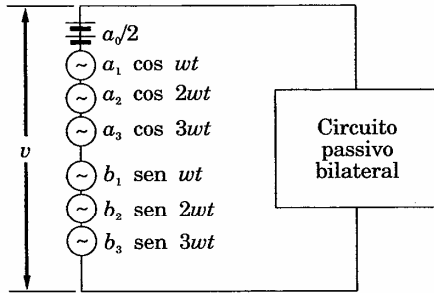


Figura 15-12

**Exemplo 3** Um circuito  $RL$  série, em que  $R = 5$  ohms e  $L = 0,02$  H, tem uma tensão aplicada  $v = 100 + 50 \text{ sen } \omega t + 25 \text{ sen } 3\omega t$ , onde  $\omega = 500$  rad/s. Achar a corrente e a potência média.

Calcula-se  
seguida, ca

Em  $\omega = 0$ ,

$$I_0 = V_0/R =$$

Em  $\omega = 500$

$$i_1 = \frac{V_{1\max}}{|Z_1|}$$

Em  $3\omega = 1500$

$$i_3 = \frac{V_{3\max}}{|Z_3|}$$

$$= 0,823 \text{ A}$$

A soma da

$$i = 20 +$$

Seu valor

$$I_{\text{rms}} = \sqrt{2}$$

que acarri

$$P = I_{\text{rms}}^2$$

Como ver  
tência co  
mos:

Para  $\omega =$

Calcula-se a impedância equivalente do circuito em cada frequência. Em seguida, calculam-se as respectivas correntes.

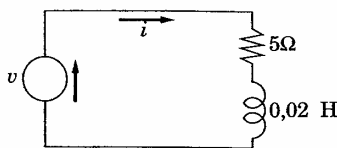


Figura 15-13

Em  $\omega = 0$ ,  $Z = 5$  e, portanto:

$$I_0 = V_0/R = 100/5 = 20$$

Em  $\omega = 500$  rad/s,  $Z_1 = 5 + j(0,02)(500) = 5 + j10$  e, então:

$$i_1 = \frac{V_{1\max}}{|Z_1|} \text{sen}(\omega t - \theta_1) = \frac{50}{11,15} \text{sen}(\omega t - 63,4^\circ) = 4,48 \text{sen}(\omega t - 63,4^\circ)$$

Em  $3\omega = 1500$  rad/s,  $Z_3 = 5 + j30$  e, então:

$$i_3 = \frac{V_{3\max}}{|Z_3|} \text{sen}(3\omega t - \theta_3) = \frac{25}{30,4} \text{sen}(3\omega t - 80,54^\circ) = 0,823 \text{sen}(3\omega t - 80,54^\circ)$$

A soma das correntes harmônicas é a resposta total procurada:

$$i = 20 + 4,48 \text{sen}(\omega t - 63,4^\circ) + 0,823 \text{sen}(3\omega t - 80,54^\circ)$$

Seu valor eficaz é:

$$I_{\text{rms}} = \sqrt{20^2 + 4,48^2/2 + 0,823^2/2} = \sqrt{410,6} = 20,25$$

que acarreta, no resistor de 5 ohms, a potência:

$$P = I_{\text{rms}}^2 R = (410,6)5 = 2053 \text{ W}$$

Como verificação, calcula-se a potência média total calculando-se a potência com que cada harmônico contribui e somando-se as mesmas. Temos:

$$\text{Para } \omega = 0, \quad P = V_0 I_0 = 100(20) = 2000 \text{ W}$$

$i_{\max} \cos \theta$ . Nos  
 quação (23) é,  
 itos de CA de  
 se também de  
 ibuem para a  
 ico atua inde-

uma tensão a  
 lentes da série  
 cada termo da  
 fonte isolada,  
 ente da estru-  
 ra o cálculo da  
 s é a resposta

= 0,02 H, tem  
 $\omega = 500$  rad/s.

Para  $\omega = 500 \text{ rad/s}$ ,  $P = \frac{1}{2} V_1 I_1 \cos \theta_1 = \frac{1}{2} (50) (4,48) \cos 63,4^\circ = 50,1 \text{ W}$

Para  $3\omega = 1500 \text{ rad/s}$ ,

$P = \frac{1}{2} V_3 I_3 \cos \theta_3 = \frac{1}{2} (25) (0,823) \cos 80,54^\circ = 1,69 \text{ W}$

Portanto:  $P_T = 2000 + 50,1 + 1,69 = 2052 \text{ W}$

**Outro método** A expressão em série da tensão no resistor é:

$v_R = Ri = 100 + 22,4 \text{ sen } (\omega t - 63,4^\circ) + 4,11 \text{ sen } (3\omega t - 80,54^\circ)$

e

$V_R = \sqrt{100^2 + \frac{1}{2} (22,4)^2 + \frac{1}{2} (4,11)^2} = \sqrt{10259} = 101,3$

A potência entregue pela fonte é  $P = VR^2/R = (101,3)^2/5 = 2052 \text{ W}$ .

A série exponencial de Fourier é empregada da mesma maneira, exceto que, freqüentemente, a impedância do circuito pode ser expressa em termos de  $n\omega$  e os coeficientes  $I_n$  da série da corrente podem ser calculados a partir de  $V_n/Z_n$ , como mostra o exemplo 4, a seguir.

**Exemplo 4** Uma tensão representada pela onda triangular da Fig. 15-14 é aplicada em um capacitor de  $C$  farads. Determinar a corrente resultante.

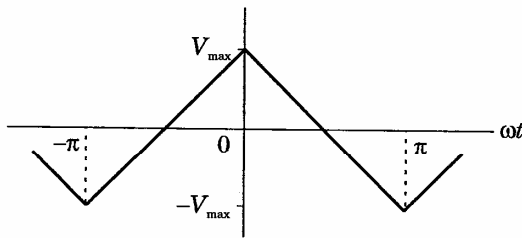


Figura 15-14

No intervalo  $-\pi < \omega t < 0$  a tensão é representada pela função  $v = V_{\text{max}} + (2V_{\text{max}}/\pi)\omega t$  e, para  $0 < \omega t < \pi$ ,  $v = V_{\text{max}} - (2V_{\text{max}}/\pi)\omega t$ . Os coeficientes da série exponencial são determinados por:

$A_n = \frac{1}{2\pi}$

$+ \frac{1}{2\pi}$

onde:  $A_n$

A impedância ou seja:  $Z$

$I_n = \frac{V_n}{Z_n}$

e a série d

$i = j \left( \frac{4V_n}{Z_n} \right)$

A série po para mostr do resulta apenas pa corrente é máximo (2

15.1 Determinar e traçar o e

63,4° = 50,1 W

$$A_n = \frac{1}{2\pi} \int_{-\pi}^0 [V_{\max} + (2V_{\max}/\pi)\omega t] e^{-jn\omega t} d(\omega t) + \frac{1}{2\pi} \int_0^{\pi} [V_{\max} - (2V_{\max}/\pi)\omega t] e^{-jn\omega t} d(\omega t)$$

W

or é:

donde:  $A_n = \frac{4V_{\max}}{\pi^2 n^2}$  para  $n$  ímpar e  $A_n = 0$  para  $n$  par.

- 80,54°)

A impedância do circuito  $Z = 1/j\omega C$  pode ser expressa como função de  $n$ , ou seja:  $Z = 1/jn\omega C$ . Assim, temos:

$$I_n = \frac{V_n}{Z_n} = \frac{4V_{\max}}{\pi^2 n^2} (jn\omega C) = j \left( \frac{4V_{\max}\omega C}{\pi^2 n} \right)$$

i = 2052 W.

e a série da corrente é:

maneira, exceto a em termos de los a partir de

$$i = j \left( \frac{4V_{\max}\omega C}{\pi^2} \right) \sum \frac{e^{jn\omega t}}{n} \text{ para } n \text{ ímpar, apenas.}$$

r da Fig. 15-14 nte resultante.

A série poderia ser convertida para a forma trigonométrica e resumida, para mostrar a forma de onda da corrente. Entretanto, esse é o mesmo aspecto do resultado do Probl. 15.8, onde o coeficiente  $A_n$  é  $A_n = -j(2V/n\pi)$ , apenas para  $n$  ímpar. Aqui o sinal é negativo, indicando que a onda de corrente é o negativo da onda quadrada do Probl. 15.8, com o valor máximo  $(2V_{\max}\omega C)/\pi$ .

### Problemas Resolvidos

- 15.1 Determinar a série trigonométrica de Fourier para a onda quadrada da Fig. 15-15 e traçar o espectro de linha.

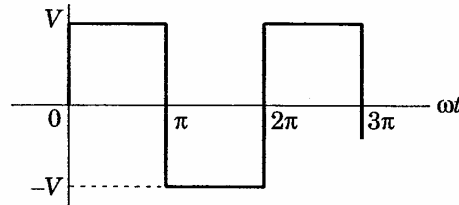


Figura 15-15

ção  $v = V_{\max} +$  coeficientes da

No intervalo  $0 < \omega t < \pi$ ,  $f(t) = V$  e, para  $\pi < \omega t < 2\pi$ ,  $f(t) = -V$ . O valor médio da onda é zero; assim,  $a_0/2 = 0$ . Os coeficientes co-senoidais são obtidos pelo cálculo integral como se segue:

$$a_n = \frac{1}{\pi} \left\{ \int_0^{\pi} V \cos n\omega t d(\omega t) + \int_{\pi}^{2\pi} (-V) \cos n\omega t d(\omega t) \right\} =$$

$$= \frac{V}{\pi} \left\{ \left[ \frac{1}{n} \operatorname{sen} n\omega t \right]_0^{\pi} - \left[ \frac{1}{n} \operatorname{sen} n\omega t \right]_{\pi}^{2\pi} \right\} = 0 \text{ para qualquer } n$$

A série contém termos co-senoidais. Procedendo à integração para os termos senoidais, temos:

$$b_n = \frac{1}{\pi} \left\{ \int_0^{\pi} V \operatorname{sen} n\omega t d(\omega t) + \int_{\pi}^{2\pi} (-V) \operatorname{sen} n\omega t d(\omega t) \right\}$$

$$= \frac{V}{\pi} \left\{ \left[ -\frac{1}{n} \cos n\omega t \right]_0^{\pi} + \left[ \frac{1}{n} \cos n\omega t \right]_{\pi}^{2\pi} \right\}$$

$$= \frac{V}{\pi n} (-\cos n\pi + \cos 0 + \cos n2\pi - \cos n\pi) = \frac{2V}{\pi n} (1 - \cos n\pi)$$

Então  $b_n = 4V/\pi n$  para  $n = 1, 3, 5, \dots$ , e  $b_n = 0$  para  $n = 2, 4, 6, \dots$ . A série para a onda quadrada é:

$$f(t) = \frac{4V}{\pi} \operatorname{sen} \omega t + \frac{4V}{3\pi} \operatorname{sen} 3\omega t + \frac{4V}{5\pi} \operatorname{sen} 5\omega t + \dots$$

A Fig. 15-16 mostra o espectro de linha para essa série. A série contém apenas termos harmônicos senoidais ímpares, o que poderia ser antecipado pelo exame da simetria da forma da onda. Como a onda da Fig. 15-15 é ímpar, sua série só contém termos senoidais; e como possui também simetria de meia onda, apenas os harmônicos ímpares estão presentes.

## 15.2 Determinar e traçar o

A onda é  $V/2$ , ela t  
No inter  
( $V/\pi$ ) $\omega t$ . C  
qualquer

$$a_n = \frac{1}{\pi}$$

$$= \frac{V}{\pi} \left\{ \int \right.$$

$$= \frac{V}{\pi^2} \left\{ \right.$$

$$= \frac{V}{\pi^2 n^2}$$

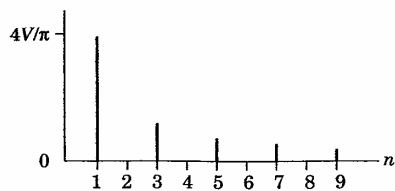


Figura 15-16

15.2 Determinar a série trigonométrica de Fourier para a onda triangular da Fig. 15-17 e traçar o espectro.

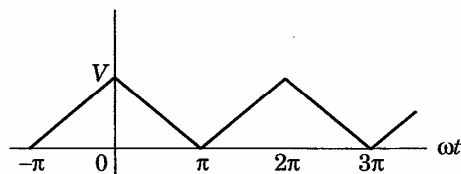


Figura 15-17

A onda é uma função par, pois  $f(t) = f(-t)$  e, se for suprimido o valor médio  $V/2$ , ela terá, também, simetria de meia onda, ou seja,  $f(t) = -f(t + T/2)$ . No intervalo  $-\pi < \omega t < 0$ ,  $f(t) = V + (V/\pi)\omega t$ ; para  $0 < \omega t < \pi$ ,  $f(t) = V - (V/\pi)\omega t$ . Como as ondas pares só contêm termos co-senoidais,  $b_n = 0$  para qualquer  $n$  inteiro. Logo:

$$\begin{aligned}
 a_n &= \frac{1}{\pi} \int_{-\pi}^0 [V + (V/\pi)\omega t] \cos n\omega t \, d(\omega t) + \frac{1}{\pi} \int_0^\pi [V - (V/\pi)\omega t] \cos n\omega t \, d(\omega t) \\
 &= \frac{V}{\pi} \left\{ \int_{-\pi}^\pi \cos n\omega t \, d(\omega t) + \int_{-\pi}^0 \frac{\omega t}{\pi} \cos n\omega t \, d(\omega t) - \int_0^\pi \frac{\omega t}{\pi} \cos n\omega t \, d(\omega t) \right\} \\
 &= \frac{V}{\pi^2} \left\{ \left[ \frac{1}{n^2} \cos n\omega t + \frac{\omega t}{n} \operatorname{sen} n\omega t \right]_{-\pi}^0 - \left[ \frac{1}{n^2} \cos n\omega t + \frac{\omega t}{n} \operatorname{sen} n\omega t \right]_0^\pi \right\} \\
 &= \frac{V}{\pi^2 n^2} \{ \cos 0 - \cos(-n\pi) - \cos n\pi + \cos 0 \} = \frac{2V}{\pi^2 n^2} (1 - \cos n\pi)
 \end{aligned}$$

) = -V. O valor  
o-senoidais são

=

ier n

gração para os

cos nπ)

l, 6, ... A série

A série contém  
leria ser ante-  
a onda da Fig.  
e como possui  
ímpares estão

Como indicava a simetria de meia onda, a série só contém termos ímpares, pois  $a_n = 0$  para  $n = 2, 4, 6, \dots$  Para  $n = 1, 3, 5, \dots, a_n = 4V/\pi^2 n^2$ . Logo, a série pedida é:

$$f(t) = \frac{V}{2} + \frac{4V}{\pi^2} \cos \omega t + \frac{4V}{(3\pi)^2} \cos 3\omega t + \frac{4V}{(5\pi)^2} \cos 5\omega t + \dots$$

Os coeficientes diminuem com  $1/n^2$  e, portanto, a série converge mais rapidamente que a do Probl. 15.1. Tal fato é evidenciado pelo espectro de linha da Fig. 15-18.

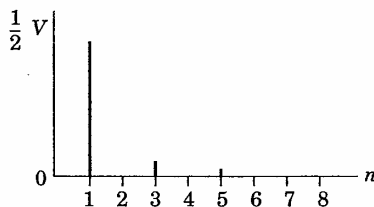


Figura 15-18

15.3 Determinar a série trigonométrica de Fourier para a onda dente-de-serra da Fig. 15-19 e traçar o espectro.

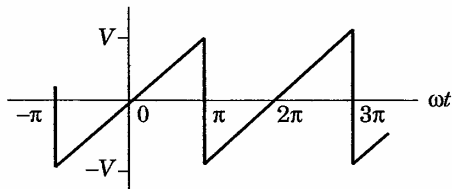


Figura 15-19

Pela inspeção, verifica-se que o valor médio da onda é zero e que a onda é ímpar. Conseqüentemente, a série conterá apenas termos senoidais. Uma única expressão,  $f(t) = (V/\pi)\omega t$ , descreve a onda no período entre  $-\pi$  e  $+\pi$ , e esses limites serão utilizados na integração para o cálculo de  $b_n$ .

$$b_n = \frac{1}{\pi} \int_{-\pi}^{\pi} (V/\pi)\omega t \operatorname{sen} n\omega t \, d(\omega t) = \frac{V}{\pi^2} \left[ \frac{1}{n^2} \operatorname{sen} n\omega t - \frac{\omega t}{n} \cos n\omega t \right]_{-\pi}^{\pi} =$$

$$= -\frac{2V}{n\pi} (\cos n\pi - \cos 0)$$

Como  $\cos n\pi = (-1)^n$  e  $\cos 0 = 1$ , portanto,

$$f(t) = \frac{2V}{\pi} \sum_{n=1,3,5,\dots} \frac{(-1)^{n+1}}{n} \operatorname{sen} n\omega t$$

Os coeficientes são zero para  $n$  par e os coeficientes para  $n$  ímpar são semelhantes aos da Fig. 15-18.

15.4 Determinar a série trigonométrica de Fourier para a onda dente-de-serra da Fig. 15-19 e traçar o espectro.

No intervalo  $-\pi < \omega t < \pi$ , a expressão da onda é  $f(t) = (V/\pi)\omega t$ . Para  $n$  ímpar, a série é:

em termos ím-  
 $4V/\pi^2 n^2$ . Logo,

$$= -\frac{2V}{n\pi} (\cos n\pi)$$

+ ...

Cos  $n\pi$  é positivo para  $n$  par e negativo para  $n$  ímpar, alternando-se, portanto, os sinais dos coeficientes. A série pedida é:

$$f(t) = \frac{2V}{\pi} \left\{ \text{sen } \omega t - \frac{1}{2} \text{sen } 2\omega t + \frac{1}{3} \text{sen } 3\omega t - \frac{1}{4} \text{sen } 4\omega t + \dots \right\}$$

converge mais  
 do espectro de

Os coeficientes diminuem com  $1/n$ ; portanto, a série converge lentamente, como mostra o espectro da Fig. 15-20. Exceto pelo deslocamento do eixo zero e do termo médio, esta forma de onda é a mesma do exemplo 1. Compare-se o espectro de linha da Fig. 15-9 com o da Fig. 15-20 e note-se a semelhança.

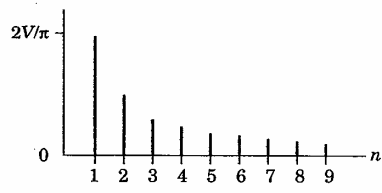


Figura 15-20

15.4 Determinar a série trigonométrica de Fourier para a onda mostrada na Fig. 15-21 e traçar o espectro.

No intervalo  $0 < \omega t < \pi$ ,  $f(t) = (V/\pi)\omega t$ ; para  $\pi < \omega t < 2\pi$ ,  $f(t) = 0$ . Pela observação, o valor médio da onda é  $V/4$ . Como a onda não é par nem ímpar, a série conterá termos em seno e em co-seno. No intervalo de 0 a  $\pi$ , temos:

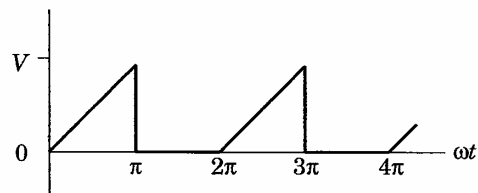


Figura 15-21

e que a onda é  
 enoidais. Uma  
 entre  $-\pi$  e  $+\pi$ ,  
 de  $b_n$ .

$$\int_{-\pi}^{\pi} \cos n\omega t =$$

$$a_n = \frac{1}{\pi} \int_0^\pi (V/\pi)\omega t \cos n\omega t d(\omega t) = \frac{V}{\pi^2} \left[ \frac{1}{n^2} \cos n\omega t + \frac{\omega t}{n} \operatorname{sen} n\omega t \right]_0^\pi =$$

$$= \frac{V}{\pi^2 n^2} (\cos n\pi - 1)$$

Se  $n$  é par,  $(\cos n\pi - 1) = 0$  e  $a_n = 0$ . Se  $n$  é ímpar,  $a_n = -2V/(\pi^2 n^2)$ . Os coeficientes  $b_n$  são:

$$b_n = \frac{1}{\pi} \int_0^\pi (V/\pi)\omega t \operatorname{sen} n\omega t d(\omega t) = \frac{V}{\pi^2} \left[ \frac{V}{n^2} \operatorname{sen} n\omega t - \frac{\omega t}{n} \cos n\omega t \right]_0^\pi =$$

$$= -\frac{V}{\pi n} (\cos n\pi)$$

O sinal é alternadamente negativo em  $b_n = -V/\pi n$  para  $n$  par e  $b_n = +V/\pi n$  para  $n$  ímpar. Assim, a série pedida é:

$$f(t) = \frac{V}{4} - \frac{2V}{\pi^2} \cos \omega t - \frac{2V}{(3\pi)^2} \cos 3\omega t - \frac{2V}{(5\pi)^2} \cos 5\omega t - \dots$$

$$+ \frac{V}{\pi} \operatorname{sen} \omega t - \frac{V}{2\pi} \operatorname{sen} 2\omega t + \frac{V}{3\pi} \operatorname{sen} 3\omega t - \dots$$

As amplitudes dos harmônicos pares dadas diretamente pelos coeficientes  $b_n$ , já que não existem termos pares em co-seno. Entretanto, as amplitudes dos harmônicos ímpares devem ser calculadas de  $c_n = \sqrt{a_n^2 + b_n^2}$ .

Assim,  $C_1 = \sqrt{(2V/\pi^2)^2 + (V/\pi)^2} = V(0,377)$ . Do mesmo modo  $C_3 = V(0,109)$  e  $C_5 = V(0,064)$ . A Fig. 15-22 mostra o espectro de linha.

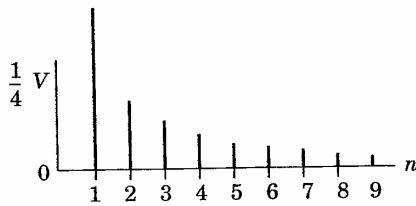


Figura 15-22

15.5 Determinada, mo

A onda r  
termos e  
observaç

$$a_0 = \frac{1}{\pi}$$

A seguir

$$a_n = \frac{1}{\pi}$$

$$= \frac{V}{\pi} \left[ \dots \right]$$

Para  $n$  j  
esta exp  
para  $a_1$ .

$$a_1 = \frac{1}{\pi}$$

A segui

$$b_n = \frac{1}{\pi}$$

$$= \frac{V}{\pi} \left[ \dots \right]$$

15.5 Determinar a série trigonométrica de Fourier para a meia-onda senoidal retificada, mostrada na Fig. 15-23, e traçar o espectro de linha.

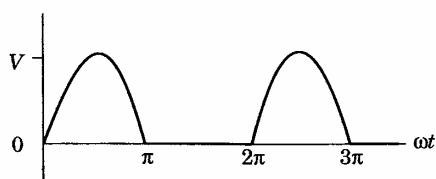


Figura 15-23

A onda não apresenta simetria; assim, espera-se que a série contenha termos em seno e em co-seno. Como o valor médio não é obtido por observação, calcula-se  $a_0$  para o termo  $a_0/2$  da série. Logo:

$$a_0 = \frac{1}{\pi} \int_0^\pi V \sin \omega t \, d(\omega t) = \frac{V}{\pi} [-\cos \omega t]_0^\pi = \frac{2V}{\pi}$$

A seguir, calcula-se  $a_n$ :

$$\begin{aligned} a_n &= \frac{1}{\pi} \int_0^\pi V \sin \omega t \cos n\omega t \, d(\omega t) \\ &= \frac{V}{\pi} \left[ \frac{-n \sin \omega t \sin n\omega t - \cos n\omega t \cos \omega t}{-n^2 + 1} \right]_0^\pi = \frac{V}{\pi(1-n^2)} (\cos n\pi + 1) \end{aligned}$$

Para  $n$  par,  $a_n = 2V/\pi(1-n^2)$ ; para ímpar,  $a_n = 0$ . Entretanto, para  $n = 1$  esta expressão é indeterminada; assim, deve-se integrar separadamente para  $a_1$ .

$$a_1 = \frac{1}{\pi} \int_0^\pi V \sin \omega t \cos \omega t \, d(\omega t) = \frac{V}{\pi} \int_0^\pi \frac{1}{2} \sin 2\omega t \, d(\omega t) = 0$$

A seguir, calcula-se  $b_n$ :

$$\begin{aligned} b_n &= \frac{1}{\pi} \int_0^\pi V \sin \omega t \sin n\omega t \, d(\omega t) = \\ &= \frac{V}{\pi} \left[ \frac{n \sin \omega t \cos n\omega t - \sin n\omega t \cos \omega t}{-n^2 + 1} \right]_0^\pi = 0 \end{aligned}$$

Também aqui, a expressão é indeterminada para  $n = 1$ ; calcula-se  $b_1$  separadamente.

$$b_1 = \frac{1}{\pi} \int_0^\pi V \text{sen}^2 \omega t d(\omega t) = \frac{V}{\pi} \left[ \frac{\omega t}{2} - \frac{\text{sen } 2\omega t}{4} \right]_0^\pi = \frac{V}{2}$$

A série de Fourier pedida é:

$$f(t) = \frac{V}{\pi} \left\{ 1 + \frac{\pi}{2} \text{sen } \omega t - \frac{2}{3} \cos 2\omega t - \frac{2}{15} \cos 4\omega t - \frac{2}{35} \cos 6\omega t - \dots \right\}$$

O espectro da Fig. 15-24 mostra o forte termo fundamental da série e as amplitudes rapidamente decrescentes dos harmônicos de ordem superior.

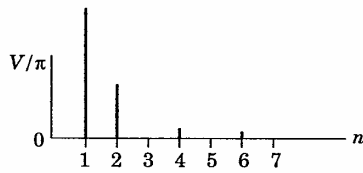


Figura 15-24

- 15.6 Determinar a série trigonométrica de Fourier para a meia onda senoidal retificada da Fig. 15-25, na qual o eixo vertical foi deslocado de sua posição em relação ao Probl. 15.5.

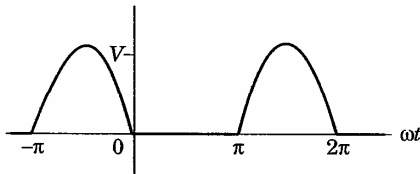


Figura 15-25

No intervalo  $-\pi < \pi\omega t < 0$  a função é descrita por  $f(t) = -V \text{sen } \omega t$ . O valor médio é o mesmo do Probl. 15.5, ou seja,  $\alpha_0 = 2V/\pi$ . Para os coeficientes  $\alpha_n$ , tem-se:

$$\alpha_n = \frac{1}{\pi} \int_{-\pi}^0$$

Para  $n$  par que deve s

$$\alpha_1 = \frac{1}{\pi} \int_{-\pi}^0$$

Para os co

$$b_n = \frac{1}{\pi} \int_{-\pi}^0$$

Novament  
cular  $b_1$  ei

$$b_1 = \frac{1}{\pi} \int_{-\pi}^0$$

A série é, ]

$$f(t) = \frac{V}{\pi}$$

Esta série  
aqui, é ne;

- 15.7 Determinar na Fig. 15-

$$a_n = \frac{1}{\pi} \int_{-\pi}^0 (-V \operatorname{sen} \omega t) \cos n\omega t \, d(\omega t) = \frac{V}{\pi(1-n^2)} (1 + \cos n\pi)$$

Para  $n$  par,  $a_n = 2V/\pi(1-n^2)$ ; e para  $n$  ímpar,  $a_n = 0$ , exceto para  $n = 1$ , que deve ser examinado separadamente. Temos:

$$a_1 = \frac{1}{\pi} \int_{-\pi}^0 (-V \operatorname{sen} \omega t) \cos \omega t \, d(\omega t) = 0$$

Para os coeficientes  $b_n$ , tem-se:

$$b_n = \frac{1}{\pi} \int_{-\pi}^0 (-V \operatorname{sen} \omega t) \operatorname{sen} n\omega t \, d(\omega t) = 0$$

Novamente esta expressão é indeterminada para  $n = 1$ ; tem-se de calcular  $b_1$  em separado. Temos:

$$b_1 = \frac{1}{\pi} \int_{-\pi}^0 (-V) \operatorname{sen}^2 \omega t \, d(\omega t) = -\frac{V}{2}$$

A série é, portanto, dada por:

$$f(t) = \frac{V}{\pi} \left\{ 1 - \frac{\pi}{2} \operatorname{sen} \omega t - \frac{2}{3} \cos 2\omega t - \frac{2}{15} \cos 4\omega t - \frac{2}{35} \cos 6\omega t - \dots \right\}$$

Esta série é idêntica à do Probl. 15.5, exceto no termo fundamental, que, aqui, é negativo. Obviamente, o espectro é idêntico ao da Fig. 15-24.

- 15.7 Determinar a série trigonométrica de Fourier para o impulso retangular mostrado na Fig. 15-26 e locar o espectro.

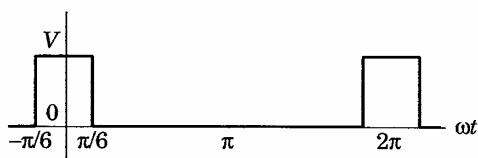


Figura 15-26

Com a posição indicada para o eixo zero, a onda é par e a série conterà apenas o termo constante e os termos em co-seno. Para o cálculo das integrais, é usado o período de  $-\pi$  a  $+\pi$  e a função é nula, exceto no intervalo de  $-\pi/6$  a  $+\pi/6$ .

$$a_0 = \frac{1}{\pi} \int_{-\pi/6}^{\pi/6} V d(\omega t) = \frac{V}{3}, \quad a_n = \frac{1}{\pi} \int_{-\pi/6}^{\pi/6} V \cos n\omega t d(\omega t) = \frac{2V}{n\pi} \operatorname{sen} \frac{n\pi}{6}$$

Como  $\operatorname{sen} n\pi/6 = 1/2, \sqrt{3}/2, 1, \sqrt{3}/2, 1/2, 0, -1/2, \dots$  para  $n = 1, 2, 3, 4, 5, 6, 7, \dots$  respectivamente, a série é:

$$f(t) = \frac{V}{6} + \frac{2V}{\pi} \left\{ \frac{1}{2} \cos \omega t + \frac{\sqrt{3}}{2} \left( \frac{1}{2} \right) \cos 2\omega t + 1 \left( \frac{1}{3} \right) \cos 3\omega t + \frac{\sqrt{3}}{2} \left( \frac{1}{4} \right) \cos 4\omega t + \frac{1}{2} \left( \frac{1}{5} \right) \cos 5\omega t - \frac{1}{2} \left( \frac{1}{7} \right) \cos 7\omega t - \dots \right\}$$

ou

$$f(t) = \frac{V}{6} + \frac{2V}{\pi} \sum_{n=1}^{\infty} \frac{1}{n} \operatorname{sen} (n\pi/6) \cos n\omega t$$

Como mostra a Fig. 15-27, o espectro de linha para esta onda decresce muito lentamente, pois a série converge muito lentamente para a função. É de particular interesse o fato de que as amplitudes dos 8º, 9º e 10º harmônicos são superiores à do 7º. Nas ondas até aqui consideradas, as amplitudes dos harmônicos de ordem superior eram progressivamente menores.

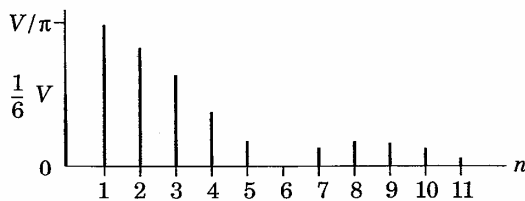


Figura 15-27

15.8 Determinar traçar o e: comparar c

No interv médio da imaginári

$$A_n = \frac{1}{2\pi}$$

$$= \frac{V}{2\pi} \left[ - \right]$$

$$= \frac{V}{(-j2\pi n)}$$

Para n pa série ped

$$f(t) = \dots$$

O espect positivas a mesma

Os coefic

$$a_n = A_n$$

15.8 Determinar a série exponencial de Fourier para a onda quadrada da Fig. 15-28 e traçar o espectro de linha. Achar os coeficientes da série trigonométrica e comparar com o Probl. 15.1.

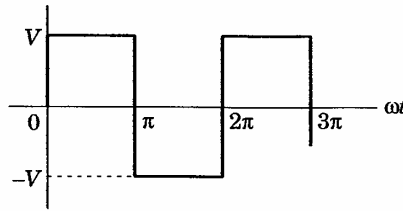


Figura 15-28

No intervalo  $-\pi < \omega t < 0$ ,  $f(t) = -V$ ; para  $0 < \omega t < \pi$ ,  $f(t) = V$ . O valor médio da onda é zero. A onda é ímpar; portanto, os coeficientes  $A_n$  serão imaginários puros.

$$\begin{aligned}
 A_n &= \frac{1}{2\pi} \left\{ \int_{-\pi}^0 (-V) e^{-jn\omega t} d(\omega t) + \int_0^{\pi} V e^{-jn\omega t} d(\omega t) \right\} \\
 &= \frac{V}{2\pi} \left\{ - \left[ \frac{1}{(-jn)} e^{-jn\omega t} \right]_{-\pi}^0 + \left[ \frac{1}{(-jn)} e^{-jn\omega t} \right]_0^{\pi} \right\} \\
 &= \frac{V}{(-j2\pi n)} (-e^0 + e^{jn\pi} + e^{-jn\pi} - e^0) = j \frac{V}{n\pi} (e^{jn\pi} - 1)
 \end{aligned}$$

Para  $n$  par,  $e^{jn\pi} = +1$  e  $A_n = 0$ ; para  $n$  ímpar,  $e^{jn\pi} = -1$  e  $A_n = -j(2V/\pi)$ . A série pedida é:

$$f(t) = \dots + j \frac{2V}{3\pi} e^{-j3\omega t} + j \frac{2V}{\pi} e^{-j\omega t} - j \frac{2V}{\pi} e^{j\omega t} - j \frac{2V}{3\pi} e^{j3\omega t} - \dots$$

O espectro da Fig. 15-29 mostra as amplitudes para as frequências positivas e negativas. Combinando-se os valores para  $+n$  e  $-n$ , obtém-se a mesma representação da série trigonométrica da Fig. 15-16.

Os coeficientes co-senoidais da série trigonométrica são:

$$a_n = A_n + A_{-n} = -j \frac{2V}{n\pi} + \left( -j \frac{2V}{(-n\pi)} \right) = 0$$

a série conterá  
o cálculo das  
ula, exceto no

$$= \frac{2V}{n\pi} \operatorname{sen} \frac{n\pi}{6}$$

$n = 1, 2, 3, 4, 5,$

$\cos 3\omega t +$

onda decresce  
para a função.  
os 8º, 9º e 10º  
nsideradas, as  
gressivamente

e

$$b_n = j[A_n - A_{-n}] = j \left[ j \frac{4V}{n\pi} + j \frac{2V}{(-n\pi)} \right] = \frac{4V}{n\pi} \text{ apenas } n \text{ ímpar}$$

Isto está de acordo com os coeficientes da série trigonométrica do Probl. 15.1.

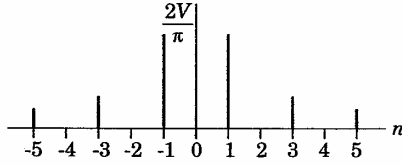


Figura 15-29

15.9 Determinar a série exponencial de Fourier para a onda triangular da Fig. 15-30 e traçar o espectro.

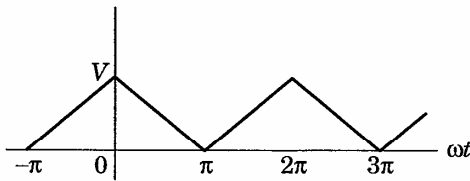


Figura 15-30

No intervalo  $-\pi < \omega t < 0$ ,  $f(t) = V + (V/\pi)\omega t$ ; para  $0 < \omega t < \pi$ ,  $f(t) = V - (V/\pi)\omega t$ . A onda é par e, conseqüentemente, os coeficientes  $A_n$  serão reais. Pela inspeção, o valor médio é  $V/2$ .

$$\begin{aligned} A_n &= \frac{1}{2\pi} \left\{ \int_{-\pi}^0 [V + (V/\pi)\omega t] e^{-jn\omega t} d(\omega t) + \int_0^{\pi} [V - (V/\pi)\omega t] e^{-jn\omega t} d(\omega t) \right\} \\ &= \frac{V}{2\pi^2} \left\{ \int_{-\pi}^0 \omega t e^{-jn\omega t} d(\omega t) + \int_0^{\pi} (-\omega t) e^{-jn\omega t} d(\omega t) + \int_{-\pi}^{\pi} \pi e^{-jn\omega t} d(\omega t) \right\} \\ &= \frac{V}{2\pi^2} \left\{ \left[ \frac{e^{-jn\omega t}}{(-jn)^2} (-jn\omega t - 1) \right]_{-\pi}^0 - \left[ \frac{e^{jn\omega t}}{(-jn)^2} (-jn\omega t - 1) \right]_0^{\pi} \right\} = \frac{V}{\pi^2 n^2} [1 - e^{jn\pi}] \end{aligned}$$

Para  $n$  par a série é:

$$f(t) = \dots$$

A Fig. 15 somadas,

Os coefic

$$a_n = A_n$$

$$e \quad b_n$$

Esses coef

15.10 Determina da Fig. 15

Para  $n$  par,  $e^{jn\pi} = +1$  e  $A_n = 0$ ; para  $n$  ímpar,  $A_n = 2V/\pi^2 n^2$ . Portanto, a série é:

$$f(t) = \dots + \frac{2V}{(-3\pi)^2} e^{-j3\omega t} + \frac{2V}{(-\pi)^2} e^{-j\omega t} + \frac{V}{2} + \frac{2V}{(\pi)^2} e^{j\omega t} + \frac{2V}{(3\pi)^2} e^{j3\omega t} + \dots$$

A Fig. 15-31 é o espectro com as linhas em  $-n$  e  $+n$  que, uma vez somadas, representam as mesmas amplitudes do espectro da Fig. 15-18.

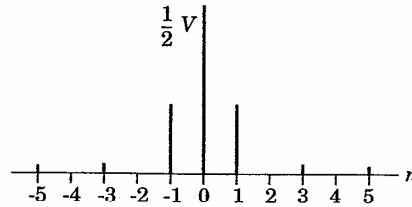


Figura 15-31

Os coeficientes da série trigonométrica são:

$$a_n = A_n + A_{-n} = \frac{2V}{\pi^2 n^2} + \frac{2V}{\pi^2 (-n)^2} = \frac{4V}{\pi^2 n^2} \text{ para } n \text{ ímpar}$$

$$e \quad b_n = j[A_n - A_{-n}] = j\left[\frac{2V}{\pi^2 n^2} - \frac{2V}{\pi^2 (-n)^2}\right] = 0$$

Esses coeficientes concordam com os resultados do Probl. 15.2.

- 15.10 Determinar a série exponencial de Fourier para a meia-onda senoidal retificada da Fig. 15-32.

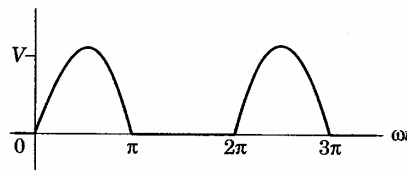
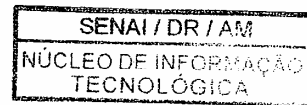


Figura 15-32



mpar  
rica do Probl.

da Fig. 15-30 e

$< \pi$ ,  $f(t) = V -$   
 $b_n$  serão reais.

$$\left. \begin{aligned} & e^{-jn\omega t} d(\omega t) \\ & e^{-jn\omega t} d(\omega t) \end{aligned} \right\}$$

$$\frac{V}{\pi^2 n^2} [1 - e^{jn\pi}]$$

No intervalo  $0 < \omega t < \pi$ ,  $f(t) = V \text{ sen } \omega t$ ; de  $\pi$  a  $2\pi$ ,  $f(t) = 0$ . Então, temos:

$$A_n = \frac{1}{2\pi} \int_0^\pi V \text{ sen } \pi t e^{-jn\omega t} d(\omega t) =$$

$$= \frac{V}{2\pi} \left[ \frac{e^{-jn\omega t}}{(1-n^2)} (-jn \text{ sen } \omega t - \cos \omega t) \right]_0^\pi = \frac{V}{2\pi(1-n^2)} (e^{-jn\pi} + 1)$$

Para  $n$  par,  $A_n = V/\pi(1-n^2)$ ; para  $n$  ímpar,  $e^{-jn\pi} = -1$  e  $A_n = 0$ . Entretanto, para  $n = \pm 1$ , a expressão de  $A_n$  fica indeterminada. A regra de L'Hôpital pode ser aplicada, ou seja, o numerador e o denominador de  $\frac{V}{2\pi(1-n^2)} (e^{-jn\pi} + 1)$  são diferenciados separadamente em relação a  $n$ , faz-se  $n$  tender para 1, de onde resulta que  $A_1 = -j(V/4)$  e  $A_{-1} = j(V/4)$ .

O valor médio é:

$$A_0 = \frac{1}{2\pi} \int_0^\pi V \text{ sen } \omega t d(\omega t) = \frac{V}{2\pi} [-\cos \omega t]_0^\pi = \frac{V}{\pi}$$

A série exponencial de Fourier é:

$$f(t) = \dots - \frac{V}{15\pi} e^{-j4\omega t} - \frac{V}{3\pi} e^{-j2\omega t} + j\frac{V}{4} e^{-j\omega t} + \frac{V}{\pi} - j\frac{V}{4} e^{j\omega t} -$$

$$- \frac{V}{3\pi} e^{j2\omega t} - \frac{V}{15\pi} e^{j4\omega t} - \dots$$

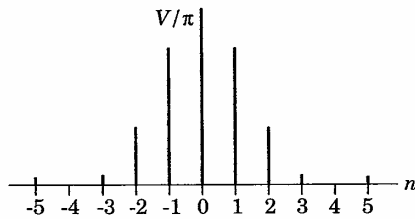


Figura 15-33

É interessante ressaltar que a série só contém dois coeficientes imaginários, em  $n = \pm 1$ , e que o termo em seno na série trigonométrica do Probl. 15.6 tem o coeficiente  $b_1 = j(A_1 - A_{-1}) = j[-j(V/4) - j(V/4)] = 1/2 V$ .

O espectro da onda.

15.11 Calcular a corrente  $i$ .

O valor e potência

Outro m

que são d

corrente

$$v_R = Ri$$

$$e \quad P =$$

15.12 Determina aplicada e

$$v = 50 +$$

$$i = 11,2$$

A potênc:

$$P = \frac{1}{2}(50$$

$$+ \frac{1}{2}(20)($$

15.13 Determina aplicada

A série d termo co capacitor resistor.

A corren

Então, temos:

O espectro de linha da Fig. 15-33 mostra as amplitudes dos harmônicos da onda. Convém compará-lo com o da Fig. 15-24.

- 15.11 Calcular a potência média em uma resistência  $R = 10$  ohms, sendo a série da corrente  $i = 10 \sin \omega t + 5 \sin 3\omega t + 2 \sin 5\omega t$ .

$(e^{-jn\pi} + 1)$

O valor eficaz da corrente é  $I = \sqrt{\frac{1}{2}(10)^2 + \frac{1}{2}(5)^2 + \frac{1}{2}(2)^2} = \sqrt{64,5} = 8,03$ . A potência média é, portanto:  $P = I^2 R = (64,5)10 = 645$  W.

0. Entretanto,  
a. A regra de  
nominador de  
em relação a  $n$ ,

**Outro método.** A potência total é a soma das potências dos harmônicos, que são dadas por  $\frac{1}{2} V_{\max} I_{\max} \cos \theta$ . Porém, na resistência, a tensão e a corrente estão em fase para todos os harmônicos  $\theta_n = 0$ . Logo, temos:

$A_{-1} = j(V/4)$ .

$$v_R = Ri = 100 \sin \omega t + 50 \sin 3\omega t + 20 \sin 5\omega t$$

$$e \quad P = \frac{1}{2}(10)(100) + \frac{1}{2}(5)(50) + \frac{1}{2}(2)(20) = 645 \text{ W.}$$

- 15.12 Determinar a potência média entregue a uma estrutura, sabendo que a tensão aplicada e a corrente resultante são:

$$v = 50 + 50 \sin 5 \times 10^3 t + 30 \sin 10^4 t + 20 \sin 2 \times 10^4 t$$

$$i = 11,2 \sin (5 \times 10^3 t + 63,4^\circ) + 10,6 \sin (10^4 t + 45^\circ) + 8,97 \sin (2 \times 10^4 t + 26,6^\circ)$$

A potência média total é a soma das potências devidas aos harmônicos:

$$P = \frac{1}{2}(50)(11,2) \cos 63,4^\circ + \frac{1}{2}(30)(10,6) \cos 45^\circ + \frac{1}{2}(20)(8,97) \cos 26,6^\circ = 317,7 \text{ W}$$

- 15.13 Determinar as constantes do circuito série de dois elementos no qual a tensão aplicada e a corrente resultante são as dadas no Probl. 15.12.

A série da tensão contém um termo constante igual a 50, porém não existe termo correspondente na série da corrente; logo, um dos elementos é um capacitor. Como o circuito absorve potência, o outro elemento deve ser um resistor.

$$A \text{ corrente eficaz é } I = \sqrt{\frac{1}{2}(11,2)^2 + \frac{1}{2}(10,6)^2 + \frac{1}{2}(8,97)^2} = 12,6.$$

entes imaginária  
étrica do Probl.  
= 1/2 V.

A potência média  $P = I^2R$ ; donde  $R = P/I^2 = 317,7/159,2 = 2$  ohms.

Para  $\omega = 5 \times 10^3$   $|Z| = V_{\max}/I_{\max} = 50/11,2 = 4,47$ . Como  $|Z| = \sqrt{R^2 + X_C^2}$ ,  $X_C = \sqrt{(4,47)^2 - 4} = 4$ .

Logo,  $X_C = 1/(\omega C)$  e  $C = 1/(\omega X_C) = 1/(4 \times 5 \times 10^3) = 50 \mu F$

15.14 A onda de tensão da Fig. 15-34 é aplicada a um circuito série de  $R = 2000$  ohms e  $L = 10$  H. Achar a tensão no resistor, empregando a série trigonométrica de Fourier. Traçar o espectro de linha da tensão aplicada e de  $v_R$  para mostrar o efeito da indutância sobre os harmônicos, sendo  $\omega = 377$  rad/s.

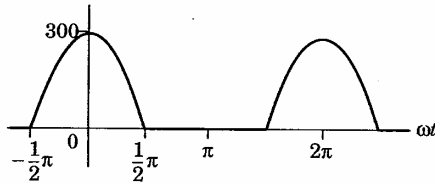


Figura 15-34

Como no Probl. 15.5, a tensão aplicada tem valor médio  $V_{\max}/\pi$ . A função é par e a série, portanto, contém apenas termos em co-seno, cujos coeficientes são obtidos pela integração que se segue:

$$a_n = \frac{1}{\pi} \int_{-\pi/2}^{\pi/2} 300 \cos \omega t \cos n\omega t d(\omega t) = \frac{600}{\pi(1 - n^2)} \cos n\pi/2$$

$\cos n\pi/2$  tem valor  $-1$  para  $n = 2, 6, 10, \dots$  e  $+1$  para  $n = 4, 8, 12, \dots$ . Para  $n$  ímpar,  $\cos n\pi/2 = 0$ . Entretanto, para  $n = 1$  a expressão é indeterminada e deve ser calculada separadamente. Temos:

$$a_1 = \frac{1}{\pi} \int_{-\pi/2}^{\pi/2} 300 \cos^2 \omega t d(\omega t) = \frac{300}{\pi} \left[ \frac{\omega t}{2} + \frac{\text{sen } 2\omega t}{4} \right]_{-\pi/2}^{\pi/2} = \frac{300}{2}$$

Assim, a série da tensão é:

$$v = \frac{300}{\pi} \left\{ 1 + \frac{\pi}{2} \cos \omega t + \frac{2}{3} \cos 2\omega t - \frac{2}{15} \cos 4\omega t + \frac{2}{35} \cos 6\omega t - \dots \right\}$$

A impedância cada harmônio a seguir

$n$	
0	
1	
2	
4	
6	

Calcular os de at:

$n = 0,$

$n = 1,$

$n = 2,$

A série é

$$i = \frac{300}{2k\pi}$$

$$= \frac{60}{15\pi(1)}$$

A tensão

$$v_R = 95$$

Na Fig. como as 10 H em

2 ohms.

$$|Z| = \sqrt{R^2 + X_C^2}$$

$$= 50 \mu F$$

$R = 2000$  ohms  
 trigonométrica de  
 para mostrar o

A impedância total do circuito em série,  $Z = R + jn\omega L$ , é calculada para cada harmônico na expressão da tensão. Os resultados constam do quadro a seguir, onde  $k$  representa  $10^3$ .

$n$	$n\omega$	$R$	$n\omega L$	$ Z $	$\theta$
0	0	2 k	0	2 k	0°
1	377	2 k	3,77 k	4,26 k	62°
2	754	2 k	7,54 k	7,78 k	75,1°
4	1508	2 k	15,08 k	15,2 k	82,45°
6	2262	2 k	22,62 k	22,6 k	84,92°

Calculando os coeficientes para a série da corrente (observando os ângulos de atraso), temos:

$$n = 0, I_0 = \frac{300/\pi}{2 \text{ k}}$$

$$n = 1, i_1 = \frac{300/2}{4,26 \text{ k}} \cos(\omega t - 62^\circ);$$

$$n = 2, i_2 = \frac{600/3\pi}{7,78 \text{ k}} \cos(2\omega t - 75,1^\circ) \text{ etc.}$$

A série da corrente é, então:

$$i = \frac{300}{2 \text{ k}\pi} + \frac{300}{(2)4,26 \text{ k}} \cos(\omega t - 62^\circ) + \frac{600}{3\pi(7,78 \text{ k})} \cos(2\omega t - 75,1^\circ) - \frac{600}{15\pi(15,2 \text{ k})} \cos(4\omega t - 82,45^\circ) + \frac{600}{35\pi(22,6 \text{ k})} \cos(6\omega t - 84,92^\circ) - \dots$$

A tensão no resistor de 2 k é  $i(2 \text{ k})$  ou:

$$v_R = 95,5 + 70,4 \cos(\omega t - 62^\circ) + 16,4 \cos(2\omega t - 75,1^\circ) - 1,67 \cos(4\omega t - 82,45^\circ) + 0,483 \cos(6\omega t - 84,92^\circ) - \dots$$

Na Fig. 15-35, o espectro da tensão aplicada e  $V_R$  mostram claramente como as amplitudes dos harmônicos ficaram reduzidas pela indutância de 10 H em série.

$\frac{\sin}{\pi}$ . A função  
 10, cujos coefi-

$\frac{\sin}{2}$

8, 12, ... Para  
 ndeterminada

$$= \frac{300}{2}$$

s  $6\omega t - \dots$  }

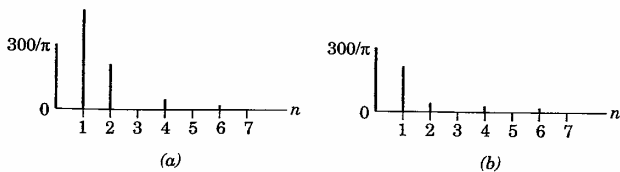


Figura 15-35

15.15 A corrente numa indutância  $L = 0,01$  H tem a forma de onda mostrada na Fig. 15-36. Determinar a série trigonométrica da tensão na indutância,  $v_L$ , sendo  $\omega = 500$  rad/s.

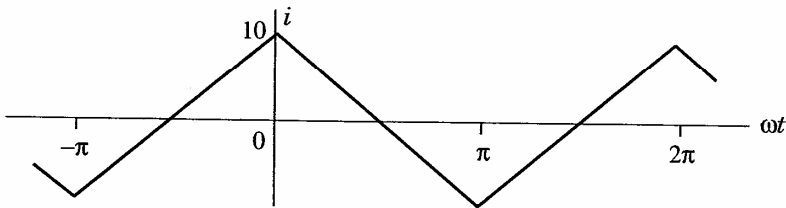


Figura 15-36

O valor médio da corrente é zero e a onda é par. Portanto, a série conterà apenas termos em co-seno. No intervalo  $-\pi < \omega t < 0$ ,  $i = 10 + (20/\pi)\omega t$ ; para  $0 < \omega t < \pi$ ,  $i = 10 - (20/\pi)\omega t$ . Temos, portanto:

$$a_n = \frac{1}{\pi} \left\{ \int_{-\pi}^0 [10 + (20/\pi)\omega t] \cos n\omega t d(\omega t) + \int_0^{\pi} [10 - (20/\pi)\omega t] \cos n\omega t d(\omega t) \right\}$$

$$= \frac{40}{\pi^2 n^2} (1 - \cos n\pi) = \frac{80}{\pi^2 n^2} \text{ para } n \text{ ímpar, apenas.}$$

A série da corrente é, então:

$$i = \frac{80}{\pi^2} \left\{ \cos \omega t + \frac{1}{9} \cos 3\omega t + \frac{1}{25} \cos 5\omega t + \frac{1}{49} \cos 7\omega t + \dots \right\}$$

A tensão

$$v_L = L \frac{di}{dt} = \frac{400}{\pi^2} \left\{ \dots \right\}$$

A forma daquela da igual

15.16 Faça a si

$$f(t) = \frac{8}{\tau}$$

15.17 Faça a si

$$f(t) = 5$$

$$+ \frac{20}{\pi} \left( s \right)$$

15.18 Faça a s

$$f(t) = V$$

$$- \frac{1}{15\pi} c$$

$$+ \dots +$$

15.19 Determinar 15-37 e 1

Resp.: j

A tensão na indutância é:

$$v_L = L \frac{di}{dt} = 0,01 \left( \frac{80}{\pi^2} \right) \frac{d}{dt} \left\{ \cos \omega t + \frac{1}{9} \cos 3\omega t + \frac{1}{25} \cos 5\omega t + \dots \right\}$$

$$= \frac{400}{\pi^2} \left\{ -\operatorname{sen} \omega t - \frac{1}{3} \operatorname{sen} 3\omega t - \frac{1}{5} \operatorname{sen} 5\omega t - \frac{1}{7} \operatorname{sen} 7\omega t - \dots \right\}$$

A forma de onda poderia ser obtida por síntese, porém esta série difere daquela do Probl. 15.1 pelo sinal menos;  $v_L$  é, portanto, uma onda quadrada igual à da Fig. 15-15 multiplicada por menos um.

### Problemas Propostos

15.16 Faça a síntese da forma de onda cuja série trigonométrica de Fourier é:

$$f(t) = \frac{8V}{\pi^2} \left\{ \operatorname{sen} \omega t - \frac{1}{9} \operatorname{sen} 3\omega t + \frac{1}{25} \operatorname{sen} 5\omega t - \frac{1}{49} \operatorname{sen} 7\omega t + \dots \right\}$$

15.17 Faça a síntese da forma de onda cuja série de Fourier é:

$$f(t) = 5 - \frac{40}{\pi^2} \left( \cos \omega t + \frac{1}{9} \cos 3\omega t + \frac{1}{25} \cos 5\omega t + \dots \right)$$

$$+ \frac{20}{\pi} \left( \operatorname{sen} \omega t - \frac{1}{2} \operatorname{sen} 2\omega t + \frac{1}{3} \operatorname{sen} 3\omega t - \frac{1}{4} \operatorname{sen} 4\omega t + \dots \right)$$

15.18 Faça a síntese da forma de onda da seguinte série de Fourier:

$$f(t) = V \left\{ \frac{1}{2\pi} - \frac{1}{\pi} \cos \omega t - \frac{1}{3\pi} \cos 2\omega t + \frac{1}{2\pi} \cos 3\omega t - \right.$$

$$\left. - \frac{1}{15\pi} \cos 4\omega t - \frac{1}{6\pi} \cos 6\omega t + \right.$$

$$\left. + \dots + \frac{1}{4} \operatorname{sen} \omega t - \frac{2}{3\pi} \operatorname{sen} 2\omega t + \frac{4}{15\pi} \operatorname{sen} 4\omega t - \dots \right\}$$

15.19 Determinar a série trigonométrica de Fourier para a onda dente-de-serra da Fig. 15-37 e traçar o espectro de linha. Comparar com o exemplo 1.

Resp.:  $f(t) = \frac{V}{2} + \frac{V}{\pi} \left\{ \operatorname{sen} \omega t + \frac{1}{2} \operatorname{sen} 2\omega t + \frac{1}{3} \operatorname{sen} 3\omega t + \dots \right\}$

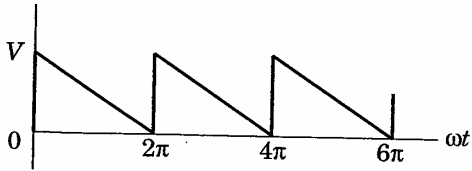


Figura 15-37

15.20 Determinar a série trigonométrica de Fourier para a onda dente-de-serra da Fig. 15-38 e traçar o espectro. Comparar com o resultado do Probl.15.3.

Resp.:  $f(t) = \frac{-2V}{\pi} \left\{ \text{sen } \omega t + \frac{1}{2} \text{sen } 2\omega t + \frac{1}{3} \text{sen } 3\omega t + \frac{1}{4} \text{sen } 4\omega t + \dots \right\}$

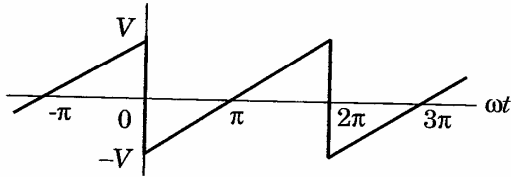


Figura 15-38

15.21 Determinar a série trigonométrica de Fourier para a forma de onda da Fig. 15-39 e traçar o espectro.

Resp.:  $f(t) = \frac{4V}{\pi^2} \left\{ \cos \omega t + \frac{1}{9} \cos 3\omega t + \frac{1}{25} \cos 5\omega t + \dots \right\} - \frac{2V}{\pi} \left\{ \text{sen } \omega t + \frac{1}{3} \text{sen } 3\omega t + \frac{1}{5} \text{sen } 5\omega t + \dots \right\}$

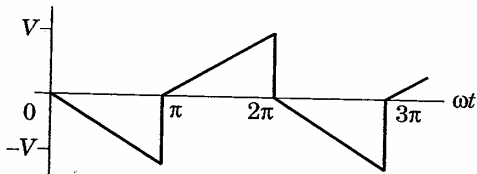


Figura 15-39

15.22 Determinar o espectro  
Resp.:  $f(\dots)$

15.23 Determinar Figs. 15-4  
Resp.:  $f_1(t) = \frac{5}{12}$

$f_1(t) = \frac{5}{12}$

$f_2(t) = \frac{5}{6}$

15.24 Determinar a frequência da onda dos Probl

**15.22** Determinar a série trigonométrica de Fourier para a onda da Fig. 15-40 e traçar o espectro. Comparar com o resultado do Probl. 15.1.

Resp.:  $f(t) = \frac{4V}{\pi} \left\{ \cos \omega t - \frac{1}{3} \cos 3\omega t + \frac{1}{5} \cos 5\omega t - \frac{1}{7} \cos 7\omega t + \dots \right\}$

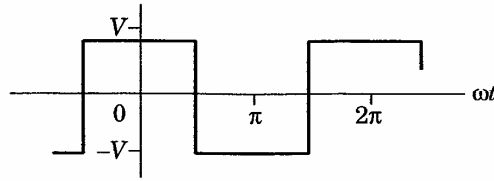


Figura 15-40

**15.23** Determinar as séries trigonométricas de Fourier para as ondas mostradas nas Figs. 15-41(a) e (b). Traçar os espectros respectivos e compará-los.

Resp.:

$$f_1(t) = \frac{5}{12} + \sum_{n=1}^{\infty} \left\{ \frac{10}{n\pi} \left( \sin \frac{n\pi}{12} \right) \cos n\omega t + \frac{10}{n\pi} \left( 1 - \cos \frac{n\pi}{12} \right) \sin n\omega t \right\}$$

$$f_2(t) = \frac{50}{6} + \sum_{n=1}^{\infty} \left\{ \frac{10}{n\pi} \left( \sin \frac{n5\pi}{3} \right) \cos n\omega t + \frac{10}{n\pi} \left( 1 - \cos \frac{n5\pi}{3} \right) \sin n\omega t \right\}$$

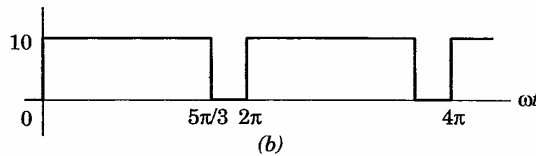
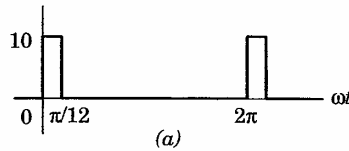


Figura 15-41

**15.24** Determinar a série trigonométrica de Fourier para a meia onda senoidal retificada da Fig. 15-42 e traçar o espectro. Comparar a resposta com os resultados dos Probs. 15.5 e 15.6.

Resp.:

$$f(t) = \frac{V}{\pi} \left\{ 1 + \frac{\pi}{2} \cos \omega t + \frac{2}{3} \cos 2\omega t - \frac{2}{15} \cos 4\omega t + \frac{2}{35} \cos 6\omega t - \dots \right\}$$

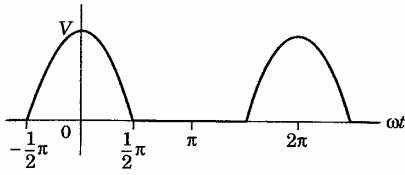


Figura 15-42

15.25 Determinar a série trigonométrica de Fourier para a onda completa senoidal retificada da Fig. 15-43 e traçar o espectro.

$$Resp.: f(t) = \frac{2V}{\pi} \left\{ 1 + \frac{2}{3} \cos 2\omega t - \frac{2}{15} \cos 4\omega t + \frac{2}{35} \cos 6\omega t - \dots \right\}$$

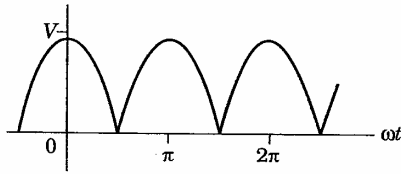


Figura 15-43

15.26 A onda da Fig. 15-44 é semelhante à do Probl. 15.25, com a posição do eixo zero modificada. Determinar a série de Fourier e comparar os dois resultados.

$$Resp.: f(t) = \frac{2V}{\pi} \left\{ 1 - \frac{2}{3} \cos 2\omega t - \frac{2}{15} \cos 4\omega t + \frac{2}{35} \cos 6\omega t - \dots \right\}$$

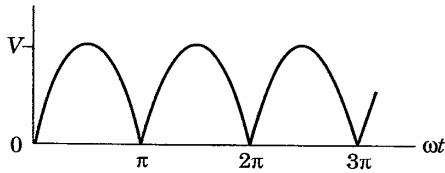


Figura 15-44

15.27 Determinar:

Resp.:

$$f(t) = \frac{V}{2\pi}$$

+

15.28 Determinar:

com a dc  
Resp.:

$$f(t) = \frac{V}{2\pi}$$

$$+ \frac{V}{4} \text{sen}$$

15.29 Determinar:

espectro  
métrica,

15.27 Determinar a série trigonométrica de Fourier para a onda da Fig. 15-45.

Resp.:

$$f(t) = \frac{V}{2\pi} - \frac{V}{2\pi} \cos \omega t + \sum_{n=2}^{\infty} \frac{V}{\pi(1-r^2)} (\cos n\pi + n \operatorname{sen} n\pi/2) \cos n\omega t + \frac{V}{4} \operatorname{sen} \omega t + \sum_{n=2}^{\infty} \left[ \frac{-nV \cos n\pi/2}{\pi(1-r^2)} \right] \operatorname{sen} n\omega t$$

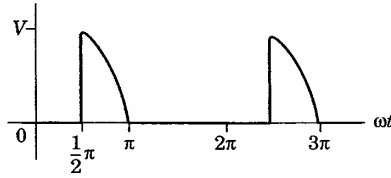


Figura 15-45

15.28 Determinar a série trigonométrica de Fourier para a onda da Fig. 15-46. Somá-la com a do Probl. 15.27 e comparar o resultado com a série obtida no Probl. 15.5.

Resp.:

$$f(t) = \frac{V}{2\pi} + \frac{V}{2\pi} \cos \omega t + \sum_{n=2}^{\infty} \frac{V[n \operatorname{sen} n\pi/2 - 1]}{\pi(r^2 - 1)} \cos n\omega t + \frac{V}{4} \operatorname{sen} \omega t + \sum_{n=2}^{\infty} \frac{Vn \cos n\pi/2}{\pi(1-r^2)} \operatorname{sen} n\omega t$$

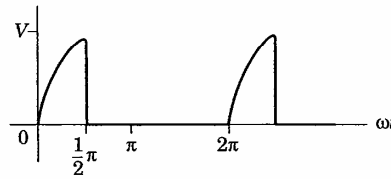


Figura 15-46

15.29 Determinar a série exponencial de Fourier para a onda da Fig. 15-47 e traçar o espectro. Transformar os coeficientes obtidos em coeficientes da série trigonométrica, escrever esta série e compará-la com o resultado do Probl. 15.4.

Resp. :

$$f(t) = V \left\{ \dots - \left( \frac{1}{9\pi^2} - j \frac{1}{6\pi} \right) e^{-j3\omega t} - j \frac{1}{4\pi} e^{-j2\omega t} - \left( \frac{1}{\pi^2} - j \frac{1}{2\pi} \right) e^{-j\omega t} + \frac{1}{4} - \right. \\ \left. - \left( \frac{1}{\pi^2} + j \frac{1}{2\pi} \right) e^{j\omega t} + j \frac{1}{4\pi} e^{j2\omega t} - \left( \frac{1}{9\pi^2} + j \frac{1}{6\pi} \right) e^{j3\omega t} - \dots \right\}$$

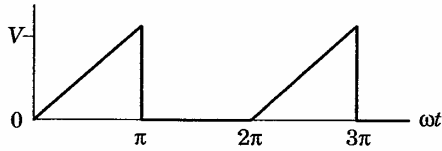


Figura 15-47

15.30 Determinar a série exponencial de Fourier para a onda da Fig. 15-48 e traçar o espectro.

Resp.:

$$f(t) = V \left\{ \dots + \left( \frac{1}{9\pi^2} + j \frac{1}{6\pi} \right) e^{-j3\omega t} + j \frac{1}{4\pi} e^{-j2\omega t} + \left( \frac{1}{\pi^2} + j \frac{1}{2\pi} \right) e^{-j\omega t} + \frac{1}{4} + \right. \\ \left. + \left( \frac{1}{\pi^2} - j \frac{1}{2\pi} \right) e^{j\omega t} - j \frac{1}{4\pi} e^{j2\omega t} + \left( \frac{1}{9\pi^2} - j \frac{1}{6\pi} \right) e^{j3\omega t} + \dots \right\}$$

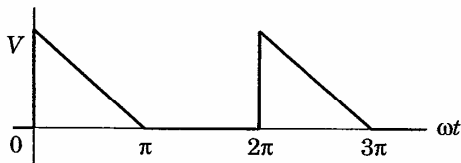


Figura 15-48

15.31 Determinar a série exponencial de Fourier para a onda quadrada da Fig. 15-49 e traçar o espectro. Somar as séries exponenciais dos Probs. 15.29 e 15.30 e comparar a soma com a série aqui obtida.

Resp.:

$$f(t) = V \left\{ \dots + j \frac{1}{3\pi} e^{-j3\omega t} + j \frac{1}{\pi} e^{-j\omega t} + \frac{1}{2} - j \frac{1}{\pi} e^{j\omega t} - j \frac{1}{3\pi} e^{j3\omega t} - \dots \right\}$$

15.32 Determinar a série exponencial de Fourier para a onda da Fig. 15-50 e traçar o espectro. Somar as séries exponenciais dos Probs. 15.29 e 15.30 e comparar a soma com a série aqui obtida.

$$f(t) = V \left\{ \dots \right.$$

15.33 Determinar a série exponencial de Fourier para a onda da Fig. 15-51 e traçar o espectro. Somar as séries exponenciais dos Probs. 15.29 e 15.30 e comparar a soma com a série aqui obtida.

$$f(t) = V \left\{ \dots \right.$$

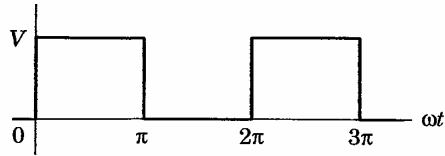


Figura 15-49

15.32 Determinar a série exponencial de Fourier para a onda dente-de-serra da Fig. 15-50 e traçar o espectro. Transformar os coeficientes obtidos em coeficientes da série trigonométrica, escrever esta série e comparar o resultado com a série obtida no Probl. 15.19

Resp.:

$$f(t) = V \left\{ \dots + j \frac{1}{4\pi} e^{-j2\omega t} + j \frac{1}{2\pi} e^{-j\omega t} + \frac{1}{2} - j \frac{1}{2\pi} e^{j\omega t} - j \frac{1}{4\pi} e^{j2\omega t} - \dots \right\}$$

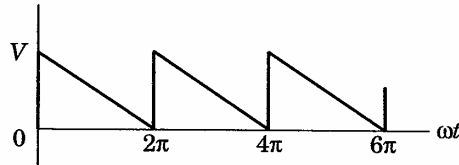


Figura 15-50

15.33 Determinar a série exponencial de Fourier para a onda da Fig. 15-51 e traçar o espectro. Transformar os coeficientes da série trigonométrica encontrada no Probl. 15.20 em coeficientes da série exponencial e compará-los com os coeficientes da série aqui obtida.

Resp.:

$$f(t) = V \left\{ \dots - j \frac{1}{2\pi} e^{-j2\omega t} - j \frac{1}{\pi} e^{-j\omega t} + j \frac{1}{\pi} e^{j\omega t} + j \frac{1}{2\pi} e^{j2\omega t} + \dots \right\}$$

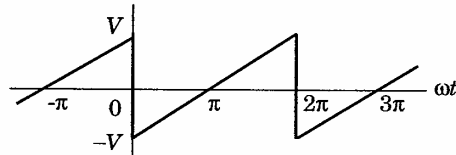


Figura 15-51

$e^{-j\omega t} + \frac{1}{4} -$

5-48 e traçar o

$e^{-j\omega t} + \frac{1}{4} +$

Fig. 15-49 e  
15.29 e 15.30 e

$- \dots \}$

15.34 Determinar a série exponencial de Fourier para a onda da Fig. 15-52 e traçar o espectro. Transformar os coeficientes para a série trigonométrica, escrever esta série e compará-la com a obtida no Probl. 15.21.

$$+ \frac{V}{\pi}$$

Resp.:

$$f(t) = V \left\{ \dots + \left( \frac{2}{9\pi^2} - j \frac{1}{3\pi} \right) e^{-j3\omega t} + \left( \frac{2}{\pi^2} - j \frac{1}{\pi} \right) e^{-j\omega t} + \right. \\ \left. + \left( \frac{2}{\pi^2} + j \frac{1}{\pi} \right) e^{j\omega t} + \left( \frac{2}{9\pi^2} + j \frac{1}{3\pi} \right) e^{j3\omega t} + \dots \right\}$$

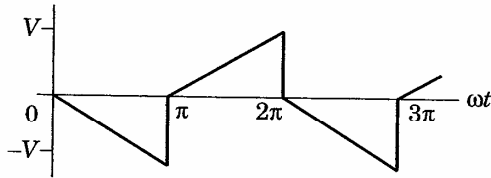


Figura 15-52

15.35 Determinar a série exponencial de Fourier para a onda quadrada da Fig. 15-53 e traçar o espectro. Transformar os coeficientes da série trigonométrica do Probl. 15.22 para a série exponencial e compará-los com os coeficientes aqui obtidos.

Resp.:

$$f(t) = \frac{2V}{\pi} \left\{ \dots + \frac{1}{5} e^{-j5\omega t} - \frac{1}{3} e^{-j3\omega t} + e^{-j\omega t} + e^{j\omega t} - \frac{1}{3} e^{j3\omega t} + \frac{1}{5} e^{j5\omega t} - \dots \right\}$$

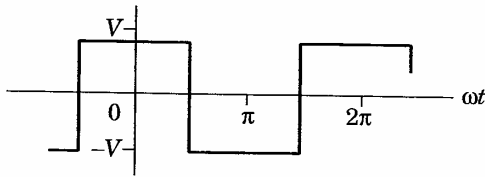


Figura 15-53

15.36 Determinar a série exponencial de Fourier para a onda da Fig. 15-54 e traçar o espectro.

Resp.:

$$f(t) = \dots - \frac{V}{2\pi} \operatorname{sen} \left( \frac{-2\pi}{6} \right) e^{-j2\omega t} - \frac{V}{\pi} \operatorname{sen} \left( \frac{-\pi}{6} \right) e^{-j\omega t} + \frac{V}{6} +$$

15.37 Determinar da Fig. 15- ver essa sé Resp.:

$$f(t) = \dots$$

15.38 Determinar traçar o es

$$\text{Resp.: } f(t)$$

5-52 e traçar o  
1, escrever esta

$$+ \frac{V}{\pi} \operatorname{sen} \left( \frac{\pi}{6} \right) e^{j\omega t} + \frac{V}{2\pi} \operatorname{sen} \left( \frac{2\pi}{6} \right) e^{j2\omega t} + \dots$$

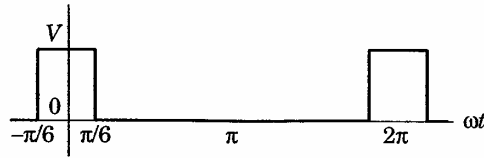


Figura 15-54

15.37 Determinar a série exponencial de Fourier para a meia-onda senoidal retificada da Fig. 15-55. Transformar seus coeficientes para a série trigonométrica, escrever essa série e compará-la com o resultado do Probl. 15.24.

Resp.:

$$f(t) = \dots - \frac{V}{15\pi} e^{-j4\omega t} + \frac{V}{3\pi} e^{-j2\omega t} + \frac{V}{4} e^{-j\omega t} + \frac{V}{\pi} + \frac{V}{4} e^{j\omega t} + \frac{V}{3\pi} e^{j2\omega t} - \frac{V}{15\pi} e^{j4\omega t} + \dots$$

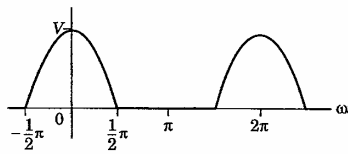


Figura 15-55

15.38 Determinar a série exponencial de Fourier para a onda completa da Fig. 15-56 e traçar o espectro.

$$\text{Resp.: } f(t) = \dots - \frac{2V}{15\pi} e^{-j4\omega t} + \frac{2V}{3\pi} e^{-j2\omega t} + \frac{2V}{\pi} + \frac{2V}{3\pi} e^{j2\omega t} - \frac{2V}{15\pi} e^{j4\omega t} + \dots$$

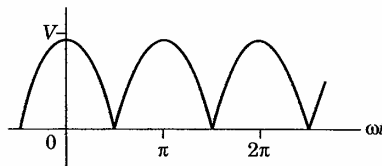


Figura 15-56

da Fig. 15-53 e  
étrica do Probl.  
is aqui obtidos.

$e^{5\omega t} \dots$

5-54 e traçar o

15.39 Calcular a tensão eficaz, a corrente eficaz e a potência média fornecidas a uma estrutura passiva sendo  $V = 200 + 100 \cos(500t + 30^\circ) + 75 \cos(1500 + 60^\circ)$  a tensão aplicada e  $i = 3,53 \cos(500t + 75^\circ) + 3,55 \cos(1500 + 78,45^\circ)$  a corrente resultante.

Resp.: 218,5 V; 3,54 A; 250,8 W

Resp.:  $i =$

15.40 Uma tensão  $v = 50 + 25 \sin 500t + 10 \sin 1500t + 5 \sin 2500t$  é aplicada nos terminais de uma estrutura passiva e a corrente resultante é  $i = 5 + 2,23 \sin(500t - 26,6^\circ) + 0,556 \sin(1500t - 56,3^\circ) + 0,186 \sin(2500t - 68,2^\circ)$ . Determinar a tensão eficaz, a corrente eficaz e a potência média.

Resp.: 53,6 V; 5,25 A; 276,5 W.

15.41 Um circuito em série de três elementos com  $R = 5$  ohms,  $L = 0,005$  H e  $C = 50 \mu\text{F}$  tem uma tensão aplicada  $v = 150 \sin 1000t + 100 \sin 2000t + 75 \sin 3000t$ . Determinar a corrente eficaz e a potência média. Traçar os espectros da tensão e da corrente e notar o efeito da ressonância série.

Resp.: 16,58 A; 1374 W.

15.45 A Fig. 15-5 aos terminais rad/s. Em indutor e n

15.42 Em um circuito em série de dois elementos, com  $R = 10$  ohms e  $L = 0,02$  H, a corrente é  $i = 5 \sin 100t + 3 \sin 300t + 2 \sin 500t$ . Determinar a tensão eficaz aplicada e a potência média.

Resp.: 48 V; 190 W.

Resp.:  $i =$

15.43 A onda triangular de corrente da Fig. 15-57, onde  $\omega = 500$  rad/s, existe em uma indutância pura  $L = 0,01$  H. Determinar a série exponencial de Fourier para a corrente e achar a expressão da série para a tensão na indutância,  $v_L$ . Comparar a resposta com o resultado do Probl. 15.8.

$$\text{Resp.: } v_L = \frac{200}{\pi^2} \left\{ \dots - j\frac{1}{3} e^{-j\omega t}, -je^{-j\omega t} + je^{j\omega t} + j\frac{1}{3} e^{j\omega t} + \dots \right\}$$

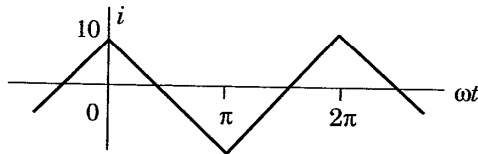


Figura 15-57

15.44 Uma tensão com a forma de onda da Fig. 15-58 está aplicada em uma indutância pura  $L = 0,01$  H. Determinar a série da corrente na forma trigonométrica e identificar a forma de onda da corrente.

15.46 Um circuito combinação pndentes  $1000t$ , det  
Resp.:  $i =$

Resposta:  $i = \frac{20}{\pi} \left\{ \text{sen } \omega t - \frac{1}{9} \text{sen } 3\omega t + \frac{1}{25} \text{sen } 5\omega t - \frac{1}{49} \text{sen } 7\omega t + \dots \right\}$

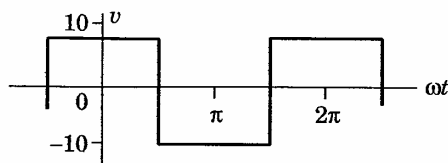


Figura 15-58

15.45 A Fig. 15-59 apresenta uma onda completa senoidal retificada, suposta aplicada aos terminais de um circuito LC. O valor máximo da tensão é 170 V e  $\omega = 377$  rad/s. Empregar a série trigonométrica de Fourier e determinar a tensão no indutor e no capacitor. Traçar o espectro de cada uma.

Resposta:  $i = \frac{20}{\pi} \left\{ \text{sen } \omega t - \frac{1}{9} \text{sen } 3\omega t + \frac{1}{25} \text{sen } 5\omega t - \frac{1}{49} \text{sen } 7\omega t + \dots \right\}$

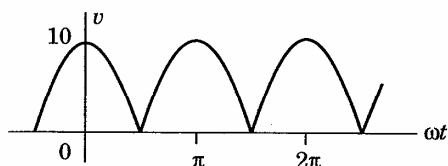


Figura 15-59

15.46 Um circuito de três elementos é constituído por  $R = 5$  ohms em série com uma combinação em paralelo de  $L$  e  $C$ . Com  $\omega = 500$  rad/s as reatâncias correspondentes são  $j2$  e  $-j8$ . Sendo a tensão aplicada  $v = 50 + 20 \text{sen } 500t + 10 \text{sen } 1000t$ , determinar a corrente total.

Resposta:  $i = 10 + 3,53 \text{sen } (500t - 28,1^\circ)$ .



MAKRON  
Books

## TRANSITÓRIOS EM CIRCUITOS

### Introdução

Quando um circuito é comutado de uma condição para outra, seja por uma mudança da tensão aplicada, seja por uma variação em um dos elementos do circuito, ocorre um período de transição, durante o qual as correntes nos ramos e as quedas de tensão variam de seus valores iniciais para novos valores. Depois desse intervalo de transição, chamado de *transitório*, diz-se que o circuito atinge o estado estacionário.

A aplicação da lei de Kirchhoff para as tensões a um circuito que contenha elementos capazes de armazenar energia resulta em uma equação diferencial que pode ser resolvida por diversos métodos. Tal solução consta de duas partes, a *função complementar* e a *solução particular*. Para as equações na análise de circuitos, a função complementar sempre tende a zero em um período de tempo relativamente curto e constitui a parte transitória da solução. A solução particular é a resposta em estado estacionário que foi o objeto de nossa atenção nos capítulos anteriores.

Os métodos por meio dos quais a solução particular é obtida neste capítulo são, geralmente, longos e trabalhosos e não tão diretos como os métodos anteriormente usados. Entretanto, pela aplicação desses métodos, obtém-se o significado físico da resposta em estado estacionário, completando a resposta.

*Transitório*

*Transitório*

O circ  
aplicada, ao se  
seguinte equaç

Reagr

A equ:  
tipo:

onde  $D = d/dx$ .  
A solução com  
particular, é:

onde  $c$  é uma c  
ções iniciais. F

$i =$

## Transitórios em Corrente Contínua

### Transitório $RL$

O circuito  $RL$  em série da Fig. 16-1 fica com uma tensão constante  $V$  aplicada, ao se fechar o interruptor. A lei de Kirchhoff para as tensões dá a seguinte equação diferencial:

$$Ri + L \frac{di}{dt} = V \quad (1)$$

Reagrupando e empregando o operador  $D = d/dt$ , vem:

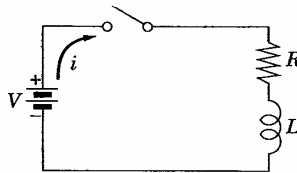


Figura 16-1

$$\left(D + \frac{R}{L}\right)i = \frac{V}{L} \quad (2)$$

A equação (2) é uma equação diferencial linear de primeira ordem do tipo:

$$\frac{dy}{dx} - ay = R \quad \text{ou} \quad (D - a)y = R \quad (3)$$

onde  $D = d/dx$ ,  $a$  é uma constante e  $R$  pode ser uma função de  $x$ , mas não de  $y$ . A solução completa de (3), composta da função complementar e da solução particular, é:

$$y = y_c + y_p = ce^{ax} + e^{ax} \int e^{-ax} R dx \quad (4)$$

onde  $c$  é uma constante arbitrária, determinada com o conhecimento das condições iniciais. Pela equação (4) a solução de (2) é:

$$i = ce^{-(R/L)t} + e^{-(R/L)t} \int e^{(R/L)t} \left(\frac{V}{L}\right) dt = ce^{-(R/L)t} + \frac{V}{R} \quad (5)$$

Para determinar  $c$  faz-se  $t = 0$  em (5) e substitui-se  $i$  pela corrente inicial  $i_0$ . Essa corrente inicial é a corrente imediatamente após o fechamento do interruptor. A tensão e a corrente ligam-se à indutância pelas relações  $v = L di/dt$  e  $i = 1/L \int v dt$ . A segunda expressão nos assegura que, seja qual for a tensão aplicada, a corrente em um indutor deve ser uma função contínua. Como a corrente era nula em  $t = 0^-$ , deve ser nula, também, em  $t = 0^+$ . Substituindo em (5), temos:

$$i_0 = 0 = c(1) + V/R \text{ ou } c = -V/R \quad (6)$$

Substituindo esse valor de  $c$  em (5), vem:

$$i = -\frac{V}{R} e^{-(R/L)t} + \frac{V}{R} = \frac{V}{R} (1 - e^{-(R/L)t}) \quad (7)$$

Este tipo de equação é uma exponencial crescente, como mostra a Fig. 16-2.

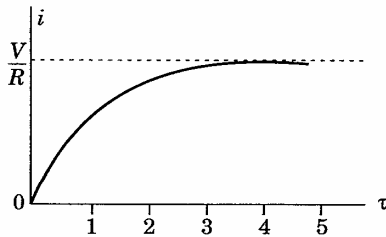


Figura 16-2

O traçado mostra o período de transição, durante o qual a corrente se ajusta, desde o seu valor inicial zero, ao valor final  $V/R$ , o estado estacionário. A constante de tempo\*  $\tau$  de uma função tal como (7) é o tempo que faz o expoente de  $e$  igual à unidade. Assim, para o circuito  $RL$ , a constante de tempo é  $\tau = L/R$  segundos. Para  $1 \tau$  a quantidade que figura entre parêntes em (7) tem para valor  $(1 - e^{-1}) = (1 - 0,368) = 0,632$ . Decorrido esse tempo, a corrente é 63,2% do seu valor final. Do mesmo modo, para  $2 \tau$ ,  $(1 - e^{-2}) = (1 - 0,135) = 0,865$ . E a corrente é 86,5% de seu valor final. Decorridos  $5 \tau$ , geralmente, considera-se terminado o regime transitório. Por conveniência, usa-se a constante de tempo como unidade para representação gráfica da equação (7) da corrente.

\* N. R. Em alguns exercícios o autor costuma abreviar "Constante de Tempo" por CT.

Outro e

onde a constant para  $\tau = 1$ , tem valor inicial  $A$ . considera-se ter

As tens partir da correr

e a tensão no in

$v$

A tens tempo que a c porém com a n Kirchhoff, dura

Outro exemplo: no decréscimo exponencial da Fig. 16-3, cuja equação é:

$$f(t) = Ae^{-\alpha t} \tag{8}$$

onde a constante de tempo (tempo que torna unitário o expoente de  $e$ ) é  $\tau = \alpha t$  para  $\tau = 1$ , tem-se  $e^{-1} = 0,368$ , isto é, a função reduziu-se para 36,8% do seu valor inicial  $A$ . Para  $\tau = 2$ ,  $e^{-2} = 0,135$  e a função é 13,5% de  $A$ . Após  $5 \tau$ , considera-se terminado o regime transitório.

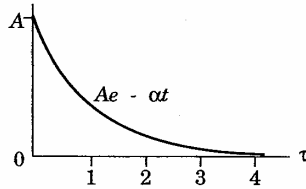


Figura 16-3

As tensões transitórias nos elementos do circuito  $RL$  são obtidas a partir da corrente. Assim, a tensão no resistor é:

$$v_R = Ri = V(1 - e^{-(R/L)t}) \tag{9}$$

e a tensão no indutor é:

$$v_L = L \frac{di}{dt} = L \frac{d}{dt} \left\{ \frac{V}{R} (1 - e^{-(R/L)t}) \right\} = Ve^{-(R/L)t} \tag{10}$$

A tensão transitória no resistor cresce com a mesma constante de tempo que a corrente, enquanto a tensão no indutor cai exponencialmente, porém com a mesma constante de tempo. A soma de  $v_R$  e  $v_L$  satisfaz à lei de Kirchhoff, durante o período transitório. Ver a Fig. 16-4

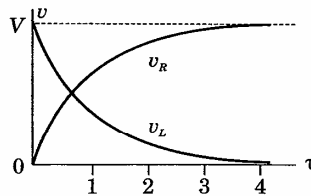


Figura 16-4

pela corrente  
o fechamento  
relações  $v = L$   
seja qual for a  
contínua. Como  
. Substituindo

(6)

(7)

tra a Fig. 16-2.

a corrente se  
stacionário. A  
faz o expoente  
po é  $\tau = L/R$   
(7) tem para  
te é 63,2% do  
) = 0,865. E a  
, considera-se  
nte de tempo  
nte.

" por CT.

$$v_R + v_L = V(1 - e^{-(R/L)t}) + Ve^{-(R/L)t} = V \tag{11}$$

A potência instantânea em qualquer elemento de circuito é dada pelo produto da tensão pela corrente. Assim, a potência no resistor é:

$$p_R = v_R i = V(1 - e^{-(R/L)t}) \frac{V}{R} (1 - e^{-(R/L)t}) = \frac{V^2}{R}(1 - 2e^{-(R/L)t} + e^{-2(R/L)t}) \tag{12}$$

e na indutância:

$$p_L = v_L i = Ve^{-(R/L)t} \frac{V}{R} (1 - e^{-(R/L)t}) = \frac{V^2}{R}(e^{-(R/L)t} - e^{-2(R/L)t}) \tag{13}$$

A potência total é, então:

$$p_T = p_R + p_L = \frac{V^2}{R}(1 - e^{-(R/L)t}) \tag{14}$$

A Fig. 16-5 mostra essas três funções, onde  $p_R$  e  $p_T$  têm  $V^2/R$  ou  $I^2R$  para o valor estacionário, enquanto  $I$  é o valor estacionário da corrente. A potência transitória na indutância tem zero para os valores inicial e final, e é a potência que responde pela energia armazenada no campo magnético da bobina. Verifica-se isso integrando  $p_L$  desde zero ao infinito.

$$W = \int_0^\infty \frac{V^2}{R} (e^{-(R/L)t} - e^{-2(R/L)t}) dt = \frac{V^2}{R} \left[ -\frac{L}{R} e^{-(R/L)t} + \frac{L}{2R} e^{-2(R/L)t} \right]_0^\infty = \frac{1}{2} \frac{V^2}{R} \left( \frac{L}{R} \right) = \frac{1}{2} LI^2 [J] \tag{15}$$

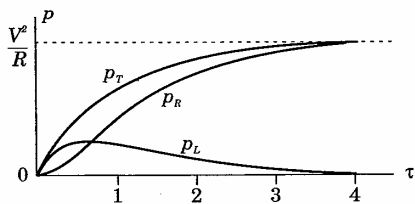


Figura 16-5

No circuito RL da Fig. 16-6, existe uma corrente inicial  $i_0 = V/R$ . Quando  $t = 0$ , o interruptor é deslocado para a posição 2, desligando a fonte e,

ao mesmo tempo da lei de Kirchhoff equação:

cuja solução é:

Para  $t$  a equação da c

A Fig. 16-5 mostra essas três funções, onde  $p_R$  e  $p_T$  têm  $V^2/R$  ou  $I^2R$  para o valor estacionário, enquanto  $I$  é o valor estacionário da corrente. A potência transitória na indutância tem zero para os valores inicial e final, e é a potência que responde pela energia armazenada no campo magnético da bobina. Verifica-se isso integrando  $p_L$  desde zero ao infinito.

mostradas na tensão aplicada. Integrando-se tamente aque transitório an essa energia é

(11)

ao mesmo tempo, pondo em curto-circuito o ramo de  $R$  e  $L$  em série. A aplicação da lei de Kirchoff para as tensões ao circuito, agora livre da fonte, resulta na equação:

$$L \frac{di}{dt} + Ri = 0 \quad \text{ou} \quad \left( D + \frac{R}{L} \right) i = 0 \quad (16)$$

cuja solução é:  $i = ce^{-(R/L)t}$  (17)

(12)

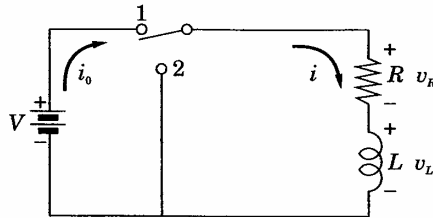


Figura 16-6

Para  $t = 0$ , a corrente inicial é  $i_0 = V/R$ . Substituindo em (17),  $c = V/R$  e a equação da corrente é:

$$i = \frac{V}{R} e^{-(R/L)t} \quad (18)$$

A Fig. 16-7(a) é a representação dessa equação. As tensões correspondentes na resistência e na indutância são:

$$v_R = Ri = Ve^{-(R/L)t} \quad \text{e} \quad v_L = L \frac{di}{dt} = -Ve^{-(R/L)t} \quad (19)$$

mostradas na Fig. 16-7(b). A soma  $v_R + v_L$  satisfaz à lei de Kirchoff, já que a tensão aplicada é nula com o interruptor na posição 2. As potências instantâneas  $p_R = \frac{V^2}{R} e^{-2(R/L)t}$  e  $p_L = -\frac{V^2}{R} e^{-2(R/L)t}$  são mostradas na Fig. 16-7(c).

Integrando-se  $p_L$  de zero ao infinito, verifica-se que a energia liberada é exatamente aquela que foi armazenada no campo magnético durante o período transitório anterior, isto é,  $\frac{1}{2} LI^2$ . Durante o período transitório de decréscimo, essa energia é transferida ao resistor.

(14)

em  $V^2/R$  ou  $I^2R$  da corrente. A inicial e final, e é a magnético da bobina

(15)

icial  $i_0 = V/R$ . Quando a fonte e,

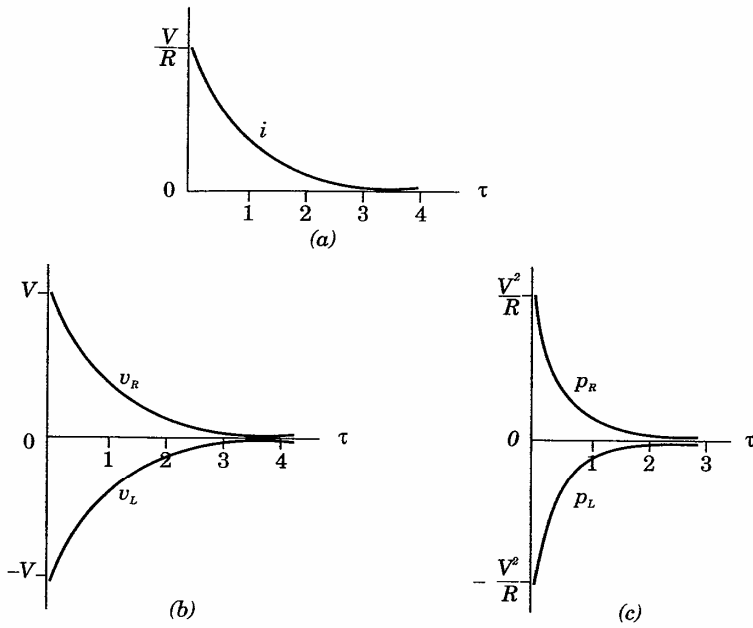


Figura 16-7

### Transitório RC

Da aplicação da lei de Kirchhoff para as tensões ao circuito em série RC da Fig. 16-8 resulta a seguinte equação diferencial:

$$\frac{1}{C} \int i dt + Ri = V \quad (20)$$

e, após diferenciação, temos:

$$\frac{i}{C} + R \frac{di}{dt} = 0 \quad \text{ou} \quad (D + \frac{1}{RC}) i = 0 \quad (21)$$

A solução complementar,

Para  $t = 0$ ,  $Ri_0 = V$  ou  $i_0 = V/R$ . Então:

Para o

A equação mostra a

As tensões

e

e estão representadas

$p_R = i^2 R$

A potência dissipada pela energia que passa pelo capacitor desde zero a

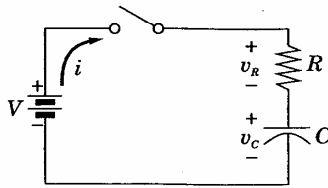


Figura 16-8

A solução dessa equação homogênea é constituída apenas pela função complementar, pois a solução particular é zero. Assim, temos:

$$i = ce^{-t/RC} \tag{22}$$

Para determinar a constante  $c$ , observa-se que, na equação (20), para  $t = 0$ ,  $Ri_0 = V$  ou  $i_0 = V/R$ . Substituindo o valor de  $i_0$  em (22), tem-se, para  $t = 0$ ,  $c = V/R$ . Então:

$$i = \frac{V}{R} e^{-t/RC} \tag{23}$$

Para o circuito  $RC$ , a constante de tempo é  $\tau = RC$  segundos.

A equação (23) tem para representação uma exponencial decrescente, como mostra a Fig. 16-9(a).

As tensões transitórias correspondentes são:

$$v_R = Ri = Ve^{-t/RC}$$

e

$$v_C = \frac{1}{C} \int i dt = V(1 - e^{-t/RC}) \tag{24}$$

e estão representadas na Fig. 16-9(b). As potências instantâneas são dadas por:

$$p_R = v_R i = \frac{V^2}{R} e^{-2t/RC} \quad \text{e} \quad p_C = v_C i = \frac{V^2}{R} (e^{-t/RC} - e^{-2t/RC}) \tag{25}$$

A potência transitória  $p_C$ , de valores inicial e final nulos, é responsável pela energia que é armazenada no campo elétrico do capacitor. A integração de  $p_C$  desde zero até o infinito verifica essa afirmativa:

$$\epsilon = \int_0^\infty \frac{V^2}{R} (e^{-t/RC} - e^{-2t/RC}) dt = \frac{1}{2} CV^2 \tag{26}$$

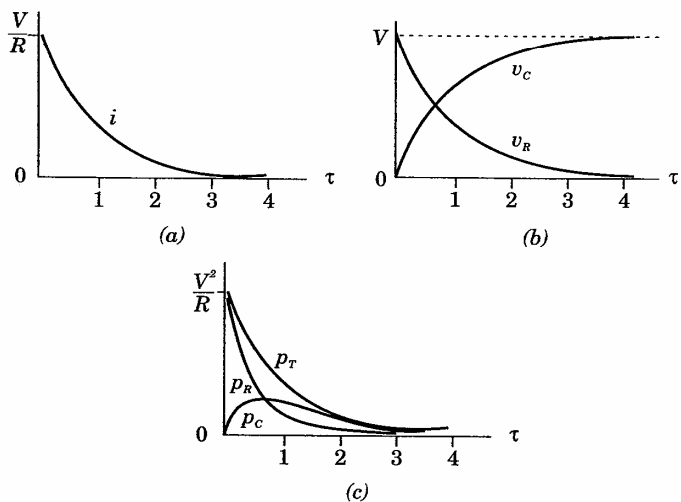


Figura 16-9

O interruptor do circuito em série RC da Fig. 16-10 é mantido na posição 1 por um tempo suficiente para o estabelecimento do regime estacionário e, no instante  $t = 0$ , é mudado para a posição 2. Nessa situação, a equação do circuito é:

$$\frac{1}{C} \int i dt + Ri = 0$$

ou

$$(D + \frac{1}{RC}) i = 0 \tag{27}$$

cuja solução é:

$$i = ce^{-t/RC} \tag{28}$$

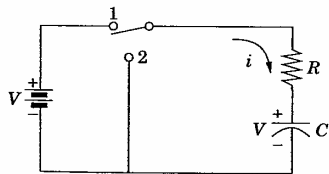


Figura 16-10

Para d  
corrente inicial  
polaridade indi  
então,  $i_0 = -V/R$

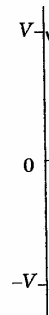
A Fig.  
transitórias cor

$v_R$

e estão repre:  
à lei de Kirchn  
está na posição

$p_L$

aparecem na F  
que a energia  
esse transitóri  
infinito, result



Para determinar a constante  $c$  faz-se  $t = 0$  em (28) e substitui-se a corrente inicial  $i_0$ . Como o capacitor é carregado a uma tensão  $V$ , com a polaridade indicada no diagrama, a corrente inicial, na situação 2, é oposta a  $i$ ; então,  $i_0 = -V/R$ . Logo,  $c = -V/R$  e a corrente é:

$$i = -\frac{V}{R} e^{-t/RC} \tag{29}$$

A Fig. 16-11(a) representa esse transitório decrescente. As tensões transitórias correspondentes nos elementos de circuito são:

$$v_R = Ri = -Ve^{-t/RC} \quad \text{e} \quad v_C = \frac{1}{C} \int i dt = Ve^{-t/RC} \tag{30}$$

e estão representadas na Fig. 16-11(b). Observe-se que  $v_R = v_C = 0$ , satisfazendo à lei de Kirchhoff, uma vez que não há tensão aplicada, enquanto o interruptor está na posição 2. As potências transitórias

$$p_R = v_R i = \frac{V^2}{R} e^{-2t/RC} \quad \text{e} \quad p_C = v_C i = -\frac{V^2}{R} e^{-2t/RC} \tag{31}$$

aparecem na Fig. 16-11(c). Não há fonte responsável por  $p_R$ , porém é evidente que a energia armazenada no capacitor se transfere para o resistor, durante esse transitório. Deixa-se ao leitor a integração de  $p_C$  entre os limites zero e infinito, resultando em  $-1/2(CV^2)$ .

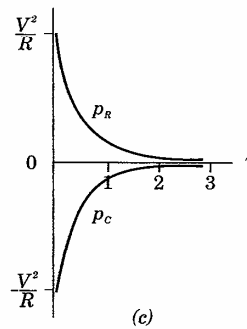
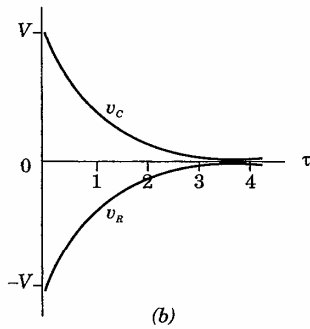
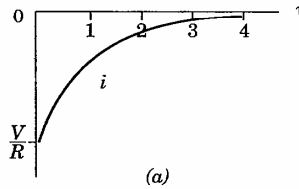


Figura 16-11

SENAI / DR / AM  
NÚCLEO DE INFORMAÇÃO  
TECNOLOGICA

τ  
4

é mantido na  
zime estacioná-  
rio, a equação do

(27)

(28)

## Carga no Transitório RC

Algumas vezes é conveniente, num circuito em série RC, conhecer a equação que representa a carga transitória  $q$ . Como a corrente e a carga estão relacionadas por  $i = dq/dt$ , pode-se, se necessário, determinar  $i$  por diferenciação.

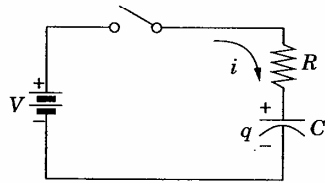


Figura 16-12

O capacitor da Fig. 16-12 carrega-se com a polaridade indicada, já que  $q$  tem o mesmo sentido de  $i$  na Fig. 16-8. A equação do circuito em função da corrente

$$\frac{1}{C} \int i dt + Ri = V \quad (32)$$

pode ser escrita em função da carga, fazendo-se  $i = dq/dt$ . Assim,

$$\frac{q}{C} + R \frac{dq}{dt} = V \quad \text{ou} \quad \left( D + \frac{1}{RC} \right) q = \frac{V}{R} \quad (33)$$

Empregando o método descrito na obtenção da equação (5), a solução é:

$$q = ce^{-t/RC} + CV \quad (34)$$

Para  $t = 0$ , a carga inicial no capacitor é  $q_0 = 0$  e, portanto:

$$q_0 = 0 = c(1) + CV \quad \text{ou} \quad c = -CV \quad (35)$$

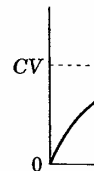
Substituindo esse valor de  $c$  em (34), obtém-se:

$$q = CV(1 - e^{-t/RC}) \quad (36)$$

A carga cresce exponencialmente para um valor final  $VC$ . Assim, se um circuito decrescente, como o da Fig. 16-10, é analisado, sob o ponto de vista da

carga, conclui-se com a equação:

As funções estão traçadas na Fig. 16-13(b). Com  $t(+)$ , enquanto :



## Transitório

A aplicação da Fig. 16-14 co

carga, conclui-se que a carga cai exponencialmente, desde o valor  $CV$ , de acordo com a equação:

$$q = CV e^{-t/RC} \tag{37}$$

As funções representativas do crescimento e do decrescimento da carga estão traçadas na Fig. 16-13(a) e as correntes correspondentes aparecem na Fig. 16-13(b). Como a carga deve ser uma função contínua,  $q = CV$  para  $t'(-)$  e  $t'(+)$ , enquanto  $i = 0$  para  $t'(-)$  e para  $t'(+)$  tem valor  $-V/R$ .

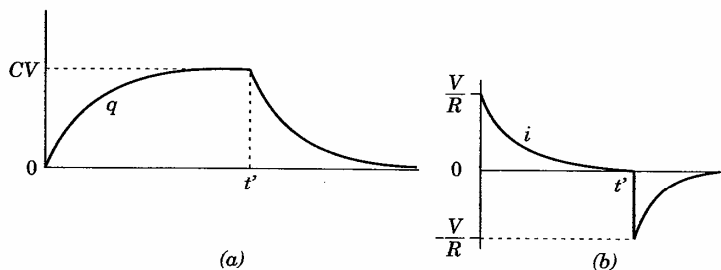


Figura 16-13

### Transitório RLC

A aplicação da lei de Kirchhoff para as tensões ao circuito RLC em série da Fig. 16-14 conduz à seguinte equação:

$$Ri + L \frac{di}{dt} + \frac{1}{C} \int i dt = V \tag{38}$$

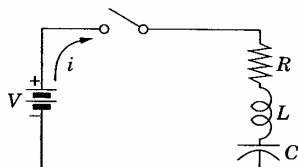


Figura 16-14

Diferenciando, obtém-se:

$$L \frac{d^2 i}{dt^2} + R \frac{di}{dt} + \frac{i}{C} = 0 \quad \text{ou} \quad \left( D^2 + \frac{R}{L} D + \frac{1}{LC} \right) i = 0 \quad (39)$$

Esta equação diferencial linear de segunda ordem é homogênea e tem solução particular nula. A função complementar pode ser qualquer dos três tipos, dependendo das amplitudes relativas de  $R$ ,  $L$  e  $C$ . Os coeficientes na equação característica  $D^2 + (R/L) D + 1/LC = 0$  são constantes e as raízes da equação são:

$$D_1 = \frac{-R/L + \sqrt{(R/L)^2 - 4/LC}}{2} \quad \text{e} \quad D_2 = \frac{-R/L - \sqrt{(R/L)^2 - 4/LC}}{2} \quad (40)$$

Fazendo  $\alpha = -R/2L$  e  $\beta = \sqrt{(R/2L)^2 - 1/LC}$ , temos:

$$D_1 = \alpha + \beta \quad \text{e} \quad D_2 = \alpha - \beta \quad (41)$$

O radicando de  $\beta$  pode ser positivo, nulo ou negativo e a solução será superamortecida, criticamente amortecida ou subamortecida (oscilatória).

**Caso 1**  $(R/2L)^2 > 1/LC$ .  $D_1$  e  $D_2$  são raízes reais e desiguais, produzindo o superamortecimento. A equação (39) pode, então, ser escrita, e a corrente será:

$$[D - (\alpha + \beta)] [D - (\alpha - \beta)] i = 0 \quad (42)$$

$$i = c_1 e^{(\alpha + \beta)t} + c_2 e^{(\alpha - \beta)t} \quad \text{ou} \quad i = e^{\alpha t} (c_1 e^{\beta t} + c_2 e^{-\beta t}) \quad (43)$$

**Caso 2**  $(R/2L)^2 = 1/LC$ . As raízes  $D_1$  e  $D_2$  são iguais, resultando o caso de amortecimento crítico. Pode-se escrever a equação (39) como:

$$(D - \alpha)(D - \alpha)i = 0 \quad (44)$$

A solução é:

$$i = e^{\alpha t} (c_1 + c_2 t) \quad (45)$$

**Caso 3**  $(R/2L)^2 < 1/LC$ . As raízes  $D_1$  e  $D_2$  são complexos conjugados; a solução é subamortecida ou oscilatória. Fazendo  $\beta = \sqrt{1/LC - (R/2L)^2}$  e  $\alpha$  como anteriormente, a equação (39) se torna:

$$[D - (\alpha + j\beta)] [D - (\alpha - j\beta)] i = 0 \quad (46)$$

A solução

Em todo valor final é zero relativamente a valor inicial nulo



**Transitório**

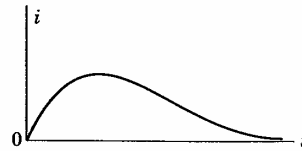
**Transitório**

Ao fechar a tensão senoidal instantânea do fecho

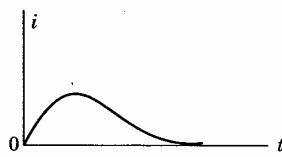
A solução é:

$$i = e^{\alpha t}(c_1 \cos \beta t + c_2 \operatorname{sen} \beta t) \quad (47)$$

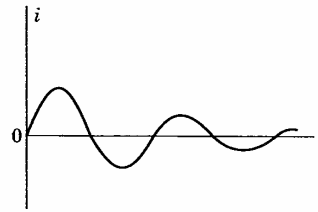
Em todos os casos, a corrente contém o fator  $e^{\alpha t}$  e, como  $\alpha = -R/2L$ , o valor final é zero, assegurando que a função complementar cai num tempo relativamente curto. Os três casos estão representados na Fig. 16-15 com o valor inicial nulo e a inclinação positiva nesse instante.



(a) Caso 1



(b) Caso 2



(c) Caso 3

Figura 16-15

## Transitórios em Corrente Alternada

### Transitório RL Senoidal

Ao fechar-se o interruptor do circuito  $RL$  da Fig. 16-16, aplica-se uma tensão senoidal. A função tensão poderia estar em qualquer ponto do período no instante do fechamento do circuito. Portanto, o ângulo de fase  $\phi$  pode ter

qualquer valor desde 0 a  $2\pi$  rad/s. Aplicando-se a lei de Kirchhoff para as tensões, obtém-se a equação:

$$Ri + L \frac{di}{dt} = V_{\max} \text{sen} (\omega t + \phi) \text{ ou}$$

$$\left(R + \frac{R}{L}\right)i = \frac{V_{\max}}{L} \text{sen} (\omega t + \phi) \quad (48)$$

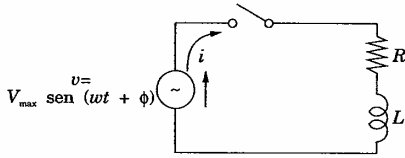


Figura 16-16

A função complementar é  $i_C = ce^{-(R/L)t}$ , e a solução particular é:

$$i_p = e^{-(R/L)t} \int e^{-(R/L)t} \frac{V_{\max}}{L} \text{sen} (\omega t + \phi) dt =$$

$$= \frac{V_{\max}}{\sqrt{R^2 + \omega^2 L^2}} \text{sen} (\omega t + \phi - \text{arc tg } \omega L/R)$$

A solução completa é:

$$i = i_C + i_p = ce^{-(R/L)t} + \frac{V_{\max}}{\sqrt{R^2 + \omega^2 L^2}} \text{sen} (\omega t + \phi - \text{arc tg } \omega L/R) \quad (49)$$

A indutância impede qualquer variação brusca da corrente; e como, antes de se fechar o interruptor, a corrente era nula, segue-se que  $i_0 = 0$ . Então, para  $t = 0$ , temos:

$$i_0 = 0 = c(1) + \frac{V_{\max}}{\sqrt{R^2 + \omega^2 L^2}} \text{sen} (\phi - \text{arc tg } \omega L/R) \text{ e}$$

$$c = \frac{-V_{\max}}{\sqrt{R^2 + \omega^2 L^2}} \text{sen}(\phi - \text{arc tg } \omega L/R)$$

Substi

$$i =$$

A prim  
relativamente  
amplitude dep  
( $\phi - \text{arc tg } \omega L/R$ )  
vai diretament  
o transitório te

A segu  
de  $\text{arc tg } (\omega L/R)$   
por integração  
O método se :  
exponencial, p  
funções semel  
membro é  $V_{\max}$

onde A e B sãc

Subst

$$+ \frac{R}{L} A c$$

hohff para as

Substituindo em (49), a corrente fica:

$$i = e^{-(L/R)t} \left[ \frac{-V_{\max}}{\sqrt{R^2 + \omega^2 L^2}} \operatorname{sen} (\phi - \operatorname{arc} \operatorname{tg} \omega L/R) \right] + \frac{V_{\max}}{\sqrt{R^2 + \omega^2 L^2}} \operatorname{sen} (\omega t + \phi - \operatorname{arc} \operatorname{tg} \omega L/R) \quad (48) \quad (50)$$

A primeira parte de (50) contém o fator  $e^{-(R/L)t}$ , que se anula em tempo relativamente curto. A expressão entre colchetes é de uma constante cuja amplitude depende do instante no ciclo  $\phi$  em que se fecha o interruptor. Se  $(\phi - \operatorname{arc} \operatorname{tg} \omega L/R) = n\pi$ , onde  $n = 1, 2, 3, \dots$ , a constante é nula e a corrente vai diretamente para o regime estacionário. Se  $(\phi - \operatorname{arc} \operatorname{tg} \frac{\omega L}{R}) = (1 + 2n)\pi/2$ , o transitório terá a maior amplitude possível.

ular é:

A segunda parte de (50) é a corrente em regime estacionário, atrasada de  $\operatorname{arc} \operatorname{tg} (\omega L/R)$  em relação à tensão aplicada. Esta solução particular, obtida por integração, pode ser encontrada pelo método dos coeficientes a determinar. O método se aplica quando a função introduzida é senoidal, co-senoidal ou exponencial, pois, para tais funções, as diferenciações sucessivas originam funções semelhantes. Para aplicar o método à equação (48), cujo segundo membro é  $V_{\max} \operatorname{sen} (\omega t + \phi)$ , admitimos uma corrente particular dada por:

$$i_p = A \cos (\omega t + \phi) + B \operatorname{sen} (\omega t + \phi) \quad (51)$$

onde  $A$  e  $B$  são constantes. A primeira derivada é, então:

$$\omega L/R \quad (49)$$

$$i'_p = -A\omega \operatorname{sen} (\omega t + \phi) + B\omega \cos (\omega t + \phi) \quad (52)$$

Substituindo essas expressões de  $i_p$  e  $i'_p$  em (48), obtemos:

ente; e como,  $i_0 = 0$ . Então,

$$\{-A\omega \operatorname{sen} (\omega t + \phi) + B\omega \cos (\omega t + \phi)\}$$

e

$$+ \frac{R}{L} A \cos (\omega t + \phi) + B \operatorname{sen} (\omega t + \phi) = \frac{V_{\max}}{L} \operatorname{sen} (\omega t + \phi) \quad (53)$$

Reunindo os termos semelhantes, temos:

$$\begin{aligned} &(-A\omega + BR/L) \operatorname{sen}(\omega t + \phi) + (B\omega + AR/L) \operatorname{cos}(\omega t + \phi) = \\ &= \frac{V_{\max}}{L} \operatorname{sen}(\omega t + \phi) \end{aligned} \quad (54)$$

Igualando, agora, os coeficientes dos termos semelhantes obtemos duas equações em  $A$  e  $B$ , a saber:

$$-A\omega + BR/L = V_{\max}/L \quad \text{e} \quad B\omega + AR/L = 0 \quad (55)$$

$$\text{onde: } A = \frac{-\omega L V_{\max}}{R^2 + \omega^2 L^2} \quad \text{e} \quad B = \frac{R V_{\max}}{R^2 + \omega^2 L^2} \quad (56)$$

Substituindo esses valores na equação (51), a corrente particular fica:

$$i_p = \frac{-\omega L V_{\max}}{R^2 + \omega^2 L^2} \operatorname{cos}(\omega t + \phi) + \frac{R V_{\max}}{R^2 + \omega^2 L^2} \operatorname{sen}(\omega t + \phi) \quad (57)$$

$$\text{ou } i_p = \frac{V_{\max}}{\sqrt{R^2 + \omega^2 L^2}} \operatorname{sen}(\omega t + \phi - \operatorname{arc} \operatorname{tg} \omega L/R) \quad (58)$$

que é a mesma solução particular obtida anteriormente por integração.

### Transitório $RL$ Senoidal

O circuito  $RC$  da Fig. 16-17 fica com uma tensão senoidal aplicada, ao fechar-se o interruptor. Aplicando-se a lei de Kirchhoff, obtém-se:

$$Ri + \frac{1}{C} \int i dt = V_{\max} \operatorname{sen}(\omega t + \phi) \quad (59)$$

Difere

A funç

e a solução pa  
minar, é dada

$i_t$

A solu

$i = ce$

Para

corrente inicia  
 $t = 0$ , obtém-se

$$\frac{V_{\max}}{R} \operatorname{sen} \phi$$

ou  $c =$

Diferenciando e empregando o operador, obtém-se:

$$(54) \quad \left(D + \frac{1}{RC}\right)i = \frac{\omega V_{\max}}{R} \cos (\omega t + \phi) \quad (60)$$

obtemos duas

$$(55)$$

$$(56)$$

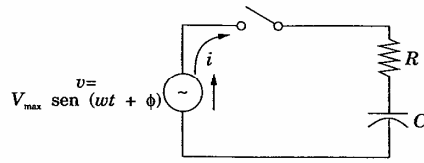


Figura 16-17

A função complementar é:

$$(57) \quad i_c = ce^{-t/RC} \quad (61)$$

e a solução particular, obtida, seja integração, seja pelos coeficientes a determinar, é dada por:

$$(58) \quad i_p = \frac{V_{\max}}{\sqrt{R^2 + (1/\omega C)^2}} \text{sen} (\omega t + \phi + \text{arc tg } 1/\omega CR) \quad (62)$$

A solução completa é:

$$i = ce^{-t/RC} + \frac{V_{\max}}{\sqrt{R^2 + (1/\omega C)^2}} \text{sen} (\omega t + \phi + \text{arc tg } 1/\omega CR) \quad (63)$$

Para determinar a constante  $c$ , fazamos  $t = 0$  na equação (59). A corrente inicial fica  $i_0 = \frac{V_{\max}}{R} \text{sen } \phi$ . Substituindo na equação (63) e fazendo-se  $t = 0$ , obtém-se:

$$(59) \quad \frac{V_{\max}}{R} \text{sen } \phi = c(1) + \frac{V_{\max}}{\sqrt{R^2 + (1/\omega C)^2}} \text{sen} (\phi + \text{arc tg } 1/\omega CR) \quad (64)$$

$$\text{ou } c = \frac{V_{\max}}{R} \text{sen } \phi - \frac{V_{\max}}{\sqrt{R^2 + (1/\omega C)^2}} \text{sen} (\phi + \text{arc tg } 1/\omega CR) \quad (65)$$

Substituindo esse valor de  $c$  em (63), obtém-se a corrente completa:

$$i = e^{-t/RC} \left[ \frac{V_{\max}}{R} \text{sen } \phi - \frac{V_{\max}}{\sqrt{R^2 + (1/\omega C)^2}} \text{sen } (\phi + \text{arc tg } 1/\omega CR) \right] + \frac{V_{\max}}{\sqrt{R^2 + (1/\omega C)^2}} \text{sen } (\omega t + \phi + \text{arc tg } 1/\omega CR) \quad (66)$$

O primeiro termo é o transitório com o fator de decaimento  $e^{-t/RC}$ . Os termos entre colchetes constituem uma constante. O segundo termo é a corrente em regime estacionário, adiantada de  $\text{arc tg } (1/\omega CR)$  em relação à tensão aplicada.

### Transitório RLC Senoidal

Ao fechar-se o interruptor do circuito série RLC da Fig. 16-18, aplica-se uma tensão senoidal. A equação que se obtém é:

$$Ri + L \frac{di}{dt} + \frac{1}{C} \int i dt = V_{\max} \text{sen } (\omega t + \phi) \quad (67)$$

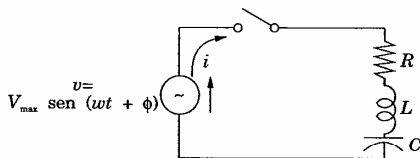


Figura 16-18

Diferenciando e introduzindo o operador, obtém-se, portanto:

$$\left( D^2 + \frac{R}{L} D + \frac{1}{LC} \right) i = \frac{\omega V_{\max}}{L} \cos (\omega t + \phi) \quad (68)$$

A solu  
como se segue.  
 $i_p'$  e  $i_p''$  e subst  
encontrados ig  
anteriormente  
senoidal simpl

$$i_p = \sqrt{R^2}$$

A funç  
examinada ar  
amortecido ou

**Caso**  
caso de supe  
 $\beta = \sqrt{(R/2L)^2}$

$$\sqrt{R^2}$$

**Caso**  
caso de amort

$$\sqrt{R^2}$$

**Caso**  
do-se o caso d

$$\sqrt{R^2}$$

completa:  
 $\left. \begin{aligned} & \\ & \end{aligned} \right] +$   
 (66)

A solução particular é obtida pelo método dos coeficientes a determinar, como se segue. Faz-se  $i_p = A \cos(\omega t + \phi) + B \sin(\omega t + \phi)$ . A seguir, calculam-se  $i_p'$  e  $i_p''$  e substituem-se os resultados na equação (67). Os valores de  $A$  e  $B$  são encontrados igualando-se os coeficientes dos termos semelhantes, como se fez anteriormente no caso do circuito  $RL$ . Expressando o resultado como uma função senoidal simples, a solução particular fica:

$$i_p = \frac{V_{\max}}{\sqrt{R^2 + (1/\omega C - \omega L)^2}} \operatorname{sen} \left( \omega t + \phi + \operatorname{arc\,tg} \frac{(1/\omega C - \omega L)}{R} \right) \quad (69)$$

ento  $e^{-t/RC}$ . Os  
 ermo é a cor-  
 ação à tensão

A função complementar é idêntica à do circuito em série  $RLC$  em  $CC$ , já examinada anteriormente, cujo resultado era superamortecido, criticamente amortecido ou oscilatório, dependendo de  $R$ ,  $L$  e  $C$ .

**Caso 1**  $(R/2L)^2 > 1/LC$ . As raízes são reais e desiguais, acarretando o caso de superamortecimento.  $D_1 = \alpha + \beta$  e  $D_2 = \alpha - \beta$ , sendo  $\alpha = -R/2L$  e  $\beta = \sqrt{(R/2L)^2 - 1/LC}$ . A solução completa é dada por:

i-18, aplica-se

$$i = e^{\alpha t}(c_1 e^{\beta t} + c_2 e^{-\beta t}) +$$

$$\frac{V_{\max}}{\sqrt{R^2 + (1/\omega C - \omega L)^2}} \operatorname{sen} \left( \omega t + \phi + \operatorname{arc\,tg} \frac{(1/\omega C - \omega L)}{R} \right) \quad (70)$$

**Caso 2**  $(R/2L)^2 = 1/LC$ . As raízes são reais e iguais, produzindo-se o caso de amortecimento crítico. A corrente completa é:

$$i = e^{\alpha t}(c_1 + c_2 t) +$$

$$\frac{V_{\max}}{\sqrt{R^2 + (1/\omega C - \omega L)^2}} \operatorname{sen} \left( \omega t + \phi + \operatorname{arc\,tg} \frac{(1/\omega C - \omega L)}{R} \right) \quad (71)$$

nto:

**Caso 3**  $(R/2L)^2 < 1/LC$ . As raízes são complexos conjugados, produzindo-se o caso de oscilação. A corrente completa é:

$$i = e^{\alpha t}(c_1 \cos \beta t + c_2 \operatorname{sen} \beta t) +$$

$$\frac{V_{\max}}{\sqrt{R^2 + (1/\omega C - \omega L)^2}} \operatorname{sen} \left( \omega t + \phi + \operatorname{arc\,tg} \frac{(1/\omega C - \omega L)}{R} \right) \quad (68)$$

onde 
$$\beta = \sqrt{1/LC - (R/2L)^2}. \tag{72}$$

As soluções particulares das equações (70), (71) e (72) são iguais, ao passo que a corrente transitória, dada pela função complementar, difere em cada caso. No caso 3, por exemplo, o transitório contém um par de funções senoidais, de frequência  $\beta$  rad/s, uma função, geralmente, diferente de  $\omega$  da solução particular. O aparecimento da corrente, durante o período transitório, é, conseqüentemente, impossível de se prever, possuindo, quase sempre, uma forma muito irregular. Depois que o fator de decaimento anula o transitório, a corrente fica adiantada ou atrasada em relação à tensão aplicada, dependendo dos valores absolutos das reatâncias  $1/\omega C$  e  $L$  em  $\text{arc tg } (1/\omega C - \omega L)/R$ .

### Transitórios em Malha Dupla

Aplicando-se a lei de Kirchhoff para as tensões à estrutura de duas malhas da Fig. 16-9, obtém-se o seguinte conjunto de equações diferenciais simultâneas:

$$\begin{aligned} R_1 i_1 + L_1 \frac{di_1}{dt} + R_1 i_2 &= V \\ R_1 i_1 + (R_1 + R_2) i_2 + L_2 \frac{di_2}{dt} &= V \end{aligned} \tag{73}$$

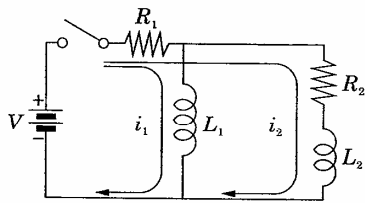


Figura 16-19

Empregando a notação com operador e reagrupando, temos:

$$(D + R_1/L_1) i_1 + (R_1/L_1) i_2 = V/L_1$$

Com o determinantes

$$\begin{vmatrix} D + R_1/L_1 & R_1/L_1 \\ R_1/L_1 & D + (R_1 + R_2)/L_2 \end{vmatrix}$$

O det potências decr aparece um te Logo:

$$\begin{bmatrix} D^2 \\ \dots \end{bmatrix}$$

A equ caso  $A^2 - 4AB$  do valor zero equação (43). constante que

ou

(72)

$$(R_1/L_2)i_1 + \left( D + \frac{R_1 + R_2}{L_2} \right) i_2 = V/L_2$$

$$\text{ou } \begin{bmatrix} D + R_1/L_1 & R_1/L_1 \\ R_1/L_2 & D + \frac{R_1 + R_2}{L_2} \end{bmatrix} \begin{bmatrix} i_1 \\ i_2 \end{bmatrix} = \begin{bmatrix} V/L_1 \\ V/L_2 \end{bmatrix} \quad (74)$$

Com o fim de obter uma equação de  $i_1$  independente de  $i_2$ , empregamos determinantes. Temos, portanto:

$$\begin{vmatrix} D + R_1/L_1 & R_1/L_1 \\ R_1/L_2 & D + \frac{R_1 + R_2}{L_2} \end{vmatrix} i_1 = \begin{vmatrix} V/L_1 & R_1/L_1 \\ V/L_2 & D + \frac{R_1 + R_2}{L_2} \end{vmatrix} \quad (75)$$

O determinante do primeiro membro é desenvolvido e ordenado em potências decrescentes de  $D$ . No desenvolvimento do determinante da direita aparece um termo  $D(V/L_1)$  que é nulo, já que  $D = d/dt$  e  $V/L_1$  é uma constante. Logo:

$$(73) \quad \left[ D^2 + \left( \frac{R_1L_1 + R_2L_1 + R_1L_2}{L_1L_2} \right) D + \frac{R_1R_2}{L_1L_2} \right] i_1 = VR_2/L_1L_2 \quad (76)$$

A equação característica é da forma  $D^2 + AD + B = 0$ , porém, como neste caso  $A^2 - 4AB > 0$  para todos os valores das constantes do circuito (com exceção do valor zero para  $L_1$  ou  $L_2$ ), a função complementar é da forma dada na equação (43). Como a função aplicada é constante, uma solução particular é a constante que satisfaz a equação, logo:

$$\left( \frac{R_1R_2}{L_1L_2} \right) i_{1p} = VR_2/L_1L_2$$

$$\text{ou } i_{1p} = V/R_1 \quad (77)$$

são iguais, ao  
tar, difere em  
ar de funções  
rente de  $\omega$  da  
do transitório,  
sempre, uma  
o transitório,  
licada, depen-  
 $\omega C - \omega L/R$ .

itura de duas  
s diferenciais

ios:

Aplicando os mesmos métodos para  $i_2$ , obtemos:

$$\begin{vmatrix} D + R_1/L_1 & R_1/L_1 \\ R_1/L_2 & D + \frac{R_1 + R_2}{L_2} \end{vmatrix} i_2 = \begin{vmatrix} D + R_1/L_1 & V/L_1 \\ R_1/L_2 & V/L_2 \end{vmatrix} \quad (78)$$

Após a expansão dos dois determinantes, chega-se ao seguinte resultado:

$$\left[ D^2 + \left( \frac{R_1 L_1 + R_2 L_1 + R_1 L_2}{L_1 L_2} \right) D + \frac{R_1 R_2}{L_1 L_2} \right] i_2 = 0$$

A equação característica é a mesma da equação (76); conseqüentemente, as funções complementares são iguais. Entretanto, a solução particular de  $i_2$  é nula, já que a equação é homogênea.

O exame do circuito mostra que isso é perfeitamente razoável, já que no regime estacionário  $L_1$  aparece como um curto-circuito no ramo  $R_2 L_2$ , anulando a corrente nesse ramo.  $R_1$  é, portanto, a única limitação à corrente em regime estacionário, cujo valor é  $i_1 = V/R_1$ , dado na equação (77).

### Problemas Resolvidos

**16.1** Fechando-se um interruptor, aplica-se, no instante  $t = 0$ , uma tensão constante  $V = 100 \text{ V}$  a um circuito em série  $RL$ , onde  $R = 50 \text{ ohms}$  e  $L = 10 \text{ H}$ . Determinar: (a) as equações de  $i$ ,  $v_R$  e  $v_L$ ; (b) a corrente em  $t = 0,5 \text{ s}$  e (c) o instante em que  $v_R = v_L$ .

(a) A equação diferencial do circuito é:

$$50i + 10 \frac{di}{dt} = 100 \quad \text{ou} \quad (D + 5)i = 10 \quad (1)$$

e a solução completa é:

$$i = i_C + i_p = ce^{-5t} + 2 \quad (2)$$

Quando  $t = 0$ ,  $i_0 = 0$  e  $0 = C(1) + 2$  ou  $C = -2$ . Então,

$$i = 2(1 - e^{-5t}) \quad (3)$$

mostrado na Fig. 16-20(a).

As tens

$$v_R = Ri$$

$$\begin{matrix} 2,0 \\ 1,836 \end{matrix}$$

$$1,0$$

$$0$$

(b) Faz  
1,836 a

(c) Qua  
faz-se t  
Assim,

**16.2** Achar  $\epsilon$   
indutân  
po mag

Empre  
instant

$$p_R = v$$

$$p_L = v$$

$$p_T = P$$

$$\begin{matrix} \text{A ener} \\ W = \frac{1}{2} \end{matrix}$$

A integ

As tensões correspondentes nos elementos de circuito são:

$$v_R = Ri = 100(1 - e^{-5t}) \text{ e } v_L = L \frac{di}{dt} = 100e^{-5t} \quad (4)$$

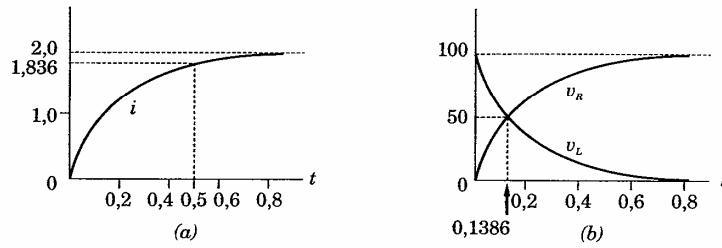


Figura 16-20

(b) Fazendo  $t = 0,5$  s em (3), obtém-se  $i = 2(1 - e^{-5(0,5)}) = 2(1 - 0,082) = 1,836$  ampères.

(c) Quando  $v_R = v_L$ , cada um será 50 volts; como a tensão aplicada é 100, faz-se  $v_R$  ou  $v_L$  igual a 50 V resolve-se para  $t$ . De (4),  $v_L = 50 = 100e^{-5t}$ . Assim,  $e^{-5t} = 0,5$  ou  $5t = 0,693$ , e  $t = 0,1386$  s.

16.2 Achar as equações de  $p_R$  e  $p_L$  no Probl. 16.1 e mostrar que a potência na indutância responde pela energia de regime estacionário, armazenada no campo magnético.

Empregando a tensão e a corrente, obtidas no Probl. 16.1, as potências instantâneas ficam:

$$p_R = v_R i = 100(1 - e^{-5t}) 2(1 - e^{-5t}) = 200(1 - 2e^{-5t} + e^{-10t})$$

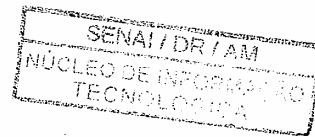
$$p_L = v_L i = 100e^{-5t} 2(1 - e^{-5t}) = 200(e^{-5t} - e^{-10t})$$

$$p_T = p_R + p_L = 200(1 - e^{-5t})$$

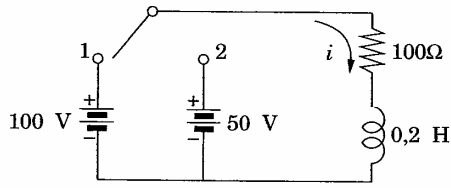
A energia de regime estacionário, armazenada no campo magnético, é

$$W = \frac{1}{2} LI^2 = \frac{1}{2}(10)(2)^2 = 20 \text{ joules.}$$

A integral de  $p_L$  de  $t = 0$  a  $t = \infty$  é  $W = \int_0^\infty 200(e^{-5t} - e^{-10t}) dt = 20 \text{ joules.}$



**16.3** No circuito em série da Fig. 16-21, fecha-se o interruptor na posição 1, no instante  $t = 0$ , aplicando-se a fonte de 100 volts ao ramo  $RL$ ; quando  $t = 500 \mu\text{s}$ , o interruptor é levado para a posição 2. Obter as equações da corrente nos dois intervalos e discutir o transitório.



**Figura 16-21**

Com o interruptor na posição 1, a equação é:

$$100i + 0,2 \frac{di}{dt} = 100 \quad \text{ou} \quad (D + 500)i = 500 \quad (1)$$

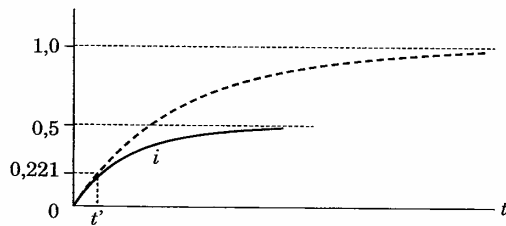
e a corrente completa é:  $i = c_1 e^{-500t} + 1,0$  (2)

Para  $t = 0, i = 0$ . Usando a condição inicial em (2),  $0 = c_1(1) + 1,0$  ou  $c_1 = -1,0$ . A corrente é, então:

$$i = 1,0(1 - e^{-500t}) \quad (3)$$

Aos  $500 \mu\text{s}$  esse transitório é interrompido e a corrente fica:

$$i = 1,0(1 - e^{-500(500 \times 10^{-6})}) = 1,0(1 - 0,779) = 0,221 \text{ A.} \quad (4)$$



**Figura 16-22**

Com o ir  
polarida

$$100i + ($$

que dá

onde  $t' =$   
como em

$$i = 0,22$$

Então, p

A equaçã  
16-22 ter  
a corren  
equação  
figura.

**16.4** Repetir o

A primeir  
obtida n  
 $t = 500 \mu$

Invertid:

$$100i + ($$

cuja sol

$$\begin{aligned} \text{Para } t = \\ = c(1) - ( \\ = 0,721 \end{aligned}$$

A Fig. 16  
seu sent  
como pos

posição 1, no  
 indo  $t = 500 \mu\text{s}$ ,  
 corrente nos dois

Com o interruptor na posição 2, a tensão aplicada é 50 V, com a mesma polaridade da fonte de 100 V e a equação é:

$$100i + 0,2 \frac{di}{dt} = 50 \quad \text{ou} \quad (D + 500)i = 250 \quad (5)$$

$$\text{que dá} \quad i = c_2 e^{-500(t - t')} + 0,5 \quad (6)$$

onde  $t' = 500 \mu\text{s}$ . Quando  $t = t'$  na equação (6), a corrente é 0,221 ampères como em (4). Logo:

$$i = 0,221 c_2(1) + 0,5 \quad \text{e} \quad c_2 = -0,279$$

$$\text{Então, para } t > t', \quad i = -0,279 e^{-500(t - t')} + 0,5 \quad (7)$$

A equação (3) aplica-se para  $0 < t < t'$  e o transitório tracejado da Fig. 16-22 tende para o valor 1,0 em regime estacionário. Assim, em  $t'$ , quando a corrente é 0,221 A, o interruptor é deslocado para a posição 2 e a equação (7) aplica-se para  $t > t'$  com o valor final 0,5 A, como mostra a figura.

(1)

(2)

**16.4** Repetir o Probl. 16.3 invertendo a polaridade da fonte de 50 volts.

A primeira parte do transitório com o interruptor na posição 1 é a mesma obtida no Probl. 16.3, isto é,  $i = 1,0(1 - e^{-500t})$  com  $i = 0,221$  ampères em  $t = 500 \mu\text{s}$ .

Invertida a polaridade da fonte de 50 V, resulta a seguinte equação:

) + 1,0 ou  $c_1 =$

(3)

(4)

$$100i + 0,2 \frac{di}{dt} = -50 \quad \text{ou} \quad (D + 500)i = -250 \quad (1)$$

$$\text{cuja solução é } i = c e^{-500(t - t')} - 0,5 \quad (2)$$

Para  $t = t'$  a corrente é 0,221 ampères. Substituindo na equação (2),  $0,221 = c(1) - 0,5$  ou  $c = 0,721$ . A equação da corrente para  $t > t'$  é, portanto:

$$= 0,721 e^{-500(t - t')} - 0,5$$

A Fig. 16-23 mostra a corrente transitória, cujo valor final é  $-0,5$  A, já que seu sentido, aplicada a fonte de 50 V, é oposto ao sentido de  $i$  admitido como positivo.

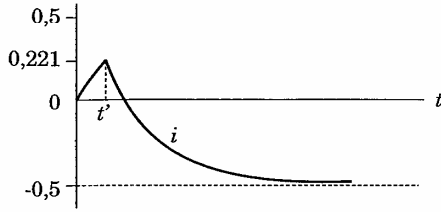


Figura 16-23

16.5 Uma tensão constante  $V = 100$  volts é aplicada, no instante  $t = 0$ , a um circuito série  $RC$ , onde  $R = 5000$  ohms e  $C = 20 \mu\text{F}$ . É nula a carga inicial no capacitor. Determinar as equações de  $i$ ,  $v_R$  e  $v_C$ .

Ao fechar-se o interruptor, a equação é:

$$5000i + \frac{1}{20 \times 10^{-6}} \int i dt = 100 \quad (1)$$

Diferenciando e empregando a notação de operador, temos:

$$(D + 10)i = 0 \text{ com uma solução } i = c e^{-10t} \quad (2)$$

Fazendo  $t = 0$  na equação (1), tem-se a corrente inicial  $i_0 = 100/5000 = 0,02$  ampères. Substituindo-se em (2), obtém-se  $c = 0,02$ . A corrente é, então:

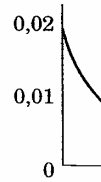
$$i = 0,02 e^{-10t} \quad (3)$$

e as tensões transitórias nos elementos de circuito são:

$$v_R = Ri = 5000(0,02 e^{-10t}) = 100 e^{-10t}$$

$$v_C = \frac{1}{C} \int i dt = \frac{1}{20 \times 10^{-6}} \int 0,02 e^{-10t} dt = 100(1 - e^{-10t})$$

A Fig. 16-24 mostra os transitórios. Em regime estacionário,  $v_R = 0$  e  $v_C = 100$  V.



16.6 O capaci inicial  $q_0$ : se o circ Determin

Ao fecha

$$1000i +$$

e a soluç

A fonte c  
carrega  
capacito  
= 25 vol  
 $t = 0$ , a  
ampère  
 $i = 0,07t$

16.7 Repetir c

A equaç

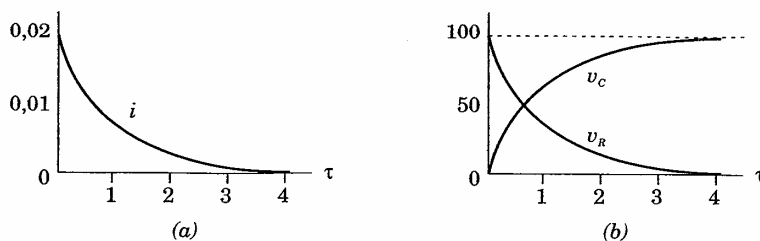


Figura 16-24

16.6 O capacitor de  $20 \mu\text{F}$  do circuito  $RC$  mostrado na Fig. 16-25 tem uma carga inicial  $q_0 = 500$  microcoulombs, com a polaridade mostrada no diagrama. Fechar-se o circuito quando  $t = 0$ , aplicando-se a tensão constante  $V = 50$  volts. Determinar a corrente transitória.

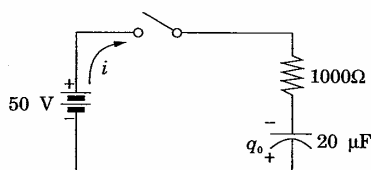


Figura 16-25

Ao fechar-se o interruptor, a equação é:

$$1000i + \frac{1}{20 \times 10^{-6}} \int i dt = 50 \quad \text{ou} \quad (D + 50)i = 0 \tag{1}$$

e a solução é:  $i = c e^{-50t}$  (2)

A fonte de 50 volts debita uma corrente no sentido indicado no diagrama, carregando com carga + a placa superior do capacitor. A carga inicial  $q_0$  do capacitor tem uma tensão equivalente  $V_0 = q_0/C = (500 \times 10^{-6})/(20 \times 10^{-6}) = 25$  volts, que também envia uma corrente no sentido de  $i$ . Então, em  $t = 0$ , a corrente inicial é  $i_0 = (V + q_0/C)/R = (50 + 25)/1000 = 0,075$  ampères. Substituindo na equação (2), encontra-se  $c = 0,075$ ; então,  $i = 0,075 e^{-50t}$ .

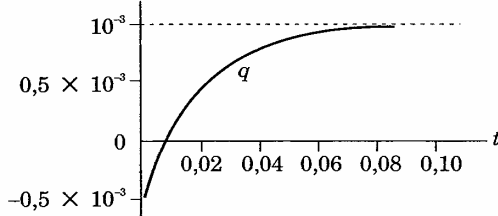
16.7 Repetir o Probl. 16.6, partindo da equação da carga transitória.

A equação em função da carga é:

$$1000 \frac{dq}{dt} + \frac{q}{20 \times 10^{-6}} = 50 \quad \text{ou} \quad (D + 50)q = 0,05 \quad (1)$$

cuja solução é:  $q = c e^{-50t} + 10^{-3} \quad (2)$

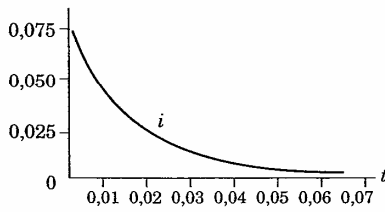
Quando  $t = 0$ , o capacitor possui uma carga positiva de  $0,5 \times 10^{-3}$  coulombs, na placa inferior. A polaridade da carga depositada, durante o transitório, é positiva na placa superior. Assim, faz-se  $q_0 = -0,5 \times 10^{-3}$  e  $t = 0$ , na equação (2), achando-se  $c = -1,5 \times 10^{-3}$ . Então,  $q_0 = -1,5 \times 10^{-3} e^{-50 \cdot 0} + 10^{-3}$  e a corrente transitória é  $i = dq/dt = 0,075 e^{-50t}$ .



(a)

Figura 16-26 (a)

O diagrama da Fig. 16-26(a) mostra que o capacitor tem uma carga inicial de  $0,5 \times 10^{-3}C$ , positiva na placa inferior, e uma carga final de  $1,0 \times 10^{-3}C$ , positiva na placa superior. A Fig. 16-26(b) mostra a corrente transitória  $i = dq/dt$ .



(b)

Figura 16-26 (b)

16.8 No circuito da Fig. 16-27, o interruptor é fechado na posição 1, quando  $t = 0$ , e, decorrida uma constante de tempo, é deslocado para a posição 2. Determinar a corrente transitória completa.

Estando aplicação

$$i = c_1 e$$

Quando  $c_1 = 0,04$

$$i = 0,04$$

Esse tra microssegundos ampères

Quando nas placas tensão e corrente corrente

$$i = c_2 e^{-t}$$

Quando (3):  $c_2 =$

A corrente corrente

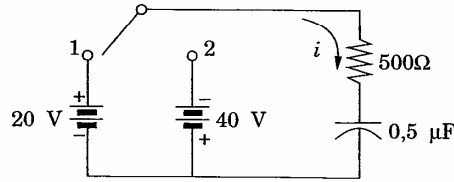


Figura 16-27

Estando o interruptor na posição 1, a equação diferencial, obtida por aplicação ao circuito da lei de Kirchhoff para as tensões, é:

$$i = c_1 e^{-t/RC} = c_1 e^{-4000t} \tag{1}$$

Quando  $t = 0$ ,  $i_0 = V/R = 20/500 = 0,04$  ampères. Substituindo em (1),  $c_1 = 0,04$  e a corrente no intervalo  $0 < t < 1 \text{ CT}$  é:

$$i = 0,04 e^{-4000t} \tag{2}$$

Esse transitório prossegue até  $t = 1 \text{ CT} = RC = 500 (0,5 \times 10^{-6}) = 250$  microssegundos. Nesse ponto a corrente tem o valor  $i = 0,04 e^{-1} = 0,0147$  ampères.

Quando o interruptor é movido para a posição 2, o capacitor tem carga nas placas, acarretando uma tensão  $v_C = 20(1 - e^{-1}) = 12,65$  volts. Essa tensão e a fonte de 40 volts debitam corrente em sentido contrário ao da corrente originária da fonte de 20 volts. Fazendo  $t' = 1 \text{ CT}$ , a equação da corrente para o segundo transitório é:

$$i = c_2 e^{-4000(t-t')} \tag{3}$$

Quando  $t = t'$ ,  $i = -(40 + 12,65)/500 = -0,1053$  ampères. Substituindo em (3):  $c_2 = -0,1053$  e a corrente é:

$$i = -0,1053 e^{-4000(t-t')}$$

A corrente transitória completa está mostrada na Fig. 16-28. Após  $1/\tau$ , a corrente tem para valor máximo  $-0,1053$  ampères.

(1)  
(2)  
le  $0,5 \times 10^{-3}$   
da, durante o  
 $5 \times 10^{-3}$  e  $t = 0$ ,  
 $\times 10^{-3} e^{-50t} +$

a carga inicial  
le  $1,0 \times 10^{-3} C$ ,  
ite transitória

quando  $t = 0$ , e,  
2. Determinar a

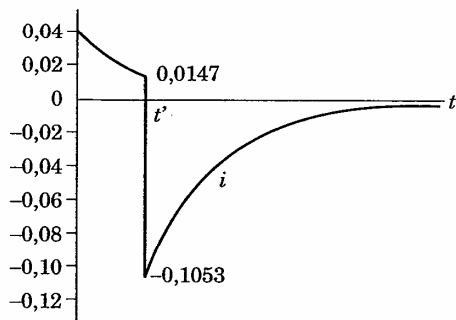


Figura 16-28

16.9 Determinar a carga transitória do Probl. 16.8 e diferenciá-la para obter a corrente.

A equação da carga, estando o interruptor na posição 1, é:

$$500 \frac{dq}{dt} + \frac{q}{0,5 \times 10^{-6}} = 20 \quad \text{ou} \quad (D + 4000)q = 0,04 \quad (1)$$

e a solução é:  $q = c_1 e^{-4000t} + 10 \times 10^{-6}$  (2)

Quando  $t = 0$ ,  $q_0 = 0$ . Usando essa condição inicial em (2), obtém-se  $c_1 = -10 \times 10^{-6}$  e, então, temos:

$$q = 10 \times 10^{-6} (1 - e^{-4000t}) \quad (3)$$

Esta equação se aplica para  $0 < t < t'$ , onde  $t' = 1 \tau$ . Para  $1 \tau$  a carga no capacitor é  $q = 10 \times 10^{-6} (1 - e^{-1}) = 6,32 \times 10^{-6}$  coulombs.

Quando o interruptor está em 2, a equação diferencial é:

$$500 \frac{dq}{dt} + \frac{q}{0,5 \times 10^{-6}} = -40 \quad \text{ou} \quad (D + 4000)q = 0,08 \quad (4)$$

e a solução é:  $q = c_2 e^{-4000(t-t')} - 20 \times 10^{-6}$  (5)

Determina-se agora  $c_2$  pela substituição do valor de  $q$  a  $1 \tau$  e fazendo  $t = 1 \tau$  na equação (5). Assim,  $6,32 \times 10^{-6} = c_2(1) - 20 \times 10^{-6}$  ou  $c_2 = 26,32 \times 10^{-6}$ . Então, temos:

$$q = 26,32 \times 10^{-6} e^{-4000(t-t')} - 20 \times 10^{-6} \quad (6)$$

A Fig. 16-28 mostra a corrente  $i$  transitória. Assim, n

$$i = \frac{d}{dt} [10 \times 10^{-6} (1 - e^{-4000t})]$$

e quando

$$i = \frac{d}{dt} [26,32 \times 10^{-6} e^{-4000(t-t')} - 20 \times 10^{-6}]$$

Resultad

16.10 Uma tens  $RLC$  em :  
Determina: capacitor

Depois d

$$3000i + 1$$

As raízes

$$i = c_1 e^{-\dots}$$

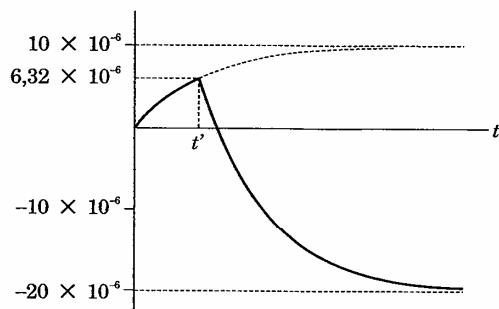


Figura 16-29

A Fig. 16-29 mostra a carga transitória completa. Obtém-se a corrente transitória correspondente pela diferenciação das equações (3) e (6). Assim, no intervalo  $0 < t < t'$ , corrente é:

$$(1) \quad i = \frac{d}{dt} \{10 \times 10^{-6}(1 - e^{-4000t})\} = 0,04 e^{-4000t}$$

e quando  $t > t'$ , temos:

(2)

$$i = \frac{d}{dt} \{26,32 \times 10^{-6} e^{-4000(t-t')} - 20 \times 10^{-6}\} = -0,1053 e^{-4000(t-t')}$$

Resultados idênticos foram obtidos na equação (2) e (4) do Probl. 16.8.

**16.10** Uma tensão constante  $V = 50$  volts é aplicada, no instante  $t = 0$ , em um circuito  $RLC$  em série, em que  $R = 3000$  ohms,  $L = 10$  henrys e  $C = 200$  microfarads. Determinar a corrente transitória e o valor máximo da corrente, admitindo que o capacitor não tem carga inicial.

Depois de fechado o interruptor, a equação é:

(3)

$$3000i + 10 \frac{di}{dt} + \frac{1}{200 \times 10^{-6}} \int 1 dt = 50 \quad \text{ou} \quad (D^2 + 300D + 500)i = 0 \quad (1)$$

(4)

As raízes da equação característica são  $D_1 = -298,3$  e  $D_2 = -1,67$ , e

$$i = c_1 e^{-1,67t} + c_2 e^{-298,3t} \quad (2)$$

(5)

(6)

Para determinar  $c_1$  e  $c_2$  utilizamos duas condições iniciais. Como o circuito contém indutância, a função corrente deve ser contínua. Portanto, como  $i = 0$  quando  $t = 0^-$ ,  $i$  deve ser zero, também, quando  $t = 0^+$ . Assim, da equação (1),  $10 \, di/dt = 50$  e  $di/dt = 5$ . Escrevendo, agora, a equação (2) para  $t = 0$ :  $0 = c_1 (1) + c_2 (1)$  ou  $c_1 + c_2 = 0$ . Fazendo  $t = 0$  na primeira derivada de (2) e fazendo  $di/dt = 5$ , tem-se  $5 = -1,67 c_1 - 298,3 c_2$ . Resolvendo as duas equações, encontramos  $c_1 = 0,0168$  e  $c_2 = -0,0168$ . Então, temos:

$$i = 0,0168 e^{-1,67t} - 0,0168 e^{-298,3t} \quad (3)$$

Determinamos a corrente máxima fazendo  $di/dt = 0$  e resolvendo em relação a  $t$ .

$$di/dt = (0,0168) (-1,67)e^{-1,67t} - (0,0168) (-298,3)e^{-298,3t} = 0 \text{ ou } t = 0,0175 \text{ segundos.}$$

Levando este valor de  $t$  à equação (3), obtemos 0,0161 ampères.

- 16.11** Uma tensão constante  $V = 100$  volts é aplicada, no instante  $t = 0$ , em um circuito RLC em série, em que  $R = 50 \, \Omega$ ,  $L = 0,1 \, \text{H}$  e  $C = 50 \, \mu\text{F}$ . Determinar a corrente transitória, supondo nula a carga inicial do capacitor.

Depois de fechado o circuito, é a seguinte a equação diferencial:

$$50i + 0,1 \frac{di}{dt} + \frac{1}{50 \times 10^{-6}} \int i \, dt = 100 \text{ ou } (D^2 + 500D + 2 \times 10^5)i = 0 \quad (1)$$

As raízes da equação característica são  $D_1 = -250 + j371$  e  $D_2 = -250 - j371$ ; portanto, a corrente é:

$$i = e^{-250t} (c_1 \cos 371t + c_2 \sin 371t) \quad (2)$$

A corrente é nula quando  $t = 0$ . Logo, de (2),  $i_0 = 0 = (1)(c_1 \cos 0 + c_2 \sin 0)$  e  $c_1 = 0$ .

$$\text{A equação (2) fica } i = e^{-250t} c_2 \sin 371t \quad (3)$$

Diferenciando (3), temos:

$$di/dt = c_2 \{e^{-250t} (371) \cos 371t + e^{-250t} (-250) \sin 371t\} \quad (4)$$

De (1) para  $t = 0$ ,  $01(di/dt) = 100$  ou  $di/dt = 1000$ . Substituindo em (4) para  $t = 0$ ,  $di/dt = 1000 = c_2 371 \cos 0$  e  $c_2 = 2,7$ . Logo, a corrente é  $i = e^{-250t} (2,7 \sin 371t)$ .

- 16.12** Uma tensão  $\phi = 0$ , em t equação co

Depois de

$$50i + 0,2$$

A função c

Para dete  
cientes a c

$$i_p = A \cos$$

Então  $i$

Substitui

$$(-500A \sin$$

$$= 750 \sin$$

Igualand

$$-500A +$$

Resolvenc

$$i_p = -1,2$$

A corrente

Para  $t = 0$

$$i = 1,2 e^{-$$

A Fig. 16-  
mente pa  
tensão ap

- 16.12** Uma tensão senoidal  $v = 150 \text{ sen } (500t + \phi)$  é aplicada, no instante em que  $\phi = 0$ , em um circuito  $RL$  em série, em que  $R = 50 \text{ } \Omega$  e  $L = 0,2 \text{ H}$ . Determinar a equação completa da corrente.

Depois de fechado o circuito, a equação é:

$$50i + 0,2 \frac{di}{dt} = 150 \text{ sen } 500t \text{ ou } (D + 250)i = 750 \text{ sen } 500t \quad (1)$$

A função complementar é  $i_c = c e^{-250t}$ .

Para determinar a solução particular, empregaremos o método dos coeficientes a determinar e suporemos uma corrente particular; logo:

$$i_p = A \cos 500t + B \text{ sen } 500t \quad (2)$$

$$\text{Então } i'_p = -500A \text{ sen } 500t + 500B \cos 500t \quad (3)$$

Substituindo na equação (1) essas expressões de  $i$  e  $i'$ , obtemos:

$$\begin{aligned} (-500A \text{ sen } 500t + 500B \cos 500t) + 250(A \cos 500t + B \text{ sen } 500t) &= \\ = 750 \text{ sen } 500t \end{aligned}$$

Igualando os coeficientes de  $\text{sen } 500t$  e de  $\cos 500t$ , obtemos:

$$-500A + 250B = 750 \text{ e } 500B + 250A = 0 \quad (4)$$

Resolvendo o sistema, encontramos  $A = -1,2$  e  $B = 0,6$ . Então, temos:

$$i_p = -1,2 \cos 500t + 0,6 \text{ sen } 500t = 1,34 \text{ sen } (500t - 63,4^\circ) \quad (5)$$

$$\text{A corrente completa é: } i = c e^{-250t} + 1,34 \text{ sen } (500t - 63,4^\circ) \quad (6)$$

Para  $t = 0$ ,  $i = 0 = c(1) + 1,34 \text{ sen } (-63,4^\circ)$  e  $c = 1,2$ . Daí, temos:

$$i = 1,2 e^{-250t} + 1,34 \text{ sen } (500t - 63,4^\circ) \quad (7)$$

A Fig. 16-30  $i$ ,  $i_p$  e sua soma  $i$ . Cessado o regime transitório (aproximadamente para  $t = 5 \text{ CT}$ ), a corrente é senoidal e está atrasada, em relação à tensão aplicada, de  $\theta = \text{arc tg } \omega L/R = 63,4^\circ$ .

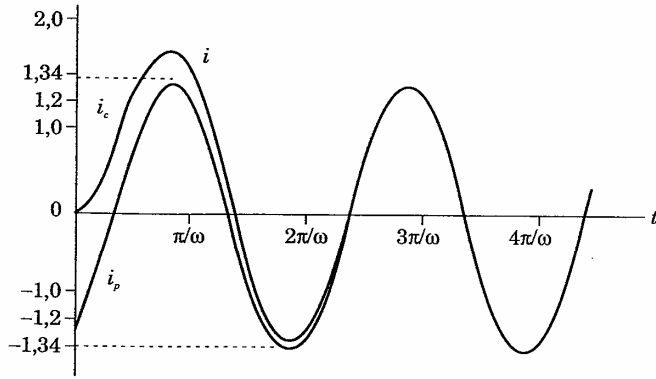


Figura 16-30

16.13 Que valor deverá ter o ângulo  $\phi$ , no instante em que se fechar o interruptor do circuito descrito no Probl. 16.12, para que a corrente vá diretamente ao regime estacionário, sem transitório?

Se  $\phi \neq 0$ , tem-se, da equação (6) do Probl. 16.12:

$$i = c e^{-250t} + 1,34 \text{ sen } (500t + \phi - 63,4^\circ)$$

Para  $t = 0$ ,  $0 = c(1) + 1,34 \text{ sen } (\phi - 63,4^\circ)$ . Se a constante  $c$  é nula, o transitório é zero; isso ocorre quando  $\phi = (63,4^\circ + n180^\circ)$ , para  $n = 0, 1, 2, \dots$

16.14 Uma fonte de tensão senoidal  $v = 250 \text{ sen } (500t + \phi)$  é aplicada a um circuito série  $RC$ , em que  $R = 100$  ohms e  $C = 25 \mu\text{F}$ , no instante em que  $\phi = 0^\circ$ . Determinar a corrente, admitindo que não haja carga inicial no capacitor.

Ao fechar-se o interruptor, a equação diferencial do circuito é:

$$100i + \frac{1}{25 \times 10^{-6}} \int i dt = 250 \text{ sen } 500t \text{ ou } (D + 400)i = 1250 \cos 500t \quad (1)$$

A função complementar é  $i_c = c e^{-400t}$ .

Para determinar a solução particular, faz-se o 2º membro da equação em função do operador ser a parte real de  $1250 e^{j500t}$  e, então, supõe-se uma corrente particular dada por:

$$i_p = \mathbf{K} e^{j500t} \quad (2)$$

Logo:

$$i_p' = j500$$

Substitui

$$j500 \mathbf{K} e^{j500t}$$

onde  $\mathbf{K}$  como a te real de (2)

$$i = c e^{-400t}$$

Para  $t = 0$  (5) com  $t :$

$$i = -1,22 = -1,2$$

16.15 Fechando  $\phi = 45^\circ$ , a carga inici no diagram

O circuito A equaçã

$$(D + 400$$

A função é deslocat é, então:

$$i = c e^{-4$$

Logo:

$$i'_p = j500 K e^{j500t} \tag{3}$$

Substituindo esses valores de  $i$  e  $i'$  na equação (1), obtemos

$$j500 K e^{j500t} + 400(K e^{j500t}) = 1250 e^{j500t} \tag{4}$$

onde  $K = 1,955/-51,3^\circ$ . Este valor de  $K$  é levado à equação (2), porém, como a tensão aplicada era a parte real de  $1250 e^{j500t}$ , a corrente é a parte real de (2) e  $i_p = 1,955 \cos(500t - 51,3^\circ)$ . A corrente completa é:

$$i = c^{-400t} + 1,955 \cos(500t - 51,3^\circ) \tag{5}$$

Para  $t = 0$ , equação (1) é  $100i = 250 \sin 0$  ou  $i = 0$ . Empregando a equação (5) com  $t = 0$ , temos  $c = -1,22$ . Logo:

$$\begin{aligned} i &= -1,22 e^{-400t} + 1,955 \cos(500t - 51,3^\circ) = \\ &= -1,22 e^{-400t} + 1,955 \sin(500t + 38,7^\circ) \end{aligned}$$

- 16.15** Fechando-se o interruptor do circuito  $RC$  da Fig. 16-31, no instante em que  $\phi = 45^\circ$ , aplica-se a fonte de tensão senoidal  $v = 25 \sin(500t + \phi)$ . Existe uma carga inicial  $q_0 = 5000 \times 10^{-6}$  coulombs no capacitor com a polaridade mostrada no diagrama. Determinar a corrente completa.

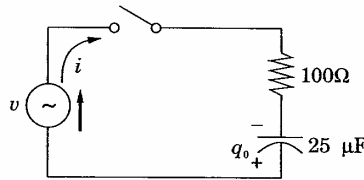


Figura 16-31

O circuito e a tensão senoidal são os mesmos do Probl. 16.14, com  $\phi = 45^\circ$ . A equação diferencial expressa por operador é:

$$(D + 400)i = 1250 \cos(500t + 45^\circ) \tag{1}$$

A função complementar é a mesma do Probl. 16.14 e a corrente particular é deslocada de  $45^\circ$ , isto é,  $i_p = 1,955 \sin(500t + 83,7^\circ)$ . A corrente completa é, então:

$$i = c e^{-400t} + 1,955 \sin(500t + 83,7^\circ) \tag{2}$$

Quando  $t = 0$ , há duas tensões aplicadas. A tensão do capacitor carregado é  $V = q_0/C = (5000 \times 10^{-6})/(25 \times 10^{-6}) = 200$  volts. A tensão instantânea da fonte é  $v = 250 \text{ sen } 45^\circ = 176,7$  volts. O exame do circuito mostra que essas tensões têm a mesma polaridade; portanto, a corrente inicial é  $i_0 = (200 + 176,7)/100 = 3,77$  ampères. Usando a equação (2) com  $i = 3,77$ , quando  $t = 0$ , encontra-se  $c = 1,83$ ; por conseguinte, a corrente procurada é:

$$i = 1,83 e^{-400t} + 1,955 \text{ sen } (500t + 83,7^\circ)$$

**16.16** O circuito em série RLC da Fig. 16-32 tem uma fonte de tensão senoidal  $v = 100 \text{ sen } (1000t + \phi)$ . Sendo o interruptor fechado quando  $\phi = 90^\circ$ , determinar a corrente, supondo nula a carga inicial do capacitor.

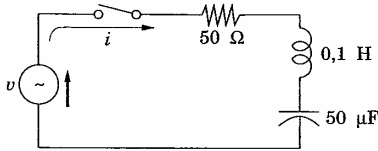


Figura 16-32

Depois de fechado o interruptor, a equação do circuito é:

$$50i + 0,1 \frac{di}{dt} + \frac{1}{50 \times 10^{-6}} \int i dt = 100 \text{ sen } (1000t + 90^\circ)$$

$$\text{ou } (D^2 + 500D + 2 \times 10^6)i = 10^6 \cos (1000t + 90^\circ) \quad (1)$$

O cálculo das raízes da equação característica é deixado como exercício para o leitor.

A corrente complementar é  $i_c = e^{-250t} (c_1 \cos 371t + c_2 \text{ sen } 371t)$ , e a corrente particular, determinada pelo método empregado no Probl. 16.14., é  $i_p = 1,06 \text{ sen } (1000t + 32^\circ)$ . A corrente completa é, portanto:

$$i = e^{250t} (c_1 \cos 371t + c_2 \text{ sen } 371t) + 1,06 \text{ sen } (1000t + 32^\circ) \quad (2)$$

Da equação (1) para  $t = 0$ ,  $i_0 = 0$  e  $di/dt = 1000$ . Substituindo em (2) encontra-se  $c_1 = -0,562$ . Diferenciando (2), obtém-se:

$$\begin{aligned} \frac{di}{dt} = & e^{-250t} (-371c_1 \text{ sen } 371t + 371c_2 \cos 371t) + \\ & + (c_1 \cos 371t + c_2 \text{ sen } 371t)(-250e^{-250t}) + 1,06 (1000) \cos (1000t + 32^\circ) \quad (3) \end{aligned}$$

Substitui:  
= -0,104.

$$i = e^{-250t}$$

**16.17** Um circuit microfarad interruptor haja carga

Fechado c

$$100i + 0,$$

$$\text{ou } (D^2 +$$

As raízes

A função obtida pel A corrent

$$i = c_1 e^{-$$

Para dete equação (2), obtém

$$i_0 = 0 =$$

Diferenci

$$di/dt =$$

$$= 276,5c$$

Resolven

$$i = 0,16:$$

**16.18** O interrup quando t transitória

Substituindo  $t = 0$ ,  $c_1 = -0,562$  e  $di/dt = 1000$  na equação (3), acha-se  $c_2 = -0,104$ . A equação (2) fica, finalmente:

$$i = e^{-250t} (-0,562 \cos 371t - 0,104 \sin 371t) + 1,06 \sin (1000t + 32^\circ)$$

- 16.17** Um circuito *R**L**C* em série, com  $R = 100$  ohms,  $L = 0,1$  henry e  $C = 50$  microfarads, tem uma fonte de tensão senoidal  $v = 100 \sin (1000t + \phi)$ . Se o interruptor for fechado quando  $\phi = 90^\circ$ , determinar a corrente, supondo que não haja carga inicial no capacitor.

Fechado o interruptor, a equação do circuito é:

$$100i + 0,1 \frac{di}{dt} + \frac{1}{50 \times 10^{-6}} \int i dt = 100 \sin (1000t + 90^\circ)$$

$$\text{ou } (D^2 + 1000D + 2 \times 10^3)i = 10^6 \cos (1000t + 90^\circ) \quad (1)$$

As raízes da equação característica são  $D_1 = -276,5$  e  $D_2 = -723,5$ .

A função complementar é  $i_c = c_1 e^{-276,5t} + c_2 e^{-723,5t}$  e a solução particular, obtida pelo método empregado no Probl. 16.14, é  $i_p = 0,781 \sin (1000t + 51,4^\circ)$ . A corrente completa é, portanto:

$$i = c_1 e^{-276,5t} + c_2 e^{-723,5t} + 0,781 \sin (1000t + 51,4^\circ) \quad (2)$$

Para determinar as constantes  $c_1$  e  $c_2$ , calculam-se  $i$  e  $di/dt$  para  $t = 0$ , na equação (1). Substituindo os resultados,  $i = 0$  e  $di/dt = 1000$ , na equação (2), obtém-se:

$$i_0 = 0 = c_1 + c_2 + 0,781 \sin 51,4^\circ \quad \text{ou} \quad c_1 + c_2 = -0,610 \quad (3)$$

Diferenciando (2) e fazendo  $t = 0$  e  $di/dt = 1000$ , temos:

$$\begin{aligned} di/dt = 1000 &= -276,5c_1 - 723,5c_2 + 781 \cos 51,4^\circ \quad \text{ou} \\ &= 276,5c_1 + 723,5c_2 = -513 \end{aligned} \quad (4)$$

Resolvendo (3) e (4) simultaneamente,  $c_1 = 0,161$  e  $c_2 = -0,771$ . Então:

$$i = 0,161 e^{-276,5t} - 0,771 e^{-723,5t} + 0,781 \sin (1000t + 51,4^\circ)$$

- 16.18** O interruptor da estrutura de duas malhas, apresentada na Fig. 16-33, é fechado quando  $t = 0$ . Determinar as correntes transitórias de malha,  $i_1$  e  $i_2$ , e a tensão transitória no capacitor,  $v_C$ .

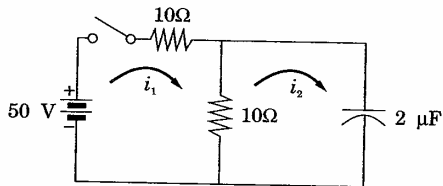


Figura 16-33

Aplicando às duas malhas a lei de Kirchhoff para as tensões, tem-se:

$$20i_1 - 10i_2 = 50 \quad \text{ou} \quad 2Di_1 = Di_2 \quad (1)$$

$$-10i_1 + 10i_2 + \frac{1}{2 \times 10^{-6}} \int i_2 dt = 0 \quad \text{ou} \quad -Di_1 + (D + 5 \times 10^4)i_2 = 0 \quad (2)$$

Da equação (1),  $Di_1 = \frac{1}{2}Di_2$ . Substituindo em (2), obtém-se:

$$-\left(\frac{1}{2}Di_2\right) + (D + 5 \times 10^4)i_2 = 0 \quad \text{ou} \quad (D + 10^5)i_2 = 0 \quad (3)$$

A solução da equação (3) contém uma função complementar, já que a equação é homogênea. Então:

$$i_2 = c e^{-10^5 t} \quad (4)$$

Fazendo  $t = 0$  na equação (2),  $-10i_1 + 10i_2 = 0$  ou  $i_1 = i_2$ . Assim, a equação (1) para  $t = 0$  fica  $20i_1 - 10i_1 = 50$  ou  $i_1 = i_2 = 5$  amp. Substituindo em (4), obtém-se  $c = 5$ . Então:

$$i_2 = 5 e^{-10^5 t} \quad (5)$$

Obtém-se a corrente transitória  $i_1$  substituindo (5) na equação (1). Assim:

$$20i_1 - 10(5 e^{-10^5 t}) = 50 \quad \text{ou} \quad i_1 = 2,5 + 2,5 e^{-10^5 t}$$

A tensão transitória no capacitor,  $v_C$ , é obtida pela integral da corrente de malha  $i_2$ . Tem-se:

$$v_C = \frac{1}{C} \int i_2 dt = \frac{1}{2 \times 10^{-6}} \int 5 e^{-10^5 t} dt = 25(1 - e^{-10^5 t})$$

16.19 Na estrutura e a fonte e malha  $i_1$  e

Aplicando as equações

$$10i_2 + 15$$

ou

$$(D + 150$$

$$15i_2 + 10$$

Da equação

Substituindo

$$(D + 833$$

A solução

$$i_1 = c e^{-t}$$

Substituindo

$$i_2 = -\frac{2}{3}c$$

16.19 Na estrutura de duas malhas da Fig. 16-34, o interruptor é fechado quando  $t = 0$  e a fonte de tensão é dada por  $v = 150 \text{ sen } 1000t$ . Determinar as correntes de malha  $i_1$  e  $i_2$ , mostradas no diagrama.

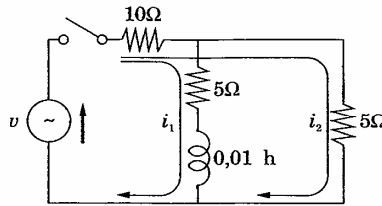


Figura 16-34

Aplicando-se às duas malhas a lei de Kirchhoff para as tensões, obtêm-se as equações:

$$10i_2 + 15i_1 + 0,01 \frac{di_1}{dt} = 150 \text{ sen } 1000t$$

ou

$$(D + 1500)i_1 + 1000i_2 = 15000 \text{ sen } 1000t \tag{1}$$

$$15i_2 + 10i_1 = 150 \text{ sen } 1000t \tag{2}$$

Da equação (2) tira-se:  $i_2 = 10 \text{ sen } 1000t - \frac{2}{3} i_1$  (3)

Substituindo em (1), obtém-se a equação diferencial:

$$(D + 833)i_1 = 5000 \text{ sen } 1000t \tag{4}$$

A solução completa, obtida pelo método do Probl. 16.14, é:

$$i_1 = c e^{-833t} + 3,84 \text{ sen } (1000t - 50,2^\circ) \tag{5}$$

Substituindo este valor de  $i_1$  na equação (3), obtém-se:

$$i_2 = -\frac{2}{3} c e^{-833t} - 2,56 \text{ sen } (1000t - 50,2) + 10 \text{ sen } 1000t$$

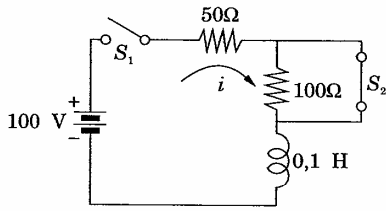
$$= -\frac{2}{3} c e^{-833t} + 8,58 \text{ sen } (1000t + 13,25^\circ) \quad (6)$$

A corrente de malha  $i_1$  passa numa indutância e deve ser zero para  $t = 0$ . Substituindo na equação (5),  $0 = c(1) + 3,84 \text{ sen } (-50,2^\circ)$  e  $c = 2,95$ . As duas equações das correntes de malha são:

$$i_1 = 2,95 e^{-833t} + 3,84 \text{ sen } (1000t - 50,2^\circ) \text{ e } i_2 = -1,97 e^{-833t} + 8,58 \text{ sen}(1000t + 13,25^\circ)$$

**Problemas Propostos**

- 16.20** O interruptor  $S_1$  da Fig. 16-35 é fechado quando  $t = 0$ . Após 4 milissegundos, abre-se  $S_2$ . Determinar a corrente nos intervalos  $0 < t < t'$  e  $t > t'$  sendo  $t' = 4$  milissegundos.  
 Resp.:  $i = 2(1 - e^{-500t})$ ;  $i = 1,06 e^{-1.500(t-t')} + 0,667$ .



**Figura 16-35**

- 16.21** Fechando-se um interruptor, aplica-se uma tensão constante a um circuito  $RL$  série. A tensão em  $L$  é 25 volts quando  $t = 0$  e cai para 5 volts quando  $t = 0,025$  segundos. Sendo  $L = 2$  H, qual deve ser o valor de  $R$ ?  
 Resp.: 128,8 ohms.
- 16.22** No circuito da Fig. 16-36, o interruptor  $S_1$  é fechado, quando  $t = 0$ , e  $S_2$  é aberto, quando  $t = 0,2$  s. Determinar as expressões da corrente transitória, nos dois intervalos.  
 Resp.:  $i = 10(1 - e^{-10t})$ ;  $i = 6,97 e^{-60(t-t')} + 1,67$ .

- 16.23** No circu desloca- a corren  
 Resp.: 1

- 16.24** No circu suficien é levad 50 ohm: durante  
 Resp.:

(6)

ero para  $t = 0$ .  
: 2,95. As duas

.000t + 13,25°)

milissegundos,  
t sendo  $t = 4$

um circuito RL  
ando  $t = 0,025$

e  $S_2$  é aberto,  
tória, nos dois

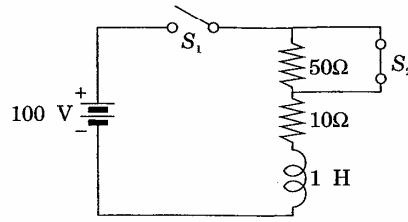


Figura 16-36

- 16.23** No circuito da Fig. 16-37, liga-se o interruptor na posição 1, quando  $t = 0$ , e desloca-se para a posição 2, após 1 milissegundo. Determinar o instante em que a corrente se anula, mudando de sentido.  
Resp.: 1,261 milissegundos.

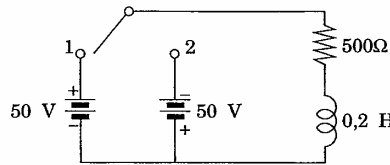


Figura 16-37

- 16.24** No circuito da Fig. 16-38, o interruptor é ligado na posição 1, durante tempo suficiente para que a corrente atinja o regime estacionário. Quando o interruptor é levado para a posição 2, existe uma corrente transitória nos dois resistores de 50 ohms, durante curto tempo. Determinar a energia dissipada nos resistores durante esse transitório.  
Resp.: 8 joules.

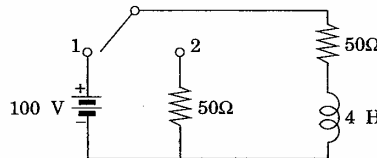
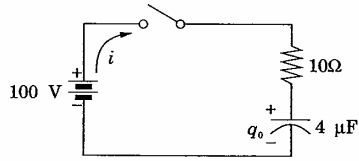


Figura 16-38

**16.25** O capacitor do circuito  $RC$ , mostrado na Fig. 16-39, tem uma carga inicial  $q_0 = 800 \times 10^{-6}$  coulombs, com a polaridade indicada. Determinar a corrente e a carga transitória que ocorrem quando o interruptor é fechado.

*Resp.:*  $i = -10 e^{-2,5 \times 10^4 t}$ ;  $q = 400 (1 + e^{-2,5 \times 10^4 t}) 10^{-6}$  coulombs.



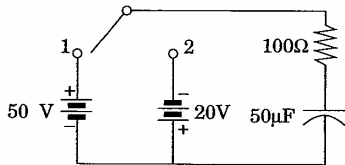
**Figura 16-39**

**16.26** Um capacitor de  $2 \mu\text{F}$  com uma carga inicial  $q_0 = 100 \times 10^{-6}$  coulombs é ligado aos terminais de um resistor de 100 ohms, quando  $t = 0$ . Calcular o tempo necessário para que a tensão nos terminais do resistor caia de 40 para 10 volts.

*Resp.:* 277,4 microssegundos.

**16.27** O interruptor do circuito na Fig. 16-40 é fechado na posição 1, quando  $t = 0$ , e deslocado para a posição 2, após  $1\tau$ . Determinar as expressões da corrente transitória nos intervalos  $0 < t < t'$  e  $t' < t$ .

*Resp.:*  $i = 0,5 e^{-200t}$ ;  $i = -0,516 e^{-200(t-t')}$ .



**Figura 16-40**

**16.28** Resolver a equação diferencial relativa ao Probl. 16.27, em função da carga. A partir das funções transitórias da carga, obter as expressões da corrente e comparar os resultados.

**16.29** No circuito da Fig. 16.41, o interruptor é mantido na posição 1 por tempo suficiente para que se estabeleça o regime estacionário e, então, é levado à posição 2. Estabelece-se uma corrente transitória, durante a qual a energia é dissipada nos dois resistores. Determinar essa energia e compará-la com a que foi armazenada no capacitor, durante o primeiro período.

*Resp.:* 0,20 joules.

**16.30** O capacitor  $\times 10^{-6}$  cou  
transitória  
*Resp.:*  $i =$

**16.31** Determina  
Mostrar  $q_C$   
*Resp.:*  $v_C$

**16.32** O capacit  
interrupto  
transitória  
*Resp.:* 12

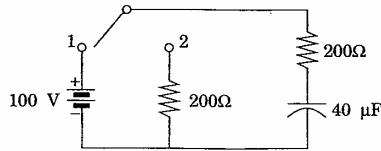


Figura 16-41

- 16.30 O capacitor  $C_1$  do circuito mostrado na Fig. 16-42 tem uma carga inicial  $q_0 = 300 \times 10^{-6}$  coulombs. Se o interruptor for fechado quando  $t = 0$ , determinar a corrente transitória, a carga transitória e a tensão final no capacitor  $C_1$ .  
 Resp.:  $i = 2,5 e^{-2,5 \times 10^4 t}$ ;  $q = 200(1 + 0,5 e^{-2,5 \times 10^4 t}) 10^{-6}$  coulombs; 33,3 volts.

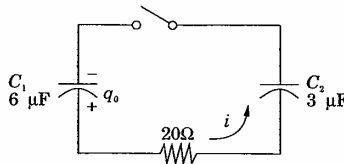


Figura 16-42

- 16.31 Determinar as tensões transitórias  $v_{C1}$ ,  $v_{C2}$  e  $v_R$ , referentes ao problema 16.30. Mostrar que sua soma é nula.  
 Resp.:  $v_{C1} = 33,3 + 16,7 e^{-2,5 \times 10^4 t}$ ;  $v_{C2} = -33,3(1 - e^{-2,5 \times 10^4 t})$ ;  $v_R = -50 e^{-2,5 \times 10^4 t}$ ;
- 16.32 O capacitor do circuito em série  $RC$  da Fig. 16-43 tem uma carga inicial  $q_0$  e o interruptor é fechado quando  $t = 0$ . Determinar  $q_0$ , sabendo que a potência transitória no resistor é  $p_R = 360 e^{-10^5 t}$ .  
 Resp.:  $120 \times 10^{-6}$  coulombs.

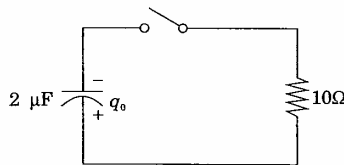


Figura 16-43

- 16.33** Quando  $t = 0$ , aplica-se uma tensão  $V = 200$  volts a um circuito em série  $RLC$ , onde  $R = 200$  ohms,  $L = 0,1$  H e  $C = 100$   $\mu$ F. Determinar a corrente, admitindo que o capacitor não tenha carga inicial.

Resp.:  $i = 1,055 e^{-52t} - 1,055 e^{-1948t}$ .

- 16.34** Deve-se tornar criticamente amortecido um circuito  $RLC$  série onde  $R = 200$  ohms e  $L = 0,1$  H, pela escolha conveniente da capacitância. Determinar esse valor de  $C$ .

Resp.:  $10$   $\mu$ F.

- 16.35** Determinar a frequência natural de um circuito  $RLC$  em série, em que  $R = 200$  ohms,  $L = 0,1$  H e  $C = 5$   $\mu$ F.

Resp.:  $1000$  rad/s.

- 16.36** Uma tensão constante  $V = 10$  volts é aplicada, quando  $t = 0$ , em um circuito série  $RLC$ , em que  $R = 5$  ohms,  $L = 0,1$  H e  $C = 500$   $\mu$ F. Determinar a corrente transitória resultante.

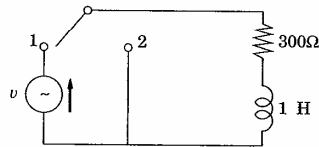
Resp.:  $i = 0,72 e^{-25t} \text{ sen } 139t$ .

- 16.37** Uma tensão senoidal  $v = 100 \cos(100t + \phi)$  é aplicada em um circuito série  $RL$ , em que  $R = 300$  ohms e  $L = 1,0$  H. Supondo que o interruptor é fechado quando  $\phi = 45^\circ$ , determinar a corrente transitória resultante.

Resp.:  $i = -0,282 e^{-300t} + 0,316 \cos(100t + 26,6^\circ)$ .

- 16.38** O circuito  $RL$  da Fig. 16-44 está operando em regime estacionário senoidal, com o interruptor na posição 1. O interruptor é deslocado para a posição 2, quando a tensão da fonte é  $v = 100 \cos(100t + 45^\circ)$ . Determinar a corrente transitória e representar o último meio ciclo do regime estacionário, juntando com o transitório, para mostrar a transição.

Resp.:  $i = 0,282 e^{-300t}$ .



**Figura 16-44**

- 16.39** No circuito  $RC$  da Fig. 16-45, o capacitor tem uma carga inicial  $q_0 = 25 \times 10^{-6}$  coulombs, com polaridade indicada. A tensão senoidal  $v = 100 \text{ sen}(1000t + \phi)$  é aplicada no circuito no instante em que  $\phi = 30^\circ$ . Determinar a corrente transitória.

Resp.:  $i = 0,1535 e^{-4 \times 10^3 t} + 0,484 \text{ sen}(1000t + 106^\circ)$ .

- 16.40** Quando o capacitor tiver um valor de  $C = 100$   $\mu$ F, determinar a corrente  $i$  em função de  $t$ .

Resp.:  $i = 0,1535 e^{-4 \times 10^3 t} + 0,484 \text{ sen}(1000t + 106^\circ)$ .

- 16.41** Mostrar que a corrente  $i_p$  é dada por  $i_p = \frac{V_m}{\sqrt{R^2 + \omega^2 L^2}}$ .

$$i_p = \frac{V_m}{\sqrt{R^2 + \omega^2 L^2}}$$

- 16.42** Uma tensão senoidal  $v = 100 \cos(100t + 45^\circ)$  é aplicada em um circuito série  $RL$ , em que  $R = 300$  ohms e  $L = 1,0$  H. Supondo que o interruptor é fechado quando  $\phi = 45^\circ$ , determinar a corrente  $i$  em função de  $t$ .

Resp.:  $i = -0,282 e^{-300t} + 0,316 \cos(100t + 26,6^\circ)$ .

- 16.43** Um circuito série  $RLC$  está operando em regime estacionário senoidal, com a tensão da fonte de  $v = 100 \cos(100t + 45^\circ)$ . Determinar a corrente  $i$  em função de  $t$ .

Resp.:  $i = 0,1535 e^{-4 \times 10^3 t} + 0,484 \text{ sen}(1000t + 106^\circ)$ .

- 16.44** Um circuito série  $RLC$  está operando em regime estacionário senoidal, com a tensão da fonte de  $v = 100 \cos(100t + 45^\circ)$ . Determinar a corrente  $i$  em função de  $t$ .

Resp.:  $i = 0,1535 e^{-4 \times 10^3 t} + 0,484 \text{ sen}(1000t + 106^\circ)$ .

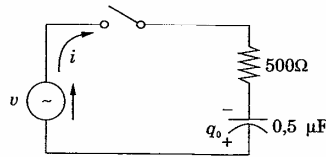


Figura 16-45

- 16.40 Quando o interruptor do Probl. 16.39 for fechado, que valor de carga inicial no capacitor fará com que a corrente atinja, diretamente, o regime estacionário sem haver um transitório?

Resp.:  $13,37 \times 10^{-6}$  coulombs, + na placa de cima.

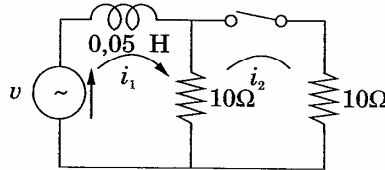


Figura 16-46

- 16.41 Mostrar que um circuito em série *RLC*, cuja fonte é  $v = V_{\max} \text{sen}(\omega t + \phi)$  tem uma solução particular para sua equação diferencial dada por:

$$i_p = \frac{V_{\max}}{\sqrt{R^2 + (1/\omega C - \omega L)^2}} \text{sen} \left( \omega t + \phi + \text{tg}^{-1} \frac{(1/\omega C - \omega L)}{R} \right)$$

- 16.42 Uma tensão senoidal  $v = 100 \text{sen}(250t + \phi)$  é aplicada em um circuito série *RLC* quando  $\phi = 0^\circ$ . Sendo  $R = 5$  ohms,  $L = 0,1$  H e  $C = 500 \mu\text{F}$ , determinar a corrente.

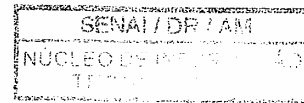
Resp.:  $i = e^{-25t}(5,42 \cos 139t - 1,89 \text{sen} 139t) + 5,65 \text{sen}(250t - 73,3^\circ)$ .

- 16.43 Um circuito *RLC* em série onde  $R = 200$  ohms,  $L = 0,5$  H e  $C = 100 \mu\text{F}$  tem uma fonte de tensão senoidal  $v = 300 \text{sen}(500t + \phi)$ . Fechado o circuito quando  $\phi = 30^\circ$ , determinar a corrente resultante.

Resp.:  $i = 0,517 e^{-341,4t} - 0,197 e^{-58,6t} + 0,983 \text{sen}(500t - 19^\circ)$ .

- 16.44 Um circuito *RLC* em série onde  $R = 50$  ohms,  $L = 0,1$  H e  $C = 50 \mu\text{F}$  tem uma fonte de tensão senoidal  $v = 100 \text{sen}(500t + \phi)$ . Fechado o circuito em  $\phi = 45^\circ$ , determinar a corrente resultante.

Resp.:  $i = e^{-250t}(-1,09 \cos 371t - 1,025 \text{sen} 371t) + 1,96 \text{sen}(500t + 33,7^\circ)$ .



- 16.45 A fonte de tensão da malha 1, na estrutura de duas malhas da Fig. 16-46, é dada por  $v = 100 \text{ sen}(200t + \phi)$ . Determinar as correntes transitórias de malha,  $i_1$  e  $i_2$ , supondo que o interruptor é fechado quando  $\phi = 0^\circ$ .  
 Resp.:  $i_1 = 3,01 e^{-100t} + 8,96 \text{ sen}(200t - 63,4^\circ)$ ;  
 $i_2 = 1,505 e^{-100t} + 4,48 \text{ sen}(200t - 63,4^\circ)$ .

- 16.46 Determinar as correntes de malha  $i_1$  e  $i_2$  da estrutura representada na Fig. 16-47, supondo o interruptor fechado quando  $t = 0$ .  
 Resp.:  $i_1 = 0,101 e^{-100t} + 9,899 e^{-9950t}$ ;  $i_2 = -5,05 e^{-100t} + 5 + 0,05 e^{-9950t}$ .

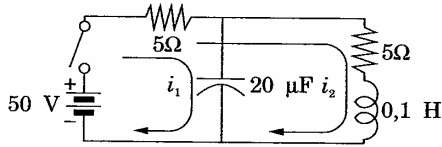


Figura 16-47

- 16.47 O interruptor da estrutura representada na Fig. 16-48 é fechado quando  $t = 0$ . Determinar as correntes resultantes  $i_1$  e  $i_2$ .  
 Resp.:  $i_1 = 1,67 e^{-6,67t} + 5$ ;  $i_2 = -0,555 e^{-6,67t} + 5$ .

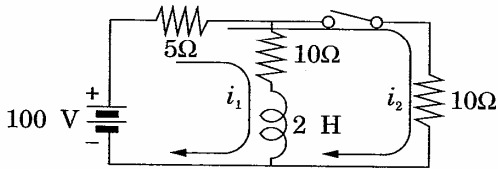
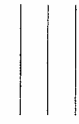


Figura 16-48



MAKRON  
Books



### Introduç

No C  
contêm elem  
tais circuitos  
dependendo  
métodos clás  
nientes.

Nest  
Laplace, que  
algumas funç  
métodos clás

Este  
formada de  
complexas sé  
transitórios.

MAKRON  
Books

# TRANSITÓRIOS PELO MÉTODO DA TRANSFORMADA DE LAPLACE

## Introdução

No Capítulo 16, analisamos as correntes transitórias nos circuitos que contêm elementos armazenadores de energia. A aplicação da lei de Kirchhoff a tais circuitos acarreta uma ou duas equações diferenciais no domínio do tempo, dependendo da configuração do circuito. Essas equações foram resolvidas pelos métodos clássicos. Em muitos casos, entretanto, tais métodos não são convenientes.

Neste capítulo, introduziremos o chamado método da transformada de Laplace, que fornece soluções mais diretas às equações diferenciais. Além disso, algumas funções irregulares, que não podem ser resolvidas com facilidade pelos métodos clássicos, têm uma solução proporcionada pelo método de Laplace.

Este capítulo indica, apenas, aplicações básicas do método da transformada de Laplace. As deduções matemáticas formais e as aplicações mais complexas são deixadas por conta dos textos que se dedicam à análise dos transitórios.

## A Transformada de Laplace

Se  $f(t)$  é uma função de  $t$ , definida para todo  $t > 0$ , a transformada de Laplace de  $f(t)$ , indicada pelo símbolo  $\mathcal{L}[f(t)]$ , é definida por:

$$\mathcal{L}[f(t)] = \mathbf{F}(s) = \int_0^{\infty} f(t) e^{-st} dt \quad (1)$$

onde o parâmetro  $s$  pode ser real ou complexo. Nas aplicações em circuitos, supomos  $s = \sigma + j\omega$ .

A operação  $\mathcal{L}[f(t)]$  transforma uma função  $f(t)$  do domínio do tempo numa função  $\mathbf{F}(s)$  do domínio da frequência complexa, ou simplesmente domínio  $s$ . As duas funções  $f(t)$  e  $\mathbf{F}(s)$  constituem um par de transformada. Esses pares são tabelados. As transformadas apresentadas na tabela 17-1, no final do capítulo, são suficientes para os nossos objetivos.

São condições suficientes para a existência da transformada de Laplace que a função  $f(t)$  seja (a) contínua em intervalos e (b) de ordem exponencial. A função  $f(t)$  é de ordem exponencial se  $|f(t)| < A e^{\alpha t}$  para todo  $t > t_0$ , onde  $A$  e  $t_0$  são constantes positivas. Quando tais condições são satisfeitas, a integral de transformação direta é convergente para todo  $\sigma > \alpha$  e  $\mathbf{F}(s)$  existe. Na análise de circuitos todas as funções satisfazem aos requisitos (a) e (b).

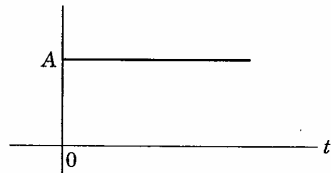


Figura 17-1

**Exemplo 1** A função apresentada na Fig. 17-1 é chamada *função degrau* ("step") e é definida por  $f(t) = A, t > 0$ . Determinar a transformada de Laplace correspondente.

Aplicando a equação (1) à função  $f(t) = A$ , tem-se

$$\mathcal{L}[A] = \int_0^{\infty} A e^{-st} dt = \left[ \frac{-A}{s} e^{-st} \right]_0^{\infty} \frac{A}{s}$$

**Exen**  
uma constant

**Exen**

$\mathcal{L}[\sin \omega t]$

**Exen**

Integ  
 $v = f$ . Assim,

onde  $f(0+)$  é o  
valor da função

**Exen**

Integ

$\mathcal{L} \left[ \int \right]$

**Exemplo 2** Obter a transformada de Laplace de  $f(t) = e^{-at}$ , onde  $a$  é uma constante.

$$\mathcal{L}[e^{-at}] = \int_0^{\infty} e^{-at} e^{-st} dt = \int_0^{\infty} e^{-(a+s)t} dt =$$

(1)

$$\left[ -\frac{1}{(a+s)} e^{-(a+s)t} \right]_0^{\infty} = \frac{1}{s+a}$$

**Exemplo 3** Achar a transformada de Laplace de  $f(t) = \text{sen } \omega t$ .

$$\mathcal{L}[\text{sen } \omega t] = \int_0^{\infty} \text{sen } \omega t e^{-st} dt = \left[ \frac{-s(\text{sen } \omega t)e^{-st} - e^{-st} \omega \cos \omega t}{s^2 + \omega^2} \right]_0^{\infty} = \frac{\omega}{s^2 + \omega^2}$$

**Exemplo 4** Achar a transformada de Laplace da derivada  $df/dt$ .

$$\mathcal{L}[df/dt] = \int_0^{\infty} (df/dt) e^{-st} dt$$

Integrar por partes, usando  $\int u dv = uv - \int v du$ , onde  $u = e^{-st}$ ,  $dv = df$ ,  $v = f$ . Assim,

$$\begin{aligned} \mathcal{L}[df/dt] &= \left[ e^{-st} f \right]_0^{\infty} - \int_0^{\infty} f(-se^{-st}) dt = \\ &= -f(0+) + s \int_0^{\infty} f e^{-st} dt = -f(0+) + sF(s) \end{aligned}$$

onde  $f(0+)$  é o valor da função quando o zero é atingido pela direita, isto é, o valor da função para  $t = (0+)$ .

**Exemplo 5** Achar a transformada de Laplace da integral  $\int f(t) dt$ .

$$\mathcal{L}\left[\int f(t) dt\right] = \int_0^{\infty} \int f(t) dt e^{-st} dt$$

Integra-se por partes  $u = \int f(t) dt$  e  $dv = e^{-st} dt$ . Assim,

$$\mathcal{L}\left[\int f(t) dt\right] = \left[\int f(t) dt \left(\frac{-1}{s} e^{-st}\right)\right]_0^{\infty} - \int_0^{\infty} \left(-\frac{1}{s} e^{-st}\right) f(t) dt$$

$$= \left. \frac{1}{s} \int f(t) dt \right|_{0+} + \frac{1}{s} \mathbf{F}(s)$$

onde  $\int f(t) dt |_{0+}$  é o valor da integral para 0+, que também se escreve  $f^{-1}(0+)$ . Assim, a transformada de Laplace de uma integral é:

$$\mathcal{L} \left[ \int f(t) dt \right] = \frac{1}{s} \mathbf{F}(s) + \frac{1}{s} f^{-1}(0+)$$

Os pares obtidos nestes exemplos aparecem na tabela 17-1.

### Aplicações na Análise de Circuitos

O capacitor que aparece no circuito RC série da Fig. 17-2 tem uma carga inicial  $q_0$  com a polaridade indicada. Quando o interruptor é fechado, a fonte de tensão constante  $V$  é aplicada ao circuito, cuja equação diferencial é, então,

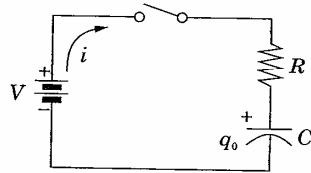


Figura 17-2

$$Ri + \frac{1}{C} \int i dt = V \tag{2}$$

Chamando  $I(s)$  à corrente no domínio  $s$ , tomamos a transformada de Laplace de cada termo da equação (2).

$$\mathcal{L} [Ri] + \mathcal{L} \left[ \frac{1}{C} \int i dt \right] = \mathcal{L} [V] \tag{3}$$

$$RI(s) + \frac{I(s)}{Cs} + \frac{f^{-1}(0+)}{Cs} = \frac{V}{s} \tag{4}$$

Assim superior do ca sinal é, portar

Reagr

$I(s)$

A eq domínio do ter transformada nos à tabela 1 da equação (7 tabela, temos:

$$\mathcal{L}^{-1} [I(s)]$$

A equ ce, quando o carga inicial  $q_0$ , s; conseqüente já contém as e

Obser função  $I(s)$  foi obter a transfc

A funç  $(V - q_0/C)/R$ . S origina uma te sinal de  $q_0/C$  m

Assim,  $f^{-1}(0+) = \int i dt |_{0+} = q(0+)$ . A carga inicial  $q$  é positiva na placa superior do capacitor, a mesma polaridade da carga depositada pela fonte  $V$ . O sinal é, portanto, positivo. Substituindo  $q_0$  na equação (4) obtemos:

$$RI(s) + \frac{I(s)}{Cs} + \frac{q_0}{Cs} = \frac{V}{s} \tag{5}$$

Reagrupando os termos e fatorando  $I(s)$ , temos:

$$I(s)(R + \frac{1}{Cs}) = \frac{V}{s} - \frac{q_0}{Cs} \tag{6}$$

$$I(s) = \frac{1}{s} (V - q_0/C) \frac{1}{(R + 1/sC)} = \frac{V - q_0/C}{R} \frac{1}{(s + 1/RC)} \tag{7}$$

A equação (7) no domínio  $s$  tem uma equação correspondente  $i$  no domínio do tempo. A operação pela qual  $F(s)$  é transformada em  $f(t)$  é chamada transformada inversa de Laplace, designada por  $\mathcal{L}^{-1} [F(s)] = f(t)$ . Reportando-nos à tabela 17-1, vemos que  $F(s)$  do par 3 é equivalente ao termo  $1/(s + 1/RC)$  da equação (7). Assim, da definição de transformada inversa de Laplace e da tabela, temos:

$$\mathcal{L}^{-1} [I(s)] = i = \left( \frac{V - q_0/C}{R} \right) \mathcal{L}^{-1} \left[ \frac{1}{s + 1/RC} \right] = \frac{V - q_0/C}{R} e^{-t/RC} \tag{8}$$

A equação (8) é a corrente transitória no domínio do tempo que aparece, quando o interruptor é fechado, no circuito  $RC$ , cujo capacitor tem uma carga inicial  $q_0$ . As condições iniciais foram inseridas na equação (5) no domínio  $s$ ; conseqüentemente, após tomar a transformada inversa, a equação resultante já contém as constantes.

Observe-se que, após operações algébricas nas equações (6) e (7), a função  $I(s)$  foi reduzida a uma forma encontrada na tabela, permitindo-nos obter a transformada inversa de Laplace.

A função tempo está mostrada na Fig. 17-3, com uma corrente inicial  $(V - q_0/C)/R$ . Se  $q_0/C = V$ , não há transitório, já que a carga inicial no capacitor origina uma tensão igual à tensão aplicada  $V$ . Se  $q_0$  for de polaridade oposta, o sinal de  $q_0/C$  muda, acarretando uma corrente inicial comparativamente grande.

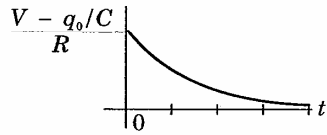


Figura 17-3

Quando o interruptor é fechado, aplica-se uma fonte de tensão constante  $V$  ao circuito  $RL$  da Fig. 17-4. Aplicação da lei de Kirchhoff, após o fechamento, resulta na seguinte equação:

$$Ri + L \frac{di}{dt} = V \tag{9}$$

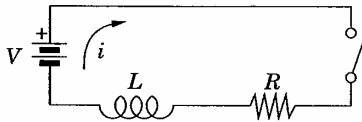


Figura 17-4

Aplicando a transformada de Laplace a cada termo, tem-se

$$\mathcal{L}[Ri] + \mathcal{L}\left[L \frac{di}{dt}\right] = \mathcal{L}[V] \tag{10}$$

$$RI(s) + sL I(s) - Li(0+) = V/s \tag{11}$$

A corrente inicial  $i(0+)$  num circuito em série  $RL$ , cuja corrente era nula antes do fechamento do interruptor, é também nula para  $t = 0+$ . Fazendo  $i(0+) = 0$  na equação (11), tem-se:

$$I(s) (R + sL) + V/s \tag{12}$$

$$I(s) = \frac{V}{s} \frac{1}{(R + sL)} = \frac{V}{L} \left(\frac{1}{s}\right) \frac{1}{(s + R/L)} \tag{13}$$

A função da equação (13) não aparece na tabela 17-1; porém, se ela puder ser modificada para a forma  $A/s + B/(s + R/L)$ , os pares 1 e 3 podem ser

usados nas duas funções t desejada, faze soma das fraç

- s

Dos n

Igual:

Empr acima, a equa

A apl transformada

A eqt valor  $V/R$  par

usados nas duas partes e o par 16 indica que a função tempo total é a soma de duas funções tempo, isto é,  $\mathcal{L}^{-1}[\mathbf{F}_1(s) + \mathbf{F}_2(s)] = f_1(t) + f_2(t)$ . Para obter a soma desejada, fazemos o segundo membro de (13), excluía a constante  $V/L$ , igual à soma das frações, como se segue:

$$\frac{1}{s(s + R/L)} = \frac{A}{s} + \frac{B}{(s + R/L)} = \frac{A(s + R/L) + Bs}{s(s + R/L)} \tag{14}$$

Dos numeradores tiramos a seguinte equação em s:

$$1 = (A + B)s + AR/L \tag{15}$$

Igualando os coeficientes dos termos da mesma potência em s, obtemos:

$$A + B = 0, \quad A = L/R, \quad B = -L/R \tag{16}$$

Empregando as frações parciais indicadas com A e B determinados acima, a equação (13) fica:

$$I(s) = \frac{V}{L} \left( \frac{L/R}{s} + \frac{-L/R}{s + R/L} \right) = \frac{V}{R} \left( \frac{1}{s} - \frac{1}{s + R/L} \right) \tag{17}$$

A aplicação das transformadas 1 e 3 da tabela 17-1 dá a expressão da transformada inversa da corrente. Logo,

$$\mathcal{L}^{-1} [I(s)] = i = \frac{V}{R} \left\{ \mathcal{L}^{-1} \left[ \frac{1}{s} \right] - \mathcal{L}^{-1} \left[ \frac{1}{s + R/L} \right] \right\} \tag{18}$$

$$i = \frac{V}{R} (1 - e^{(-R/L)t}) \tag{19}$$

A equação (19) representa o conhecido crescimento exponencial com o valor  $V/R$  para a corrente em regime estacionário.

tensão cons-  
hoffs, após o

(9)

se

(10)

(11)

corrente era  
0+. Fazendo

(12)

(13)

porém, se ela  
3 podem ser

## Métodos de Desenvolvimento

Na análise de circuitos, o desenvolvimento de quocientes na soma de várias frações é freqüentemente necessário para a obtenção da transformada inversa de Laplace, já que, geralmente, a corrente no domínio  $s$  é a relação de dois polinômios em  $s$ ,

$$I(s) = P(s)/Q(s) \tag{20}$$

em que  $Q(s)$  é de grau superior ao de  $P(s)$ . A equação (14) foi um exemplo de desenvolvimento de quociente.

Examinaremos, agora, a aplicação do método de desenvolvimento em frações parciais aos diferentes casos que ocorrem no desenvolvimento de quocientes de polinômios. Apresentaremos, também, um outro método, chamado fórmula de desenvolvimento de Heaviside. Sua aplicação conduz a um caminho diferente no cálculo da transformada inversa de Laplace de quocientes de polinômios.

### 1. Método de Desenvolvimento em Frações Parciais

A equação (20) pode ser escrita como uma soma de frações cujos denominadores sejam, cada um, um dos fatores de  $Q(s)$  e cujos numeradores sejam constantes. Desenvolvendo o quociente  $P(s)/Q(s)$  devemos considerar as raízes de  $Q(s)$ . Elas podem ser reais ou complexas, dando origem a três casos.

**Caso 1** As raízes de  $Q(s)$  são reais e desiguais.

Consideremos a seguinte expressão da corrente do domínio  $s$ :

$$I(s) = \frac{P(s)}{Q(s)} = \frac{s - 1}{s^2 + 3s + 2} \tag{21}$$

Fatorando  $Q(s)$ , a equação (21) pode ser escrita como:

$$I(s) = \frac{s - 1}{(s + 2)(s + 1)} = \frac{A}{s + 2} + \frac{B}{s + 1} \tag{22}$$

Para  $s = -2$  e  $s = -1$ , a expressão se torna infinita e diz-se que existem *pólos simples* para esses valores de  $s$ . O coeficiente de um pólo simples  $s = s_0$  é

dado por  $I(s)$  (se ambos os n

Fazer

Do m

Subst

A tra:  
 $i = 3e^{-2t} - 2e^{-t}$

Outro

s

Igual:  
 $A + 2B = -1$ .  
método sempre chegar aos em equações s

Caso

Consi

dados por  $I(s) = \frac{s - 1}{(s + 2)(s + 1)}$ . Assim, para determinar o coeficiente  $A$ , multiplicamos ambos os membros de (22) por  $(s + 2)$ :

$$\frac{s - 1}{(s + 2)(s + 1)}(s + 2) = A + \frac{B}{(s + 1)}(s + 2) \quad (23)$$

Fazendo-se  $s = -2$ ,

$$A = \left. \frac{s - 1}{s + 1} \right|_{s = -2} = 3$$

Do mesmo modo,

$$B = \left. \frac{s - 1}{s + 2} \right|_{s = -1} = -2$$

Substituindo em (22) a corrente do domínio  $s$  fica:

$$I(s) = \frac{3}{s + 2} + \frac{-2}{s + 1} \quad (24)$$

A transformada inversa de Laplace para  $I(s)$  obtida da tabela 17-1 é  $i = 3e^{-2t} - 2e^{-t}$ .

**Outro método** Multiplicando ambos os membros de (22) por  $(s + 2)(s + 1)$ :

$$s - 1 = A(s + 1) + B(s + 2) = (A + B)s + A + 2B$$

Igualando os coeficientes das potências iguais de  $s$ , tem-se  $A + B = 1$  e  $A + 2B = -1$ . Assim,  $A = 3$  e  $B = -2$ , os mesmos valores obtidos antes. Este método sempre conduz a equações simultâneas, que devem ser resolvidas para se chegar aos coeficientes procurados, ao passo que o primeiro método resulta em equações simples e independentes para cada coeficiente.

**Caso 2** As raízes de  $Q(s)$  são reais e iguais.

Consideremos a seguinte expressão para a corrente do domínio  $s$ :

$$I(s) = \frac{P(s)}{Q(s)} = \frac{1}{s(s^2 + 6s + 9)} = \frac{1}{s(s + 3)^2} \quad (25)$$

Logo,

$$\frac{1}{s(s + 3)^2} = \frac{A}{s} + \frac{B}{s + 3} + \frac{C}{(s + 3)^2} \tag{26}$$

Multiplicando ambos os membros de (26) por  $s$  e fazendo  $s = 0$ , temos:

$$A = \frac{1}{(s + 3)^2} \Big|_{s=0} = \frac{1}{9}$$

No caso de raízes repetidas, o coeficiente do termo quadrado é dado por  $I(s)(s - s_0)^2 \Big|_{s=s_0}$ . Então,

$$C = \frac{1}{s} \Big|_{s=-3} = -\frac{1}{3}$$

Assim, o coeficiente do termo linear é dado por  $\frac{d}{ds} [I(s)(s - s_0)^2] \Big|_{s=s_0}$

$$\text{Portanto, } B = \frac{d}{ds} \left( \frac{1}{s} \right) \Big|_{s=-3} = -\frac{1}{s^2} \Big|_{s=-3} = -\frac{1}{9}$$

Substituindo na equação (2.6), a corrente é:

$$I(s) = \frac{1}{s} - \frac{1}{s + 3} - \frac{1}{(s + 3)^2} \tag{27}$$

e a transformada inversa de Laplace é  $i = \frac{1}{9} - \frac{1}{9}e^{-3t} - \frac{1}{3}te^{-3t}$ .

**Outro método** Multiplicando ambos os membros de (26) por  $s(s + 3)^2$ , tem-se:

$$1 = A(s + 3)^2 + Bs(s + 3) + Cs = (A + B)s^2 + (6A + 3B + C)s + 9A$$

Igualando os coeficientes das potências iguais de  $s$ ,  $A + B = 0$ ,  $6A + 3B + C = 0$  e  $9A = 1$ ; então,  $A = \frac{1}{9}$ ,  $B = -\frac{1}{9}$  e  $C = -\frac{1}{3}$ , resultados já obtidos anteriormente.

**Caso 3** As raízes de  $Q(s)$  são complexas.

Consideremos a seguinte expressão para a corrente do domínio  $s$ :

$I(s)$

Como radores das fra

Multiplicando-se:

Substit

A trar

**Outro**  $(s + 2 - j)$  obtido

Igual  $A(2 - j) + A^*(2 + j)$

**2. Fórmula de**

A fórmula de Laplace do qu

$$(26) \quad I(s) = \frac{P(s)}{Q(s)} = \frac{1}{s^2 + 4s + 5} = \frac{1}{(s + 2 + j)(s + 2 - j)} \quad (28)$$

$s = 0$ , temos:

Como  $Q(s)$  tem raízes complexas conjugadas, as constantes nos numeradores das frações parciais são também complexos conjugados. Assim,

do é dado por

$$\frac{1}{(s + 2 + j)(s + 2 - j)} = \frac{A}{s + 2 + j} + \frac{A^*}{s + 2 - j} \quad (29)$$

Multiplicando ambos os membros de (29) por  $(s + 2 + j)$  e fazendo  $s = -2 - j$ , obtém-se:

$s_0)^2] \mid s = s_0$

$$A = \frac{1}{s + 2 - j} \Big|_{s = -2 - j} = j \frac{1}{2} \quad \text{e} \quad A^* = -j \frac{1}{2}$$

Substituindo na equação (29), a corrente fica

$$I(s) = \frac{j \frac{1}{2}}{s + 2 + j} + \frac{-j \frac{1}{2}}{s + 2 - j} \quad (30)$$

(27)

A transformada inversa de Laplace é  $i = e^{-2t} \text{sen } t$ .

**Outro método** Multiplicando ambos os membros de (29) por  $(s + 2 + j)(s + 2 - j)$  obtém-se:

$$1 = A(s + 2 - j) + A^*(s + 2 + j)$$

por  $s(s + 3)^2$ ,

Igualando os coeficientes das potências iguais de  $s$ ,  $A + A^* = 0$  e  $A(2 - j) + A^*(2 + j) = 1$ , então

$2)s + 9A$

$\dot{=} 0, 6A + 3B$

os já obtidos

## 2. Fórmula de Desenvolvimento de Heaviside

A fórmula de Heaviside estabelece que a transformada inversa de Laplace do quociente  $I(s) = P(s)/Q(s)$  é dada por:

$$\mathcal{L}^{-1} \left[ \frac{P(s)}{Q(s)} \right] = \sum_{k=1}^n \frac{P(a_k)}{Q'(a_k)} e^{a_k t} \quad (31)$$

nínio s:

onde  $a_k$  são as  $n$  raízes distintas de  $Q(s)$ .

Aplicando a fórmula de Heaviside à expressão da corrente do domínio  $s$ , dada no caso 1, temos:

$$I(s) = \frac{P(s)}{Q(s)} = \frac{s - 1}{s^2 + 3s + 2} = \frac{s - 1}{(s + 2)(s + 1)} \quad (32)$$

Para  $P(s) = s - 1$ ,  $Q(s) = s^2 + 3s + 2$  e  $Q'(s) = 2s + 3$ . As raízes são  $a_1 = -2$  e  $a_2 = -1$ . De (31) temos, então,

$$\begin{aligned} i &= \mathcal{L}^{-1} \left[ \frac{P(s)}{Q(s)} \right] = \frac{P(-2)}{Q'(-2)} e^{-2t} + \frac{P(-1)}{Q'(-1)} e^{-t} = \\ &= \frac{-3}{-1} e^{-2t} + \frac{-2}{1} e^{-t} = 3e^{-2t} - 2e^{-t} \end{aligned}$$

### Teorema do Valor Inicial

Do exemplo 4,

$$\mathcal{L} [df/dt] = \int_0^{\infty} (df/dt) e^{-st} dt = sF(s) - f(0+) \quad (33)$$

Em (33), tomando o limite para  $s \rightarrow \infty$ , tem-se

$$\lim_{s \rightarrow \infty} \int_0^{\infty} (df/dt) e^{-st} dt = \lim_{s \rightarrow \infty} \{s F(s) - f(0+)\} \quad (34)$$

O integrando contém  $e^{-st}$ , que tende para zero quando  $s \rightarrow \infty$ . Então,

$$\lim_{s \rightarrow \infty} \{s F(s) - f(0+)\} = 0 \quad (35)$$

Como  $f(0+)$  é uma constante, pode-se escrever (35) como

$$f(0+) = \lim_{s \rightarrow \infty} \{s F(s)\} \quad (36)$$

A equação (36) exprime o teorema do valor inicial. Podemos achar o valor inicial de uma função do tempo  $f(t)$  multiplicando a função correspondente do domínio  $s$ ,  $F(s)$ , por  $s$  e tomando o limite, quando  $s \rightarrow \infty$ .

**Exem**  
 $I(s) = \frac{V - q_0}{R}$   
 $i(0+)$  empregari

$i(t)$

Este r

### Teorema c

Do ex

Toma:

Como

$$\lim_{s \rightarrow 0} \int_0^{\infty} ($$

a equação (38)

ou  $f(\infty) = \lim_{s \rightarrow 0}$

A equ aplicação do t função do tem  $s$ ,  $f(s)$ , e toma aplicada quar reais negativa

**Exemplo 6** No circuito RC da Fig. 17-2, a corrente do domínio  $s$  é  $I(s) = \frac{V - q_0/C}{R} \left( \frac{1}{(s + 1/RC)} \right)$ . Ver equação (7). Determinar a corrente inicial  $i(0+)$  empregando o teorema do valor inicial. Da equação (36),

$$(32) \quad i(0+) = \lim_{s \rightarrow \infty} \left\{ \frac{V - q_0/C}{R} \left( \frac{s}{(s + 1/RC)} \right) \right\} = \frac{V - q_0/C}{R}$$

Este resultado foi mostrado na Fig. 17-3.

### Teorema do Valor Final

Do exemplo 4,

$$\mathcal{L} [df/dt] = \int_0^{\infty} (df/dt) e^{-st} dt = sF(s) - f(0+) \quad (37)$$

Tomando o limite de (37) para  $s \rightarrow 0$ , tem-se:

$$(33) \quad \lim_{s \rightarrow 0} \int_0^{\infty} (df/dt) e^{-st} dt = \lim_{s \rightarrow 0} \{ s F(s) - f(0+) \} \quad (38)$$

Como

$$(34) \quad \lim_{s \rightarrow 0} \int_0^{\infty} (df/dt) e^{-st} dt = \int_0^{\infty} df = f(\infty) - f(0) \text{ e } \lim_{s \rightarrow 0} f(0+) = f(0+),$$

então, a equação (38) fica  $f(\infty) - f(0) = -f(0+) + \lim_{s \rightarrow 0} \{ s F(s) \}$  (39)

$$(35) \quad \text{ou } f(\infty) = \lim_{s \rightarrow 0} \{ s F(s) \} \quad (40)$$

(36) A equação (40) exprime o teorema do valor final. Por analogia com a aplicação do teorema do valor inicial, pode-se encontrar o valor final de uma função do tempo,  $f(t)$ , multiplicando por  $s$  a função correspondente do domínio  $s$ ,  $f(s)$ , e tomando o limite, quando  $s \rightarrow 0$ . A equação (40), entretanto, só pode ser aplicada quando todas as raízes do denominador de  $s F(s)$  tiverem as partes reais negativas. Esta restrição exclui as funções senoidais, mas como estas são

indeterminadas no infinito (periódicas) o teorema anterior não pode ser aplicado às mesmas.

**Exemplo 7** No circuito  $RL$  da Fig. 17-4 a corrente do domínio  $s$ ,  $I(s) = \frac{V}{R} \left\{ \frac{1}{s} - \frac{1}{s + R/L} \right\}$  [ver equação (17)]. Determinar o valor da corrente, em regime estacionário.

Da equação (40),

$$i(\infty) = \lim_{s \rightarrow 0} \frac{V}{R} \left\{ \frac{s}{s} - \frac{s}{s + R/L} \right\} = V/R$$

### Circuitos do Domínio S

A equação para o circuito em série  $RLC$ , mostrada na Fig. 17-5, é

$$Ri + L \frac{di}{dt} + \frac{1}{C} \int i dt = v \tag{41}$$

Esta equação foi resolvida no Capítulo 16, empregando-se os métodos clássicos.

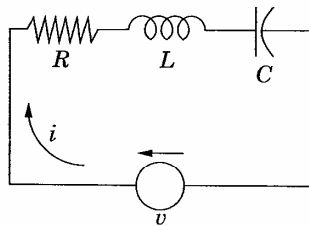


Figura 17-5

No regime estacionário senoidal, os três elementos de circuito,  $R$ ,  $L$  e  $C$ , têm impedâncias complexas que, em função de  $\omega$ , são respectivamente  $R$ ,  $j\omega L$  e  $1/j\omega C$ . A equação do circuito passa, então, do domínio do tempo para o da frequência  $\omega$ , com tal transformação, as tensões e as correntes se tornam fasores. Assim, a equação do circuito série  $RLC$  mostrado na Fig. 17-6 é:

$$RI + j\omega LI + (1/j\omega C)I = V \tag{42}$$

A var  
ção transform  
fator  $I$ . As di  
pela impedân

O mé  
queda de ten:  
modo, a tensã

tensão no ca  
circuito da Fi

Na e  
relação entre  
complexa de  
do método de

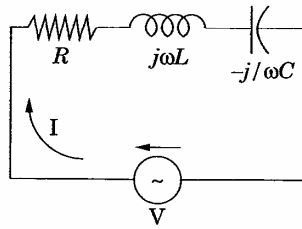


Figura 17-6

A vantagem obtida com a transformação reside no fato de que a equação transformada pode ser tratada algebricamente para a determinação do fasor I. As diversas quedas de tensão são simples produtos do fasor corrente pela impedância do respectivo elemento de circuito.

O método da transformada de Laplace resulta na transformação da queda de tensão  $Ri$ , do domínio do tempo, em  $RI(s)$ , do domínio  $s$ . Do mesmo modo, a tensão na indutância,  $L(di/dt)$ , torna-se  $sLI(s) - Li(0+)$  e a queda de tensão no capacitor,  $1/C \int idt$ , torna-se  $\frac{1}{sC} I(s) + \frac{q_0}{sC}$ . Assim, a equação do circuito da Fig. 17-7 fica:

$$RI(s) + sLI(s) - Li(0+) + \frac{1}{sC} I(s) + \frac{q_0}{sC} = V(s) \tag{43}$$

$$I(s) \{R + sL + 1/sC\} = V(s) - q_0/sC + Li(0+) \tag{44}$$

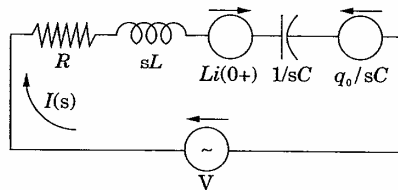


Figura 17-7

Na equação (44),  $R + sL + 1/sC$  é a impedância  $Z(s)$  do domínio  $s$ , relação entre a excitação e a resposta.  $Z(s)$  tem a mesma forma da impedância complexa de regime estacionário senoidal,  $R + j\omega L + 1/j\omega C$ . Tanto as equações do método de análise pela corrente de malha como as do método das tensões nos

nós podem ser aplicadas com facilidade aos circuitos no domínio  $s$ , desde que se observem convenientemente os sinais a empregar nos termos das condições iniciais,  $Li(0+)$  e  $q_0/sC$ .

Consideremos o circuito da Fig. 17-8(a), onde existe uma corrente inicial  $i_0$ , com o interruptor na posição 1. Quando  $t = 0$ , o interruptor é levado para a posição 2, introduzindo-se no circuito uma fonte constante  $V$  e um capacitor com uma carga inicial  $q_0$ . O sentido positivo da corrente  $i$  foi arbitrado como indica o diagrama.

Na Fig. 17-8(b), a fonte constante foi transformada em  $V/s$  e a corrente resultante é  $I(s)$ . Os termos da condição inicial são, agora, fontes com os sentidos indicados, e a equação correspondente seria idêntica à equação (44). Para uma corrente inicial  $i_0$  de sentido oposto ou uma carga inicial  $q_0$  de sinal contrário, os sinais dos termos  $Li(0+)$  e  $q_0/sC$  mudariam também.

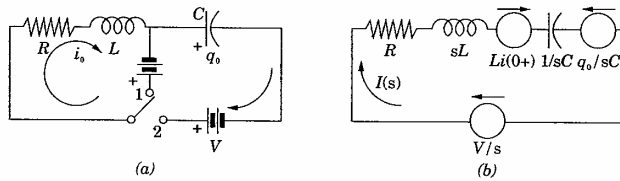


Figura 17-8

Os exemplos que se seguem mostram a semelhança entre as equações do domínio  $s$  e as equações dos fasores, examinadas anteriormente, em outro capítulo. Todos os teoremas sobre estruturas, desenvolvidos e aplicados no regime estacionário senoidal, têm seus correspondentes no domínio  $s$ .

**Exemplo 8** O diagrama da estrutura de duas malhas da Fig. 17-9 mostra as correntes de malha do domínio  $s$ , escolhidos arbitrariamente. Fechando-se o interruptor quando  $t = 0$ , determinar as equações de  $I_1(s)$  e  $I_2(s)$ .

Ao fech  
equação

e  $(R_1$   
Como a  
matrici:

As equa  
pelo det

$I_1(s)$

**Exemp**  
estrutu  
O nó e  
interru:

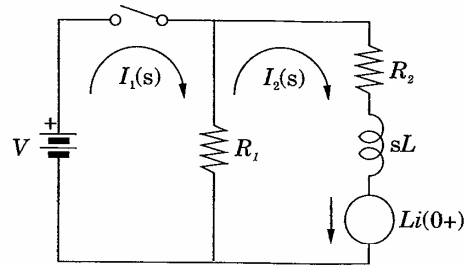


Figura 17-9

Ao fechar-se o interruptor, a fonte  $V/s$  é aplicada à estrutura e as duas equações de malha são:

$$R_1 I_1(s) - R_1 I_2(s) = V/s$$

$$\text{e } (R_1 + R_2 + sL)I_2(s) - R_1 I_1(s) = Li(0+)$$

Como a corrente inicial na indutância é nula, as equações, sob a forma matricial, são:

$$\begin{bmatrix} R_1 & -R_1 \\ -R_1 & R_1 + R_2 + sL \end{bmatrix} \begin{bmatrix} I_1(s) \\ I_2(s) \end{bmatrix} = \begin{bmatrix} V/s \\ 0 \end{bmatrix}$$

As equações independentes de  $I_1(s)$  e  $I_2(s)$  são obtidas por substituição ou pelo determinante, tendo-se:

$$I_1(s) = \frac{V}{s} \left[ \frac{R_1 + R_2 + sL}{R_1 (R_2 + sL)} \right] \quad \text{e} \quad I_2(s) = \frac{V}{s} \frac{1}{(R_2 + sL)}$$

**Exemplo 9** Escrever a equação do domínio  $s$  para as tensões de nó, na estrutura da Fig. 17-10.

O nó e a referência foram escolhidos como mostra a figura. Quando o interruptor é fechado, a equação do nó é

desde que se as condições

ma corrente ptor é levado ente  $V$  e um foi arbitrado

e a corrente ntes com os equação (44). al  $q_0$  de sinal

as equações te, em outro aplicados no o s.

la Fig. 17-9 rariamente. ções de  $I_1(s)$

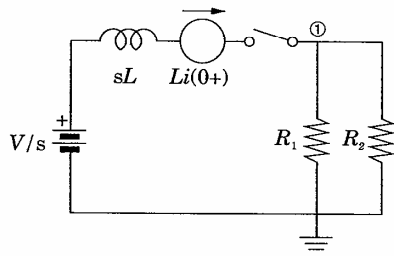


Figura 17-10

$$\frac{V_1(s) - V/s - Li(0+)}{sL}$$

ou  $\frac{V_1(s)}{R_1} + \frac{V_1(s)}{R_2} = 0$

ou  $(1/sL + 1/R_1 + 1/R_2)V_1(s) = \frac{V/s + Li(0+)}{sL}$

A corrente inicial na indutância é nula; logo, a equação da tensão de nó  $V_1(s)$  é

$$V_1(s) = \frac{V}{s} \left( \frac{R_1 R_2}{R_1 R_2 + sL R_2 + sL R_1} \right)$$

**Exemplo 10** Escrever as equações do domínio s das correntes de malha da estrutura apresentada na Fig. 17-11. Supor que o capacitor tem uma carga inicial  $q_0$ , no instante em que o interruptor é fechado.

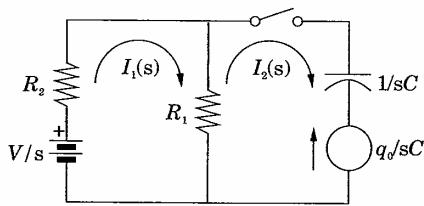


Figura 17-11

O diagr:  
de malt

Escreve

17.1 Determin

Aplican

tem-se:

$$\int [e^{-at} c$$

$$= \left[ \frac{-(s$$

$$\frac{s +$$

$$(s + a)$$

17.2 Se  $\int [f(t$   
17.1.

Por def

$$\int [e^{-at} j$$

O diagrama apresenta os sentidos que foram arbitrados para as correntes de malha. Aplicando a lei de Kirchhoff a ambas as malhas, temos:

$$(R_1 + R_2)I_1(s) - R_1 I_2(s) = V/s$$

$$(R_1 + 1/sC)I_2(s) - R_1 I_1(s) = -q_0/sC$$

Escrevendo-as na forma matricial,

$$\begin{bmatrix} R_1 + R_2 & -R_1 \\ -R_1 & R_1 + 1/sC \end{bmatrix} \begin{bmatrix} I_1(s) \\ I_2(s) \end{bmatrix} = \begin{bmatrix} V/s \\ -q_0/sC \end{bmatrix}$$

### Problemas Resolvidos

17.1 Determinar a transformada de Laplace de  $e^{-at} \cos \omega t$ , onde  $a$  é uma constante.

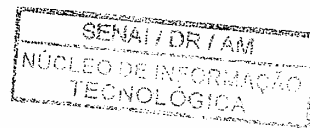
Aplicando a equação de definição  $\mathcal{L} [f(t)] = \int_0^\infty f(t)e^{-st} dt$  à equação dada, tem-se:

$$\begin{aligned} \mathcal{L} [e^{-at} \cos \omega t] &= \int_0^\infty \cos \omega t e^{-(s+a)t} dt \\ &= \left[ \frac{-(s+a) \cos \omega t e^{-(s+a)t} + e^{-(s+a)t} \omega t \operatorname{sen} \omega}{(s+a)^2 + \omega^2} \right]_0^\infty \\ &= \frac{s+a}{(s+a)^2 + \omega^2} \end{aligned}$$

17.2 Se  $\mathcal{L} [f(t)] = F(s)$ , mostrar que  $\mathcal{L} [e^{-at} f(t)] = F(s+a)$ . Aplicar o resultado ao Probl. 17.1.

Por definição,  $\mathcal{L} [f(t)] = \int_0^\infty f(t) e^{-st} dt = F(s)$ . Logo,

$$\mathcal{L} [e^{-at} f(t)] = \int_0^\infty e^{-at} [f(t) e^{-st}] dt = \int_0^\infty f(t) e^{-(s+a)t} dt = F(s+a) \quad (1)$$



ensão de nó  
es de malha  
or tem uma

Como  $\mathcal{L}[\cos \omega t] = \frac{s}{s^2 + \omega^2}$  (ver tabela 17-1), segue-se de (1) que

$$\mathcal{L}[e^{-at} \cos \omega t] = \frac{s + a}{(s + a)^2 + \omega^2}, \text{ conforme foi determinado no Probl. 17.1.}$$

**17.3** Obter a transformada de Laplace de  $f(t) = 1 - e^{-at}$ , onde  $a$  é uma constante.

Temos

$$\begin{aligned} \mathcal{L}[1 - e^{-at}] &= \int_0^{\infty} (1 - e^{-at}) e^{-st} dt = \int_0^{\infty} e^{-st} dt - \int_0^{\infty} e^{-(s+a)t} dt \\ &= \left[ -\frac{1}{s} e^{-st} + \frac{1}{s+a} e^{-(s+a)t} \right]_0^{\infty} = \frac{1}{s} - \frac{1}{s+a} = \frac{a}{s(s+a)} \end{aligned}$$

**17.4** Determinar  $\mathcal{L}^{-1}\left[\frac{1}{s(s^2 - a^2)}\right]$ .

Empregando o método das frações parciais, temos:

$$\frac{1}{s(s^2 - a^2)} = \frac{A}{s} + \frac{B}{s+a} + \frac{C}{s-a}$$

e os coeficientes são:

$$A = \frac{1}{s^2 - a^2} \Big|_{s=0} = -\frac{1}{a^2} \quad B = \frac{1}{s(s-a)} \Big|_{s=-a} = \frac{1}{2a^2}$$

$$C = \frac{1}{s(s+a)} \Big|_{s=a} = \frac{1}{2a^2}$$

Assim,

$$\mathcal{L}^{-1}\left[\frac{1}{s(s^2 - a^2)}\right] = \mathcal{L}^{-1}\left[\frac{-1/a^2}{s}\right] + \mathcal{L}^{-1}\left[\frac{-1/2a^2}{s+a}\right] + \mathcal{L}^{-1}\left[\frac{1/2a^2}{s-a}\right]$$

As funções do tempo correspondentes são encontradas na tabela 17-1:

$$\mathcal{L}^{-1}\left[\frac{1}{s(s^2 - a^2)}\right] = -\frac{1}{a^2} + \frac{1}{2a^2} e^{-at} + \frac{1}{2a^2} e^{at}$$

$$= -\frac{1}{a^2}$$

**17.5** Determin

Empreg

$$\frac{s+1}{s(s+2)}$$

Logo, A

O coefici

$$B = \frac{d}{ds}$$

Assim,

$$\mathcal{L}^{-1}\left[\frac{1}{s(s^2 - a^2)}\right]$$

As funçõe

Assim,

$$\mathcal{L}^{-1}\left[\frac{1}{s(s^2 - a^2)}\right]$$

**17.6** A carga ini  
10<sup>-6</sup> coulo  
uma fonte  
da de Lapl

$$= -\frac{1}{a^2} + \frac{1}{a^2} \left( \frac{e^{at} + e^{-at}}{2} \right) = \frac{1}{a^2} (\cos h at - 1)$$

17.5 Determinar  $\mathcal{L}^{-1} \left[ \frac{s + 1}{s(s^2 + 4s + 4)} \right]$ .

Empregando o método das frações parciais, temos:

$$\frac{s + 1}{s(s + 2)^2} = \frac{A}{s} + \frac{B}{s + 2} + \frac{C}{(s + 2)^2}$$

Logo,  $A = \frac{s + 1}{(s + 2)^2} \Big|_{s=0} = \frac{1}{4}$  e  $C = \frac{s + 1}{s} \Big|_{s=-2} = \frac{1}{2}$

O coeficiente do termo quadrado é:

$$B = \frac{d}{ds} \left[ \frac{s + 1}{s} \right] \Big|_{s=-2} = -\frac{1}{s^2} \Big|_{s=-2} = -\frac{1}{4}$$

Assim,

$$\mathcal{L}^{-1} \left[ \frac{s + 1}{s(s^2 + 4s + 4)} \right] = \mathcal{L}^{-1} \left[ \frac{\frac{1}{4}}{s} \right] + \mathcal{L}^{-1} \left[ \frac{-\frac{1}{4}}{s + 2} \right] + \mathcal{L}^{-1} \left[ \frac{\frac{1}{2}}{(s + 2)^2} \right]$$

As funções do tempo correspondentes são encontradas na tabela 17-1.

Assim,

$$\mathcal{L}^{-1} \left[ \frac{s + 1}{s(s^2 + 4s + 4)} \right] = \frac{1}{4} - \frac{1}{4} e^{-2t} + \frac{1}{2} t e^{-2t}$$

- 17.6 A carga inicial do capacitor do circuito RC em série da Fig. 17-12 é  $q_0 = 2500 \times 10^{-6}$  coulombs. Quando  $t = 0$ , fecha-se o interruptor, aplicando-se ao circuito uma fonte de tensão constante  $V = 100$  volts. Empregar o método da transformada de Laplace e determinar a corrente.

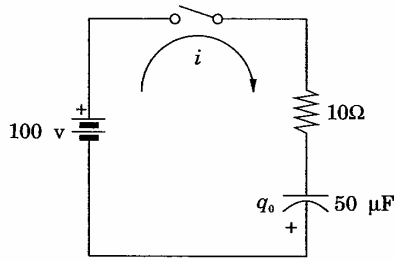


Figura 17-12

Depois do fechamento do circuito, a equação do domínio do tempo é:

$$Ri + \frac{1}{C} \int i dt = V$$

ou

$$10i + \frac{1}{50 \times 10^{-6}} \int i dt = 100 \tag{1}$$

Tomando a transformada de Laplace dos termos de (1), obtém-se a equação do domínio s

$$10I(s) + \frac{I(s)}{50 \times 10^{-6} s} + \frac{q_0}{50 \times 10^{-6} s} = \frac{100}{s} \tag{2}$$

A polaridade de  $q_0$ , mostrada no diagrama, é oposta à da carga que a fonte deposita no capacitor; assim, a equação do domínio s é:

$$10I(s) + \frac{I(s)}{50 \times 10^{-6} s} - \frac{2500 \times 10^{-6}}{50 \times 10^{-6} s} = \frac{100}{s} \tag{3}$$

Reagrupando,  $I(s) \left\{ \frac{10s + 2 \times 10^4}{s} \right\} = \frac{150}{s}$  (4)

ou

$$I(s) = \frac{15}{s + 2 \times 10^3} \tag{5}$$

Obtém-se a função do tempo tomando a transformada inversa de Laplace de (5)

$$\mathcal{L}^{-1} [I(s)]$$

Se a car; o sinal é igual a f

17.7 O interruptor abre-se bastante tempo quando t

Admitindo a condição inicial é

A equação

$$25i + 0,1$$

Tomando

$$25I(s) +$$

Substituindo

$$25I(s) +$$

$$\text{e } I(s) =$$

Desenvolvendo

os termos, temos

$$\frac{10^4}{s(s + 2 \times 10^3)}$$

$$\mathcal{L}^{-1}[I(s)] = i = \mathcal{L}^{-1}\left[\frac{15}{s + 2 \times 10^3}\right] = 15e^{-2 \times 10^3 t}$$

Se a carga inicial  $q_0$  for positiva na placa superior do capacitor, é positivo o sinal de  $q_0/sC$  na equação (3). O segundo membro da equação (4) fica igual a  $50/s$ , acarretando uma corrente transitória  $i = 5 e^{-2 \times 10^3 t}$ .

17.7 O interruptor do circuito  $RL$  da Fig. 17-13 é mantido na posição 1 durante tempo bastante para que se estabeleçam condições de regime estacionário e, quando  $t = 0$ , é deslocado para a posição 2. Determinar a corrente resultante.

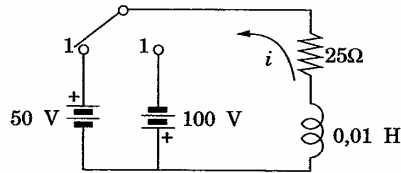


Figura 17-13

(1)

Admitindo para a corrente o sentido indicado no diagrama, a corrente inicial é  $i_0 = -50/25 = -2$  A.

A equação do domínio do tempo é

$$25i + 0,01 (di/dt) = 100 \tag{1}$$

(2)

Tomando a transformada de Laplace,

$$25I(s) + 0,01s I(s) - 0,01 i(0+) = 100/s \tag{2}$$

Substituindo  $i(0+)$ ,

(3)

$$25I(s) + 0,01s I(s) + 0,01 (2) = 100/s \tag{3}$$

(4)

$$e I(s) = \frac{100}{s(0,01s + 25)} - \frac{0,02}{0,01s + 25} = \frac{10^4}{s(s + 2500)} - \frac{2}{s^2 + 2500} \tag{4}$$

(5)

Desenvolvendo  $\frac{10}{(s + 2500)}$  na equação (4) pelo método das frações parciais, temos:

$$\frac{10^4}{s(s + 2500)} = \frac{A}{s} + \frac{B}{s + 2500} \tag{5}$$

tempo é:

m-se a equa-

ça que a fonte

ia de Laplace

Então,  $A = \frac{10^4}{s + 2500} \Big|_{s=0} = 4$  e  $B = \frac{10^4}{s} \Big|_{s=-2500} = -4$

Substituindo na equação (4),

$$I(s) = \frac{4}{s} - \frac{4}{s + 2500} - \frac{2}{s + 2500} = \frac{4}{s} - \frac{6}{s + 2500} \quad (6)$$

Tomando a transformada inversa de Laplace da equação (6), temos  $i = 4 - 6e^{-2500t}$ .

17.8 Uma tensão exponencial  $v = 50e^{-1000t}$  é aplicada ao circuito RL da Fig. 17-14, ao se fechar o interruptor, no instante  $t = 0$ . Determinar a corrente resultante.

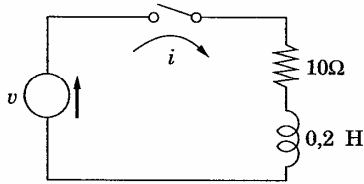


Figura 17-14

A equação do domínio do tempo para o circuito dado é:

$$Ri + L(di/dt) = v \quad (1)$$

que no domínio s tem a forma

$$R I(s) + sL I(s) - Li(0+) = V(s) \quad (2)$$

Substituindo as constantes de circuito e a transformada da fonte  $V(s) = 50/(s + 100)$  em (2),

$$10I(s) + s(0,2)I(s) = \frac{50}{s + 100} \quad \text{ou} \quad I(s) = \frac{250}{(s + 100)(s + 50)} \quad (3)$$

Pela fórmula de desenvolvimento de Heaviside,

$$\mathcal{L}^{-1}[I(s)] = \mathcal{L}^{-1} \left[ \frac{P(s)}{Q(s)} \right] = \sum_{n=1,2} \frac{P(a_n)}{Q'(a_n)} e^{a_n t}, \text{ onde}$$

$$P(s) = 250, Q(s) = s^2 + 150s + 5000, Q'(s) = 2s + 150, a_1 = -100 \text{ e } a_2 = -50.$$

Então,

17.9 O circuit  
sen (200  
a polariz  
do quan

$$40i + \frac{di}{dt}$$

A trans

$$40I(s) +$$

Substit

$$40I(s) -$$

ou

$$I(s) = -$$

Aplicar

$$\frac{1}{(s^2 + 4}$$

$$P(s) = 4$$

Então,  $i = \mathcal{L}^{-1}[I(s)] = \frac{250}{-50} e^{-100t} + \frac{250}{50} e^{-50t} = -5 e^{-100t} + 5 e^{-50t}$

17.9 O circuito RC em série da Fig 17-15 tem uma fonte de tensão senoidal  $v = 180 \text{ sen}(2000t + \phi)$  e uma carga inicial  $q_0 = 1250 \times 10^{-6}$  coulombs, no capacitor, com a polaridade indicada. Determinar a corrente supondo que o interruptor é fechado quando  $\phi = 90^\circ$ .

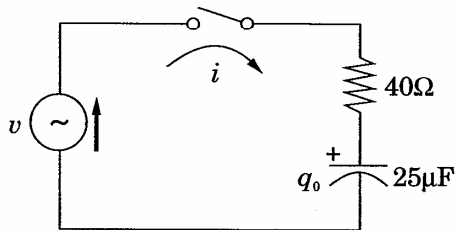


Figura 17-15

$$40i + \frac{1}{25 \times 10^{-6}} \int i dt = 180 \text{ sen}(2000t + 90^\circ) \tag{1}$$

A transformada de Laplace da equação (1) resulta na equação do domínio s

$$40I(s) + \frac{1}{25 \times 10^{-6} s} I(s) + \frac{q_0}{25 \times 10^{-6} s} = 180 \left\{ \frac{s \text{ sen } 90^\circ + 2000 \cos 90^\circ}{s^2 + 4 \times 10^6} \right\} \tag{2}$$

Substituindo em (2) o valor da carga  $q_0$ , temos:

$$40I(s) + \frac{4 \times 10^4}{s} I(s) + \frac{1250 \times 10^{-6}}{25 \times 10^{-6} s} = \frac{180 s}{s^2 + 4 \times 10^6}$$

ou

$$I(s) = \frac{4,5 s^2}{(s^2 + 4 \times 10^6)(s + 10^3)} - \frac{1,25}{s + 10^3} \tag{3}$$

Aplicando a fórmula de desenvolvimento de Heaviside ao termo

$$\frac{4,5 s^2}{(s^2 + 4 \times 10^6)(s + 10^3)}$$

$$P(s) = 4,5 s^2, Q(s) = s^3 + 10^3 s^2 + 4 \times 10^6 s + 4 \times 10^9,$$

$$Q'(s) = 3s^2 + 2 \times 10^3 s + 4 \times 10^6,$$

$$a_1 = -j2 \times 10^3, a_2 = j2 \times 10^3 \text{ e } a_3 = -10^3.$$

$$i = \frac{P(-j2 \times 10^3)}{Q'(-j2 \times 10^3)} e^{-j2 \times 10^3 t} + \frac{P(j2 \times 10^3)}{Q'(j2 \times 10^3)} e^{j2 \times 10^3 t} + \frac{P(-10^3)}{Q'(-10^3)} e^{-10^3 t} - 1,25 e^{-10^3 t}$$

$$= (1,8 - j0,9) e^{-j2 \times 10^3 t} + (1,8 + j0,9) e^{j2 \times 10^3 t} - 0,35 e^{-10^3 t}$$

$$= -1,8 \text{ sen } 2000t + 3,6 \text{ cos } 2000t - 0,35 e^{-10^3 t} \quad (4)$$

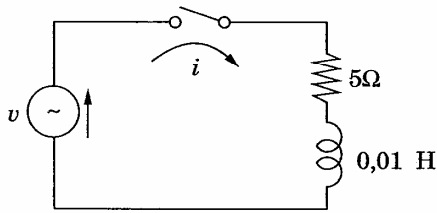
$$= 4,02 \text{ sen } (2000t + 116,6^\circ) - 0,35 e^{-10^3 t}$$

Quando  $t = 0$ , a corrente é obtida pela tensão instantânea, constituída pela fonte de tensão e o capacitor carregado, dividida pela resistência. Assim,

$$i_0 = \left( 180 \text{ sen } 90^\circ - \frac{1250 \times 10^{-6}}{25 \times 10^{-6}} \right) / 40 = 3,25 \text{ ampères.}$$

O mesmo resultado é obtido quando se faz  $t = 0$  na equação (4).

**17.10** A fonte de tensão senoidal do circuito  $RL$  em série da Fig. 17-16 é dada por  $v = 100 \text{ sen } (500t + \phi)$ . Determinar a corrente resultante supondo o interruptor fechado quando  $\phi = 0$ .



**Figura 17-16**

A equa  
 $RI(s) =$   
 A trans  
 corrent  
 consta  
 $5 I(s) +$   
 Desenv  
 $I(s) =$   
 A tran:  
 $i = 10 \text{ ;}$   
 $= 10e^{-t}$   
**17.11** Escrev  
 $v = 100$   
 introdu  
 rente c  
 Para  $v$   
 $5 I(s) +$   
 Empre  
 Toman  
 função  
 $i = (1$   
 $= 14$   
 $= 14$

A equação geral do domínio  $s$  de um circuito  $RL$  em série é:

$$RI(s) + sLI(s) - Li(0+) = V(s) \tag{1}$$

A transformada da fonte quando  $\phi = 0$  é  $V(s) = \frac{500(100)}{s^2 + (500)^2}$ . Como não há corrente inicial na indutância,  $Li(0+) = 0$ . Substituindo na equação (1) as constantes do circuito, temos:

$$5 I(s) + 0,01s I(s) = \frac{5 \times 10}{s^2 + 25 \times 10} \text{ e } I(s) = \frac{5 \times 10}{(s^2 + 25 \times 10)(s + 500)} \tag{2}$$

Desenvolvendo (2) pelas frações parciais,

$$I(s) = 5 \left( \frac{-1 + j}{s + j500} \right) + 5 \left( \frac{-1 - j}{s - j500} \right) + \frac{10}{s + 500} \tag{3}$$

A transformada inversa de (3) é

$$i = 10 \text{ sen } 500t - 10 \text{ cos } 500t + 10e^{-500t} = 10e^{-500t} + 14,14 \text{ sen } (500t - \pi/4)$$

17.11 Escrevendo-se a função tensão do Probl. 17.10 como

$$v = 100e^{j500t} \tag{1}$$

introduz-se um termo co-senoidal na fonte de tensão. Determinar a corrente do circuito do Probl. 17.10, empregando a equação (1).

Para  $v = 100e^{j500t}$ ,  $V(s) = 100/(s - j500)$  e a equação do domínio  $s$  é

$$5 I(s) + 0,01s I(s) = 100/(s - j500) \text{ e } I(s) = 10^4/(s - j500)(s + 500) \tag{2}$$

$$\text{Empregando frações parciais: } I(s) = \frac{10 - j10}{s - j500} + \frac{-10 + j10}{s + 500} \tag{3}$$

Tomando a transformada inversa de Laplace de (3), a correspondente função do tempo da corrente é:

$$i = (10 - j10) e^{j500t} + (-10 + j10) e^{-500t} = 14,14 e^{j(500t - \pi/4)} + (-10 + j10) e^{-500t} = 14,14 \{ \cos (500t - \pi/4) + j \text{ sen } (500t - \pi/4) \} + (-10 + j10) e^{-500t} \tag{4}$$

$0^3t$

(4)

a, constituída a resistência.

res.

(4).

é dada por  $v =$  o interruptor

Como a fonte de tensão do Probl. 17.10 só continha a parte imaginária de (1), a corrente resultante é a parte imaginária da equação (4),

$$i = 14,14 \text{ sen } (500t - \pi/4) + 10e^{-500t}$$

17.12 Não há carga inicial no capacitor do circuito RLC em série da Fig. 17-7. Determinar a corrente resultante, admitindo que o interruptor é fechado quando  $t = 0$ .

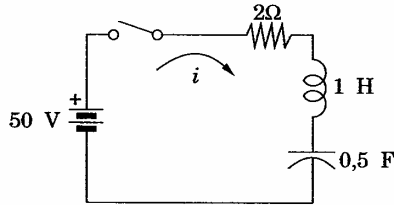


Figura 17-17

A equação do domínio do tempo para o circuito dado é:

$$Ri + L \frac{di}{dt} + \frac{1}{C} \int i dt = V \tag{1}$$

A transformada de Laplace dos termos de (1) resulta na equação do domínio s

$$R I(s) + sL I(s) - Li(0+) + \frac{1}{sC} I(s) + \frac{q_0}{sC} = \frac{V}{s} \tag{2}$$

Das condições limites iniciais,  $Li(0+) = 0$  e  $q_0/sC = 0$ . Substituindo em (2) as constantes do circuito, temos:

$$2 I(s) + 1s I(s) + \frac{1}{0,5s} I(s) = \frac{50}{s} \tag{3}$$

ou

$$I(s) = \frac{50}{s^2 + 2s + 2} = \frac{50}{(s + 1 + j)(s + 1 - j)} \tag{4}$$

Desenvolvendo (4) em frações parciais,

$$I(s) = \frac{j25}{(s + 1 + j)} - \frac{j25}{(s + 1 - j)} \tag{5}$$

e a trar  
domíni

$$i = j25$$

17.13 As duas  
me esté  
represe

O par c

$$5i_1 + \frac{1}{2}$$

Tomam  
penden

$$5 I_1(s)$$

$$10 I_2(s)$$

Quand  
procur  
Z(s), I(s)

$$\begin{bmatrix} 5 + 1 \\ 5 \end{bmatrix}$$

e a transformada inversa de Laplace da equação (5) resulta na equação do domínio do tempo para a corrente

$$i = j25 \{ e^{(-1-j)t} - e^{(-1+j)t} \} = 50 e^{-t} \text{ sen } t$$

**17.13** As duas correntes de malha da estrutura da Fig. 17-18 foram escolhidas conforme está indicado. Escrever as equações do domínio s sob a forma matricial e representar o circuito correspondente.

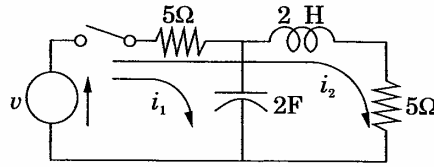


Figura 17-18

O par de equações no domínio do tempo é:

$$5i_1 + \frac{1}{2} \int i_1 dt + 5i_2 = v \quad \text{e} \quad 10i_2 + 2(di_2/dt) + 5i_1 = v \quad (1)$$

Tomando a transformada de Laplace de (1) para obter as equações correspondentes no domínio s, temos:

$$5 I_1(s) + \frac{1}{2s} I_1(s) + \frac{q_0}{2s} + 5 I_2(s) = V(s)$$

$$10 I_2(s) + 2s I_2(s) - 2 i_2(0+) + 5 I_1(s) = V(s) \quad (2)$$

Quando este par de equações é escrito sob a forma matricial, o circuito procurado do domínio s pode ser determinado pelo exame das matrizes de Z(s), I(s) e V(s) (ver Fig. 17-19).

$$\begin{bmatrix} 5 + 1/2s & 5 \\ 5 & 10 + 2s \end{bmatrix} \begin{bmatrix} I_1(s) \\ I_2(s) \end{bmatrix} = \begin{bmatrix} V(s) - q_0/2s \\ V(s) + 2i_2(0+) \end{bmatrix}$$

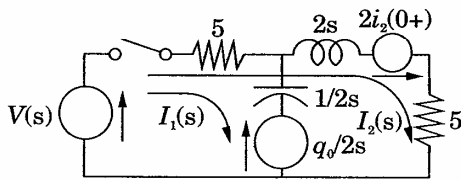


Figura 17-19

17.14 Determinar as correntes nas duas malhas da estrutura da Fig. 17-20, ao fechar-se o interruptor.

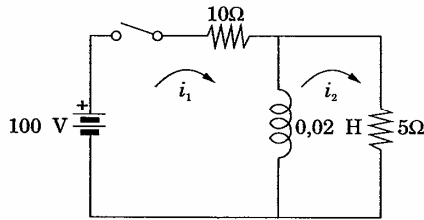


Figura 17-20

As equações no domínio do tempo são

$$10i_1 + 0,02 \frac{di_1}{dt} - 0,02 \frac{di_2}{dt} = 100 \quad (1)$$

$$0,02 \frac{di_2}{dt} + 5i_2 - 0,02 \frac{di_1}{dt} = 0$$

Tomando a transformada de Laplace, temos:

$$(10 + 0,02s)I_1(s) - 0,02s I_2(s) = 100/s \quad (2a)$$

$$(5 + 0,02s)I_2(s) - 0,02s I_1(s) = 0 \quad (2b)$$

Da equação (2b) temos:

$$I_2(s) = I_1(s) \left( \frac{s}{s + 250} \right) \quad (3)$$

que, se

$(10 +$

ou

$I_1(s) =$

Aplica

$I_1(s) =$

Finalm

$I_2(s) =$

17.15 Aplicar do dom

As duæ

$I_1(s) =$

O valo

$i_1(0) =$

e o val

$i_1(\infty) =$

O valo

$i_2(0) =$

que, substituída na equação (2a) nos dá:

$$(10 + 0,02s) I_1(s) - 0,02s \left\{ I_1(s) \left( \frac{s}{s + 250} \right) \right\} = \frac{100}{s} \quad (4)$$

ou

$$I_1(s) = 6,67 \left\{ \frac{s + 250}{s(s + 166,7)} \right\} \quad (5)$$

Aplicando a (5) o método das frações parciais obtém-se:

$$I_1(s) = \frac{10}{s} - \frac{3,33}{s + 166,7} \quad \text{e} \quad i_1 = 10 - 3,33 e^{-166,7t} \quad (6)$$

Finalmente, substituindo (5) em (3) obtém-se a equação do domínio s:

$$I_2(s) = 6,67 \left\{ \frac{s + 250}{s(s + 166,7)} \right\} \frac{s}{s + 250} = 6,67 \left( \frac{1}{s + 166,7} \right) \quad \text{e} \quad i_2 = 6,67 e^{-166,7t} \quad (7)$$

**17.15** Aplicar os teoremas do valor inicial e do valor final às equações de  $I_1(s)$  e  $I_2(s)$ , do domínio s, no Probl. 17.14.

As duas equações do domínio s no Probl. 17.14 são:

$$I_1(s) = 6,67 \left\{ \frac{s + 250}{s(s + 166,7)} \right\} \quad \text{e} \quad I_2(s) = 6,67 \left( \frac{1}{s + 166,7} \right)$$

(1)

O valor inicial de  $i_1$  é dado por

$$i_1(0) = \lim_{s \rightarrow \infty} [s I_1(s)] = \lim_{s \rightarrow \infty} \left[ 6,67 \left( \frac{s + 250}{s + 166,7} \right) \right] = 6,67 \text{ A}$$

e o valor final

$$i_1(\infty) = \lim_{s \rightarrow 0} [s I_1(s)] = \lim_{s \rightarrow 0} \left[ 6,67 \left( \frac{s + 250}{s + 166,7} \right) \right] = 6,67(250/166,7) = 10 \text{ A} \quad (2a)$$

(2b)

O valor inicial de  $i_2$  é dado por

$$i_2(0) = \lim_{s \rightarrow \infty} [s I_2(s)] = \lim_{s \rightarrow \infty} \left[ 6,67 \left( \frac{s}{s + 166,7} \right) \right] = 6,67 \text{ A} \quad (3)$$

(3)

e o valor final

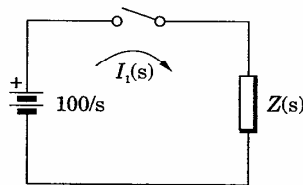
$$i_2(\infty) = \lim_{s \rightarrow \infty} [s I_2(s)] = \lim_{s \rightarrow \infty} \left[ 6,67 \left( \frac{s}{s + 166,7} \right) \right] = 0$$

Um exame do circuito da Fig. 17-20 verifica cada um desses valores iniciais e finais. No instante do fechamento, a indutância apresenta uma impedância infinita e a corrente  $i_1 = i_2 = 100/(10 + 5) = 6,67$  A. Já em regime estacionário, a indutância aparece como um curto-circuito; então  $i_1 = 10$  A e  $i_2 = 0$ .

- 17.16** Determinar a impedância equivalente à estrutura da Fig. 17-20 e representar o circuito, utilizando essa impedância.

No domínio  $s$ , a indutância de 0,02 H tem uma impedância  $Z(s) = 0,02s$ , que pode ser tratada da mesma forma que  $j\omega L$  em regime estacionário senoidal. Portanto, a impedância equivalente da estrutura, vista da fonte, é:

$$Z(s) = 10 + \frac{0,02s(5)}{0,02s + 5} = \frac{0,3s + 50}{0,02s + 5} = 15 \left( \frac{s + 166,7}{s + 250} \right) \quad (1)$$



**Figura 17-21**

A Fig. 17-21 mostra o circuito com a impedância equivalente. A corrente é

$$I_1(s) = \frac{V(s)}{Z(s)} = \frac{100}{s} \left\{ \frac{s + 250}{15(s + 166,7)} \right\} = 6,67 \left\{ \frac{s + 250}{s(s + 166,7)} \right\} \quad (2)$$

Esta expressão é idêntica à equação (5) do Probl. 17.14. Portanto, a função do tempo é  $i_1 = 10 - 3,33e^{-166,7t}$ .

- 17.17** Não há carga inicial no capacitor da estrutura de duas malhas da Fig. 17-22. Determinar as correntes de malha  $i_1$  e  $i_2$  que resultam no fechamento do circuito, no instante  $t = 0$ .

As equa

$$10i_1 +$$

e as cor

$$10 I_1(s)$$

ou, sob

$$\left[ \begin{matrix} 10 + \dots \\ \dots \\ 10 \end{matrix} \right]$$

donde

Para ob

$$50i_2 +$$

- 17.18** Obter a determinação da divisão de

A impe

$$Z(s) =$$

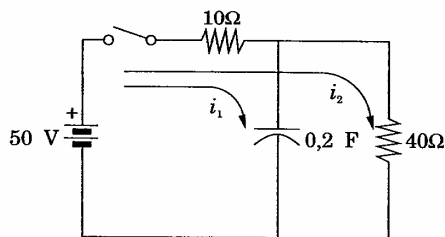


Figura 17-22

As equações do domínio do tempo são

$$10i_1 + \frac{1}{0,2} \int i_1 dt + 10i_2 = 50 \quad \text{e} \quad 50i_2 + 10i_1 = 50 \quad (1)$$

e as correspondentes no domínio s são:

$$(1) \quad 10 I_1(s) + \frac{1}{0,2s} I_1(s) + 10I_2(s) = 50/s \quad \text{e} \quad 50 I_2(s) + 10 I_1(s) = 50/s (2)$$

ou, sob a forma matricial,

$$\begin{bmatrix} 10 + 1/0,2s & 10 \\ 10 & 50 \end{bmatrix} \begin{bmatrix} I_1(s) \\ I_2(s) \end{bmatrix} = \begin{bmatrix} 50/s \\ 50/s \end{bmatrix}$$

donde  $I_1(s) = 5/(s + 0,625)$  e  $i_1 = 5e^{-0,625t}$

Para obter  $i_2$ , substituímos o valor de  $i_1$  na segunda das equações de (1):

$$50i_2 + 10(5e^{-0,625t}) = 50 \quad \text{e} \quad i_2 = 1 - e^{-0,625t}$$

A corrente é

(2)

Portanto, a

- 17.18** Obter a impedância equivalente da estrutura do Probl. 17.17, no domínio s, e determinar a corrente total e as correntes nos ramos, empregando a regra da divisão da corrente.

A impedância equivalente no domínio s é:

$$Z(s) = 10 + \frac{40(1/0,2s)}{40 + 1/0,2s} = \frac{80s + 50}{8s + 1} = 10 \left( \frac{s + 5/8}{s + 1/8} \right) \quad (1)$$

la Fig. 17-22.  
to do circuito,

A Fig. 17-23 mostra o circuito; a corrente resultante é:

$$I(s) = \frac{V(s)}{Z(s)} = \frac{50}{s} \left\{ \frac{s + 1/8}{10(s + 5/8)} \right\} = 5 \frac{s + 1/8}{s(s + 5/8)} \quad (2)$$

Exprimindo a equação (2) em termos de frações parciais,

$$I(s) = \frac{1}{s} + \frac{4}{s + 5/8}, \text{ donde } i = 1 + 4e^{-5t/8} \quad (3)$$

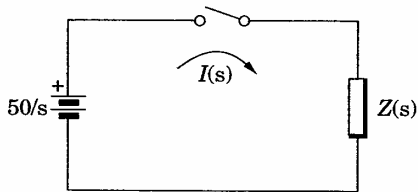


Figura 17-23

As correntes  $I_1(s)$  e  $I_2(s)$  podem, agora, ser determinadas pela regra da divisão. Da Fig. 17-24, temos:

$$I_1(s) = I(s) \left( \frac{40}{40 + 1/0,2s} \right) = \frac{5}{s + 5/8} \text{ e } i_1 = 5e^{-0,625t}$$

$$I_2(s) = I(s) \left( \frac{1/0,2s}{40 + 1/0,2s} \right) = \frac{1}{s} - \frac{1}{s + 5/8} \text{ e } i_2 = 1 - e^{-0,625t}$$

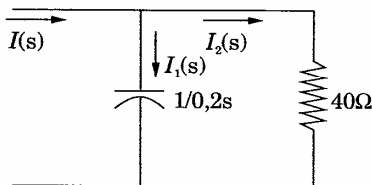


Figura 17-24

17.19 O interruptor da Fig. 17-25 é fechado quando  $t = 0$  e não existe carga inicial nos capacitores. Determinar a corrente resultante,  $i$ , mostrada no diagrama.

A estrut

$$Z(s) = 1$$

e a corre

$$I(s) = \frac{V}{Z}$$

Exprimi

$$I(s) = \frac{1}{s}$$

17.20 Aplicar tu domínio :

Como  $I(s)$

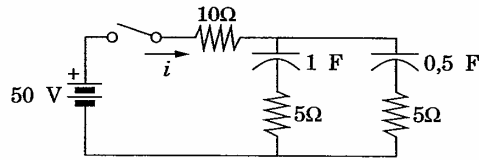
$$i(0) = \lim_{s \rightarrow \infty} s I(s)$$

e a corre

$$i(\infty) = \lim_{s \rightarrow 0} I(s)$$

Um exa total do 4 A. En gados a

(2)



(3)

Figura 17-25

A estrutura tem para impedância equivalente no domínio  $s$ :

$$Z(s) = 10 + \frac{(5 + 1/s)(5 + 1/0,5s)}{(10 + 1/s + 1/0,5s)} = \frac{125s^2 + 45s + 2}{s(10s + 3)} \quad (1)$$

e a corrente

$$I(s) = \frac{V(s)}{Z(s)} = \frac{50}{s} \frac{s(10s + 3)}{(125s^2 + 45s + 2)} = \frac{4(s + 0,3)}{(s + 0,308)(s + 0,052)} \quad (2)$$

Exprimindo a corrente do domínio  $s$  em frações parciais,

$$I(s) = \frac{1/8}{s + 0,308} + \frac{31/8}{s + 0,052} \quad \text{e} \quad i = \frac{1}{8} e^{-0,308t} + \frac{31}{8} e^{-0,052t}$$

**17.20** Aplicar teoremas do valor inicial e do valor final à corrente do Probl. 17.19, no domínio  $s$ .

Como  $I(s) = \frac{1/8}{s + 0,308} + \frac{31/8}{s + 0,052}$ , a corrente inicial é:

$$i(0) = \lim_{s \rightarrow \infty} [s I(s)] = \lim_{s \rightarrow \infty} \left[ \frac{1}{8} \left( \frac{s}{s + 0,308} \right) + \frac{31}{8} \left( \frac{s}{s + 0,052} \right) \right] = 4 \text{ ampères}$$

e a corrente final é

$$i(\infty) = \lim_{s \rightarrow 0} [s I(s)] = \lim_{s \rightarrow 0} \left[ \frac{1}{8} \left( \frac{s}{s + 0,308} \right) + \frac{31}{8} \left( \frac{s}{s + 0,052} \right) \right] = 0$$

Um exame do circuito da Fig. 17-25 mostra que, inicialmente, a resistência total do circuito é  $R = 10 + 5(5)/10 = 12,5$  ohms; portanto,  $i(0) = 50/12,5 = 4$  A. Então, em regime estacionário, ambos os capacitores estão carregados a uma tensão equivalente de 50 volts e a corrente é nula.

pela regra da

$-0,625t$

rga inicial nos  
rama.

### Problemas Propostos

**17.21** Determinar a transformada de Laplace de cada uma das funções:

Resp.: (a)-(e) Ver tabela 17-1 no final do capítulo.

(a)  $f(t) = At$       (c)  $f(t) = e^{-at} \text{ sen } \omega t$       (e)  $f(t) = \cos h \omega t$

(b)  $f(t) = te^{-at}$       (d)  $f(t) = \text{sen } h \omega t$       (f)  $f(t) = e^{-at} \text{ sen } h \omega t$

**17.22** Determinar a transformada inversa de Laplace de cada uma das funções:

(a)  $F(s) = \frac{s}{(s+2)(s+1)}$

(e)  $F(s) = \frac{s+5}{s^2+2s+5}$

(b)  $F(s) = \frac{1}{s^2+7s+12}$

(f)  $F(s) = \frac{2s+4}{s^2+4s+13}$

(c)  $F(s) = \frac{5s}{s^2+3s+2}$

(g)  $F(s) = \frac{2s}{(s^2+4)(s+5)}$

(d)  $F(s) = \frac{3}{s(s^2+6s+9)}$

**17.25** No circui  
4 milisse  
intervalo:  
Resp.:  $i$ :

Resp.: (a)  $2e^{-2t} - e^{-t}$

(d)  $\frac{1}{3} - \frac{1}{3}e^{-3t} - te^{-3t}$

(b)  $e^{-3t} - e^{-4t}$

(e)  $e^{-t} (\cos 2t + 2 \text{ sen } 2t)$

(c)  $10e^{-2t} - 5e^{-t}$

(f)  $2e^{-2t} \cos 3t$

(g)  $\frac{10}{29} \cos 2t + \frac{4}{29} \text{ sen } 2t - \frac{10}{29} e^{-5t}$

**17.26** No circu  
quando  
Determin  
Resp.:  $i$

**17.23** Quando  $t = 0$ , aplica-se uma tensão constante  $V = 50$  volts em um circuito série  $RL$  onde  $R = 10$  ohms e  $L = 0,2$  H. Determinar a corrente resultante empregando o método da transformada de Laplace.

Resp.:  $i = 5 - 5e^{-50t}$ .

**17.24** O interruptor do circuito série  $RL$  da Fig. 17-26 é mantido na posição 1 durante tempo suficiente para que se estabeleça o regime estacionário; em seguida, é deslocado para a posição 2, quando  $t = 0$ . Determinar a corrente.

Resp.:  $i = 5 e^{-50t}$ .

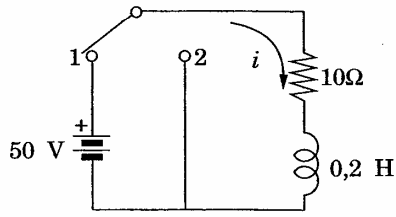


Figura 17-26

17.25 No circuito da Fig. 17-27, o interruptor 1 é fechado quando  $t = 0$ . Quando  $t = t = 4$  milissegundos, abre-se o interruptor 2. Determinar a corrente transitória nos intervalos  $0 < t < t$  e  $t < t$ .

Resp.:  $i = 2(1 - e^{-500t})$ ;  $i = 1,06 e^{-1500(t-t)} + 0,667$ .

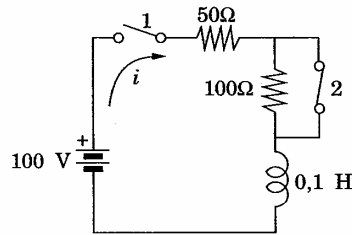


Figura 17-27

17.26 No circuito em série RL da Fig. 17-28, o interruptor é fechado na posição 1 quando  $t = 0$  e quando  $t = t = 50$  microssegundos é deslocado para a posição 2. Determinar a corrente transitória nos intervalos  $0 < t < t$  e  $t > t$ .

Resp.:  $i = 0,1(-e^{-2000t})$ ;  $i = 0,06 e^{-2000(t-t)} - 0,05$ .

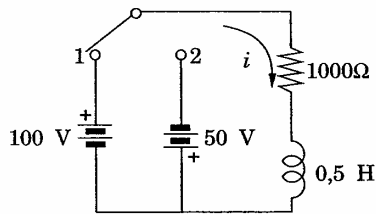


Figura 17-28

**17.27** Aplica-se uma tensão constante  $V = 100$  volts a um circuito em série  $RC$ , com  $R = 10$  ohms e  $C = 4 \mu\text{F}$ , existindo no capacitor uma carga  $q_0 = 800 \times 10^{-6}$  coulombs, no instante em que se fecha o interruptor. Determinar a corrente transitória resultante, supondo que a carga é (a) da mesma polaridade daquela que é depositada pela fonte; (b) de polaridade oposta.

Resp.: (a)  $i = -10e^{-25 \times 10^3 t}$  A; (b)  $i = 30e^{-25 \times 10^3 t}$  A.

**17.28** O capacitor de um circuito em série  $RC$  com  $R = 1000$  ohms e  $C = 20 \mu\text{F}$  tem uma carga inicial  $q_0$ , ao fechar-se o interruptor para aplicar uma tensão constante  $V = 50$  volts. Supondo que a corrente resultante é  $i = 0,075 e^{-50t}$ , determinar a carga  $q_0$  e a sua polaridade.

Resp.:  $500 \times 10^{-6}$  coulombs, oposta à da carga depositada pela fonte.

**17.29** O interruptor do circuito  $RC$  mostrado na Fig. 17-29 é fechado na posição 1, quando  $t = 0$ , e, em seguida, quando  $t = t' = 1\text{CT}$ , é deslocado para a posição 2. Determinar a corrente transitória nos intervalos  $0 < t < t'$  e  $t < t'$ .

Resp.:  $i = 0,5e^{-200t}$ ;  $i = 0,516e^{-200(t-t')}$ .

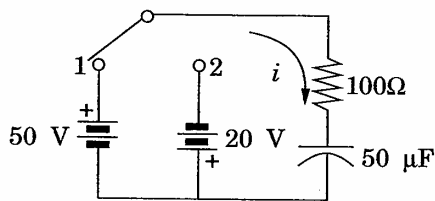


Figura 17-29

**17.30** Ao fechar-se o interruptor do circuito da Fig. 17-30, o capacitor  $C_1$  tem uma carga inicial  $q_0 = 300 \times 10^{-6}$  coulombs. Determinar a corrente transitória resultante.

Resp.:  $i = 2,5e^{-2,5 \times 10^4 t}$ .

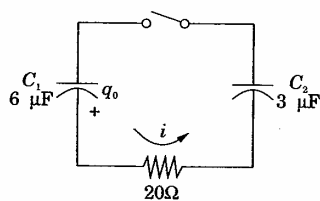


Figura 17-30

**17.31** No circui  
 $\times 10^{-6}$   
 Determ  
 quando  
 Resp.:  $i$

**17.32** Quando  
 onde  $R$   
 Resp.:  $i$

**17.33** O capar  
 $10^{-3}$  coi  
 para qu  
 que occ  
 Resp.:  $i$

**17.34** Quand  
 $R = 5$  ol  
 Resp.:  $i$

em série RC,  $q_0 = 800 \times 10^{-6}$  coulombs e a fonte de tensão senoidal é  $v = 100 \text{ sen}(1000t + \phi)$ . Determinar a corrente resultante, supondo que o interruptor é fechado quando  $\phi = 30^\circ$ .

- 17.31** No circuito em série RC da Fig. 17-31, o capacitor tem uma carga inicial  $q_0 = 25 \times 10^{-6}$  coulombs e a fonte de tensão senoidal é  $v = 100 \text{ sen}(1000t + \phi)$ . Determinar a corrente resultante, supondo que o interruptor é fechado quando  $\phi = 30^\circ$ .  
 Resp.:  $i = 0,1535e^{-4000t} + 0,0484 \text{ sen}(1000t + 106^\circ)$ .

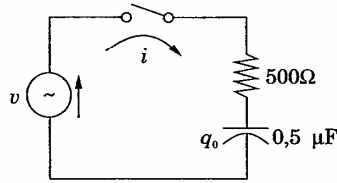


Figura 17-31

- 17.32** Quando  $t = 0$ , aplica-se uma tensão constante  $V = 10$  volts em um circuito RLC, onde  $R = 5$  ohms,  $L = 0,1$  H e  $C = 500 \mu\text{F}$ . Determinar a corrente resultante.  
 Resp.:  $i = 0,72e^{-25t} \text{ sen } 139t$ .

- 17.33** O capacitor do circuito em série RLC da Fig. 17-32 tem uma carga inicial  $q_0 = 10^{-3}$  coulombs e o interruptor é mantido na posição 1 durante tempo suficiente para que se estabeleça o regime estacionário. Determinar a corrente transitória que ocorre quando, em  $t = 0$ , o interruptor é levado de 1 para 2.  
 Resp.:  $i = e^{-25t}(2 \cos 222t - 0,45 \text{ sen } 222t)$ .

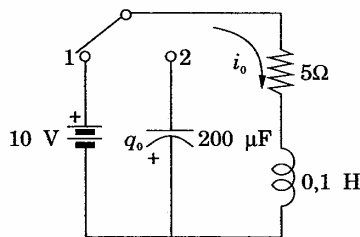


Figura 17-32

- 17.34** Quando  $t = 0$ , aplica-se uma tensão  $v = 10e^{-100t}$  em um circuito série RLC com  $R = 5$  ohms,  $L = 0,2$  H e  $C = 1 \mu\text{F}$ . Determinar a corrente resultante.  
 Resp.:  $i = -0,666e^{-100t} + 0,670e^{-24,8t} - 0,004 e^{-0,2t}$ .

**17.35** Um circuito em série  $RLC$ , com  $R = 200$  ohms,  $L = 0,5$  H e  $C = 100 \mu\text{F}$ , tem uma fonte de tensão senoidal  $v = 300 \text{ sen}(500t + \phi)$ . Determinar a corrente transitória resultante, supondo que o interruptor é fechado quando  $\phi = 30^\circ$ .  
 Resp.:  $i = 0,517e^{-341,4t} - 0,197e^{-58,6t} + 0,983 \text{ sen}(500t - 19^\circ)$ .

**17.36** Um circuito em série  $RLC$  com  $R = 5$  ohms,  $L = 0,1$  H e  $C = 500 \mu\text{F}$  tem uma fonte de tensão senoidal  $v = 100 \text{ sen}(250t)$ . Determinar a corrente resultante, supondo que o interruptor é fechado quando  $t = 0$ .  
 Resp.:  $i = e^{-25t}(5,42 \cos 139t + 1,89 \text{ sen } 139t) + 5,65 \text{ sen}(250t - 73,6^\circ)$  (A)

**17.37** Na estrutura de duas malhas da Fig. 17-33, as correntes foram escolhidas conforme mostra o diagrama. Escrever as equações do domínio do tempo, transformá-las nas equações correspondentes do domínio  $s$  e obter as correntes transitórias  $i_1$  e  $i_2$ .  
 Resp.:  $i_1 = 2,5(1 + e^{-10^5 t})$  e  $i_2 = 5e^{-10^5 t}$ .

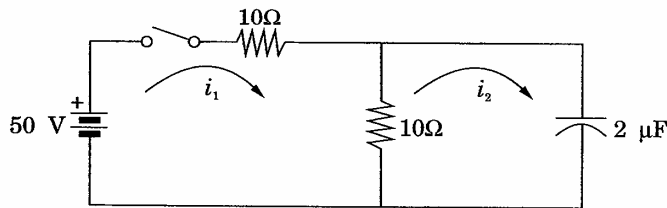


Figura 17-33

**17.38** Determinar as correntes  $i_1$  e  $i_2$  que aparecem na estrutura de duas malhas da Fig. 17-34, quando se fecha o interruptor em  $t = 0$ .  
 Resp.:  $i_1 = 0,101e^{-100t} + 9,899e^{-9950t}$ ,  $i_2 = -5,05e^{-100t} + 5 + 0,05e^{-9950t}$ .

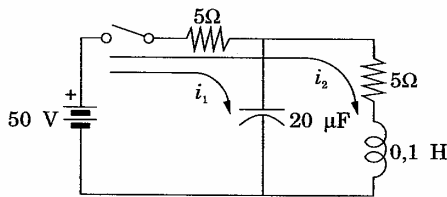


Figura 17-34

**17.39** Na estrutura da Fig. 17-35, a fonte de 100 volts acarreta uma corrente contínua na primeira malha e o interruptor é fechado em  $t = 0$ , colocando o resistor de 10 ohms em paralelo com o ramo indutivo. Determinar as correntes resultantes.  
 Resp.:  $i_1 = 1,67e^{-6,67t} + 5$ ;  $i_2 = -0,555e^{-6,67t} + 5$ .

**17.40** A estrutura  $v = 100 \text{ sen}(200t - 6^\circ)$  é colocada em paralelo com a malha. Determinar as correntes resultantes.  
 Resp.:  $i_1 = 1,67e^{-6,67t} + 5$ ;  $i_2 = -0,555e^{-6,67t} + 5$ .

v

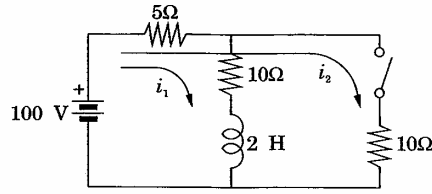


Figura 17-35

17.40 A estrutura de duas malhas da Fig. 17-36 contém uma fonte de tensão senoidal  $v = 100 \text{ sen}(200t + \phi)$ . Quando  $t = 0$ , o ângulo  $\phi = 0$  e o interruptor é fechado, colocando o segundo resistor de 10 ohms em paralelo com o primeiro. Determinar as correntes de malha resultantes, com os sentidos indicados no diagrama.

Resp.:  $i_1 = 3,01e^{-100t} + 8,96 \text{ sen}(200t - 63,4^\circ)$  (A),  $i_2 = 1,505e^{-100t} + 4,48 \text{ sen}(200t - 63,4^\circ)$  (A).

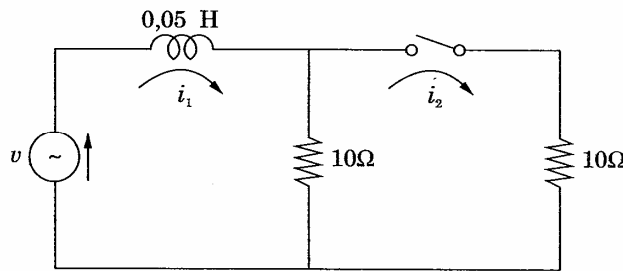


Figura 17-36

**Tabela 17-1**  
**TRANSFORMADAS DE LAPLACE**

	$f(t)$	$F(s)$
1.	$A \quad t \geq 0$	$\frac{A}{s}$
2.	$At \quad t \geq 0$	$\frac{A}{s^2}$
3.	$e^{-at}$	$\frac{1}{s + a}$
4.	$te^{-at}$	$\frac{1}{(s + a)^2}$
5.	$\text{sen } \omega t$	$\frac{\omega}{s^2 + \omega^2}$
6.	$\text{cos } \omega t$	$\frac{s}{s^2 + \omega^2}$
7.	$\text{sen } (\omega t \theta)$	$\frac{s \text{ sen } \theta + \omega \text{ cos } \theta}{s^2 + \omega^2}$
8.	$\text{cos } (\omega t \theta)$	$\frac{s \text{ cos } \theta - \omega \text{ sen } \theta}{s^2 + \omega^2}$
9.	$e^{-at} \text{ sen } \omega t$	$\frac{\omega}{(s + a)^2 + \omega^2}$
10.	$e^{-at} \text{ cos } \omega t$	$\frac{(s + a)}{(s + a)^2 + \omega^2}$
11.	$\text{senh } \omega t$	$\frac{\omega}{s^2 - \omega^2}$
12.	$\text{cosh } \omega t$	$\frac{s}{s^2 - \omega^2}$
13.	$df/dt$	$sF(s) - f(0+)$
14.	$\int f(t) dt$	$\frac{F(s)}{s} + \frac{f^{-1}(0+)}{s}$
15.	$f(t - t_1)$	$e^{-t_1 s} F(s)$
16.	$f_1(t) + f_2(t)$	$F_1(s) + F_2(s)$

MAKRON  
Books

Acoplados, circ  
fluxo de per  
fluxo mútuo  
Acoplamento, c  
Admitância, 11  
O circuito para  
circuito séri  
diagrama, 1  
entrada de,  
matriz de, 2  
transferênci  
Alternada, tra:  
Alternador, 37.  
Amorteciment  
Ampère, 3, 5, 7  
Angular, veloci  
Ângulo de fase  
56, 97



MAKRON  
Books



## ÍNDICE ANALÍTICO

- Acoplados, circuitos, 362-368  
    fluxo de perdas, 363  
    fluxo mútuo, 363
- Acoplamento, coeficiente, 364
- Admitância, 119
- O circuito paralelo, 118  
    circuito série, 121  
    diagrama, 177-178  
    entrada de, 261  
    matriz de, 258  
    transferência, 262
- Alternada, transitória, 479
- Alternador, 373
- Amortecimento, 478
- Ampère, 3, 5, 7
- Angular, velocidade, 96
- Ângulo de fase em avanço ou atraso,  
    56, 97
- Árvore da estrutura, 216
- Ativa, potência, 433
- Ativo, circuito, 291
- Auto-indutância, 6, 362
- B (como símbolo de susceptância), 119
- Bifásico, 396
- Bobina, fator de qualidade  $Q$ , 182  
    fluxo de perdas, 363
- Campo, elétrico, 5, 498  
    magnético, 5, 494
- Capacitância, 7  
    combinação em paralelo, 22, 23  
    combinação em série, 23  
    relação carga-corrente, 7, 500
- Capacitiva, reatância, 65, 95
- Carga, 2, 7

- transitória, 475-476
- Circuito, acoplado, 362
- árvore de, 216
  - ativo, 291
  - bifásico, 396
  - de corrente contínua, 297
  - elementos de, 6, 7
  - Lei de Kirchhoff, 7, 213
  - malha, 214
  - matriz de impedância em, 226
  - método das correntes de malha, 212
  - método das tensões dos nós, 28
  - nós, 216, 255-256
  - paralelo, 116-118
  - passivo, 148, 216
  - R, 57, 121
  - R e C, 58, 121
  - R e L, 57, 121
  - ramos de, 216
  - ressonância, 178
  - série, 114
  - teoremas, 321
  - trifásico, 397
- Coefficiente de acoplamento, 364
- Condensador,
- energia armazenada, 21, 497
- Condutância,
- Conversão Y -  $\Delta$ , 324-325
- Corrente,
- circuito em paralelo, 116, 118
  - circuito em série, 58, 114
  - divisão, 117, 118
  - domínio, 541
  - fasor, 96, 97
  - intensidade, 3
  - lugar geométrico, 187
  - sentido da, 3
  - transitórios, 491
- Corrente contínua, 10, 11
- circuito RC, 496
  - circuito RL, 491
  - circuito RLC, 501
  - transitórios, 491
- Co-senos, valor eficaz, 38
- Coulomb, 2, 8
- Cramer, regra de, 225
- Dente de serra, Fourier, 446
- onda, 41, 42
  - valor eficaz, 41
  - valor médio, 41
- Desenvolvimento, métodos de, 544
- Heaviside, 547
- Desequilibrada, carga trifásica,
- ligada em estrela com quatro condutores, 407
  - ligada em estrela com três condutores, 408
  - ligada em triângulo, 408
- Deslocamento do neutro, método de, 410
- Determinante,
- Dielétrica, con:
- Dirichlet, cond
- Domínio, freqü
- e variável, 5
  - do tempo, 98
  - freqüência, 9
- Eficaz, função :
- valor, 37
  - Fourier, 456
- Elétron, 3, 4
- Elementos con:
- Energia, 3, 184
- Entrada, de ad
- Equação, caract
- diferencial,
  - homogênea,
- Equilibrada,
- carga em est
  - carga em tri
  - método dos c
  - potência, 418
  - sistema trifá
- Equivalente,
- admitância,
  - circuito, 118,
  - impedância,
- Específica, cap:
- Espectro de linl

- 14
- Determinante, 223
- Dielétrica, constante, 2
- Dirichlet, condições de, 444
- Domínio, frequência complexa, 538  
 e variável, 538, 551  
 do tempo, 98  
 frequência, 98
- Eficaz, função senoidal, 38  
 valor, 37  
 Fourier, 456
- Elétron, 3, 4
- Elementos concentrados, 5
- Energia, 3, 184
- Entrada, de admitância, 261
- Equação, característica, 501  
 diferencial, 491  
 homogênea, 497
- 46
- Equilibrada,  
 carga em estrela, 408  
 carga em triângulo, 405  
 método dos dois wattímetros, 415  
 potência, 413  
 sistema trifásico, 400
- de, 544
- ísica,
- uatro
- ês condutores,
- o
- étodo de, 410
- Estacionário, estado, 490
- Estrela,  
 ligação de alternador em, 398  
 ligação de cargas, 401-403
- Estrela-Triângulo, transformação, 324-325
- Estrutura,  
 árvore de, 216  
 bilateral, 326-327  
 equivalência de estrela ou triângulo, 321  
 gráfico de, 216  
 linear, 292  
 passiva, 147, 216  
 ramos de, 216
- Euler, fórmula de, 77, 92, 97
- Exponencial, forma, 77  
 séries de Fourier, 447
- Faixa B, largura, 183
- Farad, 7, 9
- Faraday, lei de, 363
- Fase, ângulo de, 56, 97-98, 503  
 diferença, 98, 99, 119-120
- Fasor, 96, 98
- Fator de forma, 38
- Fator de potência, 147, 148-150  
 ângulo de, 150  
 aumento de, 156  
 correção do, 155

- Final, valor do, 549
- Fluxo, 363
- Forma de onda,  
análise de Fourier, 443  
periódica, valor médio, 37  
simétrica, 39, 450  
síntese, 455  
soma, 450  
valor eficaz, 37-38
- Fonte de tensão constante, 12
- Fourier, séries  
forma exponencial, 447  
forma trigonométrica, 444
- Frequência, 9  
alta meia-potência, 182  
baixa meia-potência, 182  
domínio da, 98  
em série, 177  
espectro de linha, 453  
largura da faixa, 183  
ressonância em paralelo, 178
- Função(ões)  
complementar, 490  
degrau, 538  
ímpar, 450  
par, 450  
periódicas, 36, 443
- G (como símbolo de condutância), 119
- Giratório, vetor, 96
- Gráfico, estrutura, 216
- Harmônicos, 47, 447, 453
- Heaviside, métodos de, 544, 547
- Henry, 7, 9
- Imaginário, número, 76
- Impedância, 56  
circuito em paralelo, 116  
circuito em série, 114  
complexa, 92  
diagrama da, 95  
de entrada, 228  
equivalente, 115  
equivalente de Thevenin, 290  
lugar geométrico, 184  
matriz, 227-228  
no ponto de excitação, 227  
transferência, 228
- Indutância, 6  
coeficiente de auto-indutância, 7  
coeficiente de indutância mútua, 364  
em série de bobinas, 18  
mútua, 363
- Indutiva  
reatância, 65, 95  
susceptância, 119
- Induzida,  
corrente, 366  
tensão, 362
- Inicial, teorema do valor, 548
- Iniciais, condições, 490-491
- Instantâneo,  
potência, 4  
valor da corrente, 4
- Inversa, matriz
- Joules, 1, 9
- Kirchhoff, 7, 59
- L (como símbolo de indutância), 7
- auto-indutância, 7
- Largura de faixa, 183
- Laplace, transformada, 36
- Lenz, lei de, 36
- M (como símbolo de indutância mútua), 7
- Maclaurin, série, 7
- Magnético, acoplamento, 364
- Matrizes, 218
- Máxima, impedância, 4
- potência, 4
- Média, potência, 4
- Médio, valor, 37
- Meia-onda, sim, 4
- Menor, 222
- Módulo, número, 7
- Monofásico, circuito, 7

- 53  
544, 547
- 116
- nin, 290
- , 227
- utância, 7
- cia mútua, 364
- 8
- 548
- Iniciais, condições no transitório, 490-491
- Instantâneo,  
potência, 4  
valor da corrente, 3
- Inversa, matriz, 221
- Joules, 1, 9
- Kirchhoff, 7, 59, 114, 116
- L (como símbolo de coeficiente de auto-indutância), 6
- Largura de faixa, 183
- Laplace, transformada de, 538-540
- Lenz, lei de, 367
- M (como símbolo do coeficiente de indutância mútua), 364
- Maclaurin, série de, 84
- Magnético, acoplamento, 362
- Matrizes, 218
- Máxima, impedância, 179, 230  
potência transmitida, 330
- Média, potência, 457
- Médio, valor, 37
- Meia-onda, simetria de, 38-39
- Menor, 222
- Módulo, número complexo, 77
- Monofásico, circuito equivalente, 403
- N (como símbolo de potência aparente), 151
- Neutra, corrente (polifásica), 403
- Norton, teorema de, 289
- Notação, de subíndice duplo, 125-126
- Nós, 216, 255, 256
- Números complexos, 76  
argumento, 77  
conjugado, 78  
diferença, 79  
divisão, 80  
forma de Steinmetz, 78  
imaginários, 76  
logaritmo, 82  
módulo, 77  
multiplicação, 80  
raízes, 81, 502  
soma, 79
- Ohm, lei de, 98
- Ohm, 5, 9
- Onda quadrada, 13, 44, 461, 471
- Oscilação do transitório, 502
- Particular, solução, 490
- Passivo, circuito, 147
- Perdas, fluxo de, 363
- Período, 36, 444
- Permeabilidade, 7
- Permitividade (Permissividade), 2

- Polifásico, sistema de tensões, 397  
  bifásico, 396  
  corrente de linha, 453-454  
  de quatro condutores, 407  
  de três condutores, 408  
  hexafásico, 53  
  ligação em triângulo, 409
- Ponte, circuito em, 138
- Ponto, regra do, 368
- Próton, 2
- Q (como símbolo de fator de qualidade), 182  
  circuito *RC*, 182  
  circuito *RL*, 182  
  circuito *RLC*, 183  
  definição, 182
- Quatro condutores, sistema trifásico, 399, 401, 403
- Ramos, de ligação, 216
- Raízes, complexas conjugadas, 81, 502, 545  
  de número complexo, 81  
  distintas, 502, 544  
  iguais, 502  
  múltiplas, 502, 545  
  reais, 502, 544
- Raiz média quadrática, 37-38
- Reatância, capacitiva, 95  
  indutiva, 95
- Resistência, 5, 9, 95
- Ressonância, circuito paralelo, 178  
  circuito em série, 176
- s, domínio de, 538, 550
- Seno, representação fasorial, 96
- Sentido, do enrolamento, 366
- Seqüência, sistema polifásico, 397
- Simples, desenvolvimento em frações, 544
- Steinmetz, forma de um número complexo, 78
- Substituição, teorema de, 325, 458
- Superposição, teorema de, 325, 458
- Susceptância, 119
- Tempo, constante de, 492, 497
- Tensão, 4  
  quedas de, 8-9, 115-116  
  subida de, 115-116
- Teorema,  
  da compensação, 327  
  da máxima transferência de potência, 330  
  da reciprocidade, 326  
  da superposição, 325  
  de Norton, 292  
  de Thevenin, 290  
  do valor final, 549  
  do valor inicial, 548
- Transferência, 273  
  de impedância
- Transformada
- Transitório,  
  circuito *RC*,  
  circuito *RL*,  
  circuito *RLC*  
  corrente alta  
  corrente com  
  método de L
- Triângulo-estrela
- Trifásico, 397
- Trigonométrica  
  forma de um  
  séries de Fo

- alelo, 178
- Transfêrencia, funço de tenso, 236, 273  
de impedncia, 228
- Transformada de Laplace, 538-540
- Transitrio,  
circuito *RC*, 496  
circuito *RL*, 491  
circuito *RLC*, 501  
corrente alternada, 495-496  
corrente contnua, 491  
mtodo de Laplace, 538
- Tringulo-estrela, converso, 324
- Trifsico, 397
- Trigonomtrica,  
forma de um nmero complexo, 76-77  
sries de Fourier, 444
- Valor eficaz,  
definio, 36-37  
sries de Fourier, 456-457
- Velocidade angular constante, 96
- Vetores, 96-98
- Volt, 9
- Y (como smbolo de admitncia), 119  
Y - $\Delta$ , converso, 324  
Y, plano, 186
- Wattmetro, mtodo dos dois, 415
- Z (como smbolo de impedncia), 95  
Z, plano, 186  
ZY, converso, 121
- ia de potncia,
- rial, 96  
366  
sico, 397  
o em fraçes,  
nmero  
325, 458  
, 325, 458  
497

Impressão e acabamento:  
**GRÁFICA PAYM**  
Tel. (011) 4392-3344

**CADASTRO PARA MALA - DIRETA**  
**Favor preencher todos os campos**

★ Devolvendo-nos este cadastro preenchido, você passará a receber informações dos nossos lançamentos, nas áreas que determinar. **INVISTA EM SEU FUTURO PROFISSIONAL.**

# CADASTRO PARA MALA - DIREITA

**Favor preencher todos os campos**

★ Devolvendo-nos este cadastro preenchido, você passará a receber informações dos nossos lançamentos, nas áreas que determinar. **INVISTA EM SEU FUTURO PROFISSIONAL.**

Nome completo (não abreviar):

Número de seu cadastro em nosso mailing:

Endereço para correspondência:

Bairro:

Telefone:

UF:

Cep:

Cidade:

E-mail:

Sexo:  F  M

1. Escolaridade:

1º Grau  Pós-Graduação

MBA  Outros (especificar): \_\_\_\_\_

Quantos livros técnicos compra por mês? \_\_\_\_\_ por ano?

2º Grau  3º Grau  Pós-Graduação

Mestrado  Doutorada

2. Área de Interesse:

1. Informática  2. Marketing  3. Vendas  4. Administração

5. Economia  6. Recursos Humanos  7. Qualidade/Produtividade  8. Psicologia

9. Eng. Elétrica/Eletrônica  10. Engenharia Civil  11. Engenharia Mecânica  12. Comércio Exterior

13. Engenharia Química  14. Ecologia  15. Telecomunicações  16. Publicidade/Propaganda

17. Turismo  18. Ensino/Educação  19. Contabilidade  20. Finanças

21. Matemática  22. Outros (especificar): \_\_\_\_\_

3. Profissão/Ocupação:

1. Presidente  2. Supervisor  3. Diretor  4. Gerente  5. Analista  6. Programador  7. Empresário  8. Consultor  9. Digitador  10. Estudante  11. Professor  12. Aposentado

Obra: Circuitos Elétricos  
Autoria: Joseph A. Edminister



Rua Emilio Goeldi, 747  
05065-110 - São Paulo - SP - Brasil  
Fone: (11) 3613-1222

DOBRE AQUI E COLE

ISR - 40 - 1248/89  
UP - AC - ITAIM BIBI  
DR/São Paulo

**CARTA RESPOSTA**  
NÃO É NECESSÁRIO SELAR.

O selo será pago por  
**Pearson Education do Brasil Ltda.**

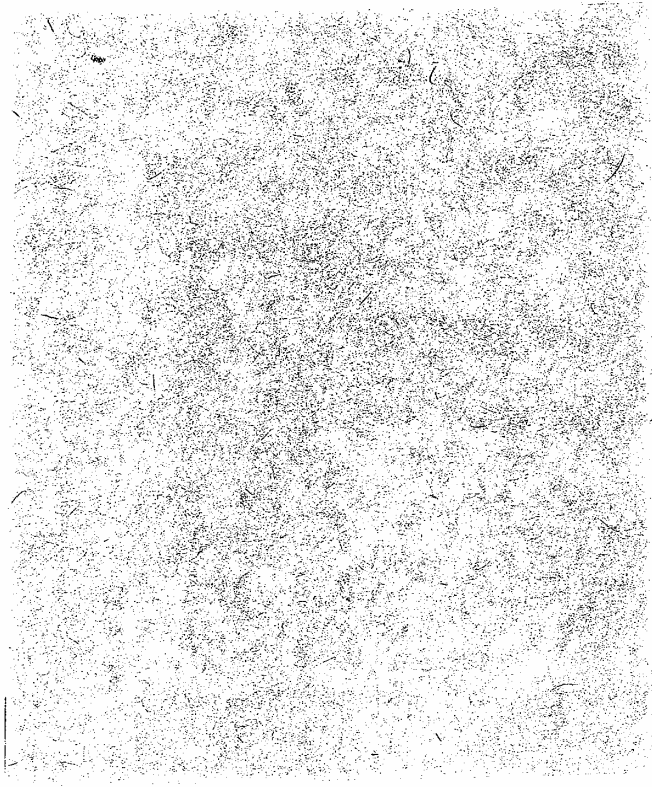
**04533-970 - São Paulo - SP**

DOBRE AQUI





0 - 1248/89  
- ITAIM BIBI  
São Paulo



# CIRCUITOS ELÉTRICOS

## OUTROS LIVROS NA ÁREA

Maldonado – Manual de Técnicas Elétricas

Corradi – Instalações Elétricas

Gussow – Eletrônica Básica – 2ª Edição – Revisada e Ampliada

Leandro – Circuitos de Dispositivos e Circuitos Eletrônicos – 2 Volumes

Mattoso – Eletrônica – 4ª Edição – 2 Volumes

O'Malley – Instalação de Circuitos – 2ª Edição

Pimenta – Sistemas de Controle e Realimentação

Rashid – Eletrônica de Potência

Sedra – Microeletrônica – 2 Volumes

Pearson  
Education

[www.makron.com.br](http://www.makron.com.br)  
[www.pearsonedbrasil.com](http://www.pearsonedbrasil.com)

ISBN 0-07-460-639-5



9 780074 606391

621.3

Eléc

R-002/4

et

2